



This is a digital copy of a book that was preserved for generations on library shelves before it was carefully scanned by Google as part of a project to make the world's books discoverable online.

It has survived long enough for the copyright to expire and the book to enter the public domain. A public domain book is one that was never subject to copyright or whose legal copyright term has expired. Whether a book is in the public domain may vary country to country. Public domain books are our gateways to the past, representing a wealth of history, culture and knowledge that's often difficult to discover.

Marks, notations and other marginalia present in the original volume will appear in this file - a reminder of this book's long journey from the publisher to a library and finally to you.

### Usage guidelines

Google is proud to partner with libraries to digitize public domain materials and make them widely accessible. Public domain books belong to the public and we are merely their custodians. Nevertheless, this work is expensive, so in order to keep providing this resource, we have taken steps to prevent abuse by commercial parties, including placing technical restrictions on automated querying.

We also ask that you:

- + *Make non-commercial use of the files* We designed Google Book Search for use by individuals, and we request that you use these files for personal, non-commercial purposes.
- + *Refrain from automated querying* Do not send automated queries of any sort to Google's system: If you are conducting research on machine translation, optical character recognition or other areas where access to a large amount of text is helpful, please contact us. We encourage the use of public domain materials for these purposes and may be able to help.
- + *Maintain attribution* The Google "watermark" you see on each file is essential for informing people about this project and helping them find additional materials through Google Book Search. Please do not remove it.
- + *Keep it legal* Whatever your use, remember that you are responsible for ensuring that what you are doing is legal. Do not assume that just because we believe a book is in the public domain for users in the United States, that the work is also in the public domain for users in other countries. Whether a book is still in copyright varies from country to country, and we can't offer guidance on whether any specific use of any specific book is allowed. Please do not assume that a book's appearance in Google Book Search means it can be used in any manner anywhere in the world. Copyright infringement liability can be quite severe.

### About Google Book Search

Google's mission is to organize the world's information and to make it universally accessible and useful. Google Book Search helps readers discover the world's books while helping authors and publishers reach new audiences. You can search through the full text of this book on the web at <http://books.google.com/>



## Über dieses Buch

Dies ist ein digitales Exemplar eines Buches, das seit Generationen in den Regalen der Bibliotheken aufbewahrt wurde, bevor es von Google im Rahmen eines Projekts, mit dem die Bücher dieser Welt online verfügbar gemacht werden sollen, sorgfältig gescannt wurde.

Das Buch hat das Urheberrecht überdauert und kann nun öffentlich zugänglich gemacht werden. Ein öffentlich zugängliches Buch ist ein Buch, das niemals Urheberrechten unterlag oder bei dem die Schutzfrist des Urheberrechts abgelaufen ist. Ob ein Buch öffentlich zugänglich ist, kann von Land zu Land unterschiedlich sein. Öffentlich zugängliche Bücher sind unser Tor zur Vergangenheit und stellen ein geschichtliches, kulturelles und wissenschaftliches Vermögen dar, das häufig nur schwierig zu entdecken ist.

Gebrauchsspuren, Anmerkungen und andere Randbemerkungen, die im Originalband enthalten sind, finden sich auch in dieser Datei – eine Erinnerung an die lange Reise, die das Buch vom Verleger zu einer Bibliothek und weiter zu Ihnen hinter sich gebracht hat.

## Nutzungsrichtlinien

Google ist stolz, mit Bibliotheken in partnerschaftlicher Zusammenarbeit öffentlich zugängliches Material zu digitalisieren und einer breiten Masse zugänglich zu machen. Öffentlich zugängliche Bücher gehören der Öffentlichkeit, und wir sind nur ihre Hüter. Nichtsdestotrotz ist diese Arbeit kostspielig. Um diese Ressource weiterhin zur Verfügung stellen zu können, haben wir Schritte unternommen, um den Missbrauch durch kommerzielle Parteien zu verhindern. Dazu gehören technische Einschränkungen für automatisierte Abfragen.

Wir bitten Sie um Einhaltung folgender Richtlinien:

- + *Nutzung der Dateien zu nichtkommerziellen Zwecken* Wir haben Google Buchsuche für Endanwender konzipiert und möchten, dass Sie diese Dateien nur für persönliche, nichtkommerzielle Zwecke verwenden.
- + *Keine automatisierten Abfragen* Senden Sie keine automatisierten Abfragen irgendwelcher Art an das Google-System. Wenn Sie Recherchen über maschinelle Übersetzung, optische Zeichenerkennung oder andere Bereiche durchführen, in denen der Zugang zu Text in großen Mengen nützlich ist, wenden Sie sich bitte an uns. Wir fördern die Nutzung des öffentlich zugänglichen Materials für diese Zwecke und können Ihnen unter Umständen helfen.
- + *Beibehaltung von Google-Markenelementen* Das "Wasserzeichen" von Google, das Sie in jeder Datei finden, ist wichtig zur Information über dieses Projekt und hilft den Anwendern weiteres Material über Google Buchsuche zu finden. Bitte entfernen Sie das Wasserzeichen nicht.
- + *Bewegen Sie sich innerhalb der Legalität* Unabhängig von Ihrem Verwendungszweck müssen Sie sich Ihrer Verantwortung bewusst sein, sicherzustellen, dass Ihre Nutzung legal ist. Gehen Sie nicht davon aus, dass ein Buch, das nach unserem Dafürhalten für Nutzer in den USA öffentlich zugänglich ist, auch für Nutzer in anderen Ländern öffentlich zugänglich ist. Ob ein Buch noch dem Urheberrecht unterliegt, ist von Land zu Land verschieden. Wir können keine Beratung leisten, ob eine bestimmte Nutzung eines bestimmten Buches gesetzlich zulässig ist. Gehen Sie nicht davon aus, dass das Erscheinen eines Buchs in Google Buchsuche bedeutet, dass es in jeder Form und überall auf der Welt verwendet werden kann. Eine Urheberrechtsverletzung kann schwerwiegende Folgen haben.

## Über Google Buchsuche

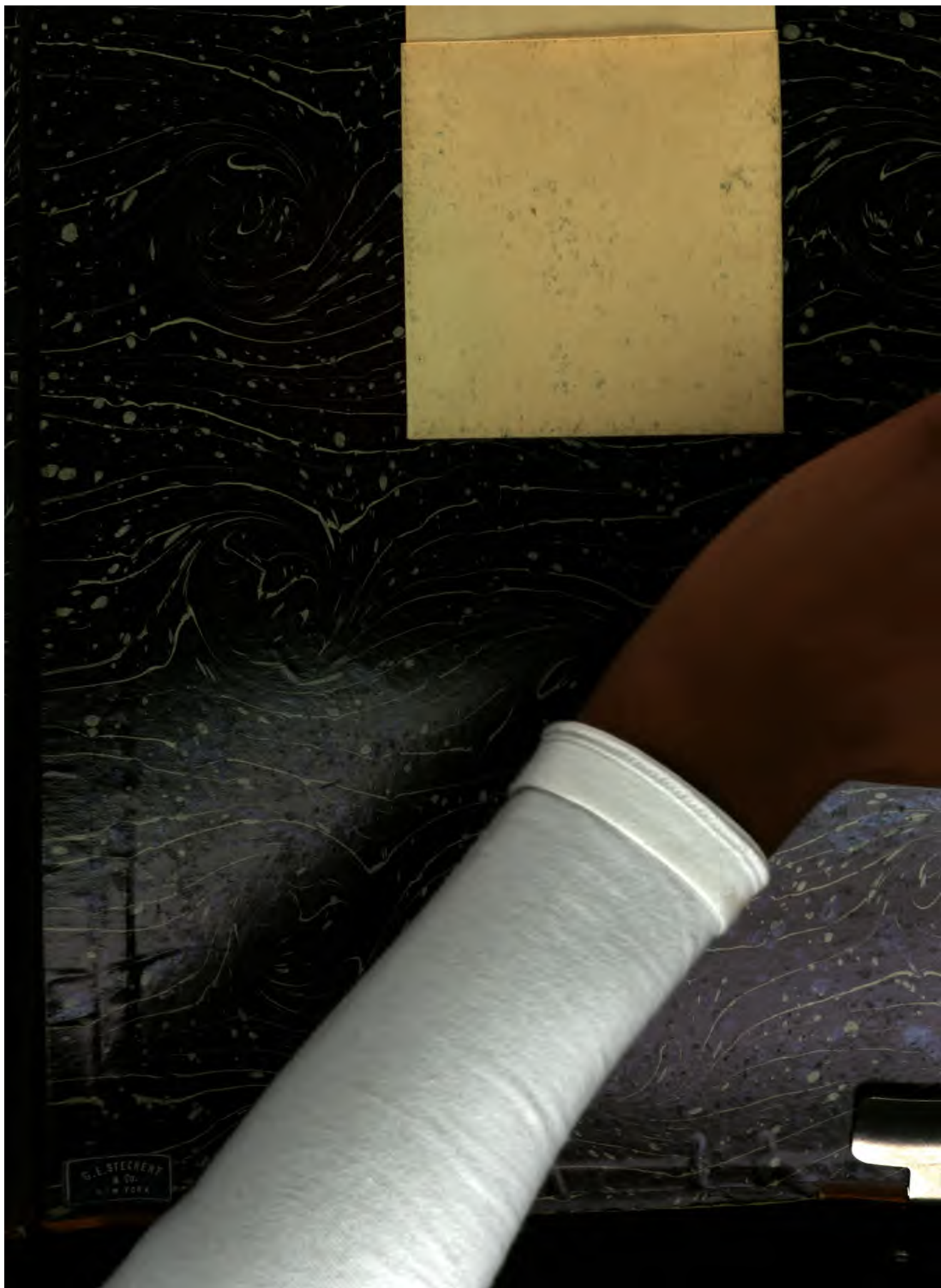
Das Ziel von Google besteht darin, die weltweiten Informationen zu organisieren und allgemein nutzbar und zugänglich zu machen. Google Buchsuche hilft Lesern dabei, die Bücher dieser Welt zu entdecken, und unterstützt Autoren und Verleger dabei, neue Zielgruppen zu erreichen. Den gesamten Buchtext können Sie im Internet unter <http://books.google.com> durchsuchen.











G. L. STECHERT  
& CO.  
NEW YORK



The image shows the front cover of a book. The cover is decorated with a dark, swirling marbled pattern in shades of black, brown, and cream. In the center, there is a rectangular, aged, cream-colored paper label. The label contains the text "Library of the University of Wisconsin" in a black, serif font. The text is arranged in three lines: "Library" on the first line, "of the" on the second line, and "University of Wisconsin" on the third line. The label shows signs of age, including some staining and wear. At the bottom left corner of the image, a small portion of a metal object, possibly a clip or a piece of hardware, is visible.

Library  
of the  
University of Wisconsin









✓

DIE

# MASCHINEN-ELEMENTE


---

EIN HILFSBUCH FÜR TECHNISCHE LEHRANSTALTEN  
SOWIE ZUM SELBSTSTUDIUM GEEIGNET

---

ERSTER BAND

---

The image shows the front cover of a book. The cover is decorated with a dark, swirling marbled pattern in shades of black, dark green, and brown. A small, rectangular, light-colored paper label is pasted in the center. The label contains the text "Library of the University of Wisconsin" in a serif font. At the bottom center, there is a small, rectangular metal piece, possibly a clasp or a hinge, which is slightly raised from the cover.

Library  
of the  
University of Wisconsin







✓

DIE

# MASCHINEN-ELEMENTE

---

EIN HILFSBUCH FÜR TECHNISCHE LEHRANSTALTEN  
SOWIE ZUM SELBSTSTUDIUM GEEIGNET

---

ERSTER BAND

---





DIE  
**MASCHINEN-ELEMENTE**

---

EIN HILFSBUCH FÜR TECHNISCHE LEHRANSTALTEN  
SOWIE ZUM SELBSTSTUDIUM GEEIGNET

BEARBEITET VON  
**M. SCHNEIDER**  
INGENIEUR UND LEHRER FÜR MASCHINENBAU

---

IN ZWEI BÄNDEN

---

**ERSTER BAND**

---

MIT BEISPIELEN, 107 TEXTFIGUREN UND 77 TAFELN

---

BRAUNSCHWEIG  
DRUCK UND VERLAG VON FRIEDRICH VIEWEG UND SOHN  
1903

---

Alle Rechte, namentlich dasjenige der Übersetzung in fremde Sprachen,  
vorbehalten

---



## V O R W O R T.

Als ich die Bearbeitung der vorliegenden Maschinenelemente übernahm, war mein Bestreben, den Bedürfnissen der Schule und Praxis genügend Rechnung zu tragen. Durch kurzen, aber leicht falschen Text, sowie durch zahlreiche Figuren glaube ich beidem entsprochen zu haben. Während eine ausgedehntere Beschreibung der Figuren durch die dem Studium der technischen Wissenschaften vorangehende praktische Tätigkeit entbehrlich wurde, fördern die vielen Vorlagen die Anschauung und die Ausbildung des Studierenden und werden dem Konstrukteur beim Entwerfen recht dienlich sein.

Für die Anwendung der aufgestellten Formeln sind vollkommen durchgearbeitete Beispiele beigegeben.

Die Berechnung der Wellen ist sowohl analytisch als graphostatisch durchgeführt. Der graphischen Behandlung ist vornehmlich bei Wellenkröpfungen der Vorzug zu geben, da sie sich bedeutend einfacher und übersichtlicher gestaltet.

Die Tafeln zeigen zum Teil auf den Rückseiten Klischees, welche zum Verständnis der Zeichnungen ganz wesentlich beitragen. Wo nicht Bezugseinheiten den Konstruktionen zugrunde gelegt sind, lassen die beigelegten Tabellen die Abmessungen derselben erkennen und dürften die Angaben der Preise und Gewichte dem in der Praxis stehenden Techniker von Wert sein. Häufig sind den Konstruktionen auch die ausgeführten Maße eingeschrieben und können als Anhalt für andere Ausführungen dienen. Hauptsächlich maßgebend für die Bildung der Maschinenelemente sind natürlich die Festigkeitsberechnungen, welche im Text behandelt wurden.

Die Schnitte der Zeichnungen sind der Einfachheit wegen schraffiert worden. Aus der Verschiedenheit der Schraffuren ist die Art des Materiales erkennbar; siehe Tafel 1.

Ebenso sind die Farbentöne der Materialien aus Tafel 1 zu ersehen.

Indem ich den Herren, die mich bei der Herstellung meines Buches durch Zeichnungen aus der Praxis unterstützten, bestens danke, hoffe ich, daß mein Bestreben ein dem Techniker nützliches gewesen sein möge und empfehle das Werk den geehrten Fachgenossen einer gütigen Beurteilung.

Altenburg, im Oktober 1903.

**M. Schneider.**

## Lager.

	Seite
Allgemeines, sowie Lagerschalen . . . . .	34
1. Gewöhnliches Stehlager . . . . .	35
2. Rumpflager . . . . .	37
3. Bocklager . . . . .	37
4. Das Sellerssche Lager . . . . .	37
5. Achsbüchsen für Wagen . . . . .	37
6. Rollen- und Kugellager . . . . .	38
Hängelager, Hänge- und Lagerbock, Wandkonsollager, Lagerplatte, Mauerkasten, Wandkonsol, Wandplatte . . . . .	44
Schmierapparate . . . . .	44
Spur- (Stütz-) und Kammlager . . . . .	45
Beispiel . . . . .	45

## Achsen.

Einteilung der Tragachsen . . . . .	47
Einfach belastete Achsen . . . . .	48
Mehrfach belastete Achsen . . . . .	49
Bestimmung der Momente in den einzelnen Belastungspunkten . . . . .	50
Bestimmung der Durchmesser in den betreffenden Punkten . . . . .	50
Aufzeichnung einer Skizze des Normalprofils der Achse . . . . .	51
Berechnung der Zapfen . . . . .	51
Freitragende Achsen . . . . .	51
Hohle Achsen . . . . .	53

## Wellen.

Berechnungsart der cylindrischen Wellen . . . . .	55
Transmissionswellen (Torsionswellen) . . . . .	56
Wellen mit zusammengesetzter Festigkeit . . . . .	59
Biegsame Wellen . . . . .	59
Stellringe . . . . .	60
Beispiele . . . . .	61
Zusammensetzung von Kräften, die in einer Ebene liegen und auf einen Punkt einwirken . . . . .	68
Das Seilpolygon . . . . .	69
Träger auf zwei Stützen . . . . .	70
Zusammensetzung von Momentenflächen, die nicht in einer Ebene liegen . . . . .	71
Darstellung des Torsionsmomentes und seine Vereinigung mit Biegemomenten . . . . .	72
Beispiele . . . . .	73

## Kupplungen.

Einteilung der Kupplungen . . . . .	75
1. Feste Kupplungen . . . . .	75
a) Muffenkupplung . . . . .	75
b) Schalen- oder Hülsenkupplung . . . . .	75
c) Scheibenkupplung . . . . .	76
d) Sellers-Kupplung . . . . .	77
2. Bewegliche Kupplungen . . . . .	77
Verschiedene Arten der beweglichen Kupplungen . . . . .	77
3. Ausrückkupplungen . . . . .	79
a) Zahnkupplungen . . . . .	79
b) Reibungskupplungen . . . . .	79
Beispiel . . . . .	85

## Schraubenverbindungen.

Der Vollcylinder, um welchen das Gewinde läuft, heißt der Schraubenkern. Den Abstand der äußersten Punkte des Gewindes vom Schraubenkern nennt man die Gewindetiefe. Ferner versteht man unter Steigung den Weg, den die Schraube bei einer vollen Umdrehung in der Längsrichtung fortschreitet.

Läßt sich in der Praxis die Spannung oder die Kraft  $P$ , welche eine Schraube aufzunehmen hat, nicht genau bestimmen, so wählt man ihre Stärke nach dem Gefühl. Ist dagegen die Zugkraft  $P$  bekannt, so berechnet man den Kerndurchmesser nach der folgenden Formel 1)

Damit eine Drehung des Schraubenbolzens beim Anziehen der Mutter verhindert wird, macht man den Kopf sechseckig oder quadratisch; es kann dann der Kopf durch einen Schlüssel festgehalten werden. Man kann aber auch sogenannte Kopfhalter anbringen, s. Fig. 11 und 12, Taf. 3, oder Querkeile, Fig. 23, Taf. 5, bzw. Streifkeile, Fig. 24, Taf. 5.

Zur Befestigung von Metallteilen auf Stein verwendet man die Steinschraube Fig. 28, Taf. 6. Das Ausgießen der Steinöffnung erfolgt am besten mittels Cement, weniger empfehlenswert ist dazu Schwefel und Blei. Damit sich die Muttern durch etwaige Erschütterungen nicht lösen, wendet man Muttersicherungen an, s. Figuren Taf. 7 und 8.

Die Gegenmutter, Fig. 40, Taf. 7, ist die am häufigsten vorkommende Sicherung. Da aber letztere hier nur auf einer Vermehrung der Reibung beruht, bietet die Gegenmutter nicht absolute Sicherheit. Absolut sicher dagegen ist der Legeschlüssel, Fig. 42, Taf. 8. Die Sicherung durch Splint, Fig. 38, Taf. 7, ist zwar sehr einfach, hat aber den Nachteil, daß bei weiterem Anziehen der Mutter auch die Sicherung wirkungslos wird.

Die Sicherung durch Keil, Fig. 39, Taf. 7, ist ganz vorteilhaft, wenn man dem Keil Anzug giebt. Es kann derselbe dann auch nachgetrieben werden.

Die Pennsche Konstruktion ist ziemlich kompliziert und findet deshalb wenig Anwendung.

Die Schrauben sollen nie auf Abscherung beansprucht werden. Konstruktionen, welche eine Absche-

rung des Schraubenbolzens verhindern, zeigen Fig. 35 bis 37, Taf. 7.

Man teilt die Schrauben in die beiden Hauptarten ein:

„Befestigungsschrauben und Bewegungsschrauben“.

Erstere erhalten fast nur scharfes Gewinde, letztere meist flaches oder Trapezgewinde. Bewegungsschrauben finden Verwendung bei Pressen u. s. w.

### I. Befestigungsschrauben.

Da die Schrauben so häufige Verwendung finden und z. B. zu einem Schraubenbolzen stets wieder eine passende Mutter erhältlich sein muss, erfolgt die Herstellung der Schrauben nach einem einheitlichen System und ist in Europa am gebräuchlichsten:

#### a) Das Whitworthsche System (s. Taf. 1).

Es ist in englischen Zollen aufgestellt und stimmt deshalb mit dem Metermaß nicht genau überein.

Der Querschnitt des Gewindes ist ein gleichschenkliges Dreieck. Der Kantenwinkel  $55^\circ$ .

Sämtliche Dimensionen sind auf den äußeren Durchmesser  $d$  bezogen worden.

Es sei:

$d$  = äußerer Durchmesser,

$d_1$  = Kerndurchmesser,

$t$  = wirkliche Gewindetiefe,

$t_0$  = theoretische Gewindetiefe,

$s$  = Steigung des Gewindes,

$P$  = die in der Achsrichtung wirkende Zugkraft,

$D$  = Durchmesser des Kreises, welcher der Mutter einbeschrieben ist,

$h$  = Höhe der Mutter,

$h_1$  = Höhe des Kopfes,

$U$  = Durchmesser der Unterlegscheibe,

$u$  = Dicke derselben,

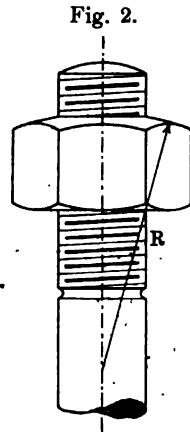
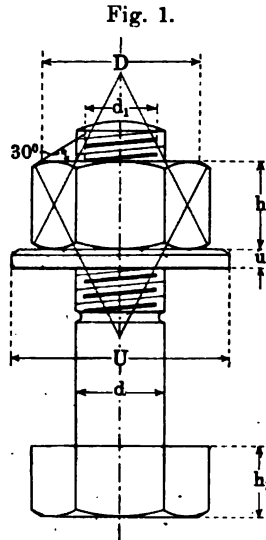
$R$  = Radius der Abrundungskugel der Mutter bei kugelförmiger Abrundung derselben.



Aus der Formel für die Zugfestigkeit:

$$P = \frac{d_1^2 \pi}{4} \cdot k_s,$$

wo  $k_s$  die zulässige Spannung bedeutet, welche in Rücksicht auf die Verdrehungsbeanspruchung und wegen



etwaiger Erschütterungen nur zu 3 kg pro Quadratmillimeter angenommen sei, ergibt sich der Kerndurchmesser

$$d_1 = 0,65 \sqrt{P} \quad 1)$$

Hat die Schraube eine dauernd ruhige Zugkraft auszuhalten, so kann man  $k_s$  bis 6 kg nehmen.

Aus Formel 1) ergibt sich die Zugkraft:

$$P = 2,36 d_1^2 \quad 2)$$

Die Steigung des Gewindes ergibt sich aus dem Quotienten  $\frac{1}{n}$ , wo  $n$  die bestimmte Anzahl Gewindegänge bedeutet, die bei der Systemaufstellung auf 1 engl. Zoll angenommen wurde.

Man hätte z. B. bei  $d = 1''$  die Anzahl der Gänge nach Tabelle  $n = 8$ ; also die Steigung:

$$s = \frac{1}{8}'' = 0,125'' = 0,125 \cdot 25,4 \text{ mm} = 3,17 \text{ mm}.$$

Annähernd hat man:

$$s = 1 + 0,08 d \quad 3)$$

$$t_0 = 0,96 s \quad 4)$$

$$t = \frac{2}{3} t_0 = 0,64 s \quad 5)$$

da  $d = d_1 + 2t$  ist, wird:

$$d = 1,1 d_1 + 1,4 \quad 6)$$

Ferner sei:

$$R = 1,6 D \quad 7)$$

$$D = 5 + 1,4 d \quad 8)$$

$$h = d \quad 9)$$

$$h_1 = 0,75 d \quad 10)$$

$$U = \frac{1}{3} D \quad 11)$$

$$u = 0,11 D \quad 12)$$

Nachstehende Tabelle ist nach obigen Formeln berechnet.

Schraubentabelle nach Whitworth.

Äußerer Durchmesser der Schraube		Anzahl der Gewindegänge	Kerndurchmesser	Höhe der Mutter	Höhe des Kopfes	Schlüsselweite oder Durchmesser des der Mutter eingeschriebenen Kreises	Durchmesser des der Mutter umschriebenen Kreises	Durchmesser der Unterlegscheibe	Dicke der Unterlegscheibe	Zulässige Belastung in kg bei einer Zugbeanspruchung $k_s = 3 \text{ kg pro qmm}$
in engl. Zollen	in mm	auf 1 Zoll engl.	in mm	$h = d$	$h_1 = 0,75 d$	$D = 5 + 1,4 d$	$D_1 = 1,155 D$	$U = \frac{1}{3} D$	$u = 0,11 D$	$P$
$\frac{1}{4}$	6,35	20	4,72	7	5	15	17,5	20	1,5	52
$\frac{5}{16}$ *	7,94	18	6,09	8	6	16	18,5	21	2	87
$\frac{3}{8}$	9,52	16	7,36	10	7	19	22	25	2	128
$\frac{7}{16}$ *	11,11	14	8,64	12	8	22	25,5	30	3	176
$\frac{1}{2}$	12,70	12	9,91	13	10	23	27	31	3	232
$\frac{5}{8}$	15,87	11	12,92	16	12	27	31	36	3	396
$\frac{3}{4}$	19,05	10	15,74	20	14	33	38	44	4	585
$\frac{7}{8}$	22,22	9	18,54	23	17	37	43	50	4	814
1	25,40	8	21,38	26	19	41	47,5	55	5	1074
$1\frac{1}{8}$	28,57	7	23,87	29	21	45	52	60	5	1340
$1\frac{1}{4}$	31,75	7	26,92	32	23	50	58	62	6	1700
$1\frac{3}{8}$	34,92	6	29,46	35	26	54	62,5	72	6	2050
$1\frac{1}{2}$	38,10	6	32,68	39	29	59	68,5	79	7	2520
$1\frac{5}{8}$	41,27	5	35,28	42	31	63	73	84	7	2940
$1\frac{3}{4}$	44,45	5	37,84	45	33	68	78,5	91	8	3360
$1\frac{7}{8}$	47,62	$4\frac{1}{2}$	40,38	48	36	72	83,5	96	8	3840
2	50,82	$4\frac{1}{4}$	43,43	51	38	77	89	102	9	4450
$2\frac{1}{4}$	57,15	4	49,02	58	43	85	98,5	113	10	5700
$2\frac{3}{4}$	63,50	4	55,37	64	47	94	109	125	11	7220
$2\frac{7}{8}$	69,85	$3\frac{1}{2}$	60,45	70	52	103	119	137	12	8600
3	76,20	$3\frac{1}{4}$	66,80	77	57	112	129,5	149	13	10500

Die mit \* bezeichneten Durchmesser werden selten verwendet.

b) Das Sellersche Schraubensystem (s. Taf. 1).

Dasselbe ist hauptsächlich in Amerika eingeführt. Der Querschnitt des Gewindes ist ein gleichseitiges Dreieck. Der Kantenwinkel beträgt 60°.

Es ist in englischen Zollen:

$$\left. \begin{aligned} s &= 0,24 \cdot \sqrt{d} + 0,625 - 0,175 \\ \text{oder in Millimetern} \\ s &= 1,208 \cdot \sqrt{d} + 16 - 4,43 \end{aligned} \right\} \dots 13)$$

$$t_0 = 0,866 s \dots \dots \dots 14)$$

$$t = 0,75 t_0 \dots \dots \dots 15)$$

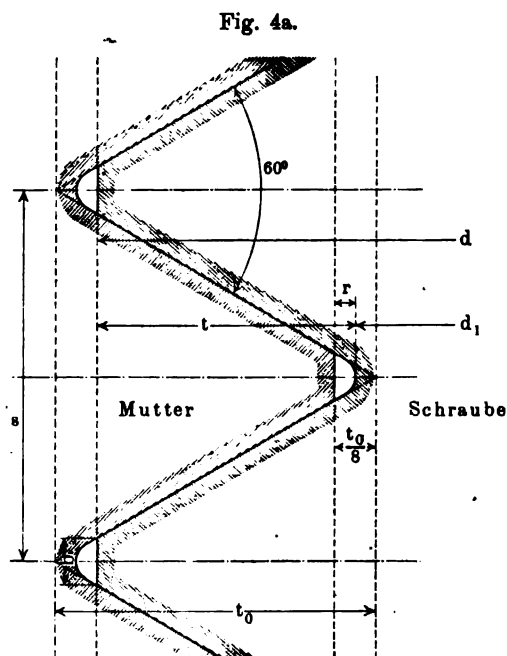
Der Kerndurchmesser  $d_1$  wird auch hier, wie bei allen Schraubensystemen, von der Gewindetiefe  $t$  gemessen.

Im übrigen gelten die Formeln wie bei Whitworth.

c) Deutsches Gewinde (s. Taf. 1).

Die Veranlassung zur Herstellung des deutschen Gewindes war das Bestreben, ein auf Metermafs fußendes Gewindensystem aufzustellen.

Der Verein deutscher Ingenieure hat deshalb nach mehreren Verhandlungen das Gewinde Fig. 4, Taf. 1 angenommen (siehe die Schlufsverhandlung Zeitschr. d. Ver. d. Ing. 1888, S. 883).



Der Querschnitt dieses Gewindes ist ein gleichschenkliges Dreieck, dessen Spitze und Basis um  $\frac{t_0}{8}$  durch Abflachung verringert wird.

Dieses Gewinde erschwerte jedoch, da es in Deutschland vereinzelt dastand, den Vertrieb ins Ausland. Um nun einen internationalen Ausgleich herzustellen, hat der Verein deutscher Ingenieure im Jahre 1897 für dasselbe folgende Dimensionen angenommen.

Kantenwinkel: 60°.

Abflachung  $\frac{t_0}{8}$  wie bei Seller.

Das Gewinde der Schraube im Kern und das Gewinde der Mutter aussen erhält jedoch die in Fig. 4a gezeigte Ausrundung. Dabei ist, wenn wieder  $s =$  Steigung bedeutet:

$$t_0 = 0,866 s; r = \frac{t_0}{16}; b = \frac{s}{8}.$$

Durch die Ausrundung dürfte das deutsche Gewinde einen wesentlichen Vorzug vor dem Sellerschen besitzen, da nach Erfahrungen bei scharfen Kanten die Schneidwerkzeuge erheblich mehr abgenutzt werden als bei Schrauben mit Abrundungen.

d) Flachgewindeschrauben (s. Taf. 1).

Der Querschnitt des Gewindes ist ein Quadrat.

Flachgewindeschrauben werden meist als Bewegungsschrauben verwendet.

$d_1$  ist wieder nach Formel 1) zu bestimmen.

$$t = \frac{s}{2} \dots \dots \dots 16)$$

$$s = 2 + 0,09 d \dots \dots \dots 17)$$

$$d = 1,1 d_1 + 2,2 \dots \dots \dots 18)$$

Sonst gelten wieder die Whitworthschen Formeln; nur ist hier die Höhe der Mutter:

$$h = 1,5 d \dots \dots \dots 19)$$

e) Trapezgewinde (s. Taf. 1).

Der Gewindequerschnitt ist ein rechtwinklig gleichschenkliges Dreieck.

Der Kantenwinkel folglich 45°.

Daher:

$$t_0 = s \dots \dots \dots 20)$$

$$t = 0,75 t_0 \dots \dots \dots 21)$$

$$s = \frac{2}{15} d \dots \dots \dots 22)$$

$d$  ist nach Formel 18) zu bestimmen.

f) Mehrfaches Gewinde.

Man erhält mehrfaches Gewinde, wenn die Steigung einer Schraube größer ist als  $2t$ , wenn also die

Steigung in keinem Verhältnis zum Durchmesser der Schraube steht. Und zwar erhält man doppeltes Gewinde, wenn  $\frac{s}{t} = 4$ , dreifaches, wenn  $\frac{s}{t} = 6$  ist.

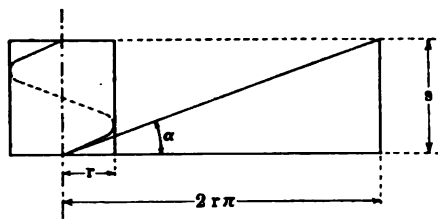
In solchen Fällen bestimmt man die Gewindetiefe aus dem Durchmesser und macht:

$$t = \frac{1}{7} \text{ bis } \frac{1}{8} d \quad \dots \quad 23)$$

## II. Bewegungsschrauben (für Pressen und Schraubenwinden).

Wird nebenstehendes rechtwinkliges Dreieck so auf einen Cylinder gewickelt, daß die Grundlinie  $2r\pi$

Fig. 3.



zum Umfange wird, so wird die Hypotenuse zur Schraubenlinie und s ist die Steigung der Schraube.

Die Schraube ist also eine um einen Cylinder herumgelegte schiefe Ebene.

Zur Berechnung diene der mittlere Radius und die mittlere Steigung.

Denkt man sich die Last Q in Form eines Blockes auf den Gewindegang gelegt und durch eine Kraft P<sub>1</sub>

Fig. 4.

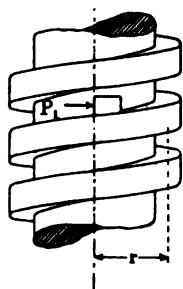
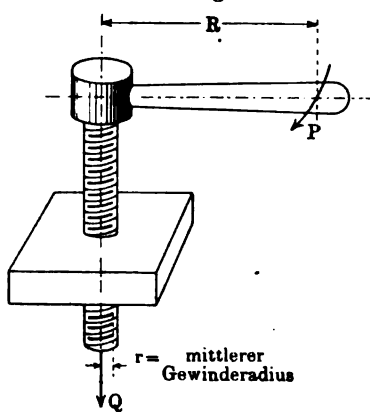


Fig. 5.



in die Höhe geschoben, so hat man den einfachen Fall der schiefen Ebene, bei welchem die Kraft zur Basis der schiefen Ebene parallel gerichtet ist.

Es ist dann nach der Mechanik:

$$P_1 = Q \cdot \operatorname{tg}(\alpha + \varphi) \quad \dots \quad 24)$$

wo  $\operatorname{tg} \varphi = \mu$  = Reibungskoeffizient ist.

$\varphi$  heißt der Reibungswinkel.

Diese Kraft hat in Bezug auf die Schraubenachse ein Moment:

$$M = P_1 \cdot r = Q \cdot r \cdot \operatorname{tg}(\alpha + \varphi) = P \cdot R \quad \dots \quad 25)$$

welches sich aber nur auf Hebung der Last und Reibung in der Mutter bezieht. Noch andere vorkommende Momente sind besonders zu berechnen und zu dem Werte der Formel 25) zuzuschlagen.

Soll die Last nicht heruntergehen, wenn die Kraft P aufhört zu drehen (soll also Selbsthemmung eintreten), so muß sein:

$$\alpha < \varphi.$$

Es ist für Schmiedeeisen oder Bronze:

$$\mu = \operatorname{tg} \varphi = 0,1 \div 0,15 \text{ (Reibflächen geschmiert).}$$

Für  $\varphi \sim 6$  bis  $\sim 8^\circ 31'$ ; also  $\alpha < 8^\circ 30'$ .

Der Wirkungsgrad  $\eta$  ergibt sich aus:

$$\eta = \frac{\text{Nutzarbeit}}{\text{wirklich nötige Arbeit}},$$

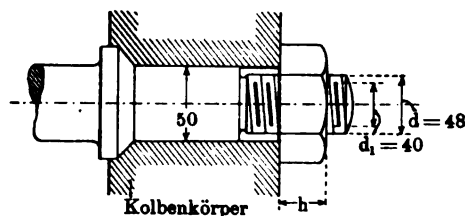
oder:

$$\eta = \frac{Q \cdot s}{P \cdot 2R\pi} = \frac{Q \cdot 2r\pi \cdot \operatorname{tg} \alpha}{Q \cdot \frac{r}{R} \cdot \operatorname{tg}(\alpha + \varphi) \cdot 2R\pi} = \frac{\operatorname{tg} \alpha}{\operatorname{tg}(\alpha + \varphi)} \quad \dots \quad 26)$$

### Beispiele.

1. Es ist die Zugbeanspruchung im Gewinde einer Kolbenstange aus Flußstahl sowie die Höhe der Kolbenmutter zu bestimmen. Die Zug- und Druckkraft in der Kolbenstange sei  $P = 5000 \text{ kg}$ . Vorhandene Maße s. Fig. 6.

Fig. 6.



Nach Formel 1) wird:

$$P = \frac{d_1^2 \pi}{4} \cdot k_s; k_s = \text{zulässige Beanspruchung im Gewinde,}$$

also:

$$5000 = \frac{40^2 \pi}{4} \cdot k_s$$

$$k_s = \frac{5000}{1256,6} = \sim 4 \text{ kg pro qmm} = 400 \text{ kg pro qcm,}$$

also zulässig, da hier  $k_s = 400 \div 500 \text{ kg pro qcm}$  sein kann. Nimmt man die Höhe der Kolbenmutter



zu  $h = 40$  mm an ( $h = d$ ), so wird nach Formel 13) die Steigung

$$s = 1,208 \sqrt{d + 16} = 4,43$$

oder:

$$s = 1,208 \sqrt{48 + 16} = 4,43 \approx 5,2 \text{ mm,}$$

also die Anzahl der Gänge in der Mutter:

$$n = \frac{h}{s} = \frac{40}{5,2} = 7,7.$$

Für den Flächendruck ergibt sich nun

$$P = \left( \frac{d^2 \pi}{4} - \frac{d_1^2 \pi}{4} \right) \cdot n \cdot k_d; k_d = \text{zulässige Spannung,}$$

also:

$$5000 = \left( \frac{48^2 \pi}{4} - \frac{40^2 \pi}{4} \right) 7,7 k_d,$$

und hieraus  $k_d = 1,21$  kg pro qmm, also zulässig, da  $k_d$  der Sicherheit wegen hier kleiner als 150 kg pro qcm sein soll.

## 2. Berechnung von Schrauben eines Cylinderdeckels.

Es sei:

- $i$  = Anzahl der Schrauben,
- $D$  = Kolbendurchmesser,
- $e$  = Schraubenentfernung  $< 150$  mm,
- $b$  = Dichtungsfläche,
- $p$  = Überdruck in Atmosphären,
- $1,5 p$  = Flüssigkeitsüberdruck.

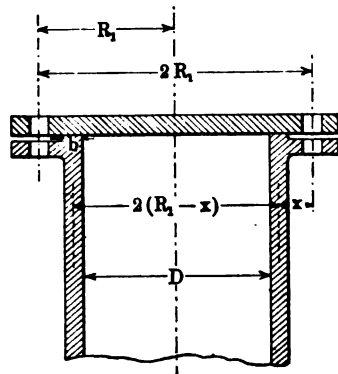
Dann ist

$$i = \frac{D \text{ in cm}}{8} + 4 \quad \dots \quad a)$$

Die Entfernung der Schrauben voneinander sei nicht größer als 150 mm.

Wird jede Schraube mit  $P$  kg angezogen, so ist die

Fig. 7.



Schraubenkraft  $i \cdot P$ ; diese muß gleich sein Dampfdruck + Dichtungsfläche-Überdruck, demnach:

$$i \cdot P = \frac{D^2 \pi}{4} \cdot p + (R_1 - x) \pi \cdot b \cdot 1,5 p \quad \dots \quad b)$$

Es sind hiernach die Schrauben für einen Cylinderdeckel nach Fig. 34, Taf. 7 zu berechnen.

Gegeben ist:

$$\begin{array}{l|l} D = 370 \text{ mm,} & R_1 = 247 \text{ mm,} \\ p = 7 \text{ atm. Überdruck,} & x = 44,5 \text{ mm.} \\ b = 20 \text{ mm,} & \end{array}$$

Nach Formel a) wird:

$$i = \frac{37}{8} + 4 = 8,6 \sim 10 \text{ Schrauben.}$$

Nach Formel b) wird:

$$10 P = \frac{37^2 \pi}{4} \cdot 7 + 2(24,7 - 44,5) \pi \cdot 2 \cdot 1,5 \cdot 7,$$

oder:

$$10 P = 7526 + 2540 = 10066$$

$$P = \frac{10066}{10} = 1006 \text{ kg.}$$

Nimmt man die Spannung  $k_s = 3$  kg, so wird nach Formel 1) der Kerndurchmesser der Schraube:

$$\begin{aligned} d_1 &= 0,65 \sqrt{P} = 0,65 \sqrt{1006} = 21 \sim 23 \text{ mm} \\ &= \frac{7''}{8} \text{ nach Tabelle.} \end{aligned}$$

## 3. Berechnung einer Schraubenwinde (siehe Fig. 26, Taf. 5).

Die Maximaltragfähigkeit soll  $Q = 10000$  betragen. Wie werden die Abmessungen von Schraube, Mutter und Gestell, wenn die Schraube aus Schmiedeeisen (Flusseisen) und die Mutter aus Gufseisen hergestellt ist?

Nach Formel 1) wird der Kerndurchmesser der Schraubenspindel, wenn die Spannung  $k_s = 3,5$  kg genommen wird ( $k_s = 3 \div 4$  kg pro qmm bei Flusseisen)

$$\frac{d_1^2 \pi}{4} \cdot 3,5 = 10000$$

$$\frac{d_1^2 \pi}{4} = \frac{10000}{3,5}$$

Hieraus:

$$d_1 = 60,4 \sim 60 \text{ mm.}$$

Nimmt man die Gewindetiefe

$$t = \frac{d_1}{8} = \frac{60}{8} = 7,5,$$

so wird der äußere Gewindedurchmesser

$$d = d_1 + 2t = 60 + 2 \cdot 7,5 = 75 \text{ mm,}$$

und der mittlere Gewinnradius

$$r = \frac{d_1 + t}{2} = \frac{60 + 7,5}{2} = 33,75 \text{ mm.}$$

Nimmt man ferner den Steigungswinkel

$\alpha = 4^\circ 20'$  (für Selbsthemmung und daß  $s = 2t$  wird),  
so beträgt die Steigung des Gewindes (s. Fig. 3, Text):

$$s = 2r\pi \cdot \operatorname{tg} \alpha = 2 \cdot 33,75 \pi \cdot 0,076 = 16,06 \text{ mm,}$$

wofür

$$s \sim \frac{5''}{8} = 15,87 \text{ mm}$$

genommen wird.

Die Druckfläche eines Gewindeganges beträgt etwa:

$$2r\pi \cdot t = 2 \cdot 33,75 \cdot \pi \cdot 7,5 \sim 1585 \text{ qmm.}$$

Die Flächenpressung kann hier (wegen des langsamen Ganges) etwa 0,75 kg pro qmm betragen (siehe Zapfen), damit wird die ganze notwendige Druckfläche

$$\frac{Q}{0,75} = \frac{10000}{0,75} = 13333 \text{ qmm.}$$

Zu dieser Fläche sind dann

$$n = \frac{13333}{1585} = 8,4$$

Gewindegänge erforderlich.

Da nun die Steigung  $s = 15,87 \text{ mm}$  war, so muß die Mutterhöhe

$$h = n \cdot s = 8,4 \cdot 15,87 = 133,3 \text{ mm}$$

betragen.

Man nehme praktisch  $h = 2d$ , also hier  $h = 2 \cdot 75 = 150 \text{ mm}$ .

Gestell und Schlitten sind aus Schmiedeeisen und können nach Zeichnung, Fig. 26, ausgeführt werden.

Schließlich hätte man für einen Reibungskoeffizienten

$$\mu = \operatorname{tg} \varphi = 0,12.$$

also für

$$\varphi = 6^\circ 50'$$

den Wirkungsgrad:

$$\eta = \frac{\operatorname{tg} \alpha}{\operatorname{tg} (\alpha + \varphi)} = \frac{\operatorname{tg} 4^\circ 20'}{\operatorname{tg} (4^\circ 20' + 6^\circ 50')} = \frac{0,076}{0,197} \sim 0,4.$$

Ist noch der Hebelarm  $R = 970 \text{ mm}$  genommen, so wird die zum Heben der Maximallast erforderliche Kraft nach Formel 25):

$$P = Q \cdot \frac{r}{R} \cdot \operatorname{tg} (\alpha + \varphi) = 10000 \cdot \frac{33,75}{970} \cdot \operatorname{tg} 11^\circ 10' \\ = P \sim 68,5 \text{ kg.}$$

Nimmt man nun die Kraft eines Arbeiters am Ratschenhebel bis 34 kg an, so sind

$$\frac{68,5}{34} \sim 2 \text{ Mann}$$

zum Heben dieser Last erforderlich.

4. Wie viel Schrauben sind erforderlich, um eine Strapse an eine Schubstange aus Fichtenholz (bei Sägegattern) zu befestigen, wenn die Zugkraft in der Schubstange  $P = 2500 \text{ kg}$  beträgt, und wie groß ist die Entfernung  $e$  der Schrauben untereinander? (siehe Fig. 43, Taf. 8).

In diesem Falle wirkt die Zugkraft  $P$  nicht in der Achsrichtung der Schrauben und sind die Schrauben so zu berechnen, daß durch die Anziehung der Schraubenmutter die Reibung zwischen dem unbearbeiteten eisernen Strapsenbügel und der hölzernen Schubstange so groß wird, daß dieselbe der Zugkraft  $P = 2500 \text{ kg}$  widersteht.

Ist wieder

$d_1$  = Kerndurchmesser der Schraube,

$i$  = Anzahl der Schrauben,

$\mu = 0,2$  = Reibungskoeffizient für Eisen auf Holz,

so hat man die Kraft zum Anziehen der Schraubenmuttern

$$i \cdot \frac{d_1^2 \pi}{4} \cdot k_s.$$

Diese Kraft ist der Normaldruck zur Reibfläche.

Nach der Mechanik ist nun

Reibung = Normaldruck  $\times$  Reibungskoeffizient,  
folglich ist die

$$\text{Reibung} = i \cdot \frac{d_1^2 \pi}{4} \cdot k_s \cdot \mu.$$

Da durch das Anziehen der Schraubenmuttern hier die Reibung auf zwei Flächen auftritt, so ist bei diesem Beispiel

$$\text{Reibung} = 2 \cdot i \cdot \frac{d_1^2 \pi}{4} \cdot k_s \cdot \mu.$$

Diese Reibung soll groß genug sein, der Zugkraft  $P$  zu widerstehen, mithin

$$P \leq 2 \cdot i \cdot \frac{d_1^2 \pi}{4} \cdot k_s \cdot \mu \quad \dots \quad a)$$

Nimmt man  $k_s = 4,5 \text{ kg pro qmm}$  und wählt eine Schraubenstärke  $d = 22 \text{ mm}$ , also  $d_1 = 18 \text{ mm} = \frac{7''}{8}$

nach Tabelle (die Schraubenstärke werde nicht unter  $\frac{5''}{8}$  genommen, damit der Bügel gut angepresst wird) so ergibt sich aus Formel a) die Schraubenzahl

$$i \geq \frac{4 \cdot P}{2 d_1^2 \pi \cdot k_s \cdot \mu} \geq \frac{4 \cdot 2500}{2 \cdot 18^2 \cdot 3,14 \cdot 4,5 \cdot 0,2} = 5,46$$

$i \sim 6$  Schrauben.

Die Entfernung  $e$  der Schrauben untereinander ergibt sich bei einer Flächenpressung  $k = 0,25 \div 0,30$  kg pro qmm aus der Gleichung:

$$P' \leq b \cdot e \cdot k \quad . . . . . b)$$

$P'$  ist hierbei die Zugkraft einer Schraube; letztere ergibt sich nach Formel a) zu:

$$\frac{d_1^2 \pi}{4} \cdot k_s = \frac{P}{i \cdot \mu \cdot 2} = P',$$

oder:

$$P' = \frac{2500}{6 \cdot 0,2 \cdot 2} \sim 1040 \text{ kg.}$$

Wählt man  $k = 0,27$  kg und ist die Breite des Bügeleisens  $b = 60$  mm, so erhält man aus Formel b) die Schraubenentfernung

$$e \geq \frac{P'}{b \cdot k} = \frac{1040}{60 \cdot 0,27} = 64,2 \text{ mm.}$$

Damit beim Anziehen der Muttern der Schraubenschlüssel gut Platz hat, sei  $e = 70$  mm genommen.

Prüft man schließlich noch diese Verbindung auf Abscherung, so hat man als abzuschneidenden Querschnitt:

$$F = 2 \cdot h_m \left[ \sum (e - d) + x \right],$$

mithin muß sein:

$$P = 2 \cdot h_m \cdot \left[ \sum (e - d) + x \right] \cdot k_s \quad . . . c)$$

Die zulässige Scherspannung kann hier  $k_s = 0,07 \div 0,1$  kg pro qmm betragen.

Setzt man in Formel c) die Werte ein und ist die mittlere Höhe  $h_m = 90$  mm und  $x = 70$  mm, so ergibt sich:

$$2500 = 2 \cdot 90 \left[ 5 (70 - 22) + 70 \right] \cdot k_s.$$

Hieraus:

$$k_s = \frac{2500}{2 \cdot 90 \cdot 310} \sim 0,045 \text{ kg pro qmm.}$$

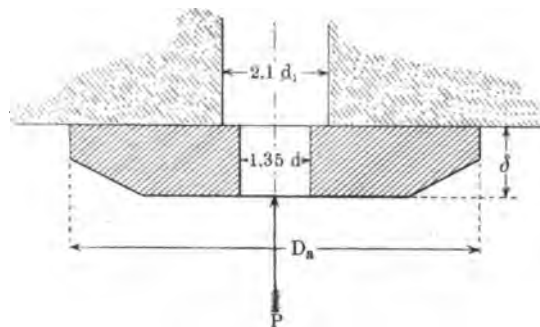
Dieser Wert ist zulässig. Der Keil kann bei dieser Konstruktion nach dem Eintreiben durch Aufspalten desselben gesichert werden.

5. Es ist die Ankerplatte nach Fig. 33, Taf. 6 zu berechnen.

Die in der Zeichnung eingetragenen Verhältnisse ergeben sich wie folgt:

Für die Flächenpressung

Fig. 8.



zwischen Quader und Ankerplatte ist höchstens 0,1 kg pro qmm zu setzen, man hat daher die Gleichung:

$$P = \left[ \frac{D_a^2 \pi}{4} - (2,1 d_1)^2 \cdot \frac{\pi}{4} \right] \cdot 0,1,$$

oder, da bei 3 kg Zugspannung der Schraube dieselbe nach Gleichung 2) eine Zugkraft  $P = 2,36 d_1^2$  kg aufnimmt, folgt:

$$2,36 d_1^2 = \frac{\pi}{4} \left[ D_a^2 - 4,41 d_1^2 \right] \cdot 0,1.$$

Hieraus ergibt sich der Durchmesser:

$$D_a = 6,8 d_1 \sim 7 d_1.$$

Die Stärke  $\delta$  kann nur annähernd gefunden werden. Man nehme dieselbe  $\delta = 1,2 d$  oder  $\sim 1,4 d_1$ .





## Nieten und Nietverbindungen.

Die Nietungen zerfallen

1. in solche, welche nur fest sein sollen (Eisenkonstruktionen),
2. in solche, welche fest und dicht sein sollen (an Dampfkesseln, überhaupt Gefäßen unter hohem innerem Druck),
3. in solche, welche nur dicht sein sollen (an Wasserbehältern).

Bei den Nietverbindungen werden Ecken und Kanten hergestellt durch Umbördeln des Bleches oder durch Zwischennieten von L-Eisen. Die mittlere Stärke des L-Eisens nehme man möglichst gleich der Blechstärke. L-Eisen und T-Eisen werden auch häufig zur Versteifung größerer Flächen aufgenietet.

Die Verhältnisse der deutschen Normalprofile für Walzeisen befinden sich in Tabellen im letzten Teile dieses Werkes.

Statt starker I-Träger wendet man häufig auch zusammengenietete Träger an, s. Fig. 52, Taf. 10. Die Kastenträger, Fig. 50, Taf. 9, finden Verwendung, wenn bei einer gewissen Belastung der Träger in Rücksicht auf die Räumlichkeit nur eine bestimmte Höhe haben darf.

Die Schüsse genieteter Rohre (Kessel) werden bis zu einem Durchmesser von 1,2 m aus einer Blechtafel gebogen. Größere Durchmesser werden hergestellt durch Zusammennieten mehrerer Blechtafeln (s. Fig. 62 u. 63, Taf. 11 u. 12).

Fig. 62, Taf. 11 zeigt einen cylindrischen Kesselschufs mit gewölbtem Boden. Fig. 66, Taf. 12 zeigt den Oberteil eines Schiffsdampfkessels mit ebenem Boden. Im allgemeinen wendet man jedoch ebene Kesselböden selten an, da dieselben großem Druck schlecht zu widerstehen vermögen. Sie müssen daher auch verankert werden. Letzteres geschieht durch angenietete Blechanker oder durchgehende Bolzen, wie Fig. 66, Taf. 12 zeigt.

Schneider, Maschinen-Elemente.

Die Kesselböden werden in den Walzwerken durch hydraulische Pressen gebogen und von den Werken fertig geliefert.

Fig. 72, Taf. 14 und 15 zeigt einen cylindrischen Wasserbehälter, dessen Boden die Gestalt eines Kugelabschnittes hat. Diese Konstruktion findet vorteilhafte Anwendung bei Wasserthürmen, überhaupt, wenn größere Flüssigkeitsmengen in Behältern aufbewahrt werden sollen.

Werden in Rücksicht auf bauliche Verhältnisse kastenförmige Behälter zur Aufnahme größerer Mengen Flüssigkeiten verwendet, so müssen dieselben besonders stark verankert werden, da sie andernfalls dem Flüssigkeitsdruck nicht stand halten.

Zur Aufnahme kleiner Flüssigkeitsmengen sind kastenförmige Behälter aber auch ganz vorteilhaft (s. Fig. 73, Taf. 14 und 15, s. auch S. 15).

Eine Verankerung durch Schraubenbolzen zeigt Fig. 74, Taf. 14 und 15.

Damit sich die Flüssigkeit nicht durch die Gewindgänge des Schraubenbolzens hindurchzwängen kann, werden die Gewindgänge vor dem Aufschrauben der Mutter mit Mennige bestrichen. Ebenso wird zur Dichtung unter die Unterlegscheibe Gummi oder mit Mennige getränkte Leinwand gelegt.

Normalpreise für Bleche, aufgestellt vom Verbands der Deutschen Grobblech-Walzwerke.

Bleche aus Flußeisen.

Bei einer Dicke von	5 bis unter 6 mm	6 bis unter 7 mm	7 bis unter 8 mm	8 bis unter 9 mm	9 bis unter 10 mm	10 mm und darüber
Breite und Durchmesser in mm . .	1500	1600	1700	1800	1900	2000
Fläche in qm . . .	5,5	6	6,5	7	7,5	8
Gewicht in kg . . .	500	600	700	800	900	1000

### Bleche aus Schweifseisen.

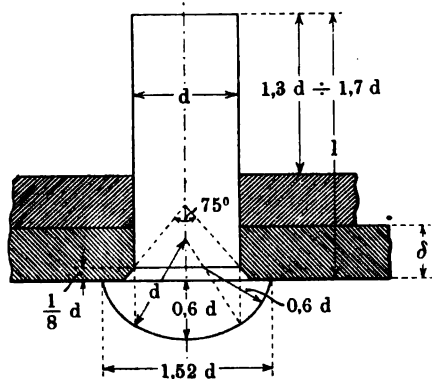
Bei einer Dicke von	5 bis unter 7 mm	7 bis unter 10 mm	10 mm und darüber
Breite bei rechteckigen Platten in mm . . .	1500	1700	1700
Fläche bei rechteckigen Platten in qm . . . .	4,5	6	6
Durchmesser bei runden Platten in mm . . . .	1600	1800	1900
Gewicht in kg . . . . .	500	500	500

### Der Nietbolzen.

Der Nietbolzen besteht aus Schaft und Kopf. Die Länge des Schaftes zwischen den Köpfen muß kleiner als  $4d$  sein, weil sich sonst nicht der ganze Nietbolzen anstaucht, sondern zum Teil liegt.

Fig. 9 zeigt die Gestalt eines Nietes vor der Vernietung. Der Setzkopf zeigt eine annähernd halb-

Fig. 9.



kugelförmige Gestalt. Der Schließkopf erhält dieselbe Form und wird angestaucht an Ort und Stelle der Verwendung. Die Kopfform nach Fig. 9 wird nur für feste Verbindungen angewendet.

Fig. 10.

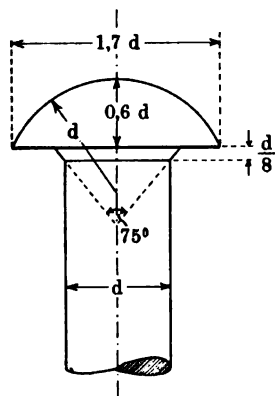


Fig. 11.

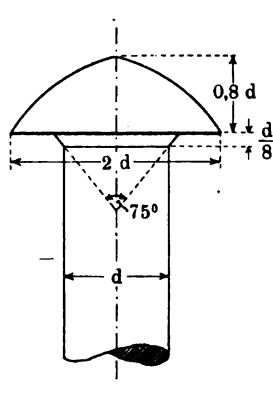


Fig. 10 zeigt eine Kopfform für dichte und feste Verbindungen. Fig. 11 eine konoidische, mit dem Gesenk gestaltete. Wird der Schließkopf mit dem

Handhammer gebildet, so erhält der Kopf das Aussehen der Fig. 12.

Fig. 13 zeigt den versenkten Kopf. Derselbe wird angewendet, wenn vorstehende Köpfe vermieden werden sollen.

Fig. 12.

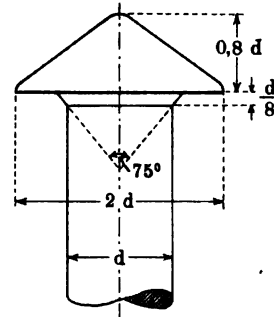
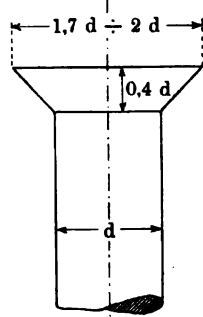


Fig. 13.



Macht man die Öffnung der Matrize um ein Viertel Blechdicke größer als das Kaliber des Stempels an der Lochstanze, so erhält nach Versuchen v. Reichen das Blech beim Stanzen ein glattes, konisches Loch (s. Fig. 14).

Fig. 14.

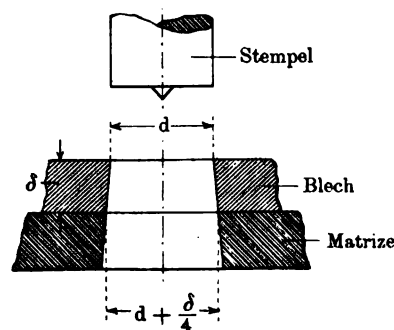
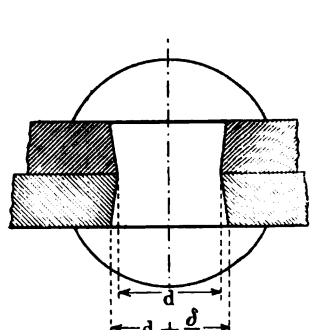


Fig. 15.

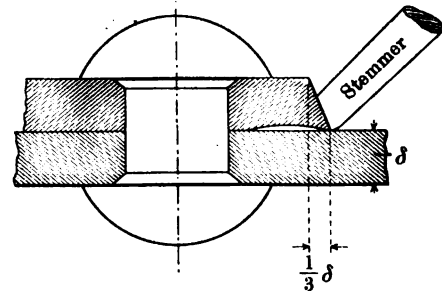


Eine so hergestellte Nietung zeigt die Form der Fig. 15.

Zur Bildung des Schließkopfes muß eine Schaftlänge von  $1,3d \div 1,7d$  aus dem Loche hervorsehen (s. Fig. 9).

Bei Nietverbindungen, welche dicht sein sollen, ist der Rand der Bleche und meistens auch der der Nietköpfe fest anzustemmen (s. Fig. 16). Zu diesem Zwecke

Fig. 16.



schrägt man die Bleche um ein Drittel ihrer Stärke ab, wie Fig. 16 zeigt.

Das Bohren der Löcher ist dem Stanzen derselben vorzuziehen, namentlich bei Flußeisen, da letzteres beim Lochstanzen häufig aufreißt.

Kleinere Niete werden kalt vernietet. Niete von mehr als 12 mm Durchmesser warm.

Die Vernietung durch Maschinen (hydraulische Pressen) hat gegenüber der Handnietung den Vorteil der Schnelligkeit, wodurch auch die Festigkeit des Nietes wesentlich erhöht wird.

Verhältnisse der festen (Eisenkonstruktionen), sowie der festen und dichten Vernietungen (Dampfkessel u. s. w.).

#### Der Nietdurchmesser $d$ .

Der Nietdurchmesser hängt ab von der Blechstärke  $\delta$ .

Man nehme nach v. Reiche:

$$\left. \begin{aligned} d &= 3 + \frac{5}{8} \delta \text{ (wenn } \delta \leq 10 \text{ mm)} \\ d &= 16 + 0,4 \delta \text{ (wenn } \delta > 10 \text{ mm)} \end{aligned} \right\} \dots 27)$$

Für Dampfkesselnietungen sind auch noch besondere Formeln aufgestellt (Hamburger Normen).

Z. B. hat man auch für Dampfkesselnietungen nach Lemaitre bei einreihiger Nietung:

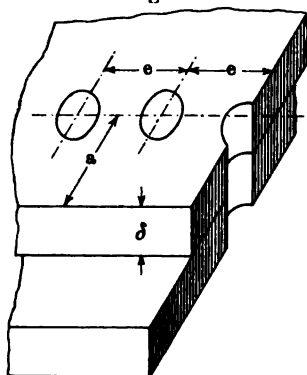
$$d = 4 + 1,5 \delta \dots 28)$$

Eigentlich muß der Nietdurchmesser sich richten nach dem Zwecke der Naht und man nimmt  $d$  verhältnismäßig schwach, wenn die Naht dicht werden soll, stärker, wenn die Naht fest werden soll. Man mache  $d$  nicht unter  $1,5 \delta$  und nicht über  $2,5 \delta$ .

#### Die Nietteilung.

Bezeichnet:

Fig. 17.



- $e$  = Entfernung von Mitte zu Mitte Nietbolzen, parallel zur Blechwand gemessen,
- $n$  = Anzahl der hintereinander stehenden Nietreihen,
- $z$  = Anzahl der Querschnitte, in welchen ein Niet zerschert werden müßte,
- $d$  = Nietdurchmesser,

so richtet man es, namentlich bei fester Naht, am günstigsten so ein, daß Blech und Niete gleiche Festigkeit haben, d. h. daß bei etwaiger Zerstörung des Nietes auch die Bruchgrenze des Bleches erreicht wird.

Eine Zerstörung der Naht kann eintreten<sup>1)</sup>:

1. dadurch, daß die Nietbolzen abgescheret werden,
2. dadurch, daß das prismatische Stück Blech vor jedem Nietbolzen herausgeschoben wird, und
3. dadurch, daß das Blech zwischen je zwei Nietbolzen zerrissen wird.

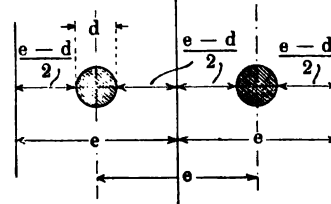
Fall 2 kommt am seltensten vor und kann vernachlässigt werden (s. seine Betrachtung bei der Randbreite  $a$ ).

Nach Fall 1 und 3 muß der Nietquerschnitt multipliziert mit seiner Scherfestigkeit gleich der Bruchstelle des Blechstreifens, multipliziert mit der Zugfestigkeit sein. Die Scherfestigkeit ist um  $\frac{1}{6}$  = 0,8 geringer als die Zugfestigkeit.

Da man aber zu Nietbolzen das beste Eisen verwendet, so kann man die Spannungen annähernd gleich setzen, es brauchen also dann nur die beanspruchten Flächen einander gleich zu sein.

Mithin ist nach Fig. 18:

Fig. 18.



$$\frac{d^2 \pi}{4} = (e - d) \delta,$$

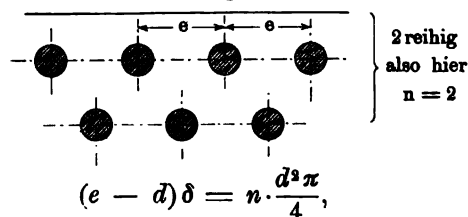
woraus

$$e = \frac{d^2 \pi}{4 \delta} + d.$$

Diese Gleichung gilt für einreihige, einschnittige Naht.

Besteht die Nietung aus  $n$  Reihen, so geht die Gleichung über in folgende:

Fig. 19.



$$(e - d) \delta = n \cdot \frac{d^2 \pi}{4},$$

<sup>1)</sup> Nach neueren Versuchen von Bach tritt eine Zerstörung der Nietnaht erst ein, wenn der Gleitungswiderstand der Bleche nicht groß genug ist, das Gleiten derselben zu verhindern. Der warm eingezogene Nietschaft liegt beim Erkalten nicht ganz an und kommt daher eine Abscherung erst in zweiter Linie in Frage. Da aber für die verschiedenen Nietverbindungen die Größe der Gleitungswiderstände noch nicht hinreichend bekannt ist und erfahrungsgemäß die durch die folgenden Formeln ausgedrückten Werte einen genügend großen Gleitungswiderstand ergeben, ist die Berechnung der Niete auf Scherfestigkeit durchgeführt.

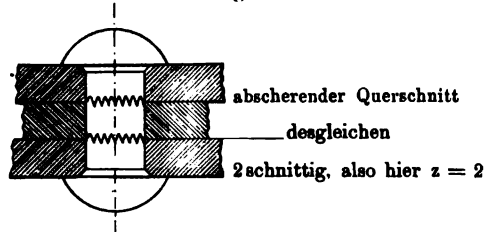


woraus

$$e = n \cdot \frac{d^2 \pi}{4 \delta} + d.$$

Mufs bei einer Zerstörung der Niete jeder einzelne in  $z$  Querschnitten zerschnitten werden, so lautet die Gleichung:

Fig. 20.



$$(e - d) \delta = z \cdot \frac{d^2 \pi}{4},$$

woraus

$$e = z \cdot \frac{d^2 \pi}{4 \delta} + d.$$

Ist beides der Fall, besteht also eine Nietung aus  $n$  Reihen und mufs jeder Niet in  $z$  Querschnitten zerschnitten werden, so erhält man die allgemeine Festigkeitsgleichung für  $e$ :

$$e = n \cdot z \cdot \frac{d^2 \pi}{4 \delta} + d \quad \dots \quad 29)$$

In dieser allgemeinen Formel ist also bei zweischnittiger Naht  $z = 2$ , bei dreischnittiger  $z = 3$ ; bei zweireihiger  $n = 2$  u. s. w. zu setzen.

Man bestimmt jedoch  $e$  nicht immer in der Praxis nach dieser Festigkeitsgleichung, sondern macht z. B. bei Dampfkesselnietungen nach v. Reiche:

$$e = 4 + \frac{1}{3} d \text{ für einschnittige Naht,}$$

$$e = 8 + 3,66 d \text{ für zweischnittige Naht,}$$

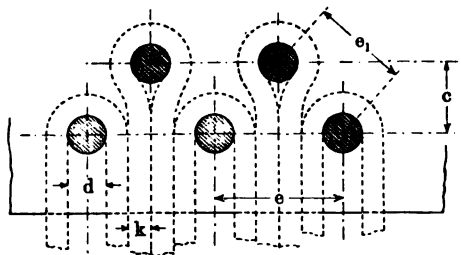
oder nach Lemaitre:

$$e = 10 + 2d = 18 + 3 \delta \text{ für die einreihige, einschnittige Naht,}$$

$$e = 20 + 3d = 32 + 4,5 \delta \text{ für die zweireihige Naht.}$$

Die Nietreihenentfernung voneinander bei mehrreihiger Naht läfst sich am besten nach der Schwedlerschen Methode feststellen. Man denkt sich nämlich jeden Nietbolzen von einem besonderen Blechstreifen gehalten, welcher um ihn herumgeschlungen ist.

Fig. 21.



Ist

$k$  = Breite eines solchen Streifens,

so ist

$$k = \frac{e - d}{4}.$$

Wie nun aus der Figur hervorgeht, mufs die schräge Entfernung zweier Niete

$$e_1 \geq 2k + d$$

sein, oder, den Wert für  $k$  eingesetzt:

$$e_1 \geq \frac{2(e - d)}{4} + d \geq \frac{e - d}{2} + d,$$

oder

$$e_1 \geq \frac{e + d}{2} \quad \dots \quad 30)$$

Damit die Nietköpfe aber bequem Platz haben, mufs  $e_1$  mindestens  $= 2d$  sein.

Man nehme daher:

$$e \geq 2d + 5 \quad \dots \quad 30a)$$

#### Die Randbreite $a$ .

Wenn das prismatische Stück Blech vor dem Nietbolzen herausgeschoben würde, so hätte der abgeschnittene Querschnitt die Gröfse

Fig. 22.

$$F = 2a \cdot \delta.$$

Es müfste nun dieser Querschnitt multipliziert mit der Scherspannung des Bleches gleich dem Querschnitt des Nietbolzens multipliziert mit der Scherspannung desselben sein. Man kann hier aber die Spannung wieder vernachlässigen und erhält also:

$$2a \delta = \frac{d^2 \pi}{4},$$

woraus

$$a = \frac{d^2 \pi}{8 \delta}.$$

Hieraus ergibt sich aber gewöhnlich  $a$  kleiner als  $d$ . Da man  $a$  gröfser nehmen mufs, damit die Nietköpfe auch Platz haben, wird dieser Fall also schwerlich eintreten.

Man wähle:

$$a \geq 1,5 d \quad \dots \quad 31)$$

#### Festigkeit der Nietnaht.

Unter dem Festigkeitsverhältnis versteht man den Quotienten aus dem Querschnitt der Nietnaht II und dem des vollen Bleches I (s. Fig. 23).

$$\text{Querschnitt bei I: } F_I = e \cdot \delta,$$

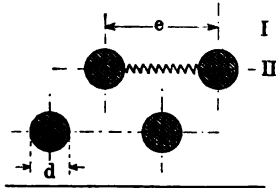
$$\text{" " II: } F_{II} = (e - d) \delta,$$

also

$$\frac{F_{II}}{F_I} = \frac{(e-d)\delta}{e\delta} = \frac{e-d}{e} \quad . . . \quad 32)$$

Die gebräuchlichsten Arten der Nietungen zeigen die Figuren 53 bis 59, Taf. 10 u. 11.

Fig. 23.



Bei der einseitigen Laschennietung müßte theoretisch die Laschenstärke  $s$  gleich der Blechstärke  $\delta$  sein; bei der zweiseitigen gleich  $\frac{\delta}{2}$ . Weil jedoch bei etwas schiefer Belastung die eine Lasche etwas mehr als die Hälfte der ganzen Last aufnehmen muß, macht man die Laschen etwas stärker und zwar die der einseitigen Laschennietung:

$$s_1 = \frac{9}{8} \delta \quad . . . . . 33)$$

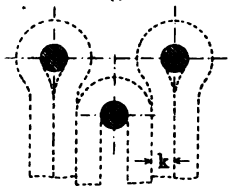
die der zweiseitigen Laschennietung:

$$s_2 = 1 + 0,55 \delta \quad . . . . . 34)$$

#### Stabnietung.

Eine Stabnietung ist wohl immer Festnietung. Zur Konstruktion derselben diene wieder die Schwedlersche Methode. Man denkt sich nämlich den Stab oder den Blechstreifen in lauter einzelne Streifen von der Breite  $k$  zerschnitten, welche die Nietbolzen umschlingen.

Fig. 24.



Nach der Figur gehört nun zu jedem Niet ein Doppelstreifen Blech und es muß dieser genau so viel tragen als das Niet.

Es muß demnach, wenn man die Scherspannungen wieder gleich setzt, für die einschnittige Nietnaht sein:

$$\frac{d^2 \pi}{4} = 2 k \delta,$$

woraus:

$$k = \frac{d^2 \pi}{8 \delta} \quad . . . . . 35)$$

und für die zweischchnittige Nietnaht:

$$2 \cdot \frac{d^2 \pi}{4} = 2 k \delta,$$

woraus:

$$k = \frac{d^2 \pi}{4 \delta} \quad . . . . . 36)$$

Am besten zeigt sich die Lösung einer solchen Aufgabe in folgendem Beispiel:

Es habe ein zusammengenieteter Stab eine Last  $Q = 6000 \text{ kg}$  zu tragen bei einer gegebenen Blechstärke  $\delta = 7 \text{ mm}$ .

Man berechne zunächst aus dem gegebenen  $\delta$  den Nietdurchmesser  $d$  nach Formel 27):

$$d = 3 + \frac{5}{3} \delta = 3 + \frac{5}{3} \cdot 7 = 14,66 \sim 15 \text{ mm.}$$

Die zulässige Scherspannung des Nietes sei  $k_s$  <sup>1)</sup>  $= 5,5 \text{ kg pro qmm}$  genommen.

Es muß nun

$$Q = n \cdot \frac{d^2 \pi}{4} \cdot k_s$$

sein, wenn  $n$  = Anzahl der Nieten bedeutet.

Also:

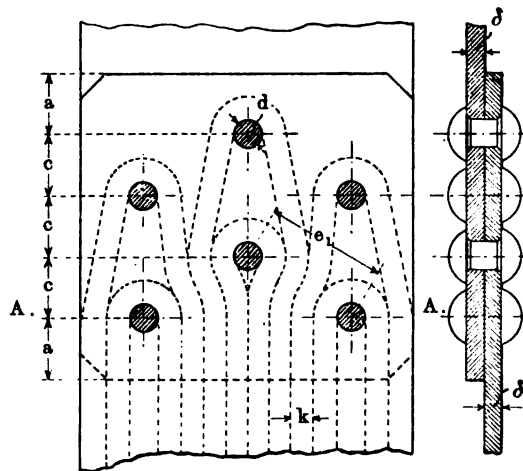
$$6000 = n \cdot \frac{15^2 \pi}{4} \cdot 5,5.$$

Hieraus:

$$n = \frac{4 \cdot 6000}{15^2 \cdot \pi \cdot 5,5} = 6,16 \sim 6 \text{ Nieten.}$$

Bei  $n = 6$  Nieten wäre  $k_s = 5,65 \text{ kg}$ , was noch zulässig ist. Diese 6 Nieten sind nun etwa wie Fig. 25 zeigt anzuordnen.

Fig. 25.



Aus Gleichung 35) ergibt sich nun die Breite eines Blechstreifens:

$$k = \frac{d^2 \pi}{8 \delta} = \frac{15^2 \pi}{8 \cdot 7} = 12,6 \text{ mm.}$$

Die ganze Breite des Bleches muß bei  $A$  offenbar am größten sein. An dieser Stelle würde diese Breite:

$$12 k + 2 d = 12 \cdot 12,6 + 2 \cdot 15 = 181,2 \text{ mm}$$

betragen.

<sup>1)</sup> Bei Berechnung solcher fester Konstruktionen, Baukonstruktionen (Brücken, Dächer u. s. w.) ist die zulässige Inanspruchnahme auf Zug und Druck  $k_z = 750 \text{ kg pro qcm}$  anzunehmen. Die zulässige Scherfestigkeit des Nietes also  $k_s = \frac{4}{5} \cdot 750 = 600 \text{ kg pro qcm}$ .

Man würde also die ganze Blechbreite etwa 183 mm nehmen.

Die Entfernung  $c$  nehme man nicht zu klein in Rücksicht auf die Festigkeit des Stabes.  $c_1$  nehme man so groß, daß die Streifen an den unteren Stellen bequem Platz haben, ohne zu sehr gedrückt zu werden.

Die Randbreite sei hier:

$$a \geq \frac{d}{2} + 2k \quad . \quad . \quad . \quad 37)$$

Die ganze Überlappungslänge ergibt sich bei berechnetem Beispiel zu  $3c + 2a$ .

### Vernietung sowie Abwicklung der Kesselbleche.

Der Nietdurchmesser kann nach Formel 27) oder 28), die Teilung nach Formel 29) bestimmt werden. Die Berechnung der Blechstärke hingegen ist Sache der Festigkeitslehre und wird im Dampfkesselbau angegeben. Die einzelnen Schüsse sind nun entweder cylindrisch ineinander geschoben nach Fig. 26 oder konisch nach Fig. 27.

Die Abwicklung eines cylindrischen Schusses ist sehr einfach. Bei konischen Schüssen jedoch müßte man die Spitze des Kegels aufsuchen und mit der Kegelseite als Radius die Abwicklung ausführen. Es wird aber hierbei der Radius immer so groß, daß

man den betreffenden Bogen (mit Zirkel) nicht verzeichnen kann. Man bestimmt sich daher die Pfeilhöhe und zeichnet den Bogen  $B$  und  $B_1$  (s. Fig. 29) mit Hülfe eines gebogenen Stabes.

Fig. 28 zeigt einen konischen Schuss im Längsschnitt (s. auch Fig. 63, Taf. 12). Fig. 29 zeigt die Abwicklung einer Platte.

Es bezeichne:

$B$  = Breite einer Platte, von Mitte zu Mitte Nietreihe, auf dem Umfang gemessen (s. auch Fig. 60 u. 64, Taf. 11 u. 12).

$D$  = lichter (innerer) Kesseldurchmesser,

$L$  = Länge der Platte zwischen den Rundnietreihen,

$L_1$  = axiale Länge der Platte,

$h$  und  $h_1$  = gesuchte Pfeilhöhen,

so wird:

$$\frac{D - D_1}{2} = \delta,$$

und

$$L^2 = L_1^2 + \delta^2.$$

Hieraus:  $L = \sqrt{L_1^2 + \delta^2}$ .

Bei Rohrdurchmessern über 1000 mm kann man den Unterschied zwischen  $L$  und  $L_1$  vernachlässigen, also

$$L = L_1$$

setzen.

Fig. 26.

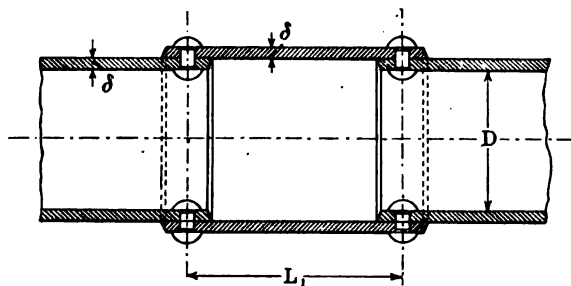


Fig. 27.

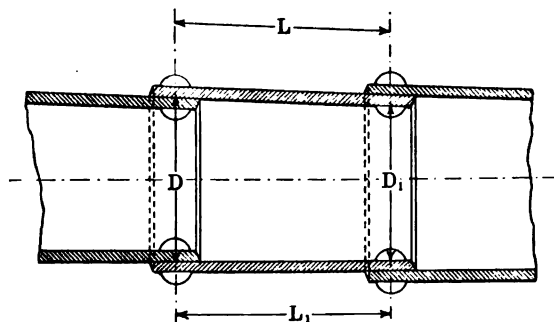


Fig. 28.

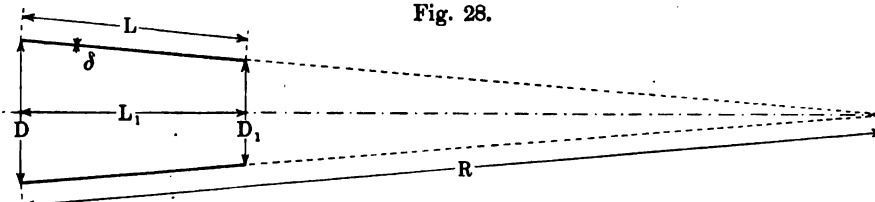
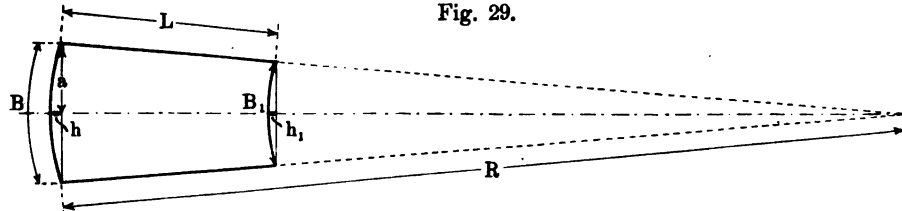


Fig. 29.



Bei einer Platte ist ferner:

$$B = (D + \delta)\pi \quad \text{und} \quad B_1 = (D - \delta)\pi.$$

Hierbei ist angenommen, daß beim Umbiegen des Bleches der äußere Teil sich etwas dehnt, während der innere sich zusammendrückt.

Besteht der Schuß aus  $n$  Platten, so ist:

$$\left. \begin{aligned} B &= \frac{(D + \delta)\pi}{n} \quad \text{und} \quad B_1 = \frac{(D - \delta)\pi}{n} \\ D &= D_1 + 2\delta \end{aligned} \right\} \dots 38)$$

Nach dem Pythagoreischen Lehrsatz folgt weiter:

$$R^2 = a^2 + (R - h)^2,$$

oder

$$\begin{aligned} R^2 &= a^2 + R^2 - 2Rh + h^2 \\ 2Rh &= a^2 + h^2 \\ h &= \frac{a^2 + h^2}{2R}. \end{aligned}$$

Da aber der Bogen sehr flach ist, ist die Pfeilhöhe  $h$  im Vergleich zu  $a$  sehr klein, noch mehr ist dies der Fall mit  $h^2$  im Vergleich zu  $a^2$ . Man läßt deshalb  $h^2$  im Zähler weg und erhält:

$$h = \frac{a^2}{2R}.$$

Bei einem so flachen Bogen kann man ferner  $a = \frac{B}{2}$  setzen. Demnach ist:

$$h = \frac{\left(\frac{B}{2}\right)^2}{2R} = \frac{B^2}{8R}.$$

Aus Figur 28 folgt die Proportion:

$$L : \delta = R : \frac{D}{2},$$

also

$$R = \frac{LD}{2\delta},$$

setzt man diesen Wert in den oben gefundenen für  $h$  ein, so ergibt sich die Pfeilhöhe:

$$\left. \begin{aligned} h &= \frac{B^2}{8 \cdot \frac{LD}{2\delta}} = \frac{B^2 \cdot \delta}{4LD} \\ \text{und} \quad h_1 &= \frac{B_1^2 \cdot \delta}{4LD} \end{aligned} \right\} \dots 39)$$

Wird noch statt  $B^2 = B \cdot B$  gesetzt und für das eine  $B$  der Wert aus Formel 38) eingeführt, so erhält man:

$$\left. \begin{aligned} h &= \frac{B(D + \delta)\pi \cdot \delta}{4n \cdot L \cdot D} \\ \text{ebenso} \quad h_1 &= \frac{B_1(D - \delta)\pi \cdot \delta}{4n \cdot L \cdot D} \end{aligned} \right\} \dots 40)$$

Formel 40) gilt also, wenn der Schuß aus  $n$  Platten besteht. Besteht der Schuß aus einer Platte, so ist nach Formel 39) zu rechnen.

Man trage bei der Aufzeichnung eines Schusses  $L_1$  bzw.  $L$  auf der Mittellinie auf, messe von den Endpunkten  $h$  und  $h_1$  ab, errichte noch auf denselben Punkten nach oben und unten Senkrechte  $a = \frac{B}{2}$

resp.  $\frac{B_1}{2}$  und verzeichne schließlich den Bogen  $B$  wie  $B_1$  durch die gefundenen drei Punkte mit Hilfe eines gebogenen Stabes. Der so gezeichnete Umriss der Platte bildet die Mittellinie der Nietreihen. Man hat also hierzu noch die Randbreite  $a$  (Formel 31) zuzugeben.

Die Längsnähte der aufeinander folgenden Schüsse sind mindestens um sechs Nietentfernungen gegeneinander zu versetzen. Die Längsnähte bei Flammrohren wenigstens um vier Nietteilungen.

**Nur dichte Nietverbindungen, für Blechgefäße, welche nur geringem Druck ausgesetzt sind, wie Wasserbehälter, genietete Röhren u. s. w.**

Meist erhalten solche Konstruktionen einreihige, einschnittige Nietnähte. Da wegen des geringen inneren Druckes die Blechstärke bei der Berechnung meist sehr klein ausfällt, hat man dieselbe in Rücksicht auf Abrosten nach Gefühl zu erhöhen oder man wählt dieselbe überhaupt gleich nach Gefühl und praktischen Erfahrungen.

Den Nietdurchmesser bestimme man alsdann wieder nach Gleichung 27).

Die Nietteilung kann hier sein:

$$t = 3d + 5 \dots 41)$$

Für Wasserbehälter (s. auch S. 9) dient zur Eckverbindung in der Regel L-Eisen. Die Stärke desselben sei wenigstens gleich der Blechdicke. Die Schenkelänge etwa

$$2a + \text{Schenkelstärke}.$$

Die Berechnung eines Wasserbehälters s. Beispiele.

Bei schwachwandigen Blechgefäßen müssen die Nähte besonders gedichtet werden, am besten durch zwischengelegte Leinwand, welche mit Mennige getränkt ist.

In dieser Weise werden hauptsächlich Gasometer gedichtet, bei welchen 7 mm Nietdurchmesser, 25 mm Teilung und 13 mm Randbreite gebräuchlich ist.

#### Beispiele.

1. In einem Bremsbande nach Fig. 46, Taf. 9, herrscht eine Zugspannung  $T = 700 \text{ kg}$ .



Es sollen die Dimensionen des Bremsbandes, sowie Anzahl und Durchmesser der Niete bestimmt werden. Ferner ist der Durchmesser  $d_0$  des Bolzens und der Durchmesser  $d_a$  des Scharnierauges zu berechnen.

Nach der Formel für die Zugfestigkeit ist

$$T = b \cdot \delta \cdot k_z.$$

Nimmt man ein stählernes Bremsband, so kann  $k_z = 7 \text{ kg pro qmm}$  gesetzt werden. Wählt man weiter die Stärke des Bremsbandes  $\delta = 2 \text{ mm}$ , so wird die Breite desselben

$$b = \frac{T}{\delta \cdot k_z} = \frac{700}{2 \cdot 7} = 50 \text{ mm}.$$

Nimmt man ferner zur Vernietung des Bremsbandes an dem Scharnier  $n = 3$  Niete und wählt man die zulässige Scherbeanspruchung  $k_s = 4,5 \text{ kg pro qmm}$ , so wird, da die Niete einschnittig sind:

$$T = n \cdot F \cdot k_s,$$

also

$$700 = 3 \cdot \frac{d^2 \pi}{4} \cdot 4,5.$$

Hieraus folgt der Nietdurchmesser

$$d = \sqrt{\frac{4 \cdot 700}{3 \cdot 4,5 \pi}} = \sqrt{65,4} = 8,09 \sim 8 \text{ mm}.$$

Die zwei unteren Niete haben vom seitlichen Rande nach Formel 31) den Abstand  $a \geq 1,5 \cdot 8 = 12 \text{ mm}$ . Der gleichen Einteilungen wegen sei hier  $a = 12,5 \text{ mm}$  genommen.

Vom unteren und oberen Blechrande müßten die Niete auch mindestens den Abstand  $12 \text{ mm}$  haben. Derselbe werde  $15 \text{ mm}$  genommen. Die Entfernung  $c$  der Niete ergäbe sich nach Formel 30a):

$$c \geq 2 \cdot 8 + 5 = 21 \sim 22 \text{ mm}.$$

Der Bolzen  $d_0$  ist auf Abscherung und weil solche Bolzen immer verhältnismäßig lang sind, auch auf Biegung zu berechnen. Letztere Berechnung liefert meist auch größere Werte für  $d_0$ , welche dann beizubehalten sind.

#### a) Auf Abscherung.

Die zulässige Scherspannung sei  $k_s = \frac{4}{5} \cdot 6 = 4,8$ , der Sicherheit wegen aber nur zu  $4 \text{ kg pro qmm}$  angenommen.

Es ist dann, da der Bolzen zweiseitig ist:

$$700 = 2 \cdot \frac{d_0^2 \pi}{4} \cdot 4,$$

woraus

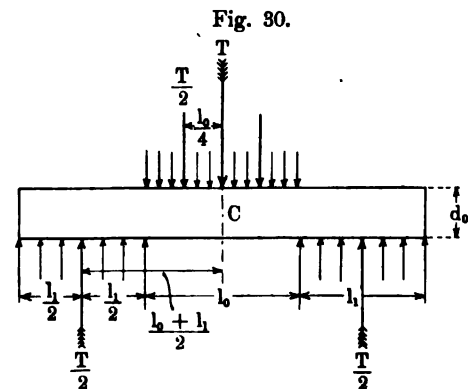
$$d_0 = \sqrt{\frac{700}{2 \cdot \pi}} = \sqrt{111,1} \sim 10,5 \text{ mm}.$$

#### b) Auf Biegung.

Man kann den Bolzen (Gabelbolzen) ansehen als Träger auf zwei Stützen, der über seine ganze Länge gleichmäßig belastet ist. Ist der Bremshebel  $20 \text{ mm}$  stark, also die belastete Länge des Bolzens  $l_0 = 20 \text{ mm}$ , so gilt die Biegungsgleichung (s. auch bei Keilverbindungen):

$$M = W \cdot k_b.$$

Hierin bedeutet  $W$  das Widerstandsmoment  $= \frac{\pi}{32} d_0^3$ . Die zulässige Biegungsspannung  $k_b$  sei  $= 3,5 \text{ kg pro qmm}$  angenommen, folglich ergibt sich mit den Bezeichnungen der Fig. 30, wenn man sich



den Träger in  $C$  eingespannt denkt, ein Biegemoment:

$$M = \frac{T}{2} \cdot \left( \frac{l_0 + l_1}{2} \right) - \frac{T}{2} \cdot \frac{l_0}{4},$$

also:

$$\frac{T}{2} \left( \frac{l_0 + l_1}{2} - \frac{l_0}{4} \right) = \frac{\pi}{32} d_0^3 \cdot 3,5,$$

oder, die Werte  $T = 700 \text{ kg}$ ,  $l_0 = 20$  und  $l_1 = 12,5 \text{ mm}$  (s. Fig. 46, Taf. 9) eingesetzt

$$\frac{700}{2} \left( \frac{20 + 12,5}{2} - \frac{20}{4} \right) = \frac{\pi}{32} d_0^3 \cdot 3,5$$

$$3950 = \frac{\pi}{32} d_0^3 \cdot 3,5.$$

Hieraus:

$$d_0 = \sqrt[3]{\frac{3950 \cdot 32}{\pi \cdot 3,5}} = \sim 22 \text{ mm}.$$

Dieser Wert ist beizubehalten.

Für den Durchmesser  $d_a$  des Scharnierauges erhält man, da zwei Scharnieraugen vorhanden sind, jedes also die Hälfte der Last  $T$  zu tragen hat, die Festigkeitsgleichung

$$(d_a - d_0) l_1 \cdot k_s = \frac{T}{2}.$$

Nimmt man, wie bereits erwähnt,  $l_1 = \frac{l_0}{2} = \frac{20}{2} = 10 \sim 12,5 \text{ mm}$  und nimmt der Sicherheit wegen die zulässige Zugspannung  $k_z = 3 \text{ kg pro qmm}$ , so wird:

$$(d_a - 22) 12,5 \cdot 3 = \frac{700}{2},$$

woraus

$$d_a = \frac{700}{2 \cdot 12,5 \cdot 3} + 22$$

$$d_a = 9,34 + 22 = 31,34 \text{ mm.}$$

Dieser Durchmesser ist sehr klein, überhaupt erhält man bei der Berechnung der Augen meistens zu kleine Werte. Es werde daher hier  $d_a = 45 \text{ mm}$  genommen.

2. Wie groß ist die Zugkraft  $P$ , welche die Zugstange aus Flacheisen  $50 \times 8 \text{ mm}$  (s. Fig. 47, Taf. 9) bei einer zulässigen Beanspruchung von  $5 \text{ kg pro qmm}$  auszuhalten vermag und wie stark müssen die Niete werden, wenn zwei Niete zur Verwendung kommen?

Die Zugkraft  $P$  ergibt sich aus:

$$P = (50 - d) 8 \cdot 5.$$

Nun ist:

$$P = 2 \cdot \frac{d^2 \pi}{4} \cdot k_s,$$

und wenn  $k_s = 4,5 \text{ kg}$  genommen wird, folgt also:

$$(50 - d) 8 \cdot 5 = 2 \cdot \frac{d^2 \pi}{4} \cdot 4,5,$$

oder, diese quadratische Gleichung geordnet:

$$0,177 d^2 + d = 50.$$

Hieraus:

$$d = 14,18 \sim 15 \text{ mm.}$$

Man würde besser drei Niete anwenden, um schwächere Nietdurchmesser zu erhalten.

Einfacher wäre man zum Ziele gekommen, wenn man von der Breite  $50 \text{ mm}$  den Nietdurchmesser  $d$  nicht subtrahiert hätte, die Schwächung des Flacheisens durch  $d$  also unberücksichtigt ließe. Allerdings würde dann der Nietdurchmesser etwas stärker ausfallen.

Es ergäbe sich hiernach:

$$P = 50 \cdot 8 \cdot 5 = 2000 \text{ kg,}$$

und für den Nietdurchmesser:

$$2000 = 2 \cdot \frac{d^2 \pi}{4} \cdot 4,5.$$

Hieraus:

$$d = \sqrt{\frac{4 \cdot 2000}{2 \pi \cdot 4,5}} = 16,8 \sim 17 \text{ mm.}$$

3. Der Zweiflammrohrdampfkessel (Fig. 67, Taf. 13) hat eine Blechstärke  $\delta = 18 \text{ mm}$ . Die Längsnaht desselben ist dreireihig und die Rundnaht zweireihig. Wie stark müssen die Niete werden und wie groß wird die Teilung  $e$ ?

Der Nietdurchmesser ergibt sich nach Formel 27):

$$d = 16 + 0,4 \cdot 18 = 23,2 \sim 23 \text{ mm.}$$

Man behält nun, wenn auch die Nietreihen verschieden sind, meistens diesen Nietdurchmesser für die Längs- als auch für die Rundnaht bei.

Schneider, Maschinen-Elemente.

Damit das Niet noch im weißglühenden Zustande bequem in das Nietloch hineingesteckt werden kann, nehme man ein Nieteisen von

$$d_0 = d - 1 = 23 - 1 = 22 \text{ mm.}$$

Die ganze Schaftlänge des Nietes muß vor der Vernietung (s. Fig. 9, Text) betragen:

$$l = 2\delta + 1,3d \div 1,7d,$$

also im Mittel:

$$l = 2\delta + 1,5d = 2 \cdot 18 + 1,5 \cdot 23 = 70,5 \sim 71 \text{ mm.}$$

Die Nietteilung ergibt sich aus der allgemeinen Festigkeitsgleichung, Formel 29):

$$e = n \cdot z \cdot \frac{d^2 \pi}{4\delta} + d.$$

Hierin ist für die dreireihige Längsnaht  $n = 3$ ,  $z = 1$  zu setzen, folglich:

$$e = 3 \cdot 1 \cdot \frac{23^2 \pi}{4 \cdot 18} + 23 = 92,24 \sim 95 \text{ mm.}$$

Für die zweireihige Rundnaht ist  $n = 2$ ,  $z = 1$  zu setzen, folglich für diese:

$$e = 2 \cdot 1 \cdot \frac{23^2 \pi}{4 \cdot 18} + 23 = 69,16.$$

Da man, wie bereits oben (S. 12) gesagt, die Teilung  $e$  nicht immer nach dieser Festigkeitsgleichung berechnet und man auch Rücksicht auf den Raum zwischen den Nietköpfen für das Verstemmen derselben nehmen muß, ist hier

$$e = 75 \text{ mm}$$

ausgeführt worden.

Der Abstand der Nietreihen vom Blechrande wird nach Formel 31):

$$a \geq 1,5 \cdot 23 = 34,5 \sim 38 \text{ mm.}$$

Die schräge Entfernung zweier Niete der Längsnaht muß nach Formel 30) sein:

$$e_1 \geq \frac{e + d}{2} \geq \frac{95 + 23}{2} \geq 59 \sim 61 \text{ mm.}$$

Demnach ergibt sich die Entfernung  $c$  (s. Fig. 21, Text):

$$c = \sqrt{e_1^2 - \left(\frac{e}{2}\right)^2} = \sqrt{61^2 - \left(\frac{95}{2}\right)^2} \sim 38 \text{ mm.}$$

Diese Werte von  $e_1$  und  $c$  sind bei berechnetem Zweiflammrohrkessel praktisch ausgeführt worden und sind die Maße in der Zeichnung eingetragen. Um jedoch mehr Raum zwischen den Nietköpfen zu erhalten, wählt man die Entfernung  $c$  vorteilhafter nach Formel 30 a), nämlich:

$$c \geq 2d + 5 \geq 2 \cdot 23 + 5 \geq 51 \text{ mm.}$$

Die schräge Entfernung zweier Niete der Rundnaht ergibt sich ebenso:

$$e_1 \geq \frac{e + d}{2} \geq \frac{75 + 23}{2} \geq 49 \sim 53 \text{ mm.}$$

Demnach  $c$  für die Rundnaht:

$$c = \sqrt{e_1^2 - \left(\frac{e}{2}\right)^2} = \sqrt{53^2 - \left(\frac{75}{2}\right)^2} \sim 38 \text{ mm.}$$

Auch hier gilt das bereits oben gesagte über  $e_1$  und  $c$ .

Das Festigkeitsverhältnis der Längsnaht zu der des vollen Bleches beträgt nach Formel 32):

$$\frac{e-d}{e} = \frac{95-23}{95} = 0,758.$$

Es beträgt also die Festigkeit in der Mitte der Längsnahtreihe  $\frac{758}{1000}$  oder 75,8 Proc. der Festigkeit des vollen Bleches.

Das Festigkeitsverhältnis für die Rundnaht würde nur

$$\frac{e-d}{e} = \frac{75-23}{75} = 0,693.$$

Schließlich erhält man für die Flammrohre, von denen die letzteren die Blechstärke  $\delta = 13,5$  mm haben, den Nietdurchmesser nach Formel 27):

$$d = 16 + 0,4 \cdot 13,5 = 21,4 \sim 21 \text{ mm,}$$

und die Nietteilung wieder nach Formel 29):

$$e = n \cdot z \cdot \frac{d^2 \pi}{4 \delta} + d.$$

Da hier  $n = 1$  und  $z = 1$  ist, wird

$$e = 1 \cdot 1 \cdot \frac{21^2 \pi}{4 \cdot 13,5} + 21 = 46,6 \text{ mm.}$$

Es ist hier  $e = 52$  mm ausgeführt.

Die Nietentfernung vom Rande erhält man wieder nach Formel 31):

$$a \geq 1,5 \cdot 21 \geq 31,5 \sim 35 \text{ mm.}$$

Das Festigkeitsverhältnis ergibt sich hier zu

$$\frac{e-d}{e} = \frac{52-21}{52} = 0,596.$$

4. Es ist ein Wasserbehälter nach Fig. 31 zu konstruieren, welcher 50 cbm Wasser aufnehmen kann.

Der großen Dimensionen wegen seien hier die Maße in Centimetern eingesetzt.

Es bezeichne:

$R$  = Radius des cylindrischen Behälters,

$R_k$  = Radius des kugeligen Bodens,

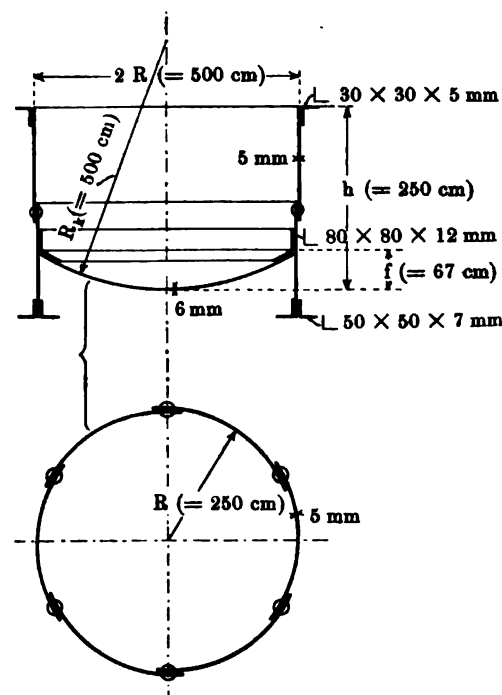
$\delta$  = Blechstärke des Mantels,

$\delta_1$  = Blechstärke des Bodens,

$k_z$  = Zugspannung = 500 kg pro qcm,

$\varphi = \frac{e-d}{e} = 0,6$  für einschnittige Nietnaht ( $\varphi$  = Festigkeitsverhältnis).

Fig. 31.



Zur Berechnung der Wandstärke von Röhren dient die Formel

$$2 R p = 2 \delta \cdot k_z,$$

und wegen der Nietnaht

$$2 R p = 2 \delta \cdot k_z \cdot \varphi \quad . . . . . a)$$

Hierin ist der größte Druck in kg pro qcm  $p = \frac{h}{10}$  in m, weil 1 Atm. = 1 kg pro qcm = 10,33 ~ 10-m Wassersäule bedeutet.

Für jeden höheren Punkt ist die Drucksäule kleiner und könnte man daher die Bleche nach oben zu schwächer halten.

Für den Durchmesser  $2 R$  erhält man gute Werte, wenn man wählt:

$$2 R = 1,37 \sqrt[3]{Q} \quad . . . . . b)$$

und somit die Höhe des benetzten Umfangs des Mantels nimmt:

$$h - f = \frac{2 R}{2} = R \quad . . . . . c)$$

Für obiges Beispiel ergäbe sich demnach der Durchmesser des Behälters nach Formel b)

$$2 R = 1,37 \sqrt[3]{50} = 1,37 \cdot 3,68 = 5,044 \sim 5 \text{ m,}$$

und die Höhe nach Formel c):

$$h - f = R = 2,5 \text{ m.}$$

Der Inhalt des cylindrischen Behälters beträgt dann:

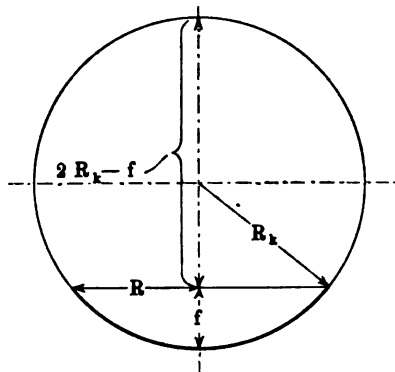
$$\frac{5^2 \pi}{4} \cdot 2,5 = 49 \text{ cbm.}$$

Für den Inhalt einer Kugelklappe besteht nach der Stereometrie die Beziehung:

$$\text{Kugelklappe} = \frac{\pi f^3}{3} (3 R_k - f).$$

Wählt man nun  $R_k = 2 R = 5 \text{ m}$  und ergänzt die Kugelklappe zu einer Kugel, so folgt nach Fig. 31 a die Proportion:

Fig. 31 a.



$$f : R = R : (2 R_k - f)$$

$$\text{oder } 2 R_k \cdot f - f^2 = R^2$$

$$f^2 - 2 R_k f = - R^2.$$

Aus dieser quadratischen Gleichung folgt:

$$f = R_k \pm \sqrt{R_k^2 - R^2},$$

oder, wenn man die Werte einsetzt:

$$f = 5 \pm \sqrt{5^2 - 2,5^2} = 5 \pm 4,33 \text{ m},$$

wovon nur für  $f$  der Wert  $5 - 4,33 = 0,67 \text{ m}$  richtig ist.

Demnach wird nun der Inhalt der Kugelklappe:

$$\frac{\pi \cdot 0,67^3}{3} (3 \cdot 5 - 0,67) = \sim 6,7 \text{ cbm}.$$

Der gesamte Inhalt des Wasserbehälters besteht aus dem Inhalt des Zylinders und dem der Kugelklappe und beträgt nun:

$$49 + 6,7 = 55,7 \text{ cbm}.$$

Da die Flüssigkeit wegen Überlaufens nicht ganz bis zum oberen Rande reichen soll, sind die gewählten Werte für den Behälter gut und kann derselbe so ausgeführt werden.

Die Blechstärke ergibt sich nach Formel a):

$$\delta = \frac{2 R p}{2 k_s \cdot \varphi},$$

worin für  $p = \frac{2,5}{10}$ ,  $k_s = 500 \text{ kg pro qcm}$ ,  $\varphi = 0,6$  für einschnittige Nietnaht zu setzen ist.

Folglich:

$$\delta = \frac{2 \cdot 250 \cdot \frac{2,5}{10}}{2 \cdot 500 \cdot 0,6} = 0,208 \text{ cm} = 2,08 \text{ mm}.$$

In Rücksicht auf Abrosten gebe man 3 mm zu, es wird daher

$$\delta = 2,08 + 3 \sim 5 \text{ mm}.$$

Wieviel Bleche sind zur Herstellung des Umfangs in einer Blechbreite erforderlich?

Nimmt man, damit die Bleche keinen Überpreis kosten, die Breite eines Bleches 1,5 m und die Länge 3 m, also die Fläche  $3 \cdot 1,5 = 4,5 \text{ qm}$ , so ergibt sich aus dem Umfang

$$U = 2 R \pi = 5 \cdot 3,14 = 15,7 \text{ m}$$

die erforderliche Anzahl der Bleche:

$$n = \frac{15,7}{3} = > 5,$$

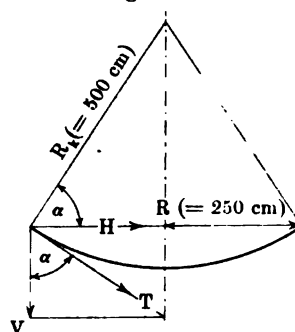
also sind 6 Bleche zu nehmen.

Beträgt das Gewicht des Wassers + Bodengewicht + Rohrgewicht = 53000 kg, so ist die Vertikalbelastung pro 1 cm Umfang:

$$V = \frac{53000}{2 R \pi} = \frac{53000}{500 \cdot 3,14} = 33,75 \text{ kg}.$$

Durch den Druck der Flüssigkeit entsteht eine Spannung am Randansatz in der Richtung der Tangente an die Kugelklappe, der zufolge der Kugelkappenrand mit einer Kraft  $T$  nach einwärts in genannter Richtung beansprucht wird. Man konstruiert am besten nun so, daß diese Kraft nicht auf den Zylindermantel wirkt, sondern von dem betreffenden L-Eisen aufgenommen wird. Auf alle Fälle muß aber die Blechdicke des Bodens der Tangentialspannung  $T$  gewachsen sein.

Fig. 32.



Es ist nach Fig. 32:

$$\cos \alpha = \frac{250}{500} = 0,5,$$

woraus

$$\angle \alpha = 60^\circ.$$

Ferner:

$$\text{tg } \alpha = \frac{H}{V}.$$

$$H = V \cdot \text{tg } \alpha = 33,75 \cdot 1,732 = 58,45 \text{ kg}.$$

Der gesamte Horizontaldruck, der durch das L-Eisen aufgenommen werden soll, ist  $2 D_h$ , folglich

$$2 D_h = 2 \cdot R \cdot H,$$

oder:

$$D_h = R \cdot H = 250 \cdot 58,45 \sim 14600 \text{ kg}.$$

Ohne Berücksichtigung der Nietlöcher ergibt sich demnach die Fläche  $f_w$  des L-Eisens aus der Gleichung:

$$f_w \cdot k_d = D_h,$$



also mit

$$k_d = 900 \text{ kg pro qcm,}$$

$$f_w = \frac{D_h}{k_d} = \frac{14600}{900} = 16,2 \text{ qcm.}$$

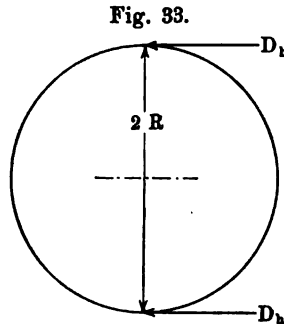


Fig. 33.

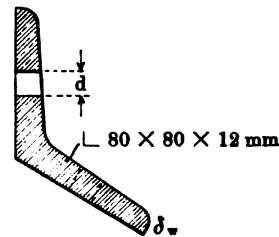


Fig. 33 a.

Wegen der Verschwächung durch die Nietlöcher sei ein  $\angle 80 \times 80 \times 12 \text{ mm}$  genommen, dasselbe hat einen Querschnitt  $f_w = 17,8 \text{ qcm}$  laut Tabelle über Walzeisen.

Der Nietdurchmesser kann nach Gleichung 27) genommen werden:

$$d = 3 + \frac{5}{3} \cdot 5 = \sim 12 \text{ mm} = 1,2 \text{ cm.}$$

Zur Kontrolle werde die Schwächung  $d \cdot \delta_w$  durch das Nieteisen berücksichtigt, es bleibt dann immer noch ein Querschnitt des  $\angle$ -Eisens:

$$f_w = 17,8 - d \cdot \delta_w = 17,8 - 1,2 \cdot 1,2 = 16,36 \text{ qcm.}$$

Da derselbe noch größer als der berechnete Querschnitt von  $16,2 \text{ qcm}$  ist, so kann das gewählte  $\angle$ -Eisen  $80 \times 80 \times 12$  beibehalten werden.

#### Berechnung des Bodenbleches $\delta_1$ .

Das Bodenblech muß der Tangentialspannung  $T$  (pro laufender Centimeter) widerstehen.

Nach Fig. 32 wird

$$T = \frac{V}{\cos \alpha} = \frac{33,75}{0,5} = 67,5 \text{ kg.}$$

Es muß sein:

$$\delta_1 \cdot l \cdot k_s \cdot \varphi = T,$$

folglich für

$$\varphi = 0,6 \text{ und } k_s = 500 \text{ kg pro qcm}$$

$$\delta_1 = \frac{T}{k_s \cdot \varphi} = \frac{67,5}{500 \cdot 0,6} = 0,225 \text{ cm} = 2,25 \text{ mm.}$$

In Rücksicht auf Abrosten werde  $\delta_1 = 6 \text{ mm}$  genommen.

#### Berechnung der Auflagerfläche.

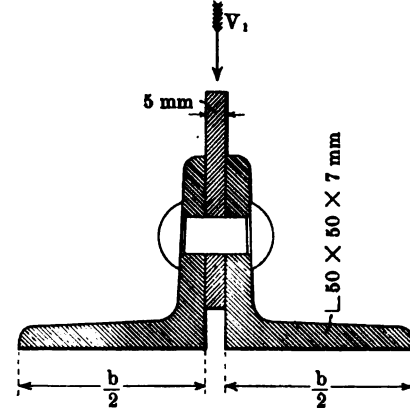
Das Gesamtgewicht auf die  $\angle$ -Eisen, welche den Bottich tragen, besteht aus dem Gewicht des ganzen

Bottichs und dem Wassergewicht. Dasselbe sei =  $56200 \text{ kg}$ .

Da die  $\angle$ -Eisen rund herum angeordnet sind, so beträgt der Auflagerdruck pro laufender Centimeter:

$$V_1 = \frac{56200}{2 R \pi} = \frac{56200}{2 \cdot 250 \cdot \pi} = 35,8 \text{ kg.}$$

Fig. 34.



Dann muß sein:

$$b \cdot p = V_1.$$

Nimmt man für den Flächendruck  $p = 3,5 \text{ kg pro qcm}$ , so ergibt sich:

$$b = \frac{35,8}{3,5} \sim 10 \text{ cm} = 100 \text{ mm.}$$

Demnach kann jedes dieser  $\angle$ -Eisen  $50 \times 50 \times 7 \text{ mm}$  genommen werden.

Zur Kontrolle seien diese  $\angle$ -Eisen noch auf die Biegebeanspruchung in dem Stege berechnet.

Man erhält nach Fig. 35:

$$p(b - \delta_w) \frac{(b - \delta_w)}{2} = \frac{x \cdot \delta_w^2}{6} \cdot k_b.$$

In diese Formel, die auch zur Berechnung der Flanschen an Cylindern dient, setze man für  $x = 1$ , folglich wird:

$$3,5(5 - 0,7) \frac{(5 - 0,7)}{2} = \frac{1 \cdot 0,7^2}{6} \cdot k_b,$$

oder:

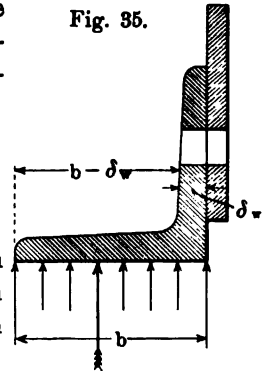
$$3,5 \cdot 4,3 \cdot 2,15 = \frac{0,49}{6} \cdot k_b.$$

Hieraus:

$$k_b = 396 \text{ kg pro qcm.}$$

Da  $k_b \leq 700 \text{ kg pro qcm}$  zulässig ist, kann das gewählte  $\angle$ -Eisen  $50 \times 50 \times 7 \text{ mm}$  beibehalten werden.

Fig. 35.



## Keile und Keilverbindungen.

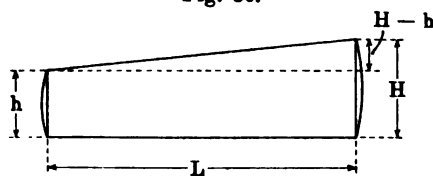
Die Keile dienen zur Verbindung zweier Körper. Es unterscheiden sich hierbei „Längskeile und Querkeile“. Die Längskeile werden hauptsächlich zur Befestigung von Rädern, Riemenscheiben u. s. w. auf eine Achse oder Welle angewendet, während durch die Querkeile die Verkuppelung von Stangen hergestellt wird. Siehe Längskeile, z. B. Fig. 78 und 79, Taf. 16 und 17, und Querkeile, Fig. 86 und 88, Taf. 16 und 17.

Die Differenz der beiden Höhen des Keiles dividiert durch seine Länge nennt man Anzug.

$$\text{Anzug} = \frac{H - h}{L}.$$

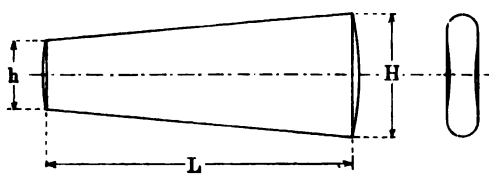
Hat der Keil nur eine schräge Anzugsfläche (siehe Fig. 36), so heißt er einseitig; hat er dagegen zwei

Fig. 36.



schräge Anzugsflächen, so nennt man ihn einen zweiseitigen Keil (s. Fig. 37).

Fig. 37.



Keile, welche dauernd fest bleiben sollen, erhalten einen Gesamtanzug für Längskeile:

$$\frac{H - h}{L} = \frac{1}{100},$$

für Querkeile:

$$\frac{H - h}{L} = \frac{1}{25} \div \frac{1}{50},$$

für gesicherte Keile (Stellkeile) ist:

$$\frac{H - h}{L} < \frac{1}{6}.$$

Fig. 78, Taf. 16 zeigt einen Längskeil ohne Nase. Fig. 79, Taf. 16 einen solchen mit Nase. Da durch ein Mitnehmen der Nase leicht Unglücksfälle entstehen können, vermeidet man die Nasen am besten und ordnet sie nur an, wenn sie zur Lösung des Keiles unbedingt notwendig sind. Der Flachkeil, Fig. 81, Taf. 17 kann größeren Kräften schlecht widerstehen, mehrfach angewandt, bietet er jedoch ebensolche Sicherheit wie der eingenutete Keil nach Fig. 80, Taf. 17.

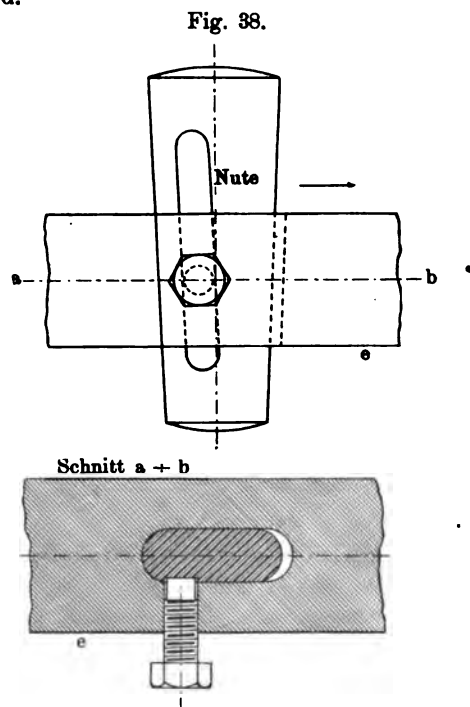
Der Hohlkeil, Fig. 82, Taf. 17 kann nur bei schwachen Kräften Anwendung finden, z. B. beim vorläufigen Aufkeilen eines Excenters. Der Rundkeil, Fig. 83, Taf. 17 wird der Sicherheit wegen mitunter bei warm aufgezogenen Kurbeln verwendet.

Wendet man mehrere Keile zur Befestigung an, so versetzt man dieselben um 120° (s. Fig. 84, Taf. 16).

Die Feder ist ein Längskeil ohne Anzug. Sie wird, wie Fig. 85, Taf. 16 zeigt, in die Welle eingelassen und entweder aufsen vernietet oder durch Stiftschrauben festgehalten. Die Feder findet Anwendung bei ausrückbaren Kupplungen etc. Fig. 89, Taf. 17 zeigt eine Stangenverbindung durch Querkeile und Beilagen. Durch Anwendung von Beilagen wird die Festigkeit der Konstruktionen wesentlich erhöht. Es kann dann auch der Keil niedriger sein, als wie bei den Fig. 86 bis 88. Die Hülse kann aus Guß- oder Schmiedeeisen hergestellt werden.

Keile, die größerer Beanspruchung und unruhig wirkenden Kräften ausgesetzt sind, wie an Pleuelköpfen, müssen mit Sicherungen versehen werden (s. die Figuren 90 u. 91, Taf. 17). Häufig genügt auch schon ein vorgesteckter Splint. Eine Sicherung durch Druckschraube zeigt umstehende Fig. 38. Die Nute muß parallel zu der schrägen Kante des Keiles gehen, die seitlich nicht verschiebbar sein soll. Es folgt also

beim Nachtreiben des Keiles, wenn  $e$  fest ist, der Keil in der Pfeilrichtung und wirkt so auf andere Teile anziehend.



Es finden sich bei Querkeilverbindungen auch wohl schmiedeeiserne Keile, doch wende man der gröfseren Sicherheit wegen besser nur Stahlkeile an.

### Längskeile.

Die Längskeile haben nur einseitigen Anzug. Ihre Abmessungen sind Erfahrungswerte und finden sich hierin ziemliche Unterschiede.

Man hat, wenn

$$\left. \begin{aligned} h_m &= \text{mittlere Höhe des Keiles (s. Fig. 78, Taf. 16)} \\ b &= \text{Breite desselben bezeichnet,} \\ b &= 0,25 d + 4 \\ h_m &= 0,6 b \end{aligned} \right\} \dots \dots \dots 42)$$

Sind zwei oder mehrere Keile angebracht, so kann man die Werte für  $h_m$  und  $b$  etwas kleiner machen, doch werden häufig auch dann obige Werte beibehalten.

### Querkeile.

a) Berechnung der Befestigungskeile für ruhende Belastung.

Die Berechnung solcher Keile kann, sofern sie nicht lang sind, ohne Rücksicht auf Biegung zu nehmen, ausgeführt werden.

Im allgemeinen berechne man die Keile auf Biegung.

In der Stange herrscht die Zugkraft

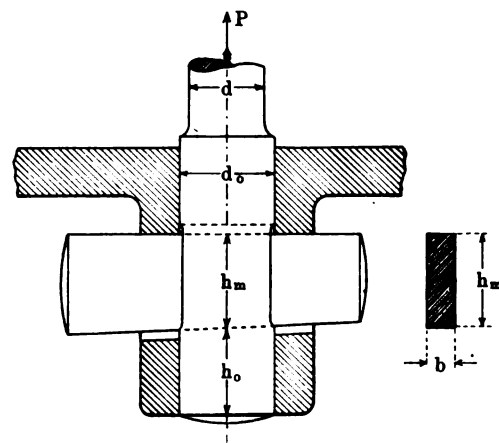
$$P = \frac{d^2 \pi}{4} \cdot k_s,$$

welche dieselbe abzureißen sucht.

Im Keilloch würde sich diese Zugkraft bestimmen aus der Gleichung:

$$P = \left( \frac{d_0^2 \pi}{4} - b \cdot d_0 \right) k_s.$$

Fig. 39.



Demnach ist:

$$\frac{d^2 \pi}{4} = \frac{d_0^2 \pi}{4} - b \cdot d_0 \dots \dots \dots 43)$$

Ferner sucht diese Zugkraft den Teil der Stange unter dem Keil abzuscheren, also ist auch

$$P = 2 \cdot d_0 \cdot h_0 \cdot k_s.$$

Mithin auch:

$$\frac{d^2 \pi}{4} \cdot k_s = 2 d_0 \cdot h_0 \cdot k_s.$$

Da nun die zulässige Scherspannung gleich ist der 0,8fachen Zugspannung, also  $k_s = 0,8 k_s$ , so folgt:

$$\frac{d^2 \pi}{4} = 2 d_0 \cdot h_0 \cdot 0,8 \dots \dots \dots 44)$$

Aber auch der Keil muß der Zugkraft widerstehen, letztere sucht ihn im Querschnitt  $2 \cdot b \cdot h_m$  abzuscheren, daher muß für den Keil sein:

$$P = 2 b \cdot h_m \cdot k_s,$$

oder auch, wenn Keil und Stange aus gleichem Material sind, also  $k_s = 0,8 k_s$  ist:

$$\frac{d^2 \pi}{4} = 2 \cdot b \cdot h_m \cdot 0,8 \dots \dots \dots 45)$$

Schließlich muß noch die Druckfläche  $b \cdot d_0$  des Keiles genügend groß sein, also

$$P = b \cdot d_0 \cdot k_d,$$

oder wenn man, um praktisch brauchbare Werte zu erhalten, die zulässige Druckspannung hier zum dop-

pelten Werte der Zugspannung annimmt, also  $k_d = 2 \cdot k_z$  setzt:

$$\frac{d^2 \pi}{4} \cdot k_z = b \cdot d_0 \cdot 2 k_z$$

oder

$$\frac{d^2 \pi}{4} = 2 \cdot b \cdot d_0 \quad . . . . . 46)$$

Aus diesen Festigkeitsgleichungen ergeben sich die in den Figuren 86 bis 88, Taf. 16 eingetragenen Werte, die alle auf den Durchmesser  $d$  der Stange bezogen sind.

So hätte man aus Gleichung 46):

$$d_0 = \frac{d^2 \pi}{8 b}$$

Setzt man diesen Wert in Gleichung 43) ein, so folgt beispielsweise für die Keilbreite

$$b \sim 0,33 d.$$

Setzt man weiter z. B. diesen Wert in Gleichung 45) ein, so ergibt sich für die mittlere Keilhöhe

$$h_m = 1,5 d.$$

Hierbei war gleiches Material von Keil und Stange vorausgesetzt. Ist der Keil aus Stahl und die Stange aus Schmiedeeisen hergestellt, so ergibt sich die Höhe des Stahlkeiles, da Stahl etwa 1,66 mal so fest ist als Schmiedeeisen:

$$h_m = \frac{1,5 d}{0,8 \cdot 1,66} = 1,12 d \sim 1,2 d.$$

#### b) Berechnung langer Keile.

Sind die Keile Kräften, welche ihre Richtung wechseln, wie die Druck- und Zugkräfte einer Kolbenstange, unterworfen, so muß bereits vorher, noch ehe der Richtungswechsel erfolgte, eine Kraft vorhanden sein, damit kein Schlagen, sondern stoßfreie Übertragung stattfindet. Es muß also in der Verbindung eine größere Kraft herrschen, als die zu übertragende Kraft selbst beträgt. Eine solche Verbindung nennt man nach Bach Spannungsverbindung.

Bei Keilen mit ruhender Belastung braucht man hierauf keine Rücksicht zu nehmen, obgleich, streng genommen, auch hier durch das Eintreiben des Keiles eine etwas größere Kraft entsteht.

Ist daher  $P$  die durch die Stange zu übertragende Kraft, so ist ein derartig beanspruchter Keil auf eine größere Kraft zu berechnen. Obgleich letztere sich rechnerisch nicht genau ermitteln läßt, nimmt man nach Bach an, daß bei einer solchen Spannungsverbindung die größte hervorgerufene Kraft  $\frac{5}{4} P$  sei. Sind außerdem die Querkeile verhältnismäßig lang, wie die Keile an Pleuelköpfen, so biegen dieselben

sich später, wenn man sie nur auf Abscherung berechnet.

Es müssen daher solche Keile auf Biegung berechnet werden. Hierbei wird der Keil als Träger auf zwei Stützen angesehen, der auf seiner ganzen Länge gleichmäßig belastet ist.

Fig. 40.

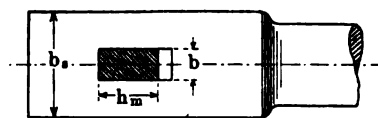
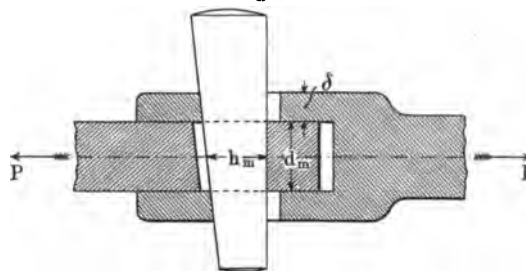
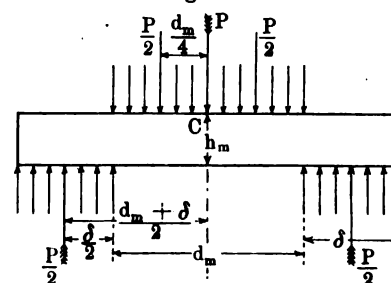


Fig. 40a.



Man hat dann nach der Biegezugfestigkeit, wenn man sich den Träger in der Mitte  $C$  eingespannt denkt die Gleichung:

$$\frac{P}{2} \left( \frac{d_m + \delta}{2} \right) - \frac{P}{2} \cdot \frac{d_m}{4} = W \cdot k_b,$$

oder, da das Widerstandsmoment für rechteckigen Querschnitt  $W = \frac{b \cdot h_m^2}{6}$  ist:

$$\frac{P}{2} \left( \frac{d_m + \delta}{2} - \frac{d_m}{4} \right) = \frac{b \cdot h_m^2}{6} \cdot k_b \quad . . . 47)$$

Hieraus ergibt sich die mittlere Keilhöhe:

$$h_m = \sqrt{\frac{P}{2} \left( \frac{d_m + \delta}{2} - \frac{d_m}{4} \right) \frac{6}{b \cdot k_b}} \quad . . 47a)$$

Für die zu übertragende Kraft  $P$  ist, wie oben bereits gesagt, bei einer Spannungsverbindung  $\frac{5}{4} P$  einzusetzen.

Die Keilstärke nehme man

$$b = 0,25 d_m \div 0,33 d_m \quad . . . . 48)$$

wenn  $d_m$  = Durchmesser der runden Stange ist, oder wie bei Fig. 40, statt  $d_m$  die Breite bei  $b$ , bei rechteckigem Querschnitt gesetzt wird.

Die Biegungsbeanspruchung ist zu nehmen für Schmiedeeisen:

$k_b = 4 \div 5 \text{ kg pro qmm,}$   
für Stahl:  $k_b = 8 \div 10 \text{ „ „ „}$   
wenn der Druck  $P$  zwischen 0 und einem Maximum wechselt und

$k_b \sim 13 \text{ kg,}$   
wenn  $P$  konstant ist.

Ist, wie Figuren 90 u. 91, Taf. 17 zeigen, aufser dem Keil eine Beilage vorhanden, so ist in Gleichung 47) für das Widerstandsmoment

$$2 \cdot \frac{b \left( \frac{h_m}{2} \right)^2}{6}$$

zu setzen.

Sind aufser dem Keil zwei Beilagen angebracht, so hat man für das Widerstandsmoment in Gleichung 47)

$$3 \cdot \frac{b \left( \frac{h_m}{3} \right)^2}{6}$$

zu setzen.

Hierbei sind Keil und Beilagen gleich hoch und bedeuten  $\frac{h_m}{2}$  und  $\frac{h_m}{3}$  die mittleren Höhen von Keil und Beilagen.

#### Beispiel.

1. Die Keilverbindung der stählernen Kolbenstange mit dem Kreuzkopf habe eine Kraft  $P = 4000 \text{ kg}$  aufzunehmen. Wie grofs sind die Dimensionen  $d_1$ ,  $h_1$  und  $h_2$  der Kolbenstange? Wie grofs ferner die Dimensionen des Keiles?

Der Kreuzkopf sei aus Stahlgufs und der Durchmesser der Kolbenstange betrage 50 mm.

Der mittlere Durchmesser der Kolbenstange im Kreuzkopf ist also

$$d_m = \frac{d + d_1}{2} = \frac{50 + 38}{2} = 44 \text{ mm.}$$

Die Wandstärke des Kreuzkopfes sei:

$$\delta \sim \frac{d_m}{2} = \frac{44}{2} = 22 \sim 23 \text{ mm.}$$

Also wird der äufsere Durchmesser:

$$d_m + 2\delta = 44 + 2 \cdot 23 = 90 \text{ mm.}$$

Der Keil ist aus Stahl.

Wählt man nach Gleichung 48) die Keilstärke

$$b = 0,27 \cdot 44 = \sim 12 \text{ mm}$$

und setzt, da die Keilverbindung Spannungsverbindung ist, statt  $P = 4000 \text{ kg}$  wieder  $P = \frac{5}{4} \cdot 4000 = 5000 \text{ kg}$ , so ergibt sich, wenn man noch  $k_b = 10 \text{ kg}$  annimmt, die mittlere Keilhöhe aus Gleichung 47):

$$\frac{5000}{2} \left( \frac{44 + 23}{2} - \frac{44}{2} \right) = \frac{12 \cdot h_m^2}{6} \cdot 10$$

$$56250 = \frac{12 \cdot h_m^2}{6} \cdot 10,$$

woraus

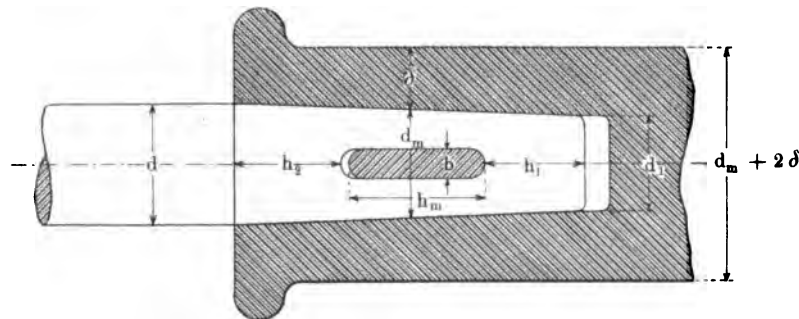
$$h_m = \sqrt{\frac{56250 \cdot 6}{12 \cdot 10}} \sim 53 \text{ mm.}$$

Die Zugfestigkeit im Keilloche ergibt sich nun nach Gleichung 43) [s. die Formelaufstellung vor Gleichung 43)]:

$$5000 = \left( \frac{44^2 \pi}{4} - 12 \cdot 44 \right) k_z,$$

woraus die Zugspannung  $k_z \sim 5 \text{ kg pro qmm}$ , was zu-

Fig. 41.



Für Stahlgufs kann man  $k_d \leq 6 \text{ kg pro qmm}$  nehmen. Da die Keilverbindung hier als Spannungsverbindung anzusehen ist, ist eine gröfsere Kraft  $P = \frac{5}{4} \cdot 4000 = 5000 \text{ kg}$  einzusetzen, folglich:

$$5000 = \left( \frac{50^2 \pi}{4} - \frac{d_1^2 \pi}{4} \right) \cdot 6,$$

woraus

$$d_1 \sim 38 \text{ mm.}$$

lässig ist, da für Flufsstahl hier  $k_z = 4 \div 5 \text{ kg}$  zu nehmen ist.

Der Druck des Keiles auf die Kolbenstange berechnet sich nach Gleichung 46):

$$P = b \cdot d_m \cdot k_d,$$

und da die Druckspannung  $k_d = 2k_z \leq 10 \text{ pro qmm}$  ist, folgt:

$$5000 = 12 \cdot 44 \cdot k_d.$$



Hieraus:

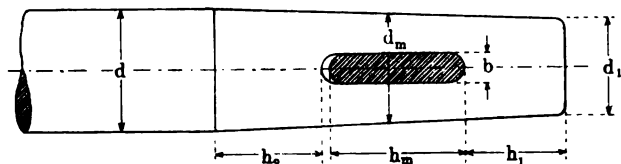
$$k_d = \frac{5000}{12.44} \sim 9,5 \text{ kg},$$

also zulässig, weil  $< 10 \text{ kg}$ .

Wie groß  $h_1$  und  $h_2$ ?

Die Kraft  $P$  sucht das Stück der Stange im Querschnitt  $2 \cdot d_m \cdot h_1$  herauszuscheren.

Fig. 42.



Nach Gleichung 44) erhält man hierfür:

$$P = 2 \cdot d_m \cdot h_1 \cdot k_s.$$

$k_s$  ist hierbei nur zu etwa 1,5 kg zu nehmen, folglich

$$5000 = 2 \cdot 44 \cdot h_1 \cdot 1,5,$$

woraus

$$h_1 = \frac{5000}{2 \cdot 44 \cdot 1,5} = 37,8 \sim 38 \text{ mm}.$$

Erfahrungsgemäß hat man auch:

$$h_1 = 0,67 h_m \div 0,75 h_m,$$

also z. B.:  $h_1 = 0,72 \cdot 53 \sim 38 \text{ mm}$ , wie oben.

Den Wert von  $h_2$  nehme man etwas größer,

$$h_2 \sim 0,75 h_m \div 0,8 h_m,$$

demnach hier

$$h_2 = 0,8 \cdot 53 \sim 43 \text{ mm}.$$

Wählt man schließlich den Gesamtanzug des

Keiles nach früherem etwa zu  $\frac{1}{40}$  und ist der Keil um 35 mm länger als der äußere Durchmesser der Kreuzkopfhülse, also die ganze Keillänge  $L = 90 + 35 = 125 \text{ mm}$ , so hat man nach den Bezeichnungen der Fig. 36:

$$H = h_m + \frac{L}{2} \cdot \frac{1}{40} = 53 + \frac{125}{2} \cdot \frac{1}{40} = 54,56 \sim 55 \text{ mm},$$

$$h = h_m - \frac{L}{2} \cdot \frac{1}{40} = 53 - \frac{125}{2} \cdot \frac{1}{40} = 51,44 \sim 52 \text{ mm}.$$

Der Keil erhält, wie die Figuren zeigen, abgerundete Seiten, damit wegen der Härte des Stahles im Kreuzkopfloch nicht so leicht ein Einreißen stattfinden kann.



## Zapfen.

Die an Maschinenteilen angebrachten Zapfen ermöglichen durch Lagerung derselben in entsprechende Hohlformen eine Drehung der Maschinenteile um ihre Achse.

Man unterscheidet nach der Richtung des Druckes:

1. Tragzapfen, wenn die Last senkrecht zur Achse des Zapfens gerichtet ist, und
2. Stützzapfen, wenn die Last in der Achsrichtung wirkt.

Zu den Tragzapfen gehören im besonderen die Stirn- und Halszapfen, zu den Stützzapfen die Spur- und Kammzapfen. Stirnzapfen heißen solche, welche sich an den Enden, Halszapfen dagegen solche, welche sich innerhalb einer Achse oder irgend sonst eines Maschinenteiles befinden.

Die Tragzapfen können cylindrisch oder, wenn ein Schwenken des Maschinenteils gestattet sein soll, auch kugelförmig sein.

Verbindungen von Zapfen mit hölzernen Achsen (bei Wasserrädern) zeigen die Figuren 95 und 97, Taf. 18.

Bei der Zapfenverbindung mit Keil nach Fig. 95 sind die beiden vorderen schmiedeeisernen Ringe vor der Eintreibung des Querkeils fest aufzuziehen. Der gußeiserne Flügelzapfen, Fig. 97, kann mit zwei, drei und vier Flügeln ausgeführt werden.

### Berechnung der Zapfen.

Die Feststellung der Zapfendimensionen hat so zu erfolgen, daß

1. der Zapfen einen genügend großen Widerstand gegen Abbrechen bietet;
2. die Belastung pro Flächeneinheit in Quadratcentimetern oder Quadratmillimetern (Flächendruck) eine gewisse Grenze nicht übersteigt.

Bei zu großem Flächendruck kann sich nämlich das zwischen Lager und Zapfen gebrachte Öl nicht halten und wäre daher Warmlaufen zu erwarten.

Schneider, Maschinen-Elemente.

Ferner ist aber auch Rücksicht darauf zu nehmen, daß die durch die Reibung erzeugte Wärme nicht größer werde als diejenige, welche durch Luftzutritt oder durch besondere Mittel wieder entzogen werden kann.

Den Flächendruck kann man verringern durch stärkere Zapfen. Letztere haben aber ein größeres Reibungsmoment zur Folge, denn nach der Mechanik ist:

$$\begin{aligned} \text{Reibungsmoment} &= \\ &\text{Normaldruck} \times \text{Rei-} \\ &\text{bungskoeffizient} \times \\ &\text{Zapfenhalbmesser} \\ \text{oder: Reibungsmoment} &= P \cdot \mu \cdot r. \end{aligned}$$

Der Beziehung zwischen Festigkeit und Flächendruck muß daher bei der Konstruktion Rechnung getragen werden.

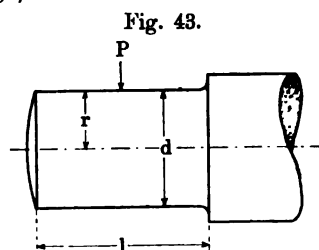
Der Reibungskoeffizient  $\mu$  ist eine Erfahrungszahl, welche hauptsächlich abhängig ist von der Art und Beschaffenheit der Materialien, sowie der des Schmiermittels, aber unabhängig von der Geschwindigkeit, mit welcher die Bewegung erfolgt. Letzteres gilt jedoch nur mit gewisser Einschränkung.

Zur Ermittlung des Reibungskoeffizienten sind verschiedene Versuche angestellt worden, es lassen sich aber bestimmte Werte für die einzelnen Fälle nicht aufstellen. Schon deshalb nicht, weil der Reibungskoeffizient eingelaufener Zapfen bedeutend kleiner ist als der neuer. Ebenso hat sich derselbe bei großen Belastungen als rasch zunehmend ermittelt. Letzteres erklärt sich durch Verdrängung der Flüssigkeitsschicht, also des Schmiermittels. Es darf daher als ganz vorteilhaft gelten, nicht zu dünnflüssige Schmiermittel zu verwenden.

Aus diesen Gründen muß also dem Berechnenden die Wahl von Mittelwerten überlassen bleiben.

Durch Versuche ergab sich bei sehr gut gelagerten, eingelaufenen und geschmierten Zapfen:

$$\mu = 0,001 \div 0,017.$$





## Zapfen.

Die an Maschinenteilen angebrachten Zapfen ermöglichen durch Lagerung derselben in entsprechende Hohlformen eine Drehung der Maschinenteile um ihre Achse.

Man unterscheidet nach der Richtung des Druckes:

1. Tragzapfen, wenn die Last senkrecht zur Achse des Zapfens gerichtet ist, und
2. Stützzapfen, wenn die Last in der Achsrichtung wirkt.

Zu den Tragzapfen gehören im besonderen die Stirn- und Halszapfen, zu den Stützzapfen die Spur- und Kammzapfen. Stirnzapfen heißen solche, welche sich an den Enden, Halszapfen dagegen solche, welche sich innerhalb einer Achse oder irgend sonst eines Maschinenteiles befinden.

Die Tragzapfen können cylindrisch oder, wenn ein Schwenken des Maschinenteils gestattet sein soll, auch kugelförmig sein.

Verbindungen von Zapfen mit hölzernen Achsen (bei Wasserrädern) zeigen die Figuren 95 und 97, Taf. 18.

Bei der Zapfenverbindung mit Keil nach Fig. 95 sind die beiden vorderen schmiedeeisernen Ringe vor der Eintreibung des Querkeils fest aufzuziehen. Der gusseiserne Flügelzapfen, Fig. 97, kann mit zwei, drei und vier Flügeln ausgeführt werden.

### Berechnung der Zapfen.

Die Feststellung der Zapfendimensionen hat so zu erfolgen, daß

1. der Zapfen einen genügend großen Widerstand gegen Abbrechen bietet;
2. die Belastung pro Flächeneinheit in Quadratcentimetern oder Quadratmillimetern (Flächendruck) eine gewisse Grenze nicht übersteigt.

Bei zu großem Flächendruck kann sich nämlich das zwischen Lager und Zapfen gebrachte Öl nicht halten und wäre daher Warmlaufen zu erwarten.

Schneider, Maschinen-Elemente.

Ferner ist aber auch Rücksicht darauf zu nehmen, daß die durch die Reibung erzeugte Wärme nicht größer werde als diejenige, welche durch Luftzutritt oder durch besondere Mittel wieder entzogen werden kann.

Den Flächendruck kann man verringern durch stärkere Zapfen. Letztere haben aber ein größeres Reibungsmoment zur Folge, denn nach der Mechanik ist:

$$\begin{aligned} \text{Reibungsmoment} &= \\ &\text{Normaldruck} \times \text{Reibungskoeffizient} \times \\ &\text{Zapfenhalbmesser} \\ \text{oder: Reibungsmoment} &= P \cdot \mu \cdot r. \end{aligned}$$

Der Beziehung zwischen Festigkeit und Flächendruck muß daher bei der Konstruktion Rechnung getragen werden.

Der Reibungskoeffizient  $\mu$  ist eine Erfahrungszahl, welche hauptsächlich abhängig ist von der Art und Beschaffenheit der Materialien, sowie der des Schmiermittels, aber unabhängig von der Geschwindigkeit, mit welcher die Bewegung erfolgt. Letzteres gilt jedoch nur mit gewisser Einschränkung.

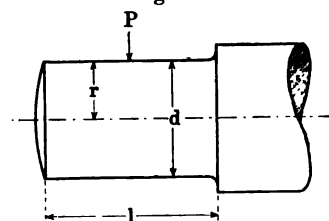
Zur Ermittlung des Reibungskoeffizienten sind verschiedene Versuche angestellt worden, es lassen sich aber bestimmte Werte für die einzelnen Fälle nicht aufstellen. Schon deshalb nicht, weil der Reibungskoeffizient eingelaufener Zapfen bedeutend kleiner ist als der neuer. Ebenso hat sich derselbe bei großen Belastungen als rasch zunehmend ermittelt. Letzteres erklärt sich durch Verdrängung der Flüssigkeitsschicht, also des Schmiermittels. Es darf daher als ganz vorteilhaft gelten, nicht zu dünnflüssige Schmiermittel zu verwenden.

Aus diesen Gründen muß also dem Berechnenden die Wahl von Mittelwerten überlassen bleiben.

Durch Versuche ergab sich bei sehr gut gelagerten, eingelaufenen und geschmierten Zapfen:

$$\mu = 0,001 \div 0,017.$$

Fig. 43.





In der Praxis werden aber meist so sauber ausgeführte Konstruktionen nicht vorliegen und wird daher  $\mu$  entsprechend höher anzunehmen sein.

Als Mittelwerth kann man bei geschmierten Zapfen in Bronzelagern nehmen

$$\mu = 0,0625.$$

### 1. Tragzapfen.

#### a) Stirnzapfen.

Es bezeichne:

$P$  = den auf dem Zapfen lastenden Druck in Kilogramm,

$l$  = Länge des Zapfens,

$d$  = Durchmesser des Zapfens,

$e$  = Höhe des Anlaufes,

$e_1$  = Breite desselben,

$M$  = Moment, welches den Zapfen abzubrechen versucht,

$W$  = Widerstandsmoment (hier des Kreisquerschnitts),

$k_b$  = zulässige Biegungsspannung,

$p$  = zulässigen Flächendruck,

$n$  = Tourenzahl des Zapfens,

so gilt das Folgende:

Denkt man sich den von unten wirkenden, gleichmäßig verteilten Gegendruck in eine einzelne Kraft,

Fig. 44.

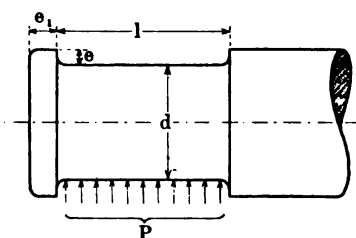
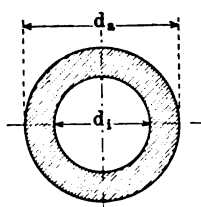


Fig. 45.



welche an der halben Länge des Zapfens angreift, konzentriert, so ist das Biegemoment:

$$M = P \cdot \frac{l}{2}.$$

Nach der Biegefestigkeit ist nun:

$$M = W \cdot k_b.$$

Das Widerstandsmoment ist für vollen, kreisförmigen Querschnitt

$$W = \frac{\pi}{32} d^3 \sim 0,1 d^3$$

und für hohlcylindrischen Querschnitt:

$$W = 0,1 \cdot \frac{d_a^4 - d_i^4}{d_a} \quad (\text{s. hohle Zapfen, S. 29}).$$

Folglich ist für den vollen Zapfen:

$$P \cdot \frac{l}{2} = 0,1 d^3 \cdot k_b \quad \dots \dots \dots 49)$$

Hieraus ergibt sich der Zapfendurchmesser:

$$d = \sqrt[3]{\frac{P \cdot l}{0,2 \cdot k_b}} \quad \dots \dots \dots 49a)$$

$k_b$  kann hierbei genommen werden:

für Schmiedeeisen . . .	$k_b = 3 \div 4$	kg pro qmm
„ Gufseisen . . .	$k_b = 1,5 \div 2,5$	„ „ „
„ Stahlgufs . . .	$k_b = 2,5 \div 3,5$	„ „ „
„ Flußstahl . . .	$k_b = 4 \div 5$	„ „ „

Für nicht wechselnde Beanspruchung können diese Werte noch erhöht werden.

Das aus Gleichung 49) gewonnene Resultat genügt nur der Festigkeit des Zapfens, was, wie oben bereits bemerkt, im Allgemeinen nicht genügt.

Es muß auch Rücksicht auf die Flächenpressung genommen werden. Als tragende Fläche ist hierbei nicht die ganze gekrümmte Oberfläche, mit welcher der Zapfen eingelagert ist, zu verstehen, sondern nur ihre Projektion, also das Rechteck  $l \cdot d$ .

Diese Betrachtung führt zu der Formel

$$P = l \cdot d \cdot p \quad \dots \dots \dots 50)$$

woraus

$$d = \frac{P}{l \cdot p} \quad \dots \dots \dots 50a)$$

Der Flächendruck  $p$  ist hierbei für sich fortwährend drehende Zapfen bei guter Arbeit und Ölung<sup>1)</sup>:

für gehärteten Tiegelgußstahl auf	
gehärteten Gußstahl . . .	$p \leq 1,5$ kg pro qmm
„ gehärteten Tiegelgußstahl auf	
Bronze . . .	$p \leq 0,9$ „ „ „
„ ungehärteten Tiegelgußstahl	
auf Bronze . . .	$p \leq 0,6$ „ „ „
„ Fluß- und Schweißstahl mit	
glatter Oberfläche auf Bronze	$p \leq 0,4$ „ „ „
„ Schweißstahl mit nicht so glatter	
Oberfläche oder Gufseisen	
auf Bronze . . .	$p \leq 0,3$ „ „ „
„ Schweißstahl mit nicht ganz	
reiner Oberfläche auf Gußeisen	$p \leq 0,25$ „ „ „
„ mit Wasser geschmiertes Fluß-	
und Schweißstahl auf Pock-	
holz . . .	$p \leq 0,25$ „ „ „

Für Zapfen, welche sich nur zeitweilig drehen (wie die der Seil- und Kettenrollen), können obige Werte doppelt bis dreifach genommen werden.

Im Besonderen giebt Bach noch als Mittelwerte an:

<sup>1)</sup> Nach C. Bach, Die Maschinen-Elemente.

für gussstählerne Kurbelzapfen in Weißmetalllagern bei Lokomotiven  $p = 1$  kg pro qmm  
 „ gussstählerne Kreuzkopfzapfen desgleichen . .  $p = 1,5$  „ „ „  
 „ gussstählerne Kurbelzapfen auf Bronze laufend (bei Dampfmaschinen) . . . . .  $p = 0,6 \div 0,7$  kg pro qmm  
 „ desgleichen Kreuzkopfzapfen . . . . .  $p = 0,8 \div 0,9$  „ „ „  
 „ die Zapfen der Schwungradwelle von Dampfmaschinen . . . . .  $p = 0,15 \div 0,16$  „ „ „

Ist die Belastung dieser Zapfen nur zeitweilig (wie bei Maschinen zum Lothen) und die Geschwindigkeit gering, so kann  $p$  bedeutend höher genommen werden, bis 2 kg pro qmm und darüber.

In Rücksicht auf Festigkeit und Flächenpressung verbinde man die Gleichungen 49) und 50):

$$\frac{0,2 d^3 \cdot k_b}{l} = l \cdot d \cdot p,$$

woraus

$$\frac{l}{d} = \sqrt{\frac{0,2 \cdot k_b}{p}} \quad \dots \dots \dots 51)$$

Hieraus folgt zunächst der Größtwert von  $\frac{l}{d}$ .

Man kann nun diesen oder einen kleineren Wert in Rechnung setzen, indem man  $l$  durch  $d$  ausdrückt.

Setzt man dann diesen Wert in Gleichung 50) ein, so ergibt sich  $d$ , folglich auch  $l$ .

Diese so erhaltenen Werte wären schliesslich noch einer Betrachtung zu unterziehen. Es wäre nämlich zu untersuchen, ob  $l$  auch für die durch die Reibung erzeugte und wieder abzuleitende Wärmemenge gross genug gefunden wurde.

Man hat nach der Mechanik:

Arbeit = Kraft  $\times$  Weg in Meterkilogramm.

Die Pressung  $p$  pro Quadratmeter ist  $\frac{1}{1000}$  und der Weg  $= \frac{2 r \pi \cdot n}{60} = \frac{d \pi \cdot n}{60}$ ; folglich die Reibungsarbeit in Meterkilogrammen:

$$A = \mu \cdot p \frac{d \cdot \pi \cdot n}{60 \cdot 1000}$$

Wird hierin aus Gleichung 50) der Wert  $p = \frac{P}{l \cdot d}$  und für den Reibungskoeffizienten im Mittel  $\mu = 0,0625$  (siehe hierüber Seite 28) eingesetzt, so folgt:

$$A = 0,0625 \cdot \frac{P}{l \cdot d} \cdot \frac{d \pi \cdot n}{60 \cdot 1000}$$

oder

$$A \sim \frac{P \cdot n}{305\,000 \cdot l}$$

Die Reibungsarbeit  $A_x$ , die in Wärme umgesetzt, höchstens abgeleitet werden kann, muß nun immer gleich oder grösser als  $A$  sein, also

$$A_x \geq A$$

oder

$$A_x \geq \frac{P \cdot n}{305\,000 \cdot l},$$

folglich

$$l \geq \frac{P \cdot n}{305\,000 A_x} \quad \dots \dots \dots 52)$$

Ergiebt sich hieraus jetzt  $l$  kleiner, als vorher gefunden, so kann man  $l$  wie vorher beibehalten. Andernfalls aber ist aus 52) die Zapfenlänge  $l$  zu berechnen und danach aus Gleichung 49) der Zapfendurchmesser  $d$ .

Für  $A_x$  nehme man nach Bach:

1. Wenn ein kühlender Luftzug vorhanden (wie bei Kurbelzapfen) und die Wärme durch beide Lagerschalen möglichst gleich abgeführt wird:

$$A_x = 0,0125 \div 0,03$$

für Gussstahl auf Bronze oder Weißmetall bei Dampfmaschinen.

2. Wenn der kühlende Luftzug nicht vorhanden (wie bei dem Lager der Kurbel und des Schwungrades) und die Wärme nur durch eine (untere) Lagerschale abgeleitet wird:

$$A_x = 0,005$$

für Dampfmaschinen (normal),

$$A_x = 0,0133$$

für desgleichen mit Lagerschalen aus Weißmetall.

$A_x$  kann um so höher genommen werden, je kleiner die Flächenpressung ist.

Für die Zapfen der Lokomotiv- und Eisenbahnachsen sind obige Werte bedeutend höher, da hier der scharfe Luftstrom durch die Geschwindigkeit des Zuges für Abkühlung sorgt.

Nach Bach laufen die Achsen der Personenwagen noch zufriedenstellend für  $A_x = 0,0266$ . Bei Schnelzuggeschwindigkeiten und dreiachsigen Lokomotiven für  $A_x = 0,05$ .

Ferner für die äusseren Kurbelzapfen von Lokomotiven  $A_x = 0,0833$ .

Die Höhe des Anlaufes sei:

$$\left. \begin{aligned} e &= 3 + 0,1 d \\ e_1 &= 1,5 e \end{aligned} \right\} \quad \dots \dots \dots 53)$$

a<sub>1</sub>) Hohle Zapfen.

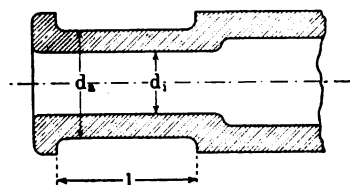
Für hohle Zapfen, z. B. an hohlen, gusseisernen Achsen ist, wie bereits auf Seite 28 gesagt, das Widerstandsmoment

wo  
und

$$W = 0,1 \frac{d_a^4 - d_i^4}{d_a},$$

$d_a$  = äußerer Durchmesser  
 $d_i$  = innerer Durchmesser bedeutet.

Fig. 46.



Somit ergibt sich für den hohlen Zapfen:

$$P \cdot \frac{l}{2} = 0,1 \frac{d_a^4 - d_i^4}{d_a} \cdot k_b.$$

Das Hohlungsverhältnis nehme man

$$\frac{d_i}{d_a} = 0,4 \div 0,8,$$

im Mittel daher  $d_i = 0,6 d_a$ .

Setzt man diesen Wert in obige Formel ein, so ergibt sich:

$$P \cdot \frac{l}{2} = 0,1 \frac{d_a^4 - (0,6 d_a)^4}{d_a} \cdot k_b \quad . . . . . 54)$$

In Bezug auf Flächendruck wäre wieder:

$$P = l \cdot d_a \cdot p \quad . . . . . 55)$$

folglich ergibt die Verbindung von Gleichung 54 und 55):

$$\frac{0,2}{l} \cdot \frac{d_a^4 - (0,6 d_a)^4}{d_a} \cdot k_b = l \cdot d_a \cdot p$$

oder

$$\frac{0,2}{l} \cdot \frac{d_a^4 - 0,1296 \cdot d_a^4}{d_a} \cdot k_b = l \cdot d_a \cdot p,$$

$$\frac{0,2}{l} \cdot \frac{d_a^4 (1 - 0,1296)}{d_a} \cdot k_b = l \cdot d_a \cdot p,$$

woraus

$$\frac{l}{d_a} = \sqrt{\frac{0,2 \cdot 0,8704 \cdot k_b}{p}} \quad . . . . . 56)$$

Hieraus folgt wieder der Größtwert von  $\frac{l}{d_a}$ .

Der innere Durchmesser ergibt sich dann

$$d_i = 0,6 \cdot d_a.$$

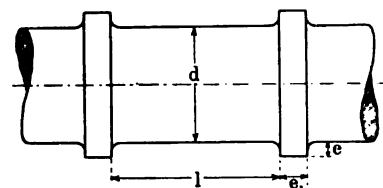
Alles Übrige ist wie vorher beim vollen Zapfen zu berechnen.

#### b) Halszapfen.

Im Allgemeinen erhalten die Halszapfen denselben Durchmesser wie die Welle, an der sie befestigt sind, da dieselben meist durch verdrehende Kräfte gleich der Welle beansprucht werden.

Man gebe ihnen dieselbe Länge, wie einem gleich belasteten Stirnzapfen und gilt hierfür die Formel 52).

Fig. 47.



Bezeichnet:

$M_b$  = größtes Biegemoment für den Halszapfen,

$M_d$  = " Drehmoment " " "

so ist nach der Festigkeitslehre das ideelle Biegemoment

$$M_{b(i)} = \frac{3}{8} M_b + \frac{5}{8} \sqrt{M_b^2 + M_d^2}.$$

Ferner:

$$M_{b(i)} = W \cdot k_b.$$

Daher für den vollen Kreisquerschnitt

$$M_{b(i)} = 0,1 d^3 \cdot k_b \quad . . . . . 57)$$

und für den hohlen Querschnitt

$$M_{b(i)} = 0,1 \frac{d_a^4 - d_i^4}{d_a} \cdot k_b \quad . . . . . 57a)$$

wobei wieder

$$d_i = 0,4 d_a \div 0,8 d_a$$

ist.

Man bestimme sich bei der Berechnung zunächst  $l$  aus Gleichung 52);  $d$  ergibt sich dann aus Gleichung 57). Schließlich wäre in Bezug auf Flächendruck auch hier Gleichung 50) zu berücksichtigen.

#### c) Gabelzapfen.

Der Gabelzapfen ist wieder als Träger auf zwei Stützen zu betrachten, welcher auf seiner ganzen Länge gleichmäßig belastet ist. Die Berechnung desselben kann bei

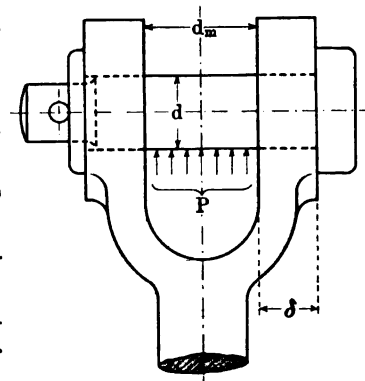
sehr kleiner Länge auf Abscherung durchgeführt werden, doch berechne man denselben in der Regel auf Biegung wie die Keile. Das größte Biegemoment folgt aus Gleichung 47).

Dieses ist beim vollen Zapfen wieder gleich

$$0,1 d^3 \cdot k_b$$

und beim hohlen Zapfen gleich

Fig. 48.



$$0,1 \cdot \frac{d_a^4 - d_i^4}{d_a} \cdot k_b$$

zu setzen.

Man nehme bei der Berechnung zunächst die Länge  $l_m$  an, doch so, daß dieselbe der Gleichung 52) genügt. Hierauf bestimmt man sich den Durchmesser  $d$  einmal in Rücksicht auf Flächenpressung nach Gleichung 50) und das andere Mal in Rücksicht auf Biegezugfestigkeit nach Gleichung 47).

Der grössere Wert von  $d$  wird beibehalten.

#### d) Kugelzapfen.

Der Kugelzapfen gestattet durch seine Kugelform ein Schwenken der Schubstange, wenn z. B. die Kurbel-

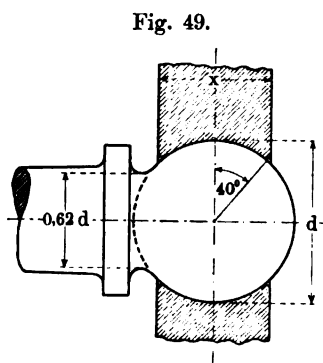


Fig. 49.

welle ihre genaue Lage verändert hat.

Man findet denselben häufig als Kurbelzapfen bei Sägegattern.

In Bezug auf die Festigkeit des Zapfens ergibt sich, wenn die Kraft  $P$  am Hebelarm  $\frac{d}{2}$  angreift und der

Durchmesser des Zapfens an der gefährlichen Stelle  $0,62 d$  beträgt

$$P \cdot \frac{d}{2} = 0,1 (0,62 d)^3 \cdot k_b,$$

woraus

$$d = \sqrt[3]{\frac{P}{0,0476 \cdot k_b}} \quad \dots \dots \dots 58)$$

Für die Flächenpressung ergibt sich annähernd als Projektionsfläche  $x \cdot y$  nach Figur, hierbei sei:

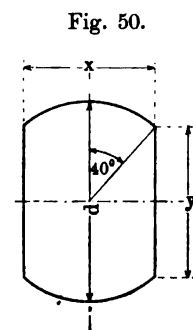


Fig. 50.

$$\frac{x}{2} = \frac{d}{2} \cdot \tan 40^\circ$$

und

$$x = d \cdot \tan 40^\circ = d \cdot 0,839$$

$$\frac{y}{2} = \frac{d}{2} \cdot \cos 40^\circ$$

$$y = d \cdot \cos 40^\circ = d \cdot 0,766,$$

folglich

$$x \cdot y = 0,839 \cdot 0,766 d^2 \sim 0,64 d^2,$$

daher

$$P = 0,64 d^2 \cdot p,$$

woraus

$$d = \sqrt{\frac{P}{0,64 \cdot p}} \quad \dots \dots \dots 59)$$

Die in Wärme umgesetzte Reibungsarbeit ergibt sich wieder zu

$$A = \mu \cdot p \cdot \frac{d \cdot \pi \cdot n}{60 \cdot 1000}.$$

Nimmt man an, daß die ganze Kugeloberfläche zur Wärmeableitung beitrage, so ist in obige Formel für

$$p = \frac{P}{\frac{d^2 \pi}{4}}$$

zu setzen.

Ist ferner wieder  $\mu = 0,0625$ , so folgt

$$A = 0,0625 \cdot \frac{P}{\frac{d^2 \pi}{4}} \cdot \frac{d \cdot \pi \cdot n}{60 \cdot 1000}$$

oder

$$A = \frac{P \cdot n}{240000 \cdot d} \leq A_r.$$

Hieraus folgt:

$$d \geq \frac{P \cdot n}{240000 \cdot A_r} \quad \dots \dots \dots 60)$$

Der größte Wert von  $d$  aus den Gleichungen 58), 59) und 60) ist beizubehalten.

Für  $A_r$ ,  $p$  und  $k_b$  gelten die früheren Angaben.

#### 2. Stützzapfen.

Auch für diese sind die oben angegebenen Gesichtspunkte maßgebend.

##### a) Der ebene Spurzapfen.

Bezeichnet:

$P$  = den in der Achsrichtung wirkenden Druck in Kilogramm,

$p$  = Druck pro Flächeneinheit in Kilogramm pro Quadratmillimeter,

$d$  = Durchmesser des Spurzapfens,

so erhält man, ohne Rücksicht auf die Flächenverminderung durch die Schmiernuten zu nehmen:

$$P = \frac{d^2 \pi}{4} \cdot p,$$

woraus

$$d = \sqrt{\frac{4 P}{\pi \cdot p}} \quad \dots \dots \dots 61)$$

Mit Berücksichtigung der Reibungsarbeit ergibt sich:

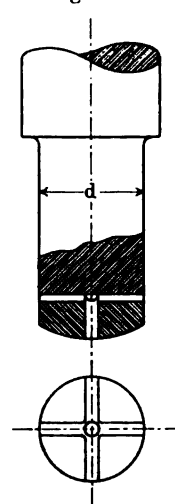
$$A = \frac{1}{2} \cdot \mu \cdot p \cdot \frac{d \cdot \pi \cdot n}{60 \cdot 1000}$$

oder, wenn man mit  $\mu$  nicht über 0,05 geht und

$$p = \frac{P}{\frac{d^2 \pi}{4}}$$

gesetzt wird

Fig. 51.



$$A = \frac{P \cdot n}{600000 \cdot d} \leq A_z$$

folglich

$$d \geq \frac{P \cdot n}{600000 \cdot A_z} \quad \dots \quad 62)$$

Für  $p$  gelten wieder die früheren Angaben.

$A_z$  soll nach Bach nicht über 0,007 genommen werden. Für Spurzapfen, welche sich nur zum Teil drehen, kann  $p$  bedeutend höher und zwar das Doppelte und mehr von den früher angegebenen Werten betragen.

### b) Der ringförmige Spurzapfen.

Bezeichnet wieder:

$P$  = axialen Druck,

$p$  = Flächendruck in Kilogramm pro Quadratmillimeter,

$d_a$  = äußeren Durchmesser des Spurzapfens,

$d_i$  = inneren " " "

Fig. 52.

so erhält man unter Vernachlässigung der Flächenverminderung durch die Schmiernuten

$$P = (d_a^2 - d_i^2) \frac{\pi}{4} \cdot p,$$

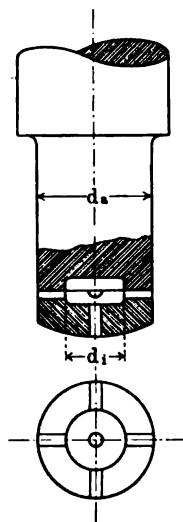
woraus

$$d_a = \sqrt{\frac{4P}{\pi \cdot p} + d_i^2} \quad \dots \quad 63)$$

Mit Berücksichtigung der Reibungsarbeit ergibt sich:

$$d_a \geq d_i + \frac{P \cdot n}{600000 \cdot A_z} \quad \dots \quad 64)$$

Im Übrigen gilt das beim ebenen Spurzapfen Gesagte.



### c) Der Kammzapfen.

Bei starkem Druck und großen Tourenzahlen erhalten die Spurzapfen unbequeme Dimensionen. Man wendet in solchen Fällen einen Kammzapfen an, welcher den Druck durch einzelne Ringe auf das Lager überträgt.

Die Ringe haben entweder ebene oder leicht kegelförmige Begrenzungsflächen.

Es bezeichnet:

$P$  = axialen Druck,

$p$  = Flächendruck in Kilogramm pro Quadratmillimeter,

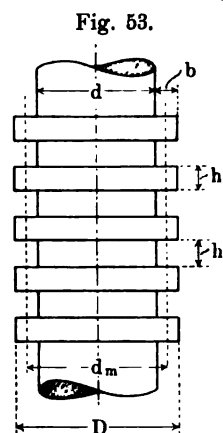


Fig. 53.

$d$  = Durchmesser der Welle und zugleich kleinsten Durchmesser des Zapfens,

$D$  = äußeren Durchmesser der Zapfenringe,

$d_m$  = mittleren " " "

$i$  = Anzahl der Ringe,

$b$  = Breite " " "

$h$  = Höhe eines Zapfenringes,

$h_1$  = Höhe des entsprechenden Ringes im Lager.

Dann gilt:

$$d_m = \frac{D + d}{2}$$

und die Breite eines Ringes ist:

$$b = \frac{D - d}{2}.$$

Die Fläche eines Ringes ist  $d_m \cdot \pi \cdot b$ , jeder Ring würde also belastet mit

$$d_m \cdot \pi \cdot b \cdot p.$$

Der gesamte, vom Zapfen aufgenommene Druck wird daher:

$$P = d_m \cdot \pi \cdot b \cdot p \cdot i \quad \dots \quad 65)$$

Hierbei ist angenommen, daß der Druck sich auf alle Ringe gleichmäßig verteilt. Letzteres ist jedoch meistens nicht der Fall, da die Ringe schwerlich überall gleich aufliegen werden. Man darf deshalb  $p$  nicht so hoch, als früher angegeben wurde, nehmen.

Man wähle etwa  $p = \frac{1}{10}$  von diesen Werten.

Die Ringbreite sei:

$$b = 0,1 d \div 0,15 d \quad \dots \quad 66)$$

Die Höhe  $h$  wäre nach der Biegebungsbeanspruchung zu bestimmen.

Man macht  $h \leq b$ ;  $h_1$  meistens etwas größer oder gleich  $h$ .

Mit Berücksichtigung der Reibungsarbeit ergibt sich:

$$A = \frac{1}{2} \cdot \mu \cdot p \cdot \frac{2 d_m \cdot \pi \cdot n}{60 \cdot 1000} \leq A_z$$

und für

$$\mu = 0,05 \quad \text{und} \quad p = \frac{P}{d_m \cdot \pi \cdot b \cdot i}$$

folgt:

$$i \cdot b \geq \frac{P \cdot n}{1200000 \cdot A_z} \quad \dots \quad 67)$$

Auch für  $A_z$  sind hier bedeutend kleinere Werte als früher angegeben, einzusetzen, weil ein Kammzapfenlager die Wärme weit schlechter ableitet.

Bei der Berechnung nehme man  $A_z$  an und bestimme sich zunächst  $i$  aus Gleichung 67).

Aus Gleichung 65) findet man alsdann den Flächendruck  $p$ . Letzterer darf den zulässigen Wert nicht überschreiten.

### Beispiele.

1. Eine senkrecht stehende Triebwerkswelle von 120 mm Durchmesser mit gehärtetem, stähler-nem Zapfen (s. Fig. 51, Text) soll auf ebensolchem Spurzapfen laufen. Welchen Durchmesser erhält letzterer, wenn der gesamte Druck auf den Spurzapfen (bestehend aus Eigengewicht der Welle und dem Gewichte aufgekeilter Räder und Kupplungen)  $P = 3000$  kg beträgt?

Nach Gleichung 61) ergibt sich für den ebenen Spurzapfen der Durchmesser, wenn man  $p = 1,5$  kg pro qmm annimmt:

$$d = \sqrt{\frac{4P}{\pi \cdot p}} = \sqrt{\frac{4 \cdot 3000}{\pi \cdot 1,5}} \sim 51 \text{ mm.}$$

Beträgt die Tourenzahl der Welle  $n = 90$  pro Minute, so ergibt sich in Rücksicht auf die Reibungsarbeit, wenn man  $A_x = 0,006$  wählt, nach Gleichung 62) der Durchmesser

$$d \geq \frac{P \cdot n}{600000 \cdot A_x} \geq \frac{3000 \cdot 90}{600000 \cdot 0,006} = 75 \text{ mm,}$$

welcher Wert beizubehalten ist.

Durch diesen größeren Durchmesser wird nun die Flächenpressung noch vermindert.

2. Eine Turbine vollführt 50 Touren pro Minute. Die totale Belastung  $P$  auf die schmiedeeiserne Tragsäule und den Oberwasser-Spurzapfen (s. letzteren Fig. 94, Taf. 18) besteht aus dem Gewicht des Turbinenrades + dem Gewicht der hohlen, gusseisernen Turbinenwelle nebst Turbinenzapfen + dem Gewicht des Zahnrades + dem vertikalen Wasserdruk. Es sei diese Gesamtbelastung  $P = 3500$  kg. Welchen Durchmesser erhält der Oberwasser-Spurzapfen?

Wählt man  $p = 0,7$  (Stahl auf Bronze, s. S. 28), so ergibt sich für diesen Flächendruk der Zapfen-durchmesser nach Gleichung 61):

$$d = \sqrt{\frac{4 \cdot 3500}{3,14 \cdot 0,7}} \sim 80 \text{ mm.}$$

Die Gleichung 62) verlangt, wenn  $A_x = 0,005$  genommen wird:

$$d \geq \frac{3500 \cdot 50}{600000 \cdot 0,005} \geq 58,3 \text{ mm.}$$

Es ist  $d = 80$  mm als der größere Wert beizu-behalten.

3. Der Kammzapfen an der Schrauben-welle eines Dampfers hat einem axialen Druck  $P = 5500$  kg zu widerstehen. Der Durch-messer der Schraubenwelle betrage  $d = 190$  mm. Die Tourenzahl derselben  $n = 140$  pro Minute. Der Zapfen laufe in einem Bronzelager.

Nach Gleichung 66) ergibt sich im Mittel für den Kammzapfen die Ringbreite:

$$b = 0,125 \cdot 190 \sim 24 \text{ mm.}$$

Der äußere Durchmesser wird:

$$D = d + 2b = 190 + 2 \cdot 24 = 238 \text{ mm.}$$

Ferner der mittlere Durchmesser:

$$d_m = \frac{D + d}{2} = \frac{238 + 190}{2} = 214 \text{ mm.}$$

Nimmt man, wie oben gesagt, wegen der schlech-teren Wärmeableitung nur  $A_x = 0,003$ , so erhält man nach Gleichung 67):

$$i \cdot 24 \geq \frac{5500 \cdot 140}{1200000 \cdot 0,003} = 214$$

und hieraus

$$i \geq \frac{214}{24} \sim 9 \text{ Ringe.}$$

Der Flächendruk beträgt demnach nach Glei-chung 65):

$$p = \frac{5500}{214 \cdot 3,14 \cdot 24 \cdot 9} = 0,038.$$

Dieser Wert ist zulässig, da er noch geringer ist als etwa  $1/10$  des früher angegebenen Wertes für  $p$  auf Seite 28.



## Lager.

Die Lager dienen dazu, die an den Maschinenteilen befindlichen Zapfen zu tragen.

Sie werden eingeteilt in Trag- oder Stützlager (Spurlager), je nachdem sie für Trag- oder Stützapfen bestimmt sind.

Am vollständigen Lager unterscheidet man:

- a) die Lagerschalen,
- b) den Lagerkörper (Rumpf, Fuß und Deckel),
- c) die Fundamentplatte,
- d) die Verbindungsteile, wie Schrauben und Keile.

Bei der Konstruktion eines Lagers ist nicht nur auf genügende Festigkeit, sondern auch darauf Rücksicht zu nehmen, daß das Lager heftige Stöße und Erschütterungen auszuhalten im stande ist. Es ist daher Bedingung, dem Lager eine gewisse Masse zu geben, derart, daß etwaige Stöße nicht in ihrer vollen Kraft auf die unter dem Lager befindlichen Teile fortgeleitet werden können.

An ein gutes Lager werden folgende Anforderungen gestellt:

- a) sichere Führung der Welle,
- b) geringe Abnutzung der Schalen,
- c) leichtes Nachstellen,
- d) gute Schmierung,
- e) bequeme Montage,
- f) leichtes Auseinandernehmen.

### Lagerschalen.

An eine zweckmäßige Lagerschale stellt man die Anforderung, daß dieselbe sich möglichst leicht bearbeiten läßt, im Lagerkörper gut anliegt und ihre Abnutzung den Verhältnissen entsprechend eine geringe ist.

Ferner ist auch dafür Sorge zu tragen, daß bei eingetretener Abnutzung der Lagerschalen wenigstens die Schale, die den Druck aufzunehmen hat, nach-

stellbar ist, damit die Welle ihre anfängliche Lage beibehält (vergl. Zeitschr. d. Ver. d. Ing., Jahrg. 1899, S. 1153).

Wegen der Erwärmung nehme man für Lagerschalen nur Materialien, welche die Wärme gut ableiten.

Die Lagerschalen werden hergestellt aus Gufseisen, ferner aus Metalllegierungen (Rotguß, Bronze, Weißmetall) und Holz. Hölzerne Lagerschalen werden aus Pockholz und Weißbuche gefertigt.

Fig. 98, Taf. 19/20 zeigt eine cylindrische Lagerschale mit Zapfen. Der Zapfen kann angegossen oder, was besser ist, eingesetzt sein. In letzterem Falle läßt sich die Schale auf der Drehbank besser bearbeiten.

Zu diesem Zweck werden die Schalen am besten an den Stofsflächen bearbeitet, hierauf verlötet und dann abgedreht. Es genügt, einen Zapfen anzuordnen, wenn die beiden Lagerschalen zusammenstoßen oder auch mit Zwischenlagen versehen sind. Da so die eine Schale in ihrer Lage bleiben muß, kann sich auch die andere nicht drehen. Mitunter genügt auch schon ein starkes Schmierröhrchen, die Drehung der Schalen zu verhindern.

Die Schalen besitzen, wie wohl fast alle Lagerschalen aus Metall, Arbeitsleisten, die hier nur abgedreht zu werden brauchen. Das Einpassen in den Lagerkörper geschieht durch Bestreichen mit Mennigfarbe, letzteres hauptsächlich bei achteckigen Schalen. Infolge der leichten Bearbeitung ist die Herstellung der runden Lagerschalen eine billige.

Fig. 101, Taf. 19/20 zeigt dieselben Lagerschalen, nur mit ungleich starker Wandstärke. In diesem Falle ist die Bohrung nicht konzentrisch mit der äußeren Begrenzung des Lagers.

Nachdem die Lagerschalen fertig in den Lagerkörper eingepaßt sind, erfolgt das Ausbohren derselben.

Früher liefs man im Lager zwischen beiden Schalen einen kleinen Spalt, des Nachstellens wegen, in neuerer Zeit aber legt man die Schalen fest aufeinander und nimmt vor dem Nachziehen das überflüssige Material mit der Feile weg.

Fig. 99, Taf. 19/20 zeigt eine runde Lagerschale mit seitlichen Lappen. Letztere haben, gleich den Stiften, den Zweck, die Drehung der Schalen zu verhindern.

Fig. 100, Taf. 19/20 zeigt eine achteckige Lagerschale.

Die Bearbeitung der Arbeitsleisten erfolgt hier am besten mit der Hand durch Meissel und Feile. Durch Bestreichen mit Mennigfarbe wird ein gutes Anliegen im Lagerkörper kenntlich gemacht. Die achteckige Form verhindert die Drehung der Schalen.

Fig. 102, Taf. 19/20 zeigt eine gusseiserne Buchse mit Weifsgufsfutter, wie solche bei Kurbelwellenlagern von Dampfmaschinen Verwendung finden. Damit das um den Zapfen oder Dorn eingegossene Weifsgufsfutter sich im Lagerkörper nicht drehen kann, erhält dasselbe Nuten, wie Figur zeigt.

Weifsmetall ist ein sehr dünnflüssiges Metall und gewährt den Vorteil der leichten Ersetzbarkeit.

Außerdem werden durch solche Futter auch die Zapfen geschont, da dieses Material sehr weich ist.

Allerdings ist dafür auch die Abnutzung eine größere.

Fig. 109, Taf. 23/24 zeigt die gusseiserne Sellerssche Lagerschale. Gufseisen ist bedeutend billiger als Rotgufs und eignet sich ganz vorteilhaft, wenn man den Lagerschalen eine solche Länge giebt, daß die Flächenpressung zwischen Zapfen und Lager gering wird und das Öl durch die Pressung nicht weggedrückt werden kann. Es erhalten daher diese Schalen eine ungefähre Länge gleich dem vierfachen Wellendurchmesser, also  $l = 4d$ .

Die Lagerschale von Sellers hat den Hauptvorteil der Drehbarkeit auf ihrem Sitz in der Richtung des Zapfens, herbeigeführt durch ihr kugelförmiges Auflager. Die seitlichen beiden Schmiernäpfe der oberen Schale werden mit Fett (Talg) gefüllt, das erst bei etwaiger Erwärmung der Welle bzw. der Schale schmilzt und so für die nötige Abkühlung sorgt.

Fig. 103, Taf. 19/20 zeigt eine hölzerne Lagerschale.

Man findet solche bei Schleifsteinen, Wasserrädern, überhaupt da, wo Flüssigkeiten u. s. w. die Metalllager zu sehr angreifen. Die Abnutzung der Zapfen ist hier natürlich eine geringe.

Alle Lagerschalen erhalten eingehauene Nuten (meist nur die obere Schale), damit das eingeführte Öl sich besser über die ganze Oberfläche des Zapfens verbreiten kann.

Schneider, Maschinen-Elemente.

Die Dimensionen sind den Figuren eingeschrieben. Ein Haupterfordernis für gutes Funktionieren ist, daß der Zapfendruck normal zur Lagerfugenebene gerichtet ist. Ist letzteres nicht der Fall, so ist das Lager entsprechend schräg zu stellen.

Bei stark wechselnder Druckrichtung ordnet man das Lager drei- oder vierteilig an und versieht es mit besonderen Vorrichtungen (Schrauben und Keile u. s. w.) zum Nachstellen der einzelnen Stücke; s. Fig. 115 und 116, Taf. 29/30 (vergl. auch Zeitschr. d. Ver. d. Ing., Jahrgang 1890, S. 933).

Wäre z. B. der Zapfendruck bei dem Lager einer Dampfmaschine einmal nach der einen Seite, das andere Mal nach der anderen Seite gerichtet, während zugleich das Schwungradgewicht stets nach unten wirkte, so würde man ein dreiteiliges Lager anordnen. Der eine Teil nähme nun das Schwungradgewicht und die beiden anderen Teile die wechselnden Drücke auf. Je nach Abnutzung können dann die Teile nachgestellt werden.

#### 1. Gewöhnliches Stehlager.

Bei dem gewöhnlichen Stehlager (Normal-Stehlager) greift der Deckel mit besonderen Ansätzen in den Rumpf ein, um die Deckelschrauben vor Seitendrücken zu schützen. Die Schraubenlöcher in der Fußplatte des Lagers und in der Fundamentplatte sind länglich und zwar kreuzweise, damit das Lager in der Längs- und Querrichtung verschoben werden kann.

Fig. 104, Taf. 19/20 zeigt ein solches Stehlager mit Rotgufsschalen. Damit der Zapfen durch die Muttern der Deckelschrauben nicht etwa festgeklemmt wird, sind Gegenmuttern angebracht. Die Fundamentplatte (Sohlplatte) besitzt Nasen mit schrägen Seitenflächen. Zwischen diesen und der Fußplatte des Lagers werden harte Holzkeile oder Stahlkeile eingekeilt, um einesteiis das Lager gegen Verschiebung zu sichern, anderenteils die Fußschrauben zu entlasten.

Soll das Lager unmittelbar auf Holz geschraubt werden, so fallen Sohlplatte und Arbeitsleisten des Lagers weg.

Durch einen Draht, welcher im Schmiermaterial eintaucht, oder durch eine Nadelschmierbüchse erfolgt die Schmierung des Zapfens (s. Schmiergefäße, S. 44).

Vorteilhaft giebt man den Lagern noch Tropfbehälter (s. Fig. 104, Taf. 19; Fig. 109, Taf. 23 u. s. f.), welche das ablaufende Öl auffangen. Der Eintritt des Öls in das Fundament muß unbedingt verhütet werden.

Fig. 106, Taf. 21 zeigt ein Stehlager mit Ringschmierung und zwei Ölkammern nach Ausführung der Maschinenfabrik B. Bechstein, Altenburg.

Das Öl befindet sich in den beiden Ölkammern. Das durch die Schmierringe heraufgehobene Öl fließt die Welle herab, tritt somit in die zweite (obere) Kammer und schmiert hier die Welle nochmals seitlich unten, wie aus Fig. 106 zu ersehen ist. Der Ölstand läßt sich aus den angebrachten Ölstandrohren, welche mit Glas oder Celluloid versehen sind, erkennen.

Das Lager findet hauptsächlich für schnell laufende Maschinen Anwendung, z. B. Dynamomaschinen. Schwere Lager dieser Konstruktion werden ohne Kugelbewegung ausgeführt.

Zur Berechnung eines Lagers (Fig. 104, Taf. 19) sei Folgendes bemerkt:

Bohrung sowie Länge der Lagerschalen sind bestimmt durch die Dimensionen  $d$  und  $l$  des Zapfens. Die Stärke  $s$  der Deckelschrauben ermittelt sich aus dem Zapfendruck  $P = l \cdot d \cdot p$  (Formel 50).

Sind zwei solcher Schrauben vorhanden (bei größeren Lagern, über 150 mm Bohrung, ordnet man meist vier Deckelschrauben an), so kommt auf jede nur die Hälfte der Kraft, demnach

$$\frac{P}{2} = \frac{l \cdot d \cdot p}{2}.$$

Nach Gleichung 2) ist die Zugkraft für eine Schraube gleich  $2,36 s^2$ , folglich muß sein:

$$2,36 s^2 = \frac{l \cdot d \cdot p}{2},$$

woraus sich der Kerndurchmesser  $s$  der Deckelschraube ergibt.

Sind beispielsweise die Zapfendimensionen

$$d = 50 \text{ mm und } l = 75 \text{ mm}$$

und ist

$$p = 0,3 \text{ kg pro qmm,}$$

so folgt

$$2,36 s^2 = \frac{75 \cdot 50 \cdot 0,3}{2},$$

woraus die Schraubenstärke

$$s = \sqrt{\frac{75 \cdot 50 \cdot 0,3}{2 \cdot 2,36}} = 15,4 \text{ mm} \sim \frac{5}{8}''.$$

Hierbei ist vorausgesetzt, daß der Zapfendruck die Schrauben voll beansprucht. Ist derselbe nur nach unten gerichtet, so könnte man die Schrauben natürlich viel schwächer nehmen. Im Interesse der Praxis müssen die Schrauben aber eine gewisse Stärke im Vergleich zum Lager erhalten.

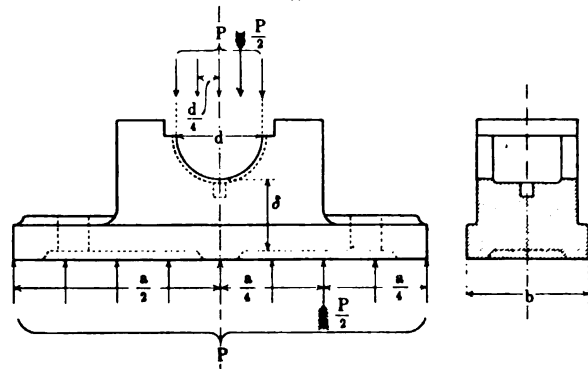
Es erhalten nun die Fußschrauben des Lagers dieselbe Stärke oder die Stärke der Fundamentschrauben. Die Fundamentschrauben macht man etwas stärker, da dieselben kräftig angezogen werden müssen.

Es sei für diese:

$$s_1 = \frac{9}{8} s. \quad \dots \quad 68)$$

Die Stärke  $\delta$  des Lagerkörpers ergibt sich aus der Biegungsgleichung

Fig. 54.



$$M = W \cdot k_b = \frac{J}{e} \cdot k_b.$$

Hierin ist  $J$  das Trägheitsmoment des Lagerquerschnitts und  $e$  der Abstand der neutralen Achse von der unteren Kante.

Für  $\frac{J}{e}$  kann genau genug gesetzt werden:

$$\frac{J}{e} = \frac{b \cdot \delta^3}{6}$$

$k_b$  kann bis 4,5 kg pro qmm genommen werden.

Nimmt man  $k_b = 3,5$  kg, so ist also

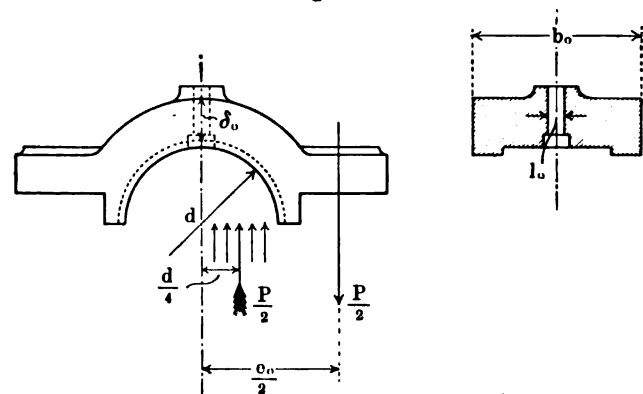
$$\frac{P}{2} \left( \frac{a}{2} - \frac{d}{4} \right) = \frac{b \cdot \delta^3}{6} \cdot 3,5.$$

Wird ferner der Wert für  $P = l \cdot d \cdot p$  eingeführt, so folgt

$$\frac{l \cdot d \cdot p}{2} \left( \frac{a}{2} - \frac{d}{4} \right) = \frac{b \cdot \delta^3}{6} \cdot 3,5 \quad \dots \quad 69)$$

Zur Ermittlung der Deckelstärke hat man die

Fig. 55.



Biegungsgleichung:

$$\frac{P}{2} \left( \frac{e_0}{2} - \frac{d}{4} \right) = \frac{(b_0 - l_0) \cdot \delta_0^3}{6} \cdot 3,5$$

oder

$$\frac{l \cdot d \cdot p}{2} \left( \frac{e_0}{2} - \frac{d}{4} \right) = \frac{(b_0 - l_0) \cdot \delta_0^3}{6} \cdot 3,5 \quad \dots \quad 70)$$

Zur Konstruktion der Lager sind Verhältniszahlen aufgestellt, welche mit der Bezugseinheit zu multiplizieren sind.

Die Bezugseinheit ist

$$d_1 = d + 2(e + 2); \text{ s. Fig. 98, Taf. 19/20}$$

$$\text{oder } d_1 = d + 2(3 + 0,07d + 2) = d + 0,14d + 10$$

$$d_1 = 1,14d + 10 \dots \dots \dots 71)$$

Die mit dieser Bezugseinheit zu multiplizierenden Verhältniszahlen sind den Figuren auf den Tafeln eingeschrieben.

Ist die Höhe von Lagersohle bis Zapfenmitte größer als beim Normallager, so nennt man das Lager ein erhöhtes Stehlager. Hier werden häufig die Deckelschrauben mit Querkeilen im Lagerkörper befestigt.

## 2. Rumpflager.

Mufs aus Mangel an Raum die Fufsplatte eines Stehlagers verkleinert werden, so entsteht das Rumpflager (s. Fig. 108, Taf. 21/22).

Bei diesem fallen die Fufsschrauben fort und die Deckelschrauben werden mit Zwischenköpfen ausgeführt.

Die Bezugseinheit ist wieder

$$d_1 = 1,14d + 10.$$

## 3. Bocklager.

Ein Bocklager entsteht, wenn die Zapfenmitte über  $4d$  von der Sohle entfernt ist (s. Fig. 107, Taf. 21/22).

Es besteht dasselbe aus einem Bock, auf welchem der Lagerkörper befestigt ist. Der Bock kann aus Hohlguß, Rippenguß (T-förmigem Querschnitt) oder auch aus U-förmigem Querschnitt hergestellt werden.

Die Deckelschrauben werden entweder durch Querkeile im Lagerkörper befestigt oder sie müssen, wenn sie mit Köpfen versehen sind, sich von unten (durch den Bock) in das Lager hineinführen lassen.

Zur Befestigung des Bockes dienen vier Fundamentschrauben.

Die Bezugseinheit ist wieder

$$d_1 = 1,14d + 10.$$

## 4. Das Sellerssche Lager.

Fig. 109, Taf. 23/24 zeigt die Konstruktion eines solchen Lagers. Die Deckelschrauben erhalten auch hier zweckmäfsig Gegenmutter, damit ein Festklemmen des Deckels beim Anziehen der Muttern vermieden wird und die beiden Schalen ihre Beweglichkeit behalten. Im Übrigen gilt hier das bereits Gesagte auf Seite 35.

Die Bezugseinheit ist wieder

$$d_1 = 1,14d + 10.$$

Ein Transmissionslager mit Ölkirkulation, welches der Aktien-Gesellschaft Ullrich u. Hinrichs, Ratingen-Düsseldorf gesetzlich geschützt ist, zeigt Fig. 112, Taf. 25/26. Es vereinigt die Vorteile der Sellersschen Anordnung mit den in neuerer Zeit sich immer mehr einführenden selbstthätig schmierenden Lagern. Da die Entfernung der Kugelpole nicht größer ist als bei den gewöhnlichen Sellerslagern, kann das Lager auch in ältere Kugellagerböcke eingesetzt werden. Durch die Schmierringe findet ein fortwährender Kreislauf des Schmiermaterials statt, das vermittelt geeigneter Schmiernuten über die ganze Lagerstelle verteilt wird.

Siehe auch die Anordnungen nach A. Spengler, Maschinenfabrik, M.-Gladbach.

Das Eisenwerk Wülfel vor Hannover klemmt den zweiteiligen Schmierring fest auf die Welle, wodurch ein etwaiges Stehenbleiben des Schmierringes ausgeschlossen ist.

## 5. Achsbüchsen für Wagen.

Für die preussischen Staatsbahnen haben sich im Laufe der Zeit besonders zwei Lagerkonstruktionen für die Achsbüchsen gut eingeführt, und sind auf Taf. 31/32 zwei solcher Traglager gezeichnet.

Wie jedes Lager, so erfordert auch das Lager für Eisenbahnwaggons sowohl in der Herstellung als auch im Betriebe grofse Sorgfalt, da ein Nichtfunktionieren des Lagers eine Betriebsstörung zur Folge hat, durch Heifslaufen u. s. w.

Namentlich ist die Konstruktion derart zu treffen, dafs ein Eindringen von Schmutz, Wasser und dergl. vermieden wird und die Schmierung reichlich und mit gutem Schmiermaterial vor sich geht.

Bei dem Lager Fig. 119, Taf. 31 erfolgt die Schmierung durch ein der Firma G. u. J. Jäger, Maschinenfabrik, Elberfeld patentiertes, federndes Polster. Die übrige Konstruktion geht aus der Zeichnung hervor. Für den hinteren Abschluß ist in einer hierfür angeordneten Vertiefung im Gehäuse ein Dichtungsring angebracht (aber nicht mit gezeichnet), welcher ein Eindringen von Wasser und Schmutz verhindert.

Die Achsen laufen in Weifsmetall oder in Schalen von Rotguß mit Eingufs von Weifsmetall.

Bei Fig. 120, Taf. 32 ist noch eine obere Schmierung angebracht. Die Hauptschmierung erfolgt jedoch wie bei Fig. 119 von unten.

Da der Wagendruck nur von oben erfolgt, so befindet sich die Auflagefläche der Achse auf die Metallschale nur in der oberen Hälfte. Die untere Hälfte der Achse wird durch die Wollsauger mit Öl versehen, welches bei der Umdrehung der Achse mit herumgeschleudert wird und so zwischen Achse und Metallschale gelangt.

### 6. Rollenlager (Kugellager).

Um den Reibungswiderstand zu vermindern oder um Kraft zu sparen, kam man schon in uralten Zeiten auf den Gedanken, bei der Fortbewegung eines Körpers sich der Walzen zu bedienen.

Werden nun zwischen zwei sich pressende Körper Rollen oder Kugeln gelegt, derart, daß bei Verschiebung dieser Körper eine rollende (wälzende) Bewegung stattfindet, so entsteht ein Rollenlager.

Durch dasselbe geschieht also nichts anderes, als daß der Reibungswiderstand vermindert wird, indem die früher gleitende Reibung in eine rollende verwandelt wurde.

Die Figuren 123 und 124, Taf. 33/34 zeigen ein solches Lager. Dasselbe ist der Firma Ph. Mayfarth u. Co., Frankfurt a. M. patentiert und besteht aus:

1. dem Lagerständer,
2. dem Rollenbündel mit Schmierring,
3. der Schmierschraube.

Der Lagerständer ist aus einem Stück gegossen und besitzt im Innern einen Hohlraum, welcher als Ölbehälter dient und das zum Schmieren nötige Öl in sich aufbewahrt. In diesen ausgedrehten Lagerständer kommt das Rollenbündel mit Schmierring zu liegen. Letzteres besteht aus zwei Stahlgußringen, welche in geeigneter Weise zu einem Ganzen vereinigt und zwischen denen die Stahlrollen eingelegt sind. Der Schmierring ist aus Federstahl hergestellt, und obwohl sein Durchmesser größer ist als die Bohrung des Lagerständers, wird er trotzdem durch dieselbe in den Ölbehälter eingebracht.

Die Schmierschraube dient zum Verschließen der Schmieröffnung, durch welche das Öl eingegossen wird, und verhindert das Eindringen von Staub und Schmutz in das Lager.

Wird die Welle im Lager gedreht, so werden auch die Stahlrollen in Drehung versetzt. Doch nicht nur die einzelnen Rollen, sondern auch das ganze Rollenbündel vollführt eine Kreisbewegung um die Welle, welche auf den Schmierring übertragen und somit eine beständige Heraufbeförderung des Öls bewerkstelligt wird.

Oben genannte Firma gibt an, daß bei Maschinen, welche mit diesen Lagern versehen sind, eine Kraftersparnis von etwa 30 Proz. der sonst zum Betriebe nötigen Kraft erzielt wird.

Recht vorteilhafte Anwendung finden solche Lager bei landwirtschaftlichen Maschinen.

Ein Kugellager zeigt Fig. 121, Taf. 33/34.

Dasselbe ist der Firma E. Pergande in Perleberg patentiert und wird dadurch gegen Staub ge-

schützt, daß an jedem Lagerende ein die Welle  $w$  oder die Stellringe  $m$  dicht umschließender Filzring  $F$  durch einen Staubring  $i$  gegen die Kugelschale  $a$  gedrückt wird, wobei die Ringflansche  $i$ , eine zu starke Zusammendrückung von  $F$  verhindern und gleichzeitig als Gegenschrauben die Lage von  $a$  sichern.

Ähnliche Kugellager sind bei den Züricher Straßenbahnen seit 1896 im Gebrauch und haben sich gut bewährt, auch sind dort eingehende Versuche über die Kraftersparnis angestellt worden. Über Konstruktion und Versuche siehe das Nähere in der Zeitschr. d. Ver. d. Ing., Jahrg. 1899, S. 466.

Die Kugellager finden in neuerer Zeit mannigfache Verwendung, so für Flaschenzüge, Thürangeln, Rollen u. s. w.

Die Konstruktionen über die Kugellager der Wanderer-Fahrradwerke sind auf Tafel 33/34 zu ersehen.

Fig. 126, Taf. 34 zeigt das Kurbellager.

Die auf der Achse durch konische Vierecke 1 befestigten Kurbeln werden durch die Muttern 2 und 3 festgehalten. Die Mutter 2 hat linkes, die Mutter 3 rechtes Gewinde. Die Glocke 4 besteht aus einem Stück mit der Achse. Der Konus 5 ist auswechselbar aufgeschoben. Der Konus 6 ist dadurch verstellbar, daß die Kurbel 7 durch Lösen und Entfernen der Mutter 2 abgenommen wird, worauf man die Stellmutter 8 mittels eines Schlüssels, welcher in die zwei sichtbaren Löcher paßt, lockern und Konus 6 verstellen kann.

Das Ölrohr 9 dient zur gleichmäßigen Verteilung des durch einen Öler eingeführten Öles nach den beiden Laufstellen der Kugeln. Das Kettenrad 10 ist mittels eines rechten Gewindes auf der Glocke 4 aufgeschraubt und durch die Mutter 11, welche linkes Gewinde hat, vor dem Lockern gesichert. Die in die Lagerschalen eingeschobenen Ringe 12 verhindern sowohl das Eindringen von Staub in die Lagerschalen 13 als auch das Auslaufen des Öles aus denselben. Die Kurbelachse 14 ist an den Vierecken gehärtet, um dieselben keiner Abnutzung auszusetzen, die Kurbeln sind nicht gehärtet, damit sie bei einer eventuell durch Sturz u. s. w. herbeigeführten Verbiegung wieder gerade gerichtet werden können ohne zu brechen.

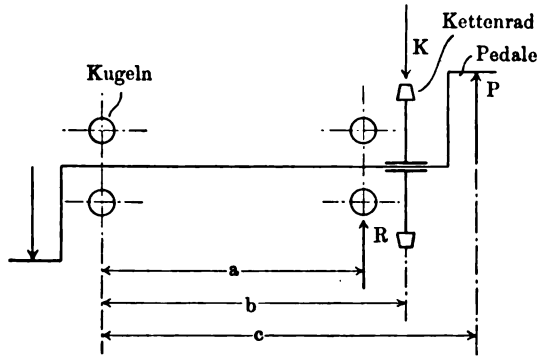
Die Kurbeln sind auf der Achse so angeordnet, daß man an den Stellen  $A$  die Achse nicht sieht, wodurch ein direkter Übergang in das Kurbellager hergestellt wird.

Das Kurbelgehäuse 15 ist aus einem Stück nahtlosem Stahlrohr hergestellt, aus welchem die Ansätze für die Rahmenrohre auf kaltem Wege herausgezogen sind. Ein so hergestelltes Lagergehäuse ist sehr leicht und bietet sichere Gewähr gegen Bruch, da sich Fehler im Material schon während der Bearbeitung unbedingt zeigen müssen.

Bei der Konstruktion der Fig. 126, Taf. 34 sind die Kugellager so weit als möglich nach aussen gerückt. Letzteres ist vorteilhaft, da hierdurch der Kugeldruck  $R$  vermindert wird. Es ist nämlich nach Fig. 56

$$P \cdot c = K \cdot b = R \cdot a.$$

Fig. 56.



Kettenzug  $K$  und Kugeldruck  $R$  werden durch den Pedaldruck  $P$  hervorgerufen. Da  $P$  bekannt ist,

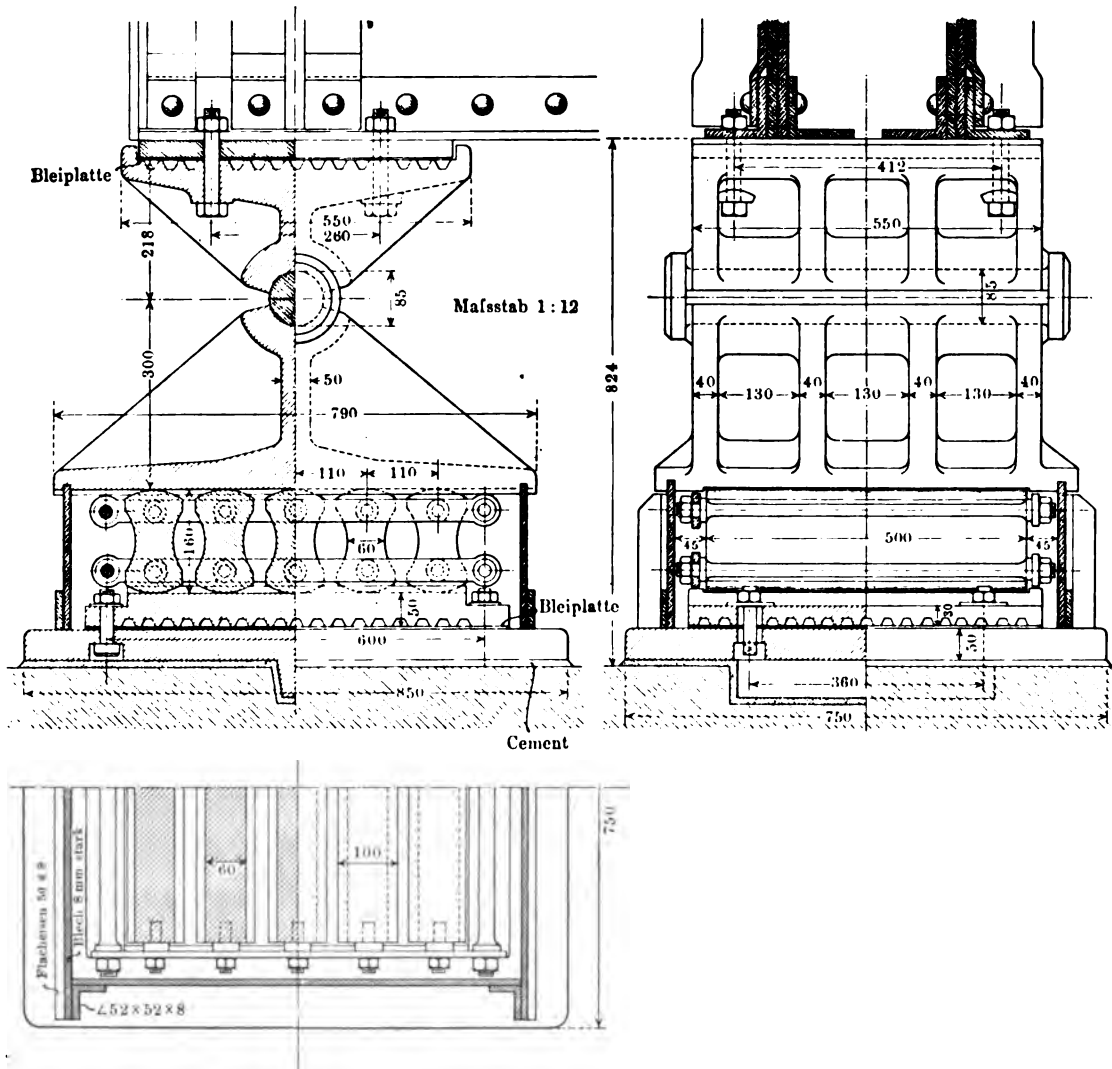
kann  $R$  nur vermindert werden, wenn  $a$  möglichst groß wird, denn  $R = \frac{P \cdot c}{a}$ . Daher wird die Kugelreihe bis zum Kettenrade hinausgerückt und bei der Konstruktion Fig. 126, Taf. 34 ist das Kettenrad direkt über den Kugeln angeordnet, also  $a = b$  gemacht.

Rollenlager, die großen Druck auszuhalten haben, finden bei Brückenträgern häufige Verwendung. Fig. 57 zeigt das bewegliche Auflager der Eisenbahnbrücke über den Dickebach, Neustettin-Rügenwalde (Stützweite 51,6 m).

Fig. 58 (a. f. S.) stellt das feste Auflager der Weserbrücke bei Gr. Hutbergen dar (Stützweite 79,8 m).

Für die Beweglichkeit der Brückenträger dienen die Stelzen oder Pendel (Pendellager). Ein Auflager ist fest, während das andere beweglich sein muß. Bei eintretender Belastung wird die Brücke ihre ursprüngliche Lage ändern, sie wird sich schief stellen. Des-

Fig. 57.





halb wird dieselbe auf Zapfen gelagert, und diese Lager heißen daher auch Zapfenkipplager.

Bezeichnet bei einem Rollenlager<sup>1)</sup>:

$P$  = Druck auf die Rollen in kg,  
 $i$  = Anzahl der Rollen, welche den Druck aufzunehmen haben (hierbei ist unter  $i$  nicht etwa die Gesamtzahl der Rollen bezw. Kugeln

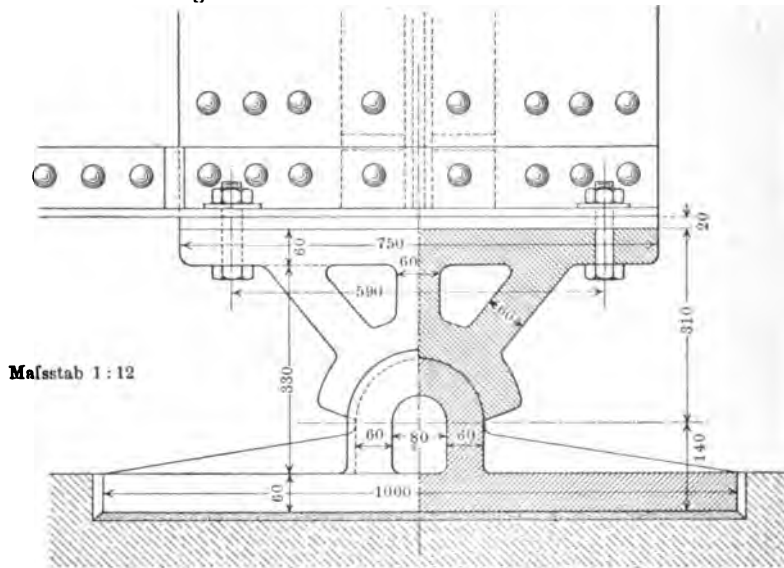
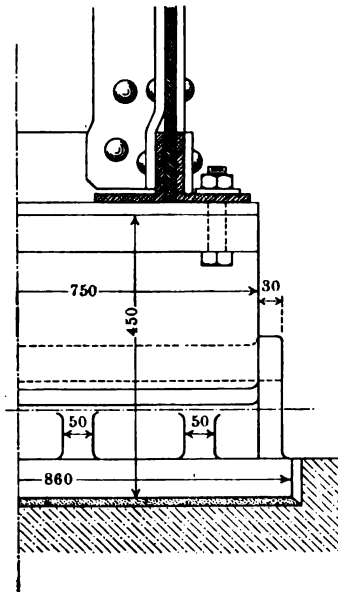
Für Kugellager gilt

$$P = k \cdot i \cdot d^2 \dots \dots \dots 73)$$

wobei

$k$  bis 2,5 bei Kugeln aus Gufseisen zwischen zwei ebenen Flächen aus demselben Material bei der oben unter Rollenlager gemachten Voraussetzung.

Fig. 58.



zu verstehen, sondern nur ein Teil derselben, der die Belastung überträgt; es ist annähernd richtig, wenn man  $i$  höchstens  $\frac{1}{4}$  der Anzahl einer Kugel- oder Rollenreihe setzt: Prof. Skribeck setzt  $i = \frac{1}{6}$ , s. S. 42),

$d$  = Durchmesser derselben in Centimetern (bei Kegelform ist  $d$  der mittlere Durchmesser derselben in Centimetern),

$l$  = tragende Länge in Centimetern,

$k$  ein Koeffizient,

so kann man für cylindrische oder kegelförmige Rollen setzen:

$$P = k \cdot i \cdot d \cdot l \dots \dots \dots 72)$$

Für  $k$  kann hierbei genommen werden:

$k$  bis 25 bei Rollen aus Gufseisen auf ebenen Platten aus Gufseisen, bei der Voraussetzung, daß das Lager so ausgeführt ist, daß die Lastverteilung auf die Länge der Rollen möglichst gleichmäßig erfolgt.

Sind die Rollen sehr lang, so ist  $k$  etwas kleiner zu nehmen, da eine gleichmäßige Lastverteilung dann um so weniger vorhanden sein wird.

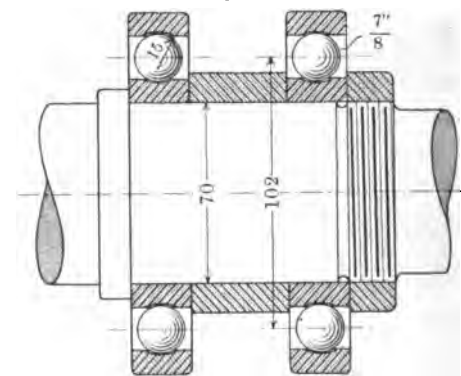
$k$  bis 60 bei Rollen aus Stahl auf ebenen Platten von Stahl (Stahlgufs) unter der obigen Voraussetzung.

<sup>1)</sup> Nach Bach, Maschinen-Elemente.

$k$  bis 6 bei Kugeln aus Stahl auf ebenen Stahlplatten bei obiger Voraussetzung.

$k$  bis 125 bei Kugeln aus Gufseisen in gufseisernen Rinnen von Kreisbogenform (Krümmungshalbmesser  $r$  etwa gleich  $\frac{9}{16} d$ ), siehe Fig. 59; nachdem sich die Rinnen durch die

Fig. 59.



Kugeln genügend geglättet und zusammengeedrückt haben.

$k$  bis 300 bei Kugeln aus Stahl in Stahlrinnen bei der letzt gemachten Voraussetzung.

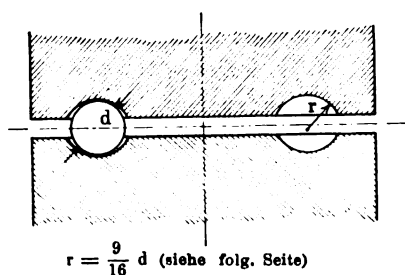
Größere Werte für  $k$  bedingen gleichzeitig Formänderung der Rollen bezw. der Kugeln.

Von großer Wichtigkeit ist die Herstellung der Kugeln. Es dürfen sich selbst unter dem Mikroskop

auf den Oberflächen derselben keine Löcher und Flecken zeigen. Das Material von Kugeln und Lagern muß sehr hart und die Härtung der Lager soll so tief wie der Kugelhalbmesser sein.

Aus den Mitteilungen der Centralstelle für wissenschaftlich-technische Untersuchungen, Neubabelsberg bei Berlin, über Kugellager von Prof. Skribeck geht hervor, daß das Kugellager nach Fig. 60 für große Belastungen am besten ist.

Fig. 60.



Die Laufflächen der Ringe bilden im Querschnitt Kreisbogen, deren Halbmesser zwei Drittel des Kugeldurchmessers betragen. Sie waren sauber bearbeitet und ziemlich frei von Schleiffrissen. Aus dem reichen Beobachtungsmaterial folgt:

a) Bei Belastungen von 1000 ÷ 3000 kg und bei sämtlichen Versuchsgeschwindigkeiten, 65 bis 780 Umdrehungen pro Minute, sowie bei Ölttemperaturen von 18 ÷ 40° sind die Reibungskoeffizienten nur wenig verschieden. Im Mittel ist  $\mu = 0,0015$ .

b) Erst von 1000 kg an nimmt der Reibungskoeffizient mit abnehmender Belastung erheblicher zu. Von der Geschwindigkeit ist er auch bei diesen kleineren Belastungen fast unabhängig.

Die Ergebnisse über  $\mu$  zeigt nachstehende Tabelle.

Umdrehungen pro Minute		65	385	780
Lagerbelastung 380 kg entspr. $1,4 d^2$ *)	$\mu =$	0,0033	0,0035	0,0037
" 850 " " $3,1 d^2$ "	$\mu =$	0,0020	0,0021	0,0022
" 1100 " " $4 d^2$ "	$\mu =$	0,0017	0,0018	0,0019
" 1580 " " $5,8 d^2$ "	$\mu =$	0,0016	0,0016	0,00165
" 2050 " " $7,5 d^2$ "	$\mu =$	0,0015	0,0015	0,0015
" 3000 " " $11 d^2$ "	$\mu =$	0,0015	0,0013	0,0013
" 4900 " " $17,9 d^2$ "	$\mu =$	—	—	0,0011

\*)  $d$  = Kugeldurchmesser in englischen Achtelzollen und  $1,4 d^2$  = größte Belastung einer Kugel.

Für die Belastungen von der zulässigen bis auf den halben Betrag, das ist von 3000 ÷ 1500 kg schwankt  $\mu$  nur zwischen 0,0013 und 0,0017.

Die Versuche mit anderen Konstruktionen ergaben nicht so günstige Resultate.

Bei 4900 kg Belastung und 780 Minuten-Umdrehung waren schon nach einigen Stunden geringe Unterschiede in der Härte auf den Laufspuren der Ringe deutlich wahrzunehmen. Bis 780 Minuten-Umdrehung und 3000 kg Belastung verhielten sich aber Kugeln und Ringe tadellos.

Es ergibt sich dabei für Kugel in hohler Rinne, deren Krümmungshalbmesser  $= \frac{2}{3} d$  ist,

$$P = 10 d^2 \text{ (d in Achtelzoll englisch),}$$

$$P = 100 d \text{ (d in Centimetern).}$$

In den Deutschen Waffen- und Munitionsfabriken zu Berlin sind verschiedene Kugellager ausgeführt und im Betriebe beobachtet worden. Dieselben werden bemessen für ebene, kegelförmige und cylindrische Laufflächen nach der Gleichung:

$$P = 3 d^2 \div 5 d^2 \text{ (d in Achtelzoll englisch),}$$

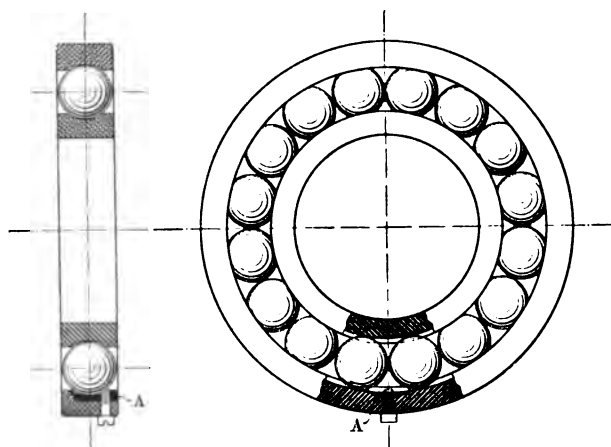
$$P = 30 d^2 \div 50 d^2 \text{ (d in Centimetern).}$$

Die kleineren Werte gelten für den Fall, daß an den meist belasteten Druckstellen neben der rollenden die gleitende Reibung auftritt, die größeren Werte, wenn die Kugeln nur rollen. Die Belastung  $5 d^2$  ist schon verhältnismäßig hoch und liegt der Grenzbelastung, bei welcher sich Unvollkommenheiten des Materials unliebsam bemerkbar machen, jedenfalls näher als die für hohle Ringe angegebene Belastung  $10 d^2$ . Traglager nach Fig. 60 können für Belastungen von 6000 ÷ 10 000 kg noch vorteilhaft Verwendung finden.

Herr Prof. Skribeck hat am 9. April 1901 einen Vortrag über Kugellager im Verein für Eisenbahnkunde zu Berlin gehalten. Aus demselben sei hier Folgendes mitgeteilt.

Das normale Laufringsystem der Deutschen Waffen- und Munitionsfabriken, Berlin, ist in Fig. 61 dar-

Fig. 61.



gestellt. Die Kugeln sitzen ohne Spielraum zwischen den Ringen. Dadurch wird genaue Lagerung und

ruhiger Lauf erzielt und es können die beiden Laufringe sich gegeneinander nicht nennenswert verschieben, sondern nur drehen.

Der eine Ring, immer der ruhende, ist zur Montierung mit einem Schloß A und der zugehörigen Befestigungsschraube versehen. Diese Konstruktion ist der Firma patentiert. Da der Kreisbogen der Laufrinne nur wenig schwächer gekrümmt ist als der Kugelkreis, so kann diese Anordnung auch kleine in der Achsrichtung wirkende Kräfte übertragen.

Die Konstruktion erhält meist  $12 \div 15$  Kugeln. Wenn der Halbmesser des Lauflächenprofils das  $\frac{3}{8}$  fache des Kugelhalbmessers beträgt und das Lager nicht weniger als zehn Kugeln enthält, so darf die größte Belastung einer Kugel

$P_k = 150 d^2$  ( $d$  = Kugeldurchmesser in Centimetern) und die Belastung des Lagers

$$P_t = \frac{i}{5} \cdot 150 d^2 = 30 i d^2$$

betragen, wenn  $i$  = Anzahl der Kugeln bedeutet.

Für  $d$  in englischen Achtelzoll ergibt sich

$$P_t = 3 \cdot i \cdot d^2$$

Letztere Formel ist für die Rechnung bequemer, weil die Kugeln auf englisches Maß gefertigt werden.

Für Laufringsysteme mit

14 Kugeln von 4	6	8	12	16 Achtelzolldurchmesser
ergibt sich also:				
$P_t = 670$	1500	2700	6000	10 700 kg

Zu einem Traglager für 40000 kg Belastung genügen hiernach vier Laufringsysteme mit 2" Kugeln.

Fig. 62 zeigt ein Transmissionslager.

Während die Bauart der früher besprochenen Lager, Sellerslager, wegen der Länge ihrer Schalen ( $l = 4d$ ) viel Platz beansprucht, ist das Kugellager viel kürzer und kann stärker belastet werden als das Sellerslager.

Bei großen Geschwindigkeiten ist das Kugellager ebenso betriebssicher als bei kleinen. Die Selbstschmierung ist die vollkommenste, sowohl bei Verwendung von Öl als von Starrschmiere.

Der innere Spurring ist gegenüber der Welle durch zwei dünne, geschlitzte Stahlringe mit konischen Anzugsflächen und Schraubengewinde verspannt. Daher werden sich bei einem Wellenstränge die inneren Lagerringe mit den zugehörigen Wellenteilen längs verschieben, wenn sich die Temperatur der Welle ändert, und die äußeren Laufringe müssen dieser Bewegung folgen können.

Deshalb ist das Lagergehäuse entsprechend weiter und seine Bohrung entsprechend länger als der äußere Laufring. Wo durch einen Stellring die Längsverschiebung der Welle gehindert werden soll, kann dieser zwischen innerem Laufring und Gehäusewand, also noch innerhalb des Gehäuses angeordnet werden.

Bei ruhendem Betriebe können die Laufringe mit geringer Mühe und wenig Zeitaufwand nachgesehen und die Kugeln herausgenommen werden. Zu dem Zweck reichen die Seitenwände der U-förmigen Sohlplatte bis nahe an die Welle heran und ist das zweiteilige Lagergehäuse einerseits an einem in der Sohlplatte befestigten Bolzen drehbar gestützt und anderseits durch eine umlegbare Schraube gehalten. Nachdem die Mutter abgeschraubt ist, läßt sich die Schraube umlegen und demnach der Deckel durch Aufklappen öffnen. Durch Öffnen des am äußeren Laufringe befindlichen Schlosses lassen sich die Kugeln herausnehmen, nachdem zuvor durch Drehen des Ringes dasselbe zugänglich gemacht worden ist.

Für kurze Vorgelegewellen ist das einfache Lager, Fig. 63, bestimmt.

Fig. 64 zeigt ein ebenfalls ausgeführtes Spurlager für einen Bootskran.

Fig. 65 zeigt den Entwurf der Deutschen Waffen- und Munitionsfabriken für das Achslager eines Eisenbahnwagens.

Derselbe soll nur im Allgemeinen die Gliederung des Lagers angeben und so dem Eisenbahn-Maschinen-

Fig. 62.

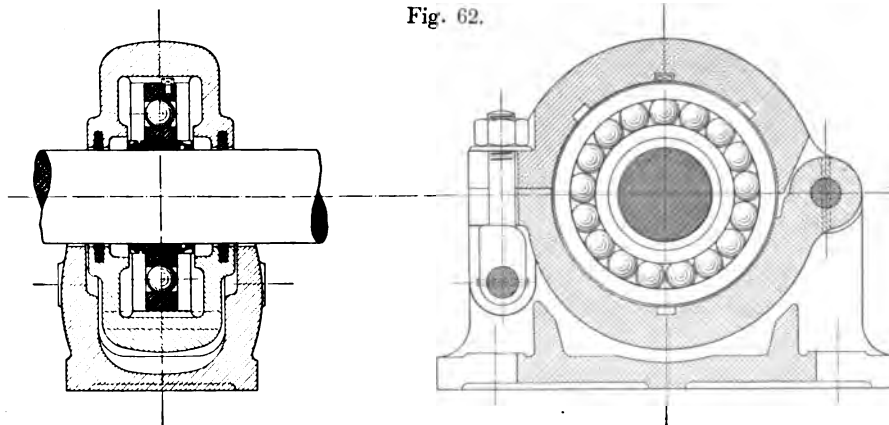


Fig. 63.

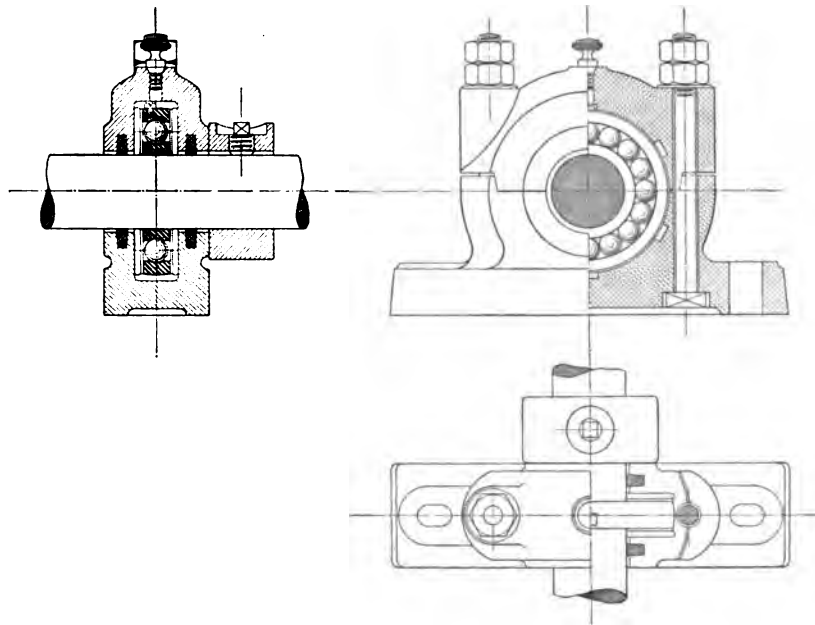


Fig. 64.

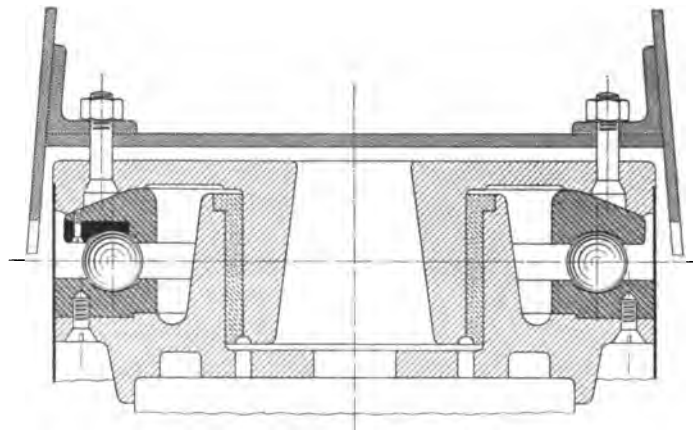
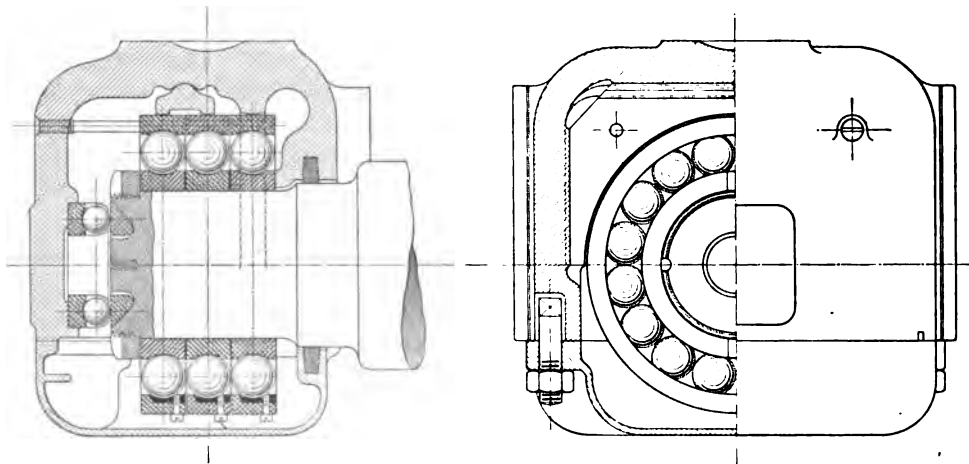


Fig. 65.



ingenieur diejenigen Anhaltspunkte bieten, deren er zur Ausbildung der Achsbüchse bedarf.

Nach den gemachten Versuchen dürften sich die Kugellager wohl als die vorteilhaftesten erweisen und auch im Eisenbahnbau Eingang finden.

#### Hängelager, Hänge- und Lagerbock, Wandkonsollager, Lagerplatte, Mauerkasten, Wandkonsol, Wandplatte.

Soll ein Lager an der Decke befestigt werden, so kann ein Hängelager oder Hängebock Verwendung finden. Das Hängelager kann hierbei offen (s. Fig. 129, Taf. 35/36) oder mit einem Stangenschluß (s. Fig. 130, Taf. 35/36) versehen oder überhaupt geschlossen sein (s. Fig. 32, Taf. 37).

Letztere Anordnung hauptsächlich für größere Bohrungen und für links und rechts wirkende Beanspruchungen.

Nachteilig bei diesen Lagern ist, daß die Welle nach Entfernung des Deckels nicht sofort seitlich herausgenommen werden kann, wie das bei den einarmigen Hängelagern der Fall ist. Die Lagerschalen werden in Gußeisen nach Sellers, Bronze oder Weißmetall und Ringschmierung ausgeführt.

Die Spindeln sind hohl und das Gewinde derselben wird flachgängig hergestellt.

Besondere Druckschrauben halten dieselben in ihrer Lage fest.

Die Höhlung der Spindeln ist an den Enden vierkantig oder sechskantig ausgebildet, damit dieselben durch einen eingesteckten Schlüssel oder ein passendes Stück Eisen gedreht werden können.

Die Verbindungsarme werden meist mit T-förmigem Querschnitt, überhaupt meist Rippengufs, ausgeführt, wie die Figuren auf Tafel 35/36 zeigen. Hohl gegossene Arme erhöhen die Modellkosten, sind aber stabiler und daher für Lagerböcke, die größere Kräfte aufzunehmen haben, vorteilhafter.

Unter jedem Hängelager soll sich ein Ölfänger befinden. Siehe Anordnung Fig. 129, Taf. 35/36.

Die Konstruktion eines Hängebockes zeigt Fig. 108, Taf. 21/22.

Soll ein Lager an einer senkrechten Wand befestigt werden, so kann dies mittels eines Wandbockes (einer Wandkonsole, bzw. Wandplatte, siehe Figuren Taf. 42/43) geschehen.

Fig. 134, Taf. 38 zeigt ein Wandkonsollager nach den Ausführungen der Maschinenfabrik A. Spengler, M.-Gladbach. Die Länge des Wandarmes hängt gewöhnlich von den größten Riemenscheiben und Rädern ab, welche auf der betreffenden Welle sitzen.

Unrichtig ist, das Lager mit einem Wandbock zusammenzugießen, weil hierdurch das Verschieben des Lagers gehindert wird.

Fig. 151, Taf. 44/45 giebt einen Lagerbock, die Figuren auf Taf. 40/41 geben Lagerplatte und Mauerkasten nach den Ausführungen der Maschinenfabrik A. Spengler, M.-Gladbach, wieder.

Die Mauerkasten werden eingemauert oder durch Vergießen mit Cement in feste Verbindung mit der Mauer gebracht. Erforderlichenfalls sind dieselben mit der Mauer zu verankern.

#### Schmierapparate.

Die Schmierung hat den Zweck, die Unebenheiten der aufeinander gepreßten Körper möglichst auszugleichen und die Reibung somit zu vermindern.

Als Schmiermittel dienen am besten mineralische Öle oder konsistente Fette. Letztere werden erst durch die Erwärmung, wie solche ja bei den im Betriebe befindlichen Lagern eintritt, wirksam. Die Fette schmieren daher nur während der Drehbewegung der Welle.

Eine Dochtschmierung für Öle zeigt Fig. 135, Taf. 39. Ein Röhrchen aus Schmiedeeisen oder Kupfer reicht bis in die obere Lagerschale (damit das Öl nicht zwischen Lagerdeckel und Schale treten kann) und das Öl wird durch einen Baumwollendocht dem Zapfen zugeführt. Bei dieser Anordnung erfolgt die Schmierung fortwährend, also auch beim Stillstande der Welle bzw. des Zapfens, was als recht unvorteilhaft bezeichnet werden muß.

Diesem Übelstande wird abgeholfen durch eine Nadelschmierbüchse; Fig. 136 und 139, Taf. 39. Es besteht diese aus einer Glasvase, in welche ein Stift (Nadel) hier in Öl taucht und bis auf die Welle aufsteht. Steht die Welle still, so erfolgt keine Schmierung, wird dagegen die Welle bewegt, so wird durch das Zittern des Stiftes das Öl tropfenweise an demselben entlang gleiten und so die Welle schmieren.

Einen selbstthätigen Öler mit sichtbarer Tropfenschmierung für schnelllaufende Motoren, Dynamomaschinen u. s. w. zeigt Fig. 140, Taf. 39. In der umgelegten Stellung des Knebels oberhalb wird das Öl durch den Stift dadurch abgesperrt, daß der Stift (Nadel) sich an einen Konus anlegt, während bei der punktiert gezeichneten, aufrecht stehenden Stellung des Knebels der Stift in die Höhe rückt, wodurch der Konus frei wird und das Öl zwischen Konus und Stift hindurch gelangen kann. Man braucht also nur beim Stillstande der Maschine, z. B. des Nachts, den Knebel umzulegen, um das Schmieren zu verhindern.

Staufter-Büchse Fig. 137 und Tovote-Büchse Fig. 138, Taf. 139 dienen für konsistente Fette. Letztere ist aus Messingblech geprefst. Im Innern befindet sich ein ebenfalls aus Messingblech geprefster Kolben, der mit Schrot gefüllt durch sein Gewicht das unter ihm befindliche Fett in die Schmiernuten drückt.

Da es jedoch kein Fett giebt, welches bei Temperaturwechsel so gleichmäßig konsistent bleibt, daß es stets auch die gleiche Belastung nötig hätte, um zur genügenden Schmierung gebracht zu werden, so führen Apparate, wie die Tovote-Büchse, bei Wärme den Lagern das Fett übermäßig zu, während bei eintretender Kälte die Schmierung ungenügend wird und die Gefahr des Warmlaufens beginnt. Der Schmierapparat Fig. 142 soll die Garantie bieten, daß die Schmierung sicher und gleichmäßig erfolgt. Derselbe ist der Maschinenfabrik Gebr. Pintsch, Bockenheim bei Frankfurt a. M. patentiert.

Der Apparat besitzt eine Sperrvorrichtung, welche das Zurückgehen des Kolbens verhindert, und markiert — in die Spindelnuten einklinkend — genau die Zahl der Umdrehungen, welche nach bestimmten Zeiträumen gemacht werden müssen, um die Welle genügend zu schmieren.

Nach Angaben der Firma werden durch seine Anbringung etwa 90 Proz. Ersparnis erzielt, wodurch allerdings die Anschaffungskosten in kurzer Zeit gedeckt würden.

#### Spur- (Stütz-) und Kammlager.

Fig. 157, Taf. 46/47 zeigt ein Spurlager für stehende Triebwerkswellen. Damit die Platte bei etwaiger Schiefstellung der Welle nachgeben kann, ist dieselbe an der unteren Seite schwach kugelförmig ausgeführt. Ein Stift verhindert das Drehen der Platte.

Auch Spurzapfen werden unten kugelförmig ausgeführt, doch ist für größere Belastungen auch eine größere Berührungsfläche notwendig.

Bei der Anordnung der Fig. 157, Taf. 46/47 läßt sich das Schmiermaterial schwer gleichmäßig einführen, ebenso besteht kein Schutz gegen das Eindringen von Staub und Schmutz. Bei großem Druck auf das Lager wird deshalb das Öl häufig durch ein Rohr vermittelt einer Ölpumpe hineingeprefst. Letzteres beispielsweise bei Turbinenzapfen (s. solchen Fig. 94, Taf. 18).

Müssen vertikale Wellen genau eingestellt werden, so ist das Spurlager mit seitlichen Schrauben anzuordnen, durch welche die Welle in die richtige Lage zu bringen ist.

Wird die Lagerbüchse (meist Rotgufs) seitlich ab-

genutzt, so ist dieselbe geteilt so herzustellen, daß wenigstens eine Lagerschale vermittelt Schrauben nachgestellt werden kann. Der Nachstellbarkeit in senkrechter Richtung kann durch eine unten angebrachte Schraube oder auch durch einen Keil Rechnung getragen werden.

Die Bezugseinheit bei Fig. 157 ist wieder

$$d_1 = 1,14d + 10.$$

Figuren 158 und 159, Taf. 46/47 zeigen noch Spurlager für Kräne.

Die Kammlager gehören zu den Spurlagern.

Die Lagerschalen werden aus Rotgufs und Weißgufs hergestellt. Um den Kammzapfen in das Lager hineinbringen zu können, müssen die Ringlager zerteilbar angeordnet werden. Dadurch wird auch bei eingetretener Abnutzung Nachstellung der unteren Ringschale ermöglicht. Zu dem Zweck ist entweder zwischen beiden Ringschalen eine kleine Fuge zu lassen oder es ist das überflüssige Material wegzufilen.

Über die Ausführung der Kammzapfen siehe das bereits Gesagte auf Seite 32.

Fig. 160, Taf. 46/47 zeigt ein Kammzapfen-Ringschmierlager nach Ausführung der Maschinenfabrik Briegleb, Hansen u. Co., Gotha.

Das Loch des Lagerdeckels erhält Gewinde zum Einschrauben einer schmiedeeisernen Öse, mittels welcher ein bequemes Aufheben des Deckels möglich ist. Für gewöhnlich ist dieses Deckelloch durch einen passenden Holzpflöckchen verschlossen.

Die beiden seitlich unten gezeichneten Schrauben dienen zur Entleerung des Öles.

Auf die saubere Anfertigung der Kammlager ist besondere Sorgfalt zu legen, da nur bei solcher ein möglichst gleichmäßiges Anliegen aller Ringe erzielt werden kann.

#### Beispiel.

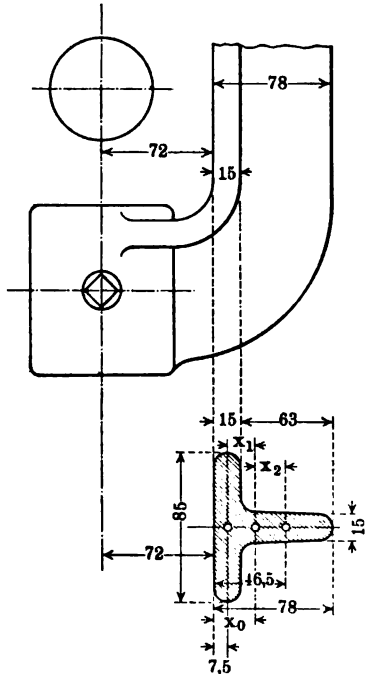
Ogleich die Dimensionierung der Lager u. s. w. nach den auf den Tafeln angegebenen Bezugseinheiten und Maßen geschieht, sei noch ein Hängelager nach der Festigkeitslehre durchgerechnet.

Wenn die Spannung an der gezogenen Seite des Armquerschnitts des Hängelagers, Fig. 129, Taf. 35/36, 2 kg pro qmm nicht überschreiten darf, wie groß kann dann die Belastung des Hängelagers sein?

Der Schwerpunktsabstand  $x_0$  (also auch die Lage der neutralen Achse) von der gezogenen Seite ermittelt sich nach der Mechanik aus der Formel:

$$x_0 = \frac{\sum (ix)}{\sum (i)}.$$

Hierbei bedeutet  $\Sigma(i \cdot x)$  gleich Summe aller Flächen mal ihre Schwerpunktsabstände von der an-  
Fig. 66.



genommenen Kante (hier die gezogene Flanschseite) und  $\Sigma(i)$  gleich Summe aller Flächen.

(Bei Berechnung des Schwerpunktes von Körpern bedeuten  $i$  nicht die Flächeninhalte, sondern die Gewichte der betreffenden Körper.)

Folglich, wenn man die einzelnen Flächen als Rechtecke ansieht,

$$x_0 = \frac{85 \cdot 15 \cdot 7,5 + 63 \cdot 15 \cdot 46,5}{85 \cdot 15 + 63 \cdot 15} = 24,1 \text{ mm.}$$

Nach Fig. 66 sind ferner die Abstände der einzelnen Schwerpunktsachsen von der neutralen Schwerpunktsachse

$$x_1 = x_0 - 7,5 = 24,1 - 7,5 = 16,6 \text{ mm.}$$

$$x_2 = 46,5 - x_0 = 46,5 - 24,1 = 22,4 \text{ mm.}$$

Nach der Festigkeitslehre ist nun das Trägheitsmoment einer Fläche bezogen auf eine beliebige Achse

gleich dem Trägheitsmoment der Fläche bezogen auf die parallele Schwerpunktsachse vermehrt um das Produkt aus Inhalt der Fläche in das Quadrat des Abstandes der beiden Achsen.

Daher

$$J = J_s + F \cdot a^2,$$

$$J = \frac{1}{12} (85 \cdot 15^3 + 15 \cdot 63^3) + 85 \cdot 15 \cdot 16,6^2 + 15 \cdot 63 \cdot 22,4^2 =$$

$$J = 1161810.$$

Das Widerstandsmoment in Bezug auf die gezogene Seite wird daher

$$W = \frac{J}{x_0} = \frac{1161810}{24,1} = \sim 48200.$$

Da betreffender Hängearm auf Zug und Biegung beansprucht wird, muß er nach der zusammengesetzten Festigkeit berechnet werden. Hierfür ergibt sich die gesamte Spannung

$$S = \frac{P}{F} + \frac{M}{W} = \frac{P}{F} + \frac{P \cdot a}{W}$$

oder zur Rechnung bequemer

$$S = \frac{P}{F} \left( 1 + \frac{F \cdot a}{W} \right).$$

$S$  war 2 kg an der gezogenen Seite.

Die Fläche  $F$  des Querschnitts wird

$$F = 85 \cdot 15 + 15 \cdot 63 = 2220 \text{ qmm.}$$

Der Hebelarm für das biegende Moment  $M$  ergibt sich nach Figur

$$a = 72 + x_0 = 72 + 24,1 = 96,1 \text{ mm.}$$

Somit folgt:

$$2 = \frac{P}{2220} \left( 1 + \frac{2220 \cdot 96,1}{48200} \right)$$

und hieraus die größte zulässige Belastung des Hängelagers

$$P = \frac{2 \cdot 2220}{1 + \frac{2220 \cdot 96,1}{48200}} = 818 \text{ kg.}$$



## A c h s e n.

Achsen sind solche Träger von Maschinenteilen, welche, mit Zapfen versehen, eine drehende oder schwingende Bewegung ausführen.

Die auf einer Achse lastenden Maschinenteile, sowie das Eigengewicht der Achse, werden dieselbe auf Biegung beanspruchen. Tritt außer der Biegung auch Drehung auf, so nennt man diese Achsen Wellen. Hier sollen nur Achsen, also nur auf Biegung beanspruchte Träger berechnet werden. Die Wellen werden späterhin behandelt.

Streng genommen ist jede Achse eine Welle, weil durch Zapfenreibung ein Drehungsmoment entsteht, von dem aber, weil meist sehr gering, abgesehen werden kann.

Als Material für Achsen (auch für Wellen) dient vorzugsweise Flußeisen und Flußstahl.

Gufseisen findet immer seltener Anwendung. Bei Verwendung desselben ist besondere Sorgfalt auf die Dichtigkeit des Gusses zu legen. Wird Gufseisen zur Herstellung einer Achse gewählt, so bediene man sich des Hohlgusses, speziell für größere zu übertragende Kräfte<sup>1)</sup>.

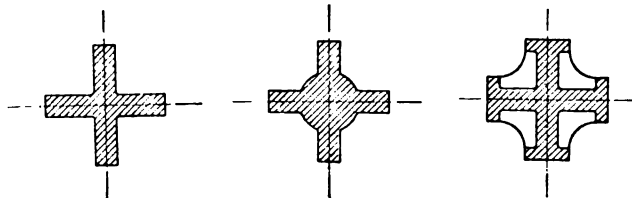
Auch hölzerne Achsen (Wellen) werden immer seltener gefertigt. Selbst bei Wasserrädern finden sich jetzt meist Wellen (Achsen) von Eisen oder Stahl. Das zu Holzachsen genommene Holz besteht aus Eiche,

<sup>1)</sup> Kreuz- oder sternförmiger Querschnitt (Fig. 67, 68 und 69), wie solcher früher zur Anwendung kam, ist bei dem heutigen Stande der Technik als unzweckmäßig zu bezeichnen.

Fig. 67.

Fig. 68.

Fig. 69.



Buche oder Kiefer und muß bei der Bearbeitung gut trocken sein.

Die aus Schmiedeeisen oder Stahl hergestellten Achsen (oder Wellen) besitzen meist vollen Kreisquerschnitt. Nahtfrei gewalzte Röhren (Ringquerschnitt) nach dem Mannesmann-Verfahren u. s. w. oder genietete hohle Achsen finden ebenso selten Anwendung.

Man unterscheidet:

a) Ungleichschenklige Achsen, sofern die Last mehr nach dem einen oder anderen Auflager zu angreift (s. Fig. 163, Taf. 48).

b) Gleichschenklige Achsen, sofern die Last in der Mitte der Achse angreift (s. Fig. 164, Taf. 48).

c) Mehrfach belastete Achsen (s. Fig. 165, Taf. 48).

d) Freitragende Achsen (s. Fig. 166, Tafel 48), sofern der Tragpunkt am Ende derselben, also außerhalb der Stützpunkte gelegen ist. Letztere lassen sich aber stets auf gewöhnliche, zwischen den Auflagern belastete Achsen zurückführen.

Die Biegungsspannung kann gesetzt werden, wenn die Kraft in ihrer Richtung, also auch die Spannung des Materials, zwischen einem größten positiven und negativen Werte wechselt:

$k_b = 3 \div 4$	kg pro qmm für Fluß- oder
	Schweißeseisen,
$k_b = 4 \div 6$	" " " " Flußstahl,
$k_b = 2,5 \div 3,5$	" " " " Stahlgufs,
$k_b = 1,5 \div 2,5$	" " " " Gufseisen,
$k_b = 0,6$	" " " " Eichenholz.

Wechselt die Krafrichtung nicht vollständig, so können obige Angaben für die Biegungsspannung bis zum Doppelten derselben erhöht werden.

Betreffs Ausführung der Zeichnungen sei an dieser Stelle noch darauf hingewiesen, daß es zwar in Rücksicht auf Zeitersparnis geraten ist, die Zeichnungen einfach glatt, ohne Schraffur (wie auf Tafel 48), zu belassen, daß jedoch aber die Einfachheit einer solchen

Achsenzeichnung ganz vorteilhaft durch Rundschräffur wie Fig. 163 a, Taf. 48 zeigt, gehoben werden kann.

### Einfach belastete Achsen.

a) Ungleichschenklige Achse (s. Fig. 163, Taf. 48).

In der Regel sind die Lasten gegeben und es kommt dann darauf an, die Größen der Reaktionen zu bestimmen.

Letzteres läßt sich folgenderweise leicht durchführen:

Bei einer solchen Achse gelten nämlich die Sätze, daß

1. die Momente, welche an der Achse wirken, sich überall das Gleichgewicht halten und daß
2. alle an der Achse nach oben wirkenden Kräfte gleich den nach unten wirkenden sein müssen.

(Algebraische Summe der Kräfte = 0.)

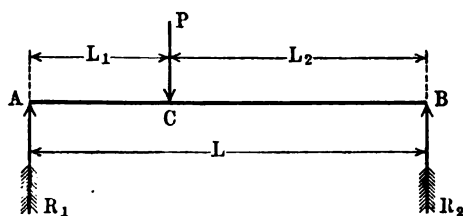
[Statisches Moment = Kraft  $\times$  Hebelarm.]

Zur Heranziehung des ersten Satzes denkt man sich nun in die Achse einen Drehpunkt gelegt und betrachtet die Momente, welche an jedem Drehpunkte wirken.

Bei unrichtiger Wahl des Drehpunktes ergeben sich nun aber aus den zwei unbekannten Reaktionen zwei unbekannte Momente. Wir legen deshalb den Drehpunkt am besten so, daß eine von den beiden unbekannten Kräften (Reaktionen) durch ihn hindurchgeht, dieselbe also ohne Hebelarm ist, wodurch das Moment derselben gleich Null wird und wir außer den bekannten Momenten nur noch mit einem unbekannten zu rechnen haben.

Ist z.B. in Fig. 70 die Reaktion  $R_1$  zu bestimmen, so wird der Drehpunkt nach  $B$  gelegt, dann müssen sich die Momente um  $B$  das Gleichgewicht halten.

Fig. 70.



Diese Momente sind

$$P \cdot L_2 \text{ und } R_1 \cdot L.$$

Dieselben gleichgesetzt:

$$P \cdot L_2 = R_1 \cdot L.$$

Da  $P$ ,  $L_2$  und  $L$  bekannt sind, läßt sich  $R_1$  bestimmen:

$$R_1 = \frac{P \cdot L_2}{L} \quad \dots \quad 74)$$

Jetzt bestimmt man  $R_2$  in gleicher Weise, indem man den Drehpunkt nach  $A$  legt, es folgt dann:

$$P \cdot L_1 = R_2 \cdot L$$

$$R_2 = \frac{P \cdot L_1}{L} \quad \dots \quad 75)$$

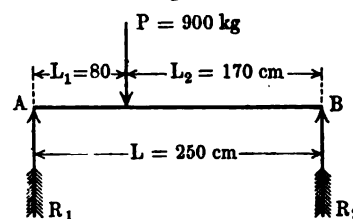
Man kann aber zur Bestimmung von  $R_2$  auch den zweiten Satz benutzen, nämlich

$$R_1 + R_2 = P \quad \dots \quad 76)$$

$$R_2 = P - R_1 \quad \dots \quad 76a)$$

Beispiel 1. Gegeben ist eine ungleichschenklige Achse mit den in Fig. 71 ein-

Fig. 71.



geschriebenen Bezeichnungen. Wie groß die Reaktionen  $R_1$  und  $R_2$ ?

Erstens  $B$  als Drehpunkt:

$$R_1 \cdot 250 = 900 \cdot 170$$

$$R_1 = \frac{900 \cdot 170}{250} = 612 \text{ kg.}$$

Zweitens  $A$  als Drehpunkt:

$$R_2 \cdot 250 = 900 \cdot 80$$

$$R_2 = \frac{900 \cdot 80}{250} = 288 \text{ kg.}$$

Kontrolle:

$$R_1 + R_2 = P,$$

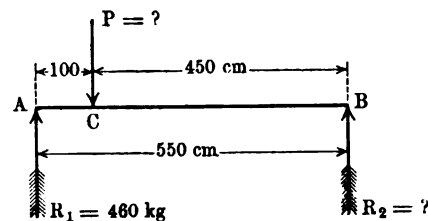
$$612 + 288 = 900 \text{ kg,}$$

$$900 = 900,$$

also richtig.

Sind die Längenmaße und eine Reaktion bekannt und soll die Last  $P$  und die andere Reaktion ge-

Fig. 72.



funden werden (s. Fig. 72), so kommt man auch hier zu einem Resultat, wenn man den Drehpunkt in die Richtung einer der beiden unbekannten Kräfte legt.

Momente um  $B$ :

$$R_1 \cdot 550 = P \cdot 450$$

$$460 \cdot 550 = P \cdot 450$$

$$P = \frac{460 \cdot 550}{450} = 562,22 \text{ kg}$$

Momente um A:

$$\begin{aligned} R_2 \cdot 550 &= P \cdot 100 \\ R_2 \cdot 550 &= 562,22 \cdot 100 \\ R_2 &= \frac{562,22 \cdot 100}{550} = 102,22 \text{ kg.} \end{aligned}$$

b) Gleichschenklige Achse  
(siehe Zeichnung Fig. 164, Taf. 48).

Dieselbe ist genau so zu behandeln. Es ist bei derselben  $L_1 = L_2 = \frac{L}{2}$  (s. Fig. 70), womit sich für die Reaktionen ergibt:

$$R_1 = \frac{P \cdot \frac{L}{2}}{L} = \frac{P \cdot L}{2 \cdot L} = \frac{P}{2} \quad \dots \quad 77)$$

ebenso

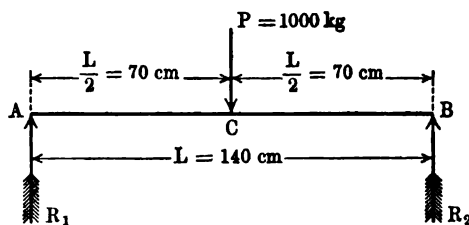
$$R_2 = \frac{P \cdot \frac{L}{2}}{L} = \frac{P}{2} \quad \dots \quad 78)$$

also ist bei der gleichschenkligen Achse

$$R_1 = R_2 \quad \dots \quad 78a)$$

Beispiel 2. Gegeben ist eine gleichschenklige Achse mit den in Fig. 73 eingeschriebenen Bezeichnungen. Wie groß die Reaktionen  $R_1$  und  $R_2$ ? (Siehe Zeichnung Fig. 164, Taf. 48.)

Fig. 73.



Legt man wieder die Drehpunkte nach A und B, so ergibt sich nach Obigem:

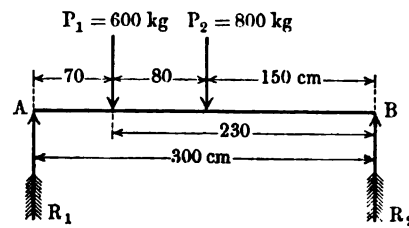
$$R_1 = R_2 = \frac{P}{2} = \frac{1000}{2} = 500 \text{ kg.}$$

### Mehrfach belastete Achsen.

Ruhen auf einer Achse zwei oder mehrere Lasten, so verfährt man wie früher. Die Summe der einzelnen Momente von oben muß dann wieder gleich den Momenten von unten sein. Am besten zeigt sich dies am folgenden Beispiel.

Beispiel 3. Gegeben ist eine mehrfach belastete Achse mit den in Fig. 74 eingeschriebenen Bezeichnungen. Wie groß die Reaktionen  $R_1$  und  $R_2$ ?

Fig. 74.



Momente um B:

$$\begin{aligned} R_1 \cdot 300 &= 600 \cdot 230 + 800 \cdot 150 \\ R_1 &= \frac{600 \cdot 230 + 800 \cdot 150}{300} = 860 \text{ kg.} \end{aligned}$$

Momente um A:

$$\begin{aligned} R_2 \cdot 300 &= 800 \cdot 150 + 600 \cdot 70 \\ R_2 &= \frac{800 \cdot 150 + 600 \cdot 70}{300} = 540 \text{ kg.} \end{aligned}$$

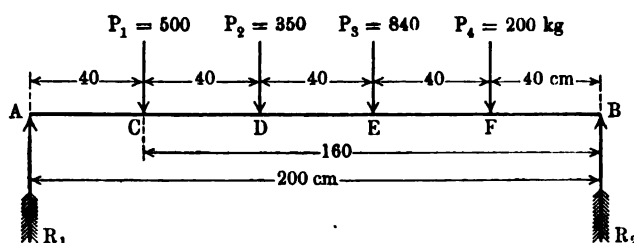
Kontrolle:

$$\begin{aligned} R_1 + R_2 &= P_1 + P_2, \\ 860 + 540 &= 600 + 800, \\ 1400 &= 1400, \end{aligned}$$

also richtig.

Beispiel 4. Gegeben ist eine mehrfach belastete Achse mit den in Fig. 75 eingeschriebenen Bezeichnungen. Wie groß die Reaktionen  $R_1$  und  $R_2$ ? (Siehe Zeichnung mit eingetragenen Maßen Fig. 165, Taf. 48.)

Fig. 75.



Momente um B:

$$\begin{aligned} R_1 \cdot 200 &= 500 \cdot 160 + 350 \cdot 120 + 840 \cdot 80 + 200 \cdot 40 \\ R_1 &= \frac{500 \cdot 160 + 350 \cdot 120 + 840 \cdot 80 + 200 \cdot 40}{200} = 986 \text{ kg.} \end{aligned}$$

Momente um A:

$$\begin{aligned} R_2 \cdot 200 &= 200 \cdot 160 + 840 \cdot 120 + 350 \cdot 80 + 500 \cdot 40 \\ R_2 &= \frac{200 \cdot 160 + 840 \cdot 120 + 350 \cdot 80 + 500 \cdot 40}{200} = 904 \text{ kg.} \end{aligned}$$

Kontrolle:

$$\begin{aligned} R_1 + R_2 &= P_1 + P_2 + P_3 + P_4, \\ 986 + 904 &= 500 + 350 + 840 + 200, \\ 1890 &= 1890, \end{aligned}$$

also richtig.

### Bestimmung der Momente in den einzelnen Belastungspunkten.

Hat man nach Obigem die Größe der Reaktionen zahlenmäßig festgestellt, so ist die nächste Aufgabe die Bestimmung der Biegemomente in den einzelnen Punkten der Achse. Zu diesem Zweck denkt man sich den Träger (Achse) in dem zu bestimmenden Punkte fest eingespannt, nach der einen oder anderen Seite hin. Jetzt untersucht man, welche Momente an dem frei vorstehenden Ende thätig sind.

Um bei obigem Beispiel das Biegemoment im Punkte *C* zu bestimmen, denke man sich die Achse in *C* fest eingespannt. Das Biegemoment in *C* ist nun eine Folge der nach oben wirkenden Reaktion  $R_1$ , welche am Hebelarm 40 cm angreift. Dabei ist gleichgültig, ob man nach rechts oder links einspannt, da in beiden Fällen das gleiche Resultat erzielt wird.

Moment bei *C* (*C* also als Drehpunkt):

$$M_C = R_1 \cdot 40 = 986 \cdot 40 = 39440 \text{ cmkg}$$

oder auch, wenn rechts das freistehende Ende ist:

$$M_C = R_2 \cdot 160 - 200 \cdot 120 - 840 \cdot 80 - 350 \cdot 40$$

$$M_C = 904 \cdot 160 - 200 \cdot 120 - 840 \cdot 80 - 350 \cdot 40 = 39440 \text{ cmkg.}$$

Moment bei *D* (*D* als Drehpunkt):

$$M_D = R_1 \cdot 80 - 500 \cdot 40 = 986 \cdot 80 - 500 \cdot 40$$

$$= 58880 \text{ cmkg.}$$

Moment bei *E*:

$$M_E = R_2 \cdot 80 - 200 \cdot 40 = 904 \cdot 80 - 200 \cdot 40$$

$$= 64320 \text{ cmkg.}$$

Moment bei *F*:

$$M_F = R_2 \cdot 40 = 904 \cdot 40 = 36160 \text{ cmkg.}$$

Die nächste Operation ist die

### Bestimmung der Durchmesser in den betreffenden Punkten.

Die gegebene Achse (Beispiel 4) sei eine volle Stahlachse (Flussstahl) und es werde die Spannung gleich 600 kg pro qcm gesetzt.

Das Widerstandsmoment des vollen Kreisquerschnitts ist  $= \frac{\pi}{32} d^3 = \sim 0,1 d^3$ , wenn  $d$  = Durchmesser des Kreises.

(Hat der Träger eine andere Form, so ist das Widerstandsmoment des betreffenden Querschnitts einzusetzen.)

Wie schon bei den Keilen gesagt, ist

Moment = Widerstandsmoment  $\times$  Spannung,  
also

$$M = W \cdot k_b,$$

folglich für die einzelnen Punkte<sup>1)</sup>:

$$M_C = 0,1 d_b^3 \cdot 600$$

(zu beachten ist, daß die Spannung in Quadratcentimeter gesetzt werden muß, wenn das Moment in Centimeterkilogramm eingesetzt ist),

$$39440 = 0,1 d_b^3 \cdot 600,$$

$$d_C = \sqrt[3]{\frac{39440}{60}} = 8,69 \text{ cm} \sim 87 \text{ mm.}$$

$$M_D = 0,1 d_b^3 \cdot 600,$$

$$58880 = 0,1 d_b^3 \cdot 600,$$

$$d_D = \sqrt[3]{\frac{58880}{60}} = 9,93 \text{ cm} \sim 99 \text{ mm.}$$

$$M_E = 0,1 d_b^3 \cdot 600,$$

$$64320 = 0,1 d_b^3 \cdot 600,$$

$$d_E = \sqrt[3]{\frac{64320}{60}} = 10,2 \text{ cm} \sim 102 \text{ mm.}$$

$$M_F = 0,1 d_b^3 \cdot 600,$$

$$36160 = 0,1 d_b^3 \cdot 600,$$

$$d_F = \sqrt[3]{\frac{36160}{60}} = 8,44 \text{ cm} \sim 85 \text{ mm.}$$

Diese Durchmesser sind wegen der Achsköpfe entsprechend auf

$$d_C = 100, d_D = 115, d_E = 115, d_F = 100 \text{ mm}$$

zu verstärken, wie Fig. 165, Taf. 48 angiebt.

Hat man so die Durchmesser der Achse ermittelt, so erfolgt die

<sup>1)</sup> Statt wie oben alle Durchmesser auszurechnen, kann man eine Formel aufstellen, durch welche sich häufig die Rechnung vereinfacht.

Es ist für die Zapfen (s. Fig. 165, Taf. 48) das Biegemoment

$$R_1 \cdot \frac{l}{2} = 0,1 d_b^3 \cdot k_b.$$

Für irgend einen anderen Querschnitt im Abstände  $x$  von der Zapfenmitte ergibt sich

$$R_1 \cdot x = 0,1 d_x^3 \cdot k_b.$$

Dividiert man beide Gleichungen durcheinander, so folgt

$$\frac{l}{2x} = \frac{d}{d_x^3}.$$

Hieraus

$$d_x = \sqrt[3]{d^3 \cdot \frac{2x}{l}} = d \cdot \sqrt[3]{\frac{2}{l} \cdot x}.$$

Man rechnet sich nun den konstanten Faktor  $d \sqrt[3]{\frac{2}{l}}$

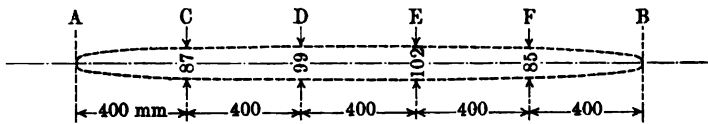
einmal aus und multipliziert denselben stets mit  $\sqrt[3]{x}$ , wodurch sich die verschiedenen Durchmesser  $d_x$  der Achse ergeben.

Da es jedoch im Allgemeinen wohl angezeigt erscheint, speziell bei verwickelter Belastung der Achsen, statt besonderer aufgestellter Formeln sich stets die einzelnen Querschnitte zu bestimmen, so hat der Verfasser wohl mit dem obigen eingeschlagenen Wege den im Allgemeinen bequemeren gewählt und kann der Lernende sich jederzeit der obigen Berechnungsweise leicht bedienen.

### Aufzeichnung einer Skizze des Normalprofils der Achse.

Die Endprofile, welche auf obige Weise entstanden, bilden zwei kubische Parabeln. Diese Form von gleicher

Fig. 76.



Festigkeit ist in den Achsenzeichnungen, Taf. 48, überall hineinpunktiert. An dieselbe werden jetzt die übrigen Teile, welche zur Fertigstellung erforderlich sind, angesetzt, wie die Zapfen und die Auflager (Achsköpfe) für darauf sitzende Räder u. s. w.

Es ist eine Hauptregel, daß man hierbei nie in das Normalprofil einschneidet, sondern eher noch etwas zugiebt. Auch die Durchmesser der Achsköpfe sind so zu verstärken, daß durch etwaige Keile das theoretische Profil nicht geschwächt wird. Die Länge der Achsköpfe kann  $1,4 D$  bis  $2 D$  genommen werden, je nach Länge der Nabe des aufzukeilenden Maschinenteils. Die Teile zwischen den Radsitzen führt man nach Möglichkeit gerade begrenzt aus, also konisch oder cylindrisch, im Interesse leichterer Bearbeitbarkeit auf der Bank. Bei der Montage kann die horizontale Lage einer Achse durch Auflegen einer Wasserröhre bestimmt werden. Zu dem Zweck sollte jede Achse wenigstens mit einem hierzu genügend langen cylindrischen Teil versehen sein.

Schließlich folgt noch die

### Berechnung der Zapfen.

Die Zapfen werden nach den bei Stirn- und Halszapfen angegebenen Regeln bestimmt, indem man die darauf fallenden Reaktionen als Lasten annimmt. Haben Zapfen und Achse gleiche Biegungsspannung, so erhält man naturgemäß den Zapfen genau so stark als diejenige Stelle der Achse, an welche er angesetzt ist (siehe die Figuren auf Taf. 48).

Dem Zapfen weniger Spannung zu geben als der Achse, also ausnahmsweis große Dimensionen, hat bei einer Tourenzahl unter 150 wenig Zweck.

Für die beiden Stirnzapfen zu oben gegebener Stahlachse (Beispiel 4) würden sich, wenn die Tourenzahl derselben  $n = 70$  ist, folgende Abmessungen ergeben:

Nehmen wir die Biegungsbeanspruchung der Zapfen wie der Achse, also  $k_b = 6 \text{ kg}$  (da die Zapfen fast unveränderlich und in derselben Richtung belastet sind) und die Flächenpressung  $p = 0,6$  (s. hierüber S. 28),

Schneider, Maschinen-Elemente.

so folgt zunächst für den linken und rechten Zapfen aus Gleichung 51) der Größtwert:

$$\frac{l_1}{d_1} = \frac{l_2}{d_2} = \sqrt{\frac{0,2 \cdot 6}{0,6}} = \sim 1,42,$$

also

$$l_1 = 1,42 d_1 \text{ und } l_2 = 1,42 d_2.$$

Somit nach Gleichung 50):

$$P = l_1 \cdot d_1 \cdot p \text{ (für } P \text{ ist } R_1 \text{ resp. } R_2 \text{ einzusetzen)}$$

$$986 = 1,42 d_1^2 \cdot 0,6,$$

$$d_1 = \sqrt{1159} = \sim 34 \sim 35 \text{ mm,}$$

folglich

$$l_1 = 1,42 \cdot 35 = 49,7 \sim 50 \text{ mm.}$$

Ebenso:

$$904 = 1,42 d_2^2 \cdot 0,6$$

$$d_2 = \sim 33 \sim 35 \text{ mm,}$$

$$l_2 = 1,42 \cdot 35 = \sim 50 \text{ mm,}$$

was in Rücksicht auf gleiche Lagermodelle recht vorteilhaft ist.

Schließlich verlangt Gleichung 52) eine Zapfenlänge

$$l \geq \frac{P \cdot n}{305000 A_x}$$

und wenn man  $A_x = 0,005$  wählt (s. hierüber S. 29)

$$l_1 \geq \frac{986 \cdot 70}{305000 \cdot 0,005} = \sim 45 \text{ mm,}$$

ebenso

$$l_2 \geq \frac{904 \cdot 70}{305000 \cdot 0,005} = \sim 42 \text{ mm.}$$

Da obige Werte größer sind, können dieselben beibehalten werden.

Die Höhe des Anlaufes wird nach Gleichung 53):

$$e = 3 + 0,1 d = 3 + 0,1 \cdot 35 = 6,5 \sim 7 \text{ mm}$$

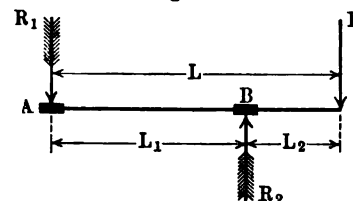
und die Stärke des Bundes

$$e_1 = 1,5 e = 1,5 \cdot 7 = 10,5 \text{ mm.}$$

### Freitragende Achsen.

Hierbei liegt der Tragpunkt außerhalb der Stützpunkte. Der Zapfen bei B wird als Halszapfen konstruiert.

Fig. 77.



Auch hier ist der Drehpunkt allemal in die Auflager zu legen.

Momente um B:

$$R_1 \cdot L_1 = P \cdot L_2$$

$$R_1 = \frac{P \cdot L_2}{L_1} \dots \dots \dots 79)$$

Momente um A:

$$R_2 \cdot L_1 = P \cdot L$$

$$R_2 = \frac{P \cdot L}{L_1} \dots \dots \dots 80)$$

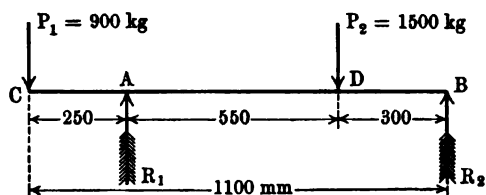
Ferner ist wieder die algebraische Summe der Vertikalkräfte gleich Null, also

$$R_1 + P - R_2 = 0$$

oder

$$R_1 + P = R_2 \dots \dots \dots 80a)$$

Beispiel 5. Gegeben ist eine freitragende Achse mit den in Fig. 78 eingeschriebenen Be-



zeichnungen. Die Achse sei aus Schmiedeeisen und mache pro Minute 120 Umdrehungen (s. Zeichnung Fig. 166, Taf. 48).

Nach den vorigen Angaben ist der Vorgang einer Achsenberechnung folgender:

1. Bestimmung der Reaktionen  $R_1 = ?$   $R_2 = ?$
2. Bestimmung der einzelnen Biegemomente  $M_A = ?$   $M_D = ?$
3. Bestimmung der Durchmesser an den betreffenden Stellen der Achse  $d_A = ?$   $d_D = ?$
4. Skizze des Normalprofils.
5. Berechnung der Zapfen.

Zur Berechnung der Reaktionen legen wir wieder die Drehpunkte nach A und B.

Momente um B:

$$900 \cdot 1100 - R_1 \cdot 850 + 1500 \cdot 300 = 0$$

$$900 \cdot 1100 + 1500 \cdot 300 = R_1 \cdot 850$$

$$R_1 = 1694,11 \text{ kg.}$$

Momente um A:

$$R_2 \cdot 850 - 1500 \cdot 550 + 900 \cdot 250 = 0$$

$$R_2 \cdot 850 = 600000$$

$$R_2 = 705,88 \text{ kg.}$$

Kontrolle:

$$R_1 + R_2 = P_1 + P_2,$$

$$1694,11 + 705,88 = 900 + 1500,$$

$$\sim 2399,99 = 2400,$$

also richtig, wenn man von der Abrundung der Decimalen absieht.

Wir nehmen rund

$$R_1 = 1694 \text{ kg}$$

und

$$R_2 = 706 \text{ kg.}$$

$$M_A = 900 \cdot 250 = 225000 \text{ mmkg,}$$

$$M_D = 706 \cdot 300 = 211800 \text{ mmkg,}$$

$$M = W \cdot k_b.$$

Setzen wir gutes Material voraus, so können wir die Spannung  $k_b = 4 \text{ kg}$  nehmen, daher

$$225000 = 0,1 d_A^3 \cdot 4,$$

$$d_A = \sqrt[3]{\frac{225000}{0,4}} = \sim 83 \sim 85 \text{ mm.}$$

Die Länge dieses nur auf Biegung beanspruchten Halszapfens ergibt sich mit  $p = 0,4$  nach Gleichung 50):

$$P = l_A \cdot d_A \cdot p, (P = R_1),$$

$$l_A = \frac{P}{d_A \cdot p} = \frac{1694}{85 \cdot 0,4} = \sim 50 \text{ mm}$$

und mit  $A_x = 0,005$  nach Gleichung 52)

$$l \geq \frac{P \cdot n}{305000 A_x},$$

$$l \geq \frac{1694 \cdot 120}{305000 \cdot 0,005} = 133 \sim 135 \text{ mm,}$$

welcher Wert als der größere beizubehalten ist.

Ferner:

$$211800 = 0,1 d_D^3 \cdot 4$$

$$d_D = \sqrt[3]{\frac{211800}{0,4}} = \sim 80 \text{ mm.}$$

Dieser Wert ist noch wegen der Keilnute auf 95 mm erhöht worden, s. Fig. 166, Taf. 48.

Die Länge des Achskopfes bei D kann  $1,5 \cdot 80 = \sim 120 \text{ mm}$  genommen werden.

Für den rechten Stirnzapfen bei B ergibt sich mit  $p = 0,4$  nach Gleichung 51)

$$\frac{l}{d} = \sqrt{\frac{0,2 \cdot 4}{0,4}} = \sim 1,42,$$

also

$$l = 1,42 d$$

und somit nach Gleichung 50)

$$706 = 1,42 d^2 \cdot 0,4,$$

$$d = \sqrt{\frac{706}{1,42 \cdot 0,4}} = \sim 35 \text{ mm,}$$

folglich

$$l = 1,42 \cdot 35 = \sim 50 \text{ mm.}$$

In Rücksicht auf die Reibungsarbeit muß schließlich mit  $A_x = 0,005$  die Zapfenlänge nach Gleichung 52) sein

$$l \geq \frac{706 \cdot 120}{305000 \cdot 0,005} = \sim 55 \text{ mm,}$$

welcher Wert als der größere beizubehalten ist.

Für den linken Tragzapfen bei  $C$  erhält man, wenn die Last am Hebelarm 45 mm angreift

$$900 \cdot 45 = 0,1 d_b^3 \cdot 4,$$

$$d_c = \sqrt[3]{\frac{900 \cdot 45}{0,4}} = \sim 47 \text{ mm.}$$

Bei derartigen Achsen bleibt noch zu behalten, daß für gewisse Querschnitte das Biegemoment sein Vorzeichen ändern, daher dasselbe auch gleich Null werden kann. Wird das Vorzeichen für das Moment negativ, so bedeutet das bloß, daß die Achse in entgegengesetzter Richtung durchgebogen würde, als man anfänglich zur Berechnung für  $M$  angenommen hatte.

Die weitere Berechnung vollzieht sich dann ohne Rücksicht auf das Minuszeichen zu nehmen, da es gleichgültig ist, wie die Achse beansprucht wird. Beim Summieren der Momente aber sind die Vorzeichen wohl zu beachten.

Ein wie oben besprochener Querschnitt befindet sich in der Achse des letzten Beispiels, Fig. 166, Taf. 48, und zwar liegt derselbe zwischen den Punkten  $A$  und  $D$  (s. auch Fig. 78 Text).

Wird seine Entfernung vom Punkte  $A$  mit  $x$  bezeichnet, so folgt

$$900 (250 + x) = 1694 x,$$

$$225 000 + 900 x = 1694 x,$$

$$x = 284 \text{ mm.}$$

Rechnet man von rechts, so folgt

$$706 (300 + x_1) = 1500 x_1,$$

$$x_1 = 266 \text{ mm.}$$

Kontrolle:

$$x + x_1 = 550,$$

$$284 + 266 = 550.$$

Theoretisch könnte demnach der Querschnitt einer solchen Stelle gleich Null sein, wenn nicht die noch auftretenden Schubkräfte einen gewissen Querschnitt verlangten.

Man kann aber die Achse an der betreffenden Stelle schwächer ausführen, wie das z. B. bei Eisenbahnwagenachsen vorkommt.

#### Hohle Achsen.

Hohle Achsen finden, wie bereits gesagt, speziell für größere zu übertragende Kräfte Anwendung. Ihre Berechnung vollzieht sich in genau derselben Weise, wie die der vollen, nur hat man als Widerstandsmoment

$$W = \frac{\pi}{32} \cdot \frac{D^4 - d^4}{D} = \sim 0,1 \frac{D^4 - d^4}{D}$$

einzuführen.

Hierbei bedeutet

$D$  = äußeren Durchmesser des Hohlkreises  
 $d$  = inneren " " "

Da nun  $D$  und  $d$  in einer Gleichung als Unbekannte nicht ohne Weiteres zu berechnen sind, so ist eine zweite Gleichung aufzustellen, welche das Verhältnis zwischen  $D$  und  $d$  angibt.

Man setzt im Allgemeinen

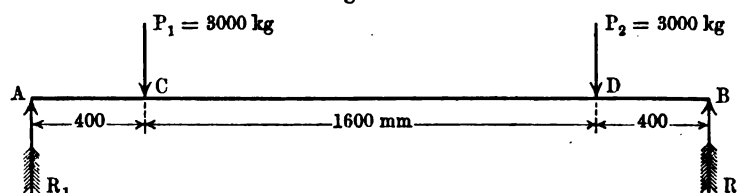
$$d = 0,5 D \div 0,8 D.$$

Zu beachten ist, daß, da  $d$  in der vierten Potenz vorkommt, nicht allein das dafür eingesetzte  $D$ , sondern auch die betreffende Verhältniszahl in die vierte Potenz zu erheben ist.

Der kleinste innere Durchmesser richtet sich übrigens nach dem Minstdurchmesser des Kerns, welchen derselbe erhalten muß. Ergibt die Berechnung eine sehr schwache Wandstärke, so wird man in Rücksicht auf das Kernverlegen dieselbe entsprechend zu verstärken haben.

Beispiel 6. Gegeben ist eine hohle, gußeiserne Achse mit den in Fig. 79 eingeschrie-

Fig. 79.



benen Bezeichnungen. Die Tourenzahl der Achse sei 18 pro Minute.

Da gegebene Achse vollständig symmetrisch ist in Bezug auf Lasten und Längenmaße, so braucht man die Rechnung auch nur auf eine Hälfte der Achse auszuführen.

Es ist in diesem Falle

$$R_1 = R_2 = 3000 \text{ kg.}$$

Folglich ergeben sich zwei gleiche Stirnzapfen.

Moment bei  $C$ :

$$M_C = 3000 \cdot 400 = 1200 000 \text{ mmkg.}$$

Ebenso ist das Moment bei  $D$ :

$$M_D = 3000 \cdot 400 = 1200 000 \text{ mmkg.}$$

$$M = W \cdot k_b.$$

Nehmen wir  $k_b = 2,5 \text{ kg}$ , so folgt für den Querschnitt bei  $C$ <sup>1)</sup>:

<sup>1)</sup> Man kann sich die Durchmesser einer hohlen Achse auch aus denen der vollen Achse berechnen, da bei gleicher Festigkeit das Widerstandsmoment des Hohlkreises gleich dem



$$1\,200\,000 = 0,1 \frac{D^4 - d^4}{D_c} \cdot 2,5$$

und wenn man ein Hohlungsverhältnis  $\frac{d_c}{D_c} = 0,6$  zulässt

$$1\,200\,000 = 0,1 \frac{D^4 - (0,6 D_c)^4}{D_c} \cdot 2,5,$$

$$1\,200\,000 = 0,1 D^4 (1 - 0,1296) \cdot 2,5,$$

$$1\,200\,000 = 0,1 \cdot 0,8704 D^4 \cdot 2,5,$$

$$D_c = \sqrt[4]{\frac{1\,200\,000}{0,08704 \cdot 2,5}} = 177 \text{ mm.}$$

Wegen des Nabenansatzes ist dieser Durchmesser auf 195 mm zu verstärken.

Es ist nun

$$d_c = 0,6 \cdot 177 = \sim 106 \text{ mm.}$$

Man hätte natürlich auch die Maße in Centimetern einsetzen können, dürfte dann aber nicht übersehen, auch die Spannung in Quadratcentimetern auszudrücken.

Für den Querschnitt bei  $D$  erhält man denselben Durchmesser, also

$$D_D = 177 \text{ mm} = \sim 195 \text{ mm}$$

und

$$d_D = 0,6 \cdot 177 = \sim 106 \text{ mm.}$$

Für die beiden gleichen Stirnzapfen ergibt sich zunächst bei einer Flächenpressung  $p = 0,3$  (siehe

der vollen Kreisfläche ist, gleiches Material der hohlen und vollen Achse vorausgesetzt.

Wird nun der Durchmesser einer vollen Achse mit  $\varnothing$  bezeichnet, so ist das Widerstandsmoment

$$W = 0,1 \varnothing^3.$$

Für die gleichwertige hohle Achse ist

$$W = 0,1 \frac{D^4 - d^4}{D},$$

folglich:

$$0,1 \varnothing^3 = 0,1 \frac{D^4 - d^4}{D}.$$

Wird ferner

$$d = \alpha D$$

gesetzt, so folgt weiter

$$\varnothing^3 = \frac{D^4 - (\alpha D)^4}{D}$$

oder

$$\varnothing^3 = D^3 (1 - \alpha^4)$$

und hieraus

$$D = \varnothing \sqrt[3]{\frac{1}{1 - \alpha^4}}.$$

Aus dieser Formel läßt sich  $D$  berechnen, wenn  $\varnothing$  bekannt und das Hohlungsverhältnis  $\alpha$  angenommen worden ist.

S. 28) nach Gleichung 56) (bei Annahme  $\frac{d}{D} = 0,6$ ):

$$\frac{l_1}{D_1} = \frac{l_2}{D_2} = \sqrt{\frac{0,2 \cdot 0,8704 \cdot 2,5}{0,3}} = \sim 1,2,$$

somit nach Gleichung 55)

$$3000 = 1,2 D_1^2 \cdot 0,3,$$

also

$$D_1 = D_2 = \sqrt{\frac{3000}{1,2 \cdot 0,3}} = 92 \sim 95 \text{ mm}$$

und die Zapfenlänge

$$l_1 = l_2 = 1,2 \cdot 95 = 114 \sim 115 \text{ mm.}$$

Schließlich werden die inneren Zapfendurchmesser:

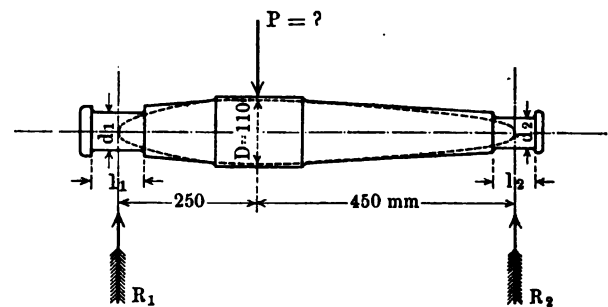
$$d_1 = d_2 = 0,6 \cdot 95 = 57 \text{ mm,}$$

folglich bleibt hier eine Wandstärke  $\frac{95 - 57}{2} = 19 \text{ mm.}$

Die quadratischen Ansätze an den Zapfen dienen bloß zum Anheben der Achse und werden vorteilhaft auch bei vollen Achsen angebracht.

Ist umgekehrt noch statt der Lasten der Achsendurchmesser gegeben (s. Fig. 80), so verfährt man bei der Berechnung wie folgt:

Fig. 80.



und mit

$$M = W \cdot k_b$$

$$k_b = 4 \text{ kg,}$$

$$R_1 \cdot 250 = 0,1 \cdot 110^3 \cdot 4,$$

$$R_1 = 2129,6 \text{ kg.}$$

Ferner:

$$R_2 \cdot 450 = 0,1 \cdot 110^3 \cdot 4,$$

$$R_2 = 1183,1 \text{ kg,}$$

damit ergibt sich die Last

$$P = 2129,6 + 1183,1 = 3312,7 \text{ kg.}$$

Alles Übrige ist in der früher angegebenen Weise zu berechnen.

## Wellen.

Die Wellen dienen zur Übertragung rotierender Bewegung, wobei die wirkenden Kräfte die Welle zu verdrehen suchen. Außer dieser Beanspruchung auf Drehung (Torsion) wirkt noch eine auf Biegung, hervorgerufen durch die Gewichte der auf der Welle sitzenden Räder, Riemenscheiben, Hebel und dergl. Selbst durch das Eigengewicht der Welle wird schon Bieungsbeanspruchung hervorgerufen, wenn die Welle nicht senkrecht steht.

Ist das Bieungsmoment  $M_b$  gegenüber dem Drehungsmoment  $M_t$  sehr klein, so kann man die Welle allein auf Verdrehung bestimmen. Hiervon ausgeschlossen sind in der Regel die Antriebswellen, da letztere meist auch stark auf Biegung beansprucht werden.

Schwankt das drehende Moment  $M_t$  ohne direkte Stöße zwischen einem größten positiven und negativen Werte, so kann die Drehungsbeanspruchung nach Bach genommen werden:

$k_t = 3 \div 4$	kg pro qmm für	Flussstahl,
$k_t = 2 \div 2,8$	" " " "	Flusseisen,
$k_t = 1,2 \div 1,6$	" " " "	Schweißstahl,
$k_t = 0,8 \div 1,0$	" " " "	Gusseisen,
$k_t = 1,6 \div 2,8$	" " " "	Stahlguß.

Schwankt dagegen  $M_t$  ohne Stöße nur zwischen Null und seinem größten Werte, so ist das Zweifache, und ist  $M_t$  unveränderlich und stoßfrei, so ist das Dreifache der angegebenen Werte statthaft.

Für Wasserradwellen aus Eichenholz ist  $k_t = 0,5 \div 0,6$  kg pro qmm zu setzen.

Ändert sich, wie zuerst angegeben,  $M_t$  zwischen einem größten positiven und negativen Werte, so vermeidet man zweckmäßig die Anwendung von Gusseisen. Für die Biegungsspannung  $k_b$  sind die Angaben bei Achsen Seite 47 maßgebend, da dieselbe bei Wellen fast stets vollständig (also zwischen + und -) wechselt.

Die Wellen werden aus bestem Walzeisen hergestellt, genau nach Kaliber gedreht, poliert und gerichtet.

Ist eine Welle nur auf Drehungsfestigkeit zu berechnen und bezeichnet  $P$  die Kraft, die an einem auf der Welle befestigten Hebel, einer Kurbel, Riemenscheibe oder einem Rade vom Radius  $R$  wirkt, so folgt nach der Drehungs- oder Torsionsfestigkeitslehre

$$P \cdot R = \frac{\pi}{16} d^3 \cdot k_t$$

oder auch

$$P R = 0,2 d^3 \cdot k_t \quad \dots \dots \dots 81)$$

woraus der Wellendurchmesser folgt:

$$d = \sqrt[3]{\frac{P \cdot R}{0,2 \cdot k_t}} \quad \dots \dots \dots 81a)$$

Statt bei vorhandener Biegungsspannung noch die einzelnen Bieungsmomente auszurechnen, ist es zweckmäßig, eine Formel aufzustellen, die im Allgemeinen die Biegung mit berücksichtigt. Daher wähle man (obgleich für Wellen vorzugsweise Flusseisen Verwendung findet, das ja ein höheres  $k_t$  zuließe) in Formel 81a)  $k_t$  gering, etwa  $k_t = 1,2$  kg pro qmm.

Man erhält so eine Formel, welche den Durchmesser für gewöhnliche Wellen angibt:

$$d = \sqrt[3]{\frac{P \cdot R}{0,2 \cdot 1,2}}$$

oder

$$d = 1,58 \sqrt[3]{P \cdot R} \quad \dots \dots \dots 82)$$

Häufig ist aber das zu übertragende Drehmoment  $PR = M$  nicht direkt gegeben, sondern der zu übertragende Effekt  $N$  in Pferdestärken und die Anzahl der Umdrehungen  $n$  der Welle pro Minute, alsdann hat man nach der Mechanik

$$P = \frac{75 N}{v}$$

Die Umfangsgeschwindigkeit  $v$  in Metern ist bestimmt durch die Gleichung:

$$v = \frac{2 R \pi n}{60} = \frac{R \pi n}{30}$$

worin  $R$  in Metern einzusetzen ist.

Wird  $R$  in Millimetern gesetzt, so folgt

$$v = \frac{R\pi n}{30 \cdot 1000}$$

Also

$$P = \frac{75 N \cdot 30000}{R\pi \cdot n} = 716\,200 \frac{N}{Rn},$$

daher

$$P \cdot R = 716\,200 \frac{N}{n} \quad \dots \quad 83)$$

( $R$  hierbei in Millimetern.)

Setzt man nun diesen Wert in Gleichung 82) ein, so ergibt sich auch

$$d = 1,58 \sqrt[3]{716\,200 \frac{N}{n}}$$

oder

$$d = 142,2 \sqrt[3]{\frac{N}{n}} \quad \dots \quad 84)$$

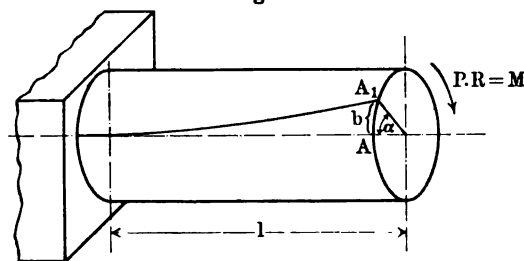
Nach Formel 82) und 84) nicht zu berechnen sind Wellen, welche durch starke Bieugungsmomente (durch schwere Räder u. s. w.) beansprucht werden.

Tritt neben einem Drehmoment  $M_t$  noch ein bedeutendes Bieugungsmoment  $M_b$  auf, so ist die Welle auf zusammengesetzte Festigkeit, wie später gezeigt wird, zu berechnen.

#### Transmissionswellen (Torsionswellen).

Zur Bestimmung des Durchmessers einer Welle kann die Formänderung derselben durch Verdrehen maßgebend sein.

Fig. 81.



Die Größe der Verdrehung  $AA_1$ , also der von einem Punkte des Querschnittes während der Einwirkung des Kraftmomentes durchlaufene Bogen  $b$  ist abhängig von der Länge  $l$  der Welle. Erfahrungsgemäß ist

$$\frac{b}{l} = \frac{P \cdot R}{J_p \cdot E_1}$$

Hierin bezeichnet  $J_p$  das polare Trägheitsmoment des betreffenden Querschnittes, hier des Kreisquerschnittes, also  $J_p = \frac{\pi}{32} d^4 = \sim 0,1 d^4$  und  $E_1$  den Elastizitätsmodul für Schub.

Ist der Abstand des Bogens  $b$  von der Torsionsachse gleich 1, so ist die Länge des Bogens auszudrücken durch

$$b = \frac{2\pi\alpha}{360}; (180^\circ = \pi).$$

Den Verdrehungswinkel läßt man nicht über  $1/4^\circ$  pro laufenden Meter kommen, also

$$\alpha = 0,25 l^m.$$

Setzt man vorstehende Werte bei Annahme einer kreisförmigen Welle in obige Erfahrungsformel ein, so ergibt sich

$$\frac{2\pi\alpha}{360} = \frac{PR}{1 \cdot 1000 \cdot 0,1 d^4 \cdot E_1}$$

oder

$$\frac{2\pi \cdot 0,25 l}{360 \cdot 1 \cdot 1000} = \frac{PR}{0,1 d^4 \cdot E_1}$$

Hieraus

$$d = 39 \sqrt[4]{\frac{PR}{E_1}}$$

Für Schmiedeeisen ist  $E_1 = 8000$ ; dies eingesetzt, giebt

$$d = 4,13 \sqrt[4]{PR} \quad \dots \quad 85)$$

oder, wenn man für  $P \cdot R = 716\,200 \frac{N}{n}$  einführt:

$$d = 120 \sqrt[4]{\frac{N}{n}} \quad \dots \quad 86)$$

Transmissionswellen oder erste Antriebswellen, welche durch Räder, Seilspannungen u. s. w. stark auf Biegung beansprucht sind, erhalten, wenn ihre Lagerentfernung klein ist, einen um 10 bis 20 mm größeren Durchmesser oder man berechnet dieselben auf zusammengesetzte Festigkeit, Biegung und Verdrehung, wie später gezeigt wird<sup>1)</sup>.

Da das Arbeitsvermögen durch Eindrehen für Halslager bedeutend abnimmt, sollte nur eingedreht werden, wenn es absolut nötig ist und der Einfluß der Eindrehung nicht nachteilig werden kann.

Nach Formel 86) ist nebenstehende Tabelle berechnet.

#### a) Umdrehungszahl der Transmissionswellen.

Die zu wählenden Umdrehungszahlen  $n$  richten sich nach der Art des Betriebes. Es soll  $n$  möglichst groß gewählt werden, weil hierdurch die Welle schwächer wird und demnach an Gewicht und Preis gering ausfällt.

<sup>1)</sup> Der Schub-Elastizitätsmodul für Gußstahl ist  $1/2$  mal so groß als der für Schmiedeeisen; es können daher volle Transmissionswellen aus Gußstahl die 0,88fache und komprimierte Wellen aus weichem Martinstahl die 0,66fache Stärke einer gleichbelasteten, schmiedeeisernen Welle erhalten.

Tabelle  
zur Ermittlung von Wellendurchmesser, Pferdestärken und Umdrehungen pro Minute,  
wenn zwei dieser Größen bekannt sind.

Pferde- stärken PS	Anzahl Umdrehungen in der Minute n.																						Pferde- stärken PS
	50	60	70	80	90	100	110	120	130	140	150	160	180	200	225	250	275	300	325	350	375	400	
	Wellendurchmesser in Millimetern																						
1	50	45	45	45	40	40	40	40	40	35	35	35	35	35	35	35	30	30	30	30	30	30	1
2	55	55	50	50	50	50	45	45	45	45	45	40	40	40	40	40	35	35	35	35	35	35	2
3	60	60	55	55	55	50	50	50	50	50	45	45	45	45	45	40	40	40	40	40	40	40	3
4	65	65	60	60	55	55	55	55	50	50	50	50	50	50	45	45	45	45	40	40	40	40	4
5	70	65	65	60	60	60	60	55	55	55	55	55	50	50	50	50	45	45	45	45	45	45	5
6	75	70	65	65	65	60	60	60	60	55	55	55	55	50	50	50	50	50	45	45	45	45	6
7	75	75	70	70	65	65	65	60	60	60	60	55	55	55	55	50	50	50	50	50	45	45	7
8	80	75	70	70	70	65	65	65	60	60	60	60	55	55	55	55	50	50	50	50	50	50	8
9	80	75	75	70	70	70	65	65	65	65	60	60	60	60	55	55	55	50	50	50	50	50	9
10	85	80	75	75	70	70	70	65	65	65	65	60	60	60	60	55	55	55	55	50	50	50	10
11	85	80	80	75	75	70	70	70	65	65	65	65	60	60	60	60	55	55	55	55	50	50	11
12	85	85	80	75	75	75	70	70	70	65	65	65	65	60	60	60	60	55	55	55	55	50	12
13	90	85	80	80	75	75	75	70	70	70	70	65	65	65	60	60	60	60	55	55	55	55	13
14	90	85	85	80	80	75	75	75	70	70	70	70	65	65	60	60	60	60	55	55	55	55	14
15	90	85	85	80	80	75	75	75	70	70	70	70	65	65	65	60	60	60	60	55	55	55	15
16	95	90	85	85	80	80	75	75	75	70	70	70	70	65	65	65	60	60	60	60	55	55	16
17	95	90	85	85	80	80	80	75	75	75	70	70	70	65	65	65	60	60	60	60	60	55	17
18	95	90	90	85	85	80	80	75	75	75	75	70	70	70	65	65	65	60	60	60	60	60	18
19	95	90	90	85	85	80	80	80	75	75	75	75	70	70	65	65	65	65	60	60	60	60	19
20	100	95	90	85	85	85	80	80	80	75	75	75	70	70	70	65	65	65	60	60	60	60	20
25	105	100	95	90	90	85	85	85	80	80	80	80	75	75	70	70	70	65	65	65	65	60	25
30	110	105	100	95	95	90	90	85	85	85	85	80	80	75	75	75	70	70	70	65	65	65	30
35	110	105	105	100	95	95	95	90	90	85	85	85	80	80	80	75	75	75	70	70	70	70	35
40	120	110	105	105	100	100	95	95	95	90	90	85	85	85	80	80	75	75	75	70	70	70	40
45	120	115	110	105	105	100	100	95	95	95	90	90	85	85	85	80	80	75	75	75	75	70	45
50	120	115	110	110	105	105	100	100	95	95	95	90	90	85	85	85	80	80	80	75	75	75	50
60	130	120	120	115	110	110	105	105	100	100	100	95	95	90	90	85	85	85	80	80	80	75	60
70	135	125	120	120	115	110	110	105	105	105	100	100	95	95	90	90	90	85	85	85	80	80	70
80	135	130	125	120	120	115	115	110	110	105	105	105	100	100	95	95	90	90	85	85	85	85	80
90	140	135	130	125	120	120	115	115	110	110	110	105	105	100	100	95	95	90	90	90	85	85	90
100	145	140	135	130	125	120	120	115	115	115	110	110	105	105	100	100	95	95	90	90	90	85	100
125	155	145	140	135	135	130	125	125	120	120	115	115	110	110	105	105	100	100	95	95	95	90	125
150	160	155	150	145	140	135	130	130	130	125	120	120	115	115	110	110	105	105	100	100	95	95	150
175	165	160	155	150	145	140	135	135	130	130	125	125	120	120	115	110	110	105	105	105	100	100	175
200	170	165	160	155	150	145	140	140	135	135	130	130	125	120	120	115	115	110	110	105	105	105	200
225	175	170	165	155	155	150	145	140	140	135	135	135	130	125	120	120	115	115	110	110	110	105	225
250	180	175	165	160	155	155	150	145	145	140	140	135	130	130	125	120	120	115	115	110	110	110	250
275	185	180	170	165	160	155	155	150	145	145	140	140	135	130	130	125	120	120	115	115	115	110	275
300	190	180	175	170	165	160	155	155	150	145	145	140	140	135	130	130	125	120	120	120	115	115	300
325	195	185	180	170	165	165	160	155	155	150	150	145	140	140	135	130	125	125	120	120	120	115	325
350	195	190	180	175	170	165	160	160	155	155	150	150	145	140	135	135	130	125	125	120	120	120	350
375	200	190	185	180	175	170	165	160	160	155	155	150	145	140	140	135	130	130	125	125	120	120	375
400	205	195	190	180	175	170	170	165	160	160	155	155	150	145	140	135	135	130	130	125	125	120	400

Durchschnittszahlen für die günstigsten Umdrehungen pro Minute sind:

Für normale Antriebswellen und schwere Umdrehgn.  
Metallbearbeitungsmaschinen . . . . . 100 ÷ 150  
Für leichte Metallbearbeitungsmaschinen . 150 ÷ 250  
Für Holzbearbeitungsmaschinen . . . . . 250 ÷ 300  
Für Spinnereimaschinen . . . . . 300 ÷ 400

b) Lagerentfernung der Transmissionswellen.

Die Lagerung der Wellen richtet sich nach der Beanspruchung derselben, sowie nach den baulichen (örtlichen) Verhältnissen.

Für solide Betriebe ist es empfehlenswert, die Lager in nicht zu großen Entfernungen anzuordnen.

Als Anhalt kann bei Triebwerkswellen nach Bach für die Entfernung der Lager gelten

$$l \geq 100 \cdot \sqrt{d}, \text{ dabei } l \text{ und } d \text{ in Centimetern.}$$

Man kann sich passend nach folgender Tabelle richten:

Wellendurchmesser $d =$	30	40	50	60	70	80	90	100	110	120	130	140	150 mm
Lagerentfernung von Mitte zu Mitte $l =$ . . . . .	1,6	1,7	1,8	2	2,2	2,3	2,4	2,5	2,6	2,7	2,8	2,9	3,0 m

Die höchste zulässige Durchbiegung einer Welle (zwischen zwei Lagern) sei  $\leq \frac{1}{3}$  mm auf 1 m Wellenlänge. Kupplungen, Räder, Scheiben u. s. w. sollen möglichst dicht bei den Lagern angebracht werden.

Hauptantriebswellen werden möglichst kurz gelagert, am besten ordnet man beim Hauptantrieb und bei schweren Antrieben je ein Lager extra an.

Lange Wellenleitungen sind an der Stelle, an welcher der Hauptantrieb stattfindet, auf die ganze zu übertragende Kraft zu berechnen, können jedoch nach den Enden hin schwächer gehalten werden.

c) Länge der Wellen und Verbindungen derselben.

Die Länge der einzelnen Wellen wird zweckmäßig bis 50 mm Durchmesser nicht über 4 ÷ 6 m, bei größerem Wellendurchmesser nicht über 7 m gewählt.

Längere Wellen erschweren den Transport und die Montage und erhöht sich gewöhnlich bei unter 2 m und über 7 m Länge der Preis derselben um 5 Proz.

Die Verbindung zweier Wellen erfolgt durch eine Kupplung. Nehmen die Durchmesser eines Wellenstranges nach und nach ab, so werden die Kupplungen dazu so ausgeführt, daß das stärkere Wellenende auf den schwächeren Durchmesser der anschließenden Welle abgedreht wird, damit eine einfache Kupplung angebracht werden kann, oder es wird die

eine Kupplung nach dem stärkeren und die andere nach dem schwächeren Wellendurchmesser gebohrt.

Es ist vorteilhaft, lange Wellenleitungen nicht von den Enden, sondern von der Mitte aus anzutreiben. Wegen der Ausdehnung langer Leitungen sind die Stellringe (s. unter diesen) richtig anzuordnen und ist für Einschaltung einer Ausdehnungskupplung Sorge zu tragen. Unbedingt nötig wird eine Ausdehnungskupplung, wenn ein Wellenstrang an beiden Enden fest gelagert oder eine Verschiebung der Wellenenden unstatthaft ist.

Die Ausdehnung eines Wellenstranges ist eine Folge des Temperaturwechsels. Der Wärmeausdehnungskoeffizient wird angegeben für Schweiß- und Flußeisen zu rund  $\frac{1}{70000}$  und  $\frac{1}{80000}$  auf 1° C.; für Stahl  $\frac{1}{80000}$  und  $\frac{1}{90000}$ ; für Gufseisen  $\frac{1}{90000}$ ; für Kupfer  $\frac{1}{60000}$ .

Es würde demnach bei einer Wellenleitung aus

Flußeisen von 40 m (40 000 mm) Länge und 30° C. Temperaturunterschied eine Längenausdehnung von mindestens  $40000 \cdot \frac{30}{80000} = 15$  mm eintreten.

Über Gewichte und dergleichen von Wellen siehe folgende Tabelle nach Angabe der Maschinenfabrik A. Spengler, M.-Gladbach.

Durchmesser mm	Gewicht eines Meters kg	Preis eines Meters Mk.	Preis für d. Nuten zweier Wellenenden pro 100 mm Länge Mk.	Durchmesser mm	Gewicht eines Meters kg	Preis eines Meters Mk.	Preis für d. Nuten zweier Wellenenden pro 100 mm Länge Mk.
40	9,8	7,00	1,50	130	103,3		
45	12,4	8,50	1,50	135	111,4		
50	15,3	9,50	2,00	140	119,8		
55	18,5	10,50	2,00	145	128,5		
60	22,0	12,00	2,50	150	137,5		
65	25,9	13,00	2,50	155	146,8		
70	30,0	14,00	2,75	160	156,4		
75	34,4	15,50	2,75	165	166,4		
80	39,2	17,50	3,00	170	176,6		
85	44,2	19,50	3,00	175	187,1		
90	49,5	21,50	3,50	180	198,0		
95	55,2	24,00	3,50	185	209,1		
100	61,1	27,00	3,75	190	220,6		
105	67,4	31,00	3,75	195	232,3		
110	74,0	34,00	4,00	200	244,3		
115	80,9	40,00	4,50	210	270,0		
120	88,0	44,00	5,00	220	298,8		
125	95,5	48,00	5,00	230	323,8		

Auf besondere Anfrage

### Wellen mit zusammengesetzter Festigkeit.

Wie schon vorher (siehe Erläuterungen nach Gleichung 86) gesagt, müssen Wellen, die durch schwere Räder belastet oder überhaupt stark auf Biegung beansprucht sind, auf zusammengesetzte Festigkeit, d. h. auf Biegung und Torsion berechnet werden.

Eine so beanspruchte Welle berechne man nach folgender Formel:

$$M_{b(i)} = \frac{3}{8} M_b + \frac{5}{8} \sqrt{M_b^2 + M_t^2} \quad . \quad . \quad 87)$$

wobei  $M_b$  = Biegungs- und  $M_t$  = Drehungsmoment bezeichnet. (Bei den Zapfen ist statt  $M_t = M_d$  gesetzt worden.)

Nach dieser Formel berechnet man das ideale Biegemoment  $M_{b(i)}$  und setzt dies bei Wellen mit vollem kreisförmigen Querschnitt gleich

$$M_{b(i)} = 0,1 d^3 \cdot k_b \quad . \quad . \quad . \quad 88)$$

und bei hohlen Wellen

$$M_{b(i)} = 0,1 \frac{D^4 - d^4}{D} \cdot k_b \quad . \quad . \quad . \quad 88a)$$

worin

$D$  = äußeren Durchmesser des Hohlkreises

$d$  = inneren " " "

bezeichnet.

Das Hohlungsverhältnis kann sein:

$d = 0,5 \div 0,8 D$  (s. hierüber bei hohlen Achsen).

Bezüglich  $k_b$  gelten die bei Achsen Seite 47 gemachten Angaben.

Einfacher und genau genug kann für die Formel 87) gesetzt werden,

wenn  $M_b > M_t$ :

$$M_{b(i)} = 0,975 M_b + 0,25 M_t$$

wenn  $M_b < M_t$ :

$$M_{b(i)} = 0,625 M_b + 0,6 M_t$$

$$\left. \begin{array}{l} M_{b(i)} = 0,975 M_b + 0,25 M_t \\ M_{b(i)} = 0,625 M_b + 0,6 M_t \end{array} \right\} \quad . \quad . \quad . \quad 89)$$

### Biegsame Wellen.

Die biegsamen Wellen (Seelen) werden als Spezialität von der Cie. Française des Transmissions Flexibles, Charlottenburg-Berlin aus besten Stahldrahtspiralen hergestellt. Sie erhalten an ihren Enden einen dem jeweiligen Verwendungszweck angepassten Antriebsmechanismus und ein Anschlußstück (s. die Figuren 173 bis 175 auf Taf. 49).

Zu ihrem Schutze und um bei arbeitender Welle Lageveränderungen vornehmen zu können, werden diese Wellen mit einem Ledermantel oder einem Metallschlauch umgeben, welcher an der Drehung nicht teilnimmt.

Schneider, Maschinen-Elemente.

Die Arbeitswellen sind geeignet zum Bohren, Schleifen, Fräsen u. s. w., überhaupt überall da, wo es von Wert ist, mit dem Werkzeug an jede Stelle leicht herankommen zu können, ohne die Lage des Werkstückes verändern zu müssen.

Es ist vorteilhaft, die Kurven der Wellen trotz ihrer Biegsamkeit möglichst schlank zu halten. Die Stellung der Figur 82 soll nur eine Grenzstellung angeben.

Der gewöhnliche Krümmungsradius, in welchem eine Welle noch normal arbeitet, ist  $6 \div 7$ -mal dem Durchmesser der Welle.

Da mit höherer Tourenzahl die Wellendurchmesser kleiner werden können, empfiehlt es sich, die Geschwindigkeit so hoch wie möglich zu wählen.

Die Konstruktion der biegsamen Wellen ist abhängig von der Leistung, Umdrehungszahl und Drehrichtung, sowie von dem verlangten Grade an Biegsamkeit. Dieselben werden bis etwa 100 mm Durchmesser hergestellt. Die Übertragungsfähigkeit kann in der linken als rechten Drehrichtung erfolgen.

Oben genannte Firma giebt für die Übertragungsfähigkeit folgende Tabelle an.

Tabelle über die Übertragungsfähigkeit der deutschen verbesserten biegsamen Wellen.

Leistung in PS	Umdrehungen pro Minute										
	100	200	300	400	600	800	1000	1200	1400	1600	2000
	Durchmesser der biegsamen Welle										
1/10	25	20	15	12,5	10	10	10	10	8	8	8
1/6	30	25	20	20	15	12,5	12,5	12,5	10	10	8
1/4	35	30	25	25	20	15	15	15	12,5	12,5	10
1/3	45	35	30	30	25	20	20	20	15	15	12,5
1/2	50	40	35	35	30	25	20	20	15	15	12,5
1	60	45	40	35	30	30	25	25	20	20	15
1,5	70	50	45	40	35	30	30	25	25	20	20
2	—	60	50	45	40	35	30	30	25	25	20
2,5	—	65	55	50	45	40	35	35	30	30	25
3	—	70	60	55	45	45	40	35	35	30	30
4	—	—	65	60	50	45	45	40	40	35	35
5	—	—	70	65	60	50	50	40	40	35	35
6	—	—	—	70	65	55	50	45	45	40	40
8	—	—	—	—	70	60	55	50	45	45	40
10	—	—	—	—	—	65	60	55	50	50	45
12	—	—	—	—	—	70	65	60	55	50	50
15	—	—	—	—	—	—	70	65	60	55	50

Eine blanke biegsame Welle von z. B. 30 mm Durchmesser und  $2\frac{1}{2}$  m Länge kostet  $30 \times 2\frac{1}{2} \times 1,20 = 90$  Mk.

Die Welle der Fig. 83 besitzt an dem einen Ende einen einfachen Zapfen, an dem anderen Ende einen Zapfen mit Gewinde und Sechskantmutter. Die Zapfen

Fig. 83.



der biegsamen Seele sind an beiden Enden gelagert und zwar bei langsam laufenden Wellen in gewöhn-

Fig. 84.

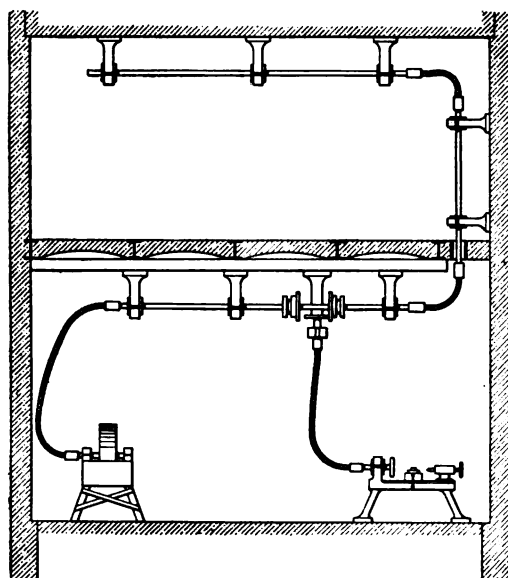
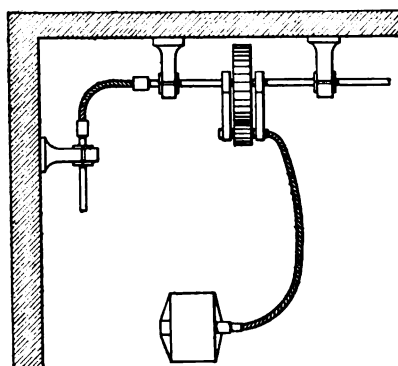


Fig. 85.



lichen Bronzelagern, bei schnell laufenden Wellen in Kugellagern.

Die Figuren 84 und 85 zeigen noch praktische Verwendungen der biegsamen Wellen bei Transmissionen.

### Stellringe.

Zu den Wellen gehören die Stellringe. Um Wellen gegen seitliches Verschieben zu sichern, werden dieselben mit Stellringen versehen. Bei langen Wellenleitungen dürfen dieselben die Längenänderungen nicht

behindern. Sie sind hier deshalb zu beiden Seiten eines Lagers oder zu entgegengesetzten Seiten zweier benachbarter Lager anzubringen. Bei langen Leitungen werden dieselben am besten in der Mitte der Welle angeordnet.

Hervorstehende Schraubenköpfe und dergleichen dürfen Stellringe nicht besitzen, da solche leicht die Kleider einer hier beschäftigten Person fassen und Unglücksfälle hervorrufen können. Im Falle vorstehender Schrauben ist der Stellring mit einer Schutzhülse zu umgeben. Feste, aufgeschweißte Bunde sind teuer und nicht zu empfehlen, da sie auch das Aufbringen und Abnehmen von Rädern u. s. w. erschweren.

Sind die Wellen bei den Lagerstellen eingedreht, so werden die Stellringe zwar entbehrlich, doch sollte man, wie bereits gesagt, Eindrehungen möglichst vermeiden.

Die Stellringe werden aus Schmiedeeisen und Gufseisen, die Schrauben aus Stahl hergestellt.

Fig. 86.

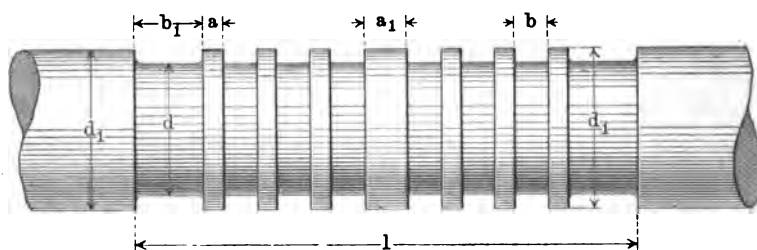


Fig. 168, Taf. 49 zeigt einen ungeteilten, schmiedeeisernen Stellring. Statt der Köpfe erhalten die Schrauben auch mitunter oben einen Einschnitt. Fig. 169, Taf. 49 zeigt einen schmiedeeisernen geteilten Stellring.

Die Stirnfläche der Schrauben wird gehärtet. Die Schraube mit hohler Stirnfläche nach Fig. 170, Taf. 49 ist weniger zweckmäßig als die nach Fig. 171, Taf. 49, da die scharfen Kanten der ersteren häufig Grat erzeugen und ausbrechen.

Andere Ausführungen, Schraubenstärken, Gewichte u. s. w. von Stellringen siehe Tabelle auf der Rückseite der Tafel 49.

Wellen in staubigen Räumen, die starkem Druck in der Längsrichtung ausgesetzt sind, erhalten statt der Stellringe oder Bunde Kammlagerstellen (mit entsprechenden Lagern), wie Fig. 86 zeigt. Bunde nutzen sich infolge des Druckes so ab, daß mit der Zeit ein Hin- und Herwerfen der Welle stattfinden würde.

Die Maschinenfabrik Polysius, Dessau, führt solche Kammlagerstellen nach folgender Tabelle aus.



### Masse und Preise.

Ring- durch- messer $d_1$ mm	Kern- durch- messer $d$ mm	Länge $l$ mm	Ringbreite		Lückenweite		Preis für Eindrehen der Kamm- lager- stelle in eine Welle Mk.
			$a$ mm	$a_1$ mm	$b$ mm	$b_1$ mm	
100	80	320	15	26	19	45	48
110	90	350	16	30	21	49	53
120	95	380	17,5	32	23	52,5	57
130	105	410	19	34	25	56	62
140	115	440	20,5	36	27	59,5	67
150	120	470	22	38	29	63	72
160	130	500	23,5	40	31	66,5	78
170	140	530	24,5	44	33	70,5	84
180	150	570	26	46	35	79	90
190	160	600	28	46	37	82	100
200	170	630	28	48	40	87	110
210	180	660	29,5	50	42	90,5	120
220	185	690	32	54	43	93	130
230	195	720	34	60	44	96	140
240	200	750	35	64	46	100	150
250	210	780	37	64	48	103	160
260	220	820	38	68	50	112	170
270	230	850	40	68	52	115	180
280	240	880	41	72	54	119	190
290	245	910	42	76	56	123	200
300	250	940	44	76	58	126	210

### Beispiele.

1. Eine kurze, schmiedeeiserne Welle hat bei  $n = 60$  Umdrehungen pro Minute 2 PS ( $N$  oder PS bedeutet Pferdestärke) zu übertragen, wie stark muß die Welle werden, wenn eine in Frage zu ziehende Biegungsbeanspruchung nicht vorhanden ist?

(Von der Biegungsbeanspruchung durch das Eigengewicht der Welle kann meist abgesehen werden.)

Nach Gleichung 83) ergibt sich das Moment

$$P.R = 716\,200 \frac{N}{n} = 716\,200 \frac{2}{60} = \sim 23\,873 \text{ mmkg.}$$

Setzt man nun in Gleichung 81 a)  $k_t = 2,8 \text{ kg}$  (für Flusseisen), so folgt der Wellendurchmesser:

$$d = \sqrt[3]{\frac{P.R}{0,2 \cdot 2,8}} = \sqrt[3]{\frac{23\,873}{0,56}} = \sim 35 \text{ mm.}$$

Wäre die Welle beispielsweise durch Räder mit auf Biegung, wenn nicht gerade bedeutend, beansprucht worden, so würde man den Durchmesser aus Gleichung 82) bzw. 84) bestimmen.

Nach Gleichung 82) ergäbe sich dann

$$d = 1,58 \sqrt[3]{P.R} = 1,58 \sqrt[3]{23\,873} = \sim 45 \text{ mm.}$$

2. Eine Transmissionswelle (Schmiedeeisen) hat 80 Umdrehungen pro Minute und

überträgt  $N = 100$  Pferdestärken, wie stark muß die Welle werden?

Ihr Durchmesser folgt aus Gleichung 86):

$$d = 120 \sqrt[4]{\frac{N}{n}} = 120 \sqrt[4]{\frac{100}{80}} = 127 = \sim 130 \text{ mm.}$$

Dasselbe Resultat hätte man auch sofort aus der Tabelle Seite 57 ablesen können.

Wäre die Welle bedeutenden Biegungsbeanspruchungen unterworfen, so würde man den Durchmesser auf etwa 140 mm erhöhen oder man hätte dieselbe auf zusammengesetzte Festigkeit zu berechnen.

3. Die nach Fig. 176, Taf. 50/51 dargestellte Transmission für einen Spinnereibetrieb soll durch Hanfseile getrieben werden.

Das Seilswungrad der Dampfmaschine überträgt einen Effekt von 840 Pferdestärken bei  $n = 62$  Touren pro Minute.

Die Fabrikanlage ist so vorgesehen, daß der Wellenstrang  $K$  nach links fortgesetzt werden kann für eine weitere Übertragung von 35 Pferdestärken.

Die ganze Anlage ist von der Maschinenfabrik A. Spengler, M.-Gladbach ausgeführt worden.

Insgesamt geben die einzelnen Wellenleitungen an die Spinnmaschinen Pferdekkräfte ab:

Wellenleitung  $J = 30$  PS bei  $n = 250$  Touren

$$\begin{array}{r} K = 70 \text{ PS} \\ \hline 100 \text{ PS} \end{array}$$

$$\begin{array}{r} \text{Für die Erweiterung} \\ \text{der Wellenleitung } K \\ \text{nach dem linken} \\ \text{Spinnstuhl} \end{array} \left. \vphantom{\begin{array}{r} \text{Für die Erweiterung} \\ \text{der Wellenleitung } K \\ \text{nach dem linken} \\ \text{Spinnstuhl} \end{array}} \right\} \text{ dazu } 35 \text{ PS}$$

$$\hline 135 \text{ PS}$$

Vorläufig sind für die Leitung  $K$  also nur 100 PS zu übertragen und soll die Anzahl der Seile auch hierfür bestimmt werden. Da jedoch später 35 PS hinzukommen und demnach mehr Seile erforderlich werden, erhalten die Scheiben eine Breite für die Anzahl der Seile zu 135 PS. Für die Scheiben der weiteren Seiltriebe könnte vorläufig dasselbe gelten, doch sollen bei diesen die Seile, die sich durch das Hinzukommen der 35 PS erforderlich machen, gleich mit aufgelegt werden.

Letzteres erscheint um so richtiger, als ja (bei 35 PS) viele Seile mehr sich nicht notwendig machen werden und beim späteren Auflegen der Seile der Betrieb nicht so lange unterbrochen zu werden braucht. Es wären also bei der späteren Erweiterung nur die Seile für die letzte Leitung, also für die Leitung  $K$  aufzulegen.

Es wurden bereits gebraucht: 135 PS.

Weiter geben ab:

Wellenleitung  $G = 144$  PS bei  $n = 300$  Touren  
 $H = 52$  " " " " "  
 331 PS

Wellenleitung  $F = 104$  PS bei  $n = 300$  Touren  
 435 PS

Wellenleitung  $E = 165$  PS bei  $n = 280$  Touren  
 600 PS

Wellenleitung  $A = 40$  PS bei  $n = 170$  Touren  
 $B = 100$  " " " " "  
 $C = 64$  " " " " "  
 $D = 36$  " " " " "

Zusammen: 840 PS

Die Berechnung der Scheiben und Seile erfolgt später bei Seiltrieben.

Hier soll beispielsweise der Wellenstrang  $A$  berechnet werden (s. Fig. 177, Taf. 52/54).

Derselbe besteht aus neun gekuppelten Wellen, von denen die letzte

	Welle I abgibt.	11 PS
desgleichen	" II.	3 "
"	" III.	3 "
"	" IV.	3 "
"	" V.	4 "
"	" VI.	4 "
"	" VII.	4 "
"	" VIII.	4 "
"	" IX.	4 "

Es ist also Welle I zu berechnen für 11 PS

desgleichen	" II.	$11 + 3 = 14$	"
"	" III.	$14 + 3 = 17$	"
"	" IV.	$17 + 3 = 20$	"
"	" V.	$20 + 4 = 24$	"
"	" VI.	$24 + 4 = 28$	"
"	" VII.	$28 + 4 = 32$	"
"	" VIII.	$32 + 4 = 36$	"
"	" IX.	$36 + 4 = 40$	"

Diese Triebwerkswellen sollen sämtlich auf Verdrehung nach Formel 86) berechnet und von Kupplung zu Kupplung in gleicher Stärke hergestellt werden.

$$d_I = 120 \sqrt[4]{\frac{N}{n}} = 120 \sqrt[4]{\frac{11}{170}} = 60 = \sim 65 \text{ mm},$$

$$d_{II} = 120 \sqrt[4]{\frac{14}{170}} = 64 = \sim 70 \text{ mm}.$$

Durch die entsprechende Erhöhung ist der Bieungsbeanspruchung zugleich Rechnung getragen. Man hätte aber diese Resultate einfacher sofort aus der Tabelle Seite 57 ablesen können. Nach dieser ergeben sich die weiteren Wellendurchmesser wie folgt:

$$\begin{aligned} d_{III} &= \sim 75 \text{ mm}, \\ d_{IV} &= \sim 75 \text{ mm}, \\ d_V &= \sim 80 \text{ mm}, \\ d_{VI} &= \sim 80 \text{ mm}, \\ d_{VII} &= \sim 85 \text{ mm}, \\ d_{VIII} &= \sim 85 \text{ mm}, \\ d_{IX} &= \sim 90 \text{ mm}. \end{aligned}$$

3a. Im Anschluß an vorige Aufgabe soll noch die nach Fig. 178, Taf. 52/54 detaillierte Hauptantriebswelle berechnet werden.

Durch die vertikal gerichteten Gewichte der Seilscheiben und eines Teiles des Seilgewichtes, sowie durch die horizontalen, bzw. geneigt gerichteten Seilspannungen wird diese Welle auf Biegung beansprucht. Außerdem ist noch Verdrehung durch den zu übertragenden Effekt vorhanden. Die Welle ist also auf zusammengesetzte Festigkeit zu berechnen.

Es sei nun der Einfachheit wegen angenommen, daß das Gewicht der Welle mit in demjenigen der Scheiben enthalten sei und daß die links und rechts angekuppelten Wellen keinen Einfluß auf die Gewichtsverteilung ausüben.

In Fig. 180, Taf. 55 sind die vertikalen Gewichte der Seilscheiben nebst Seile angegeben. Aufser diesen wirkt auf die Welle noch eine vertikale Belastung in dem Punkte  $x$ , hervorgerufen durch den schräg nach unten gerichteten Seilzug.

Dieser Seilzug ist mit Rücksicht auf die Fliehkraft für mittlere Verhältnisse im führenden (unteren) Seil

$$T = 2P + q \frac{v^2}{g};$$

im geführten (oberen) Seil

$$t = P + q \frac{v^2}{g}.$$

Hierbei bedeutet  $P$  die Umfangskraft,  $q$  das Gewicht eines Seiles pro laufenden Meter und  $g = 9,81$  (s. Näheres bei Riemen- und Seiltrieben).

Der Druck, mit welchem die Welle gegen die Lager gepreßt wird, beträgt dann während der Bewegung  $K = 3P$ .

Die Umfangskraft ergibt sich aus der Formel

$$P = 75 \frac{N}{v} = \frac{75 \cdot 840}{\left( \frac{2,44 \cdot 3,14 \cdot 170}{60} \right)} = \sim 2900 \text{ kg}.$$

Demnach wird

$$K = 3 \cdot 2900 = 8700 \text{ kg}.$$

Diese 8700 kg zerlegen sich nun in eine horizontale und vertikale Komponente, und da diese Kraft nach Fig. 181 mit der vertikalen einen Winkel von  $70^\circ$  einschließt, wird die horizontale Komponente

$8700 \cdot \sin 70^\circ = 8700 \cdot 0,94 = \sim 8170 \text{ kg}$   
und die vertikale Komponente

$$8700 \cdot \cos 70^\circ = 8700 \cdot 0,342 = \sim 2980 \text{ kg.}$$

Danach stellt sich die vertikale Belastung der Welle, wie in Fig. 182, Taf. 55 angegeben, und es wird die Momentengleichung in Bezug auf den Drehpunkt  $B$ :

$$V_1 \cdot 4230 = 9540 \cdot 2960 + 7130 \cdot 1470 + 880 \cdot 605.$$

Hieraus folgt die vertikale Belastung des linken Zapfens bei  $A$ :

$$V_1 = \frac{9540 \cdot 2960 + 7130 \cdot 1470 + 880 \cdot 605}{4230} = \sim 10320 \text{ kg.}$$

Da nun die algebraische Summe der Vertikalkräfte gleich Null sein muß, so ergibt sich die vertikale Belastung des rechten Zapfens bei  $B$ :

$$10320 + V_2 = 9540 + 7130 + 880 \\ V_2 = 7230 \text{ kg.}$$

Für die horizontalen Belastungen der beiden Zapfen  $A$  und  $B$  ergab sich an der Stelle  $x$  gleich  $8170 \text{ kg}$ .

Für die Stelle  $y$  wird wieder:

$$K = 3P = 3 \cdot \frac{75 \cdot 600}{\left(\frac{3 \cdot 3,14 \cdot 170}{60}\right)} = \sim 5100 \text{ kg.}$$

Ebenso folgt für den Punkt  $z$ :

$$K = 3P = 3 \cdot \frac{75 \cdot 100}{\left(\frac{1,7 \cdot 3,14 \cdot 170}{60}\right)} = \sim 1490 \text{ kg}$$

(s. Fig. 180a und 183, Taf. 55).

Nun lautet die Momentengleichung in Bezug auf den Drehpunkt  $B$ :

$$H_1 \cdot 4230 = 8170 \cdot 2960 - 5100 \cdot 1470 + 1490 \cdot 605.$$

Hieraus die horizontale Belastung des linken Zapfens bei  $A$ :

$$H_1 = \frac{8170 \cdot 2960 - 5100 \cdot 1470 + 1490 \cdot 605}{4230} = \sim 4150 \text{ kg.}$$

Da auch die algebraische Summe der horizontalen Kräfte gleich Null sein muß, so wird

$$4150 + 5100 = 8170 + 1490 + H_2,$$

woraus die horizontale Belastung des rechten Zapfens bei  $B$ :

$$H_2 = 4150 + 5100 - 8170 - 1490 = -320 \text{ kg.}$$

Das Minuszeichen besagt, daß der Horizontaldruck  $H_2$  entgegengesetzt, wie bei der Berechnung angenommen wurde, wirkt, was aber für die Bestimmung des Zapfens keinen Einfluß hat.

Die wirklichen Zapfendrucke in  $A$  und  $B$  ergeben sich nun durch Zusammensetzen der gefundenen Horizontal- und Vertikalbelastungen.

Es folgt der resultierende Druck für den linken Zapfen bei  $A$ :

$$\sqrt{H_1^2 + V_1^2} = \sqrt{4150^2 + 10320^2} = \sim 11150 \text{ kg}$$

und für den rechten Zapfen bei  $B$ :

$$\sqrt{H_2^2 + V_2^2} = \sqrt{320^2 + 7230^2} = \sim 7240 \text{ kg.}$$

Zur Berechnung der Welle hat man nun zunächst die einzelnen Biegemomente für die verschiedenen Belastungspunkte zu ermitteln.

In Fig. 184, Taf. 55 sind die bereits gefundenen Werte zusammengestellt.

Die Biegemomente ergeben sich, indem man alle an dem betrachteten Teile der Welle angreifenden Kräfte auf einen Punkt reduziert, z. B. auf den Angriffspunkt der äußersten Kraft. Werden hier die verschiedenen Kräfte zu einer resultierenden Kraft zusammengesetzt, so ist das Moment dieser resultierenden Kraft das Biegemoment für den betreffenden Wellenquerschnitt.

So berechnet sich das Biegemoment für den Punkt  $y$ :

Man betrachte den linken Teil der Welle von  $y$  und reduziere die an  $x$  angreifenden Kräfte auf  $A$ .

Die Horizontalkraft bei  $x$  von  $8170$  auf  $A$  reduziert, giebt

$$K_h \cdot 2760 = 8170 \cdot 1490$$

$$K_h = \frac{8170 \cdot 1490}{2760} = \sim 4400 \text{ kg.}$$

Diese wirkt aber der in  $A$  angreifenden Horizontalkraft von  $4150 \text{ kg}$  entgegen, so daß in  $A$  also nur eine Horizontalkraft verbleibt von

$$4400 - 4150 = 250 \text{ kg.}$$

Nun die Vertikalkraft bei  $x$  von  $9540$  auf  $A$  reduziert, giebt

$$K_v \cdot 2760 = 9540 \cdot 1490$$

$$K_v = \frac{9540 \cdot 1490}{2760} = 5150 \text{ kg.}$$

Dieser entgegen wirkt bei  $A$  die Vertikalkraft  $10320 \text{ kg}$ , also verbleibt in  $A$  eine Vertikalkraft von

$$10320 - 5150 = 5170 \text{ kg.}$$

Für den Punkt  $A$  ergibt sich daher aus diesen beiden Kräften die Resultierende:

$$\sqrt{250^2 + 5170^2} = \sim 5180 \text{ kg.}$$

Nun folgt das Biegemoment für den Punkt  $y$ :

$$M_y = 5180 \cdot 2760 = 14\,296\,800 \text{ mmkg.}$$

Für die Punkte  $x$  und  $z$  sind noch die Biegemomente:

$$M_x = 11\,150 \cdot 1270 = 14\,160\,500,$$

$$M_z = 7240 \cdot 605 = 4\,380\,200.$$

Endlich sind noch die Drehmomente für die einzelnen Punkte zu bestimmen.

Vom Punkte  $y$  bis  $z$  (s. Fig. 180a, Taf. 55 und den Hauptplan auf Taf. 50/51) ist ein Effekt von 140 Pferdestärken zu übertragen.

Daher nach Formel 83):

$$M_{t(y \div z)} = 716\,200 \frac{140}{170} = \sim 590\,000 \text{ mmkg.}$$

Von  $x$  bis  $y$  wird ein Effekt von  $600 + 140 = 740$  Pferdestärken eingeleitet, also hierfür das Drehmoment:

$$M_{t(x \div y)} = 716\,200 \frac{740}{170} = \sim 3\,120\,000.$$

Da nach der linken Seite noch 100 Pferdekkräfte eingeleitet werden, wird für den Punkt  $x$  das Drehmoment:

$$M_{t(x)} = 716\,200 \frac{840}{170} = \sim 3\,540\,000.$$

Vergleicht man nun die gefundenen Momente miteinander, so findet man, daß die größten Momente im Punkte  $x$  auftreten.

(Im Punkte  $y$  sind übrigens die Momente ungefähr ebenso groß; das Biegemoment ist hier sogar etwas größer, doch ist dafür das Drehmoment erheblich kleiner.)

Für die Stelle  $x$  war:

$$M_x = 14\,160\,500 \text{ und } M_{t(x)} = 3\,540\,000.$$

Da das Biegemoment hier größer ist als das Drehmoment, so berechnet sich das ideelle Biegemoment annähernd nach Formel 89):

$$M_{b(x)} = 0,975 \cdot 14\,160\,500 + 0,25 \cdot 3\,540\,000 = 14\,685\,000.$$

Für die Stelle  $x$  ergibt sich demnach der Wellendurchmesser, wenn die Spannung  $k_b = 3,5 \text{ kg}$  (Flusseisen) gewählt wird:

$$14\,685\,000 = 0,1 d_x^3 \cdot 3,5$$

$$d_x = \sqrt[3]{\frac{14\,685\,000}{0,35}} = 348 \sim 350 \text{ mm.}$$

Man könnte nun die Welle nach rechts hin, speziell von  $y$  bis  $z$ , absetzen, also schwächer halten. (Letzteres ist auch bei den Antriebswellen der Nebentriebe ausgeführt worden.) Am besten giebt man jedoch dieser Welle auf der ganzen Länge die Stärke von 350 mm, wie in Fig. 178, Taf. 52/54 gezeichnet ist.

Die beiden Zapfen  $A$  und  $B$  werden auf Verdrehung berechnet, da die Biegebbeanspruchung

nach den Lagern hin immer mehr abnimmt. In Bezug auf Verdrehung berechnet sich der Zapfen  $B$  für das größte Drehmoment

$$M_t = 716\,200 \frac{740}{170} = 3\,120\,000 \text{ mmkg.}$$

Nach Formel 81) folgt daher der Zapfendurchmesser bei  $B$ , wenn  $k_t = 2,5 \text{ kg}$  (s. Seite 55) gewählt wird

$$d_B = \sqrt[3]{\frac{PR}{0,2 k_t}} = \sqrt[3]{\frac{3\,120\,000}{0,2 \cdot 2,5}} = \sim 185 \text{ mm.}$$

In der Ausführung ist mit Rücksicht auf die Biegebbeanspruchung  $d_B = 250 \text{ mm}$  gemacht.

Die Länge des Zapfens bei  $B$  bestimmt sich bezüglich des Flächendrucks aus Formel 50)

$$P = l_B \cdot d_B \cdot p$$

und mit  $p = 0,15$  (s. Zapfen)

$$l_B = \frac{P}{d_B \cdot p} = \frac{7240}{250 \cdot 0,15} = 193 \text{ mm.}$$

In Bezug auf die Reibungsarbeit erhält man nach Gleichung 52):

$$l_B \geq \frac{P \cdot n}{305\,000 A_x}$$

oder mit  $n = 170$ ,  $A_x = 0,0133$  (Lagerschalen aus Weißmetall)

$$l_B \geq \frac{7240 \cdot 170}{305\,000 \cdot 0,0133} \geq 303 \text{ mm.}$$

Die Ausführung, Fig. 178, Taf. 52/54 zeigt in Rücksicht auf ein vorhandenes Lagermodell eine Zapfenlänge  $l_B = 600 \text{ mm}$ , wodurch der Flächendruck noch bedeutend herabgezogen wird.

Der linke Zapfen  $A$  würde auf Verdrehung berechnet zu schwach ausfallen, da in denselben nur ein Effekt von 100 Pferdestärken eingeleitet wird. Wählt man in Rücksicht auf Biegung und gleiche Lagermodelle  $d_A$  auch  $250 \text{ mm}$ , so folgt die Zapfenlänge mit  $p = 0,15$  aus Formel 50):

$$l_A = \frac{P}{d_A \cdot p} = \frac{11\,150}{250 \cdot 0,15} = 298 \text{ mm.}$$

Schließlich liefert Gleichung 52) eine Zapfenlänge, wenn wieder  $A_x = 0,0133$  ist

$$l_A \geq \frac{11\,150 \cdot 170}{305\,000 \cdot 0,0133} \geq 468 \text{ mm.}$$

Es ist hier dasselbe Lagermodell verwendet und  $l_A = 600 \text{ mm}$  ausgeführt worden.

Die äußere Länge dieses Lagers beträgt  $780 \text{ mm}$ , wie aus dem Cliché und der Tabelle bei Lagern, Taf. 19/20 ersichtlich ist.

Ein seitliches Verschieben der Welle wird durch die Absätze derselben, sowie durch den an der rechten Zapfenseite (s. Fig. 178, Taf. 52/54) aufgeschweißten

Bund, der sich innerhalb der Ölkammer des Lagers befindet, verhindert.

Derartige Bunde sollten überhaupt stets innerhalb der Ölkammer eines Lagers angeordnet werden, damit sie das Öl mit erhalten und Warmlaufen des Lagers nicht eintreten kann.

Eine Längsverschiebung infolge Ausdehnung der Welle kann, wie die Zeichnung zeigt, nach rechts und links hin erfolgen.

Eine weitere Transmissionsanlage, ausgeführt vom Eisenwerk Wülfel in Wülfel vor Hannover zeigt die Taf. 56/58.

4. Es ist die Welle (Material: bestes Schweiß-eisen) eines Wasserrades zu berechnen. Dieselbe soll bei zehn Umdrehungen pro Minute 40 Pferdestärken übertragen. Die Belastung der Punkte *C* und *D* (s. Fig. 187 und 188, Taf. 59) durch das Gewicht des Rades und das in demselben befindliche Wasser ist je 6000 kg. Die Belastung des Punktes *E* durch das Gewicht des Zahnrades und durch den senkrecht gerichteten Zahndruck ist 4000 kg (Zahndruck  $P = \frac{M_t}{R}$ ).

In diese Belastungen ist das Gewicht der Welle annähernd mit eingerechnet.

Das gesamte Drehmoment ergibt sich zunächst aus der Gleichung:

$$M_t = 716200 \frac{N}{n} = 716200 \frac{40}{10} = 2864800 \text{ mmkg} \\ = 2864,8 \text{ mkg.}$$

Man kann nun annehmen, daß dieses Drehmoment zur Hälfte in *C* und zur Hälfte in *D* übertragen wird, während das gesamte Drehungsmoment entgegengesetzt am Umfange des Zahnrades wirkt. Alsdann wird, abgesehen von der Biegungsbeanspruchung, die Welle zwischen *C* und *D* mit dem Moment  $\frac{1}{2} M_t$ , zwischen *D* und *E* mit dem Moment  $M_t$  auf Drehung beansprucht.

Zunächst sind die Reaktionen zu bestimmen.

Drehpunkt in Bezug auf *B* (Masse in Centimetern eingesetzt):

$$A \cdot 320 - 6000 \cdot 285 - 6000 \cdot 35 + 4000 \cdot 35 = 0, \\ A \cdot 320 = 6000 \cdot 285 + 6000 \cdot 35 - 4000 \cdot 35, \\ A = 5560 \text{ kg.}$$

Ferner sind die von oben wirkenden Kräfte gleich den von unten wirkenden:

$$5560 + B = 6000 + 6000 + 4000 \\ B = 10440 \text{ kg.}$$

Der Zapfen bei *A* wird nur durch den Reaktionsdruck auf Biegung beansprucht. Gestatten wir zwischen

Zapfen und Lagerschalen von Bronze einen Flächen-  
druck  $p = 0,3$  und nehmen die Biegungsspannung mit  
Rücksicht auf das gute Material  $k_b = 4 \text{ kg}$ , so folgt  
nach Formel 51):

$$\frac{l}{d} = \sqrt[3]{\frac{0,2 \cdot 4}{0,3}} = 1,63,$$

also

$$l = 1,63 d,$$

mithin nach Formel 50):

$$5560 = 1,63 d^2 \cdot 0,3,$$

$$d = \sqrt[3]{\frac{5560}{1,63 \cdot 0,3}} = 107 \sim 110 \text{ mm,}$$

$$l = 1,63 \cdot 107 = \sim 175 \text{ mm.}$$

Wegen der geringen Umdrehungszahl eines solchen  
Wasserrades kann die Reibungsarbeit unberücksichtigt  
bleiben.

Für die Stelle *C* ergibt sich ein Biegemoment

$$M_b = 5560 \cdot 350 = 1950000 \text{ mmkg}$$

und die Hälfte des ganzen Drehmomentes

$$M_t = \frac{2864800}{2} = 1432400.$$

Da  $M_b > M_t$  ist, so folgt nach Gleichung 89):

$$M_{b(c)} = 0,975 \cdot 1950000 + 0,25 \cdot 1432400 \\ = \sim 2258000.$$

Somit ergibt sich der Durchmesser an der  
Stelle *C*:

$$2258000 = 0,1 d_c^3 \cdot 4,$$

$$d_c = \sqrt[3]{\frac{2258000}{0,4}} = 178 \text{ mm,}$$

welchen Wert wir mit Rücksicht auf die Festigkeits-  
verminderung durch die Keilnute auf 185 mm erhöhen.

Der abgesetzte Wellendurchmesser zwischen *C*  
und *D* ermittelt sich, wenn man für die Biegung den  
Hebelarm von *A* bis *D* einsetzt, aus dem Biegemoment

$$M_b = 5560 \cdot 2850 - 6000 \cdot 2500 = 850000$$

und dem Drehmoment

$$M_t = 1432400 \text{ (s. oben schon berechnet).}$$

Weil hier  $M_b < M_t$ , so folgt nach Gleichung 89):

$$M_{b(d)} = 0,625 \cdot 850000 + 0,6 \cdot 1432400 = 1391440.$$

Damit der Wellendurchmesser zwischen *C* und *D*:

$$1391440 = 0,1 d^3 \cdot 4,$$

$$d = \sqrt[3]{\frac{1391440}{0,4}} = \sim 152 \text{ mm.}$$

Für den Durchmesser an der Stelle *D* ergibt sich  
mit Berücksichtigung der ganzen Drehung:

$M_b = 850\,000$  (wie vorher berechnet),

$M_t = 2\,864\,800$  (desgl.).

Da  $M_b < M_t$ , wird wieder nach Gleichung 89):

$$M_{b(0)} = 0,625 \cdot 850\,000 + 0,6 \cdot 2\,864\,800 = 2\,250\,880.$$

Somit der Wellendurchmesser bei  $D$ :

$$2\,250\,880 = 0,1 d_D^3 \cdot 4,$$

$$d_D = \sqrt[3]{\frac{2\,250\,880}{0,4}} = 178 \sim 185 \text{ mm.}$$

Für den Halszapfen  $B$  folgt:

$$M_b = 4000 \cdot 350 = 1\,400\,000,$$

$$M_t = 2\,864\,800.$$

Da  $M_b < M_t$ , erhält man wieder

$$M_{b(0)} = 0,625 \cdot 1\,400\,000 + 0,6 \cdot 2\,864\,800 = 2\,593\,880.$$

Damit also

$$2\,593\,880 = 0,1 d_B^3 \cdot 4,$$

$$d_B = \sqrt[3]{\frac{2\,593\,880}{0,4}} = 186 \sim 185 \text{ mm.}$$

Mit Rücksicht auf ein vorhandenes Lagermodell werde die Länge des Zapfens  $l = 280$  mm genommen.

Der Flächendruck ergibt sich dann nach Gleichung 50):

$$p = \frac{10\,440}{280 \cdot 185} = \sim 0,2,$$

welcher Wert noch geringer als der bei dem Stirnzapfen  $A$  angenommene, also zulässig ist.

Der Zapfen  $E$  für das Zahnrad wird wie ein gewöhnlicher Tragzapfen berechnet. Ist die Länge der Radnabe 250 mm, so wird

$$M_b = 4000 \cdot \frac{250}{2} = 500\,000,$$

$$M_t = 2\,864\,800 \text{ (wie vorher),}$$

und da  $M_b < M_t$  ist, folgt wieder

$$M_{b(0)} = 0,625 \cdot 500\,000 + 0,6 \cdot 2\,864\,800 = 2\,031\,380.$$

Somit:

$$2\,031\,380 = 0,1 d_E^3 \cdot 4,$$

$$d_E = \sqrt[3]{\frac{2\,031\,380}{0,4}} = 172 \text{ mm.}$$

5. Es soll die Kurbelwelle aus Flusstahl für eine liegende Dampfmaschine, welche 90 Umdrehungen pro Minute macht, berechnet werden. Der grösste Druck auf den Kurbelzapfen betrage 7530 kg. Der Kurbelradius sei  $R = 300$  mm (Hub = 600 mm); s. Fig. 189, Taf. 59.

Für den Kurbelzapfen folgt zunächst, wenn derselbe aus Gussstahl hergestellt ist und  $k_b = 5$ ,  $p = 0,6$

zugelassen wird (nach Gleichung 51)

$$\frac{l}{d} = \sqrt{\frac{0,2 \cdot 5}{0,6}} = 1,3.$$

Hiermit ergibt sich der Zapfendurchmesser aus Gleichung 50):

$$7530 = 1,3 d^3 \cdot 0,6,$$

$$d = \sqrt[3]{\frac{7530}{1,3 \cdot 0,6}} = 98 \sim 100 \text{ mm,}$$

$$l = 1,3 \cdot 100 = 130 \text{ mm.}$$

Die Gleichung 52) verlangt mit  $A_z = 0,02$ , wenn ausserdem der mittlere, für die Reibungsarbeit bestimmende Zapfendruck 5950 kg beträgt

$$l \geq \frac{5950 \cdot 90}{305\,000 \cdot 0,02} = 88 \text{ mm}$$

also ist  $l = 130$  mm als der grössere Wert beizubehalten. Nimmt man die Länge  $y = d_1$  und schätzt vorläufig die Lagerzapfenlänge  $l_1 = 1,6 d_1$ , so ergibt sich zur Bestimmung von  $d_1$  <sup>1)</sup>:

$$M_b = 7530 \left( x + y + \frac{l_1}{2} \right).$$

Steht nun der Kurbelzapfen um 3 mm vor, so erhält man für die Grösse  $x$  den Wert

$$x = \frac{l}{2} + 3 = \frac{130}{2} + 3 = 68 \text{ mm.}$$

Wird weiter für  $y = d_1$  und für

$$\frac{l_1}{2} = \frac{1,6 d_1}{2} = 0,8 d_1$$

eingeführt, so folgt

$$M_b = 7530 (68 + d_1 + 0,8 d_1) = 7530 (68 + 1,8 d_1)$$

$$M_t = 7530 \cdot 300 = 2\,259\,000.$$

Somit nach Gleichung 87) und 88), wenn die zwischen + und – schwankende Inanspruchnahme  $k_b = 6$  und  $k_t = 4,5$  kg gesetzt wird

$$0,1 d_1^3 \cdot 6 = \frac{3}{8} \cdot 7530 (68 + 1,8 d_1)$$

$$+ \frac{5}{8} \sqrt{[7530 (68 + 1,8 d_1)]^2 + 2\,259\,000^2}.$$

Man löst diese Gleichung am besten durch probieren. Es findet sich dann

$$d_1 = \sim 175 \text{ mm}$$

und

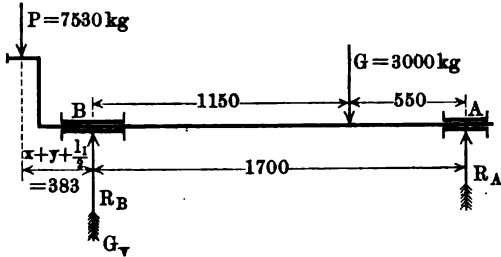
$$l_1 = 1,6 \cdot 175 = 280 \text{ mm.}$$

<sup>1)</sup> Man kann meistens auch annähernd  $(x + y + \frac{l_1}{2})$  gleich der Cylinderbohrung setzen, wodurch dann die Rechnung einfacher wird.

Die Länge  $l_1$  ist später noch in Bezug auf die Reibungsarbeit zu kontrollieren und eventuell zu ändern.

Durch die Kraft am Kurbelzapfen entsteht im Kurbellager ein Druck (Drehpunkt bei A),

Fig. 87.

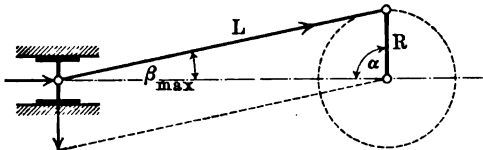


$$R_B \cdot 1700 = 7530 (1700 + 68 + 175 + 140),$$

$$R_B = 9240 \text{ kg.}$$

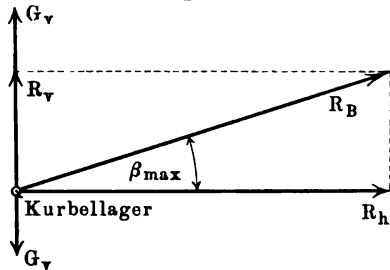
Bei  $\alpha = 90^\circ$  bildet die Schubstange mit der Horizontalen den größten Ausschlagswinkel  $\beta_{max}$ , damit

Fig. 88.



zerlegt sich der Druck im Kurbellager (s. Fig. 89) in eine wagerechte Komponente

Fig. 89.



$$R_h = 9240 \cdot \cos \beta_{max}$$

und in eine senkrechte Komponente

$$R_v = 9240 \cdot \sin \beta_{max}$$

Nimmt man, wie gewöhnlich,  $L = 5 R$ ; also  $\frac{R}{L} = \frac{1}{5}$ , so wird  $\sin \beta_{max} = \frac{1}{5}$ , folglich

$$\beta_{max} = 11^\circ 30'.$$

Somit:

$$R_h = 9240 \cdot \cos 11^\circ 30' = \sim 9050 \text{ kg,}$$

$$R_v = 9240 \cdot \sin 11^\circ 30' = \sim 1850 \text{ kg.}$$

Durch das Schwungradgewicht entsteht im Kurbellager ein senkrechter Druck; bei A als Drehpunkt (s. Fig. 87 und 89, Text).

$$G_v \cdot 1700 = 3000 \cdot 550,$$

$$G_v = \frac{3000 \cdot 550}{1700} = \sim 972 \text{ kg.}$$

Schneider, Maschinen-Elemente.

Bei rechtsumlaufenden Maschinen ist nun  $R_v$  von  $G_v$  abzuziehen, also bleibt für solche nur:  $G_v - R_v$ .

Bei linksumlaufenden Maschinen ist  $R_v$  aber zu  $G_v$  zu addieren, also gilt für diese:  $G_v + R_v$ .

Für Rechtsumlaufl bleibt daher als senkrechte Komponente

$$G_v - R_v = 972 - 1850 = - 875 \text{ kg.}$$

Für Linksumlaufl aber ergibt sich für die senkrechte Komponente

$$G_v + R_v = 972 + 1850 = 2822 \text{ kg.}$$

Daher erhält man, wenn man eine linksgehende Maschine ins Auge faßt, als resultierenden Zapfendruck

$$\sqrt{R_h^2 + (G_v + R_v)^2} = \sqrt{9050^2 + 2822^2} = \sim 9490 \text{ kg.}$$

Gleichung 52) fordert nun mit  $A_x = 0,0133$  (Lagerschalen aus Weißmetall) eine Zapfenlänge

$$l \geq \frac{9490 \cdot 90}{305000 \cdot 0,0133} = 210 \text{ mm.}$$

Demnach war die anfängliche Annahme

$$l_1 = 1,6 d_1 = 280 \text{ mm}$$

genügend und kann, falls die Flächenpressung eine entsprechende ist (s. weiter), beibehalten werden.

Wenn jedoch aus irgend einem Grunde der Zapfen die Länge  $l_1 = 210 \text{ mm}$  erhalten soll, so hat man den Durchmesser  $d_1$  nochmals zu berechnen. Für diesen Fall hätte man das Biegemoment neu zu bestimmen, indem für die Länge  $l_1 = 210 \text{ mm}$  gesetzt wird; aus der Festigkeitsformel 87) ergibt sich dann genau wie vorher der Durchmesser  $d_1$ .

Der Flächendruck im Kurbellager beträgt nach Gleichung 50):

$$p = \frac{9490}{280 \cdot 175} = 0,193.$$

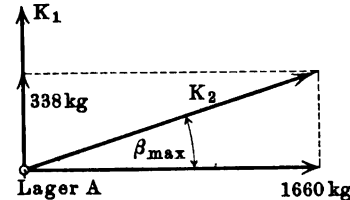
Da dieser Wert als etwas hoch bezeichnet werden muß ( $p$  soll möglichst nicht über 0,16 gehen), könnte man die Zapfenlänge auf  $l_1 = 320 \text{ mm}$  oder den Durchmesser  $d_1$  entsprechend erhöhen.

Für den hinteren Tragzapfen A entsteht durch das Schwungradgewicht ein senkrechter Druck (Drehpunkt bei B):

$$K_1 \cdot 1700 = 3000 \cdot 1150$$

$$K_1 = \frac{3000 \cdot 1150}{1700} = \sim 2030 \text{ kg,}$$

Fig. 90.





und eine Kraft vom Kurbelzapfendruck herrührend

$$K_2 \cdot 1700 = 7530.383,$$

$$K_2 = \frac{7530.383}{1700} = \sim 1700 \text{ kg.}$$

Bei linksdrehender Maschine ist hier die senkrechte Komponente der Kraft  $K_2$  von  $K_1$  abzuziehen, es kann daher der Einfluss von  $K_2$  ganz unberücksichtigt bleiben.

Bei rechtsdrehender Maschine hingegen ist die senkrechte Komponente von  $K_2$  zu  $K_1$  zu addieren. Da man die Zapfen immer nach der größeren Kraft bestimmt, so wird also diese senkrechte Komponente

$$K_2 \cdot \sin \beta_{\max} = 1700 \cdot \sin 11^\circ 30' = 338 \text{ kg}$$

und daher eine gesamte senkrechte Kraft

$$2030 + 338 = 2368 \text{ kg.}$$

Die horizontale Komponente ergibt sich zu

$$K_2 \cdot \cos \beta_{\max} = 1700 \cdot \cos 11^\circ 30' = \sim 1660 \text{ kg.}$$

Als resultierenden Zapfendruck erhält man nun

$$\sqrt{2368^2 + 1660^2} = \sim 2900 \text{ kg.}$$

Die Gleichung 51) bedingt für den Zapfen mit  $k_b = 4$  (Spannung wechselt durch das Schwungrad hier fast zwischen + und -) und  $p = 0,16$

$$\frac{l_2}{d_2} = \sqrt{\frac{0,2 \cdot 4}{0,16}} = 2,23.$$

Demnach folgt der Zapfendurchmesser aus Gleichung 50):

$$2900 = 2,23 d_2^2 \cdot 0,16,$$

$$d_2 = \sqrt{\frac{2900}{2,23 \cdot 0,16}} = \sim 90 \text{ mm,}$$

$$l_2 = 2,23 \cdot 90 = \sim 200 \text{ mm.}$$

Nach Gleichung 52) ergibt sich schließlich mit  $A_z = 0,0133$

$$l_2 \geq \frac{2900 \cdot 90}{305000 \cdot 0,0133} = 65 \text{ mm.}$$

$l_2 = 200 \text{ mm}$  als der größere Wert ist beizubehalten.

Für die Stärke  $d_i$  (Sitz des Schwungrades, siehe Fig. 189, Taf. 59) erhält man ein Biegemoment

$$M_b = 2900 \cdot 550 = 1595000$$

und ein Drehmoment

$$M_t = 7530 \cdot 300 = 2259000 \text{ (wie vorher);}$$

somit nach Gleichung 89), da  $M_b < M_t$  ist

$$M_{b(i)} = 0,625 \cdot 1595000 + 0,6 \cdot 2259000 = 2352400.$$

Wird wieder  $k_b = 4 \text{ kg}$  genommen, so folgt der Durchmesser

$$2352400 = 0,1 d_4^3 \cdot 4,$$

$$d_4 = \sqrt[3]{\frac{2352400}{0,4}} = 180 \text{ mm.}$$

Wir nehmen noch  $d_3 = 195 \text{ mm}$  und wegen der Schwächung durch die Keilnuten  $d_4 = 205 \text{ mm}$ .

Gekröpfte Wellen und solche mit zwei und drei Kurbeln werden später unter Kurbeln behandelt, da dieselben zu dem Kurbelabschnitt gehören.

Die Dimensionen der vorher analytisch bestimmten Wellen lassen sich aber auch auf zeichnerischem Wege finden.

Da letztere Methode das Anschauungsvermögen ganz wesentlich fördert und auch häufig einfacher ist, soll die graphostatische Berechnung von Wellen noch durchgeführt werden.

Zum Verständnisse des Verfahrens bedarf es erst einiger Erklärungen aus der Graphostatik.

**Zusammensetzung von Kräften, die in einer Ebene liegen und auf einen Punkt einwirken.**

Wirken auf einen Punkt O zwei ihrer Größe und Richtung nach gegebene Kräfte  $P_1$  und  $P_2$ , so findet man deren Resultante, d. h. die Gesamtwirkung, wenn man aus  $P_1$  und  $P_2$  als Seiten (indem vielleicht  $1 \text{ mm} = 10 \text{ kg}$  gesetzt wird) ein Parallelogramm bildet:

Fig. 91.

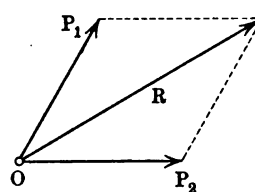
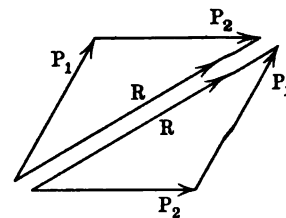


Fig. 91a.



Die Diagonale desselben ist dann die Resultierende (s. Fig. 91).

Es ist leicht einzusehen, dass man zu dieser Konstruktion eigentlich nur ein Dreieck nötig hat, welches aus den beiden Kräften  $P_1$ ,  $P_2$  und der Resultierenden  $R$  besteht (s. Fig. 91a). Man hat also die Kräfte parallel zu den gegebenen Richtungen so aneinander zu tragen, dass sie hintereinander herlaufen, nicht etwa gegeneinander oder auseinander. Die Schlusslinie des Dreiecks ist der Größe und Richtung nach die Resultante  $R$ , wenn man sie mit einem Pfeile versieht, der den anderen Pfeilen entgegenläuft. Beide Dreiecke (Fig. 91a) sind offenbar kongruent.

Der Nutzen dieser Dreiecksmethode ist sofort ersichtlich, wenn es sich um die Zusammensetzung mehrerer Kräfte handelt.

Sind die Kräfte  $P_1, P_2, P_3$  und  $P_4$  zu vereinigen, so kann man zunächst  $P_1$  und  $P_2$  durch ein Parallelogramm zusammensetzen zu einer Resultierenden  $R_1$  (s. Fig. 92). Setzt man nun weiter  $R_1$  mit  $P_3$  zusammen, so erhält man eine neue Resultierende  $R_2$ . Schließlich vereinigt man  $R_2$  mit  $P_4$  zur Gesamtresultierenden  $R$ .

Viel einfacher ist die Zusammensetzung durch ein Kräftepolygon, das wieder gebildet wird durch hinter-

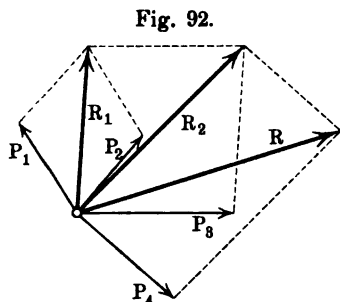


Fig. 92.

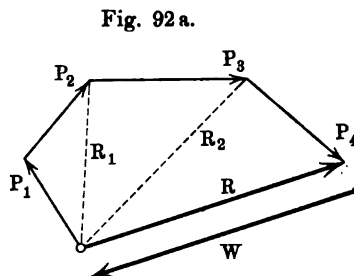


Fig. 92a.

einanderreihen der einzelnen Kräfte an Richtung und GröÙe (Fig. 92a). Der Zusammenhang dieser Figur mit der obigen ist ohne Weiteres einzusehen.

Gleichgültig ist dabei, in welcher Reihenfolge die Kräfte herangezogen werden, wenn man sie nur parallel zur gegebenen Richtung zeichnet und ihre Pfeile in gleichem Sinne um die Figur herumlaufen läÙt. Die Schluslinie ist Resultante, wenn ihr Pfeil den anderen entgegenläuft.

Giebt man der Schluslinie einen Pfeil, welcher mit den anderen Pfeilen gleiche Richtung hat, so zeigt die Figur an, daß die Kräfte unter sich im Gleichgewicht sind. Eine solche Kraft  $W$  würde nämlich der Resultierenden  $R$  Widerstand leisten oder das Gleichgewicht halten, denn sie ist von gleicher GröÙe und entgegengesetzter Richtung wie  $R$ .

Umgekehrt kann man auch eine einzelne Kraft in Seitenkomponenten zerlegen, wie das in den Rechnungsbeispielen der Wellen ja bereits gezeigt wurde.

### Das Seilpolygon.

Wirken Kräfte in einer Ebene, ohne einen gemeinsamen Angriffspunkt zu haben, so läÙt sich durch den einfachen Kräftezug die Resultante nur nach GröÙe und Richtung bestimmen. Ihr Angriffspunkt oder ihre Lage bleibt unbestimmt.

Man kann auf gewöhnlichem Wege die Resultierende vollständig bestimmen, wenn man  $P_1$  mit  $P_2$  zusammensetzt zu  $R_1$ . Alsdann setzt man  $R_1$  mit  $P_3$  zusammen zu  $R_2$  und fährt so fort, bis alle Kräfte berücksichtigt sind. Hierbei ist es nötig, jedesmal die beiden Kräfte, welche zusammenzusetzen sind, an den Schnittpunkt ihrer Richtungen zu verschieben.

Viel einfacher geschieht die Lösung dieser Aufgabe durch das sogenannte Seilpolygon.

Man trägt zunächst die Kräfte  $P_1$  bis  $P_5$  zu einem Kräftezuge zusammen (s. Fig. 93a). Die Schluslinie desselben ist die Resultante  $R$  der GröÙe und Richtung nach.

Ihr Angriffspunkt (oder ihre Lage) bestimmt sich wie folgt:

Man wähle beliebig einen Pol  $O$  und ziehe aus diesem Punkte Strahlen nach den Ecken des Kräftezuges. Diese Strahlen numeriert man, wie die Kräfte, die an der betreffenden Ecke zusammenstoÙen. Alsdann wählt man in einer Kraft, z. B.  $P_1$ , den Angriffspunkt  $A$  (s. Fig. 93). Aus diesem zieht man nach  $P_2$  die Linie 1.2 parallel zu dem gleichnamigen Strahle im Kräftezuge. Nun zieht man weiter nach  $P_3$  die Linie 2.3 parallel zum Strahle 2.3. Indem man so fortfährt, findet man im Schnittpunkte  $S$  der Linien 1.5 und 5.4 den Angriffspunkt der Resultierenden.

Beweis. Denkt man sich das so gezogene Polygon aus Stäben hergestellt, die an den Ecken gelenkig

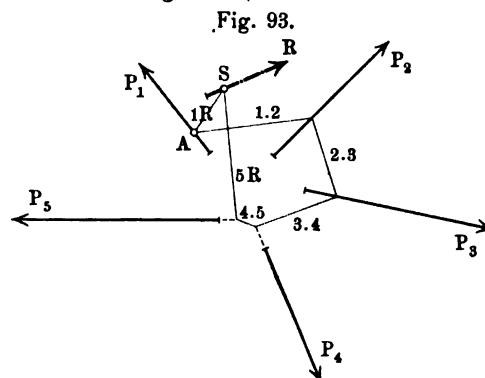


Fig. 93.

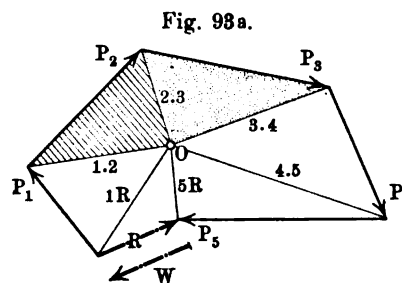


Fig. 93a.

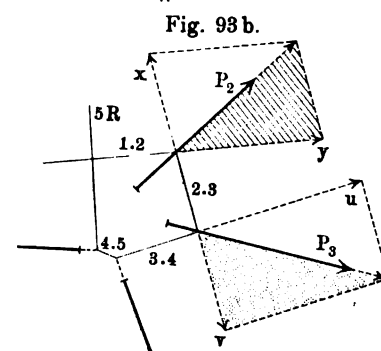
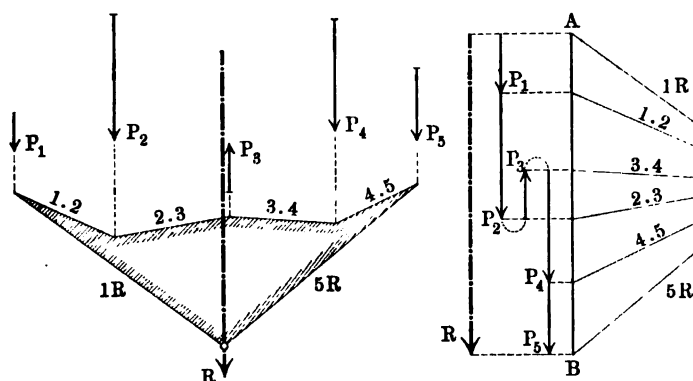


Fig. 93b.

verbunden sind, so muß dieses Stab- oder Seilpolygon den Gleichgewichtszustand vermitteln, wenn man die

Widerstehende  $W$  an Stelle von  $R$  setzt. Nun ist leicht nachzuweisen, daß jeder Stab für sich im Gleichgewichte ist. Verschiebt man die Kraft  $P_2$  (s. Fig. 93 b) an die Ecke des Polygons und zerlegt dieselbe in die Komponenten  $x$  und  $y$ , so ersieht man aus der Kongruenz der schraffierten Dreiecke, daß  $x$  gleich dem

Fig. 94.



Strahle 2.3 ist. Verschiebt man die Kraft  $P_3$  an die Polygonecke und zerlegt diese in  $u$  und  $v$ , so folgt aus der Kongruenz der punktierten Dreiecke, daß auch  $v$  gleich dem Strahle 2.3 ist. Folglich muß  $x = v$  sein und der Stab 2.3 ist im Gleichgewicht. Genau dasselbe ließe sich von jedem anderen Stabe beweisen, d. h. das ganze System ist im Gleichgewichte, mithin ist  $W$  wirklich die Widerstehende oder  $R$  die Resultante.

Der Satz vom Seilpolygon läßt sich mit Vorteil auf Parallelkräfte anwenden (s. Fig. 94).

Die Kräfte sind eigentlich auf einer einzigen Geraden aufzutragen, doch ist besser, entgegengesetzt wirkende Kräfte etwas auf die Seite zu rücken. Die Stoßpunkte der Kräfte projiziert man auf eine Gerade  $AB$  und zieht erst von hier aus Strahlen nach dem Pole 0.

Das Seilpolygon wird wieder verzeichnet, indem man von einem Punkte einer Kraft (z. B. von  $P_1$ ) Linien parallel zu den entsprechenden Polstrahlen zieht, wodurch die Lage von  $R$  gefunden wird.

Mit Hilfe des Seilpolygons kann auch der Schwerpunkt ebener Figuren bestimmt werden.

#### Träger auf zwei Stützen.

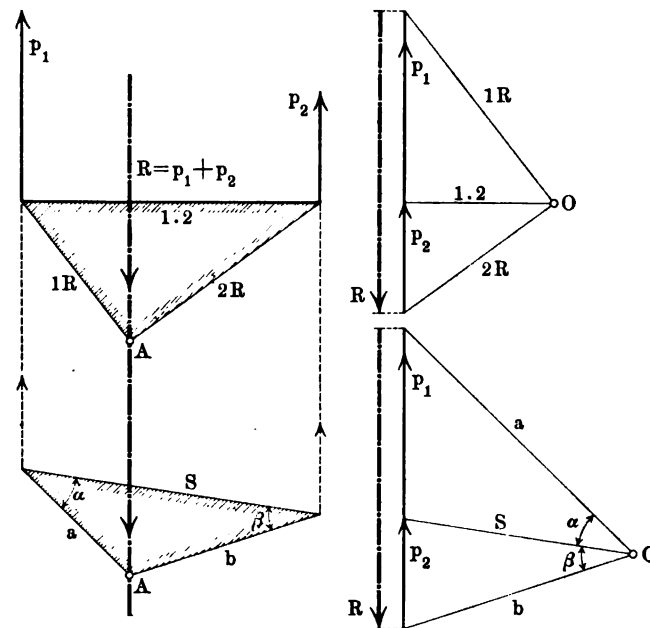
Bei einem Träger auf zwei Stützen sind zunächst die Auflagerdrücke (Reaktionen) von Wichtigkeit. Im einfachsten Falle ist ein Stab auf zwei Stützen durch eine Einzelkraft  $R$  belastet. Sind mehrere Lasten vorhanden, so ist  $R$  als ihre Resultierende anzusehen. Die Zusammensetzung der beiden Reaktionen  $p_1$  und  $p_2$  muß natürlich  $R$  ergeben und die Ausführung dieser Aufgabe ist nach dem Vorigen sehr leicht.

Sind die Reaktionsdrücke  $p_1$  und  $p_2$  gegeben, so werden beide aufgetragen, ein Pol 0 gewählt und die Polstrahlen gezogen. Zieht man nun im Seilpolygon zuerst die Linie 1.2, hierauf 1  $R$  und 2  $R$ , so wird der Angriffspunkt  $A$  der Resultierenden gefunden.

Ist umgekehrt eine Last  $R$  gegeben und soll dieselbe in  $p_1$  und  $p_2$  zerlegt werden, so beginnt man mit dem Anfangspunkte  $A$ , zieht die Polygonseiten  $a$  und  $b$  und findet zum Schlusse die Linie  $S$ . Parallel zu dieser Schluslinie zieht man durch den Pol 0 und teilt dadurch  $R$  in  $p_1$  und  $p_2$ . Zu bemerken ist hierbei noch, daß die Reaktion  $p_1$  beim Seilpolygon an dem  $\angle \alpha$ , im Kräftezuge aber in dem  $\angle \alpha$  liegt. In beiden Fällen wird dieser Winkel gebildet durch die Linie  $a$  und  $S$ . Ebenso ist es mit der Reaktion  $p_2$ , welche beim Seilpolygon an dem  $\angle \beta$ , im Kräftezuge aber in dem  $\angle \beta$  liegt.

Ist ein Träger auf zwei Stützen durch mehrere Kräfte belastet (Fig. 96), so verfährt man zunächst so, als ob man die Resultierende bestimmen wollte. Parallel zu den Polstrahlen werden wieder die Seiten des Polygons gezogen, wodurch sich auch wieder die

Fig. 95.



Schluslinie  $S$  ergibt. Parallel zu  $S$  zieht man durch den Pol 0 und findet  $p_1$  und  $p_2$ .

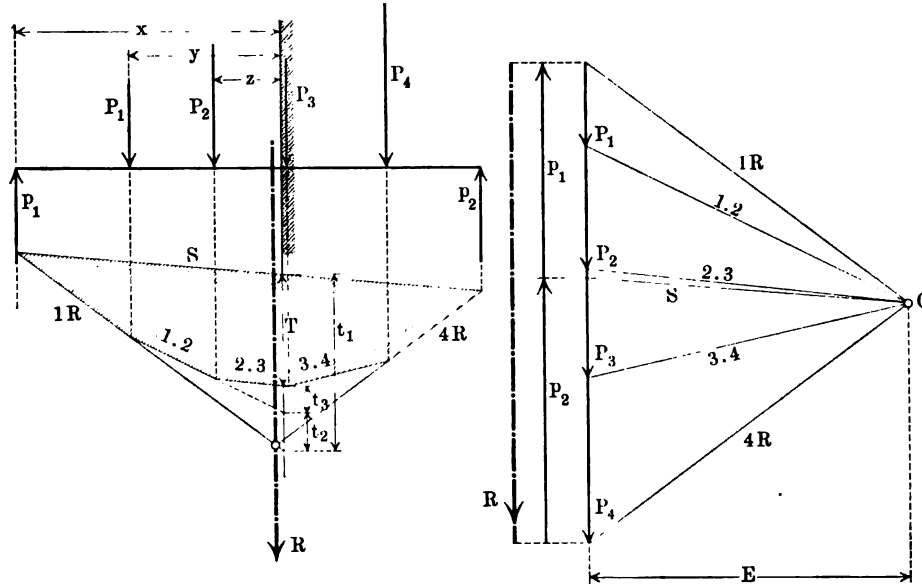
Das Seilpolygon hat noch eine andere wichtige Bedeutung, indem die Ordinaten  $T$  die Biegemomente für die betreffenden Stellen des Trägers darstellen. (Daher wird das Seilpolygon auch als die Momentenfläche bezeichnet.)

Beweis. Man denke sich den Stab an einer beliebigen Stelle fest eingespannt und nach links völlig frei (s. Fig. 96).

gefähr in der Weise statt, wie die Polygonseiten sich um die Schluslinie herumlegen (s. Fig. 97).

Im Allgemeinen ist die Lage der Schluslinie ge-

Fig. 96.



Als dann ist nach der Zeichnung das Moment für die Einspannstelle  $M = p_1 \cdot x - P_1 \cdot y - P_2 \cdot z$ . Verlängert man die Seiten 1R und 1.2 des Polygons, so entstehen Dreiecke, deren Höhen  $t_1$ ,  $t_2$  und  $t_3$  die drei Glieder der obigen Momentengleichung sind. Aus der Ähnlichkeit der Dreiecke folgen nämlich die Proportionen:

$$\begin{aligned} t_1 : x &= p_1 : E \\ p_1 \cdot x &= t_1 \cdot E \\ t_2 : y &= P_1 : E \\ P_1 \cdot y &= t_2 \cdot E \\ t_3 : z &= P_2 : E \\ P_2 \cdot z &= t_3 \cdot E \end{aligned}$$

Zieht man die beiden letzteren Gleichungen von der ersten ab, so ergibt sich

$$\begin{aligned} p_1 \cdot x - P_1 \cdot y - P_2 \cdot z &= t_1 \cdot E - t_2 \cdot E - t_3 \cdot E \\ &= (t_1 - t_2 - t_3) \cdot E. \end{aligned}$$

Folglich:

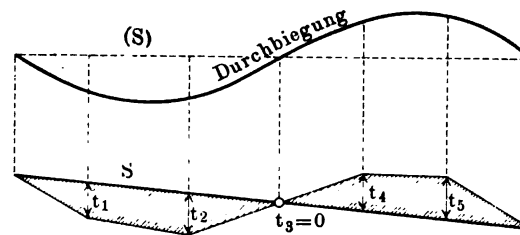
$$M = T \cdot E,$$

d. h. man findet das Moment, wenn man die Ordinate mit dem Polabstand multipliziert. Hierbei ist die Ordinate nach dem Kräftemaßstabe, der Polabstand nach dem Längenmaßstabe zu messen.

Aus dem Seilpolygon ersieht man gleichzeitig die Beanspruchungen sämtlicher Punkte eines Trägers. Man ersieht aus ihm auch die Durchbiegungen, die der Träger erfährt. Diese Durchbiegungen finden un-

geht. Ist es erwünscht, dass diese Schluslinie wagerecht liegt, so braucht man nur die Ordinaten der Eckpunkte an eine Horizontale (S) neu aufzutragen

Fig. 97.



und ihre Endpunkte miteinander zu verbinden. Man kann aber auch den Pol 0 im Kräftezuge (bei Fig. 97 ist das Kräftepolygon nicht mit gezeichnet) derart verändern, dass S wagerecht wird, dann ist aber das Seilpolygon noch einmal und zwar parallel zu den neuen Polstrahlen zu verzeichnen.

Auf graphischem Wege lässt sich auch leicht zeigen, dass das größte Moment an der Stelle stattfindet, an der die vertikale Scherkraft gleich Null ist.

### Zusammensetzen von Momentenflächen, die nicht in einer Ebene liegen.

In dem Falle, dass ein Träger durch Kräfte belastet ist, welche nicht in derselben Ebene liegen, aber doch normal auf dem Träger stehen, hat man, wie Reuleaux schon angegeben, für jede Belastungsebene eine besondere Momentenfläche zu zeichnen und diese Momentenflächen sodann zu einer einzigen

resultierenden Momentenfläche zu vereinigen. Im einfachsten Falle ist der Träger durch nur zwei Kräfte belastet, wie Fig. 98 zeigt.

Die Last  $P$  wirkt vertikal und demgemäß ist auch die zugehörige Momentenfläche vertikal.

Die Last  $Q$  ist gegen die Belastungsebene von  $P$  um einen gegebenen  $\angle \alpha$  geneigt. Man zeichnet wieder erst die beiden Kräftepläne mit gleicher Polentfernung, hiernach die Seilpolygone, wodurch man die Schlußlinie  $S$  und  $S_1$  erhält. Parallel zu denselben zieht man durch die Pole  $O$ , wodurch sich die Reaktionsdrücke  $p_1, p_2$  und  $q_1, q_2$  ergeben.

Die beiden Momentenflächen (Seilpolygone) für  $P$  und  $Q$  werden nun an die Achse angetragen. Ferner

der erhaltenen Punkte ergibt sich die resultierende Biegung.

Die resultierende Biegungskurve (zwischen  $P$  und  $Q$ ) ist eine Hyperbel.

Bemerkt sei noch, daß das Herumschlagen aller Ordinaten einer Fläche um einen  $\angle \alpha$  sehr einfach dadurch ausgeführt wird, daß man nur die Ordinaten der Eckpunkte herumschlägt und ihre Endpunkte neu miteinander verbindet. Auf diese Weise sind alle Ordinaten zu gleicher Zeit herumgeschlagen.

Die Auflagerdrücke  $p_1$  und  $p_2$  von seiten  $P$  sind zu  $P$  parallel. Die Reaktionen  $q_1$  und  $q_2$  entstehen durch  $Q$ . Schließlich sind  $p_1$  und  $q_1$  noch zusammenzusetzen zu  $r_1$ , ebenso  $p_2$  und  $q_2$  zu  $r_2$  (s. Fig. 98 b).

Fig. 98.

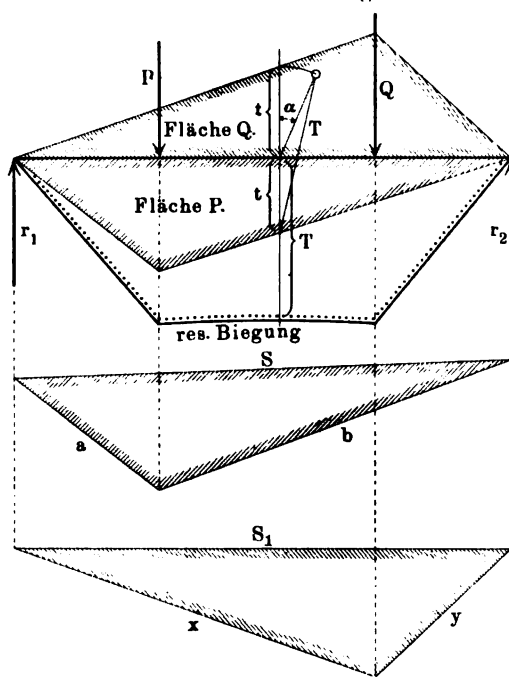


Fig. 98 a.

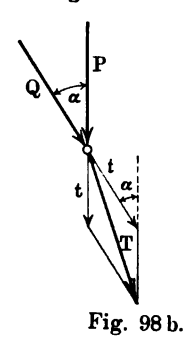
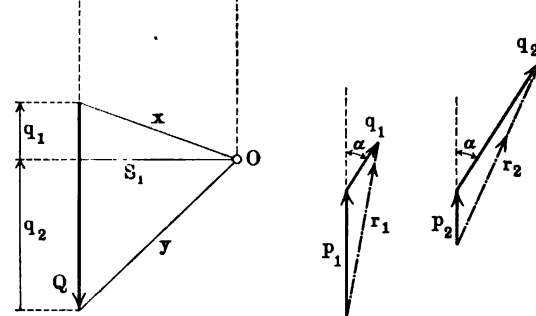


Fig. 98 b.



sind die Ordinaten  $t$  der Fläche  $P$  mit den Ordinaten  $t$  der Fläche  $Q$  nach dem Parallelogrammgesetze zu vereinigen, wodurch man die resultierenden Biegungsordinaten  $T$  erhält (Fig. 98 a).

Letztere bilden in ihrer Gesamtheit eine windschiefe Fläche. Da es aber weniger auf die Richtungen als auf die Größen der Ordinaten  $T$  ankommt, so schlägt man alle Ordinaten  $T$  um die Achse in eine Ebene.

Man hat zunächst die Ordinaten der einen mit denen der anderen Momentenfläche zusammenzusetzen. Zu diesem Zweck dreht man die eine Ordinate ( $t$ ) um den  $\angle \alpha$  (Fig. 98). Durch Verbindung ihres Endpunktes mit dem entsprechenden Punkte der anderen Momentenfläche erhält man die resultierende Ordinate  $T$ , welche nun neu an der Achse aufgetragen wird. Durch Wiederholung des Verfahrens und Verbindung

### Darstellung des Torsionsmomentes und seine Vereinigung mit Biegemomenten.

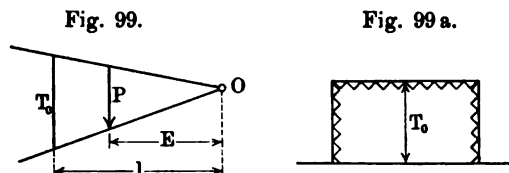
Ist eine Achse auf Torsion beansprucht, welche an einer Stelle in die Achse eingeleitet und an einer anderen Stelle wieder abgegeben wird, so sind alle Querschnitte zwischen diesen beiden Stellen in gleicher Stärke auf Verdrehung beansprucht.

Trägt man alle Torsionsmomente als Ordinaten auf und verbindet ihre Endpunkte, so erhält man ein Rechteck, welches die Torsionsmomentenfläche ist.

Es handelt sich bloß noch darum, die Höhe dieses Rechtecks zu bestimmen. In der Regel ist die Kraft  $P$ , welche das Torsionsmoment hervorruft, sowie ihr Hebelarm  $l$  bekannt.

Man trage  $P$  auf, wähle in der Entfernung  $E$  den Pol  $O$  und ziehe hieraus Strahlen, welche  $P$  ein-  
fassen.

Zieht man jetzt in der Entfernung  $l$  eine Senkrechte  $T_0$  zwischen den Strahlen, so stellt diese die Höhe des Torsionsrechtecks dar.



Der Beweis ergibt sich aus der Ähnlichkeit der Dreiecke, denn es gilt die Proportion:

$$T_0 : P = l : E,$$

folglich

$$P \cdot l = T_0 \cdot E.$$

Ist ein Konstruktionsteil auf Biegung und Verdrehung beansprucht, so ist nach Früherem aus beiden Beanspruchungen das ideelle Biegemoment zu bestimmen aus der Formel:

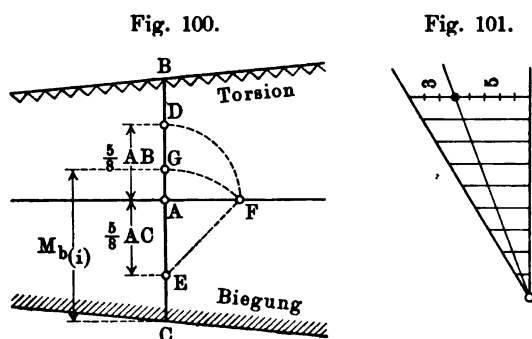
$$M_{b(i)} = \frac{3}{8} M_b + \frac{5}{8} \sqrt{M_b^2 + M_t^2}.$$

Die graphische Darstellung dieser Formel ist sehr einfach.

Ist  $AB$  das Torsionsmoment und  $AC$  das Biegemoment, so mache man  $AD = \frac{5}{8} AB$  und  $AE = \frac{5}{8} AC$ . Schlägt man jetzt den Punkt  $D$  um  $A$  herab nach  $F$ , so ist

$$EF = \frac{5}{8} \sqrt{M_b^2 + M_t^2}.$$

Hierzu ist also noch  $\frac{3}{8} M_b$  zu addieren, d. h. die Strecke  $EC$ . Man schlägt also  $F$  um  $E$  nach  $G$  und



erweitert die Zirkelöffnung von  $E$  bis  $C$ .

Diese neue Ordinate ( $M_{b(i)}$ ) wird dann normal gegen die Achse aufgetragen.

Ist eine Momentenfläche geradlinig begrenzt, so kann die Einteilung ihrer Ordinaten im Verhältnis

5:3 leicht geometrisch ausgeführt werden, wenn man nur die Ordinaten der Eckpunkte teilt und die Teilpunkte miteinander verbindet (Fig. 101).

Ist die Bewegung aber krummlinig, so muß jede Ordinate einzeln geteilt werden, wozu man sich eines kleinen Proportionsrisses bedienen kann.

Beispiel 1. Es ist eine Zwischenwelle nach Fig. 190, Taf. 60/61 graphisch zu berechnen. Auf dieser Welle sind zwischen den Lagern zwei Zahnräder befestigt, von denen das eine die Kraft empfängt, während das andere dieselbe wieder abgibt.

Die beiden Nachbarwellen sind so gelagert, daß der Zahndruck  $P_1$  vertikal, der Zahndruck  $P_2$  aber schräg unter einem Winkel von  $60^\circ$  gegen die Vertikale wirkt.

Die Gewichte der Zahnräder sind  $G_1$  und  $G_2$ .

Man setze  $P_1 + G_1 = Q_1$ , denn man darf  $P_1$  und  $G_1$  unmittelbar addieren, weil beide in gleicher Richtung auf denselben Punkt  $I$  wirken. Alsdann konstruiere man eine Momentenfläche für  $Q_1$  und  $G_2$ . Der Polabstand  $O$  ist beliebig, aber für beide Kräftepolygone gleich. (Es ist auf der Zeichnung ein Längenmaßstab 1:4 angenommen, während für den Kräftemaßstab 1 mm = 10 kg gesetzt ist.) Diese Momentenfläche wird an die Wellenachse angestoßen. Ferner konstruiere man eine Momentenfläche für den Zahndruck  $P_2$  und stoße auch diese an die Achse an.

Beide Momentenflächen werden sodann zu einem resultierenden Biegemomente vereinigt. Dies geschieht in der früher angegebenen Weise. Es werden nämlich wieder die Ordinaten der oberen Momentenfläche um den Winkel von  $60^\circ$  gedreht, die Verbindung des Endpunktes dieser Ordinaten mit dem entsprechenden Punkte der unteren Momentenfläche liefert die resultierende Ordinate  $T$ . Letztere ist an die Wellenachse anzutragen.

Zwischen den Punkten I und II ist Torsionsbeanspruchung vorhanden und diese besteht aus dem Moment  $P_1 \cdot R_1$  oder auch  $P_2 \cdot R_2$ . Trägt man  $R_2$  vom Pole aus ab, so findet man zwischen den Strahlen  $xy$  die Höhe  $T_0$  des Torsionsrechtecks.

Die Ordinaten desselben werden mit den darunter liegenden Ordinaten der resultierenden Biegung vereinigt, wie bereits gezeigt, wodurch man die ideelle Momentenfläche erhält. Schließlich werden auch die Reaktionen  $p_1$  und  $q_1$  vereinigt zu  $r_1$ . Ebenso  $p_2$  und  $q_2$  zu  $r_2$ .

Zur Feststellung der Dimensionen der Welle hat man

$$M_{b(i)} = W \cdot k_b$$

oder

$$M_{b(i)} = E \cdot t.$$

Da  $1 \text{ mm} = 10 \text{ kg}$  waren und  $E = 400 \text{ mm}$  angegeben ist, folgt

$$10 t \cdot 400 = 0,1 d^3 \cdot k_b$$

und bei  $k_b = 5 \text{ kg}$  (Flussstahl)

$$10 t \cdot 400 = 0,1 d^3 \cdot 5.$$

Hieraus:

$$d = \sqrt[3]{\frac{10 \cdot 400 \cdot t}{0,1 \cdot 5}} = \sim 20,1 \sqrt[3]{t}.$$

Auf diese Weise erhält man alle Durchmesser der Welle.  $t$  ist hierbei stets die Ordinate des ideellen Momentes.

Die Dimensionen für die Zapfen sind aus den gefundenen Reaktionen nach den früher angegebenen Formeln zu berechnen.

Man würde schließlich der Welle noch die gezeichnete Form geben.

Beispiel 2. Es ist eine Kurbelwelle nach Fig. 191, Taf. 62/63 graphisch zu berechnen.

Es sei vorausgesetzt, daß diese Welle einer horizontalen Maschine angehört, so daß der Kolbendruck  $P$  horizontal wirkt, während die Gewichte  $Q_1$  und  $Q_2$  der Riemenscheibe und des Schwungrades vertikal wirken. Zunächst berechne man den Kurbelzapfen und nehme vorläufig die Entfernung von Mitte Kurbelzapfen bis Mitte Hauptlager an (s. hierüber im vorstehenden Beispiel 5).

Für jede Ebene wird dann ein Biegediagramm konstruiert. Wählt man bei  $P$  den Pol so, daß er einem Endpunkte von  $P$  gegenüberliegt, so braucht man das betreffende Diagramm nicht erst gerade zu richten, da die eine Linie  $b$  sogleich in die Achse hineinfällt. Das Stück  $p_2$  ist die am hinteren Tragzapfen anzubringende Zapfenkraft. Beide Momentenflächen werden sodann unter einem rechten Winkel zusammengesetzt, wodurch die resultierende Biegemomentenfläche entsteht.

Das Verdrehungsmoment der Welle ist  $P \cdot l$ . Die betreffende Ordinate  $T_0$  findet man, wenn man  $l$  vom Pole aus abträgt und diejenigen Strahlen benutzt, welche  $P$  einschließen. Man kann jetzt für die Welle die ideelle Momentenfläche bestimmen.

Auch der Kurbelarm ist auf Biegung und Verdrehung beansprucht. Die Biegung ist am Zapfen gleich Null und nimmt nach der Welle hin gleichförmig zu. An der Welle ist sie gleich  $P \cdot l$ , also gleich  $T_0$ . Die Verdrehung des Kurbelarmes geschieht durch das Moment  $P \cdot f$ . Man trägt  $f$  vom Pole aus

ab und mißt  $\tau$  zwischen denjenigen Strahlen, welche  $P$  einschließen. Schließlich wird auch am Kurbelarm die Torsion mit der Biegung vereinigt. Zu diesem Zweck ist auch  $\tau$  wie  $T_0$  in  $\frac{5}{8}$ -Teile geteilt und die Ordinaten von  $\tau$  dann um  $90^\circ$  herum geschlagen. Für die  $\frac{5}{8}$ -Teilung bei  $T_0$  braucht man praktisch nur die schräge Linie  $E_1 F$  zu ziehen. Maßgebend für den Kurbelarm sind die horizontalen Ordinaten in der ideellen Momentenfläche.

Aus den Ordinaten der letzteren bestimmt sich dann die Breite und Dicke des Kurbelarmes, indem der Kurbelarm zunächst eine konoidische Form  $abcd$  erhält (Fig. 102). Wählt man hierauf das Profil  $ABCD$  von rechteckigem Querschnitt, so ist  $h$  gegeben und es läßt sich die Breite  $b$  ermitteln, wenn die beiden Widerstandsmomente einander gleich gesetzt werden, also

$$0,1 d^3 = \frac{b h^3}{6},$$

woraus

$$b = \frac{0,6 \cdot d^3}{h^3}.$$

Es sind noch die Reaktionen für die Lagerstellen der Welle  $p_1, q_1$  und  $p_2, q_2$ . Man setze  $p_1$  und  $q_1$  rechtwinklig zusammen zu  $r_1$ . Ebenso  $p_2$  und  $q_2$  zu  $r_2$ .

Für die Aufzeichnung der Welle gilt wieder

$$M_{b(0)} = W \cdot k_b$$

oder

$$M_{b(0)} = E \cdot t.$$

Da (s. Zeichnung)  $1 \text{ mm} = 30 \text{ kg}$  und  $E = 400 \text{ mm}$  angenommen wurde, so ist bei  $k_b = 5 \text{ kg}$  (Flussstahl)

$$30 t \cdot 400 = 0,1 d^3 \cdot 5,$$

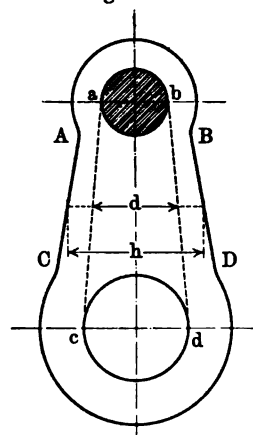
$$d = 29 \sqrt[3]{t}.$$

$t$  ist wieder die Ordinate der ideellen Momentenfläche.

Die aus dieser Formel sich ergebenden Durchmesser sind hinreichend genau und erhält zuletzt die Welle eine entsprechende Form.

Sollte sich noch die frühere Wahl von Mitte Kurbelzapfen bis Mitte Halszapfen als nicht passend erweisen, so wäre unter einer besseren Annahme das Verfahren zu wiederholen.

Fig. 102.



## Kupplungen.

Kupplungen sind Maschinenteile, durch welche einzelne Wellen zu einem Wellenstrange verbunden werden. Hierbei brauchen die geometrischen Achsen der verbundenen Wellen nicht in einer Linie zu liegen.

Je nach Art der Verbindung unterscheidet man:

1. feste,
2. bewegliche,
3. Ausrückkupplungen.

### 1. Feste Kupplungen.

Durch dieselben werden zwei Wellen so miteinander verbunden, als ob sie aus einem Stück beständen. Je nach der Form gibt es Muffen-, Hülsen- oder Scheibenkupplungen.

Feste Kupplungen können ein- oder mehrteilig sein.

#### a) Muffenkupplung.

Fig. 192, Taf. 64/65 zeigt dieselbe. Sie besteht aus einer ausgebohrten, gusseisernen Hülse, welche durch zwei Keile die beiden Wellen miteinander verbindet. Zum Schutze gegen die vorstehenden Keilnasen kann die ganze Kupplung mit einem Blechmantel versehen werden.

Obgleich diese Kupplung die einfachste von den festen Kupplungen ist, kommt sie dennoch bei besseren Transmissionen selten zur Anwendung und zwar deshalb, weil ein Lösen oder Abnehmen derselben, namentlich bei eingerosteten Keilen, sehr erschwert ist.

Für die Berechnung ergibt sich, da das zu übertragende Moment für Welle und Kupplung gleich ist,

$$\frac{\pi}{16} d^3 \cdot k_t = \frac{\pi}{16} \cdot \frac{D^4 - d^4}{D} \cdot k_k.$$

Hierin ist  $\frac{\pi}{16} d^3$  das polare Widerstandsmoment der Welle und  $\frac{\pi}{16} \frac{D^4 - d^4}{D}$  das der Muffe. Setzt man für die Welle  $k_t = 3,5$  und für die Kupplung  $k_k = 0,8$ , so folgt also

Schneider, Maschinen-Elemente.

$$\frac{\pi}{16} d^3 \cdot 3,5 = \frac{\pi}{16} \frac{D^4 - d^4}{D} \cdot 0,8$$

oder

$$d^3 \cdot 3,5 = \left( D^3 - \frac{d^4}{D} \right) \cdot 0,8$$

$$D^3 - \frac{d^4}{D} = d^3 \cdot \frac{3,5}{0,8}.$$

Diese Gleichung wird praktisch durch Probieren gelöst. Offenbar ist  $D$  größer als  $d$ . Da der Muffendurchmesser aber mit Rücksicht auf das Eintreiben der Keile doch vergrößert werden muß, sei für  $D = 2d$  gesetzt, hiermit ergibt sich dann

$$D^3 - \frac{d^4}{2 \cdot d} = d^3 \cdot \frac{3,5}{0,8}$$

oder

$$D^3 = d^3 \cdot 4,4 + \frac{d^3}{2}$$

$$D^3 = d^3 \left( 4,4 + \frac{1}{2} \right)$$

$$D = d \sqrt[3]{4,9} = \sim 1,7 d.$$

Mit Rücksicht auf Gufsspannungen nehme man  $D$  noch etwas größer, nämlich  $D = d + 2\delta$ , wobei als Bezugseinheit gilt

$$\delta = \frac{d}{3} + 10 \text{ mm.}$$

Über die Abmessungen der Keile siehe S. 22 und Taf. 16/17.

#### b) Schalen- oder Hülsenkupplung.

Die Schalenkupplung, Fig. 193, Taf. 64/65 besteht aus zwei gleichen Schalen, welche durch Schrauben verbunden die Welle umschließen. Auch hier muß die Konstruktion derart sein, daß Köpfe und Muttern der Schrauben vertieft liegen. Die Anzahl der Schrauben hängt von der Schalenlänge ab.

Nachdem die Schalen an den Berührungsflächen gehobelt, werden dieselben durch die Schrauben fest auf die Welle geprefst. Letzteres kann leicht dadurch erreicht werden, daß man bei der Bearbeitung zwischen die Schalenhälften starkes Papier legt, die Schalen



hierauf verschraubt und nun ausbohrt. Nimmt man dann das Papier wieder weg, so werden die Kupplungshälften sich fest auf die Welle pressen.

Für die Sicherung der Drehbewegung wird noch eine durchgehende Feder eingelassen.

Die Schraubenstärke kann genommen werden:

$$s = \sim \frac{d}{5} + 5.$$

Die Anzahl der Schrauben sei bis 50 mm Bohrung:  $z = 4$  und über 50 bis 150 mm Bohrung:  $z = 6$ . Die übrigen Dimensionen gehen aus der Zeichnung Taf. 64/65 hervor. Siehe auch Cliché und Tabelle auf der Rückseite dieser Tafel.

Die Hülsenkupplung, Fig. 194, Taf. 64/65 unterscheidet sich von der oben besprochenen nur dadurch, daß statt der Schrauben schmiedeeiserne, konische Ringe auf die entsprechenden Kupplungshälften aufgetrieben werden. Mit Rücksicht auf ihre leichte Lösbarkeit wird diese Kupplung mit Vorliebe angewandt. Der Querschnitt der Ringe kann ungefähr  $\frac{d^2}{5}$  gewählt werden.

Die übrigen Dimensionen siehe wieder Taf. 64/65 nebst Rückseite.

Beide, Schalen- wie Hülsenkupplung, machen zu ihrer Anwendung genau gleich starke Wellenenden zur Bedingung, was allerdings nicht gerade als recht vorteilhaft bezeichnet werden kann.

### c) Scheibenkupplung.

Die Scheibenkupplung ist zweiteilig und zwar sitzt auf jedem der beiden Wellenenden eine gusseiserne Scheibe, welche durch Keil befestigt ist (siehe Fig. 195, Taf. 64/65). Beide Scheiben sind durch Schrauben miteinander verbunden, deren Köpfe und Muttern zum Schutze gegen Unfälle vertieft liegen. Durch das Anziehen der Schrauben wird die Reibung zwischen den Scheiben groß genug, um das Drehmoment der einen Scheibe auf die andere zu übertragen. Da unter Umständen auch Biegungs- resp. Scherbeanspruchung der Schrauben vorhanden ist, sollen dieselben die Löcher ganz ausfüllen, also abgedreht und stramm eingepaßt werden. Bei stoßendem Betrieb sind eventuell konische Bolzen zu verwenden.

Damit die Achsen der Wellen zusammenfallen, greift eine Scheibe mit einem Ansatz in die andere ein.

Die Scheiben werden zuerst in der Werkstatt an den Stoßflächen bearbeitet (abgedreht), nach Bohrung der Löcher zusammengeschraubt, demnächst gemeinschaftlich ausgebohrt und genutet.

Da beim Aufkeilen trotz sauberer Ausführung sich die Scheibe etwas schief stellt, wird dieselbe samt der Welle gewöhnlich nochmals auf die Drehbank gespannt

und an der Stoßfläche abgedreht, wodurch sie dann senkrecht zur Wellenachse steht. Abnehmen und erneutes Aufkeilen würden allerdings abermals ein Schiefstellen der Stoßflächen zur Folge haben.

Viele Fabriken machen daher das Abnehmen der Kupplung dadurch unmöglich, daß sie letztere hydraulisch aufpressen oder auch warm aufziehen (Fig. 196). Dann müssen aber die auf der Welle befestigten Maschinenteile zweiteilig sein.

Die Stärke der Schrauben kann genommen werden

$$s \geq \frac{d}{8} + 10.$$

Ihre Anzahl  $z$  bestimmt sich aus der Übertragung des Drehmomentes

$$M_t = \frac{1}{5} d^3 \cdot k_t.$$

Nimmt man im Mittel  $k_t = 1,8 \text{ kg}$ , so ergibt sich für  $M_t = \frac{1}{5} d^3 \cdot 1,8 = 0,36 d^3$ .

Ist ferner die Schraubenbelastung in Rücksicht auf das Abdrehen und gutes Material größer, als Formel 2) angibt, nämlich  $P = 3 s^2$  und  $\mu = 0,25$  (wenn die Stirnflächen der Scheiben rauß belassen werden, was für die Reibung vorteilhaft ist), so erhält man, falls die Reibung am Hebelarm  $\left(\frac{a}{2}\right)$  von der Wellenmitte angreift

$$3 s^2 \cdot z \cdot \mu = \frac{0,36 d^3}{\left(\frac{a}{2}\right)}.$$

So ergibt sich z. B. für  $d = 50 \text{ mm}$ ,  $\left(\frac{a}{2}\right) = 80 \text{ mm}$ ,  $s = \frac{5''}{8} = 15,87 \text{ mm}$  die Schraubenzahl

$$3 \cdot 15,87^2 \cdot z \cdot 0,25 = \frac{0,36 \cdot 50^3}{80}$$

$$z = \sim 3 \text{ Schrauben.}$$

Die Tab. auf Taf. 64/65 giebt hierfür 4 Schrauben an.

Für größere Wellendurchmesser erhält man nach obiger Formel mehr Schrauben, als die Tabelle angibt, es wird aber gewöhnlich eine gerade Zahl gewählt, wenn auch hierdurch sich die Beanspruchung der Schrauben erhöhen sollte.

Neben der hervorgerufenen Reibung kann, wie oben bereits bemerkt, aber auch die Biegungsbeanspruchung zur Ermittlung der Schraubenzahl maßgebend sein. Letzteres hauptsächlich, wenn die Kraft-richtung wechselt. Bei der Umkehr wird aber die zu übertragende Kraft nicht ganz, sondern höchstens zur Hälfte auf die Schrauben wirken, so daß sich ergibt

$$\frac{\frac{M_t}{2} \cdot \left(\frac{g}{2}\right)}{\left(\frac{a}{2}\right) \cdot z} = 0,1 s^3 \cdot k_b$$

oder

$$\frac{M_t \cdot g}{2 \cdot a \cdot z} = 0,1 s^3 \cdot k_b.$$

Über die Bedeutung der Buchstaben  $g$ ,  $a$  und  $s$  siehe Fig. 195, Taf. 64/65.

Durch die etwa eintretende Biegungsspannung der Schrauben werden aber die vorher durch Reibung gefundenen Resultate nicht übertroffen. Die Schraubenkupplungen eignen sich besonders für schwereren Betrieb und kann die Dimensionierung derselben nach der Tabelle auf Taf. 64/65 erfolgen.

#### d) Sellers-Kupplung.

Dieselbe (siehe Fig. 197, Taf. 64/65) besteht aus einem gußeisernen Hohlkörper, der außen cylindrisch, innen aber nach beiden Seiten kegelförmig hergestellt (gedreht) ist. In diesen Hohlkörper sind zwei Kegelstumpfe eingepaßt, welche in ihrer ganzen Länge aufgeschlitzt sind und die genaue Bohrung der Welle haben. Die beiden Kegelstumpfe werden durch drei Schrauben einesteils auf die Welle, anderenteils auf den äußeren Hohlkörper gepreßt und kuppeln durch die so hervorgerufene Reibung beide Wellen. Die Schraubenbolzen sind quadratisch und liegen parallel zur Wellenachse teilweise in den Kegelstumpfen und teilweise im äußeren Hohlkörper. Eine durchgehende Feder sichert schließendlich noch die Torsionsübertragung.

Die Sellers-Kupplung sichert eine solide, genau centrische Verbindung der Wellen und läßt sich leicht auseinandernehmen. Außerdem ermöglicht sie die Verwendung von ungeteilten Rädern, Riemenscheiben u. s. w. Sie ist daher wohl die bei Transmissionen am meisten angewandte Kupplung. Zum Einblick für die in der Mitte zusammenstoßenden Wellenenden kann die Kupplung noch mit zwei Schaulöchern versehen sein.

## 2. Bewegliche Kupplungen.

Häufig macht es sich notwendig, daß die gekuppelten Wellen sich in ihrer Längs- als auch Querrichtung verschieben können, oder daß dieselben sich bei ihrer Verlängerung unter einem (stumpfen) Winkel schneiden.

Hiernach unterscheidet man längsbewegliche, querbewegliche und Kreuz- oder Gelenkkupplungen.

Eine geringe Längs- als auch Querbewegung der Wellen läßt die Sharpsche Kupplung (Fig. 198, Taf. 66/67) zu. Es greifen bei ihr die Klauen der einen Kupplungshälfte in die Vertiefungen der anderen mit Spielraum ein. Es kann auch das eine Wellenende in die Nabe der anderen Kupplungshälfte um 10 bis 15 mm übergreifen, wodurch aber die Querbeweglichkeit wegfällt.

Bezugseinheit ist

$$\delta = \frac{d}{3} + 10.$$

Fig. 199, Taf. 66/67 zeigt eine Ausdehnungskupplung nach den Ausführungen der Maschinenfabrik A. Spengler, M.-Gladbach.

Dieselbe läßt eine Längsverschiebung der Wellen zu und wird angewendet bei langen Wellenleitungen, die sich durch den Temperaturwechsel ausdehnen.

Die Finschaltung einer Ausdehnungskupplung wird unbedingt notwendig bei langen Wellenleitungen, deren Enden durch Lagerung u. s. w. sich nicht verschieben können. Damit die Wellenmitten immer genau centriert sind, greift das Wellenende in die Nabe der anderen Kupplungshälfte ein.

Die Ausdehnungskupplungen sind in der Mitte des Wellenstranges anzuordnen und ist dafür zu sorgen, daß auf jeder Seite der Kupplung ein Lager angebracht wird.

Eine nachgiebige, isolierende Bandkupplung ist die von Zodel-Voith (D. R.-P.), Fig. 200, Taf. 66/67.

Selbst bei genau geradlinig montierter Transmission wird durch ungleiche Ausnutzung verschieden belasteter Lager u. s. w. diese genaue Lage nach einiger Zeit nicht mehr vorhanden sein. Besonders fühlbar ist dies bei direkter Kupplung schwerer, stark belasteter Wellen, wenn z. B. eine Dynamomaschine an die Dampfmaschine oder Turbine angeschlossen ist. Hier sollte jede der beiden Wellen unabhängig von der anderen in ihren Lagern liegen und der natürlichen Abnutzung derselben folgen können, sonst tritt leicht Warmlaufen und dergleichen ein.

Bei Dynamomaschinen wird unter Umständen außer der Nachgiebigkeit von einer solchen Kupplung auch verlangt, daß sie elektrisch isolierend sei, und so entstanden Konstruktionen verschiedenster Art, welche unter Anwendung eines elastischen, isolierenden Materials, Kautschuk, Leder oder dergleichen, die Bewegungsübertragung von der einen zur anderen Kupplungshälfte bewerkstelligen.

Bei der Bandkupplung, Patent Zodel-Voith, geschieht die Übertragung durch einen Leder- oder Baumwollriemen, welcher eventuell auch leicht zu ersetzen ist. (Kautschukschlingen sind nicht zu empfehlen, da Kautschuk mit der Zeit brüchig wird und deshalb auch nicht auf Lager gehalten werden kann. Dasselbe gilt von den Gummiringen der früher im Gebrauch gewesenen Raffard-Kupplung. Letztere wird wegen dieser Unzuträglichkeiten auch nicht mehr verwendet.)

Wie Fig. 200, Taf. 66/67, zeigt, tragen die Wellenenden fest aufgekeilte Scheiben, deren Ränder,

cylindrisch geformt, mit entsprechendem Spielraum konzentrisch ineinander angeordnet sind. Diese Ränder haben je gleichviel Schlitz mit wulstartigen Kanten, ein Riemen schlingt sich, lose angezogen, nahtartig durch diese Schlitz und überträgt die Kraft von einer Kupplungshälfte zur anderen. Um den Verschleiß des Lederriemens möglichst klein zu halten, ist aber eine genaue Einstellung der Kupplung bei der Montage erforderlich.

Die äußere Kupplungshälfte ist so geteilt, daß nach Lösen der Schrauben, mit welchen der äußere Schlitzring an seinen Nabenboden befestigt ist, jede Welle für sich frei gedreht und ohne achsiale Verschiebung aus ihren Lagern gehoben werden kann.

Die gangbaren Größen der Kupplung sind in der Tabelle auf der Rückseite der Taf. 66/67 verzeichnet, doch fertigt die Firma für jede gewünschte Kraftübertragung auch größere Kupplungen.

Bei Auswahl einer Kupplung ist für die gegebenen Verhältnisse  $\frac{N}{n}$  auszurechnen und dann die Nummer mit der zunächst liegenden, größeren Übertragungsfähigkeit zu nehmen. Sollen z. B. 330 Pferdestärken bei 400 Umdrehungen übertragen werden, so folgt  $\frac{N}{n} = \frac{330}{400} = 0,825$ , also ist Kupplung Größe 8, welche  $\frac{N}{n} = 1,12$  hat, zu wählen.

Zwischen den Wellenenden ist der Spielraum  $s$  (siehe Tabelle) zu lassen, damit die Kupplung freibeweglich auch in der Achsrichtung bleibt.

Die Bandkupplung eignet sich zur Verbindung der Wellenenden jeder Art, jedoch ist zu ihrer Wahl Voraussetzung, daß das zu übertragende Drehmoment ein gleichmäßig wirkendes sei.

Fig. 201, Taf. 66/67 zeigt eine ausrückbare Bandkupplung von derselben Firma. Dieselbe kann in derselben Weise wie jede gewöhnliche Klauenkupplung aus- und eingerückt werden und besitzt dabei dieselben elastischen, isolierenden Eigenschaften, wie die vorstehend beschriebene, nicht ausrückbare Bandkupplung. Die Aus- und Einrückung darf nur bei Stillstand erfolgen.

Fig. 202, Taf. 66/67 zeigt eine Bandkupplung für wechselnde Drehrichtung.

Dieselbe besteht aus zwei kombinierten Kupplungen, die eine für Rechtslauf, die andere für Linkslauf eingerichtet. Die Kupplungsriemen können leicht nachgespannt werden, so daß toter Gang ausgeschlossen ist, und es eignet sich deshalb diese Kupplung besonders für Antriebe durch umsteuerbare Motoren.

Die Bandkupplungen werden mit Vorliebe von den Elektrizitäts-Gesellschaften verwendet, und setzt

z. B. die Allgemeine Elektrizitäts-Gesellschaft die äußere Kupplungshälfte auf die Motor- oder Dynamowelle, also auf die „A. E. G.“-Welle und die innere Hälfte auf die fremde Welle.

In allen Fällen, in denen die Umdrehungszahlen der Welle des Motors und der anzutreibenden Maschine nicht übereinstimmen, ist eine direkte Kupplung unmöglich und erfolgt dann der Antrieb zweckmäßig durch Zahnräder, Schneckenradübersetzung, Riemen oder Friktionsräder<sup>1)</sup>.

Schneiden sich die beiden Wellen unter einem Winkel  $\alpha$ , welcher die Anwendung einer der oben besprochenen Kupplungen nicht gestattet, so greift man zur Kreuzgelenkkupplung (Universalgelenk, auch Hookscher Schlüssel oder Cardansches Gelenk genannt). Dieselbe ist innerhalb gewisser Grenzen beweglich, doch ist bei nicht gestrecktem Winkel der beiden Wellenachsen die Bewegungsübertragung ungleichförmig, d. h. wenn die eine (treibende) Welle sich mit gleichförmiger Geschwindigkeit dreht, so ist die Drehbewegung der anderen (getriebenen) abwechselnd schneller und langsamer, s. Fig. 103.

Ist der Drehwinkel der treibenden Welle  $w_i$  und derjenige der getriebenen Welle  $w_g$ , so besteht die Beziehung

$$\frac{tg w_g}{tg w_i} = \cos \alpha \cdot 90)$$

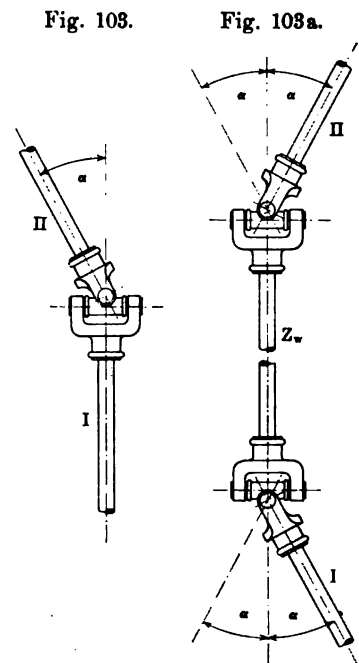
Bei  $\alpha < 20^\circ$  ist die Ungleichförmigkeit aber sehr unbedeutend.

Eine gleichförmige Bewegungsübertragung kann man erzielen, wenn man nach Fig. 103a konstruiert. Man hat zu diesem Zwecke eine Zwischenwelle  $Z_w$  einzuschalten und braucht außerdem ein Gelenk mehr.

Hierbei ist jedoch Bedingung, daß die Winkel  $\alpha$  der Wellen I und II mit  $Z_w$  gleich und daß die beiden Gelenke in ein und demselben Sinne angeordnet sind.

Eine Kreuzgelenkkupplung soliderer Konstruktion, als die in den Skizzen der Textfiguren 103 und 103a wiedergegebene, zeigt Fig. 203, Tafel 68/69. Auf der Rückseite derselben Tafel ist außerdem Cliché nebst Tabelle einer Gelenkkupplung für Wellen, deren Richtung nach zwei Ebenen verschieden ist, zu ersehen.

<sup>1)</sup> Über Vergleich zwischen elektrischen und mechanischen Übertragungen siehe bei Riemen-, Seil- und Kettenscheiben.



Beide Kupplungen zeigen Ausführungen der Maschinenfabrik A. Spengler, M.-Gladbach.

### 3. Ausrückkupplungen.

Dieselben finden Anwendung zum Aus- und Einrücken bei Transmissionen oder bei gewissen Teilen von Maschinen, die ab und zu außer Betrieb zu setzen sind. Man zerlegt hierbei:

Zahn- (Klauen-) Kupplungen und Reibungs- (Frik-tions-) Kupplungen.

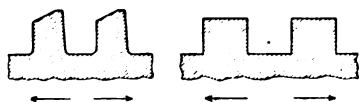
Eine ausrückbare Bandkupplung (Patent Zodel-Voith) wurde früher bereits besprochen.

#### a) Zahnkupplungen.

Fig. 204, Tafel 68/69 zeigt die einfachste Konstruktion einer Zahnkupplung. Die mit Zähnen versehene linke Muffe ist festgekeilt auf der Welle, während die ähnliche rechte Muffe axial verschiebbar ist und beim Einrücken die Drehbewegung durch zwei Federn überträgt. Außerdem ist die rechte Muffe noch zum Einlegen eines Ausrückhebels mit einer Nute versehen.

Die Zahnform kann so gewählt werden, daß die Übertragung nur nach einer Richtung stattfindet, man kann aber auch Übertragung nach beiden Richtungen erreichen, wenn man den Zähnen die Form der Fig. 104 giebt.

Fig. 104.



Die Zahl der Zähne wird verschieden gewählt, häufig 4 oder 6, doch finden sich bei den Kupplungen

für Spinnmaschinen weit mehr Zähne, damit das Ein- und Ausrücken möglichst schnell ausgeführt werden kann. Letzteres geschieht in der Regel während des Stillstandes der Transmission. Ein Ein- und Ausrücken während des Betriebes kann aber bei kleineren Kräften und nicht zu hohen Tourenzahlen auch geschehen; die oben bezeichnete Zahnkupplung läßt solches ebenfalls zu und wird namentlich für leichtere Betriebe verwendet.

Bei der Hildebrandtschen Zahnkupplung, Fig. 205, Tafel 68/69, geschieht das Verschieben der einen Kupplungshälfte nicht auf der Welle, sondern es sind hier die Kupplungshälften  $K_1$  und  $K_2$  fest auf die Wellenenden gekeilt, während das Kuppeln durch Verschiebung der Muffe  $M$  bewirkt wird. Zu dem Zweck greifen die Klauen  $Z$  dieser Muffe in die Lücken der Kupplungsteile  $K_1$  und  $K_2$  ein.

Das Einrücken kann auch hier nur bei stillstehendem Betriebe oder allenfalls bei ganz geringen Umdrehungszahlen vollzogen, es kann aber während des Betriebes ausgerückt werden.

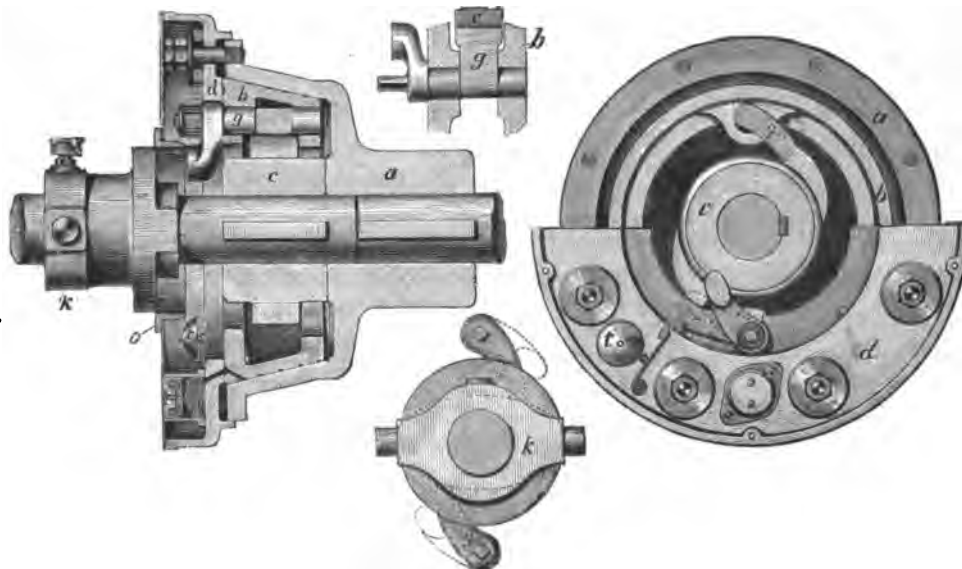
Beide, Zahn- und Hildebrandtsche Kupplung, zeigen wieder Ausführungen der Maschinenfabrik A. Spengler, M.-Gladbach.

#### b) Reibungskupplungen.

Will man während der Bewegung einrücken, so muß eine allmähliche Mitnahme erfolgen. Letzteres wird vermittelt der Reibung durchgeführt.

Eine lösbare Klinkenreibungskupplung, System Lohmann & Stolterfoht, Witten a. d. Ruhr (D. R.-P.) zeigt Fig. 105.

Fig. 105.



Während bei der Zahnkupplung das Ausrücken in achsialer Richtung geschieht, wird bei dieser dasselbe in radialer Richtung bewerkstelligt.

Auf der treibenden Welle ist der mit Zähnen versehene Körper *c*, auf der getriebenen Welle der mit Reibungsflächen ausgestattete Körper *a* aufgekeilt, *b* ist ein loser Reibungskegel, welcher bewegliche Klinken *g* trägt und durch den Druckring *d* mittelst Schrauben gegen *a* so stark angepresst wird, daß die zu übertragende Kraft bei guter Ölung der Reibungsflächen ohne Gleiten derselben gerade übertragen werden kann. Um die Kupplung auszurücken, wird die Ausrückhülse *k* durch den Ausrückhebel bis dicht an die Kupplung herangeschoben, und da die Hülse *k* mit excentrischen Anlaufflächen versehen ist, so werden die Klinken *g* selbstthätig ausgehoben. Zum Einrücken zieht man die Ausrückhülse *k* einfach mittelst des Ausrückhebels aus der Kupplung heraus. Die Signalglocke *t* zeigt das Einrücken der Kupplung an<sup>1)</sup>.

<sup>1)</sup> Die Firma führt die Kupplung der Fig. 105 nach folgender Tabelle aus.

Wellen- durchmesser	Pferdestärken bei 100 Touren pro Minute	Größter Durchmesser	Größte Länge der treibenden Seite der Kupplung	Größte Länge der getriebenen Seite	Ganze Länge der Kupplung	Ungefähres Ge- wicht	Stückpreis der Kupplungen	Zuschlags- preise	Stückpreis für Ein- und Ausrückhebel
mm		mm	mm	mm	mm	kg	Mk.	Mk.	Mk.
40	1,5	290	225	70	295	35	130	10	43
40	3	310	245	80	325	45	145	10	48
40	4	340	275	80	355	55	165	10	55
50	6	390	300	95	395	70	200	10	65
60	8	410	340	110	450	95	250	10	80
70	15	470	380	135	515	130	310	15	105
80	23	505	425	155	580	175	400	20	135
90	35	580	465	160	625	240	510	25	170
100	50	625	505	175	680	305	635	30	210
110	70	700	545	190	735	400	775	35	260
120	100	745	585	205	790	500	950	40	320
130	130	790	625	205	830	600	1150	45	385
140	160	850	665	230	895	750	1350	50	450
150	200	900	705	250	955	890	1550	50	520
175	300	1040	780	300	1080	1400	2300	70	700
200	450	1200	900	350	1250	1950	3200	95	850

Die Kraftübertragung steht annähernd im direkten Verhältnis zur Umdrehungszahl und ist bei 50 Umdrehungen reichlich halb so groß, bei 200 Umdrehungen fast doppelt so groß, als in der Tabelle angegeben. Für die richtige Wahl der Kupplung ist wichtiger die Häufigkeit der Benutzung und die Größe der eingerückten Massen als die im Mittel zu übertragenden Pferdekkräfte.

Die Kupplung zeichnet sich besonders durch leichtes Aus- und Einrücken aus, das in längstens einer halben Wellenumdrehung erreicht wird und aus jeder Entfernung mittels Drahtzuges oder elektrischer Leitung geschehen kann. Hierdurch dürfte diese Kupplung zur Verhütung von Unglücksfällen noch vorteilhaft geeignet sein.

Fig. 106.

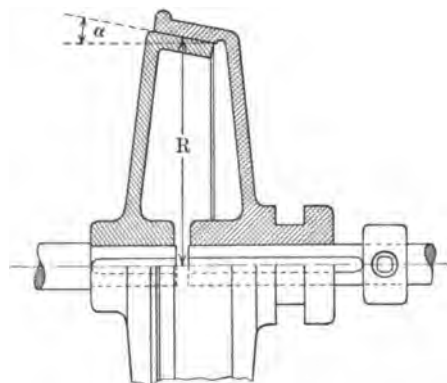
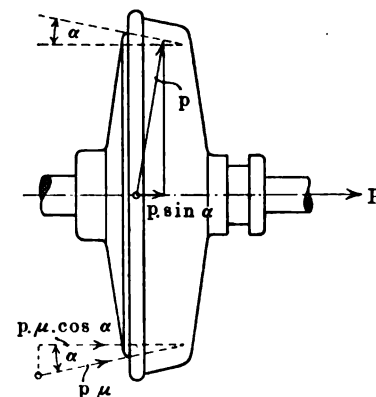


Fig. 106a.



Eine weitere Konstruktion über eine lösbare Reibungskupplung von derselben Firma zeigt Fig. 206, Taf. 68/69.

Der auf der einen Welle sitzende Reibungskörper *c* wird von den beiden Backen *b* lose umschlossen. Die Backen *b* sind mittelst Zugstangen *f* (siehe auch das Cliché auf der Rückseite der Tafel) an die mit der anderen Welle fest verbundene Mitnehmerscheibe *a* aufgehängt.

Unter sich sind die Backen *b* durch Schraubenspindeln *h* mit Rechts- und Linksgewinde verbunden, welche mit den Hebeln *k* aus einem Stück bestehen. An diese Hebel *k* fassen die Schubstangen *e*, welche wieder mit der lose auf der Welle verschiebbaren Ausrückhülse *k* in Verbindung stehen.

Der Schluß der Kupplung erfolgt durch Verschieben der Ausrückhülse bis dicht an die Mitnehmerscheibe *a*. Durch die hierdurch bedingte Drehung der Schraubenspindeln werden die Backen *b* an *c* herangezogen, und die hierdurch erzielte Reibung bewirkt ein allmähliches, sicheres Mitnehmen der getriebenen Welle.

Auch diese Kupplung erfordert zur Ein- und Ausrückung verhältnismäßig geringe Kraft, und erfolgt das Mitnehmen der zu treibenden Welle ohne Stofs.

Die Konstruktion der Fig. 106 zeigt eine Reibungskupplung — Kegelreibungskupplung — früherer Ausführung<sup>1)</sup>.

Die Anpressung geschieht bei derselben achsial. Hierbei tritt aber durch die Reibung ein bedeutender

<sup>1)</sup> Fig 106 und 106a nach A. Pohlhausen, Maschinenelemente, Verlag der Polytechnischen Buchhdl., Mittweida.



Auf der getriebenen Welle *O* sitzt die Muffe *Mu* auf Federn verschiebbar, während die Scheibe *A* auf der treibenden Welle *M* durch Keile befestigt ist. Durch Verschieben der Muffe *Mu* nach links wird die Kupplung eingerückt, indem die vier federnden, stählerne Druckstangen *E* die vier Gleitklötze *D* gegen die Fläche der Scheibe *A* geprefst werden. Die federnden Druckstangen *E* sind so anzuordnen, daß im eingerückten Zustande der untere Mittelpunkt derselben über die Mittelebene beider Druckpunkte hinausgeschoben ist, wodurch ein selbstthätiges Lösen der Kupplung verhindert und der Einrückhebel entlastet wird. Die Gleitklötze *D* zeigen nach Figur geriffelte Reibflächen. Für kleinere Übertragungskräfte (bei Wellen unter 75 mm Durchmesser) wird der äußere Umfang derselben jedoch glatt, also cylindrisch, ausgeführt. (Bei glattem Umfang erhöht sich natürlich der Anpressungsdruck bedeutend.)

Sitzt die verschiebbare Muffe *Mu* auf einer (auch bei ausgerückter Kupplung) drehenden Welle, so werden die Gleitklötze durch Gegengewichte *S* ausbalanciert. Hierdurch wird die Fliehkraft der Gleitklötze aufgehoben und ein Selbsteinrücken der Kupplung verhindert. Sind die Umdrehungszahlen gering, so wird die Fliehkraft bedeutungslos und braucht dann eine in Frage seiende Anordnung keine Gegengewichte.

Die Kupplung kann auch z. B. mit einer Riemenscheibe und einer sich fortwährend drehenden Welle verbunden werden, wobei die Gleitklötze dann gegen den Rand der betreffenden Scheibe geprefst werden.

Bei größeren Kupplungen der Dohmen-Leblancschen Art fällt die zum Anpressen notwendige Achskraft recht bedeutend aus, und erfolgt dann die Einrückung vermittelt Schraube und Handrad (siehe solche Anordnungen Taf. 72/73 und folgende).

Eine Reibungskupplung nach den Ausführungen der Maschinenfabrik A. Spengler, M.-Gladbach, zeigt Fig. 208, Taf. 70/71. (D. R. G. M.)

Die Kupplung besteht aus folgenden Hauptteilen: dem Gehäuse *A* (siehe Cliché auf der Rückseite der Taf. 70/71), dem Kreuz *B*, dem Ausrückmuff *C*, den Gleitbacken *D* und den die beiden letzteren Teile verbindenden federnden Gestängen *E*.

Die Federkraft der Gestänge wird durch eine Spiralfeder, welche sich in gespanntem Zustande in einem Gehäuse befindet, hervorgebracht und kann durch Stellung des Federgehäuses leicht auf den gewünschten Flächendruck der Gleitbacken gebracht werden; ein Verdrängen der Wellenenden kann nicht stattfinden, da sich die Kräfte gegenseitig aufheben.

Die Gleitbacken sind mit Holz ausgefüttert, wodurch ein leichtes, geräuschloses Einrücken der Kupplung ermöglicht wird.

Das Gehäuse *A* ist mit centrischen Nuten versehen zur Aufnahme der am Ausrückmuff *C* befindlichen Stahlstifte, welche, nachdem die Federgestänge den höchsten (toten) Punkt überwunden haben, in die Nuten des Gehäuses *A* treten und die Gleitbacken entlasten. Dadurch wird der Verschleiß der Gleitbacken wesentlich reduziert und mit Sicherheit das Kuppeln bewerkstelligt.

Zur Ausgleichung der Gleitbacken sind Gegengewichte *F* angebracht; dieses ist besonders dann von großem Vorteil, wenn das Kreuz *B* auf der treibenden Welle sitzt, weil dadurch ein Herausschleudern der Gleitbacken verhindert wird.

Gegen das Eindringen von Staub und Schmutz wird die Kupplung mit einem Schutzblech versehen.

Die Hillsche Kupplung, Fig. 209, Taf. 70/71, nach Konstruktion des Eisenwerks Wülfel vor Hannover (D. R.-P.) hat das Eigentümliche, daß bei ihr gleichzeitig je zwei Klemmbacken mit gleich großem Druck gegen den inneren und äußeren Umfang des Mitnehmeringes geprefst werden. Die Kupplung wird dadurch von radial wirkenden Kräften ganz entlastet, und ferner wird bei halb so großem Anpressungsdruck, wie bei den anderen Kupplungen, eine gleich große Reibung, wie bei diesen, erzielt. Deshalb wird die Kupplung leichter und damit billiger. Die Klemmbacken der Kupplung sind mit Holz gefüttert, welche sich eventuell leicht ersetzen lassen. Die Kupplung ist deshalb in Betrieben, in denen viel Staub entsteht, z. B. in Cementmühlen, mit Vorteil anwendbar.

Zwecks Nachstellung der abgenutzten Holzfutter ist die Kupplung mit einer von außen leicht zugänglichen Nachstellvorrichtung versehen. Damit die Backen dauernd und unabhängig von einer etwaigen Abnutzung mit genau gleich großem Drucke von innen und außen gegen den Ring geprefst werden, muß die zum Anpressen dienende Vorrichtung ihren Stützpunkt in der einen Backe haben, so daß die andere Backe den Gegendruck jener erhält.

Dies wird dadurch erzielt, daß der zum Ein- und Ausrücken dienende Hebel *E* (Fig. 107 bis 107 c) um einen in der äußeren Backe *B* gelagerten Bolzen *O* sich dreht und beim Bewegen nach links — Einrücken — mit der um *N* drehbaren Rolle *J* an den Cylinder *P* der inneren Backe *C* drückt und somit beide Backen mit gleich großem Drucke gegeneinander preßt. Beim Bewegen des Hebels nach rechts — Ausrücken — entfernt sich die Rolle von dem Cylinder, und die Backen werden durch eine Spiralfeder *U* voneinander entfernt.

Die Backen sind durch einen um den Bolzen *M* drehbaren Lenker *D* miteinander verbunden, wodurch eine vollständige Ausgleichung der Fliehkkräfte, wie



Fig. 107.

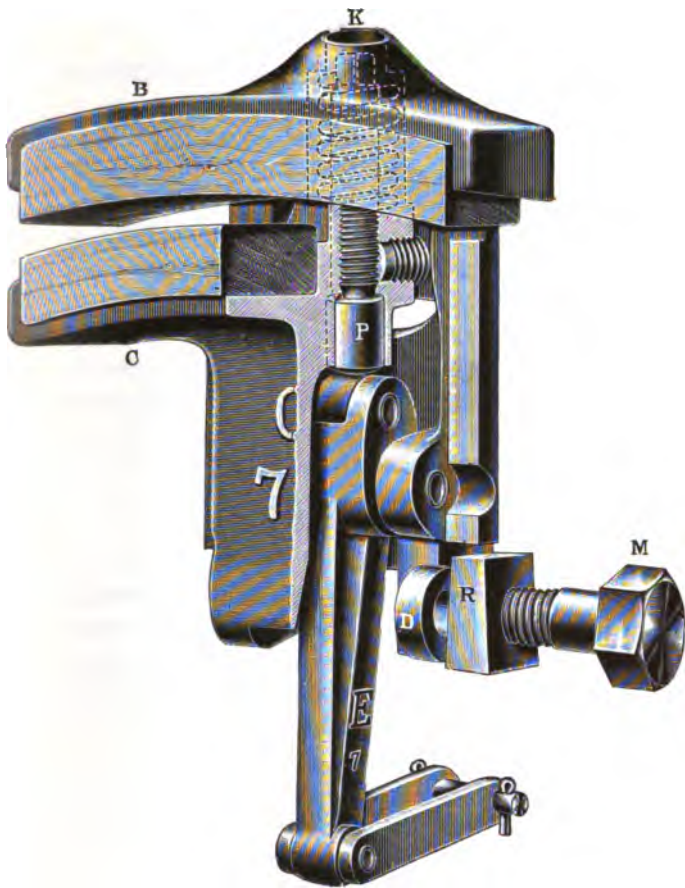


Fig. 107 a.

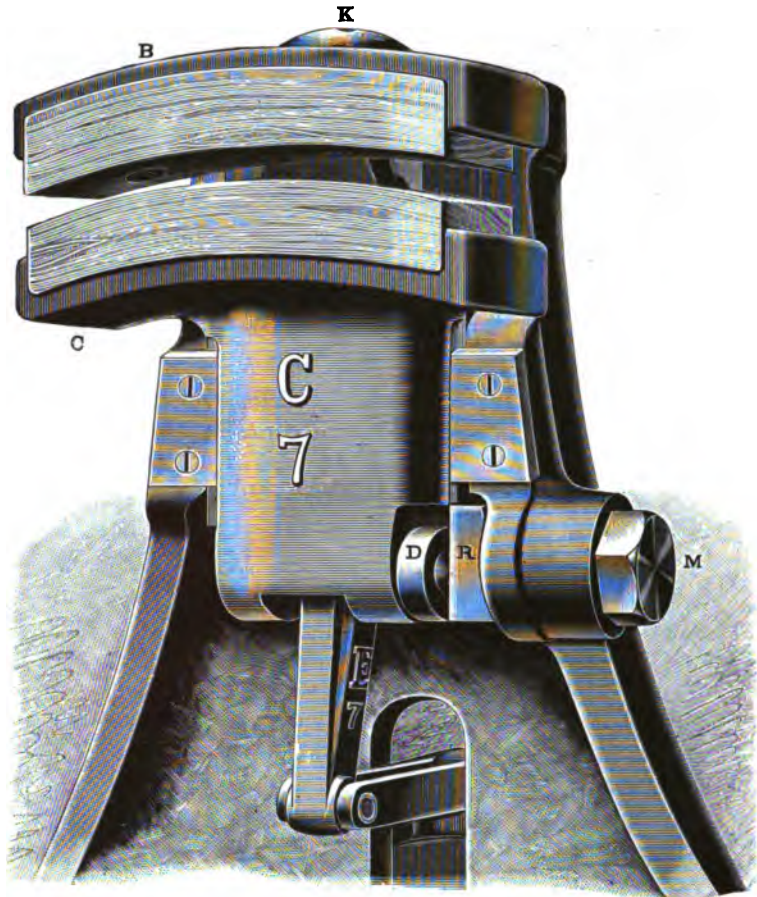


Fig. 107 b.

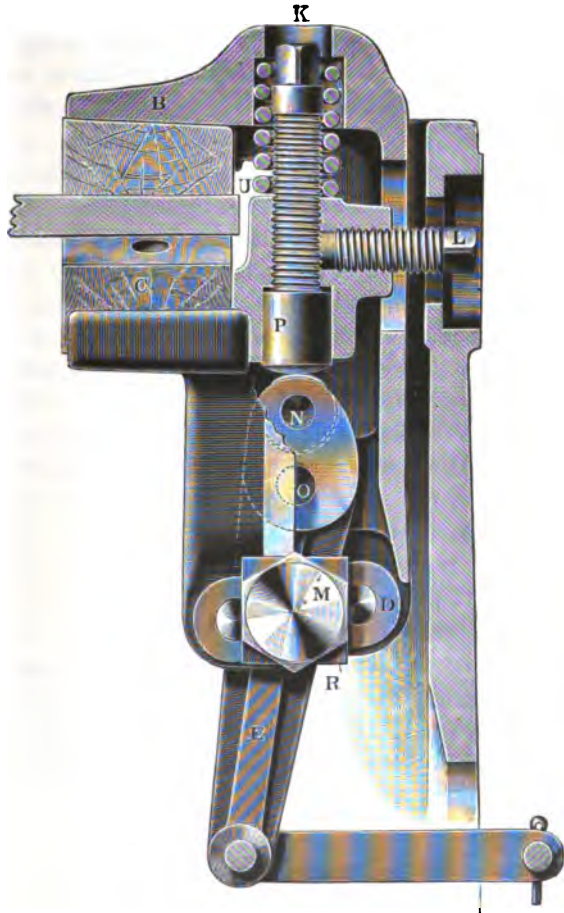
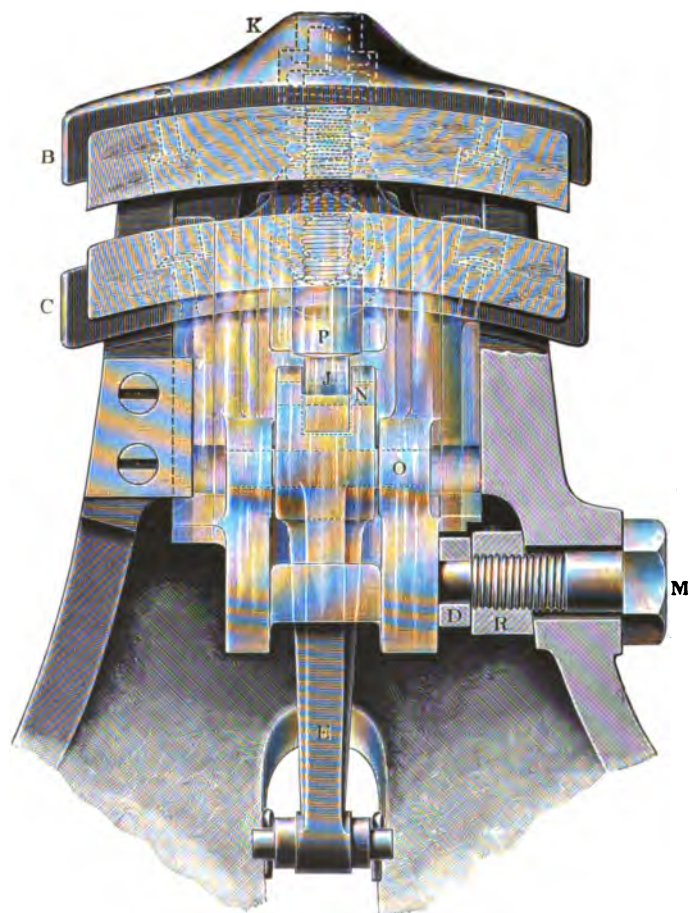


Fig. 107 c.





ein gleichmäßiges Entfernen der Backen von den Reibungsflächen des Ringes im ausgerückten Zustande erzielt wird.

Die Lage des Bolzens  $M$  muß sich natürlich genau nach der Stellung der Backen im eingerückten Zustande der Kupplung richten; um dies vollständig unabhängig von der Ausführung und von einer etwa ungleich auftretenden Abnutzung der Backen zu erzielen, ist die Schraube  $M$  verstellbar angeordnet und wird erst nach Einstellen der Kupplung im eingerückten Zustande festgeklemmt. Die zum Festklemmen der Schraube  $M$  dienende Mutter  $R$  hat eine schräge Anlagefläche, so daß die nach außen wirkende Fliehkraft der Backen die Schraube niemals lockern, sondern im Gegenteil nur fester anziehen kann.

Zum Ein- und Nachstellen der Kupplung dient die Schraube  $K$ , welche, wenn tiefer eingeschraubt, den Cylinder  $P$  näher an die Rolle  $J$  bringt, so daß ein stärkeres Anpressen der Backen erfolgt. Zur Sicherung gegen Lockerung dieser Schraube dient die Stellschraube  $L$ .

Je nach der Größe der Kupplung werden 2, 3, 4 und 6 Backenpaare verwendet.

Der zur Aufnahme derselben dienende Teil der Kupplung hat eine der Anzahl der Backenpaare entsprechende Anzahl freistehender Arme. Dieser Teil der Kupplung, mit Muffe und Schleifring, wird das Kreuz genannt.

Für die Montage ist zu beachten, daß die Muffe im eingerückten Zustande unter allen Umständen an dem Anschlag an den Armen des Kreuzes anliegen muß, weil sonst sehr rasche Abnutzung oder Warmlaufen des Schleifringes eintritt. Der Ausrückhebel soll im eingerückten Zustande senkrecht zur Wellenachse stehen.

Die Verbindung der Hill-Kupplung mit einer Riemenscheibe zeigt das Cliché auf der Rückseite der Tafel 70/71.

Diese Anordnung empfiehlt sich für Fälle, in denen die Ausrückung zwar beliebig oft, aber stets nur auf kürzere Zeit erfolgt.

Zu den Ausrückkupplungen zählen noch die Motorenkupplungen.

Solche finden Anwendung bei einer Transmission, welche durch zwei Motoren gleichzeitig oder einmal von einem, das andere Mal von dem anderen Motor zu betreiben ist. Anordnungen dieser Art findet man beispielsweise bei Turbinen- und Wasserradanlagen, bei denen neben diesen als Hauptmotoren zur Unterstützung noch eine Dampfmaschine aufgestellt ist. Hierbei wird die Anbringung einer Motorenkupplung erforderlich, indem dieselbe das Mitschleppen des einen Motors mit dem anderen verhindert und je nach

der notwendigen Arbeitsleistung ein selbstthätiges Ein- und Auskuppeln des einen oder anderen Motors gestattet.

Nach Einbau der Kupplung wird ein gleichmäßiger Betrieb erzielt.

Die bekannteste Konstruktion einer solchen Kupplung ist die von Uhlhorn, Fig. 210, Taf. 70/71.

Das Gehäuse 1 der Kupplung sitzt auf dem Wellenende des Hauptmotors (der eigentlichen Wellenleitung), die Scheibe 2 auf der Welle des Nebenmotors. Letztere ist mit zwei Sperrklinken 4 versehen, welche sich ganz in die Lücken der Scheibe 2 einlegen können, wenn das auf das andere Wellenende gekeilte Gehäuse 1 gegen die Scheibe voreilt (die Drehung bei der Zeichnung ist entgegengesetzt wie beim Uhrenzeiger gedacht). Letzteres tritt ein, wenn der Nebenmotor still steht oder eine geringere Geschwindigkeit als der Hauptmotor besitzt. Erst bei zunehmender Geschwindigkeit des Nebenmotors wird die Scheibe 2 gegen das Gehäuse 1 voreilen und die Kupplung eingerückt, da dann die Sperrklinken 4 durch einwirkende Federn hervorgehoben werden und sich gegen die Knaggen des Gehäuses 1 legen, wodurch nun die Leistung des Nebenmotors auf die des Hauptmotors übertragen wird.

Fig. 211, Taf. 70/71 zeigt die Motorenkupplung der Maschinenfabrik Lohmann und Stolterfoht, Witten an der Ruhr (s. auch das Cliché nebst Tabelle auf der Rückseite der Tafel 70/71).

Auf der Antriebswelle des Hauptmotors ist der mit vier großen Zähnen und vier kleinen Nebenzähnen versehene Stahlkörper  $c$ , auf der Welle des Hilfsmotors das Gehäuse  $a$  festgekeilt. Die in dem Gehäuse  $a$  gelagerten Klinken  $g$  werden durch die darauf sitzenden Federn nach außen gehalten und sind mittels der Hebel  $f$  an dem lose auf der Welle sitzenden Ring  $m$  angeschlossen. An  $m$  ist eine kleine Sperrklinke drehbar gelagert, welche so lange über die kleinen Nebenzähne von  $c$  gleitet, als  $c$  schneller läuft wie  $a$ . Sobald jedoch die Kraftentnahme so wächst, daß  $c$  anfängt langsamer zu laufen, so kommt, da  $a$  vom Hilfsmotor eine konstante Geschwindigkeit beibehält, die kleine Klinke  $k$  mit dem Nebenzahn von  $c$  in Eingriff. Hierdurch wird der Ring  $m$  auf der Welle gedreht, und die Klinken  $g$  werden mittels der Stangen  $f$  nach innen gezogen. Von diesem Moment an ist die Verbindung hergestellt, der Hilfsmotor wirkt mittels der Klinken  $g$  treibend auf  $c$  und unterstützt den Hauptmotor so lange, bis die Geschwindigkeit von  $c$  wieder im Zunehmen begriffen ist, wodurch sich die Kupplung wieder selbstthätig löst. Bei jeder Kraftschwankung beginnt das Spiel von neuem. Der Hilfsmotor kann während des Betriebes ohne Störung in und außer Betrieb gesetzt werden. Wird der Hilfs-

motor voraussichtlich für längere Zeit unbenutzt bleiben, so kann durch einfaches Drehen des Stiftes p (s. Cliché) die kleine Klinke dauernd außer Funktion gesetzt werden, wodurch jede Verbindung beider Motoren aufgehoben ist.

Ist es vorteilhafter, die Kupplung mit einer Hauptantriebscheibe zu verbinden, so wird die Nabe des Gehäuses  $a$  entsprechend verlängert und die betreffende Scheibe hier aufgekeilt.

Die vorliegende Kupplung hat eine gewisse Winkelbeweglichkeit zum Vorteil. Die leichte Ein- und Ausrückbarkeit gestattet dieselbe auch vermittelst Seil u. dergl. aus größerer Entfernung, damit dient diese Kupplung gleichzeitig noch als Schutzmittel gegen Unfälle.

Die Konstruktion einer Kupplung wird mit Hilfe der auf den Tafeln angegebenen Verhältniszahlen (welche empirisch sind) oder, wenn solche nicht vorhanden, mit Hilfe der Tabellen auf den Rückseiten der Tafeln durchgeführt. Hierbei gewähren gleichzeitig die den Zeichnungen eingetragenen Maße den besten Anhalt für andere Ausführungen.

Schließlich sind auch hier, wie vorher bei den Lagern, zu den Tabellen die Clichés gedruckt, welche zum besseren Verständnis der Zeichnungen ganz wesentlich beitragen.

Das Ein- und Ausrücken der oben beschriebenen Kupplungen geschieht, wie bereits gesagt, vermittelst Ausrückhebel. Diese greifen in die ringförmige Nut der Kupplungen ein. Für den Anschlag der ausgerückten Kupplungshälfte kann auf der Welle ein Bund oder Stellring angebracht werden.

Fig. 212, Taf. 72/73 zeigt den die Kupplung umgreifenden Teil eines Ausrückhebels, bei welchem die beiden Gleitstücke in der ringförmigen Nut der Kupplung liegen.

Stellt man die Gabelenden oval her und läßt diese direkt in die Nut der Kupplung eingreifen, so kommen die Gleitstücke in Wegfall. Letztere Ausführung ist aber wegen der Abschleifung der Gabelenden weniger empfehlenswert. Besser ist, die ringförmige Nut der Kupplung sich in einem (zweiteiligen) schmiedeeisernen Ringe (Schleifringe) drehen zu lassen, dessen beiderseitig angebrachte Zapfen in den länglichen Augen der Gabel ihre Führung erhalten.

Der Ausschlagwinkel des Hebels darf nicht zu groß ausfallen, und ist dem Hebel hierfür ein entsprechend langer Hebelarm zu geben. Der Drehpunkt des Hebels liege so, daß die Mittellinie desselben senkrecht zur Wellenachse steht, wenn die Kupplungshälfte um den halben achsialen Schub ausgerückt ist.

Fig. 213, Taf. 72/73 zeigt die Ausführung einer Ausrückvorrichtung der Berlin-Anhaltischen-Maschinenbau-Aktien-Gesellschaft, Dessau.

Die übrigen Figuren auf den Tafeln 72/77 zeigen Ausrückvorrichtungen nach Ausführung der Maschinenfabrik A. Spengler, M.-Gladbach.

### Beispiel.

Es ist die Ausrückvorrichtung einer Reibungskupplung (Dohmen-Leblancsche Kupplung) nach Fig. 213, Taf. 72/73 zu berechnen.

Über Bestimmung der erforderlichen achsialen Anpressungskraft siehe das Beispiel Seite 81 und das auf der unteren Seite 81 Bemerkte. Dieselbe sei zu  $P = 300 \text{ kg}$  ermittelt worden.

Nach Figur ist die obere Länge des Ausrückhebels  $690 \text{ mm}$ , die untere  $2070 \text{ mm}$ . Demnach erhält man die Momentengleichung

$$Q \cdot 2070 = P \cdot 690$$

$$Q \cdot 2070 = 300 \cdot 690.$$

Hieraus folgt am unteren Ende des Hebels eine Kraft

$$Q = \frac{300 \cdot 690}{2070} = 100 \text{ kg}.$$

Da diese Kraft ziemlich groß ist, dient zur Ausübung derselben, wie auf Zeichnung ersichtlich, eine Schraubenspindel nebst Handrad.

Die Dimensionen der Spindel würden, für diese Kraft berechnet, zu schwach ausfallen; es sei deshalb der äußere Durchmesser derselben  $d = 35 \text{ mm}$  und der Durchmesser  $d_1 = 29 \text{ mm}$  gemacht (letzterer ergibt sich aus Gleichung 18).

Demnach folgt eine Gewindetiefe

$$t = \frac{35 - 29}{2} = 3 \text{ mm}.$$

Somit ist der mittlere Gewinderadius

$$r = \frac{d_1 + t}{2} = \frac{29 + 3}{2} = 16 \text{ mm}.$$

Aus Gleichung 16) folgt ferner die Steigung  $s = 2t = 2 \cdot 3 = 6 \text{ mm}$  und hiermit der Steigungswinkel der mittleren Schraubenlinie (s. Fig. 3, Seite 4)

$$\begin{aligned} \operatorname{tg} \alpha &= \frac{s}{2r\pi} = \frac{6}{2 \cdot 16\pi} = \sim 0,06 \\ \alpha &= 3^\circ 30'. \end{aligned}$$

Für den Reibungskoeffizienten  $\mu = \operatorname{tg} \varphi = 0,13$ ; also für  $\varphi = 7^\circ 30'$  und für den Radius des Handrades  $R = 200 \text{ mm}$  ergibt sich, abgesehen von der Reibung an den betreffenden Stellen des Hebels und der Kupplungsnabe, bei der Einrückung am Handgriff des Rades ein Druck (nach Gleich. 25)

$$P_o = Q \cdot \frac{r}{R} \cdot \operatorname{tg}(\alpha + \varphi)$$

$$P_o = 100 \cdot \frac{16}{200} \cdot \operatorname{tg} 11^\circ = 1,55 \text{ kg.}$$

Das größte Biegemoment erleidet der Hebel in seinem Drehpunkt. Dasselbe ergibt sich zu

$$Q \cdot 2070 = 100 \cdot 2070 = 207\,000 \text{ mmkg.}$$

Werden die beiden Flacheisen an dieser Stelle 20 mm stark gehalten (s. Zeichnung), so ergibt sich die Höhe derselben aus der Bieungsgleichung

$$207\,000 = 2 \cdot \frac{20 \cdot h^2}{6} \cdot k_b$$

und mit  $k_b = 5 \text{ kg}$ , zu

$$h = \sqrt{\frac{207\,000 \cdot 6}{2 \cdot 20 \cdot 5}} = \sim 79 \text{ mm.}$$

In der Ausführung ist dieser Wert von  $h$  auf 85 mm erhöht worden.

Für jeden der beiden Zapfen  $J$ , welche den Bügel der Kupplung erfassen, ist die Kraft  $\frac{P}{2} = \frac{300}{2} = 150 \text{ kg}$ .

Die Länge des freitragenden Endes ist gleich der Bügelstärke, nach Zeichnung 20 mm. Damit ergibt sich die Bieungsgleichung, wenn  $d_J$  den Durchmesser an dieser Stelle bezeichnet

$$\frac{P}{2} \cdot \frac{20}{2} = 0,1 d_J^3 \cdot k_b$$

oder mit  $k_b = 6 \text{ kg}$

$$150 \cdot 10 = 0,1 d_J^3 \cdot 6$$

$$d_J = \sqrt[3]{\frac{150 \cdot 10}{0,6}} = \sim 14 \sim 15 \text{ mm.}$$

Das Zapfenende im Bügel zeigt nach Zeichnung für  $d$  den Wert 23 mm entsprechend einer Länge von 30 mm.

Jeder der beiden Zapfen  $K$  an dem Gleitstück der Schraubenspindel wird für die Kraft  $\frac{Q}{2} = \frac{100}{2} = 50 \text{ kg}$

in derselben Weise wie oben berechnet.

Schließlich ergibt sich für den Bolzen  $E$  am Drehpunkt des Hebels, da dieser Bolzen als Träger auf zwei Stützen mit der gleichmäßigen Last  $P + Q = 400 \text{ kg}$  anzusehen ist (nach den Formeln auf S. 16)

$$\frac{400}{2} \left( \frac{100 + 20}{2} - \frac{100}{4} \right) = 0,1 d_E^3 \cdot 6 \text{ (bei } k_b = 6 \text{ kg)}$$

oder

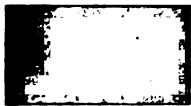
$$200 \cdot 35 = 0,6 d_E^3$$

$$d_E = \sqrt[3]{\frac{200 \cdot 35}{0,6}} = \sim 23 \text{ mm,}$$

welcher Wert bei der Ausführung in der Mitte auf 26 mm erhöht worden ist, während der Bolzen an den beiden Enden  $\frac{3}{4}$  Gewinde zeigt.

# Materialfarben.

Gusseisen.



Schmiedeeisen.



Stahl.



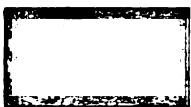
Rothguss.



Weissmetall.



Kupfer.



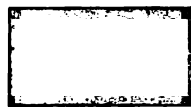
Leder & Kautschuk.



Holz.



Mauerwerk.

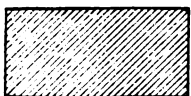


Erde.

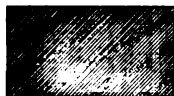


## Schraffierte Materialien.

Gusseisen.



Schmiedeeisen.



Stahl.



Rothguss.



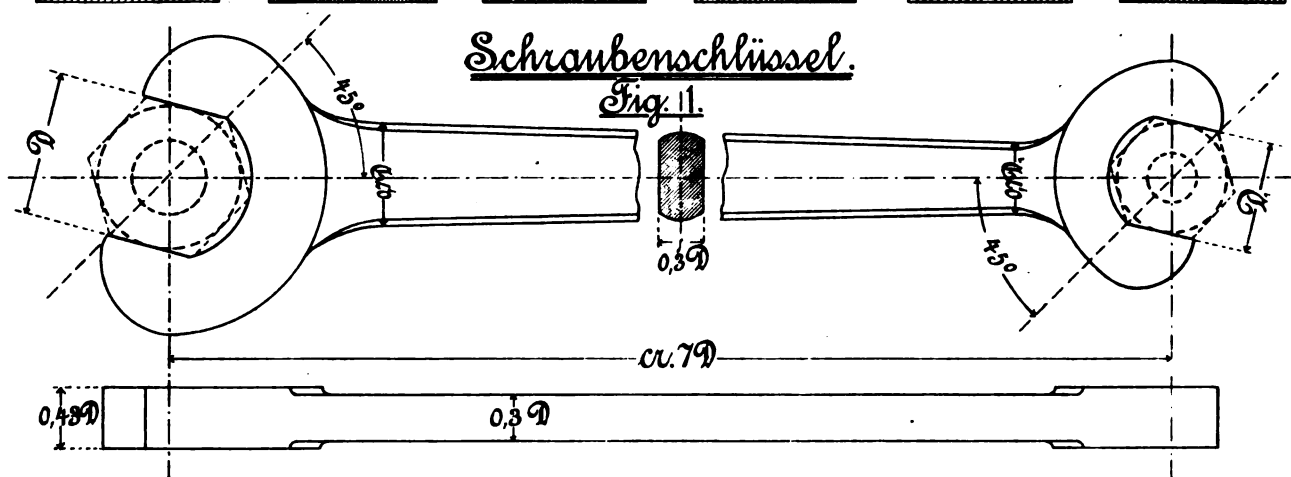
Mauerwerk.



Leder & Kautschuk.



## Schraubenschlüssel.



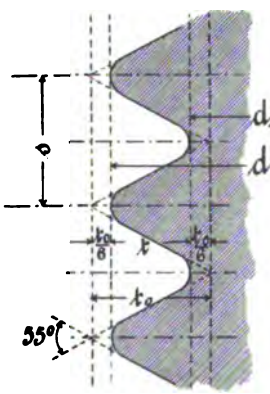
Scharfes Gewinde.

Flaches

Trapez.

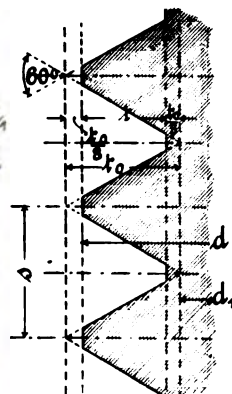
Whitworth.

Fig. 2.



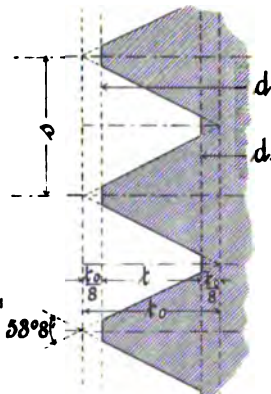
Sellers.

Fig. 3.



Verein deutscher Ingenieure.

Fig. 4.



Gewinde.

Fig. 5.

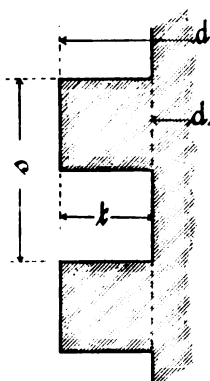
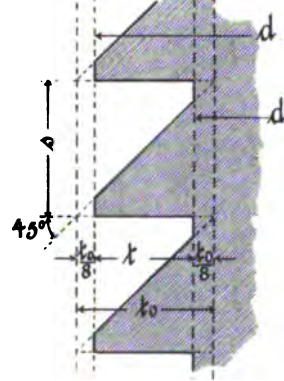


Fig. 6.





Schraubenkonstruktionen.

Fig. 7.

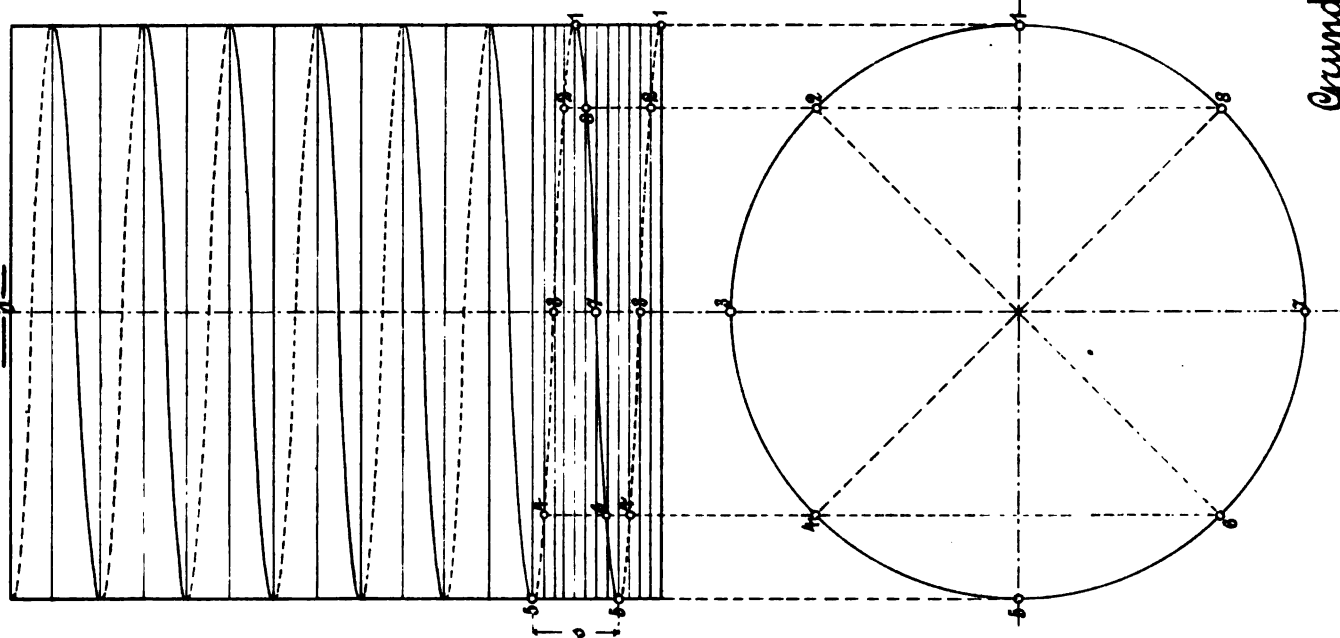


Fig. 8.

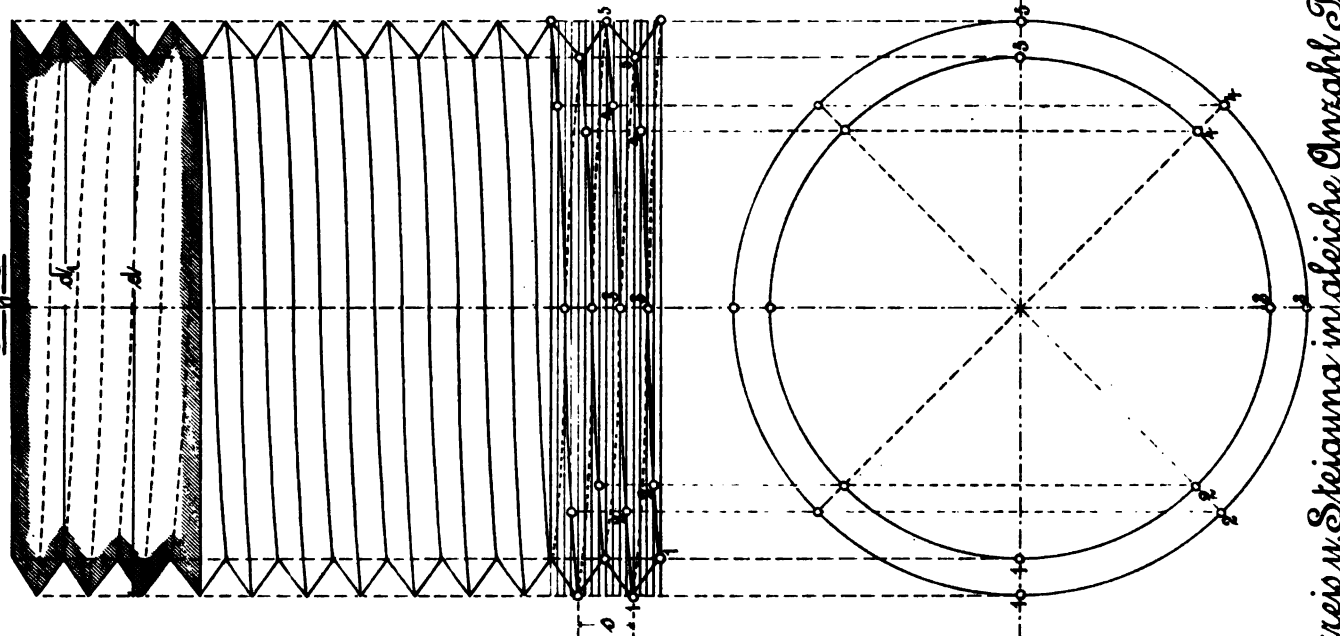
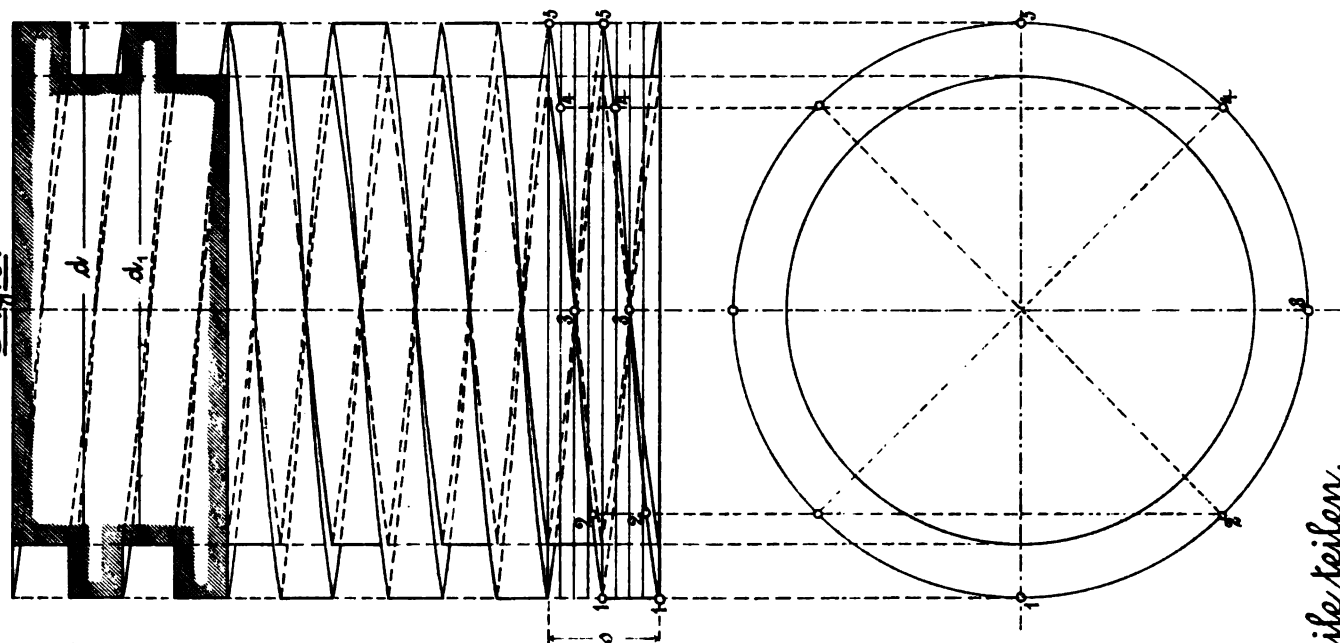


Fig. 9.

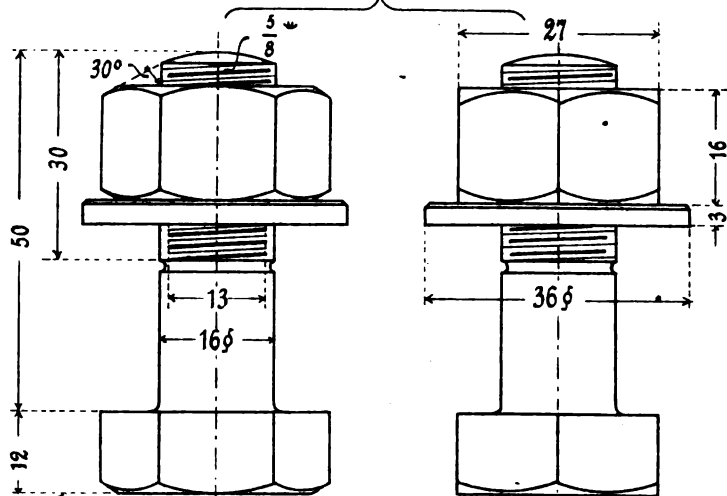


Grundkreis u. Steigung in gleiche Anzahl Teile teilen.



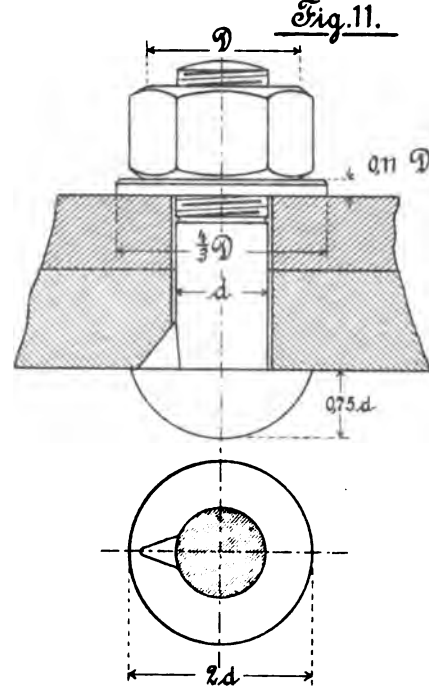
# Schrauben-Verbindungen.

Fig. 10.



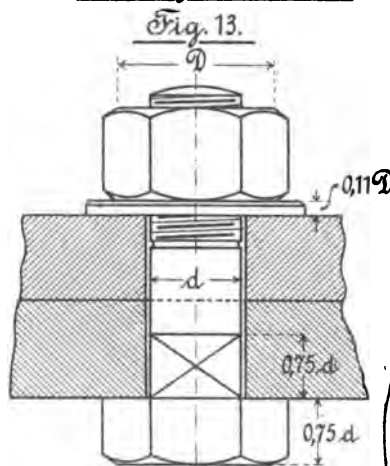
Kugelhkopf.

Fig. 11.



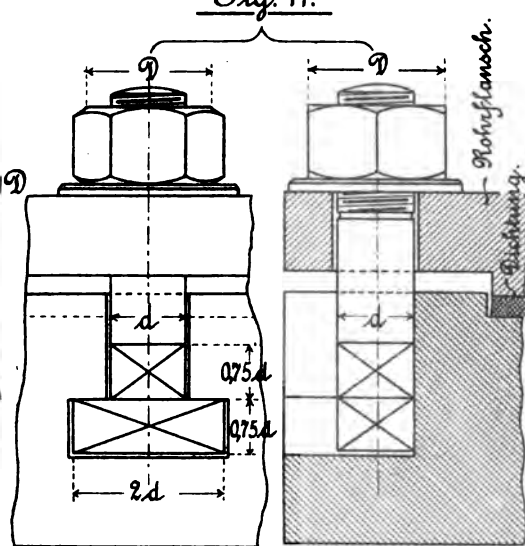
Einlegeschraube.

Fig. 13.



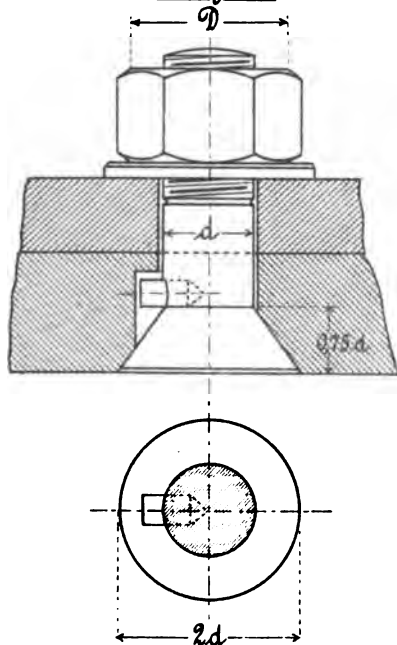
Einhängeschraube.

Fig. 14.



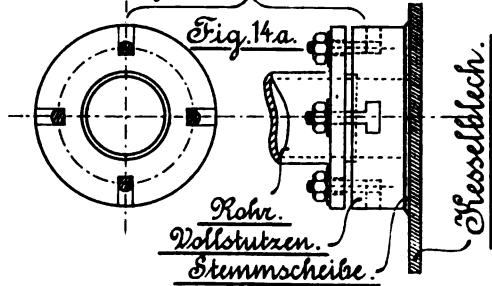
Versenkter Kopf.

Fig. 12.



Anwendung der Eihängeschraube.

Fig. 14a.

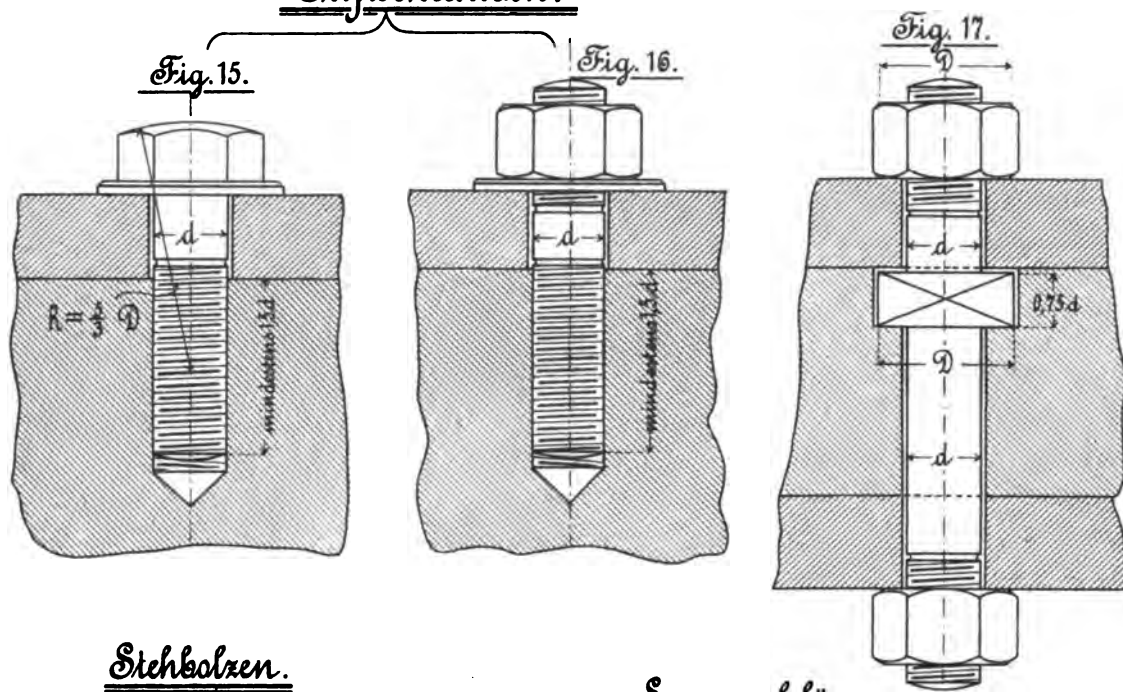




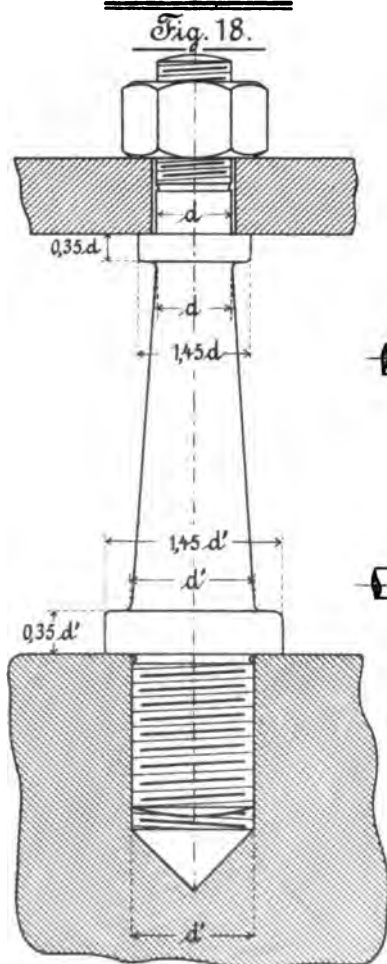


# Schrauben-Verbindungen.

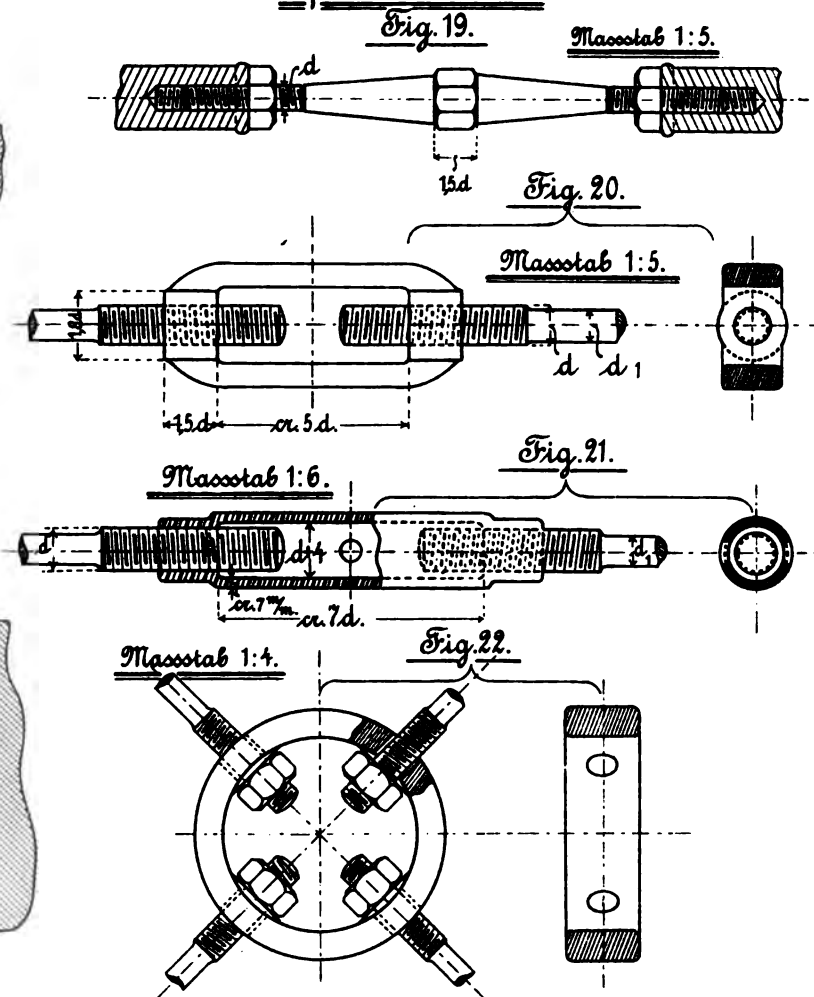
## Stiftschrauben.



## Stichbolzen.



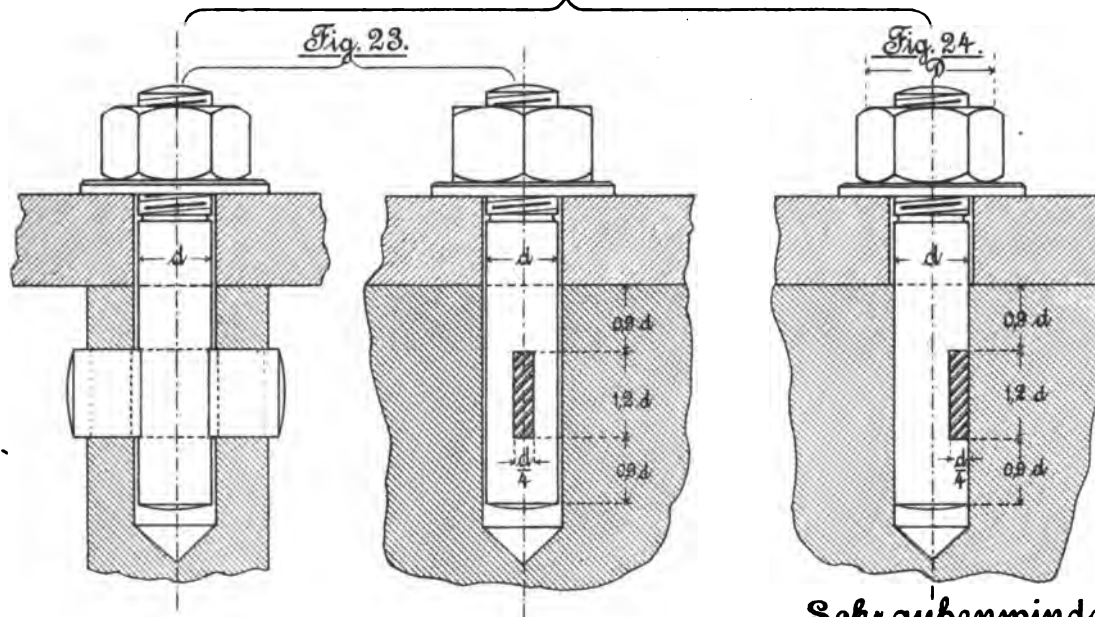
## Spannschlösser.



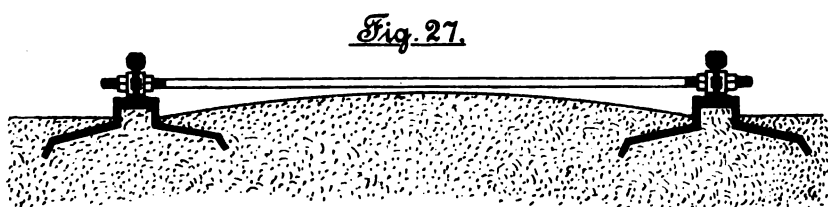
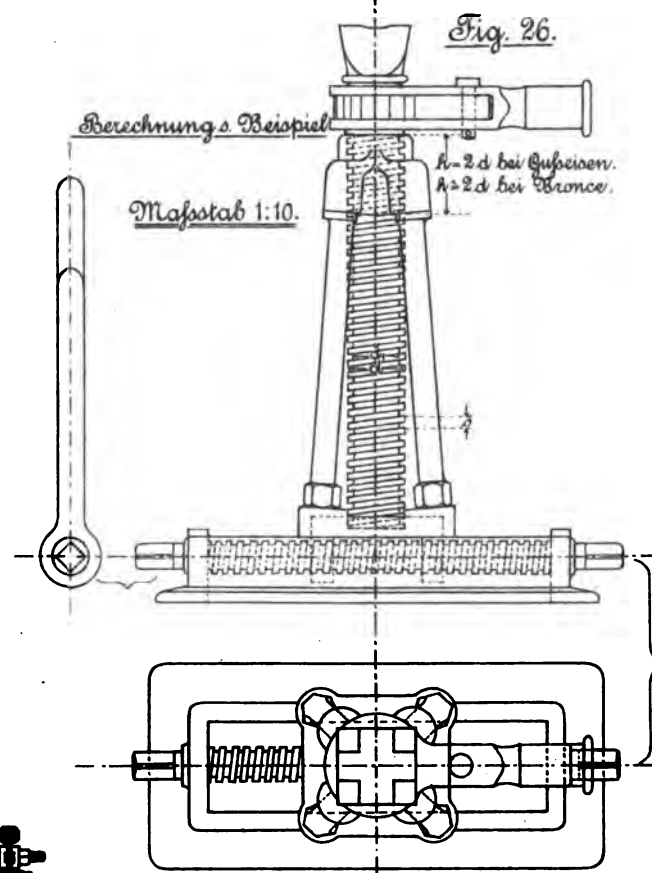
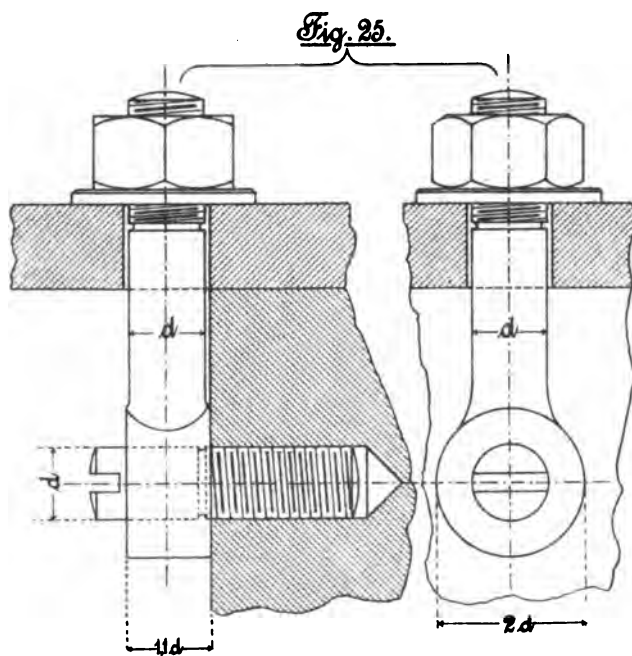


# Schrauben-Verbindungen.

## Schrauben mit Querkeilen.



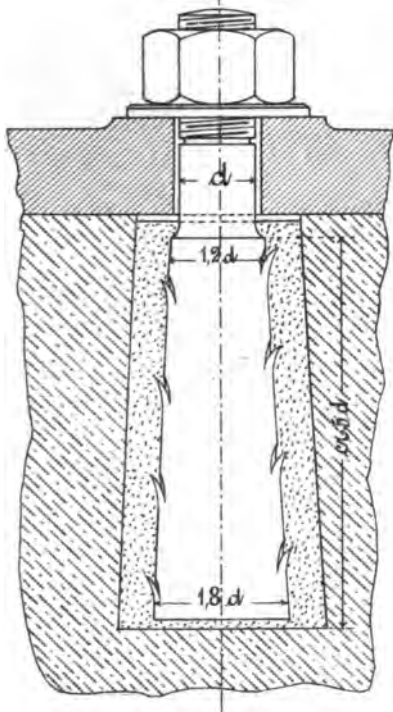
## Schraubenwinde.





## Schrauben - Verbindungen.

Steinschraube.  
Fig. 28.



## Anwendung der Steinschraube.

Fig. 29.

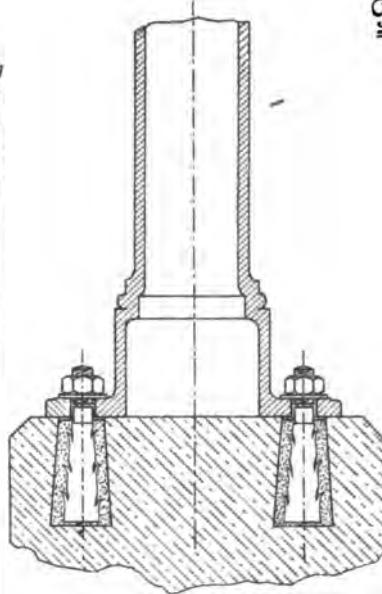
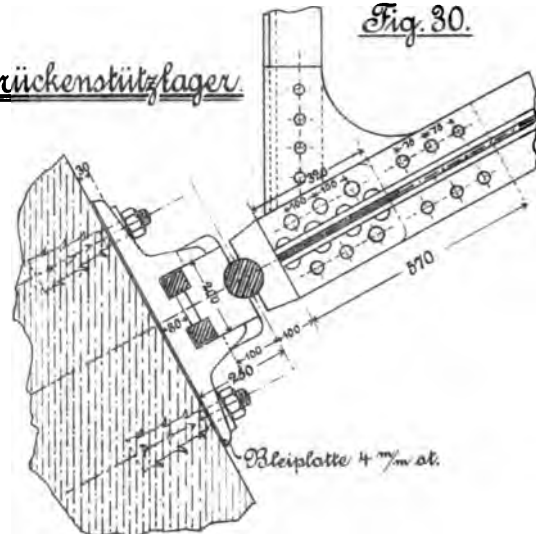
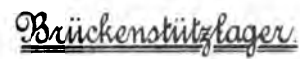
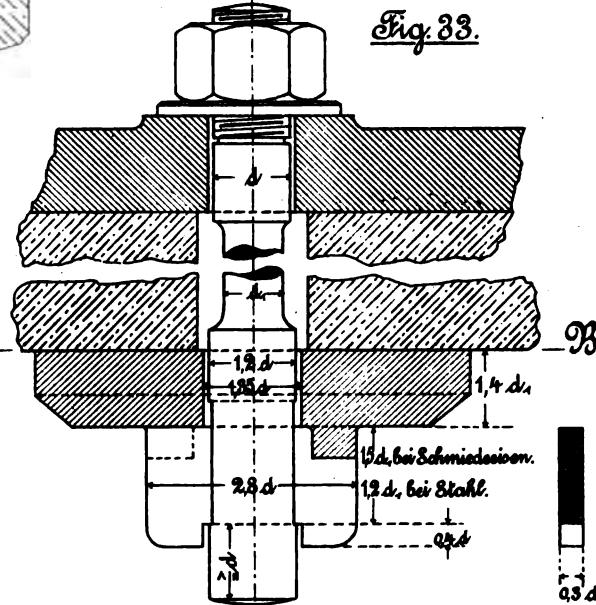


Fig. 30.

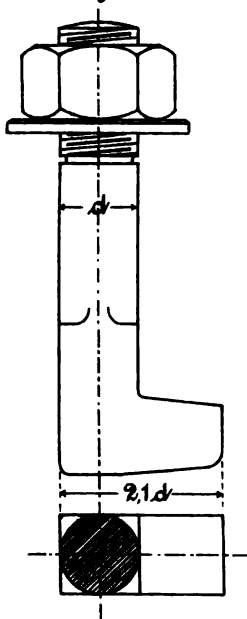


## Fundamentanker.

Fig. 33.

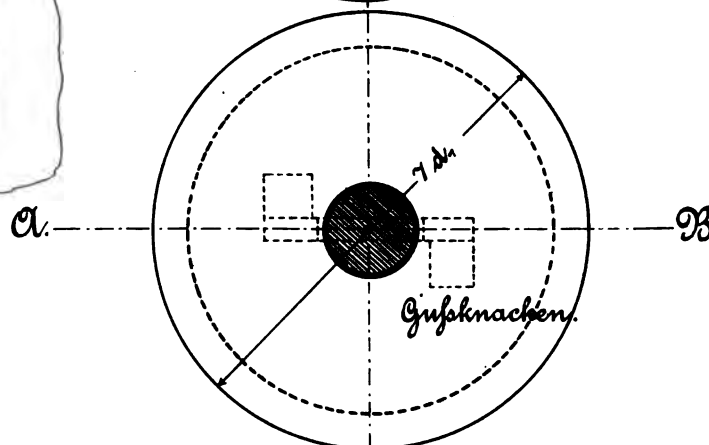
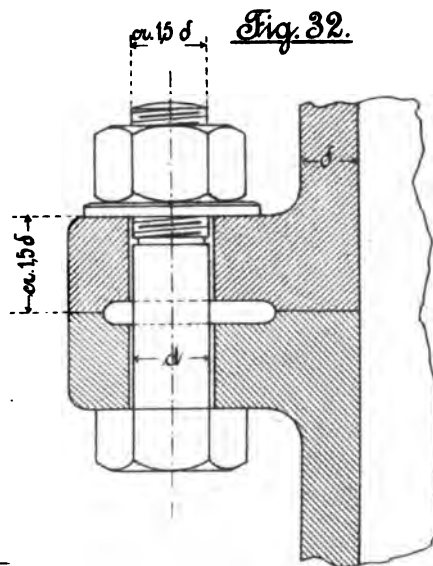


Flakenschraube.  
Fig. 31.



### Schraube am Rohrflansch.

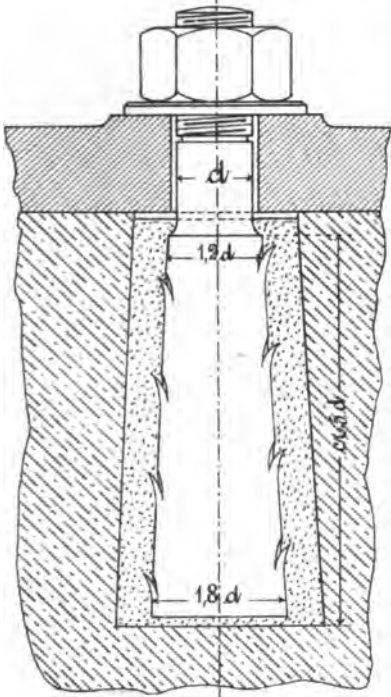
Fig. 32.





## Schrauben - Verbindungen.

Steinschraube.  
Fig. 28.



## Anwendung der Steinschraube.

Fig. 29.

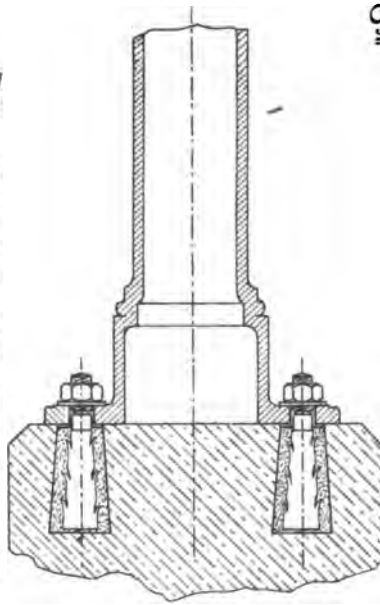
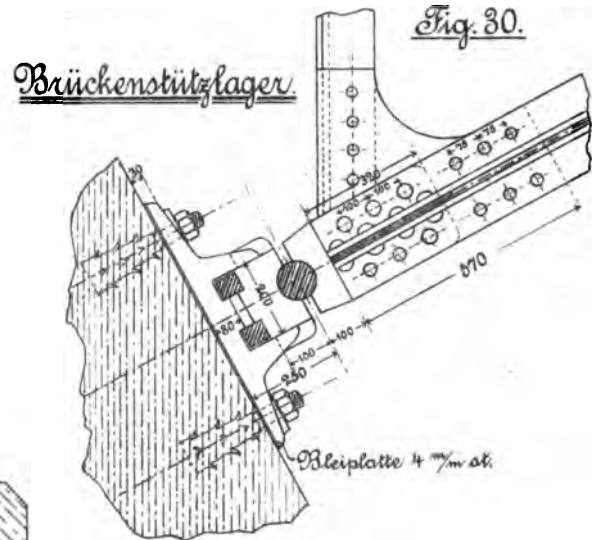
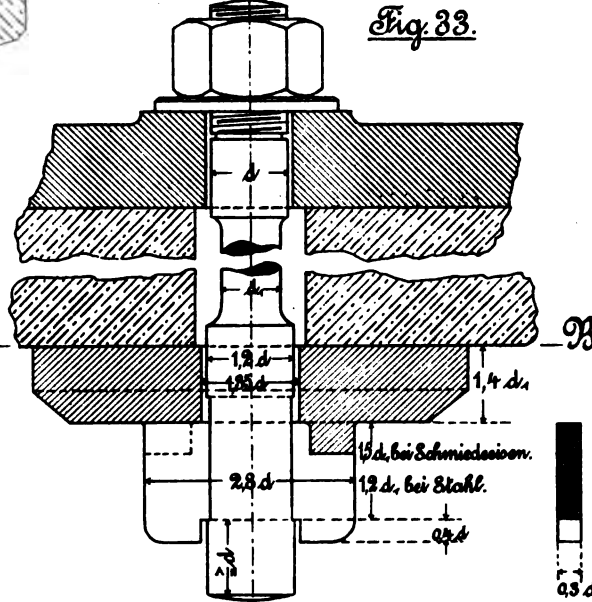


Fig. 30.

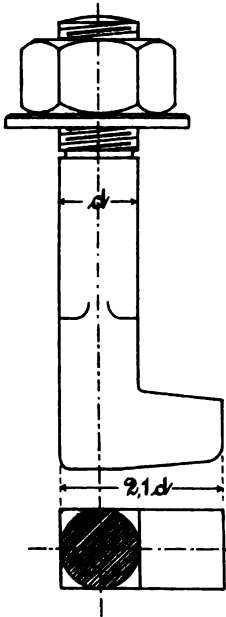


## Fundamentanker.

Fig. 33.

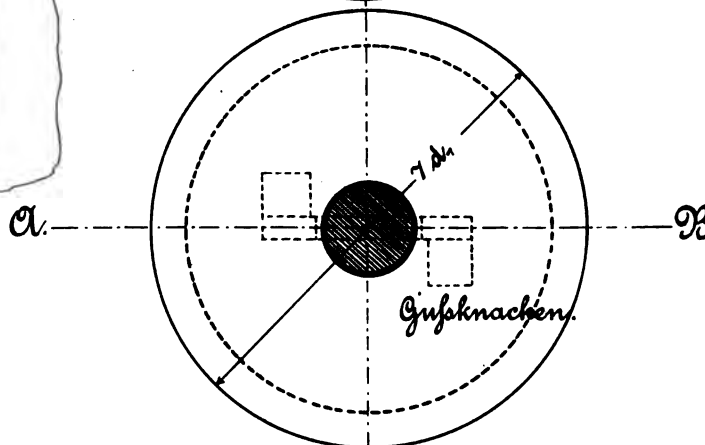
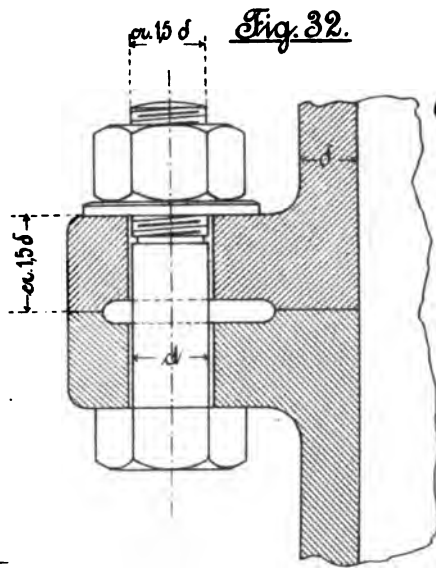


Hakenschraube.  
Fig. 31.



### Schraube am Rohrflansch.

Fig. 32.







# Schrauben-Verbindungen.

Cylinderdeckel.

Fig. 34

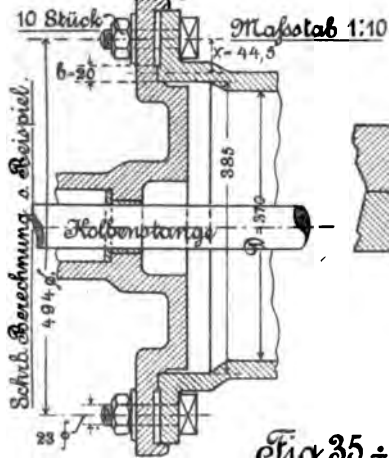


Fig. 35.

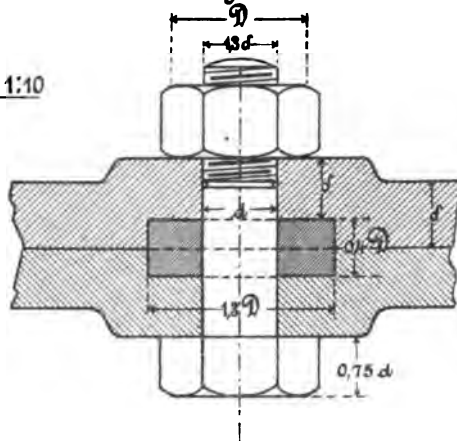


Fig. 36.

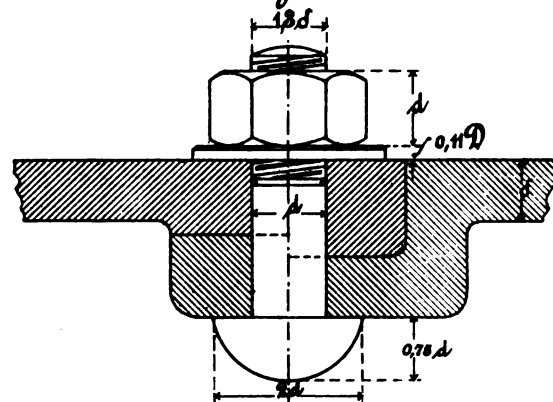
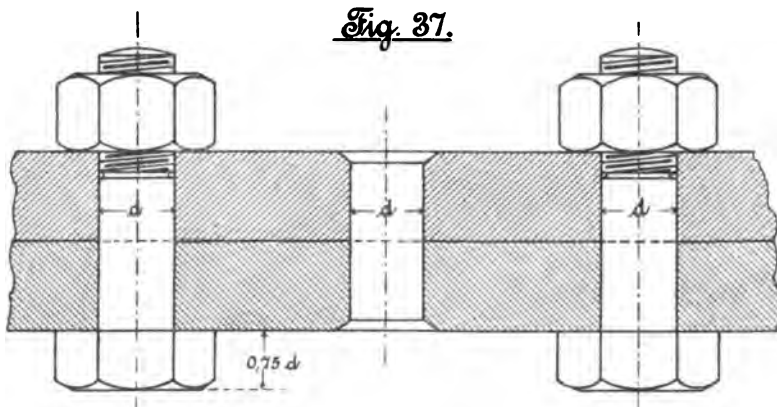


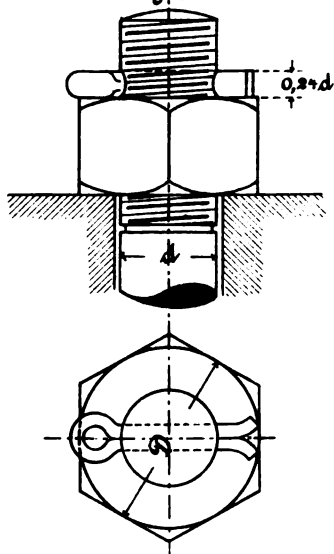
Fig. 35 ÷ 37 sind Vorrichtungen  
welche das Abscheeren der Schrauben verhindern.

Fig. 37.



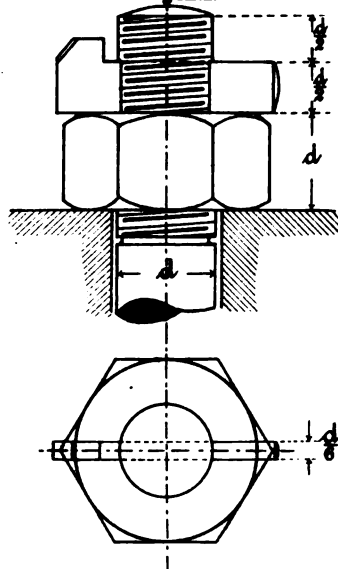
Sicherung durch Splint.

Fig. 38.



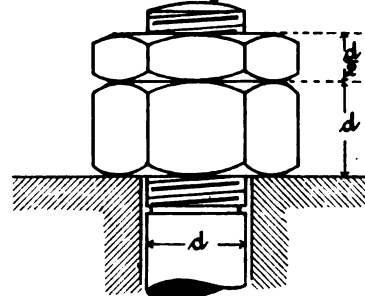
Sicherung durch Querkeil.

Fig. 39.



Sicherung durch Gegenmutter.

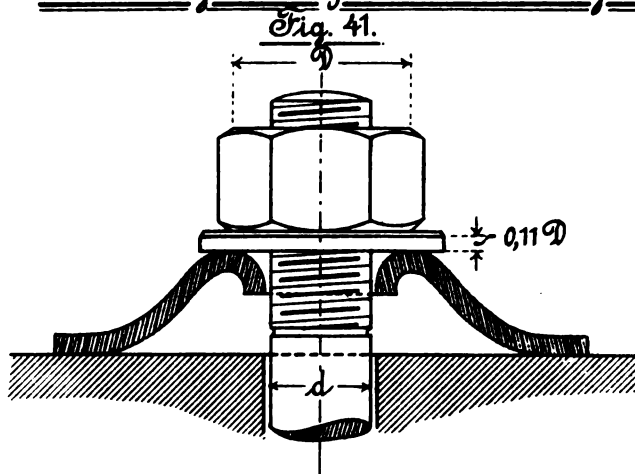
Fig. 40.



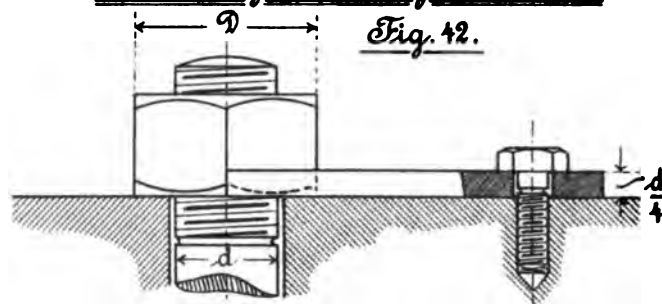


# Schrauben-Verbindungen.

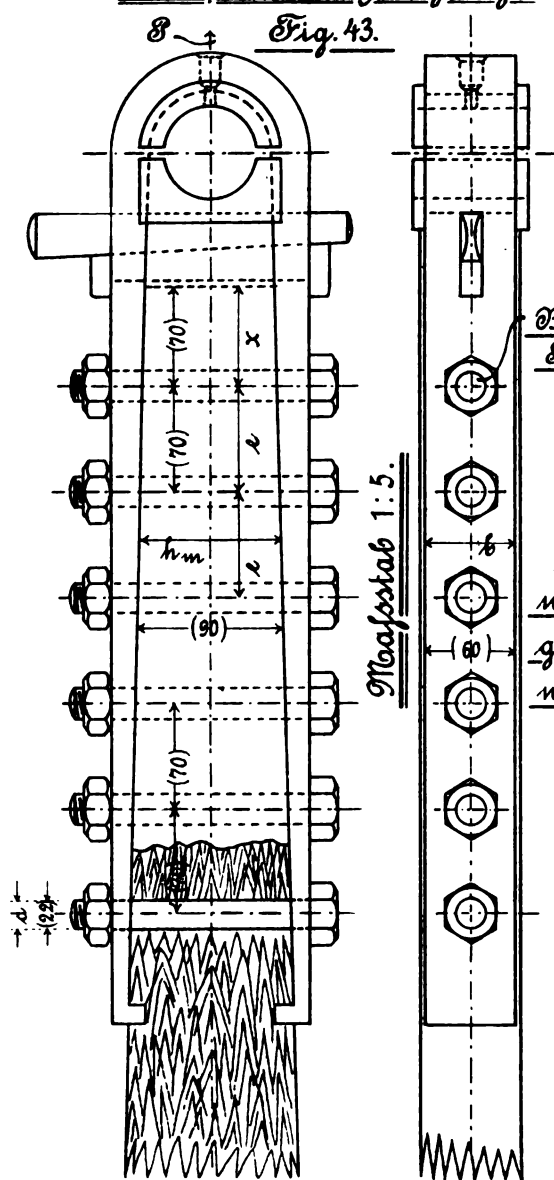
## Sicherung durch federnde Unterlegscheibe.



## Sicherung durch Legeschlüssel.



## Strapsen-Befestigung.



Berechnung der  
Schrb. s. Beispiel.

Fig. 45 wird angewendet,  
wenn Muttern um ein  
gleich-großes Stück gedreht  
werden sollen.

## Penn'sche Sicherung durch Stellschrb.

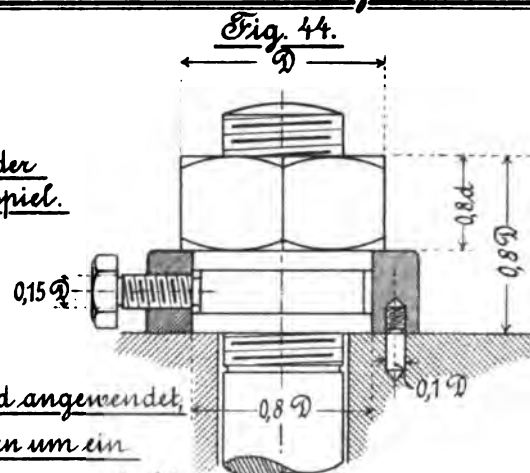
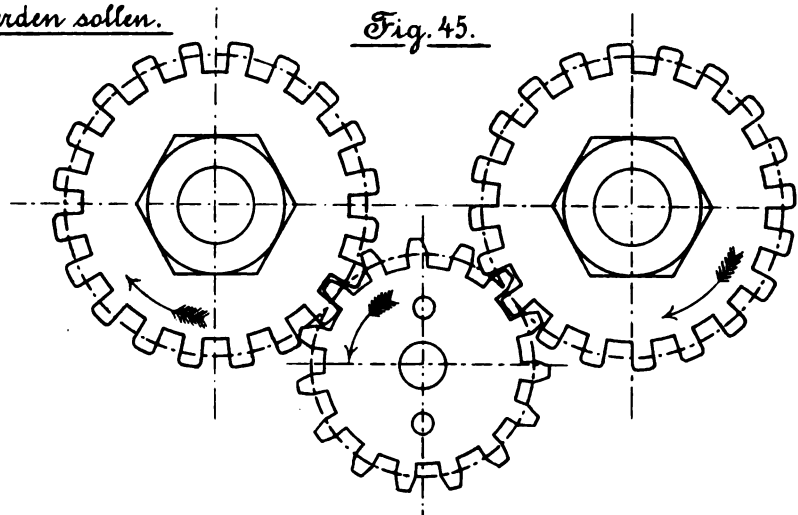


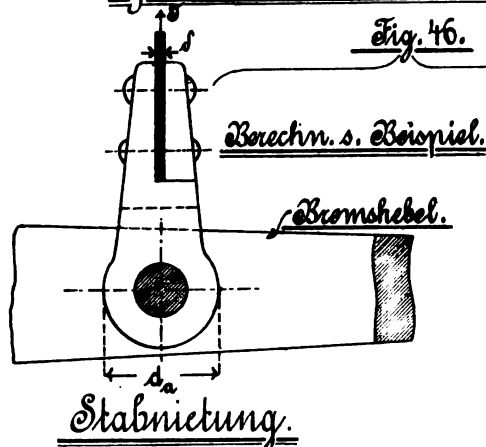
Fig. 45.



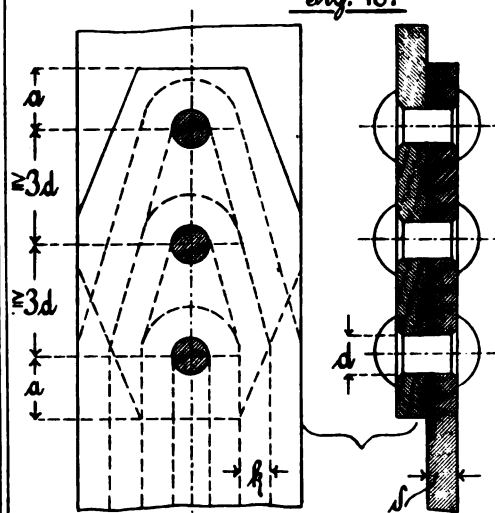


# Nietverbindungen, welche nur fest sein sollen.

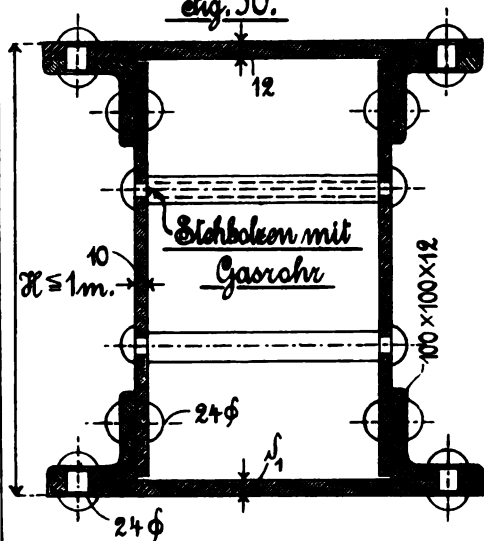
## Bremsband & Charnierstück für eine Bandbremse.



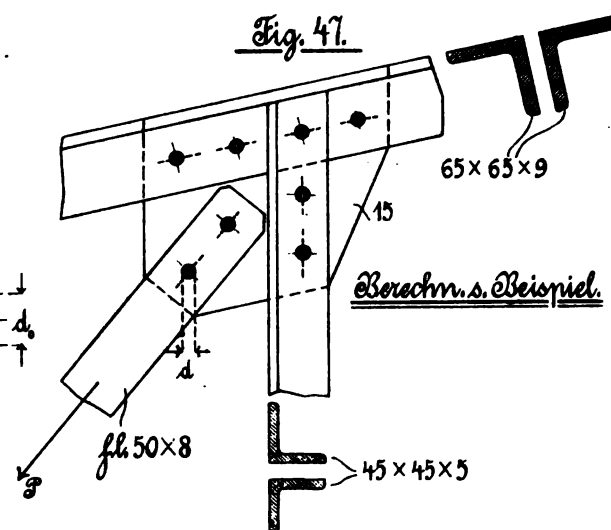
## Stabnietung. s. ein Beispiel Text. Fig. 48.



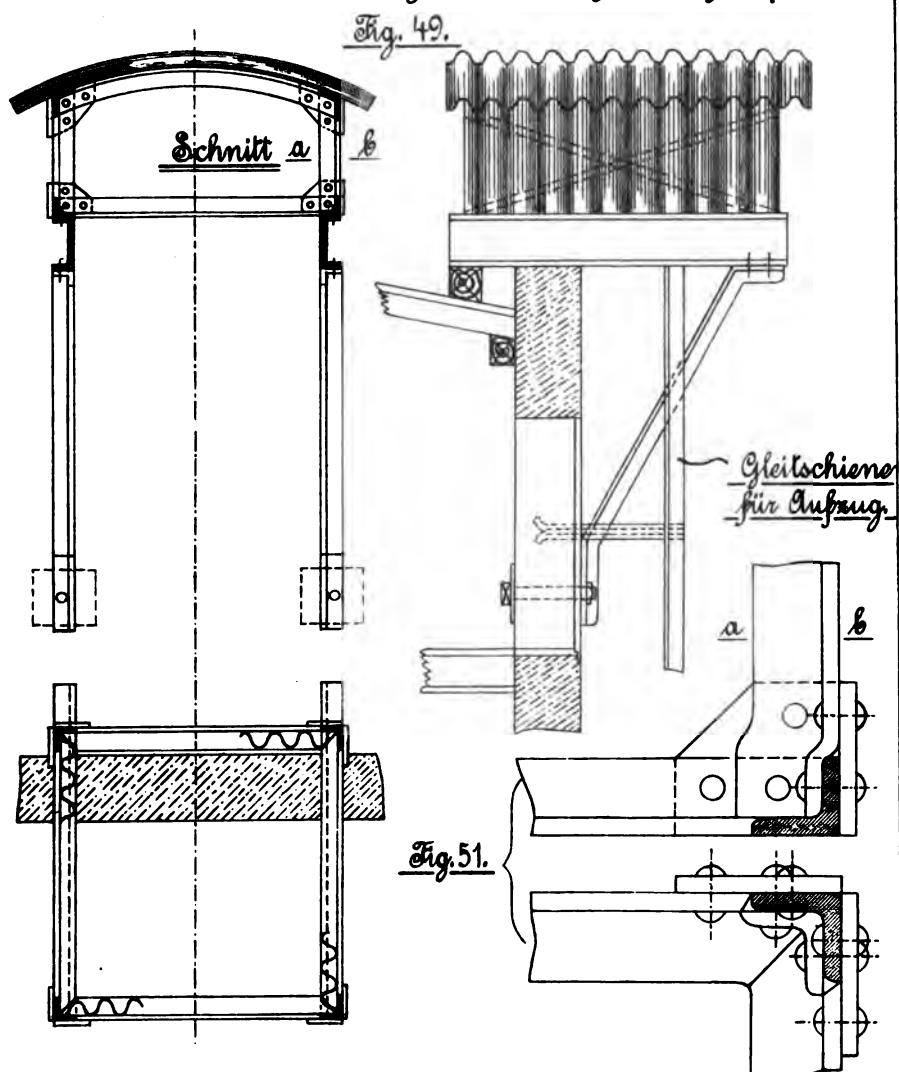
## Kastenträger. Fig. 50.



## Vernietung an einem Dache.



## Dachausbau für einen Handaufzug.









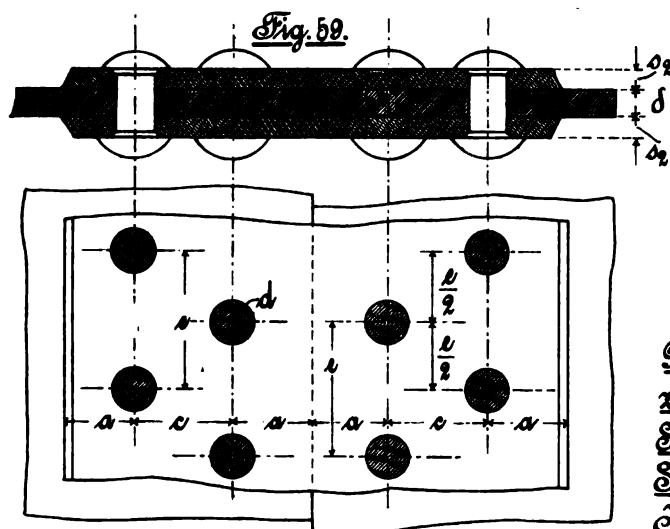


# Vernietungen, welche fest & dicht sein sollen.

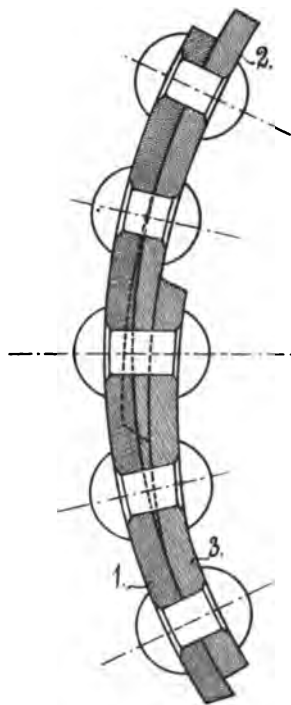
## 2seitige Laschennietung.

2reihige, 2schnittige Naht.

$$n=2; \alpha=2.$$

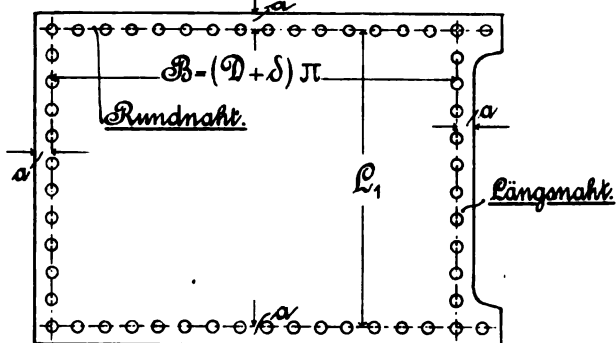


Schnitt a-b



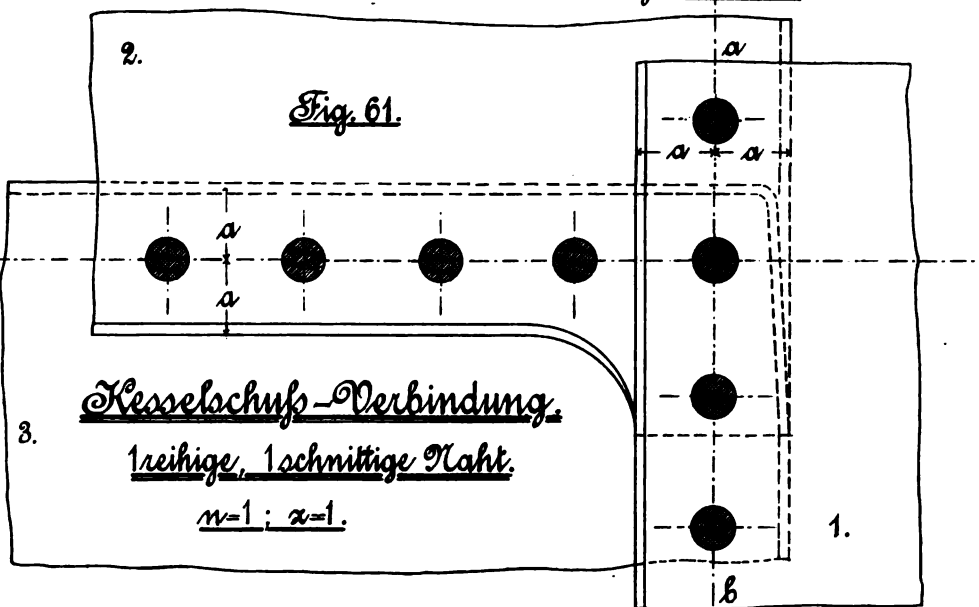
## Abwicklung eines cylindrischen Kesselschlusses.

Fig. 60.



Bei mehrreihiger Längsnaht ist  $B$  die Entfernung zwischen der Mitte der äuß. Nietreihe an der einen Seite & der Mitte der innern Nietreihe an der andern Seite des Bleches.

Ist die Längsnaht gelascht, wie Fig. 58 zeigt, so ist unter  $B$  die ganze Breite der Blechplatte zu verstehen.  $B$  sowie  $L_1$  sind in gleiche Teile einzuteilen.

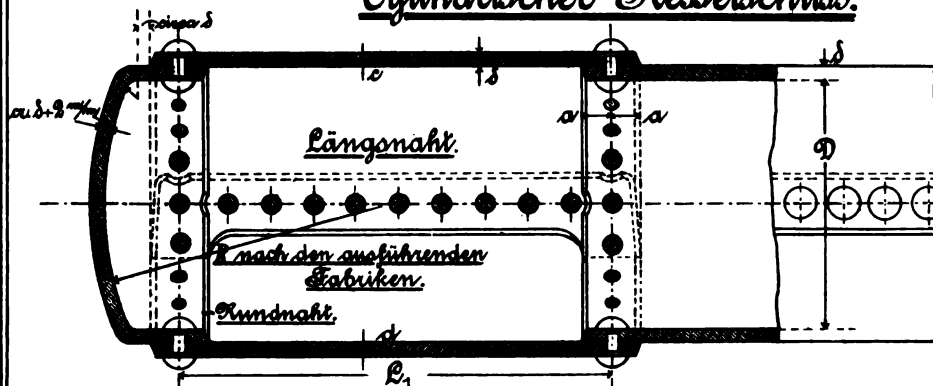


## Kesselschluß-Verbindung.

1reihige, 1schnittige Naht.

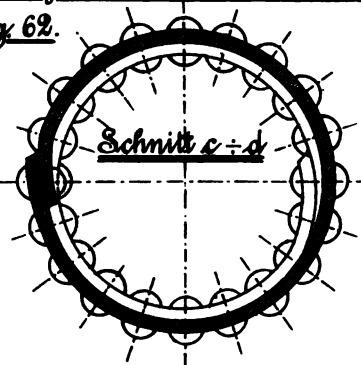
$$n=1; \alpha=1.$$

## Cylindrischer Kesselschluß.



Längsnahte sind um 180° versetzt.

Fig. 62.





Vernietungen, welche fest & dicht sein sollen.

Konischer Fesselschuss.

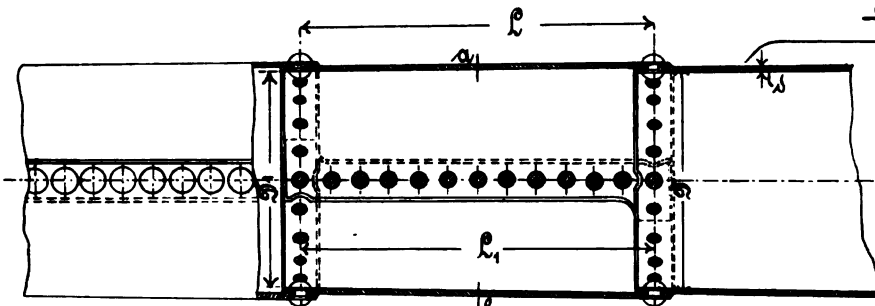


Fig. 63.

Schnitt a.b.

Abwicklung eines konischen Fesselschusses.

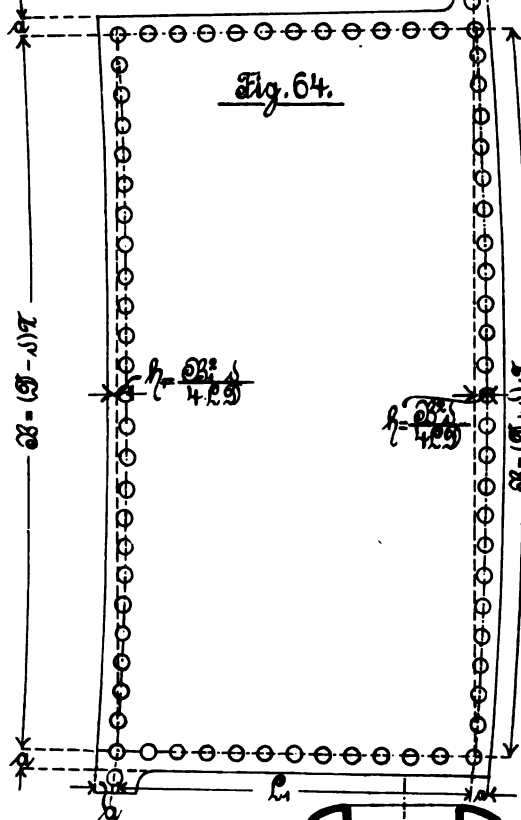


Fig. 64.

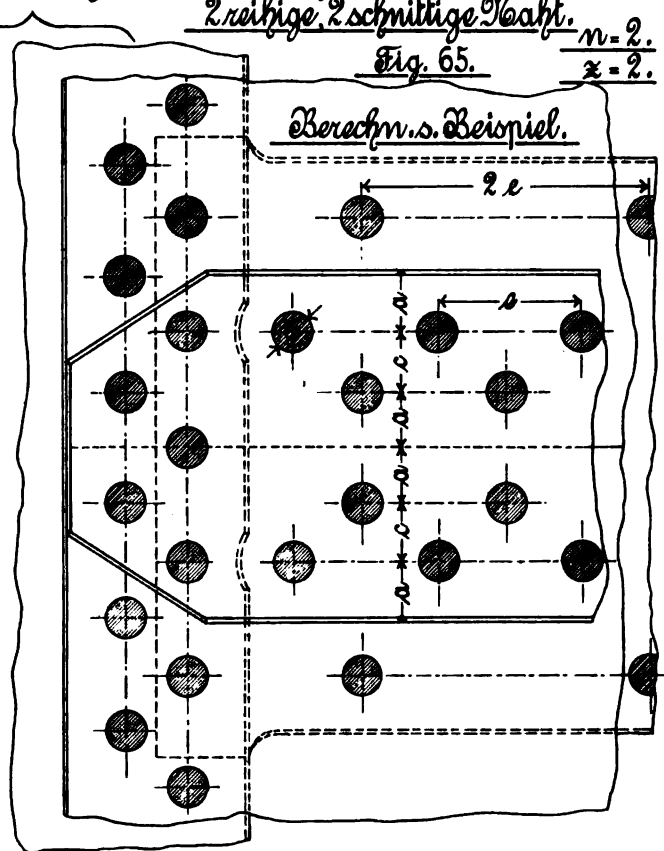
2seitige Raschennietung für einen Dampfkessel

2reihige, 2schnittige Niet.

$$\frac{n=2.}{x=2.}$$

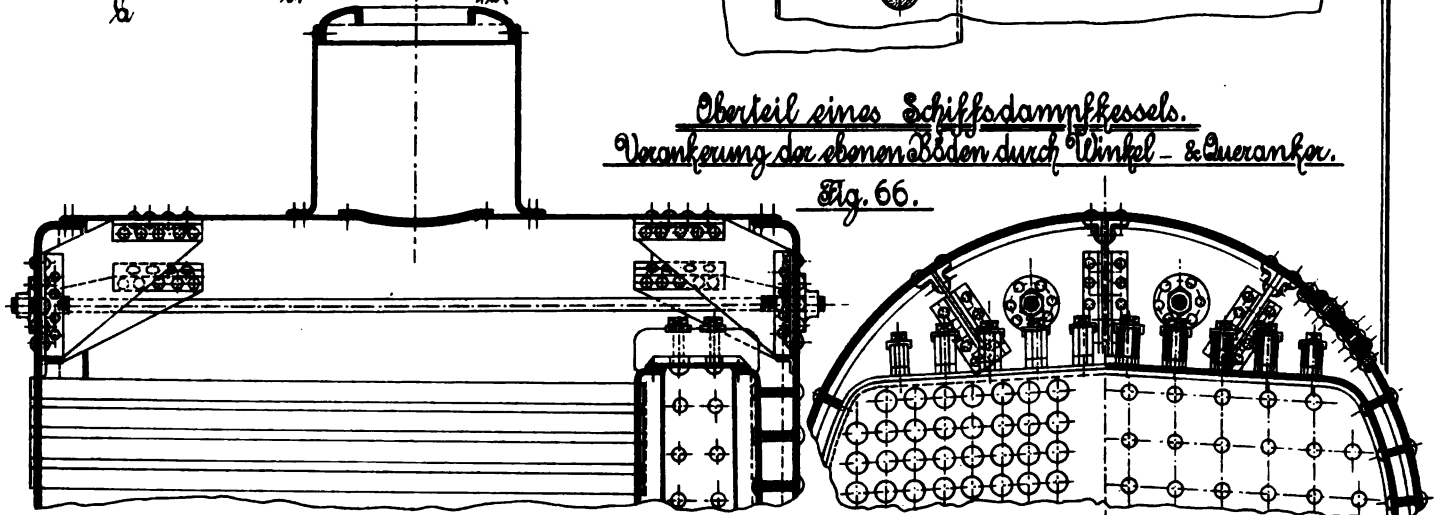
Fig. 65.

Berechn. s. Beispiel.



Oberteil eines Schiffsdampfkessels.  
Verankerung der oberen Böden durch Winkel- & Queranker.

Fig. 66.













Abwicklung des Dommantels.

Fig. 71.

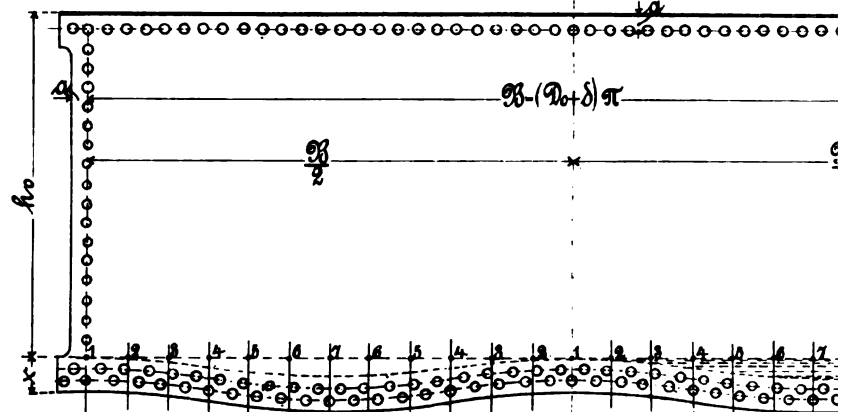
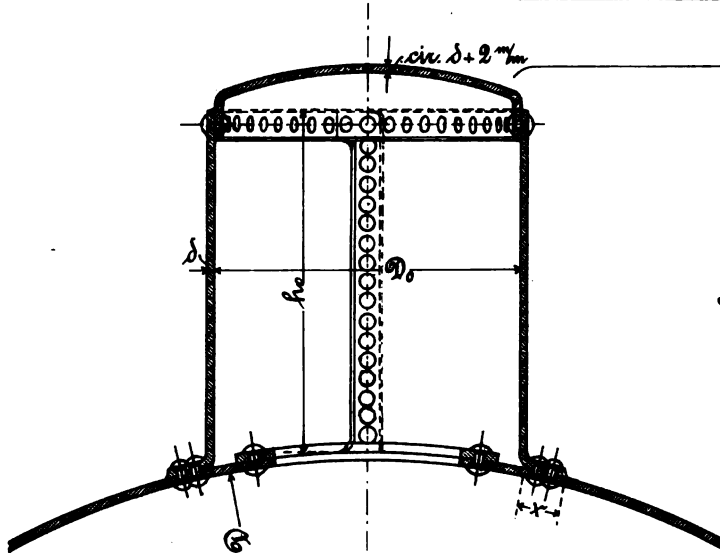
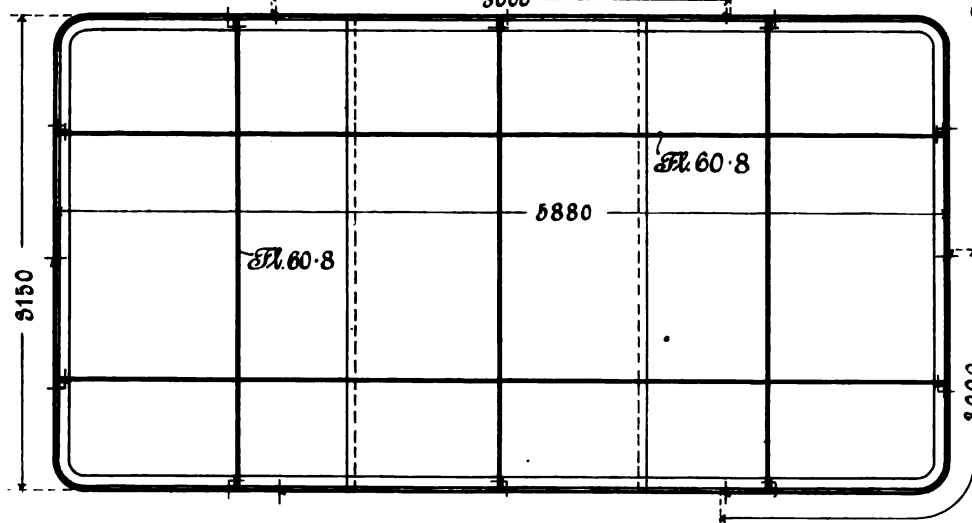
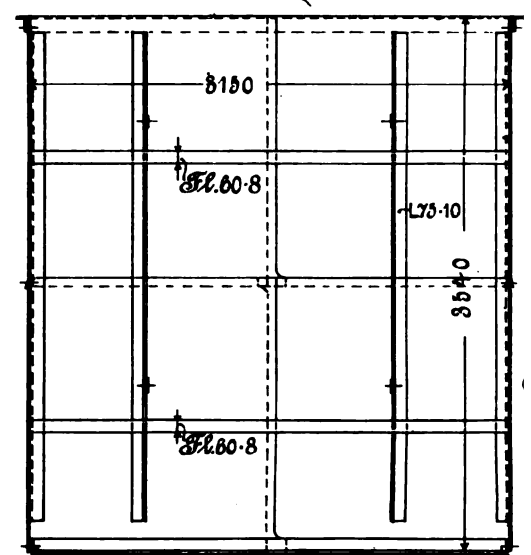
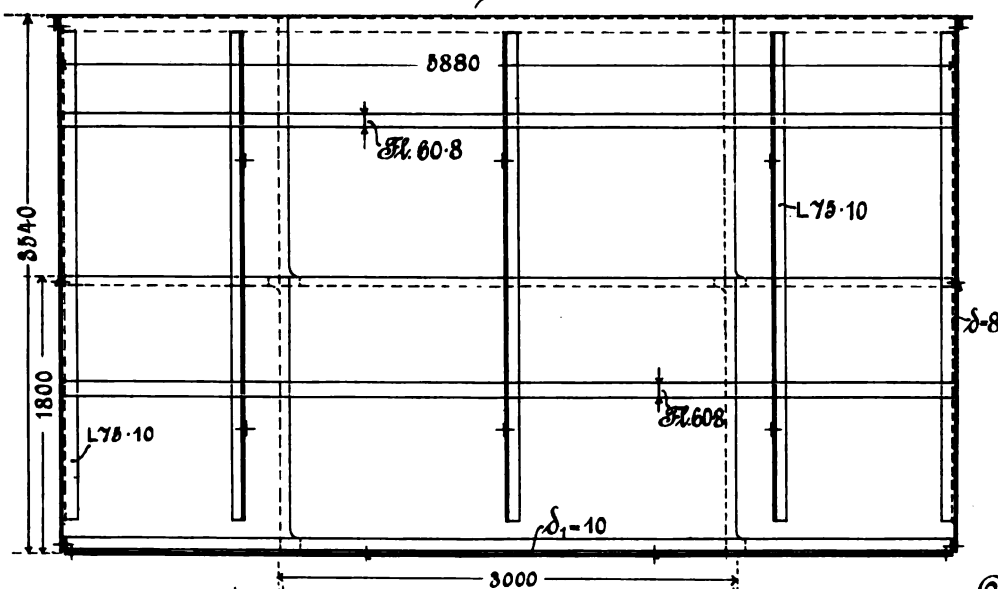


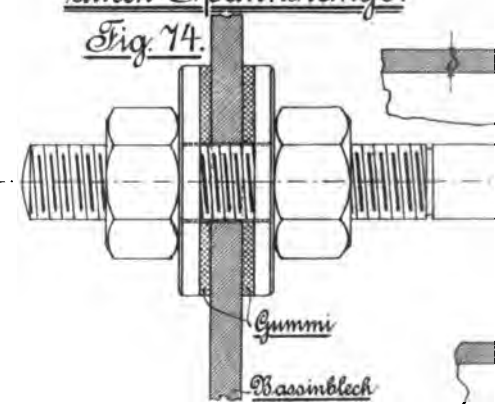
Fig. 72.



Verankerung der Wasserkastenmänn

durch Spannstange.

Fig. 74.



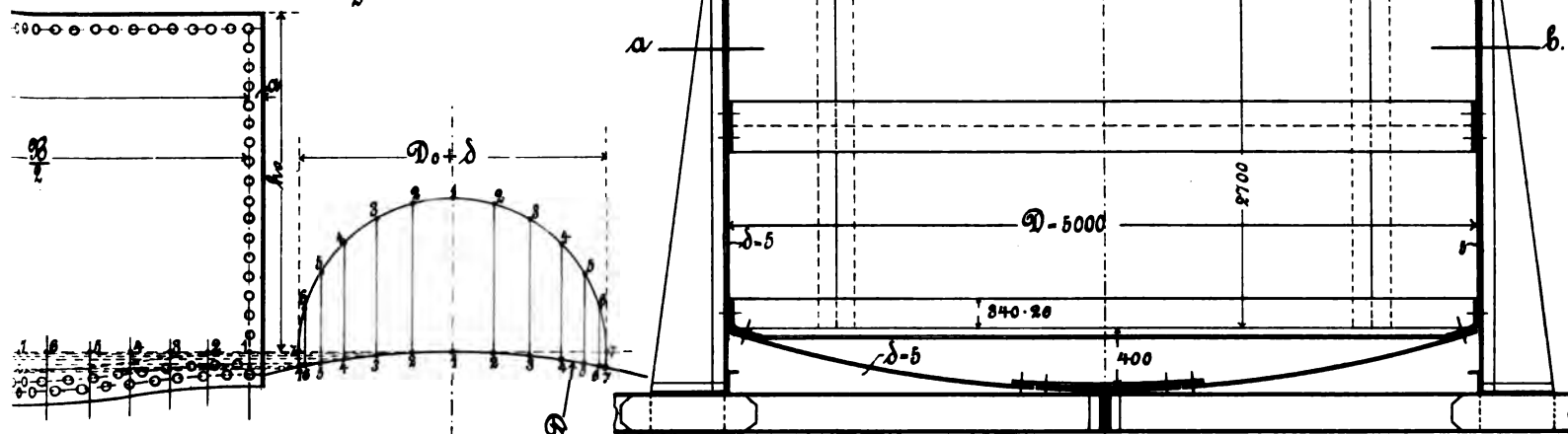
elche fest & dicht sein sollen.

Wasserturm-Reservoir.

Maßstab 1:50.

Fig. 72.

Halbkreis über  $D_0 + \delta$  ist in gleiche Teile geteilt,  
in ebensoviel Teile ist  $\delta$  zu teilen.



Kastenförmiger Wasserbehälter.

Fig. 73.

Maßstab 1:50.

Bei dieser Art von Behältern  
daß  $\delta$  nicht unter 4 mm & das Bodenblech  $\delta \geq \delta$  sein.

Flammrohr-Versteifungen Fig. 75-77.

Fig. 75.

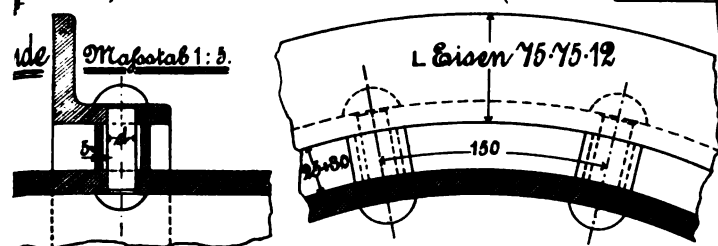


Fig. 76.

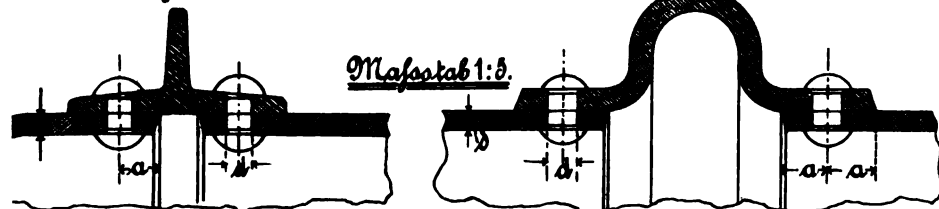
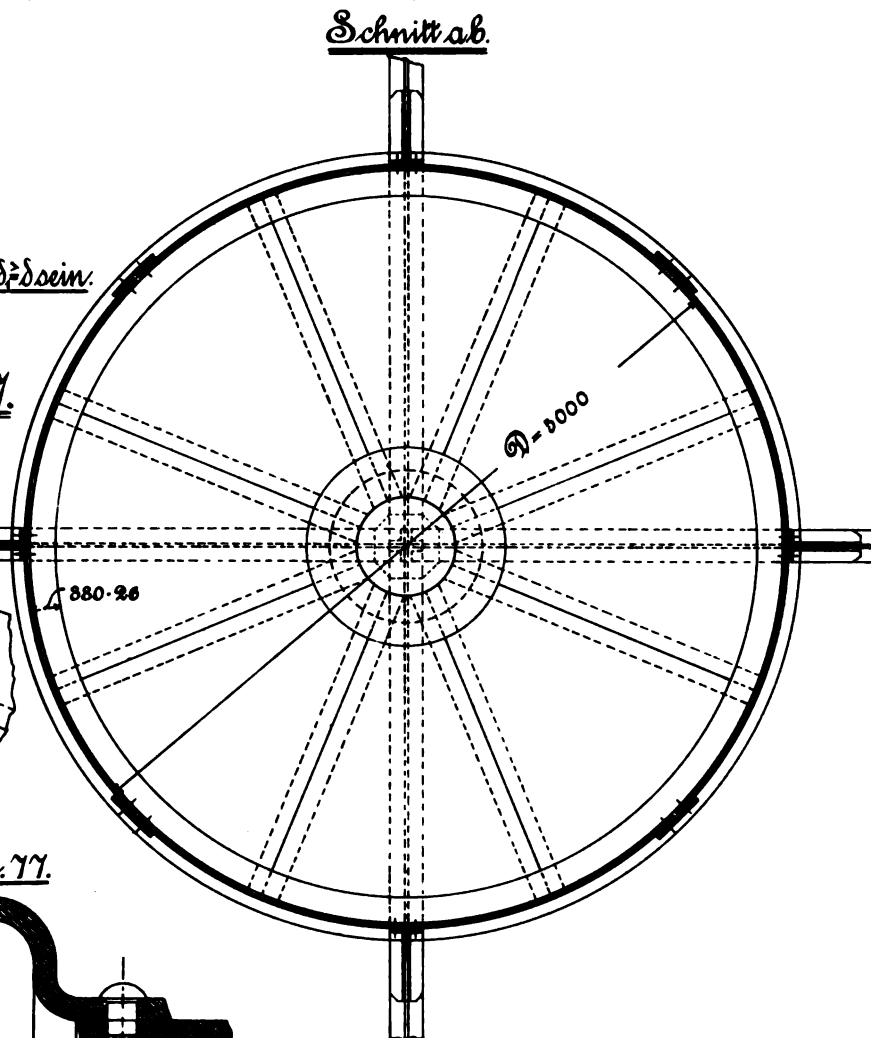


Fig. 77.





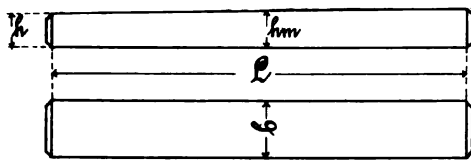


# Keile & Keile

## Längskeile.

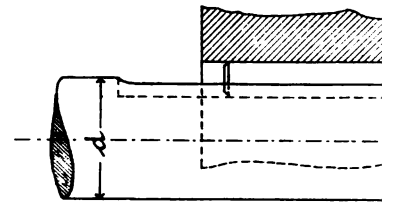
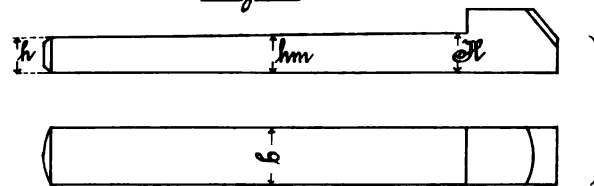
ohne Nase.

Fig. 78.



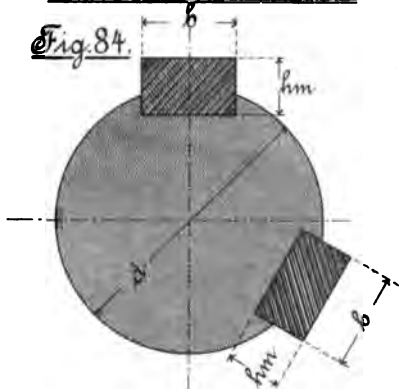
mit Nase.

Fig. 79.



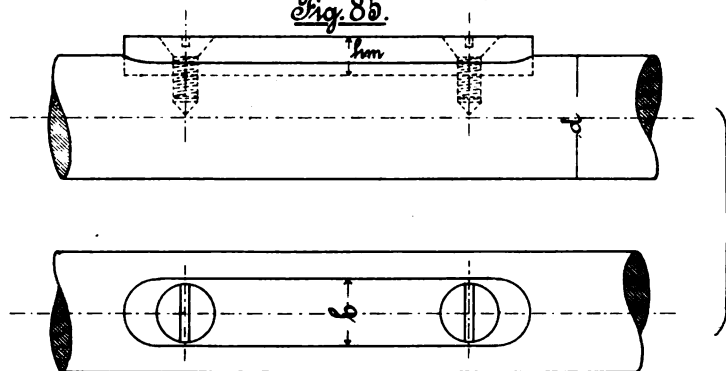
Keile um 120° versetzt.

Fig. 84.



Feder ohne Charn.

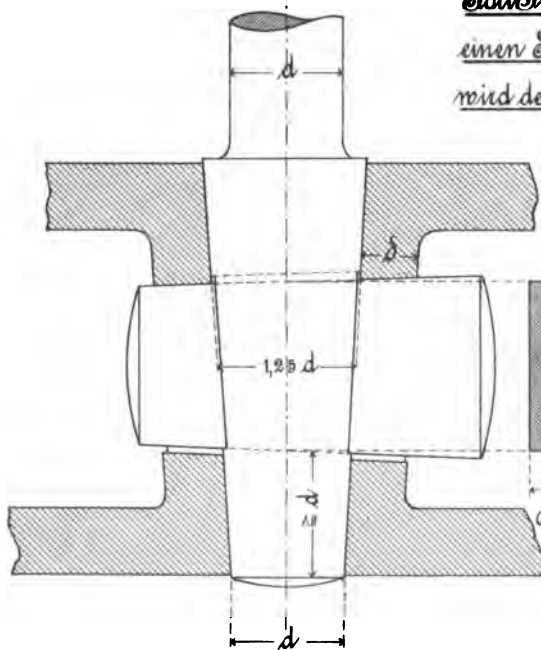
Fig. 85.



Schmied. Stange &

schmied. Keil.

Fig. 86.



Soll Fig. 86 statt des schmied. -  
einen Stahlkeil erhalten, so  
wird derselbe wie Fig. 87 zeigt.

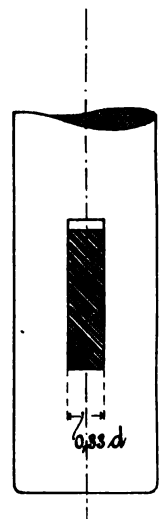
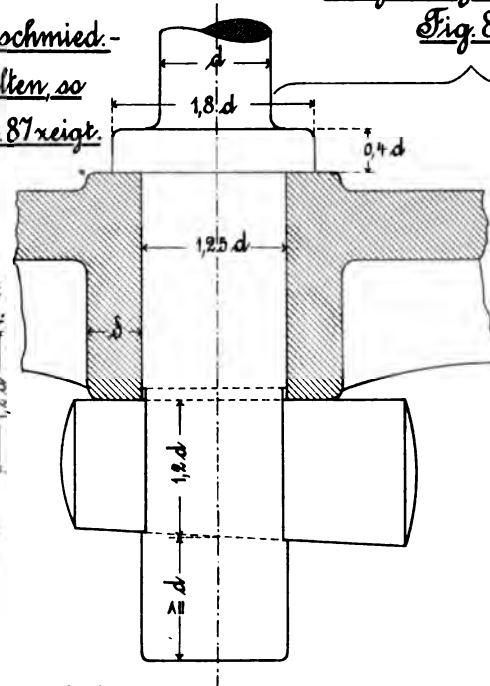
Stahlkeil.

Fig. 87.



Zugstangenbefestigung.

Fig. 88.



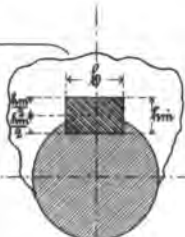
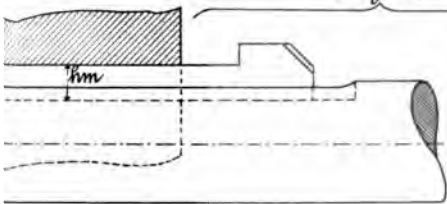
$\delta = 0,5d$  bei gußeiserner Hülse.

$\delta = 0,3d$  bei schmiedeeiserner Hülse.

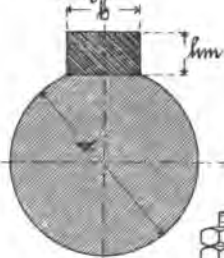
Verbindungen.

Anwendungen der Längskeile.

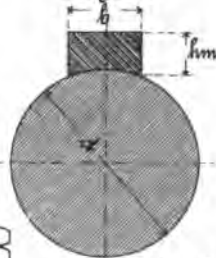
Als Nutkeil.  
Fig. 80.



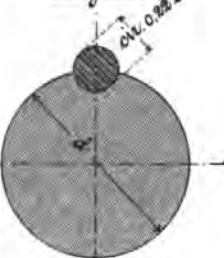
Als Flachkeil.  
Fig. 81.



Als Hohlkeil.  
Fig. 82.



Rundkeil.  
Fig. 83.



$$b = 0,25 d + 4.$$

$$h_m = 0,6 b.$$

Keilsicherungen Fig. 90 & 91.

Fig. 90.

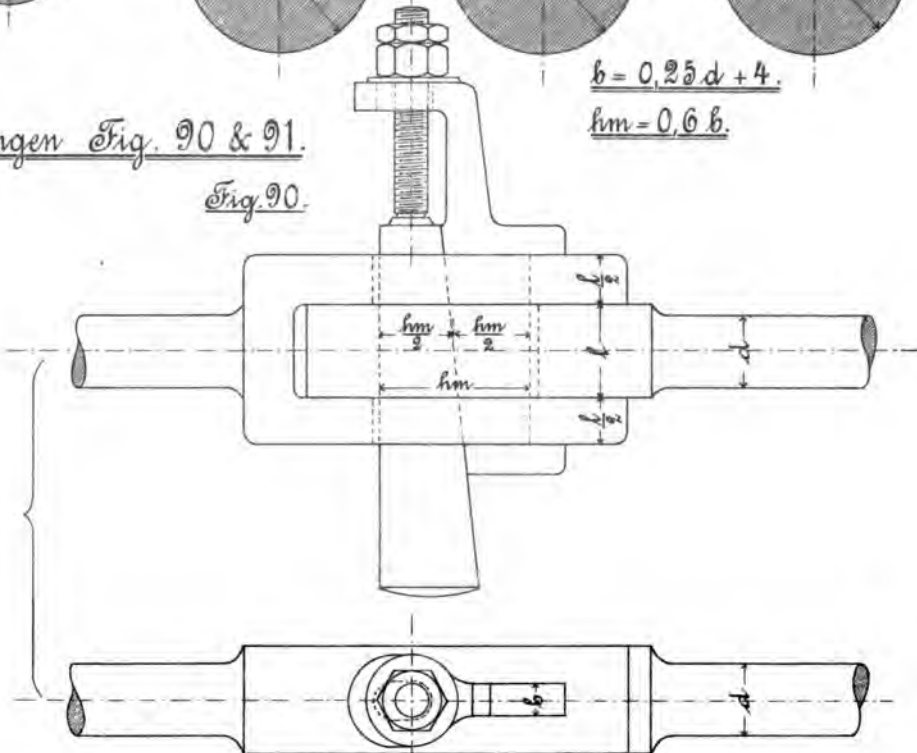
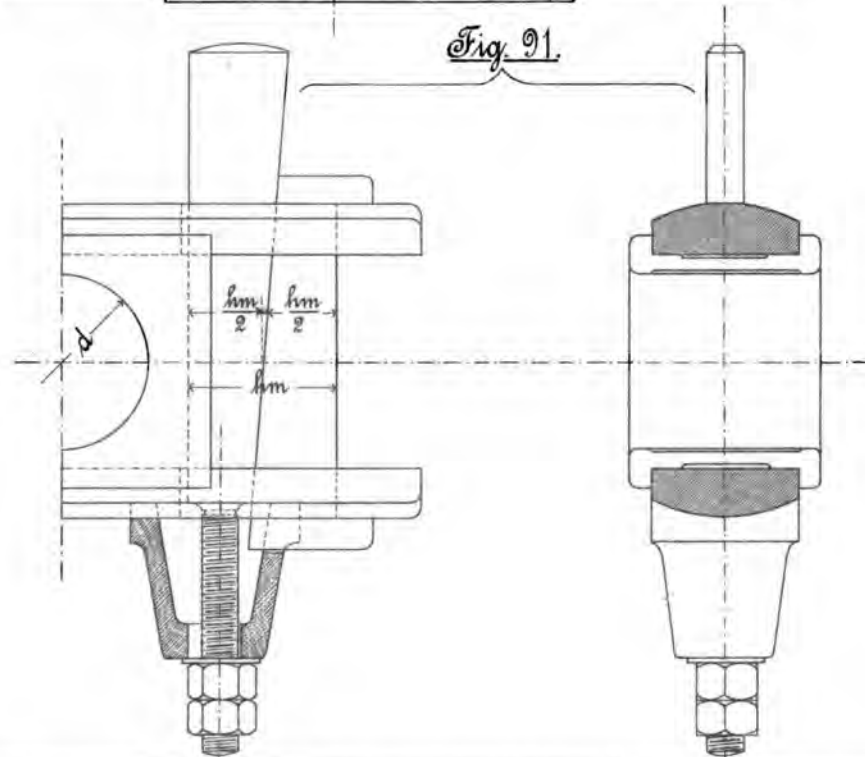
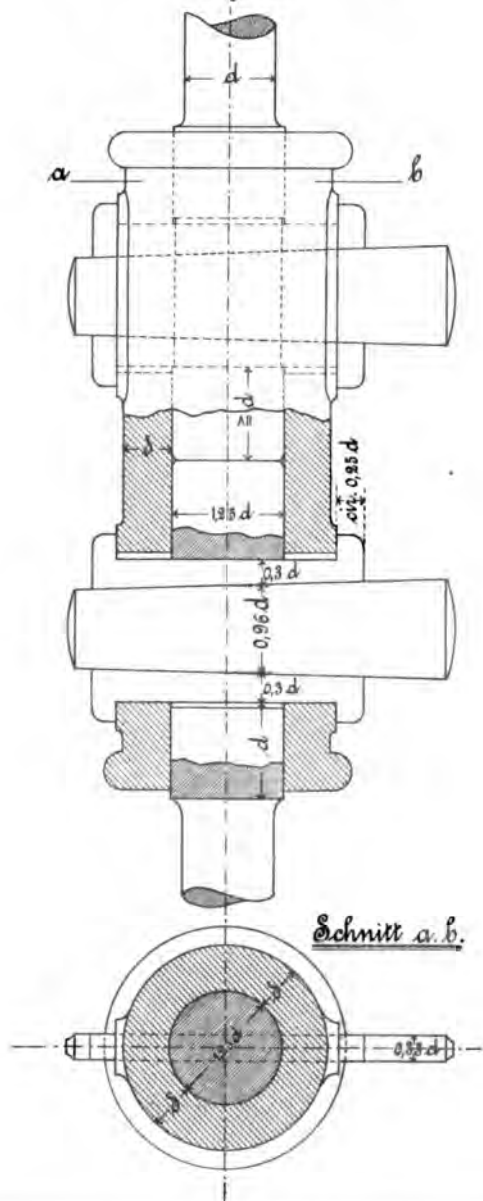
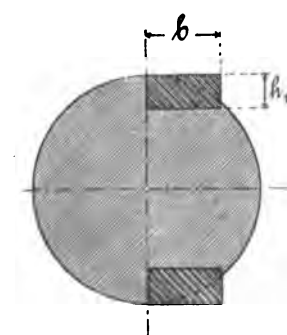
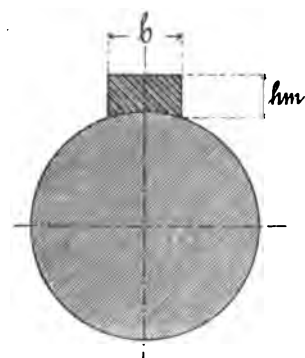
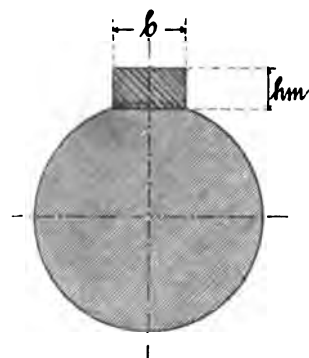
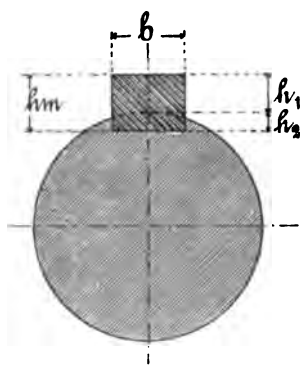


Fig. 91.



Stangenverbindung.  
Fig. 89.



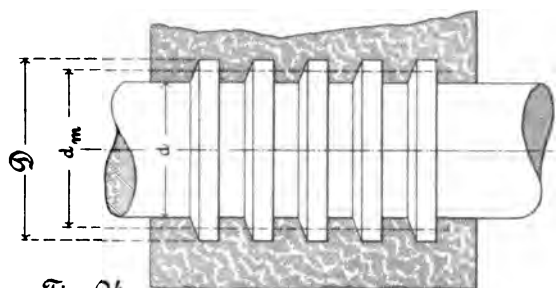


## Nuten- und Keiltabelle

nach den Ausführungen der Maschinenfabrik A. Spengler,  
M.-Gladbach.

Bohrung  d mm	Nutenkeil				Flachkeil		Hohlkeil	
	Breite b mm	Höhe h <sub>m</sub> mm	h <sub>1</sub> mm	h <sub>2</sub> mm	Breite b mm	Höhe h <sub>m</sub> mm	Breite b mm	Höhe h <sub>m</sub> mm
20 ÷ 25	8	7	5	2	8	5	8	5
26 ÷ 30	10	7,5	5	2,5	10	5	10	5
31 ÷ 40	12	8,5	6	2,5	12	6	12	6
41 ÷ 50	15	10	7	3	15	6	15	6
51 ÷ 60	18	12	8	4	18	7	18	8
61 ÷ 75	20	12	8	4	20	7	20	8
76 ÷ 90	25	15	10	5	25	9	25	10
91 ÷ 105	30	16	11	5	30	10	30	11
106 ÷ 120	35	18	12	6	35	12	35	12
121 ÷ 140	40	20	13	7	40	14	40	13
141 ÷ 160	45	21	14	7	45	14	45	14
161 ÷ 180	50	23	15	8	50	17		
181 ÷ 200	55	26	17	9	55	17		
201 ÷ 220	60	28	18	10	60	20		
221 ÷ 240	65	30	20	10	65	20		
241 ÷ 260	70	32	21	11	70	23		
261 ÷ 280	75	35	23	12	75	23		
281 ÷ 300	80	36	24	12	80	27		
301 ÷ 320	85	38	25	13	85	27		
321 ÷ 340	90	40	26	14	90	30		
341 ÷ 360	100	40	26	14	100	30		
361 ÷ 380	110	42	27	15	110	34		
381 ÷ 400	115	44	28	16	115	34		

Fig. 92.  
Kammzapfen.



Zapfen.

Fig. 93.  
Kugelpapfen.

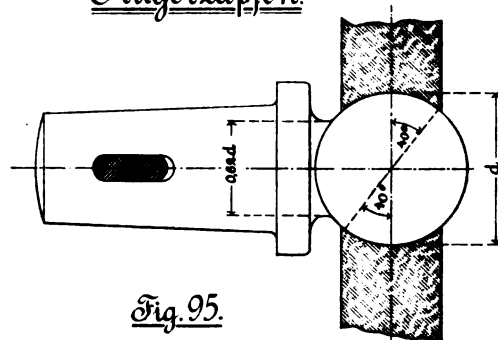
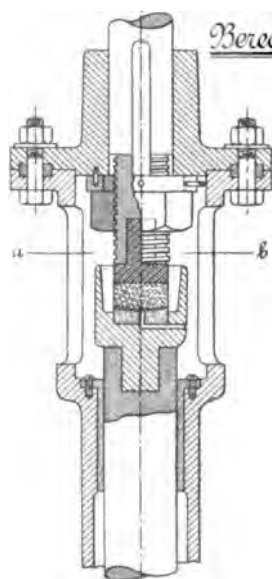
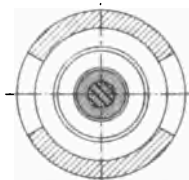


Fig. 94.  
Turbinen-Oberwasserzapfen.

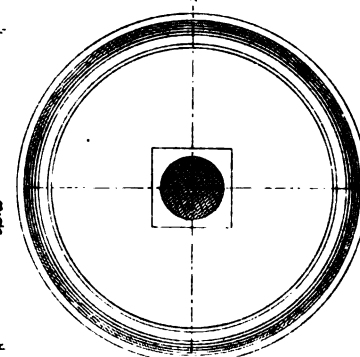
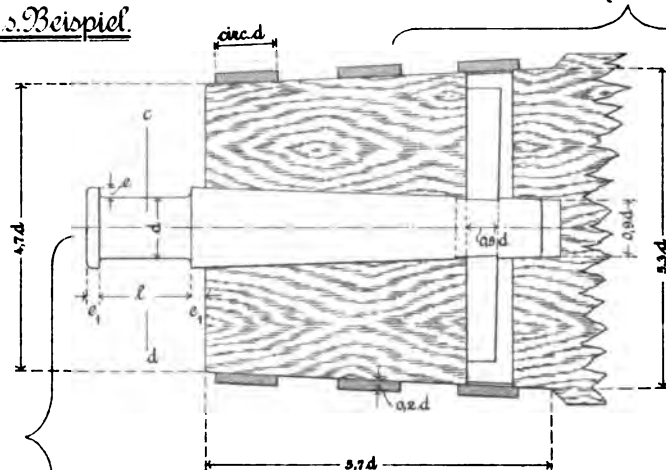


Berechn. s. Beispiel.



Schnitt a. b.

Zapfenverbindung mit hölzerner Achse.



Schnitt c. d.

Fig. 96.  
Konischer Stirnzapfen  
als Körnerspitze.

Maßstab 1:5.

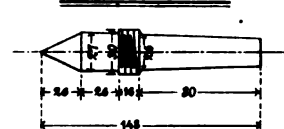
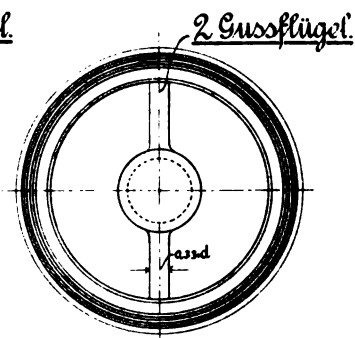
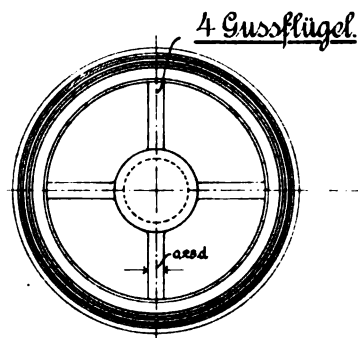
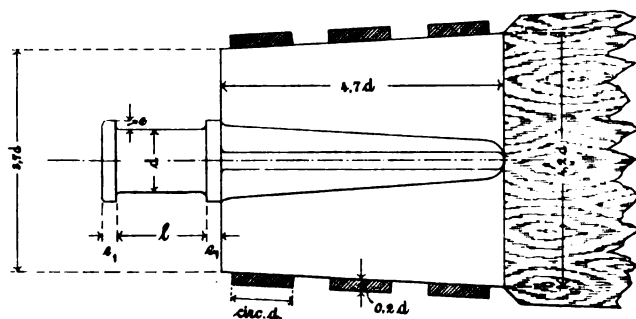


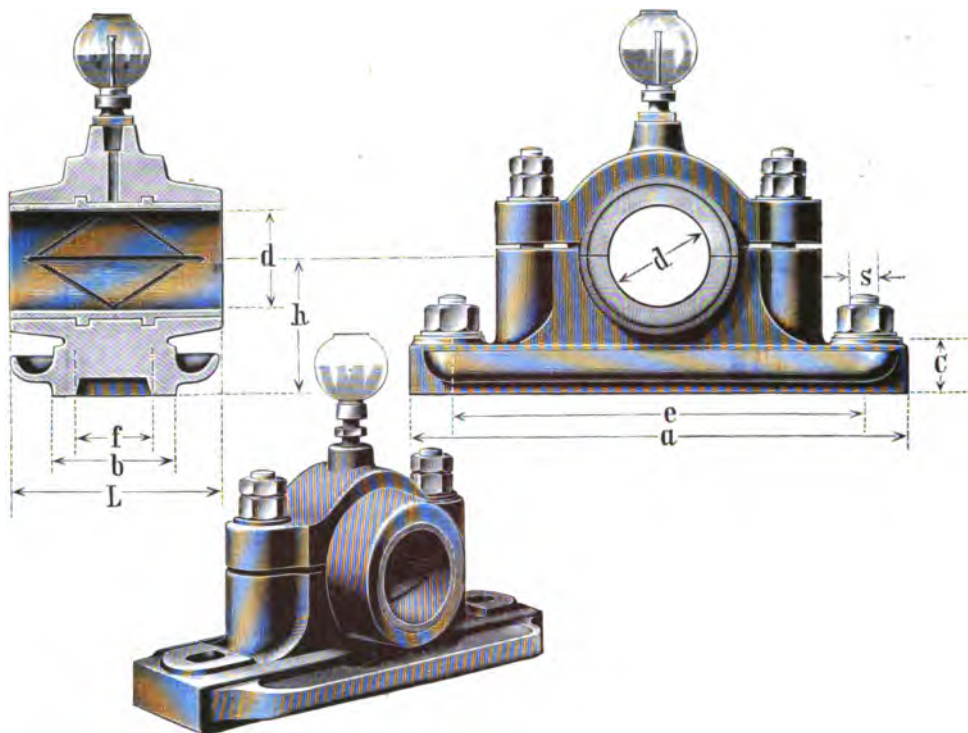
Fig. 97.

Zapfenverbindungen mit hölzernen Achsen. z. B. bei Wasserrädern.









**Gewöhnliches Stehlager mit Weissmetallschalen.**

Nach A. Spengler, M.-Gladbach.

Bohrung des Lagers	Schalen- länge	Lager- höhe	Fussplatte			Befestigungsschrauben				Gewicht	Preis
			Länge	Breite	Stärke	Längs- Entfernung	Quer- Entfernung	Durch- messer	Anzahl		
d mm	L mm	h mm	a mm	b mm	c mm	e mm	f mm	s Zoll		kg	Mk.
40	80	50	250	60	25	190	—	$\frac{3}{8}$	2	7	14
45	80	50	250	60	25	190	—	$\frac{3}{8}$	2	7	14
50	100	65	280	65	30	220	—	$\frac{3}{8}$	2	10	17
55	100	65	280	65	30	220	—	$\frac{3}{8}$	2	10	17
60	120	80	345	85	35	270	—	$\frac{3}{4}$	2	18	21
65	120	80	345	85	35	270	—	$\frac{3}{4}$	2	18	21
70	140	85	375	95	40	300	—	$\frac{3}{4}$	2	25	25
75	140	85	375	95	40	300	—	$\frac{3}{4}$	2	25	25
80	160	100	405	100	45	330	—	$\frac{7}{8}$	2	40	33
85	160	100	405	100	45	330	—	$\frac{7}{8}$	2	40	33
90	180	120	450	120	50	350	—	1	2	55	45
95	180	120	450	120	50	350	—	1	2	55	45
100	200	130	500	135	55	410	—	$1\frac{1}{8}$	2	70	58
105	200	130	500	135	55	410	—	$1\frac{1}{8}$	2	70	58
110	200	130	500	135	55	410	—	$1\frac{1}{8}$	2	85	65
115	240	145	540	155	60	440	—	$1\frac{1}{4}$	2	85	65
120	240	145	540	155	60	440	—	$1\frac{1}{4}$	2	100	75
125	240	145	540	155	60	440	—	$1\frac{1}{4}$	2	100	75
130	280	150	580	175	65	450	—	$1\frac{1}{4}$	2	120	85
135	280	150	580	175	65	450	—	$1\frac{1}{4}$	2	120	85
140	280	150	580	175	65	450	—	$1\frac{1}{4}$	2	140	95
145	280	150	580	175	65	450	—	$1\frac{1}{4}$	2	140	95
150	320	190	610	200	70	490	100	$1\frac{1}{4}$	4	150	110
160	320	190	610	200	70	490	100	$1\frac{1}{4}$	4	160	125
170	360	200	680	250	80	560	140	$1\frac{3}{8}$	4	175	134
180	360	200	680	250	80	560	140	$1\frac{3}{8}$	4	190	140
190	400	250	720	310	90	610	150	$1\frac{3}{8}$	4	205	145
200	400	250	720	310	90	610	150	$1\frac{3}{8}$	4	220	150

Die Preise verstehen sich ohne Schmiergefässe und Befestigungsschrauben.

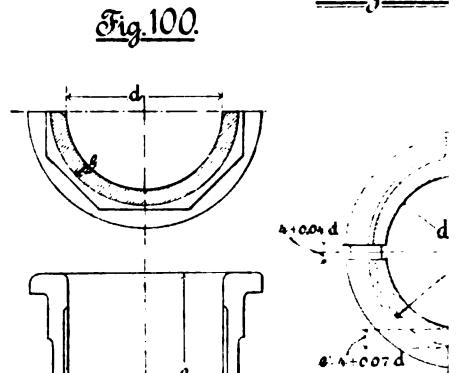
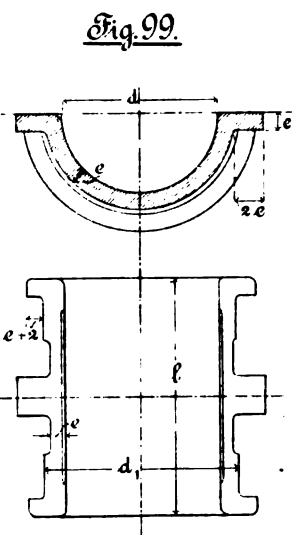
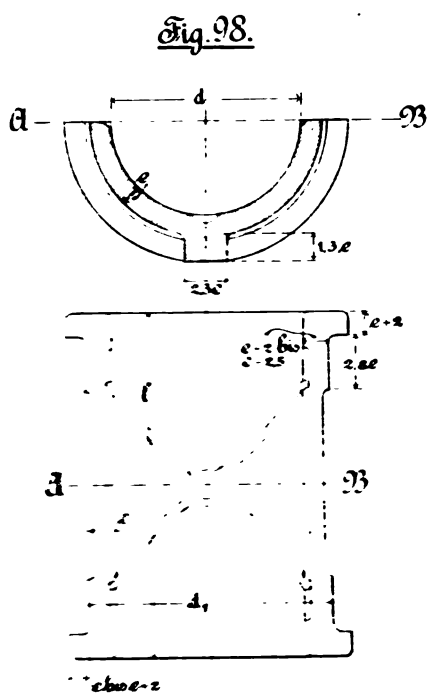
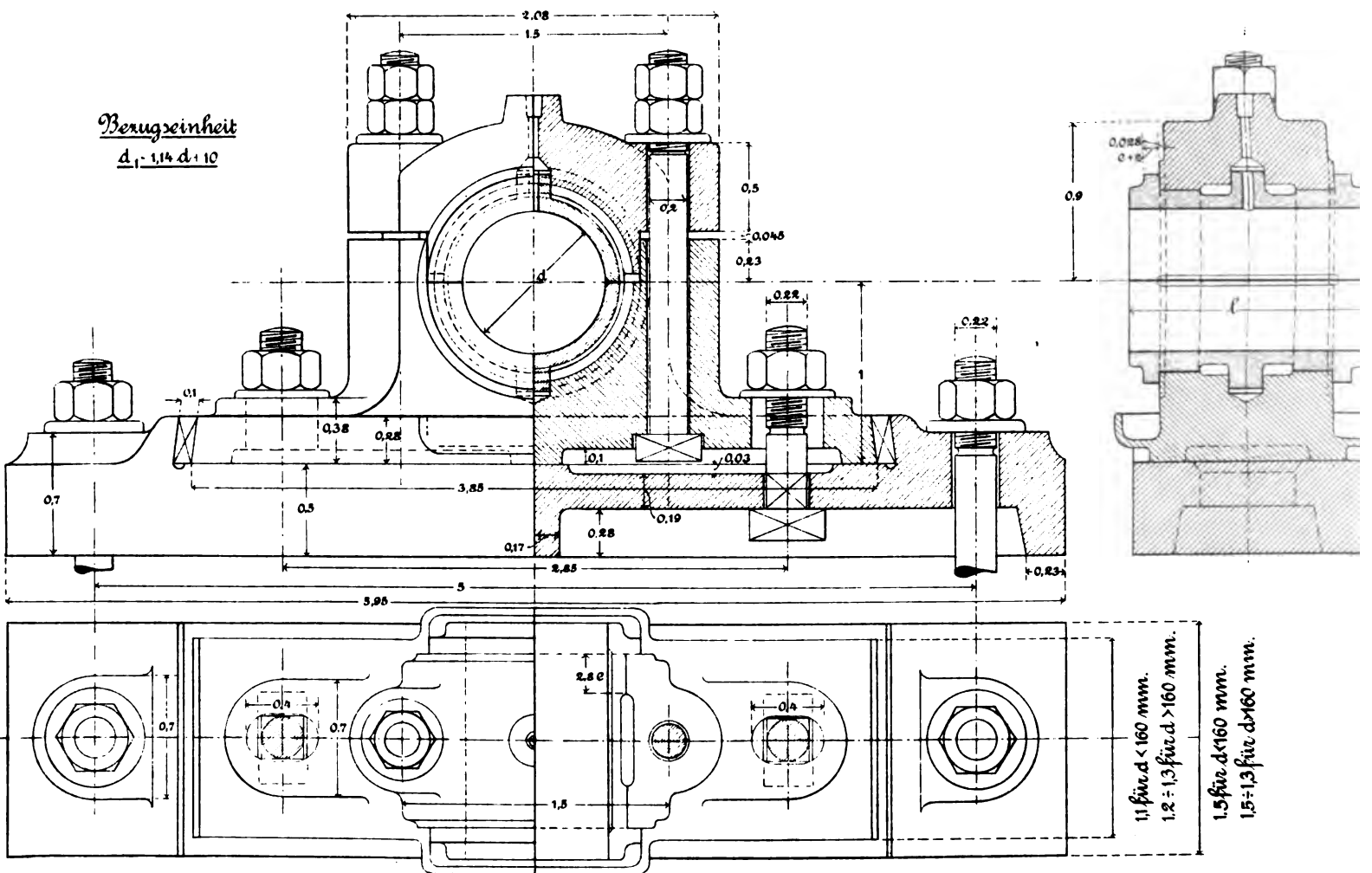


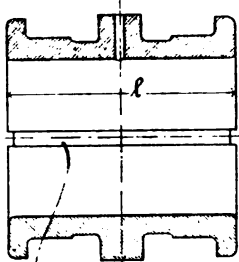
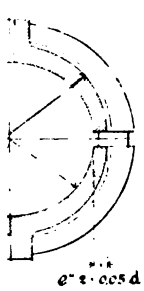
Fig. 104.

Gewöhnliches Stehlager mit Rotgusschalen.



alen.

Fig. 101.

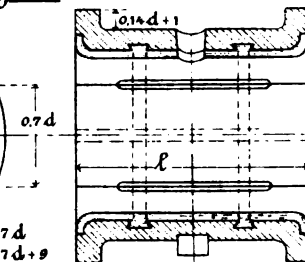
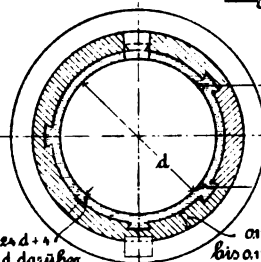


Zwischenlage aus Holz,  
Leder oder Metall.

$l = 1.5 d$  bis  $2 d$  bei Transmissionen.

Guss. Buchse mit Weissgussfutter.

Fig. 102.



$\phi 13d + 4$  bei  $d$  bis 300 mm.  
Bei  $d > 300$  mm entsprechend  
kleiner.

Fig. 103.

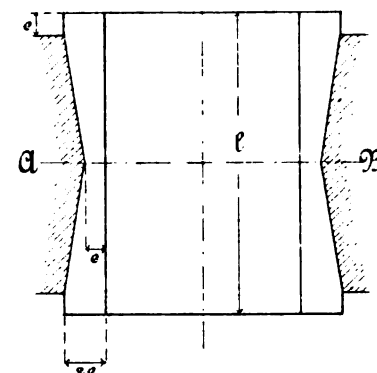
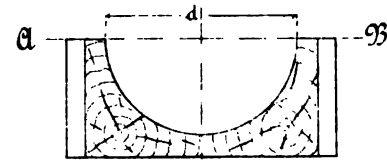
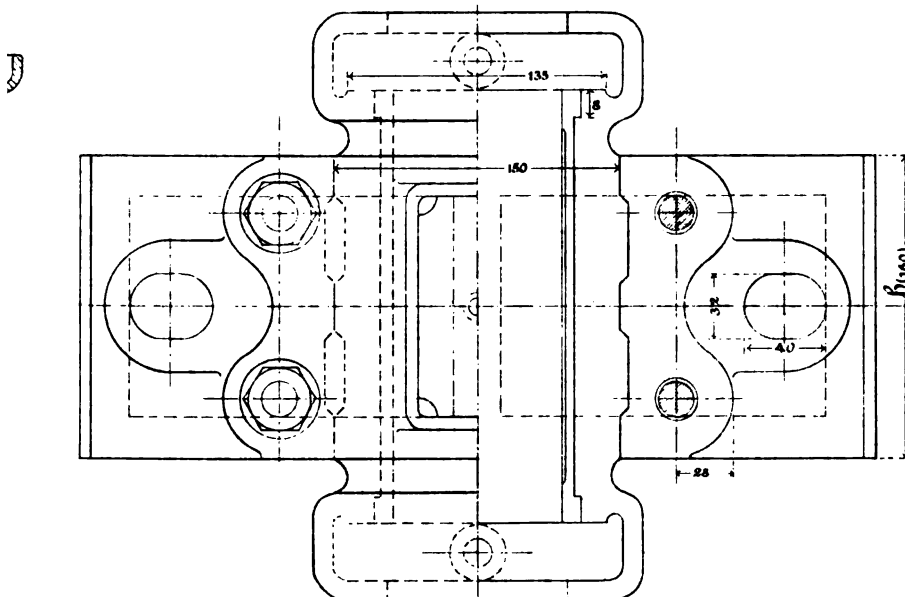
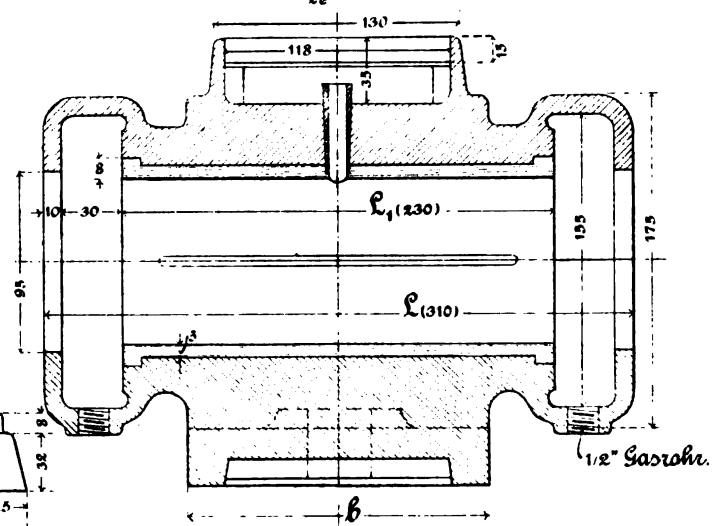
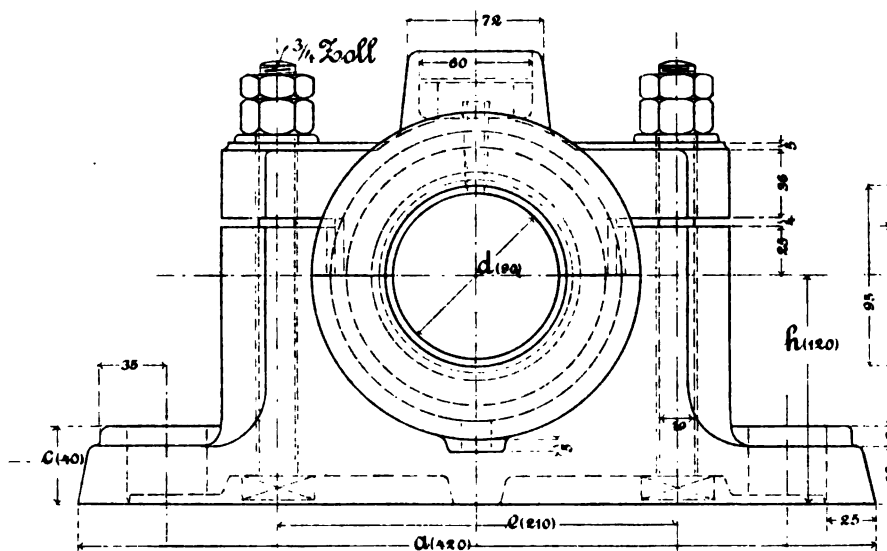


Fig. 105.



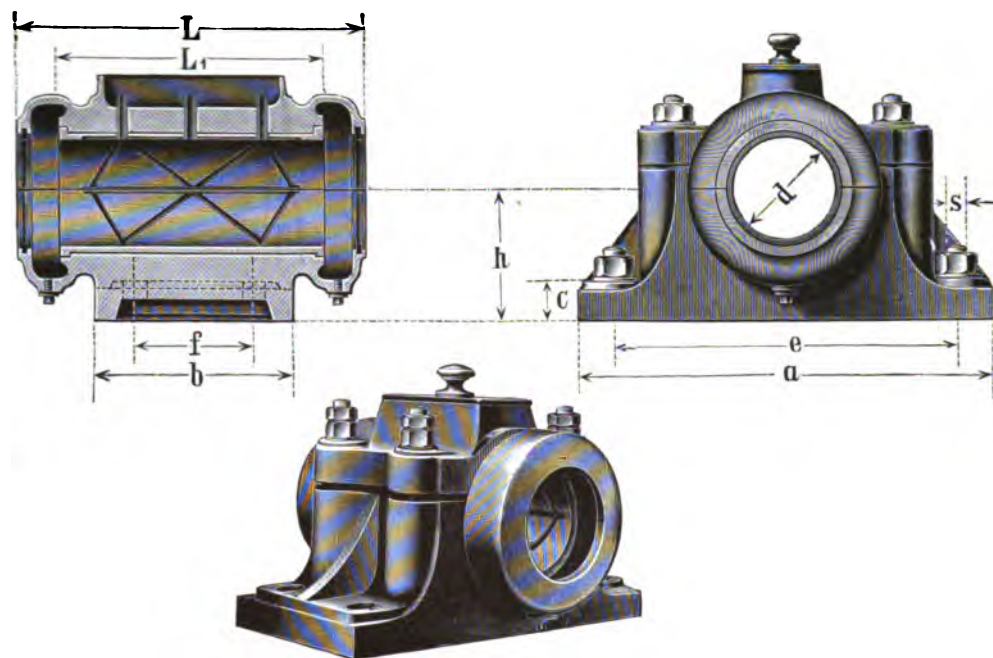
Lager  
mit Fellkragen, Gelabfluss  
und Weissmetallschalen.  
Tabelle s. umstehend.

Nach A. Spengler, Maschinenfabrik.

M. Gladbach.

Maßstab 1:4.

Zu Tafel 19 2.



### Lager mit Oelkragen, Oelabfluss und Weissmetallschalen.

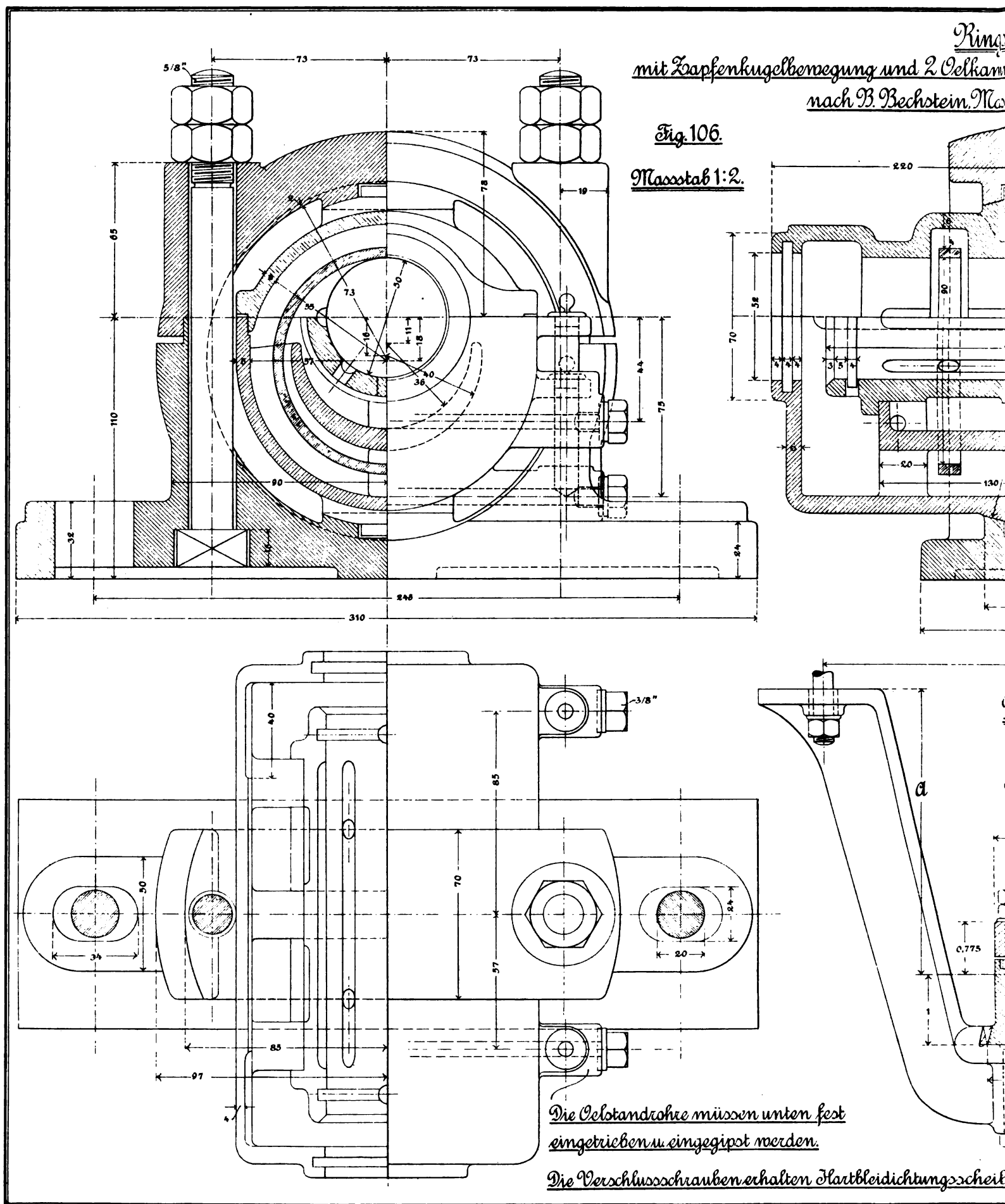
Nach A. Spengler, M.-Gladbach.

Bohrung des Lagers	Äussere Schalen- länge		Innere Schalen- länge		Lagerhöhe	Fussplatte			Befestigungsschrauben				Gewicht	Preis
						Länge	Breite	Stärke	Längs- Entfernung	Quer- Entfernung	Durch- messer	Anzahl		
d mm	L mm		L <sub>1</sub> mm		h mm	a mm	b mm	c mm	e mm	f mm	s Zoll		kg	Mk.
90	315	355	230	270	120	420	160	30	330	—	1	2	70	58
100	340	390	250	300	130	460	180	35	370	100	1	4	75	67
110	380	430	280	330	130	470	200	35	380	120	1	4	90	80
120	400	460	300	360	145	530	240	40	430	150	1 1/8	4	120	92
130	435	500	325	390	160	550	260	40	450	160	1 1/8	4	170	125
140	465	535	350	420	170	580	280	45	475	170	1 1/4	4	260	172
150	505	575	380	450	180	610	300	45	500	190	1 1/4	4	290	190
160	535	615	400	480	190	650	320	50	535	200	1 1/4	4	320	215
170	575	660	425	510	200	700	340	50	570	210	1 3/8	4	350	240
180	595	685	450	540	210	750	360	60	600	230	1 3/8	4	380	265
190	630	725	475	570	220	790	380	60	630	240	1 3/8	4	410	285
200	660	760	500	600	230	830	400	60	660	250	1 1/2	4	460	325
210	690	795	525	630	240	855	410	70	680	250	1 1/2	4	480	345
220	720	830	550	660	250	880	420	70	700	250	1 5/8	4	500	365
230	720	830	550	660	250	880	420	70	700	250	1 5/8	4	550	390
240	780	890	600	710	270	920	450	80	740	275	1 5/8	4	600	430
250	780	890	600	710	270	920	450	80	740	275	1 5/8	4	650	450
260	840	950	650	760	290	1000	475	90	800	300	1 3/4	4	700	480
270	840	950	650	760	290	1000	475	90	800	300	1 3/4	4	760	520
280	900	1010	700	810	310	1100	500	100	860	320	1 3/4	4	830	570

Bei sämtlichen Lagern werden die Schalen in einer Länge von 2 1/4 und 3 d ausgeführt.

Preise verstehen sich ohne Befestigungsschrauben.





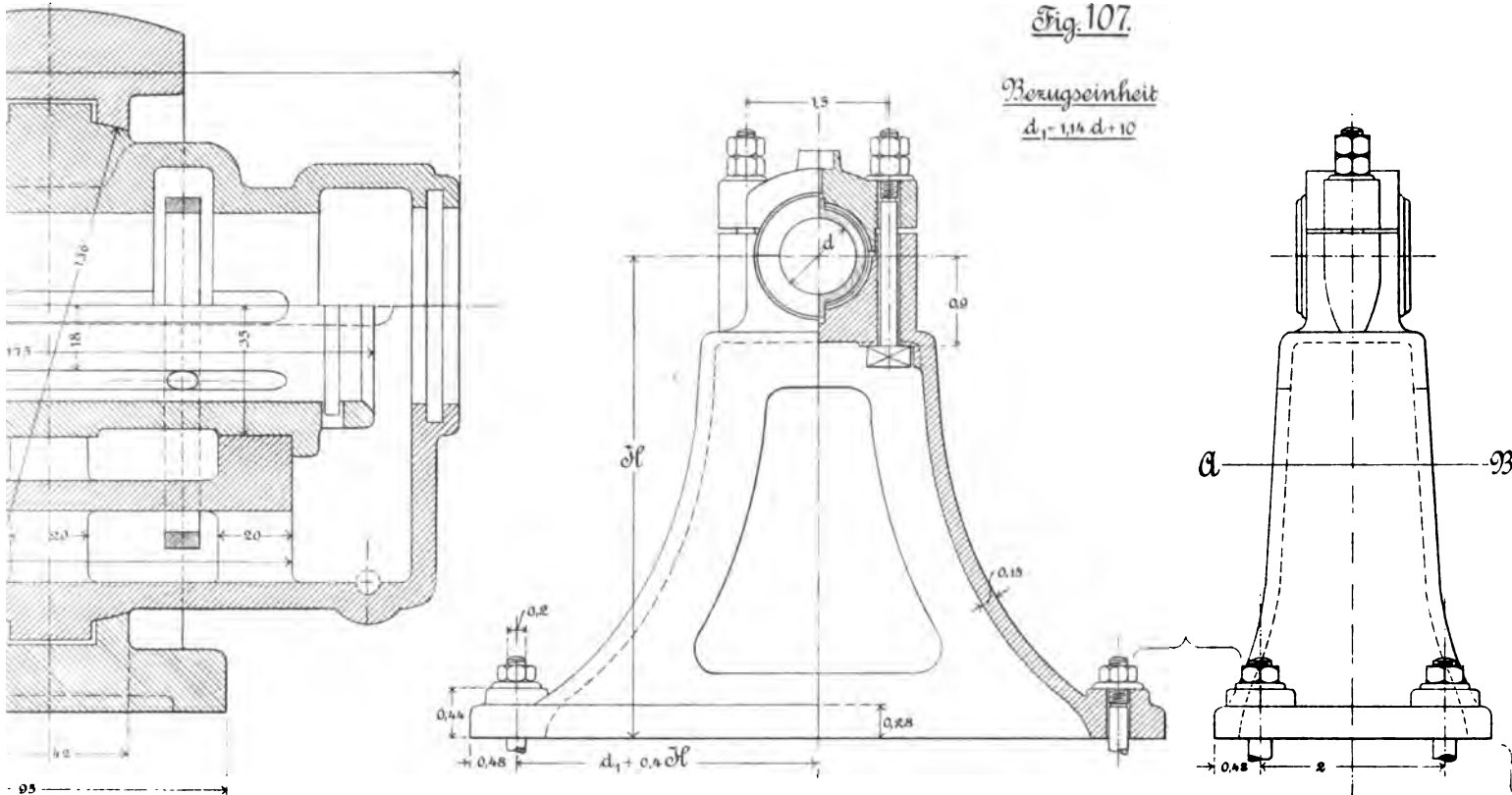
Schmierlager

um n sowie herausdrehbarer unterer Lagerschale  
Maschinenfabrik, Altenburg S.-A.

Lagerbock

Fig. 107.

Bezugseinheit  
 $d_1 = 1,14 d + 10$

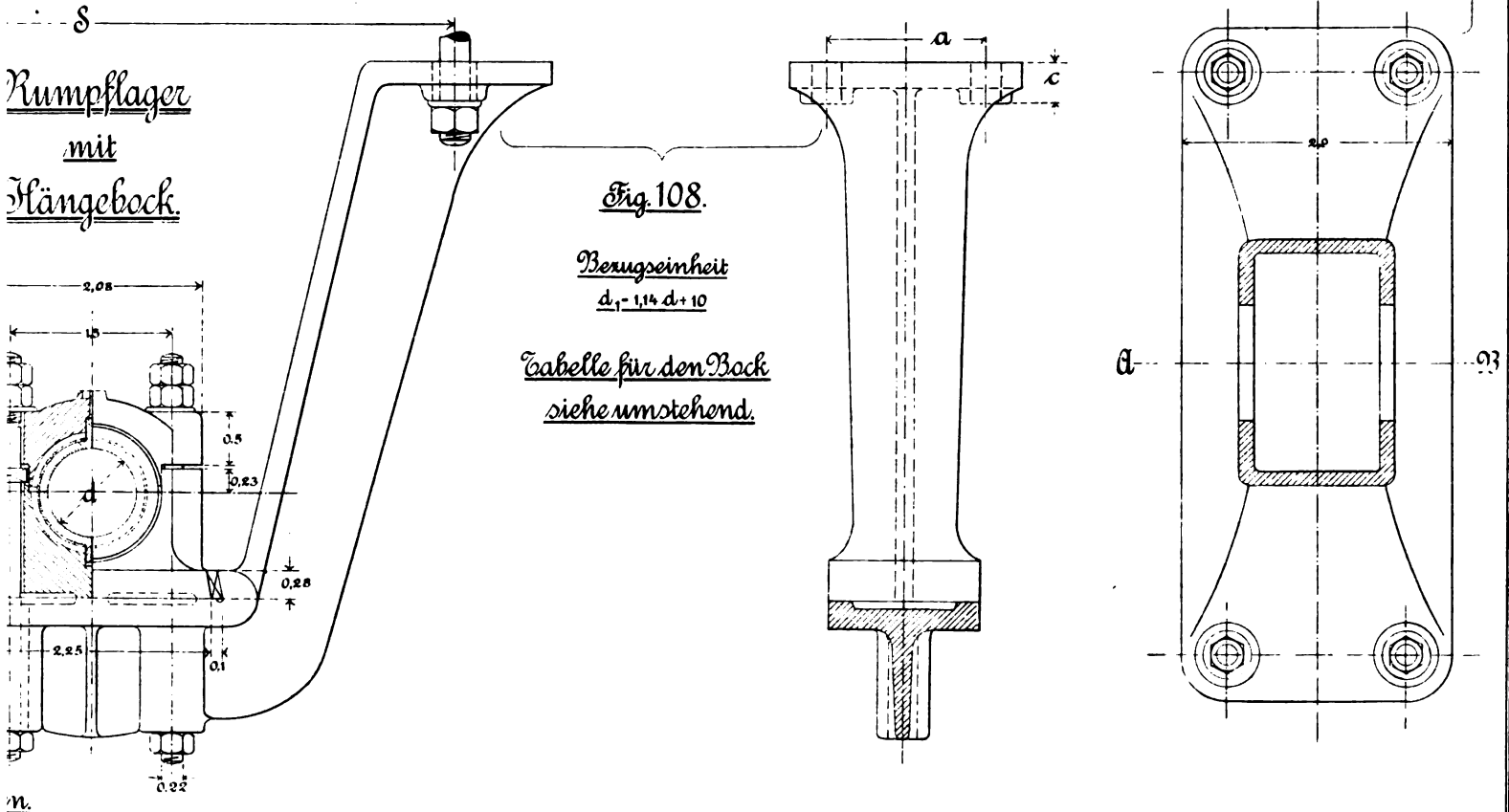


Rumpflager  
mit  
Hängebock.

Fig. 108.

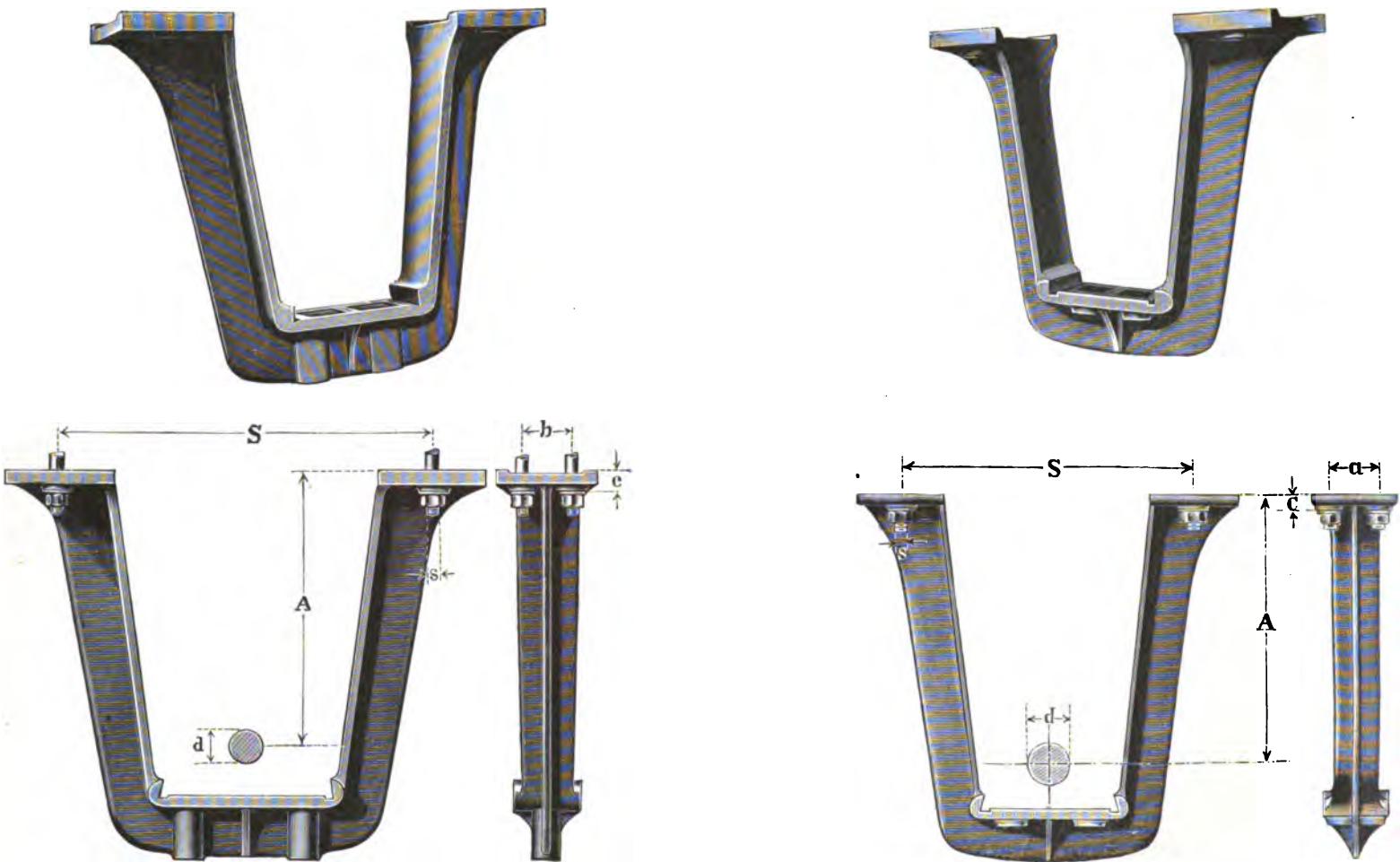
Bezugseinheit  
 $d_1 = 1,14 d + 10$

Tabelle für den Bock  
siehe umstehend.





Zu Tafel 21/22.



Hängeböcke für Lager mit kurzem Fuss.

Nach A. Spengler, M.-Gladbach.

Bohrung des Lagers	Ausladung	Stärke an den Schrauben	Befestigungsschrauben				Gewicht	Preis																		
			Längs- Entfernung	Quer- Entfernung	Durchmesser	Anzahl																				
d	A	c	S	a	s		kg	Mk.																		
mm	mm	mm	mm	mm	Zoll		kg	Mk.																		
50	400	80	640	175	3/4	4	25	10	90	500	85	760	225	7/8	4	90	36	120	900	45	1210	250	1 1/4	4	200	72
	500	80	680	175	3/4	4	30	12		600	85	800	225	1	4	115	44		500	45	1055	250	1 1/8	4	110	42
	600	80	720	175	3/4	4	40	16		700	85	830	225	1	4	130	49		600	45	1090	250	1 1/8	4	140	58
	700	80	760	175	3/4	4	50	20		800	85	860	225	1	4	150	57		700	45	1130	250	1 1/8	4	155	60
	800	80	800	175	3/4	4	60	24		900	85	920	225	1	4	165	63		800	45	1170	250	1 1/4	4	175	66
55	400	80	640	175	3/4	4	25	10	95	600	85	800	225	1	4	115	44	125	900	45	1210	250	1 1/4	4	200	72
	500	80	680	175	3/4	4	30	12		700	85	830	225	1	4	130	49		500	45	1055	275	1 1/4	4	124	46
	600	80	720	175	3/4	4	40	16		800	85	860	225	1	4	150	57		600	45	1090	275	1 1/4	4	150	57
	700	80	760	175	3/4	4	50	20		900	85	920	225	1	4	165	63		700	45	1130	275	1 1/4	4	165	63
	800	80	800	175	3/4	4	60	24		1000	85	1020	225	1	4	180	70		800	45	1170	275	1 1/4	4	185	70
60	400	80	640	175	3/4	4	25	10	100	500	40	760	225	1	4	95	38	130	700	45	1130	275	1 1/4	4	165	63
	500	80	680	175	3/4	4	30	12		600	40	800	225	1	4	120	46		800	45	1170	275	1 1/4	4	185	70
	600	80	720	175	3/4	4	40	16		700	40	830	225	1	4	135	57		900	45	1210	275	1 1/4	4	210	76
	700	80	760	175	3/4	4	50	20		800	40	860	225	1	4	155	60		500	45	1055	275	1 1/4	4	150	57
	800	80	800	175	3/4	4	60	24		900	40	890	225	1	4	170	65		600	45	1090	275	1 1/4	4	165	63
65	400	80	640	175	3/4	4	25	10	105	500	40	760	225	1	4	95	38	135	700	45	1130	275	1 1/4	4	165	63
	500	80	680	175	3/4	4	30	12		600	40	800	225	1	4	120	46		800	45	1170	275	1 1/4	4	185	70
	600	80	720	175	3/4	4	40	16		700	40	830	225	1	4	135	57		900	45	1210	275	1 1/4	4	210	76
	700	80	760	175	3/4	4	50	20		800	40	860	225	1	4	155	60		500	50	1055	275	1 1/4	4	150	57
	800	80	800	175	3/4	4	60	24		900	40	890	225	1	4	170	65		600	50	1090	275	1 1/4	4	165	63
70	400	85	730	200	7/8	4	70	28	110	500	40	760	225	1	4	95	38	140	700	45	1130	275	1 1/4	4	165	63
	500	85	770	200	7/8	4	80	32		600	40	800	225	1	4	120	46		800	45	1170	275	1 1/4	4	185	70
	600	85	810	200	7/8	4	90	36		700	40	830	225	1	4	135	57		900	45	1210	275	1 1/4	4	210	76
	700	85	850	200	7/8	4	100	40		800	40	860	225	1	4	155	60		500	50	1055	275	1 1/4	4	150	57
	800	85	890	200	7/8	4	110	42		900	40	890	225	1	4	170	65		600	50	1090	275	1 1/4	4	165	63
75	400	85	730	200	7/8	4	70	28	115	500	40	760	225	1	4	95	38	145	700	45	1130	275	1 1/4	4	165	63
	500	85	770	200	7/8	4	80	32		600	40	800	225	1	4	120	46		800	45	1170	275	1 1/4	4	185	70
	600	85	810	200	7/8	4	90	36		700	40	830	225	1	4	135	57		900	45	1210	275	1 1/4	4	210	76
	700	85	850	200	7/8	4	100	40		800	40	860	225	1	4	155	60		500	50	1055	275	1 1/4	4	150	57
	800	85	890	200	7/8	4	110	42		900	40	890	225	1	4	170	65		600	50	1090	275	1 1/4	4	165	63
80	400	85	730	200	7/8	4	70	28	120	500	40	760	225	1	4	95	38	150	700	45	1130	275	1 1/4	4	165	63
	500	85	770	200	7/8	4	80	32		600	40	800	225	1	4	120	46		800	45	1170	275	1 1/4	4	185	70
	600	85	810	200	7/8	4	90	36		700	40	830	225	1	4	135	57		900	45	1210	275	1 1/4	4	210	76
	700	85	850	200	7/8	4	100	40		800	40	860	225	1	4	155	60		500	50	1055	275	1 1/4	4	150	57
	800	85	890	200	7/8	4	110	42		900	40	890	225	1	4	170	65		600	50	1090	275	1 1/4	4	165	63
85	400	85	730	200	7/8	4	70	28	125	500	45	1055	250	1 1/8	4	110	42	155	700	50	1130	275	1 1/2	4	190	72
	500	85	770	200	7/8	4	80	32		600	45	1090	250	1 1/8	4	140	52		800	50	1180	275	1 1/2	4	210	76
	600	85	810	200	7/8	4	90	36		700	45	1130	250	1 1/8	4	155	60		900	50	1210	275	1 1/2	4	225	81
	700	85	850	200	7/8	4	100	40		800	45	1170	250	1 1/4	4	175	66									
	800	85	890	200	7/8	4	110	42		900	45	1210	250	1 1/4	4	190	72									



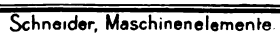
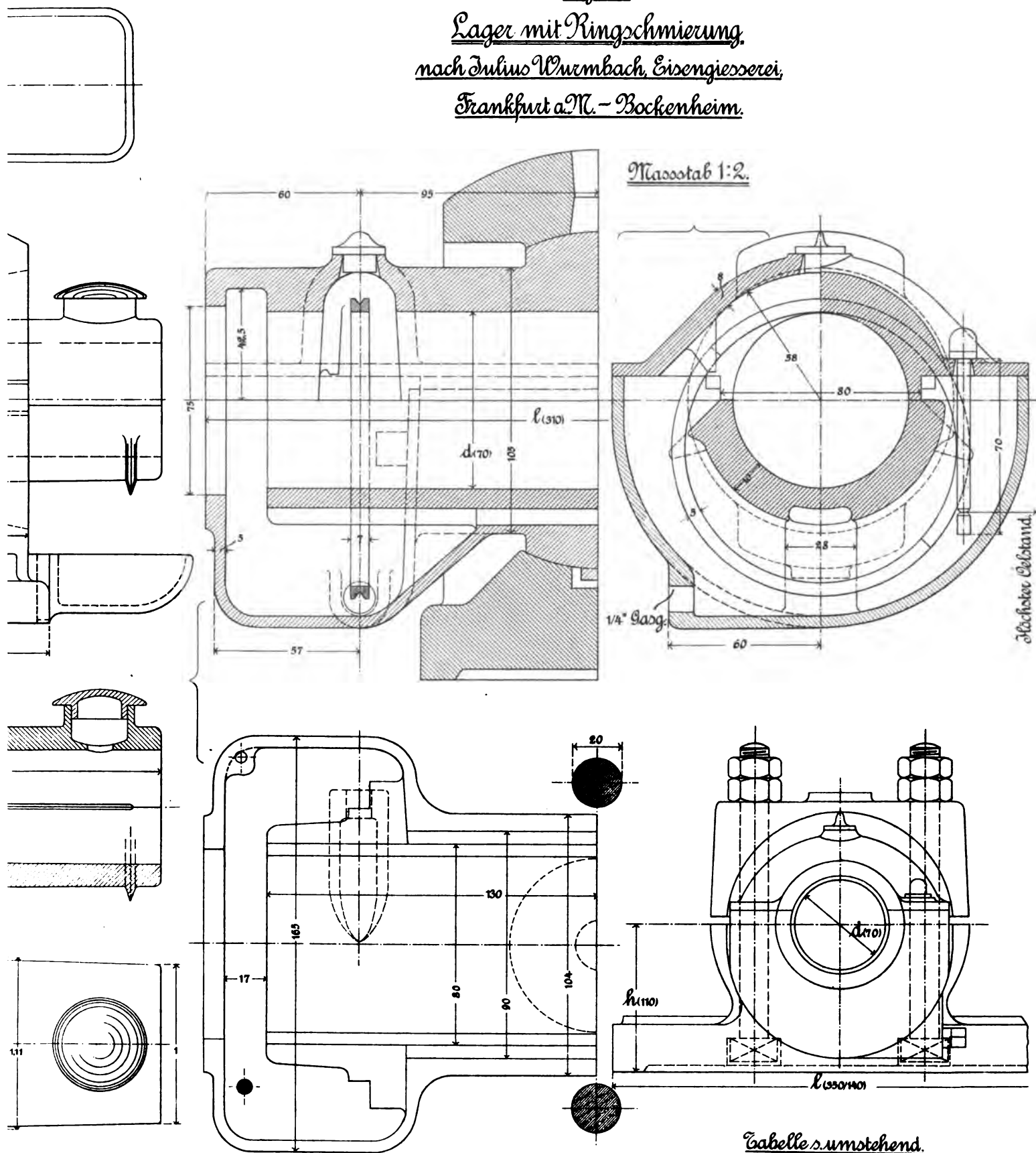
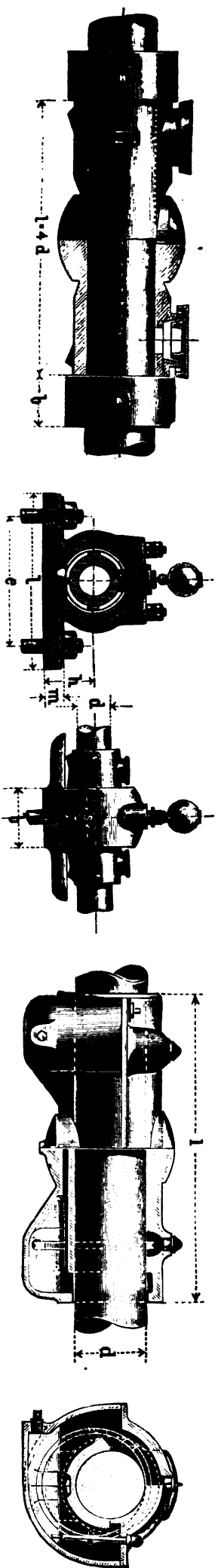
Maßstab 1:2.
$$\underline{d_1 = 1,14 d + 10}$$


Fig. 110.

Lager mit Ringschmierung.  
nach Julius Wurmback, Eisengiesserei,  
Frankfurt a.M. - Bockenheim.

Maassstab 1:2.

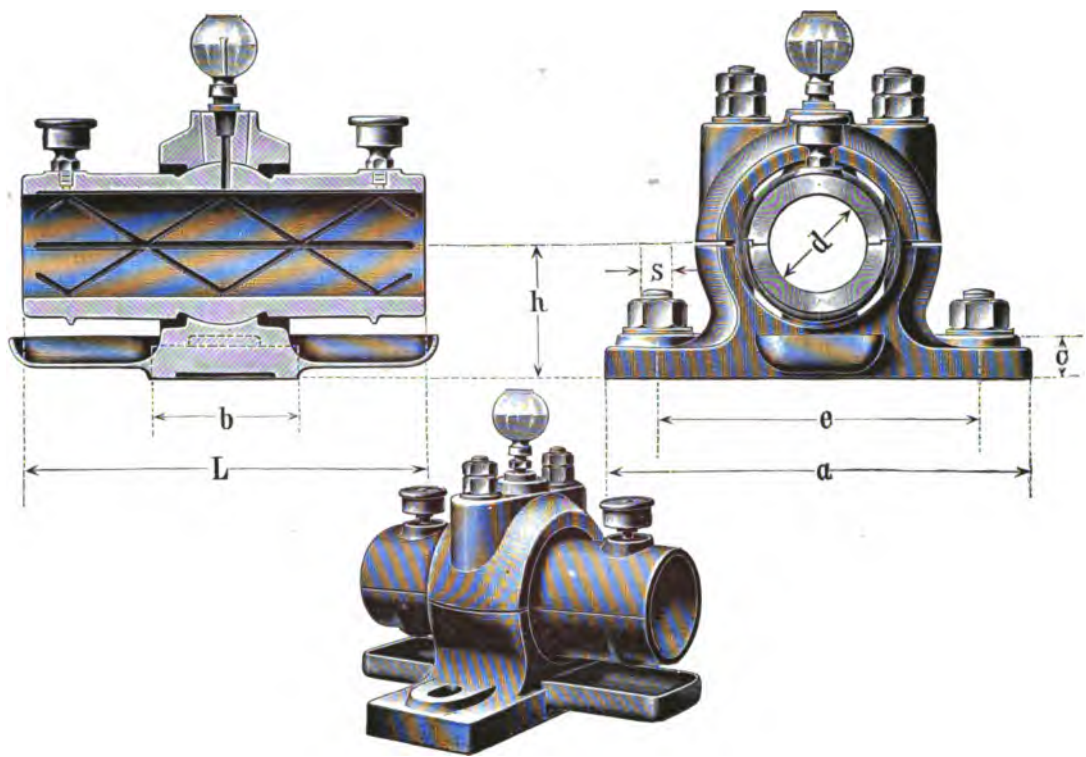




**Stehlager mit Kugelbewegung.**  
 Nach Julius Wurmbach, Frankfurt a. M.-Bockenheim.  
**Lagerschale ohne Ringschmierung.**      **Lagerschale mit Ringschmierung.**

Wellen- durch- messer  d  mm	Länge der Lagerschale   ohne   mit Ringschmierung  mm		Lager- höhe h  mm	Fussplatte			Schrauben zur Be- festigung der Lager		Gussheile zu einem Lager, unbearbeitet				Fertig bearbeitetes Lager			
				Länge l  mm	Breite b  mm	Stärke m  mm	Ent- fernung e  mm	Durch- messer s  mm	ohne Ringschmierung		mit Ringschmierung		ohne Ringschmierung		mit Ringschmierung	
									Gewicht kg	Preis Mk.	Gewicht kg	Preis Mk.	Gewicht kg	Preis Mk.	Gewicht kg	Preis Mk.
30	120	160	55	185	60	22	135	13	5,5	2,50	6,5	3,50	5,3	10,00	6,3	13,00
35	140	160	55	185	60	22	135	13	6,0	2,70	7,0	3,70	5,7	10,50	6,7	13,50
40	160	180	70	220	90	27	165	13	9,0	3,60	11,0	4,90	8,5	12,00	10,5	15,50
45	180	200	70	220	90	27	165	13	9,5	3,80	11,5	5,10	9,0	12,50	11,0	16,00
50	200	220	75	260	100	31	185	16	14,5	4,90	17,5	6,50	14,0	15,50	17,0	19,50
55	220	240	75	260	100	31	185	16	15,0	5,20	18,0	6,80	14,5	16,00	17,5	20,00
60	240	270	90	310	125	32	230	23	25,0	8,00	29,0	10,00	24,0	21,00	28,0	26,00
65	260	290	90	310	125	32	230	23	25,5	8,30	29,5	10,30	24,5	22,00	28,5	27,00
70	280	310	110	350	140	36	260	23	36,5	11,50	41,5	13,90	35,5	27,00	40,5	33,50
75	300	330	110	350	140	36	260	23	37,5	11,80	42,5	14,30	36,5	28,00	41,5	34,50
80	320	350	110	350	140	36	260	23	38,5	12,20	43,5	14,80	37,5	29,00	42,5	35,50
85	340	370	125	400	165	40	300	26	53,5	16,20	59,0	19,30	52,0	35,00	58,0	43,00
90	360	390	125	400	165	40	300	26	55,5	16,80	61,5	20,00	54,0	36,50	60,0	44,50
95	380	410	125	400	165	40	300	26	58,0	17,50	64,0	20,80	56,5	38,00	62,5	46,00
100	400	430	140	440	170	42	340	30	75,5	22,00	82,5	25,80	73,5	47,00	80,5	56,50
105	420	450	140	440	170	42	340	30	78,5	23,00	85,5	26,90	76,5	48,50	83,5	58,00
110	440	470	140	440	170	42	340	30	81,5	24,00	88,5	28,00	79,5	50,00	86,5	59,50
115	460	490	150	500	180	45	380	33	104,0	29,00	112,0	33,50	102,0	61,00	110,0	73,00
120	480	510	150	500	180	45	380	33	106,0	30,00	114,0	34,60	104,0	63,00	112,0	75,00
125	500	530	150	500	180	45	380	33	108,0	31,00	116,0	35,70	106,0	65,00	114,0	77,00

In den Preisen für die bearbeiteten Stehlager sind die Befestigungsschrauben sowie die Schmierzasse nicht mit einbegriffen.



**Stehlager mit Kugelbewegung.**  
Nach A. Spengler, M.-Gladbach.

Bohrung des Lagers	Schalen- länge	Lager- Höhe	Fussplatte			Befestigungsschrauben			Gewicht	Preis	
			Länge	Breite	Stärke	Ent- fernung	Durch- messer	Anzahl			
d	L	h	a	b	c	e	s		kg	Mk.	
mm	mm	mm	mm	mm	mm	mm	Zoll				
50	255	100	335	110	35	240	$\frac{5}{8}$	2	15	20	
55	255	100	335	110	35	240	$\frac{5}{8}$	2	15	20	
60	255	100	335	110	35	240	$\frac{5}{8}$	2	25	27	
65	255	100	335	110	35	240	$\frac{5}{8}$	2	25	27	
70	300	110	380	130	40	275	$\frac{3}{4}$	2	40	34	
75	300	110	380	130	40	275	$\frac{3}{4}$	2	40	34	
80	320	110	380	130	40	275	$\frac{7}{8}$	2	45	40	
85	320	110	380	130	40	275	$\frac{7}{8}$	2	45	40	
90	360	120	400	140	45	300	1	2	55	48	
95	360	120	400	140	45	300	1	2	55	48	
100	400	135	420	150	45	320	$1\frac{1}{8}$	2	80	56	
105	400	135	420	150	45	320	$1\frac{1}{8}$	2	85	56	
110	410	140	435	200	50	335	$1\frac{1}{4}$	2	95	65	
115	410	140	435	200	50	335	$1\frac{1}{4}$	2	100	65	
120	410	140	435	200	50	335	$1\frac{1}{4}$	2	125	75	
125	410	140	435	200	50	335	$1\frac{1}{4}$	2	130	75	
130	510	150	500	210	55	400	$1\frac{3}{8}$	2	150	90	
135	510	150	500	210	55	400	$1\frac{3}{8}$	2	155	90	
140	510	150	500	210	55	400	$1\frac{3}{8}$	2	170	110	
145	510	150	500	210	55	400	$1\frac{3}{8}$	2	175	110	
150	550	160	540	220	55	435	$1\frac{3}{8}$	2	190	130	

Die Preise verstehen sich ohne Schmiergefäße und Befestigungsschrauben.



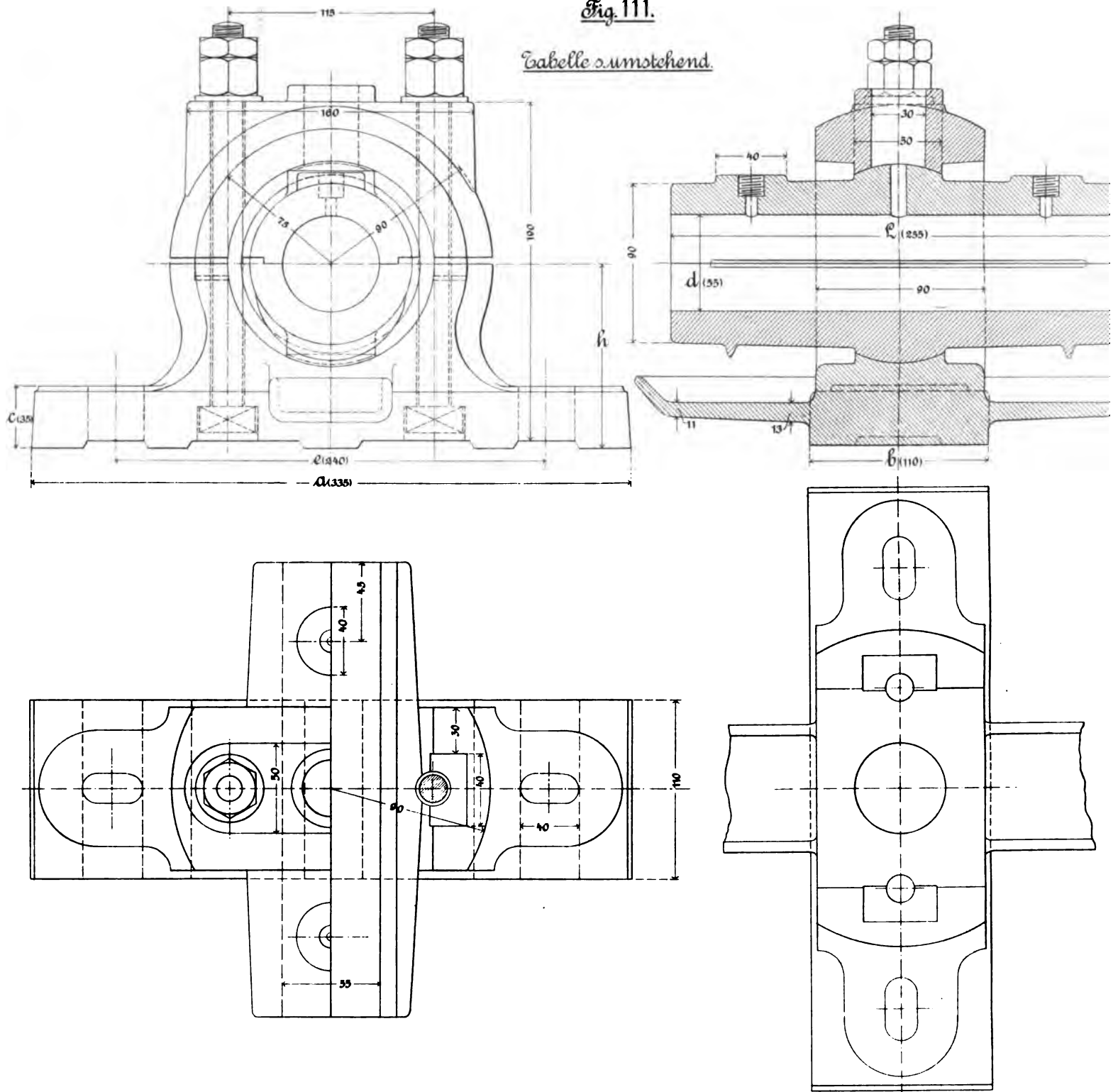
Sellers-Stehlager.

Nach A. Spengler, Maschinenfabrik, M. Gladbach.

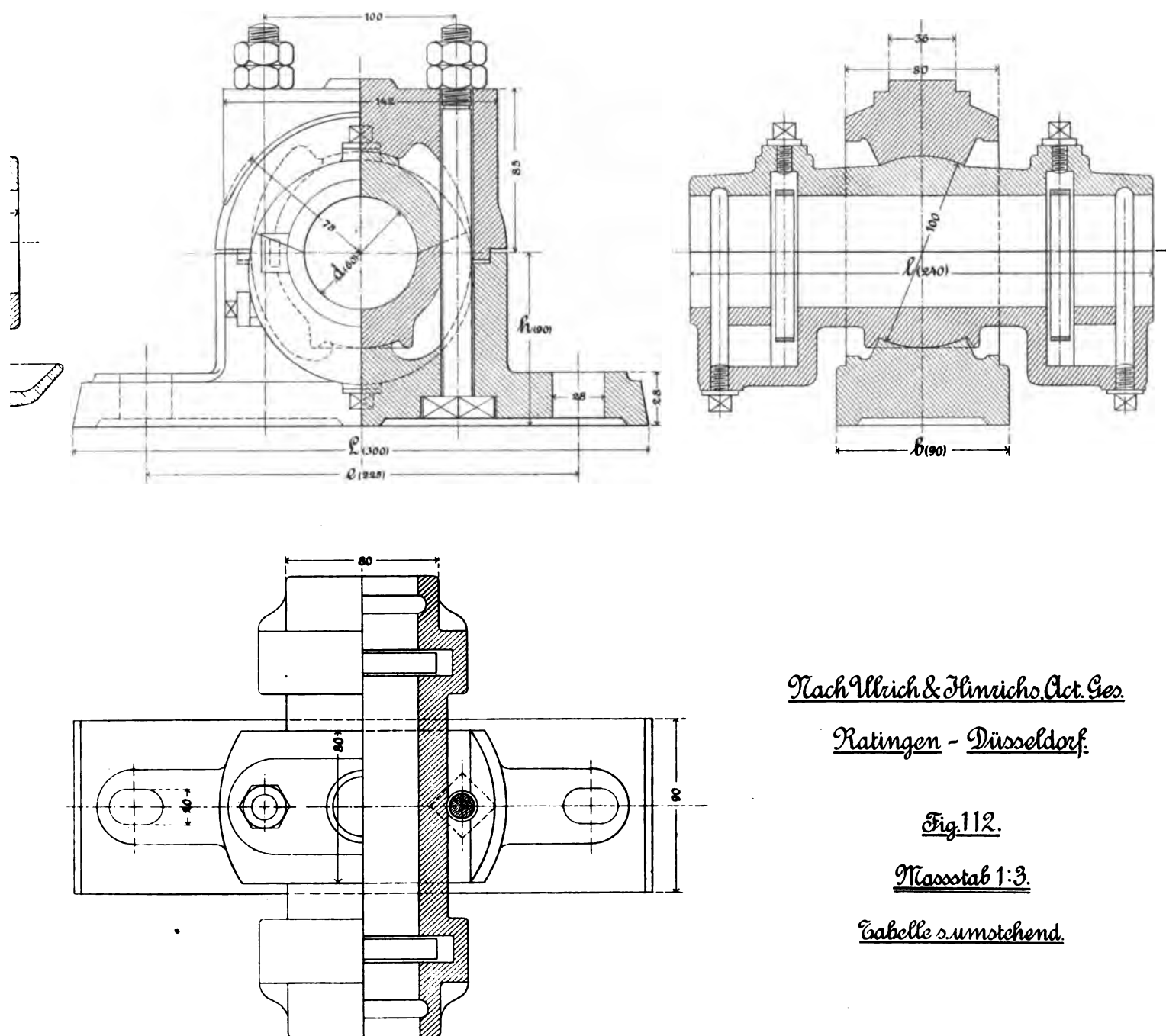
Maßstab 1:3.

Fig. 111.

Gabelte s. umstehend.



Umlagerungs-lager.



Nach Ulrich & Hinrichs Act. Ges.

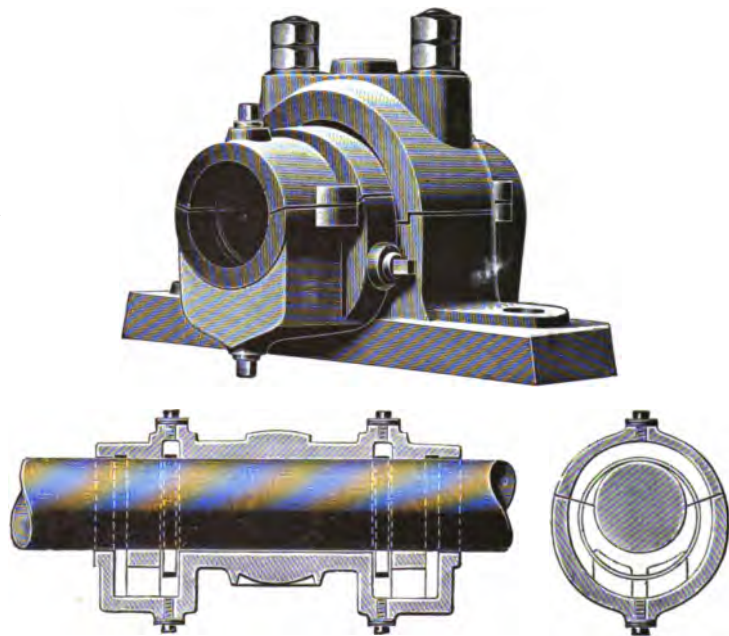
Ratingen - Düsseldorf.

Fig. 112.

Maassstab 1:3.

Tabelle s. umstehend.





**Transmissionslager mit Oelcirculation.**  
Nach Ullrich & Hinrichs, Ratingen-Düsseldorf.

Wellen- durch- messer	Länge der Schale	Höhe bis Mitte Lager	Lagerfuss		Befestigungs- schrauben		Gewicht	Stück- preis
			Länge	Breite	Ent- fernung	Durch- messer		
d	l	h	L	b	e		kg	Mk
mm	mm	mm	mm	mm	mm	mm		
30	120	55	200	60	140	13	9	16,00
35	140	55	200	60	140	13	10	18,00
40	160	65	220	70	170	13	11	20,00
45	180	65	220	70	170	13	13	22,00
50	200	82	260	75	195	16	18	25,00
55	220	82	260	75	195	16	18,5	27,00
60	240	90	300	90	225	19	25	31,00
65	260	90	300	90	225	19	26	34,00
70	280	110	350	115	260	19	36	37,00
75	300	110	350	115	260	22	37	40,00
80	320	110	370	120	270	22	45	45,00
85	340	125	370	120	270	22	46	48,00
90	360	125	400	130	280	26	60	55,00
95	380	125	400	130	280	26	65	58,00
100	400	140	460	150	330	26	90	65,00

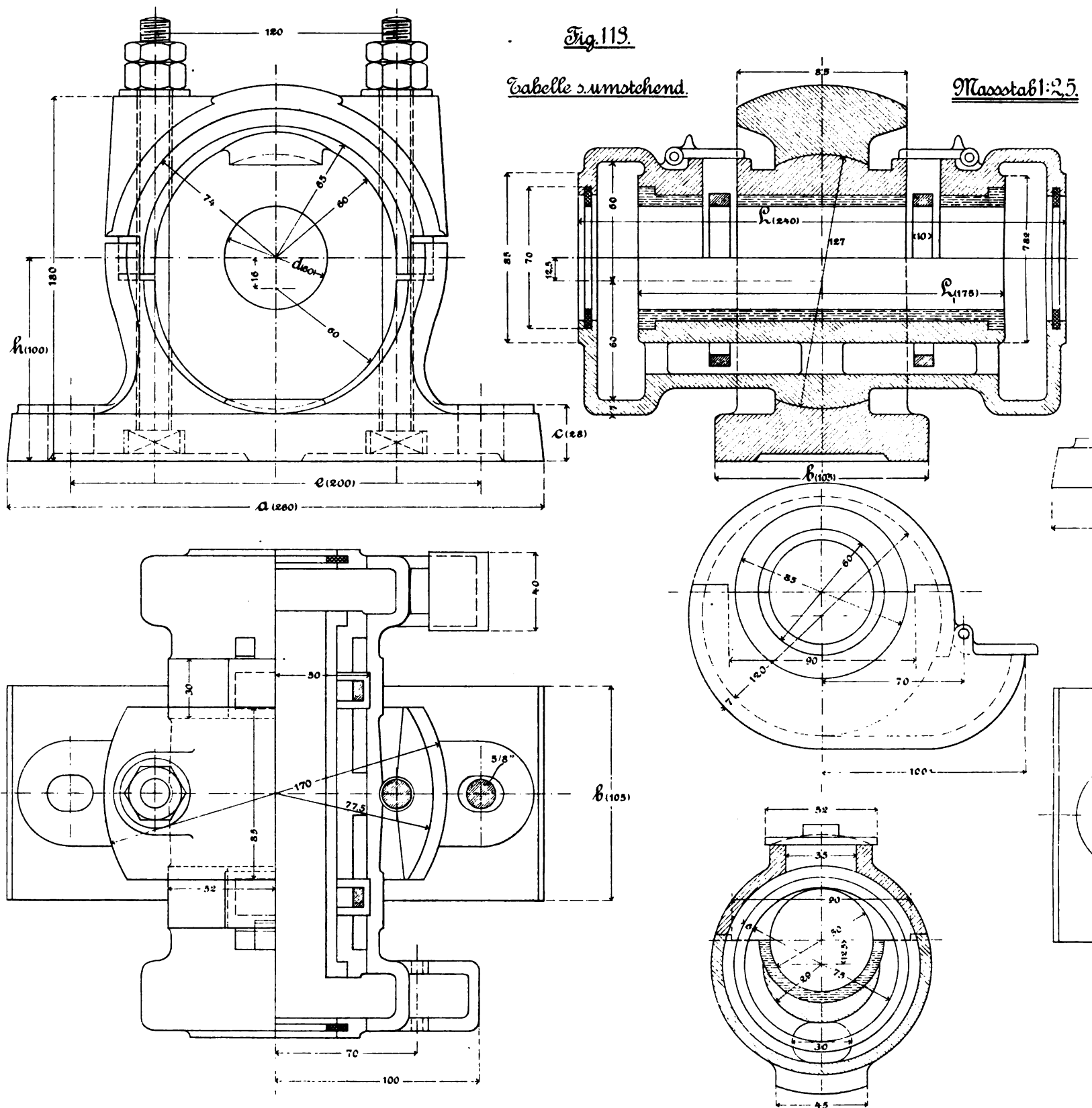
Die Sohlfläche der Lagerkörper ist gehobelt.



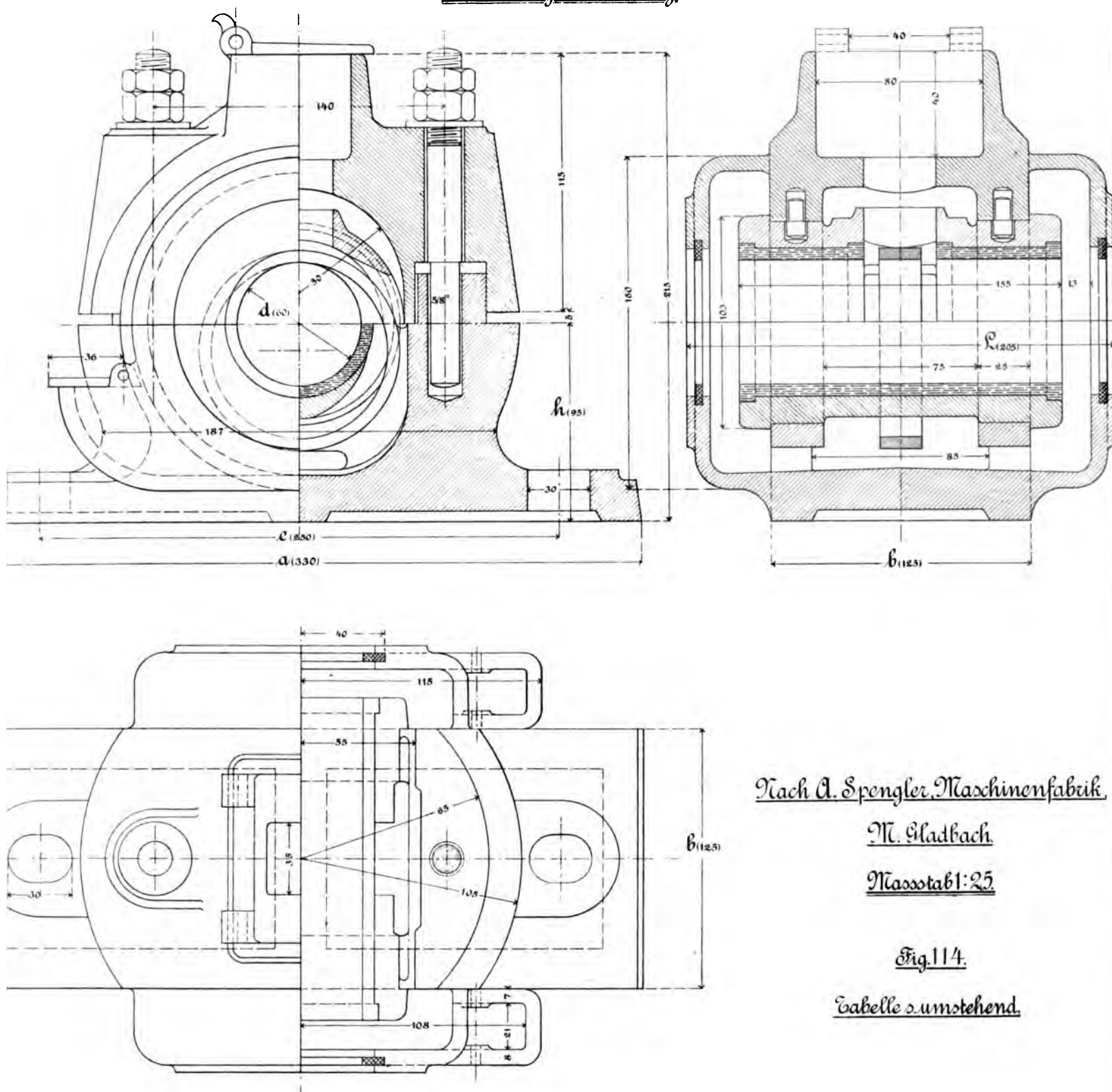
Nach A. Spengler, Maschinenfabrik, M. Gladbach.

Tabelle 5. umstehend.

Maßstab 1:2,5.



Weissmetalllager mit herausnehmbaren Schalen  
und Ringschmierung.



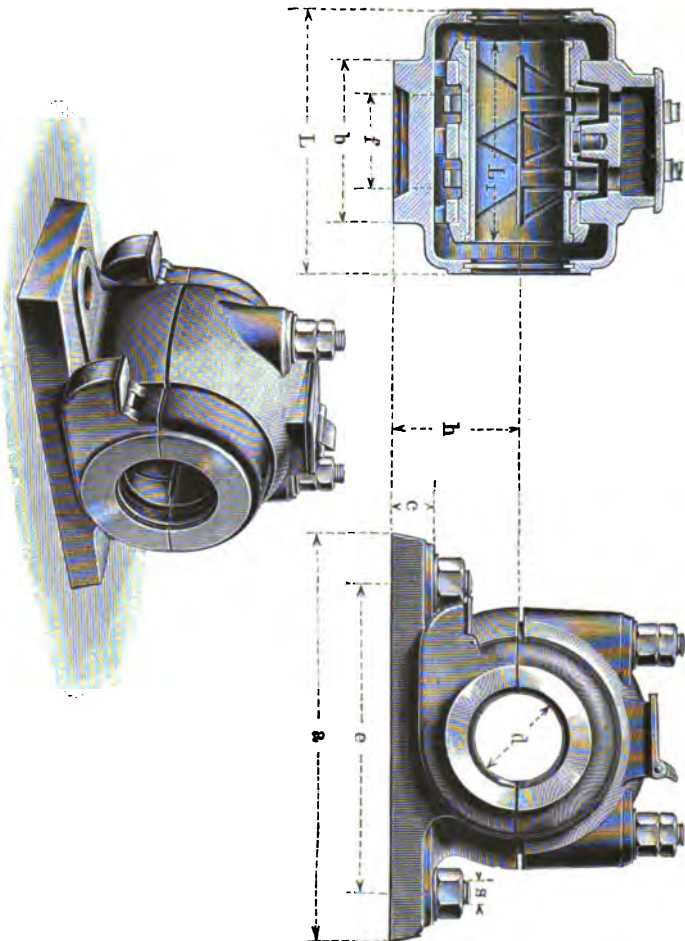
Nach A. Spengler Maschinenfabrik

M. Gladbach

Maßstab 1:25

Fig. 114.

Tabelle sumstehend.

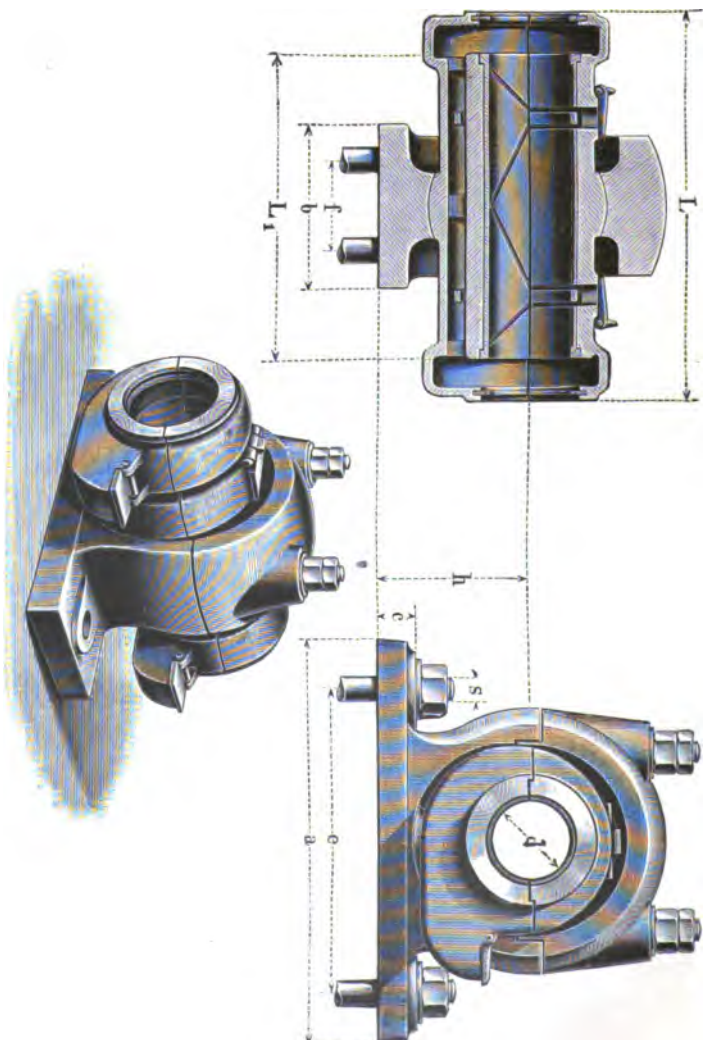


**Weismetal-Lager mit herausnehmbaren Lagerschalen und Ringschmierung.** Nach A. Spengler, M.-Gladsbach.

Bohrung des Lagers	d	mm	Äussere Schalenlänge	L	mm	Innere Schalenlänge	L <sub>1</sub>	mm	Lagerhöhe	h	Fussplatte			Befestigungsschrauben		Gewicht	Preis		
											Länge	Breite	Stärke	Längs- Entfernung	Quer- Entfernung			Durch- messer	Anzahl
											a	b	c	e	f	s			
		mm			mm			mm			mm	mm	mm	mm	mm	Zoll		kg	Mk.
50	180	180	180	180	80	290	110	27	290	110	290	125	27	290	110	1/4	2	80	35
55	180	180	180	180	80	290	110	27	290	110	290	125	27	290	110	3/4	2	80	35
60	205	165	95	830	95	330	125	30	250	250	250	250	250	250	250	3/4	2	35	38
65	205	165	95	330	95	330	125	30	250	250	250	250	250	250	250	3/4	2	35	38
70	230	175	110	370	110	370	140	35	280	280	280	280	280	280	280	7/8	2	45	45
75	230	175	110	370	110	370	140	35	280	280	280	280	280	280	280	7/8	2	45	45
80	230	175	110	370	110	370	140	35	280	280	280	280	280	280	280	7/8	2	50	50
85	265	205	125	410	125	410	165	40	310	310	310	310	310	310	310	1	2	59	55
90	265	205	125	410	125	410	165	40	310	310	310	310	310	310	310	1	2	63	65
95	265	205	125	410	125	410	165	40	310	310	310	310	310	310	310	1	2	63	65
100	310	240	140	460	140	460	180	43	350	350	350	350	350	350	350	1 1/8	2	80	80
105	310	240	140	460	140	460	180	43	350	350	350	350	350	350	350	1 1/8	2	80	80
110	310	240	140	460	140	460	180	43	350	350	350	350	350	350	350	1 1/8	2	92	92
115	360	280	170	510	170	510	220	48	400	400	400	400	400	400	400	1	4	125	105
120	360	280	170	510	170	510	220	48	400	400	400	400	400	400	400	1	4	125	105
125	360	280	170	510	170	510	220	48	400	400	400	400	400	400	400	1	4	125	105
130	360	280	170	510	170	510	220	48	400	400	400	400	400	400	400	1	4	148	140
135	360	280	170	510	170	510	220	48	400	400	400	400	400	400	400	1 1/8	4	148	140
140	420	330	200	580	200	580	250	55	460	460	460	460	460	460	460	1 1/8	4	180	180
145	420	330	200	580	200	580	250	55	460	460	460	460	460	460	460	1 1/8	4	180	180
150	420	330	200	580	200	580	250	55	460	460	460	460	460	460	460	1 1/4	4	220	220
155	420	330	200	580	200	580	250	55	460	460	460	460	460	460	460	1 1/4	4	260	260
160	420	330	200	580	200	580	250	55	460	460	460	460	460	460	460	1 1/4	4	260	260
170	480	390	235	680	235	680	280	65	530	530	530	530	530	530	530	1 1/2	4	350	350
180	480	390	235	680	235	680	280	65	530	530	530	530	530	530	530	1 1/2	4	380	380
190	480	390	235	680	235	680	280	65	530	530	530	530	530	530	530	1 1/2	4	400	400
200	560	460	270	790	270	790	320	80	630	630	630	630	630	630	630	1 1/2	4	480	480
210	560	460	270	790	270	790	320	80	630	630	630	630	630	630	630	1 1/2	4	480	480
220	560	460	270	790	270	790	320	80	630	630	630	630	630	630	630	1 1/2	4	580	580

Zu Tafel 27/28.

Die Preise verstehen sich ohne Befestigungsschrauben.



**Stahlager mit Kugelbewegung und Ringschmierung.** Nach A. Spengler, M.-Gladsbach.

Bohrung des Lagers	d mm	Äussere Schalenlänge L mm	Innere Schalenlänge L <sub>1</sub> mm	Lagerhöhe h mm	Fussplatte			Befestigungsschrauben		Gewicht kg	Preis Mk.	
					Länge a mm	Breite b mm	Stärke c mm	Längs- Entfernung e mm	Quer- Entfernung f mm			Durch- messer s Zoll
40	200	150	90	225	90	25	170	—	1/2	2	15	26
45	200	150	90	225	90	25	170	—	1/2	2	15	25
50	240	175	100	260	105	28	200	—	3/8	2	25	28
60	280	205	110	310	125	30	230	—	3/4	2	30	36
65	280	205	110	310	125	30	230	—	3/4	2	30	36
70	330	250	130	350	140	36	260	—	7/8	2	45	43
75	330	250	130	350	140	36	260	—	7/8	2	45	43
80	330	250	130	350	140	36	260	—	7/8	2	65	62
85	390	300	150	400	165	40	300	—	1	2	75	65
90	390	300	150	400	165	40	300	—	1	2	75	65
95	390	300	150	400	165	40	300	—	1 1/8	2	100	72
100	460	370	180	450	190	45	340	—	1 1/8	2	100	72
105	460	370	180	450	190	45	340	—	1 1/8	2	120	80
110	460	370	180	450	190	45	340	—	1 1/8	2	150	90
115	520	435	200	515	220	50	385	110	1 1/4	4	150	90
120	520	435	200	515	220	50	385	110	1 1/4	4	180	105
125	520	435	200	515	220	50	385	110	1 1/4	4	180	105
130	520	435	200	515	220	50	385	130	1 1/4	4	180	105
135	600	500	225	580	250	55	460	130	1 1/4	4	200	125
140	600	500	225	580	250	55	460	130	1 1/4	4	200	125
145	600	500	225	580	250	55	460	130	1 1/4	4	200	125
150	600	500	225	580	250	55	460	130	1 1/4	4	210	140

Die Preise verstehen sich ohne Befestigungsschrauben und gelten für Lager ohne Weismetal-schalen.

Preise für solche mit Weismetal-schalen auf besondere Anfrage.

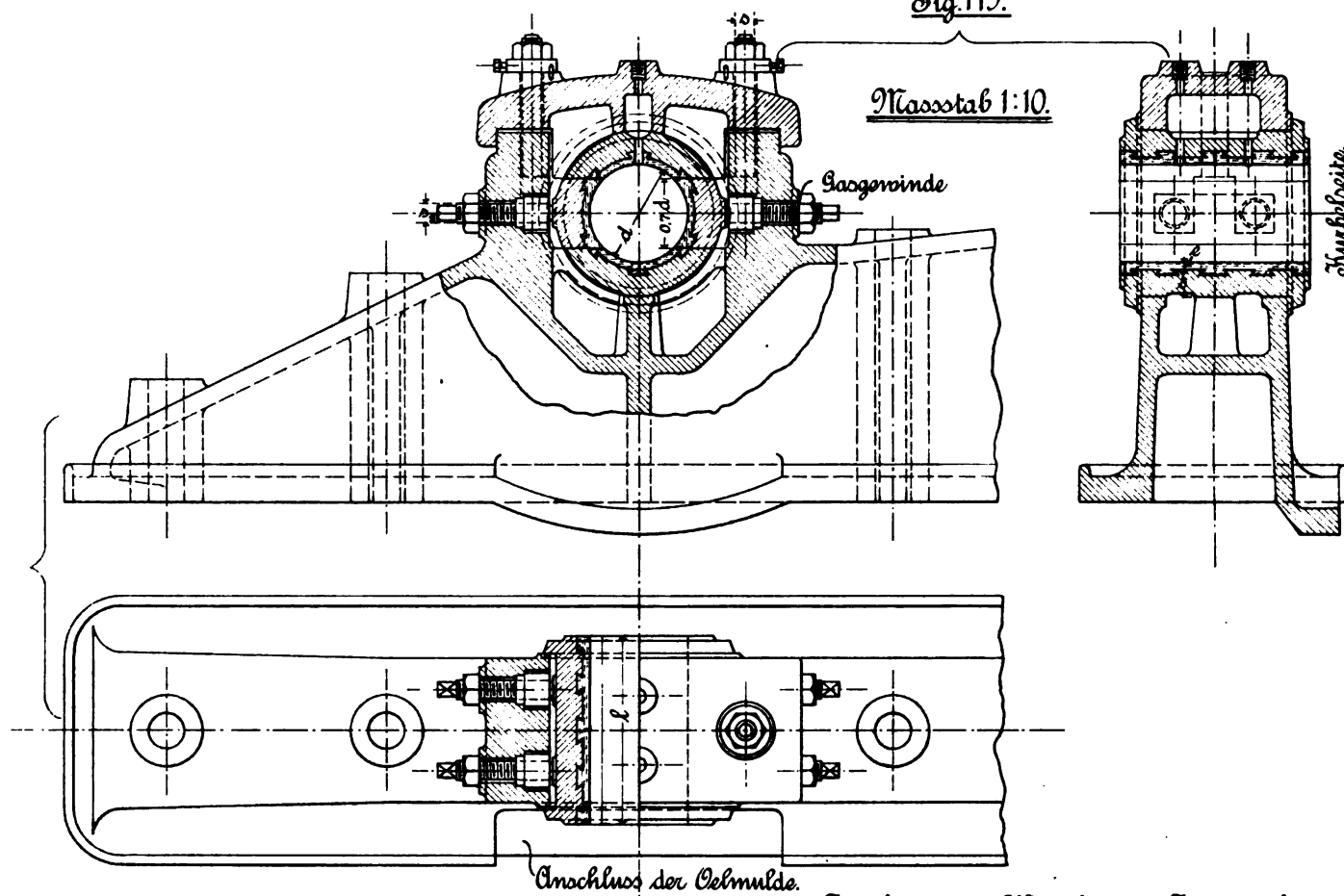




# Kurbelmellenlager.

Fig.115.

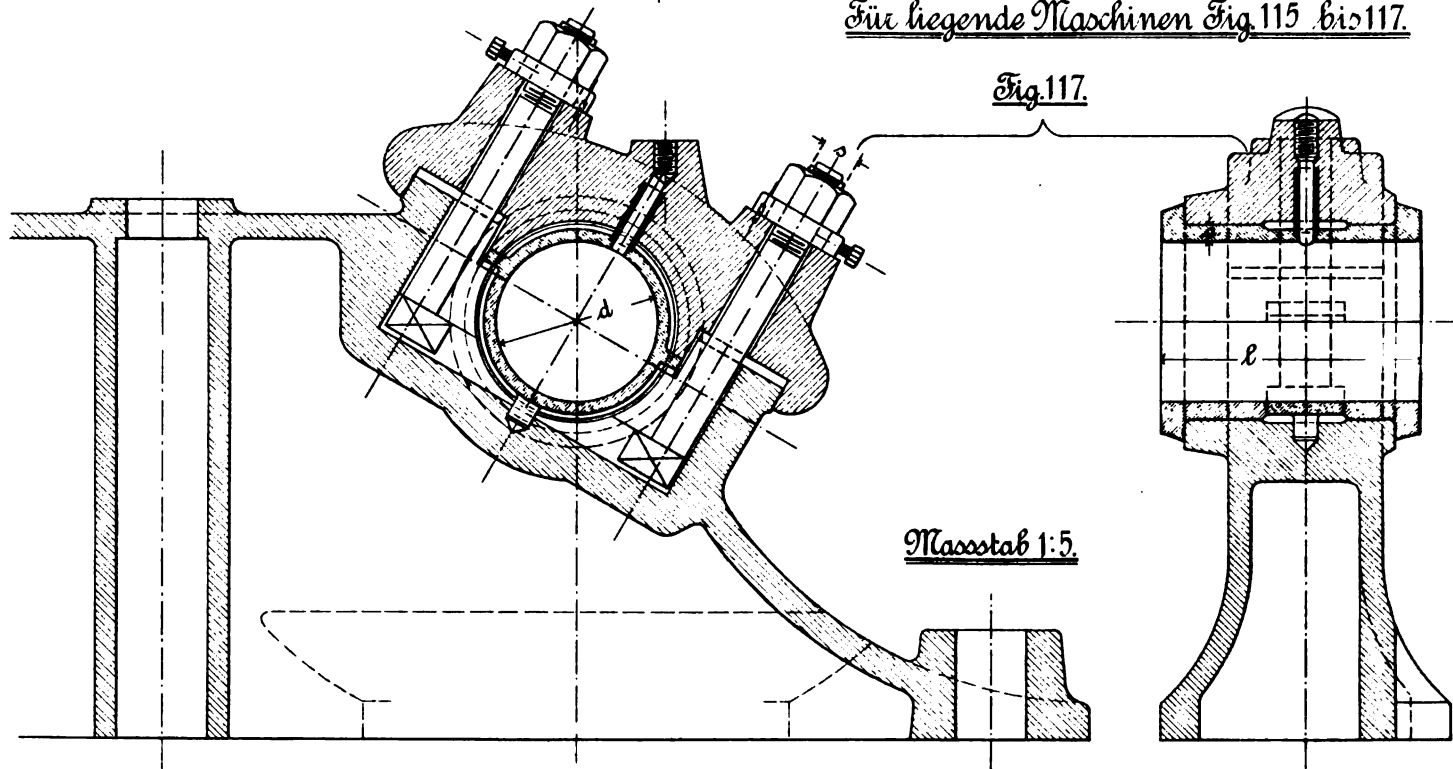
Maassstab 1:10.



Für liegende Maschinen Fig.115 bis 117.

Fig.117.

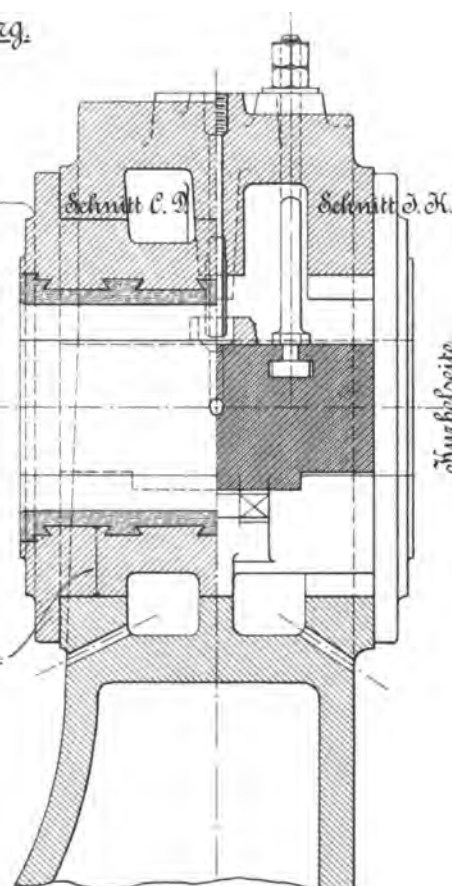
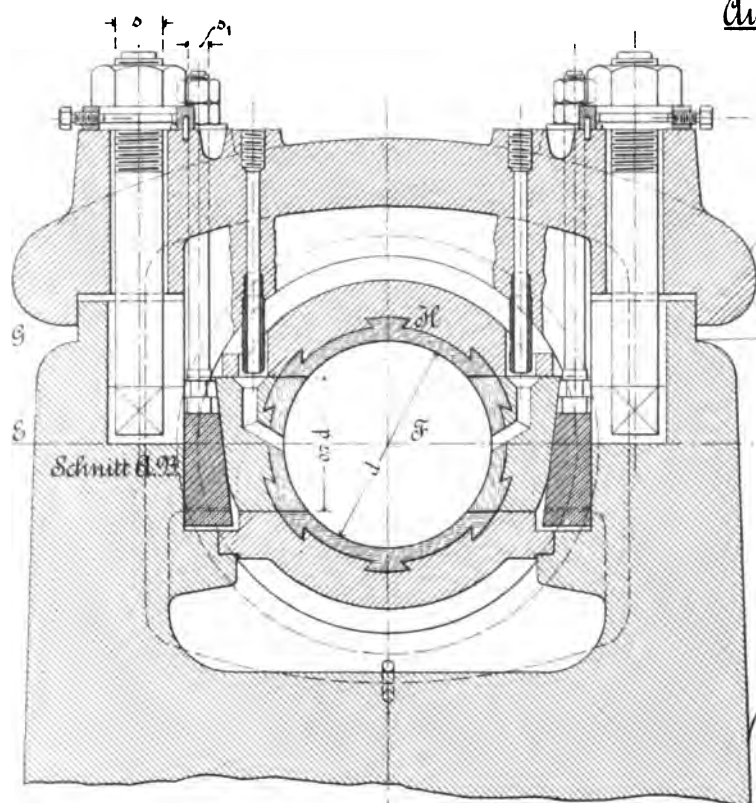
Maassstab 1:5.



Ausgeführt von B. Bechstein.  
Altenburg.

Fig. 116.

Maßstab 1:5.



gesd. 10 u. darüber

Stuhelseite

Schalenstärken.

Gussisen:  $\delta = 0,17 d$  bis  $0,17 d + 9$

Weisometall:  $\delta = 0,024 d + 4$  u. darüber

Rotguss:  $\delta = 0,07 d + 6$

Deckelschrauben.

bei 2 Schrauben für ( $d$  bis 180 mm),  $\phi = 0,17 d + 5$  u. darüber

" 4 " " ( $d > 180$  mm),  $\phi = 0,14 d + 4$  " "

Stellschrauben.

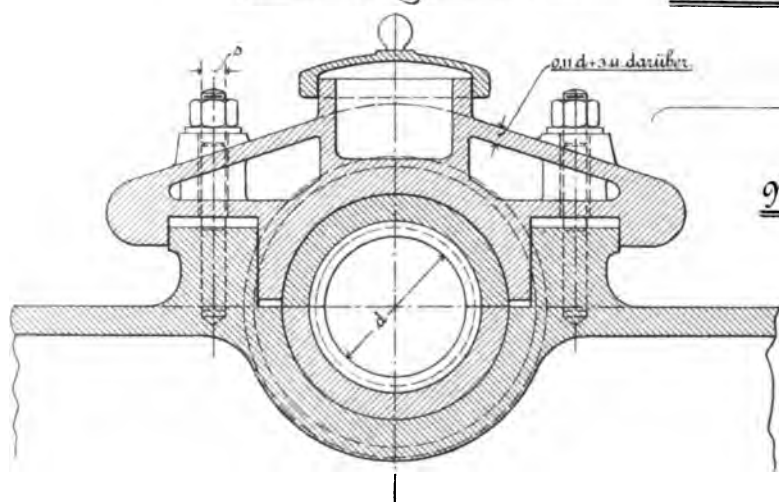
$\phi_1 = 0,11 d + 3$  u. darüber

$\phi_2 = \text{circ. } 0,19 d$

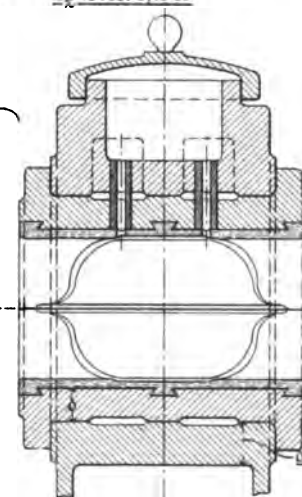
Für stehende Maschinen.

Fig. 118.

Maßstab 1:5.



$\phi 11 d + 3$  u. darüber



gesd. 10 u. darüber

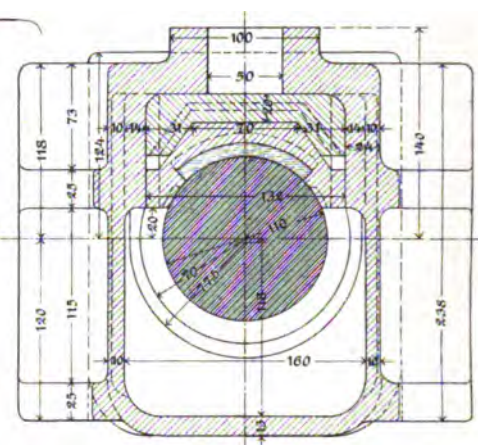
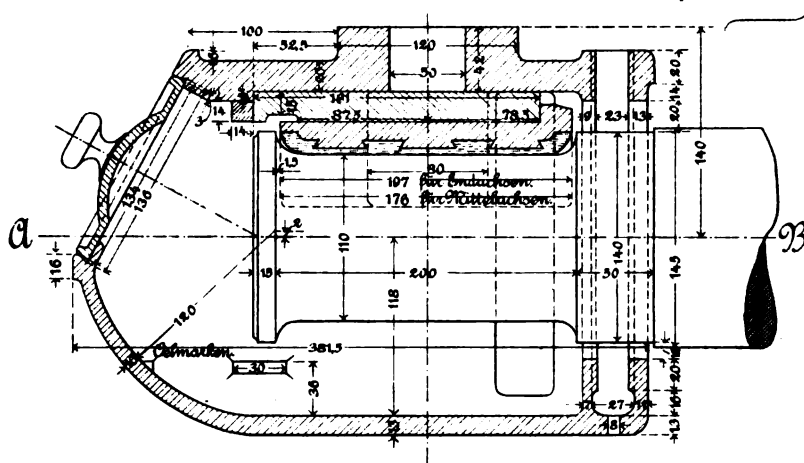
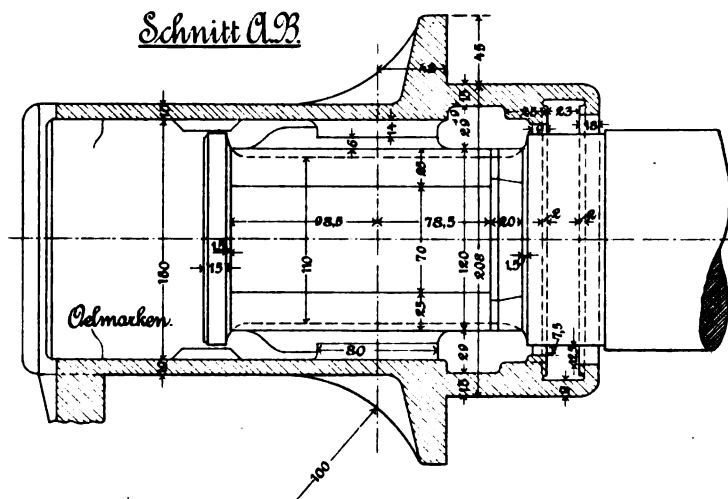




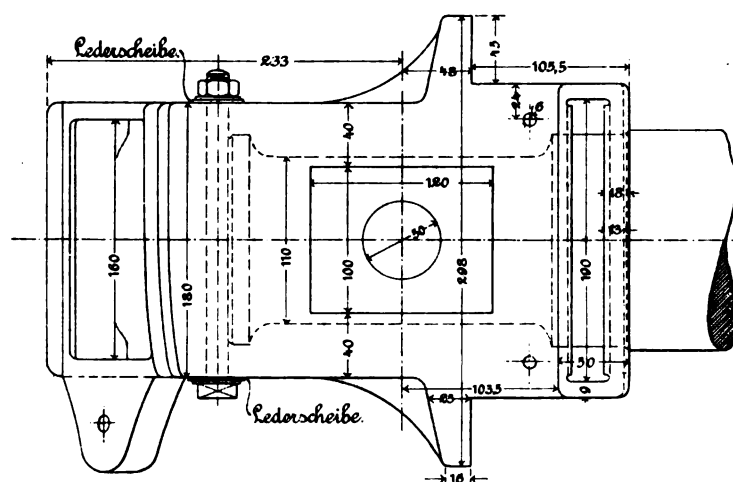


Geschlossene Achsbuchse für Wagen.

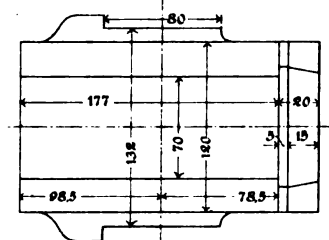
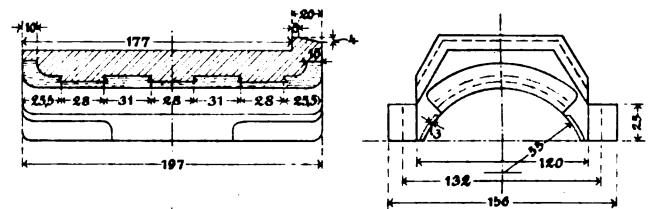
Fig. 119.

Maßstab 1:5.Schnitt A.B.

Ohere Ansicht.

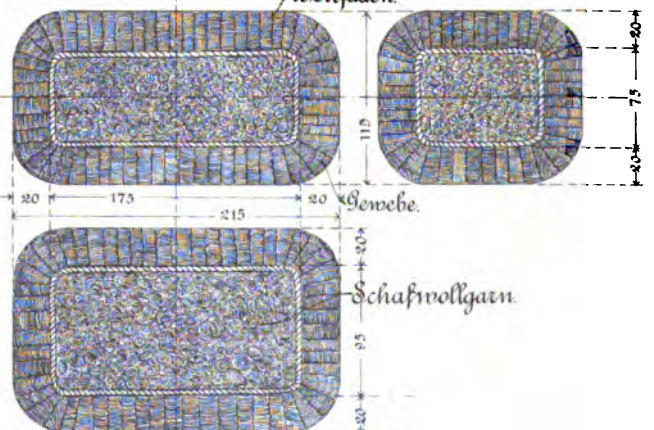


Lagerschale.



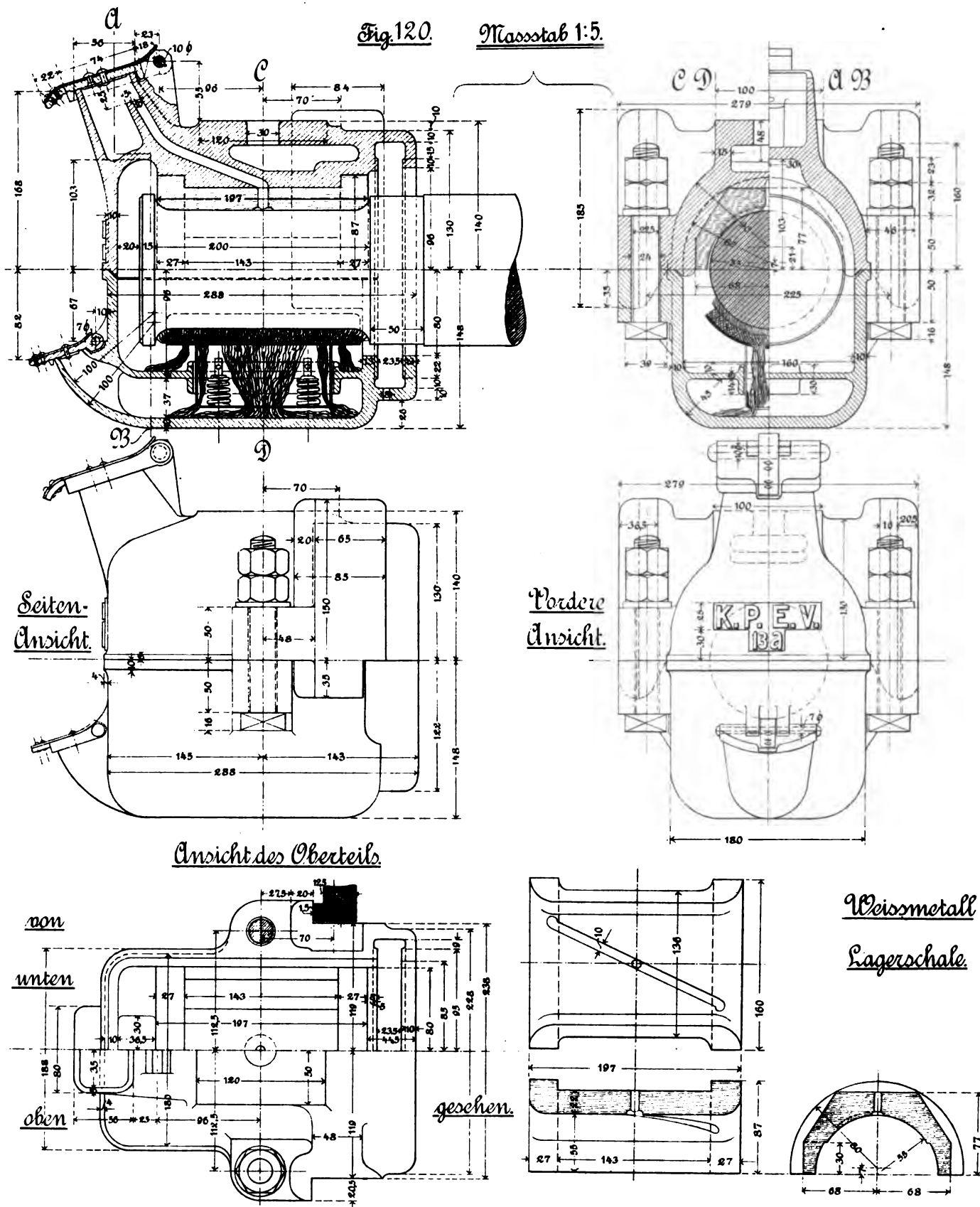
Schmierpolster.

Wollfäden.



### Geteilte Achsbuchse für Wagen.

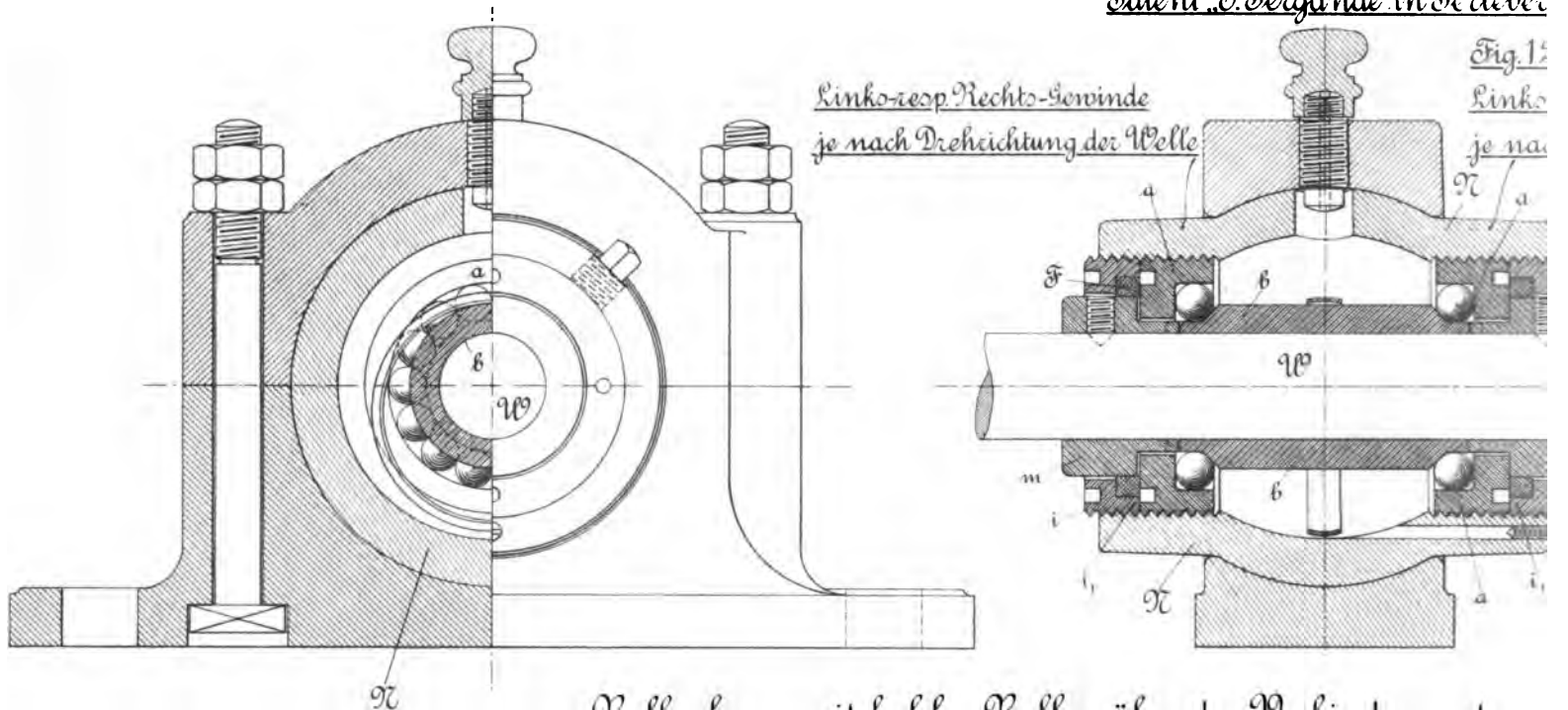
Fig. 120. Maßstab 1:5.





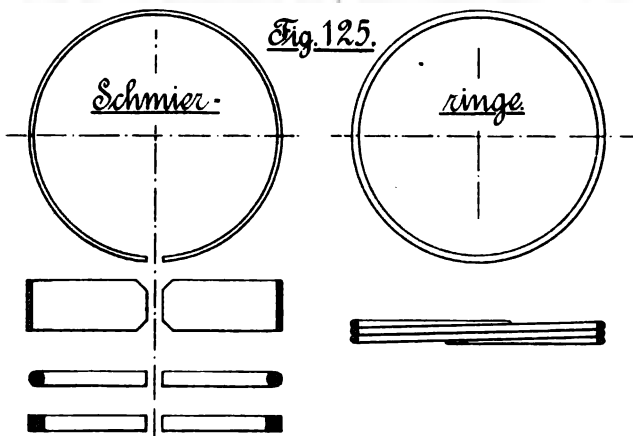
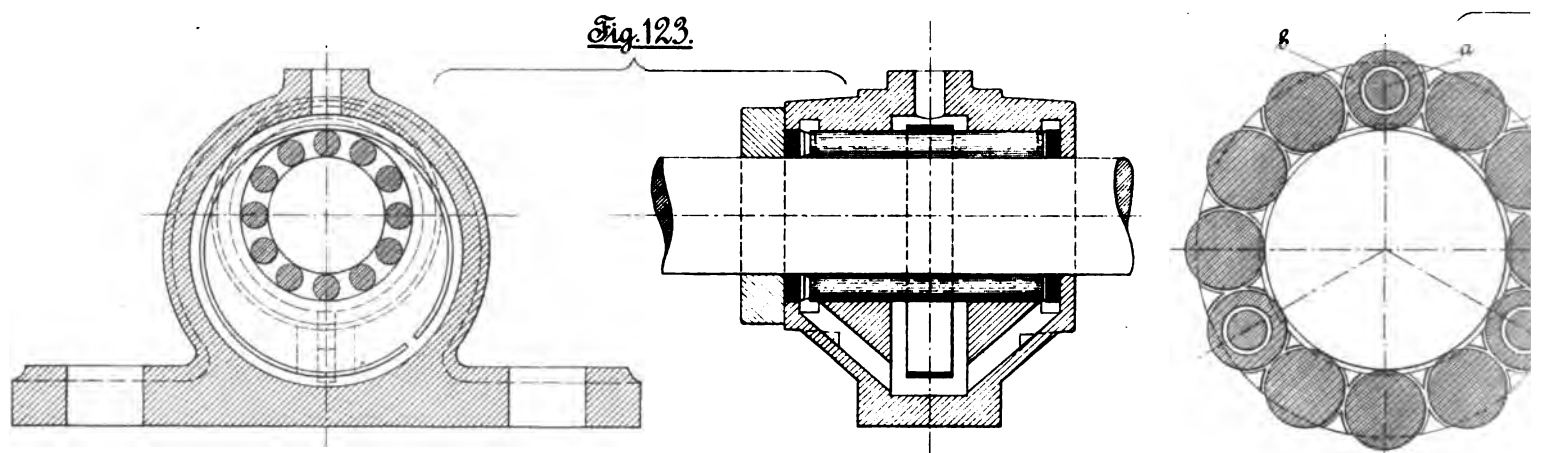


Staubdichtes Kugellager.  
Patent „E. Bergande“ in Berlin



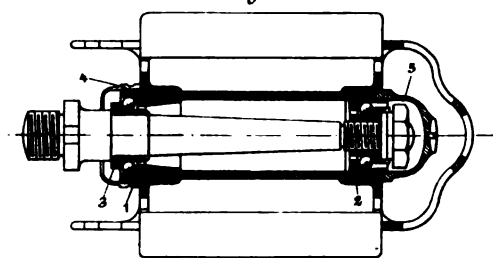
Rollen-Ringschmierlager.

Rollenlager mit hohlen Rollen über den Verbindungsstege  
Patent „Ph. Mayfarth & Comp.“ Frankfurt a.M.



Pedal des Wanderer Fahrrades.

Fig. 127.



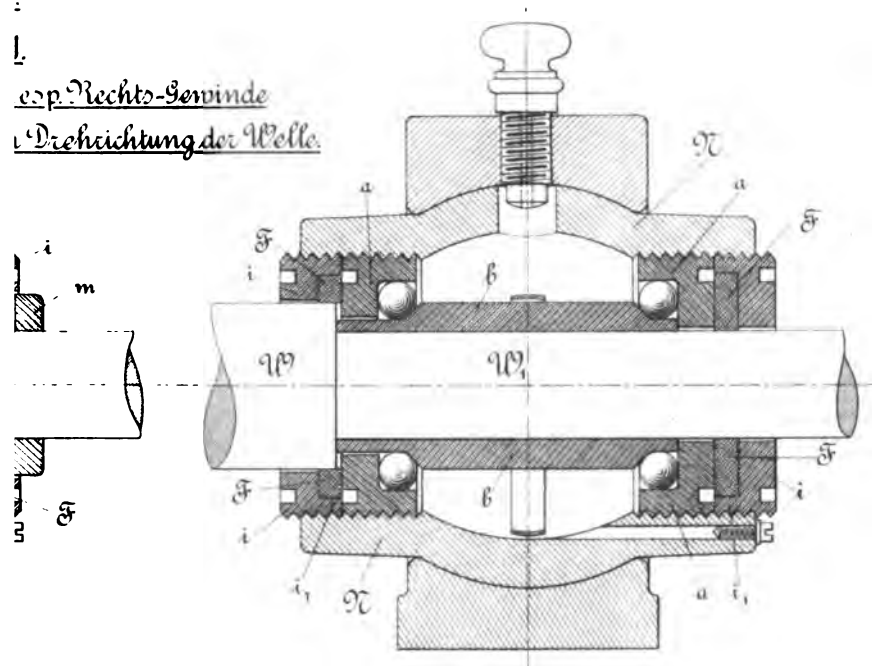
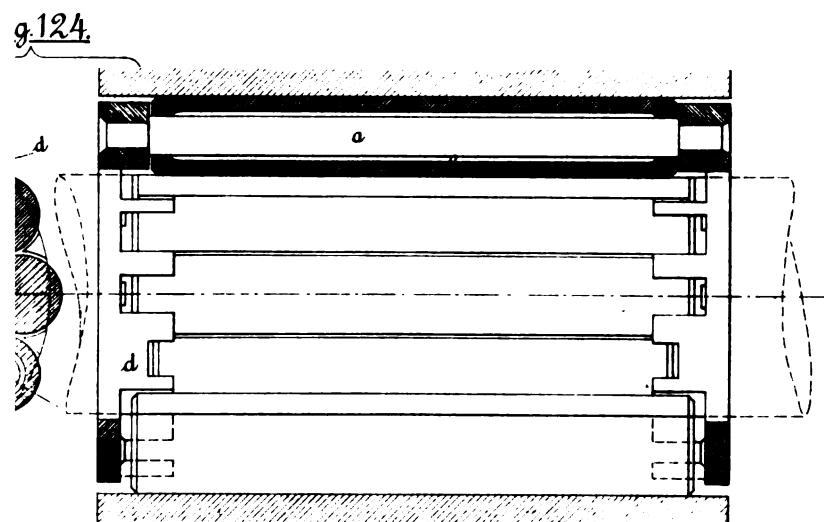
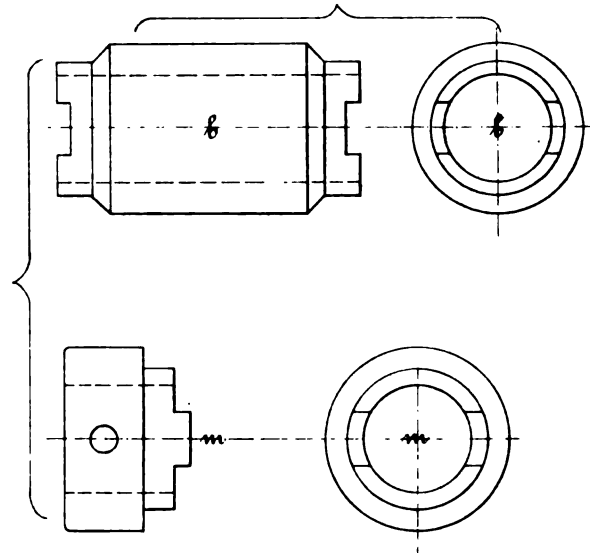
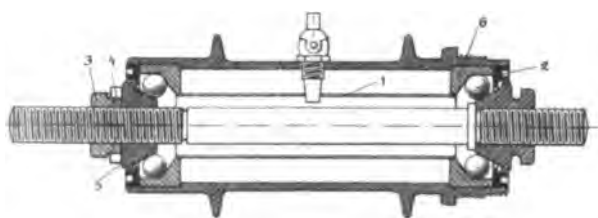


Fig. 122.



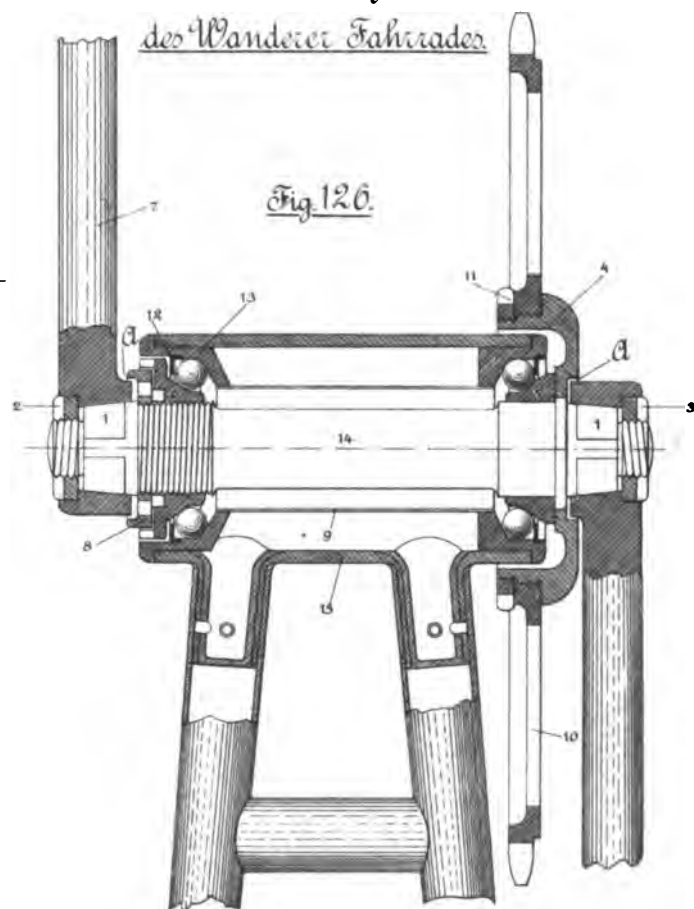
Nabe des Wanderer Fahrrades.

Fig. 128.



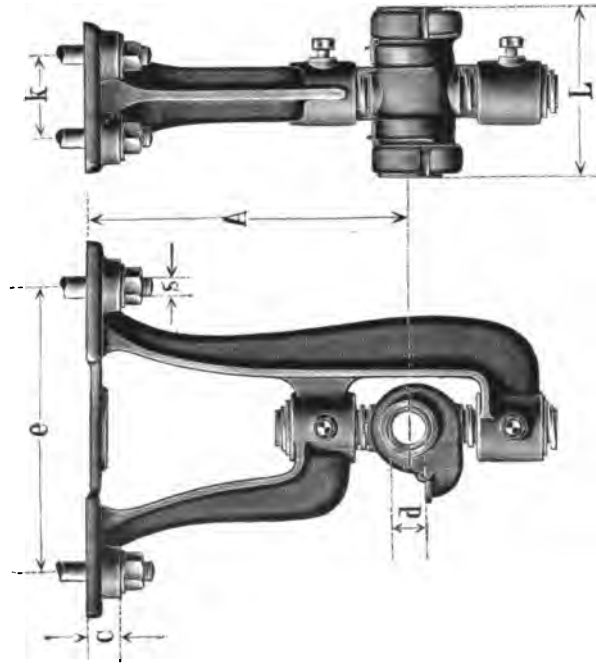
Kurbellager  
des Wanderer Fahrrades

Fig. 126.









# Offenes Hängelager mit Kugelbewegung, verstellbarer Lagerachse und Ringschmierung.

Nach A. Spengler, M.-Gladbach.

Bohrung des Lagers	Schalenlänge	Ausladung	Stärke an den Schrauben	Befestigungsschrauben				Gewicht	Preis	Bohrung des Lagers	Schalenlänge	Ausladung	Stärke an den Schrauben	Befestigungsschrauben				Gewicht	Preis	Bohrung des Lagers	Schalenlänge	Ausladung	Stärke an den Schrauben	Befestigungsschrauben				Gewicht	Preis
				Längs- Entfernung	Quer- Entfernung	Durch- messer	Anzahl							Längs- Entfernung	Quer- Entfernung	Durch- messer	Anzahl												
40	200	250	30	260	—	3/4	2	20	25	60	280	300	40	360	—	7/8	2	45	36	75	330	600	45	490	—	1 1/8	75	53	
40	200	300	30	280	—	3/4	2	21	26	60	280	350	40	390	—	1	2	50	37	75	330	700	45	520	150	7/8	85	56	
40	200	350	30	300	—	3/4	2	22	27	60	280	400	40	420	—	1 1/8	2	55	38	80	330	350	45	400	—	1	75	54	
40	200	400	30	310	—	3/4	2	23	28	60	280	500	40	450	—	1 1/8	2	60	40	80	330	400	45	430	—	1 1/8	85	59	
40	200	500	30	320	—	7/8	2	24	30	60	280	600	40	480	—	1 1/8	2	65	42	80	330	500	45	460	—	1 1/8	95	63	
45	200	250	30	260	—	3/4	2	20	25	60	280	700	40	520	—	7/8	2	70	45	80	330	600	45	490	—	—	100	68	
45	200	300	30	280	—	3/4	2	21	26	65	230	300	40	360	—	7/8	2	45	36	80	330	700	45	520	150	7/8	85	56	
45	200	350	30	300	—	3/4	2	22	27	65	280	350	40	390	—	1	2	50	37	85	390	400	50	400	—	150	7/8	85	56
45	200	400	30	310	—	3/4	2	23	28	65	280	400	40	420	—	1 1/8	2	55	38	85	390	500	50	450	185	7/8	95	63	
45	200	500	30	320	—	7/8	2	24	30	65	280	500	40	450	—	1 1/8	2	60	40	85	390	600	50	500	185	1	100	68	
50	240	300	35	300	—	3/4	2	33	32	65	280	600	40	480	—	1 1/8	2	65	42	85	390	700	50	550	185	1	100	68	
50	240	350	35	340	—	3/4	2	40	33	65	280	700	40	520	—	1 1/8	2	70	45	90	390	400	50	400	—	7/8	95	67	
50	240	400	35	380	—	7/8	2	42	34	70	330	350	45	400	—	1	2	60	45	90	390	500	50	500	185	7/8	106	71	
50	240	500	35	420	—	7/8	2	45	36	70	330	400	45	430	—	1 1/8	2	65	47	90	390	600	50	550	185	1	115	76	
55	240	300	35	300	—	7/8	2	50	38	70	330	500	45	460	—	1 1/8	2	70	50	90	390	700	50	550	185	1	130	82	
55	240	400	35	340	—	3/4	2	38	32	70	330	600	45	490	—	1 1/8	2	75	53	95	390	400	50	400	—	7/8	95	67	
55	240	350	35	380	—	7/8	2	42	33	70	330	700	45	520	150	7/8	4	85	56	95	390	500	50	450	185	1	106	71	
55	240	400	35	380	—	7/8	2	42	34	75	330	350	45	400	—	1	2	80	45	95	390	600	50	500	185	1	115	76	
55	240	500	35	420	—	7/8	2	45	36	75	330	400	45	430	—	1 1/8	2	85	47	95	390	700	50	550	185	1	130	82	
55	240	600	35	450	—	7/8	2	50	38	75	330	500	45	460	—	1 1/8	2	90	50	95	390	800	50	600	185	1	140	87	

Mit Kugelbewegung und Sellerssche

Fig. 129.

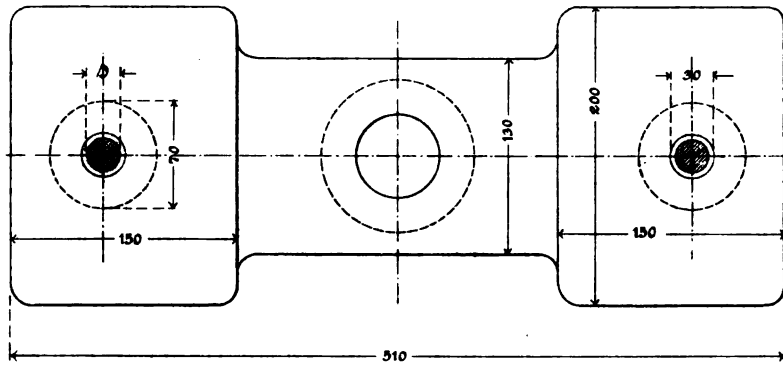


Fig. 129 u. 130

nach A. Spengler,

Maschinenfabrik,

M. Gladbach.

Mit Kugelbewegung in

Fig. 130.

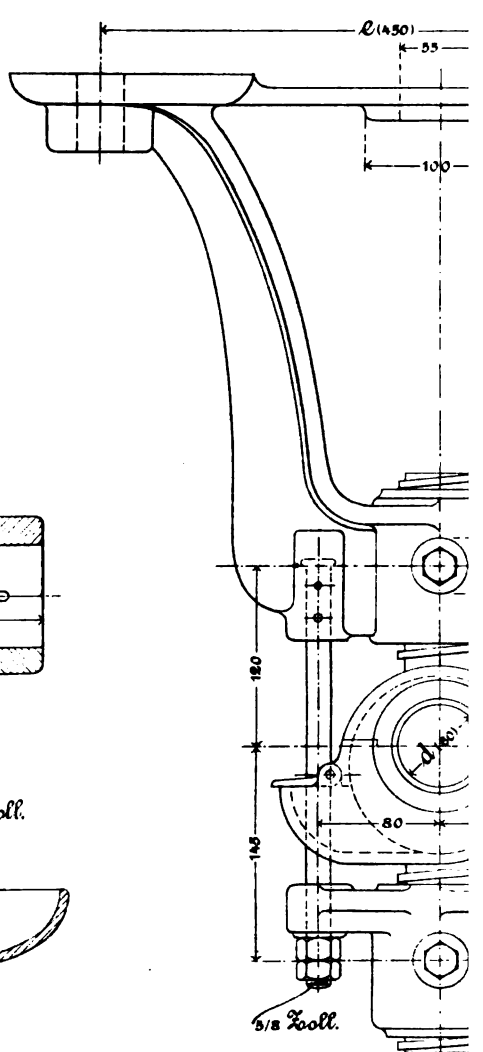
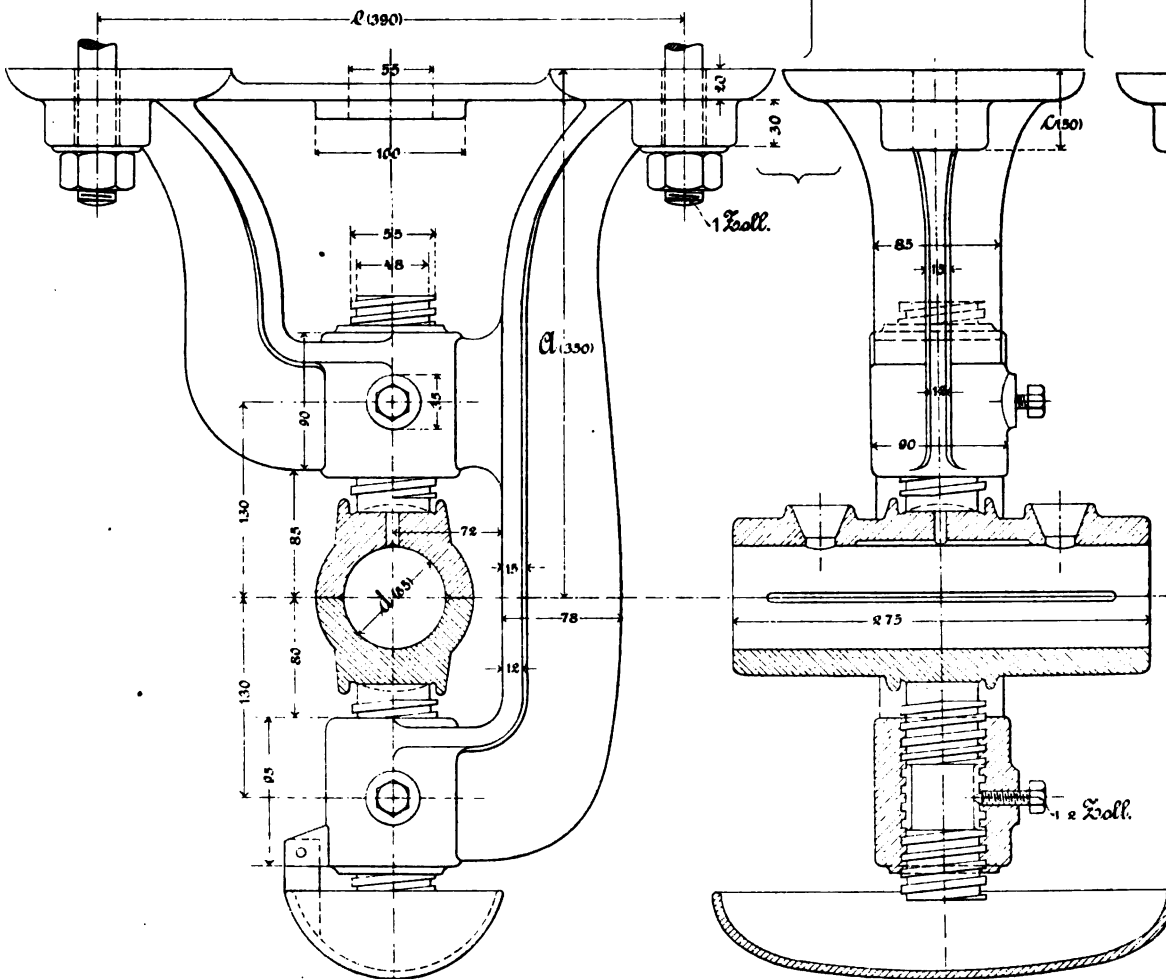
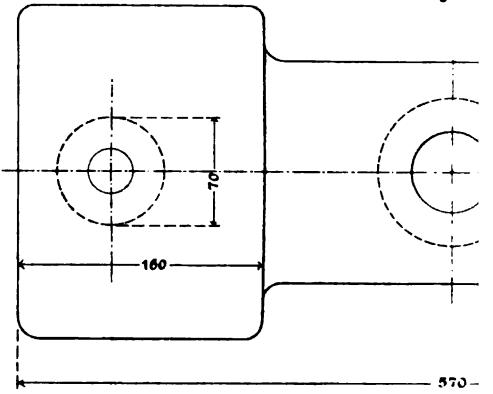


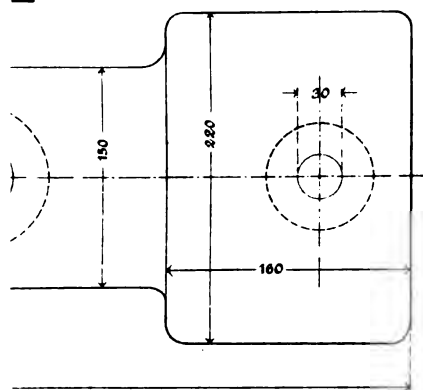
Tabelle s. umstehend.

Massstab für Fig. 129 u. 130 - 1:5.

Agct.

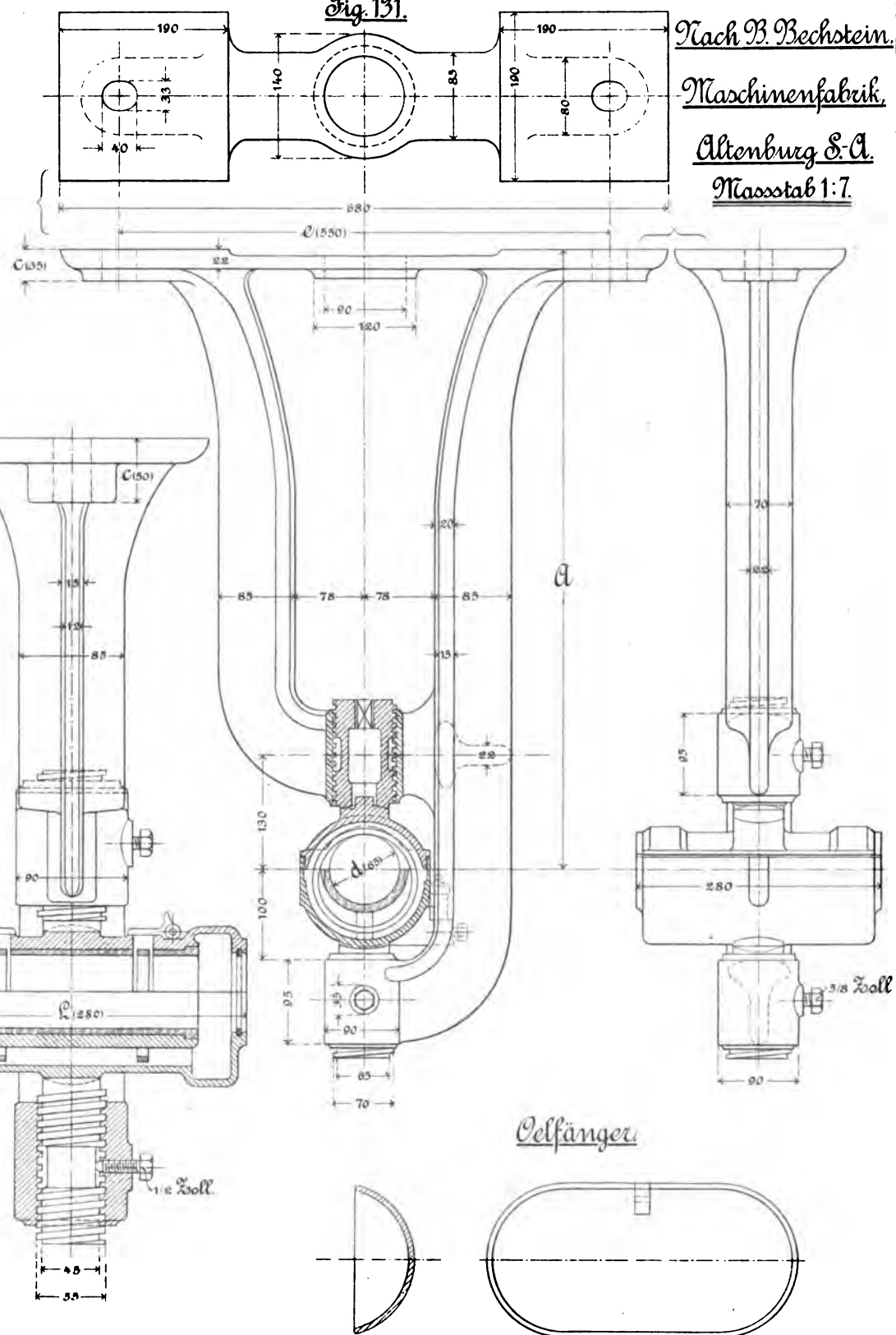
### d Ringschmierung.

Q.



### Mit Kugelbewegung und Ringschmierung.

Fig. 131.



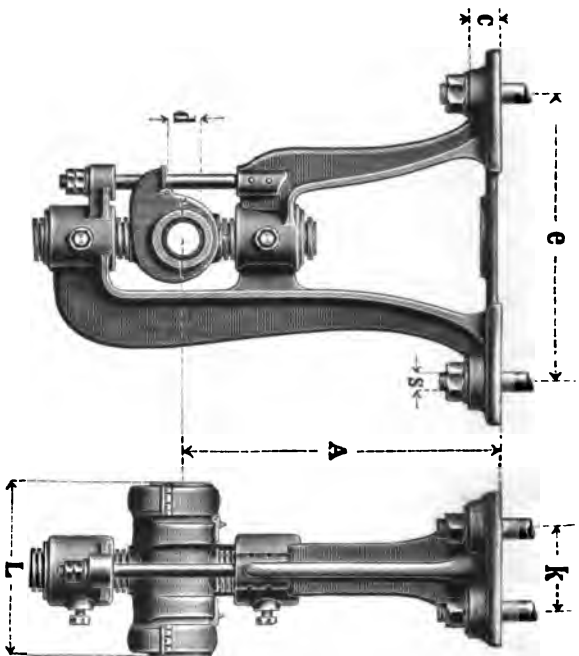
Nach B. Bechstein.

Maschinenfabrik,

Altenburg S.-A.

Massstab 1:7.

Tabelle s. umstehend.



## Hängelager mit Kugelbewegung, verstellbarer Lagerachse, Ringschmierung und Stangenschloss.

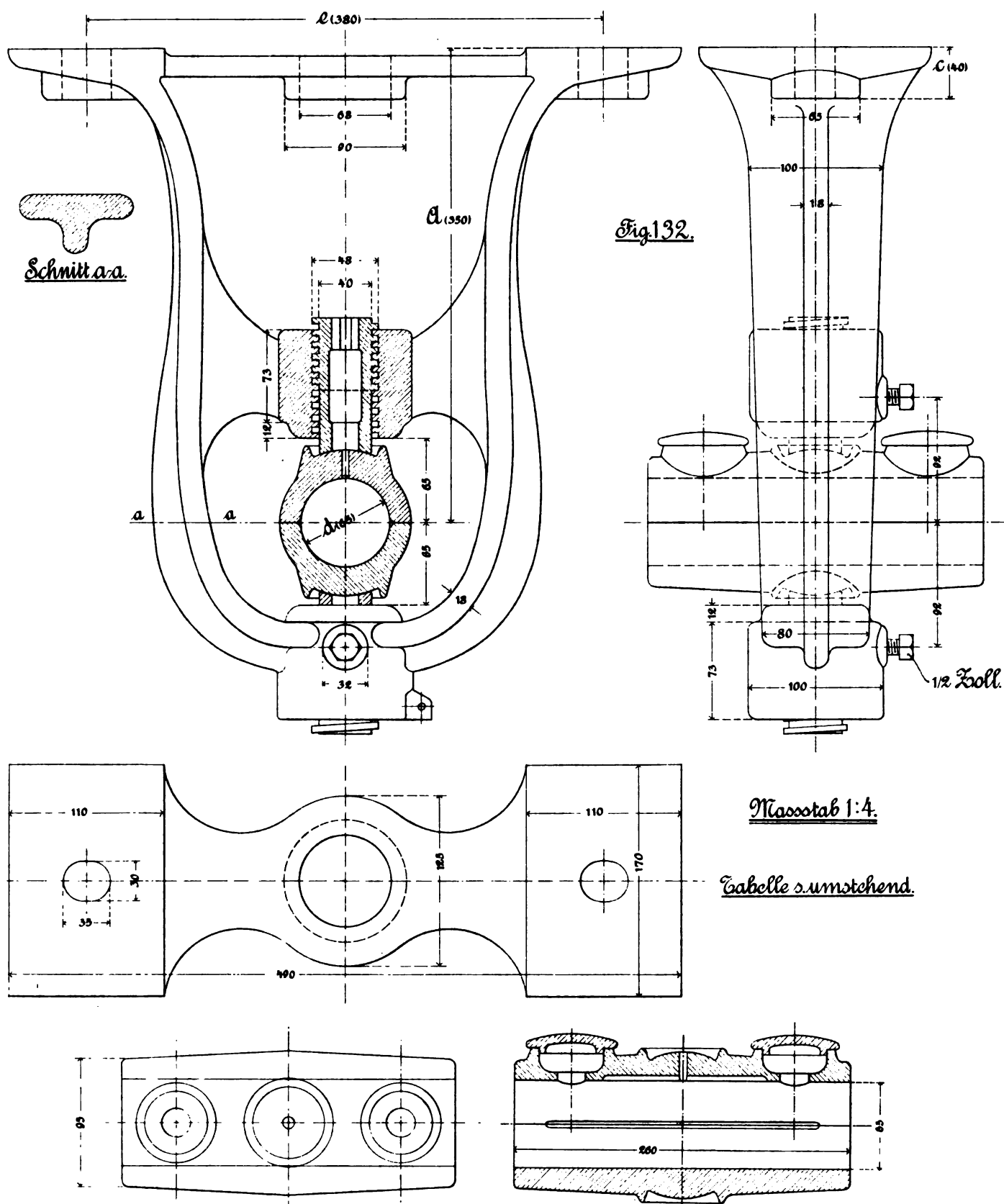
Nach A. Spengler, M.-Gladbach.

Bohrung des Lagers	Schalenlänge	Ausladung	Stärke an den Schrauben	Befestigungsschrauben				Gewicht	Preis	Bohrung des Lagers	Schalenlänge	Ausladung	Stärke an den Schrauben	Befestigungsschrauben				Gewicht	Preis	Bohrung des Lagers	Schalenlänge	Ausladung	Stärke an den Schrauben	Befestigungsschrauben				Gewicht	Preis
				Längs- Entfernung	Quer- Entfernung	Durch- messer	Anzahl							Längs- Entfernung	Quer- Entfernung	Durch- messer	Anzahl							Längs- Entfernung	Quer- Entfernung	Durch- messer	Anzahl		
40	200	250	30	260	—	3/4	2	22	28	65	280	400	40	420	—	1	2	56	42	95	390	500	50	450	185	7/8	4	110	73
40	200	300	30	280	—	3/4	2	23	29	65	280	500	40	450	—	1 1/8	2	61	44	95	390	600	50	500	185	1	4	120	77
40	200	350	30	300	—	3/4	2	24	30	65	280	600	40	480	—	1 1/8	2	70	46	95	390	700	50	550	185	1	4	140	80
40	200	400	30	310	—	3/4	2	25	31	65	280	700	40	520	—	1 1/8	2	75	50	100	460	800	55	600	220	1	4	160	84
40	200	500	30	320	—	3/4	2	26	33	70	330	800	45	410	—	1	2	65	49	100	460	900	55	650	220	1	4	180	90
45	200	250	30	260	—	3/4	2	22	28	70	330	600	45	430	—	1 1/8	2	54	51	100	460	700	55	550	220	1 1/8	4	140	96
45	200	300	30	280	—	3/4	2	23	29	70	330	700	45	460	—	1 1/8	2	57	54	100	460	800	55	600	220	1 1/8	4	150	100
45	200	350	30	300	—	3/4	2	24	30	70	330	800	45	490	—	1 1/8	2	60	57	105	460	900	55	650	220	1	4	160	104
45	200	400	30	310	—	3/4	2	25	31	70	330	900	45	520	150	1 1/8	2	65	59	105	460	1000	55	700	220	1 1/8	4	170	108
45	200	500	30	320	—	3/4	2	26	33	75	330	1000	45	400	—	1	2	65	49	105	460	1100	55	750	220	1	4	180	112
50	240	300	35	320	—	3/4	2	26	33	75	330	600	45	430	—	1 1/8	2	70	51	105	460	700	55	600	220	1 1/8	4	140	96
50	240	350	35	340	—	3/4	2	27	34	75	330	700	45	460	—	1 1/8	2	75	54	110	460	800	55	650	220	1 1/8	4	150	100
50	240	400	35	360	—	3/4	2	28	36	75	330	800	45	490	—	1 1/8	2	80	57	110	460	900	55	700	220	1	4	160	104
50	240	500	35	380	—	3/4	2	29	38	75	330	900	45	520	150	1 1/8	2	85	60	110	460	1000	55	750	220	1 1/8	4	170	108
55	240	300	35	340	—	3/4	2	26	33	80	330	600	45	430	—	1 1/8	2	75	54	110	460	700	55	600	220	1 1/8	4	140	96
55	240	350	35	360	—	3/4	2	27	34	80	330	700	45	460	—	1 1/8	2	80	57	115	460	800	55	650	220	1 1/8	4	150	100
55	240	400	35	380	—	3/4	2	28	36	80	330	800	45	490	—	1 1/8	2	85	60	115	460	900	55	700	220	1 1/8	4	160	104
55	240	500	35	420	—	3/4	2	29	38	80	330	900	45	520	150	1 1/8	2	90	62	115	460	1000	55	750	220	1 1/8	4	170	108
60	280	300	40	360	—	3/4	2	28	36	85	390	600	50	450	185	1 1/8	2	85	60	120	520	700	65	700	250	1 1/8	4	170	114
60	280	350	40	380	—	3/4	2	29	38	85	390	700	50	480	185	1 1/8	2	90	62	120	520	800	65	750	250	1 1/8	4	180	118
60	280	400	40	400	—	3/4	2	30	40	85	390	800	50	510	185	1 1/8	2	95	65	125	520	900	65	800	250	1 1/8	4	190	122
60	280	500	40	440	—	3/4	2	31	41	85	390	900	50	540	185	1 1/8	2	100	68	125	520	1000	65	850	250	1 1/8	4	200	126
65	280	300	40	400	—	3/4	2	28	36	90	390	600	50	450	185	1 1/8	2	90	62	130	520	700	65	750	250	1 1/8	4	180	118
65	280	350	40	420	—	3/4	2	29	38	90	390	700	50	480	185	1 1/8	2	95	65	130	520	800	65	800	250	1 1/8	4	190	122
65	280	400	40	440	—	3/4	2	30	40	90	390	800	50	510	185	1 1/8	2	100	68	130	520	900	65	850	250	1 1/8	4	200	126
65	280	500	40	480	—	3/4	2	31	41	90	390	900	50	540	185	1 1/8	2	105	71	130	520	1000	65	900	250	1 1/8	4	210	130
65	280	600	40	520	—	3/4	2	32	42	90	390	1000	50	570	185	1 1/8	2	110	73	130	520	1100	65	950	250	1 1/8	4	220	134
65	280	700	40	560	—	3/4	2	33	44	90	390	1100	50	600	185	1 1/8	2	115	77	130	520	1200	65	1000	250	1 1/8	4	230	138
65	280	800	40	600	—	3/4	2	34	46	90	390	1200	50	630	185	1 1/8	2	120	81	130	520	1300	65	1050	250	1 1/8	4	240	142
65	280	900	40	640	—	3/4	2	35	48	90	390	1300	50	660	185	1 1/8	2	125	85	130	520	1400	65	1100	250	1 1/8	4	250	146
65	280	1000	40	680	—	3/4	2	36	50	90	390	1400	50	690	185	1 1/8	2	130	89	130	520	1500	65	1150	250	1 1/8	4	260	150

Zu Tafel 35/36.

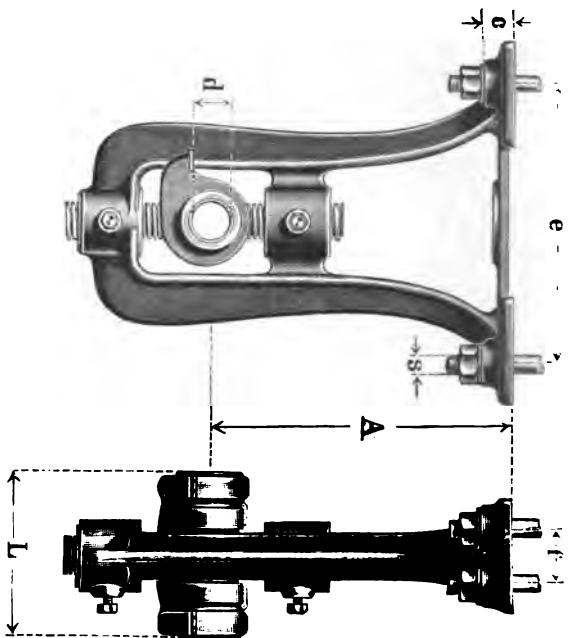
Die innere Schalenlänge ist dieselbe wie bei Fig. 113, Taf. 27/28. Die Preise verstehen sich für Lagerachsen mit Ringschmierung, aber ohne Weisemetalfutter und Befestigungsschrauben.

Geschlossenes Hängelager.



Maßstab 1:4.

Tabelle s. umstehend.

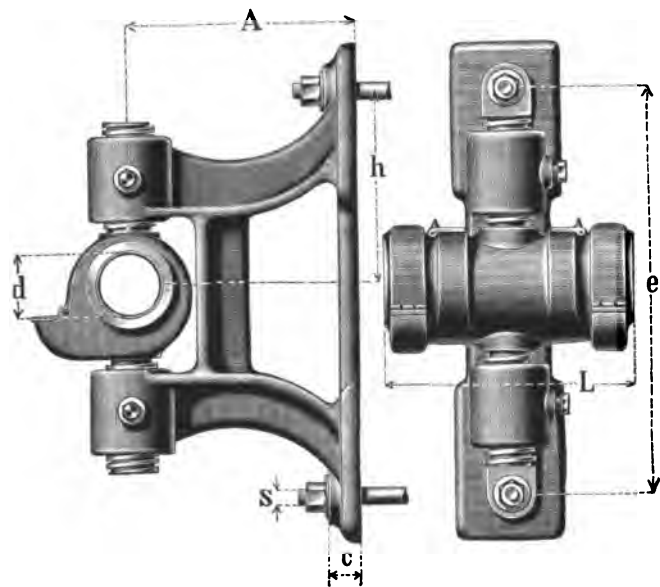


# Geschlossenes Hängelager mit Kugelbewegung, verstellbarer Lagerachse und Ringschmierung. Nach A. Spengler, M.-Gladbach.

Bohrung des Lagers	Schalenlänge	Ausladung	Stärke an den Schrauben	Befestigungsschrauben				Gewicht	Preis	Bohrung des Lagers	Schalenlänge	Ausladung	Stärke an den Schrauben	Befestigungsschrauben				Gewicht	Preis	Bohrung des Lagers	Schalenlänge	Ausladung	Stärke an den Schrauben	Befestigungsschrauben				Gewicht	Preis				
				Längs- Entfernung	Quer- Entfernung	Durch- messer	Anzahl							Längs- Entfernung	Quer- Entfernung	Durch- messer	Anzahl							Längs- Entfernung	Quer- Entfernung	Durch- messer	Anzahl						
d	L	A	c	e	f	s				d	L	A	c	e	f	s				d	L	A	c	e	f	s							
mm	mm	mm	mm	mm	mm	Zoll		kg	Mk.	mm	mm	mm	mm	mm	mm	Zoll		kg	Mk.	mm	mm	mm	mm	mm	mm	mm	Zoll		kg	Mk.	kg	Nk.	
40	200	250	30	260	—	3/4	2	25	28	65	280	400	40	420	—	1 1/8	2	54	42	95	390	500	50	450	185	7/8	4	120	73	120	73		
40	200	300	30	260	—	3/4	2	26	29	65	280	500	40	450	—	1 1/8	2	56	44	95	390	600	50	450	185	7/8	4	130	77	130	77		
40	200	350	30	300	—	3/4	2	27	30	65	280	600	40	480	—	1 1/8	2	60	46	100	390	700	50	550	185	1	4	150	81	150	81		
40	200	400	30	310	—	3/4	2	28	31	65	280	700	40	520	—	1 1/8	2	65	50	100	460	800	55	450	220	1	4	140	84	140	84		
40	200	500	30	320	—	3/4	2	30	33	70	330	800	45	400	—	1 1/8	2	70	49	100	460	900	55	500	220	1	4	150	84	150	84		
45	200	250	30	260	—	3/4	2	25	28	70	330	400	45	430	—	1 1/8	2	75	51	100	460	600	55	550	220	1 1/8	4	160	96	160	96		
45	200	300	30	280	—	3/4	2	26	29	70	330	500	45	460	—	1 1/8	2	80	53	100	460	700	55	600	220	1 1/8	4	170	100	170	100		
45	200	350	30	300	—	3/4	2	27	30	70	330	600	45	490	—	1 1/8	2	85	57	105	460	800	55	650	220	1 1/8	4	180	102	180	102		
45	200	400	30	310	—	3/4	2	28	31	70	330	700	45	520	—	1 1/8	2	90	60	110	460	900	55	700	220	1 1/8	4	190	110	190	110		
45	200	500	30	320	—	3/4	2	30	33	75	330	800	45	430	—	1 1/8	2	95	62	115	520	1000	65	750	250	1 1/8	4	200	120	200	120		
45	200	600	35	340	—	3/4	2	47	36	75	330	900	45	460	—	1 1/8	2	105	65	120	460	1100	65	800	250	1 1/8	4	210	114	210	114		
50	240	250	35	340	—	3/4	2	45	36	80	330	500	45	480	—	1 1/8	2	115	68	115	520	600	65	800	250	1 1/8	4	200	120	200	120		
50	240	300	35	360	—	3/4	2	47	37	80	330	600	45	490	—	1 1/8	2	115	68	115	520	700	65	850	250	1 1/8	4	210	114	210	114		
50	240	350	35	380	—	3/4	2	49	37	80	330	700	45	520	—	1 1/8	2	125	73	120	460	800	65	900	250	1 1/8	4	220	114	220	114		
50	240	400	35	400	—	3/4	2	50	39	85	330	800	45	550	—	1 1/8	2	135	78	120	460	900	65	950	250	1 1/8	4	230	124	230	124		
50	240	500	35	420	—	3/4	2	52	41	85	330	900	45	580	—	1 1/8	2	145	84	125	520	1000	65	1000	250	1 1/8	4	240	136	240	136		
55	240	250	35	380	—	3/4	2	47	37	80	330	500	45	430	—	1 1/8	2	105	65	120	460	600	65	800	250	1 1/8	4	200	120	200	120		
55	240	300	35	400	—	3/4	2	49	37	80	330	600	45	460	—	1 1/8	2	115	68	115	520	700	65	850	250	1 1/8	4	210	114	210	114		
55	240	350	35	420	—	3/4	2	50	39	85	330	700	45	490	—	1 1/8	2	125	78	120	460	800	65	900	250	1 1/8	4	220	114	220	114		
55	240	400	35	440	—	3/4	2	52	41	85	330	800	45	520	—	1 1/8	2	135	84	125	520	900	65	950	250	1 1/8	4	230	124	230	124		
55	240	500	35	460	—	3/4	2	54	42	85	330	900	45	550	—	1 1/8	2	145	84	125	520	1000	65	1000	250	1 1/8	4	240	136	240	136		
60	280	250	40	390	—	3/4	2	50	39	85	330	500	50	430	—	1 1/8	2	105	65	120	520	600	65	850	250	1 1/8	4	200	120	200	120		
60	280	300	40	420	—	3/4	2	52	41	85	330	600	50	460	—	1 1/8	2	115	68	125	520	700	65	900	250	1 1/8	4	210	114	210	114		
60	280	350	40	440	—	3/4	2	54	42	85	330	700	50	490	—	1 1/8	2	125	73	125	520	800	65	950	250	1 1/8	4	220	114	220	114		
60	280	400	40	460	—	3/4	2	56	44	85	330	800	50	520	—	1 1/8	2	135	78	125	520	900	65	1000	250	1 1/8	4	230	124	230	124		
60	280	500	40	480	—	3/4	2	60	46	90	330	900	50	550	—	1 1/8	2	145	84	125	520	1000	65	1050	250	1 1/8	4	240	136	240	136		
60	280	600	40	500	—	3/4	2	65	50	90	330	1000	50	580	—	1 1/8	2	155	90	130	520	1100	65	1100	250	1 1/8	4	250	140	250	140		
65	280	250	40	430	—	3/4	2	52	41	85	330	500	50	430	—	1 1/8	2	105	65	120	520	600	65	850	250	1 1/8	4	200	120	200	120		
65	280	300	40	450	—	3/4	2	54	42	85	330	600	50	460	—	1 1/8	2	115	68	125	520	700	65	900	250	1 1/8	4	210	114	210	114		
65	280	350	40	470	—	3/4	2	56	44	85	330	700	50	490	—	1 1/8	2	125	73	125	520	800	65	950	250	1 1/8	4	220	114	220	114		
65	280	400	40	490	—	3/4	2	60	46	90	330	800	50	520	—	1 1/8	2	135	78	125	520	900	65	1000	250	1 1/8	4	230	124	230	124		
65	280	500	40	510	—	3/4	2	65	50	90	330	900	50	550	—	1 1/8	2	145	84	125	520	1000	65	1050	250	1 1/8	4	240	136	240	136		
65	280	600	40	530	—	3/4	2	65	50	90	330	1000	50	580	—	1 1/8	2	155	90	130	520	1100	65	1100	250	1 1/8	4	250	140	250	140		
65	280	700	40	550	—	3/4	2	65	50	90	330	1100	50	610	—	1 1/8	2	155	90	130	520	1200	65	1100	250	1 1/8	4	250	140	250	140		
65	280	800	40	570	—	3/4	2	65	50	90	330	1200	50	640	—	1 1/8	2	155	90	130	520	1300	65	1100	250	1 1/8	4	250	140	250	140		
65	280	900	40	590	—	3/4	2	65	50	90	330	1300	50	670	—	1 1/8	2	155	90	130	520	1400	65	1100	250	1 1/8	4	250	140	250	140		
65	280	1000	40	610	—	3/4	2	65	50	90	330	1400	50	700	—	1 1/8	2	155	90	130	520	1500	65	1100	250	1 1/8	4	250	140	250	140		
65	280	1100	40	630	—	3/4	2	65	50	90	330	1500	50	730	—	1 1/8	2	155	90	130	520	1600	65	1100	250	1 1/8	4	250	140	250	140		
65	280	1200	40	650	—	3/4	2	65	50	90	330	1600	50	760	—	1 1/8	2	155	90	130	520	1700	65	1100	250	1 1/8	4	250	140	250	140		
65	280	1300	40	670	—	3/4	2	65	50	90	330	1700	50	790	—	1 1/8	2	155	90	130	520	1800	65	1100	250	1 1/8	4	250	140	250	140		
65	280	1400	40	690	—	3/4	2	65	50	90	330	1800	50	820	—	1 1/8	2	155	90	130	520	1900	65	1100	250	1 1/8	4	250	140	250	140		
65	280	1500	40	710	—																												







**Wandkonsollager**  
**mit Kugelbewegung, verstellbarer Lagerachse u. Ringschmierung.**  
Nach A. Spengler, M.-Gladbach.

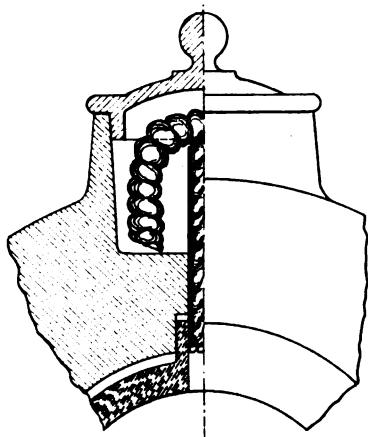
	Bohrung des Lagers	Schalenlänge	Ausladung	Stärke an den Schrauben	Befestigungsschrauben				Gewicht	Preis
					Entfernung		Durch- messer	Anzahl		
					e	h				
	d	L	A	c	e	h	s		kg	Mk.
	mm	mm	mm	mm	mm	mm	Zoll			
	40	200	250	30	350	165	3/4	2	20	25
			300		400	190				
	45	200	250	30	350	165	3/4	2	20	25
			300		400	190				
	50	240	250	30	400	190	7/8	2	30	32
			300		450	215				
	55	240	250	30	400	190	7/8	2	30	32
			300		450	215				
	60	280	300	30	450	215	1	2	45	37
			400		500	240				
	65	280	300	30	450	215	1	2	45	37
			400		500	240				
	70	330	300	35	500	240	1 1/8	2	55	45
			400		550	265				
	75	330	300	35	500	240	1 1/8	2	55	45
			400		550	265				
	80	330	300	35	500	240	1 1/8	2	65	54
			400		550	265				
	85	390	400	35	650	310	1 1/4	2	65	56
			500		700	335				
	90	390	400	35	650	310	1 1/4	2	80	65
			500		700	335				
	95	390	400	35	650	310	1 1/4	2	80	67
			500		700	335				
	100	460	500	40	750	355	1 3/8	2	110	84
	105	460	500	40	750	355	1 3/8	2	110	84
	110	460	500	40	750	355	1 3/8	2	130	96
	115	520	500	40	750	355	1 3/8	2	130	96
	120	520	500	40	750	355	1 3/8	2	150	116

Die innere Schalenlänge ist dieselbe wie bei Fig. 113, Taf. 27/28. Die Preise verstehen sich für Lagerschalen mit Ringschmierung, aber ohne Weissmetallfutter und Befestigungsschrauben.  
Preis für solche mit Weissmetallschalen auf besondere Anfrage.

Schmier-Apparate.

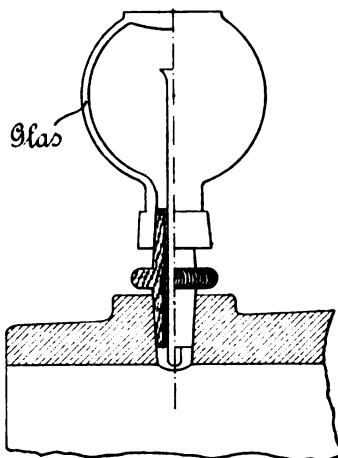
Dochtschmierung.

Fig. 135.



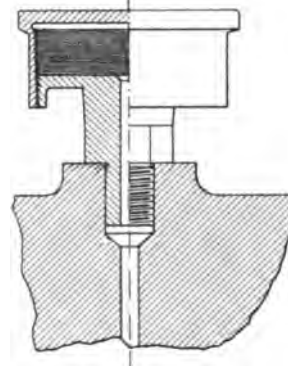
Nadelschmierglas.

Fig. 136.



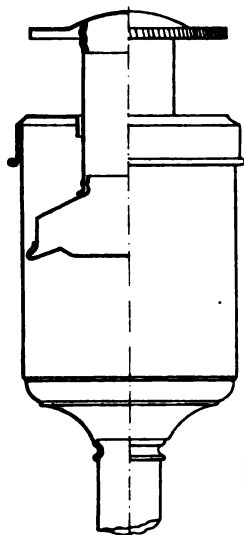
Stauferbüchse.

Fig. 137.



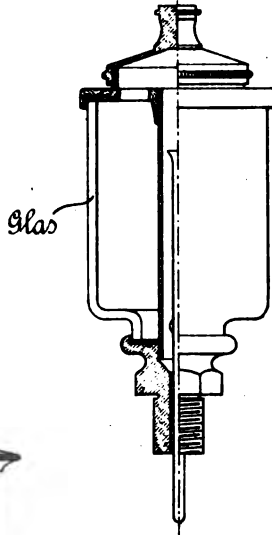
Coratobüchse.

Fig. 138.



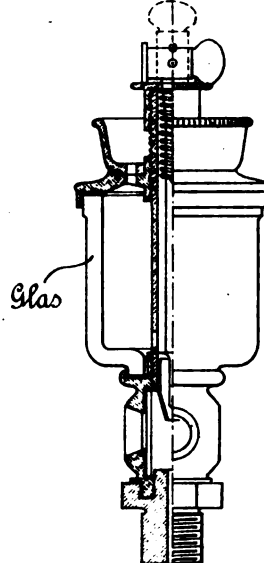
Nadelschmierbüchse.

Fig. 139.



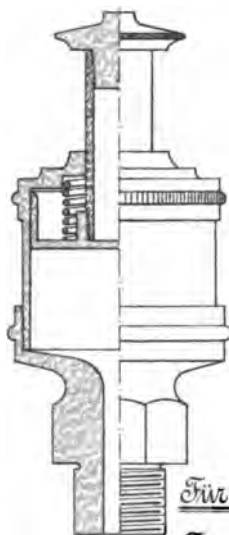
Selbstthätiger Oel- mit abstellbarer Tropfenschmierung.

Fig. 140.

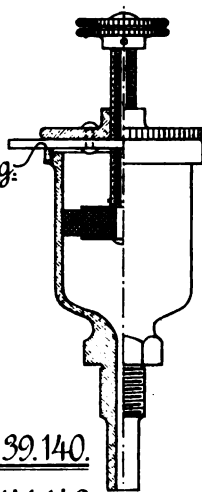


Federdruckbüchse.

Fig. 141.



Sperrvorrichtung.



Schmier-Apparat

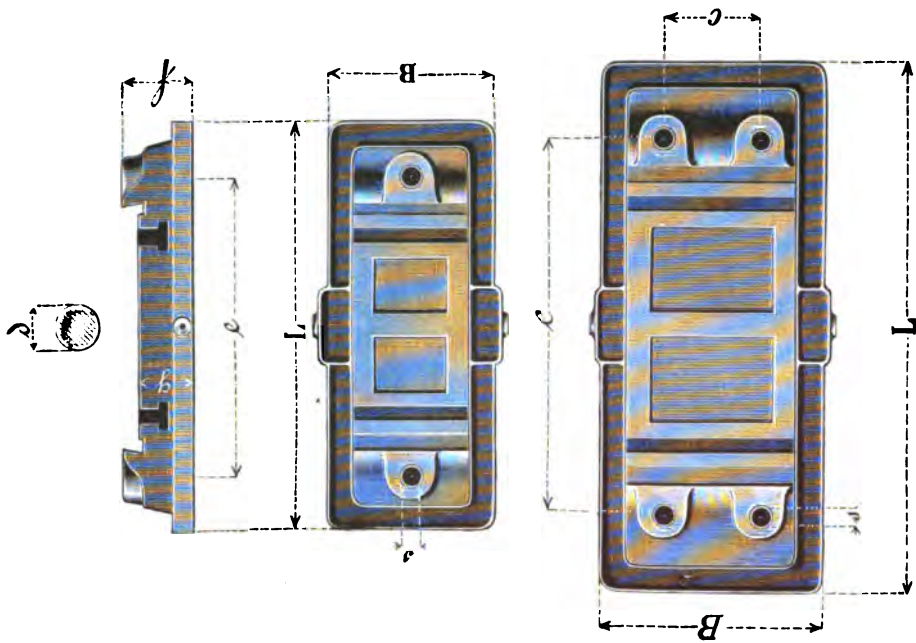
D. R. P. Nr. 21791.

Fig. 142.

Für Oel: Fig. 135. 136. 139. 140.

Für Fett: Fig. 137. 138. 141. 142.

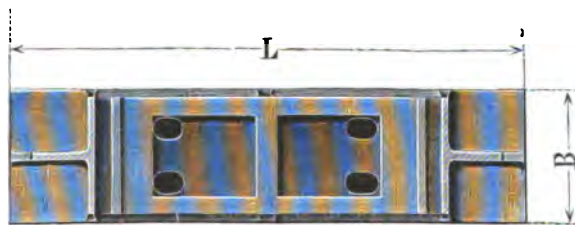
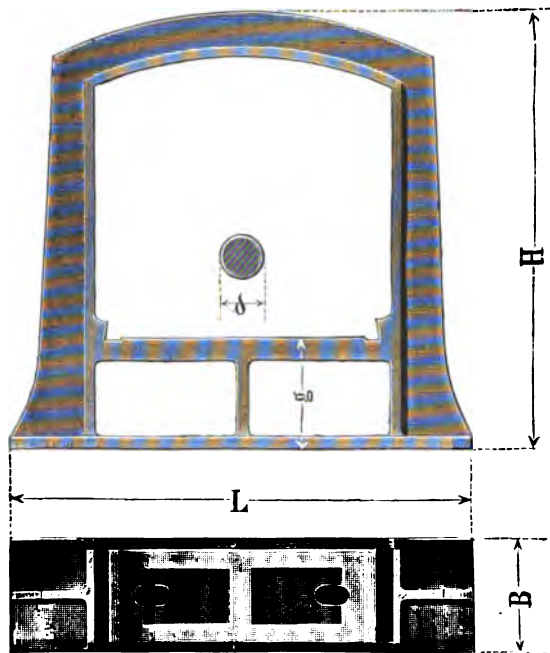




**Sohlplatten mit Oelrinnen.**  
Nach A. Spengler, M.-Gladbach.

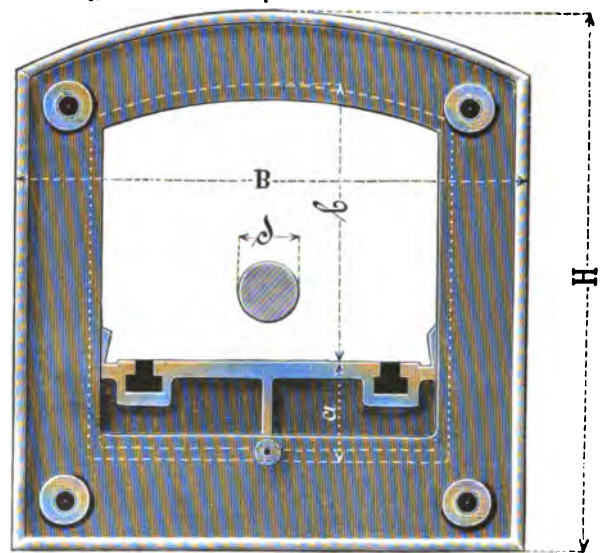
Bohrung des Lagers d	Sohlplatte			Fundamentanker				Gewicht kg	Preis Mk.
	Länge L	Breite B	Höhe g	Stärke f	Länge- Entfernung e	Quer- Entfernung c	Durch- messer s		
80	980	340	140	180	650	—	1 1/4	110	43
100	980	340	140	180	650	—	1 1/4	120	46
110	980	340	140	180	650	—	1 1/4	140	53
120	980	385	140	180	700	—	1 1/4	150	57
130	1000	400	140	180	750	—	1 1/4	170	64
140	1060	435	140	190	780	—	1 1/2	210	76
150	1110	450	140	190	830	—	1 1/2	240	86
160	1140	480	140	190	860	—	1 1/2	270	97
170	1200	500	200	255	910	200	1 3/8	300	108
180	1280	520	200	265	1000	250	1 3/8	320	120
190	1380	545	200	265	1050	250	1 3/8	360	140
200	1380	545	200	265	1050	250	1 3/8	400	160
210	1380	545	200	265	1050	250	1 3/8	460	175
220	1490	570	260	265	1180	300	1 1/2	500	180
230	1490	570	260	265	1180	300	1 1/2	525	190
240	1500	610	200	265	1180	300	1 1/2	550	200
250	1500	610	200	265	1180	300	1 1/2	575	207
260	1650	640	200	285	1300	300	1 5/8	600	216
270	1650	640	200	285	1300	300	1 5/8	650	234
280	1740	660	200	290	1400	320	1 5/8	700	252
290	1740	660	200	290	1400	320	1 5/8	750	270
300	1740	660	200	290	1400	320	1 5/8	800	288

Die Preise verstehen sich ausschliesslich Ankerplatten und Ankerschrauben.



**Mauerkasten ohne Kragen.** Nach A. Spengler, M.-Gladbach.

Bohrung des Lagers d	Grösste Höhe H	Länge der Grundplatte L	Breite B	Höhe g	Gewicht kg	Preis Mk.
mm	mm	mm	mm	mm	kg	Mk.
40—45	475	550	125	120	37	15
50—55	580	585	140	135	50	20
60—65	587	625	160	150	66	23
70—80	665	720	180	160	75	30
83—95	755	800	200	185	100	38
100—110	865	950	240	210	145	46
115—135	1063	1050	280	230	260	94
140—160	1100	1150	320	260	320	115



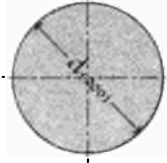
**Mauerkasten mit Kragen.** Nach A. Spengler, M.-Gladbach.

Bohrung des Lagers d	Mauerkasten					Gewicht kg	Preis Mk.
	Höhe a	Tiefe b	Breite c	Grösste Höhe H	Breite B		
mm	mm	mm	mm	mm	mm	kg	Mk.
50	110	260	45	350	550	580	40
60	112	292	72	394	580	570	47
70	122	338	83	445	635	620	110
80	135	365	105	480	710	670	120
90	145	415	115	530	750	740	180
100	155	445	135	570	810	780	175
110	155	445	135	570	810	780	175
120	178	543	152	676	925	880	310
130	178	543	152	676	925	880	310
140	178	543	152	676	925	880	310
150	245	645	235	790	1225	1100	460
160	245	645	250	790	1225	1100	460
170	245	645	280	790	1225	1100	460
180	280	720	305	940	1300	1300	640

Die Preise verstehen sich ausschliesslich Ankerplatten und Ankerschrauben.

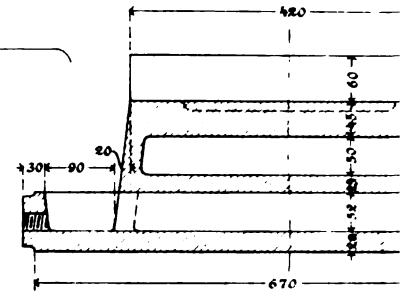
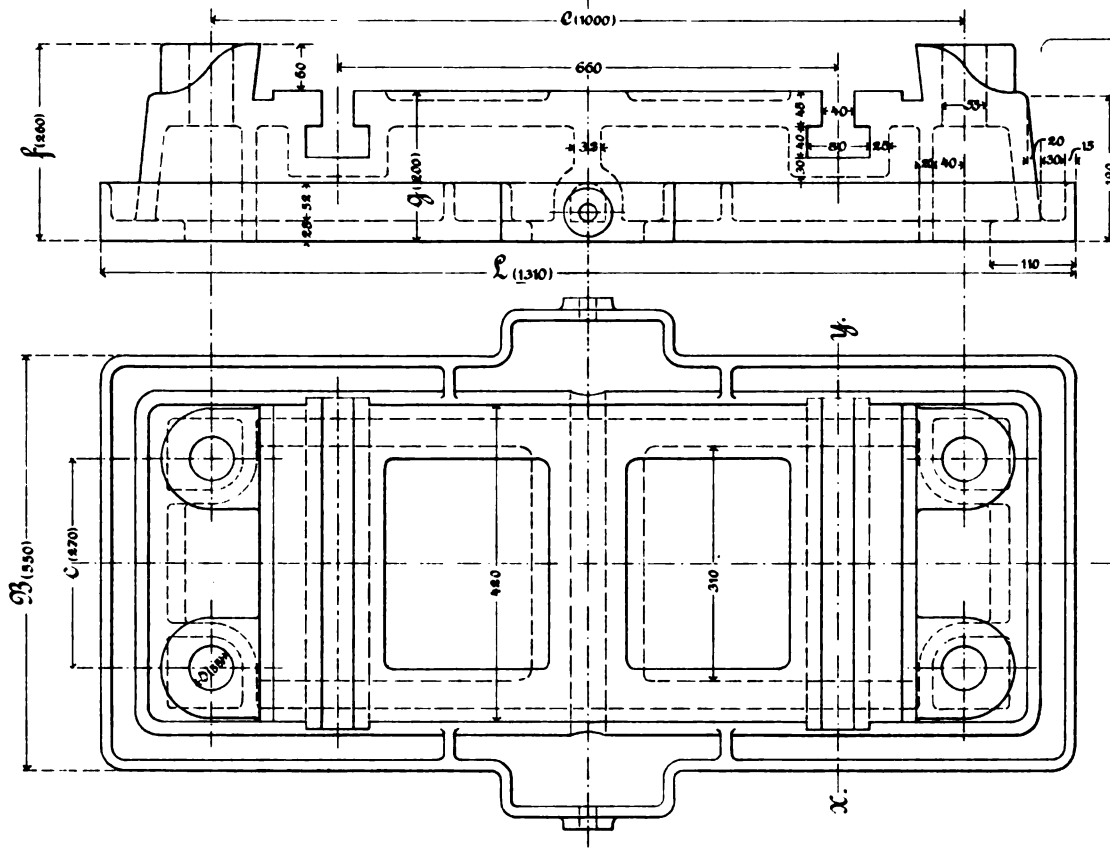
Fig. 143.

Maßstab 1:10.

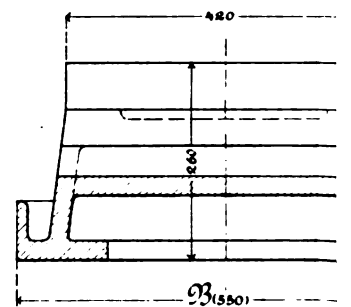


mit Oelkragen

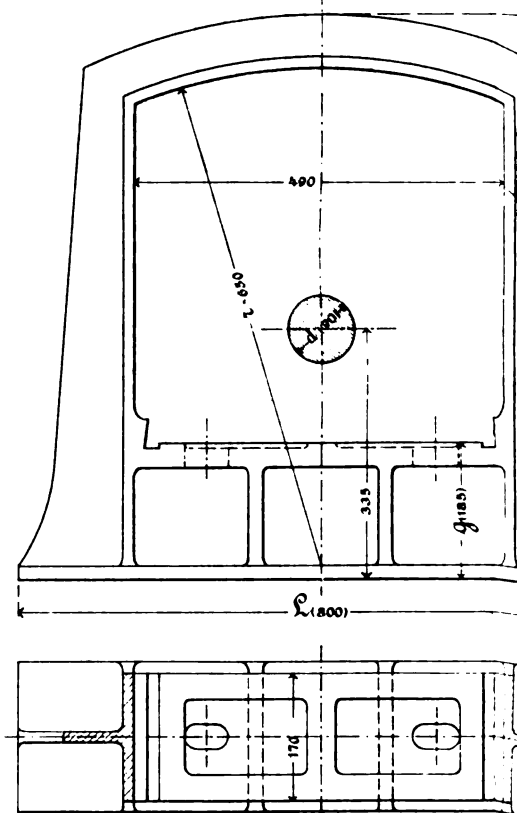
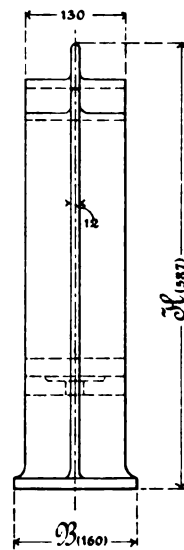
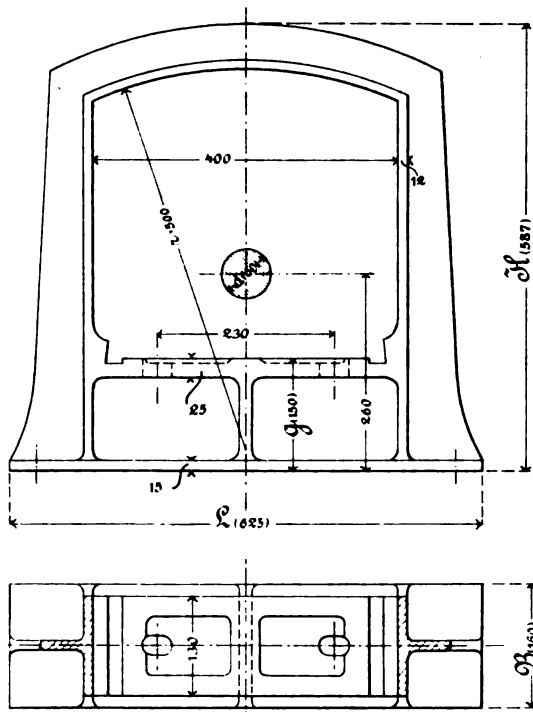
Lagerplatten  
Nach A. Spengler, Maschinenfa



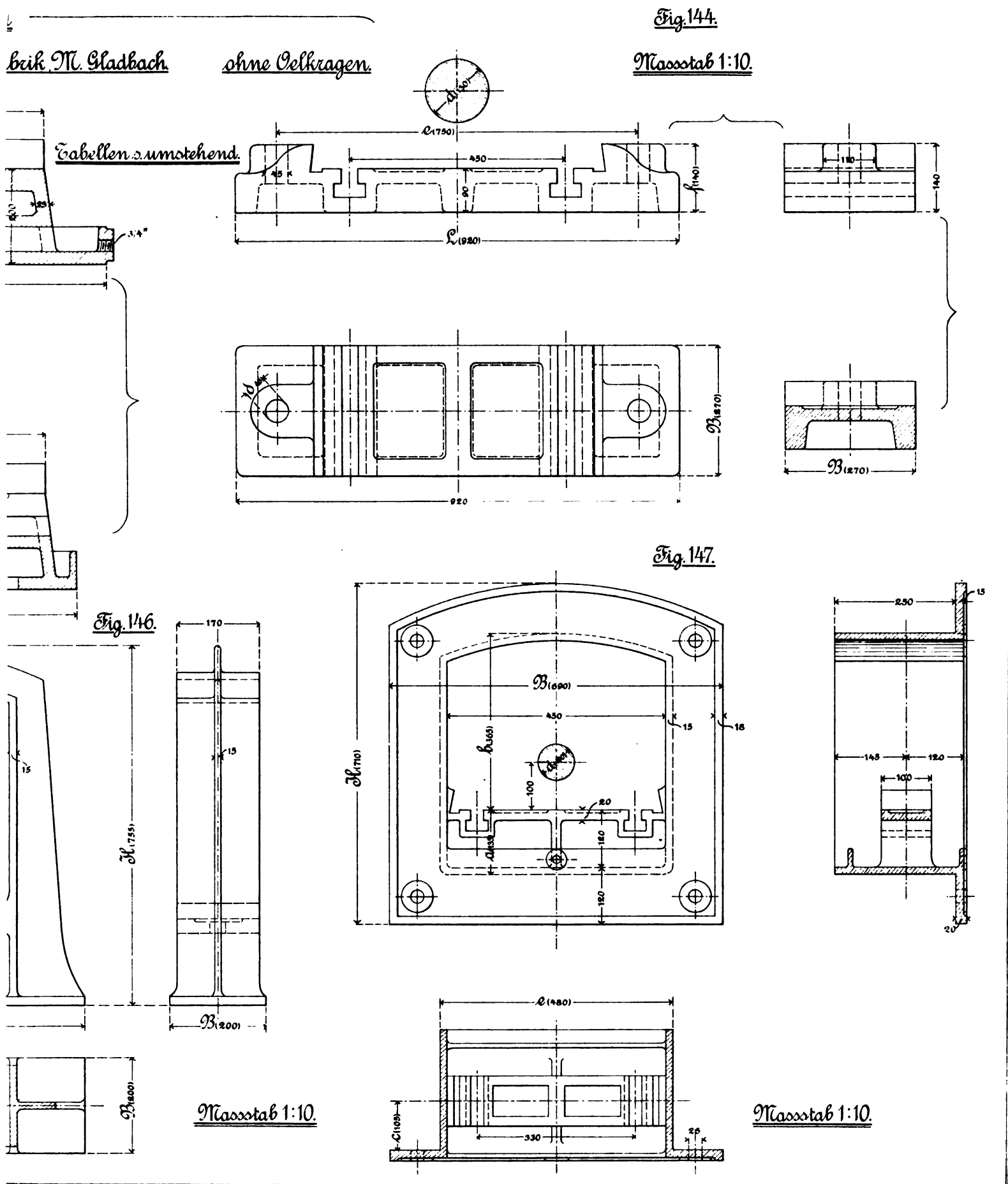
Schnitt x.y.



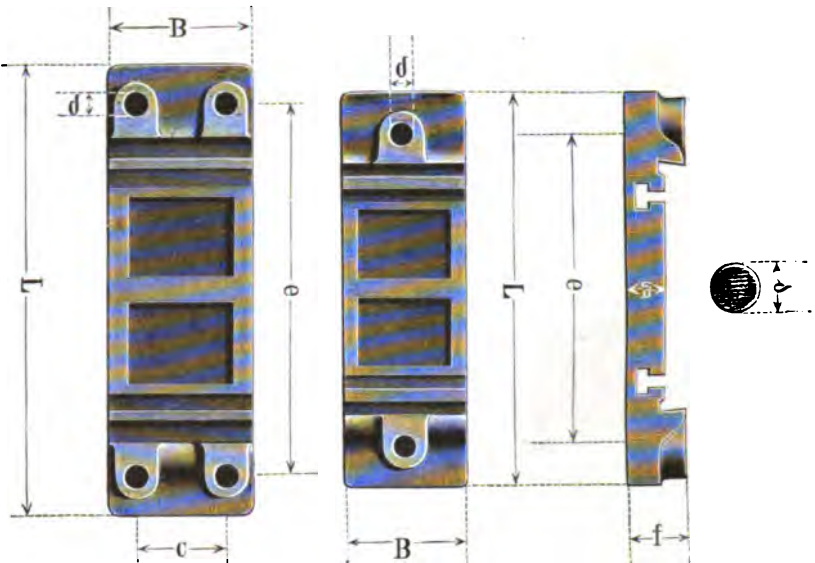
Mauerkasten für Stehlager. Fig. 145.



Maßstab 1:10.





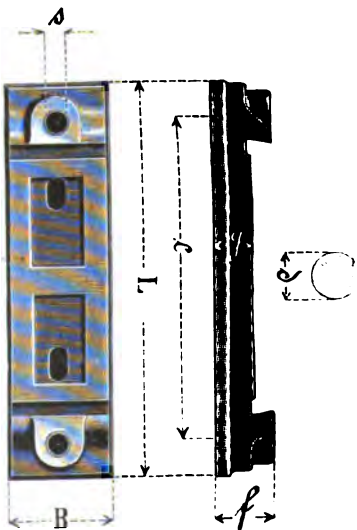


Sohlplatten ohne Gellrinnen (erste Ausführung).

Nach A. Spengler, M.-Gladbach.

Bohrung des Lagers	Sohlplatte			Fundamentanker				Gewicht kg	Preis Mk.
	Länge L mm	Breite B mm	Höhe g mm	Stärke f mm	Länge- Entfernung e mm	Quer- Entfernung o mm	Durch- messer d Zoll	An- zahl	
60	680	110	50	80	480	—	3/4	2	12
60	680	180	65	95	450	—	7/8	2	35
70	650	140	65	95	520	—	1	2	14
80	740	160	75	110	600	—	1 1/8	2	18
90	790	170	75	110	625	—	1 1/8	2	22
100	880	200	85	125	650	—	1 1/4	2	24
110	890	200	85	125	650	—	1 1/4	2	30
120	920	270	85	140	750	—	1 3/8	2	30
130	920	270	85	140	750	—	1 3/8	2	44
140	980	300	90	140	800	—	1 1/2	2	44
150	1000	320	90	140	820	—	1 1/2	2	48
160	1040	340	90	160	850	—	1 3/8	2	53
170	1100	380	90	160	900	—	1 3/8	2	65
180	1175	380	100	160	980	—	1 3/8	2	69
190	1200	400	100	180	1000	—	1 3/8	2	71
200	1350	450	100	180	1150	—	1 1/2	2	80
210	1350	450	100	180	1150	—	1 1/2	2	80
220	1430	470	120	190	1180	—	1 1/2	2	83
240	1430	470	120	190	1180	—	1 3/8	2	83
250	1540	500	120	190	1200	—	1 3/8	2	94

Die Preise verstehen sich ausschließlich Ankerplatten und Ankerschrauben.

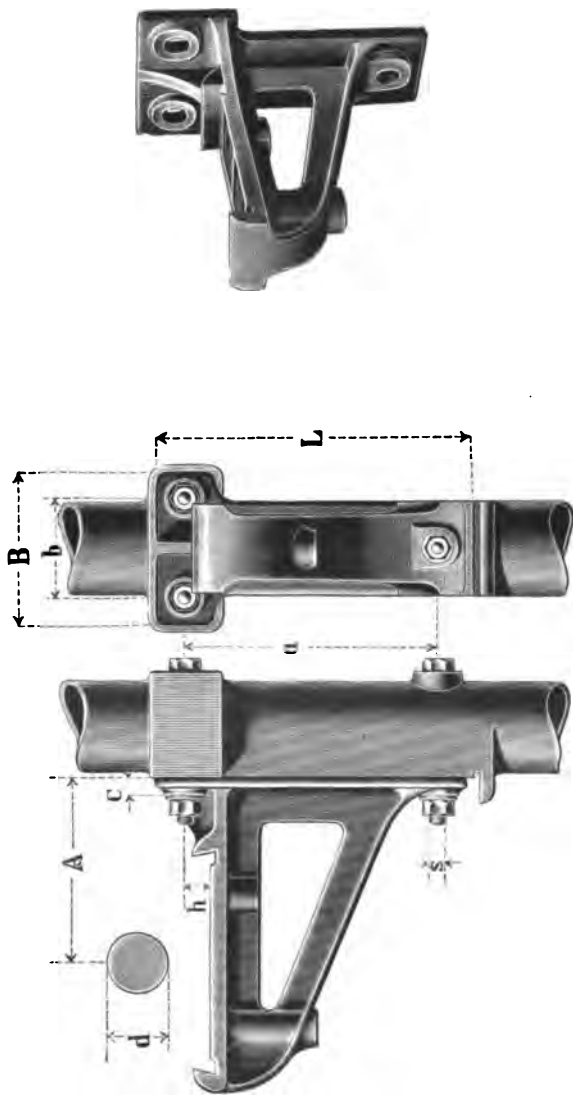


Sohlplatten ohne Gellrinnen (zweite Ausführung).

Nach A. Spengler, M.-Gladbach.

Bohrung des Lagers	Sohlplatte			Fundamentanker				Gewicht kg	Preis Mk.
	Länge L mm	Breite B mm	Höhe g mm	Stärke f mm	Länge- Entfernung e mm	Quer- Entfernung o mm	Durch- messer d Zoll	An- zahl	
40	380	100	40	65	310	—	9/16	2	20
45	380	100	40	65	310	—	3/4	2	20
50	445	115	45	70	370	—	3/4	2	30
55	445	115	45	70	370	—	3/4	2	30
60	435	135	50	80	430	—	7/8	2	35
65	435	135	50	80	430	—	7/8	2	35
70	610	155	55	90	490	—	1	2	40
75	610	155	55	90	490	—	1	2	40
80	610	155	55	90	490	—	1	2	40
85	680	180	60	100	570	—	1 1/8	2	45
90	680	180	60	100	570	—	1 1/8	2	45
95	760	205	70	110	620	—	1 1/4	2	55
100	760	205	70	110	620	—	1 1/4	2	55
105	760	205	70	110	620	—	1 1/4	2	55
110	760	205	70	110	620	—	1 1/4	2	55
115	830	225	85	120	720	—	1 1/2	2	65
120	830	225	85	120	720	—	1 1/2	2	65
125	830	225	85	120	720	—	1 1/2	2	65
130	830	225	85	120	720	—	1 1/2	2	65
135	830	225	85	120	720	—	1 1/2	2	65
140	830	225	85	120	720	—	1 1/2	2	65
145	830	225	85	120	720	—	1 1/2	2	65
150	830	225	85	120	720	—	1 1/2	2	65
155	830	225	85	120	720	—	1 1/2	2	65
160	830	225	85	120	720	—	1 1/2	2	65
165	830	225	85	120	720	—	1 1/2	2	65
170	830	225	85	120	720	—	1 1/2	2	65
175	830	225	85	120	720	—	1 1/2	2	65
180	830	225	85	120	720	—	1 1/2	2	65
185	830	225	85	120	720	—	1 1/2	2	65
190	830	225	85	120	720	—	1 1/2	2	65
195	830	225	85	120	720	—	1 1/2	2	65
200	830	225	85	120	720	—	1 1/2	2	65
205	830	225	85	120	720	—	1 1/2	2	65
210	830	225	85	120	720	—	1 1/2	2	65
215	830	225	85	120	720	—	1 1/2	2	65
220	830	225	85	120	720	—	1 1/2	2	65

Die Preise verstehen sich ausschließlich Ankerplatten und Ankerschrauben.



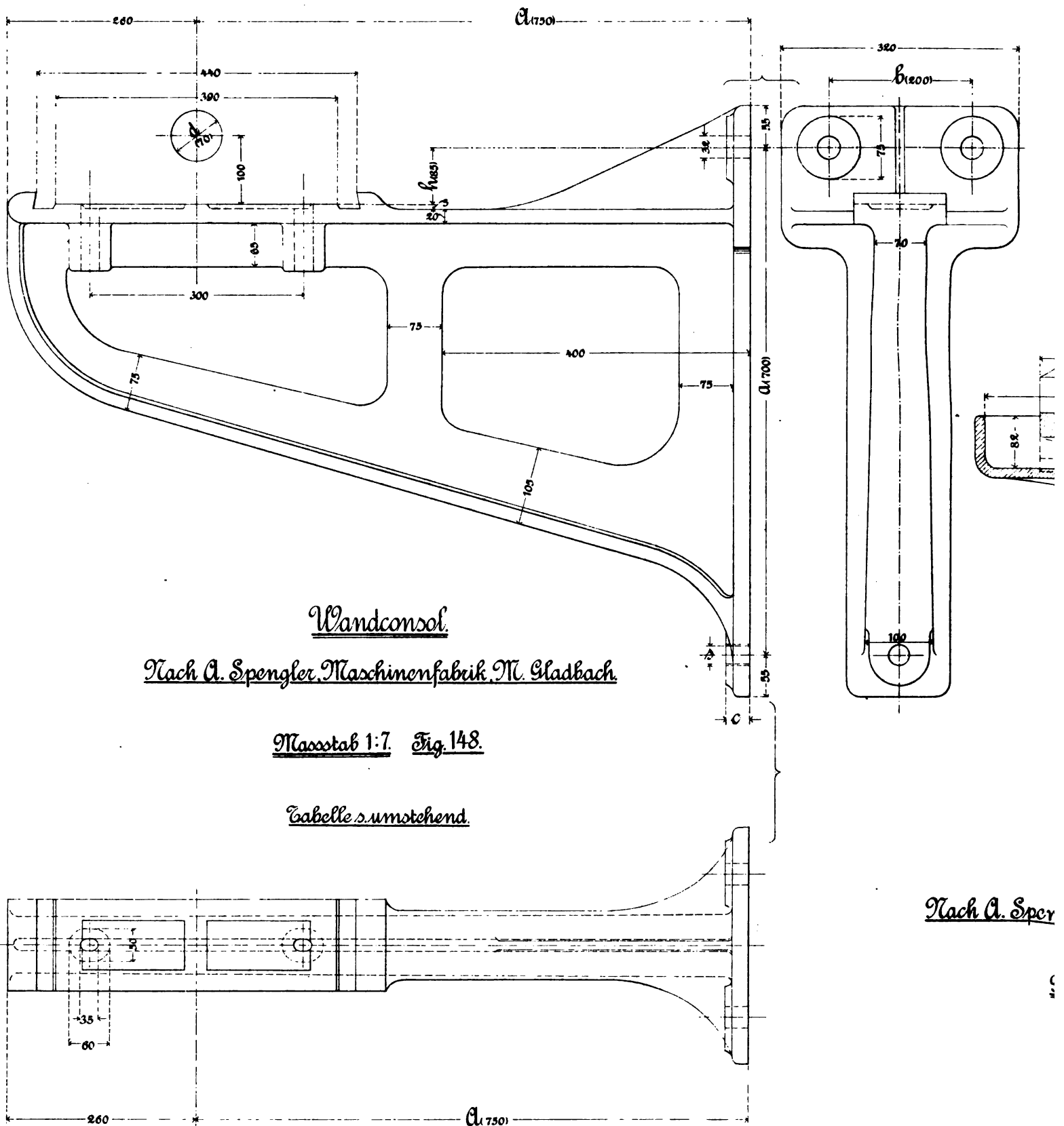
### Säulenconsole.

Nach A. Spengler, M.-Gladbach.

Bohrung des Lagers	Ausladung	Höhe	Stärke an den Schrauben	Be- festigungs- platte		Befestigungs- schrauben			Gewicht	Preis	Bohrung des Lagers	Ausladung	Höhe	Stärke an den Schrauben	Be- festigungs- platte		Befestigungs- schrauben			Gewicht	Preis			
				Länge	Breite	Länge-Quer- Entfernung	Durch- messer	Anzahl							Länge	Breite	Länge-Quer- Entfernung	Durch- messer	Anzahl					
40	200—300	40	30	410	205	325	—	7/8	2	20	9	65	400—500	50	30	635	225	550	—	7/8	2	40	16	
40	300—400	40	30	510	205	425	—	7/8	2	25	10	70	200—300	55	35	455	245	360	—	7/8	2	41	17	
40	400—500	40	30	610	205	525	—	7/8	2	30	12	70	300—400	55	35	555	245	460	150	7/8	3	45	18	
45	200—300	40	30	410	205	325	—	7/8	2	20	9	70	400—500	55	35	655	245	560	150	7/8	3	55	22	
45	300—400	40	30	510	205	425	—	7/8	2	25	10	75	200—300	55	35	455	245	360	150	7/8	3	40	16	
45	400—500	40	30	610	205	525	—	7/8	2	30	12	75	300—400	55	35	555	245	460	150	7/8	3	45	18	
50	200—300	45	30	425	215	340	—	7/8	2	20	9	75	400—500	55	35	655	245	560	150	7/8	3	55	22	
50	300—400	45	30	525	215	440	—	7/8	2	25	10	80	200—300	55	35	455	245	360	150	7/8	3	65	26	
50	400—500	45	30	625	215	540	—	7/8	2	30	12	80	300—400	55	35	555	245	460	150	7/8	3	70	28	
55	200—300	45	30	425	215	340	—	7/8	2	20	9	80	400—500	55	35	655	245	560	150	7/8	3	75	30	
55	300—400	45	30	525	215	440	—	7/8	2	25	10	85	200—300	60	35	465	255	370	150	7/8	3	65	26	
55	400—500	45	30	625	215	540	—	7/8	2	30	12	85	300—400	60	35	565	255	470	150	7/8	3	70	28	
60	200—300	50	30	435	225	350	—	7/8	2	30	12	85	400—500	60	35	665	255	570	150	7/8	3	75	30	
60	300—400	50	30	535	225	450	—	7/8	2	35	14	90	200—300	60	35	465	255	370	150	7/8	3	75	30	
60	400—500	50	30	635	225	550	—	7/8	2	40	16	90	300—400	60	35	565	255	470	150	7/8	3	80	32	
65	200—300	50	30	435	225	350	—	7/8	2	30	12	90	400—500	60	35	665	255	570	150	7/8	3	90	36	
65	300—400	50	30	535	225	450	—	7/8	2	35	14	95	200—300	60	35	465	255	370	150	7/8	1	3	75	30

Die Preise verstehen sich ausschließlich Befestigungsschrauben.





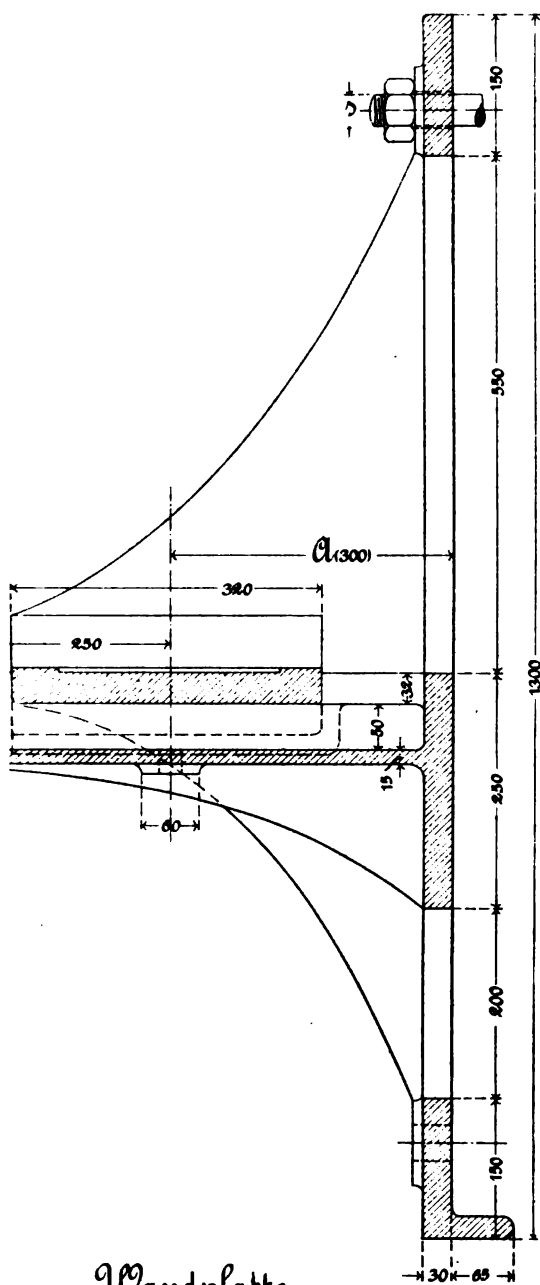
Wandconsol.

Nach A. Spengler, Maschinenfabrik M. Gladbach.

Maßstab 1:7. Fig. 148.

Tabelle s. umstehend.

Nach A. Sper

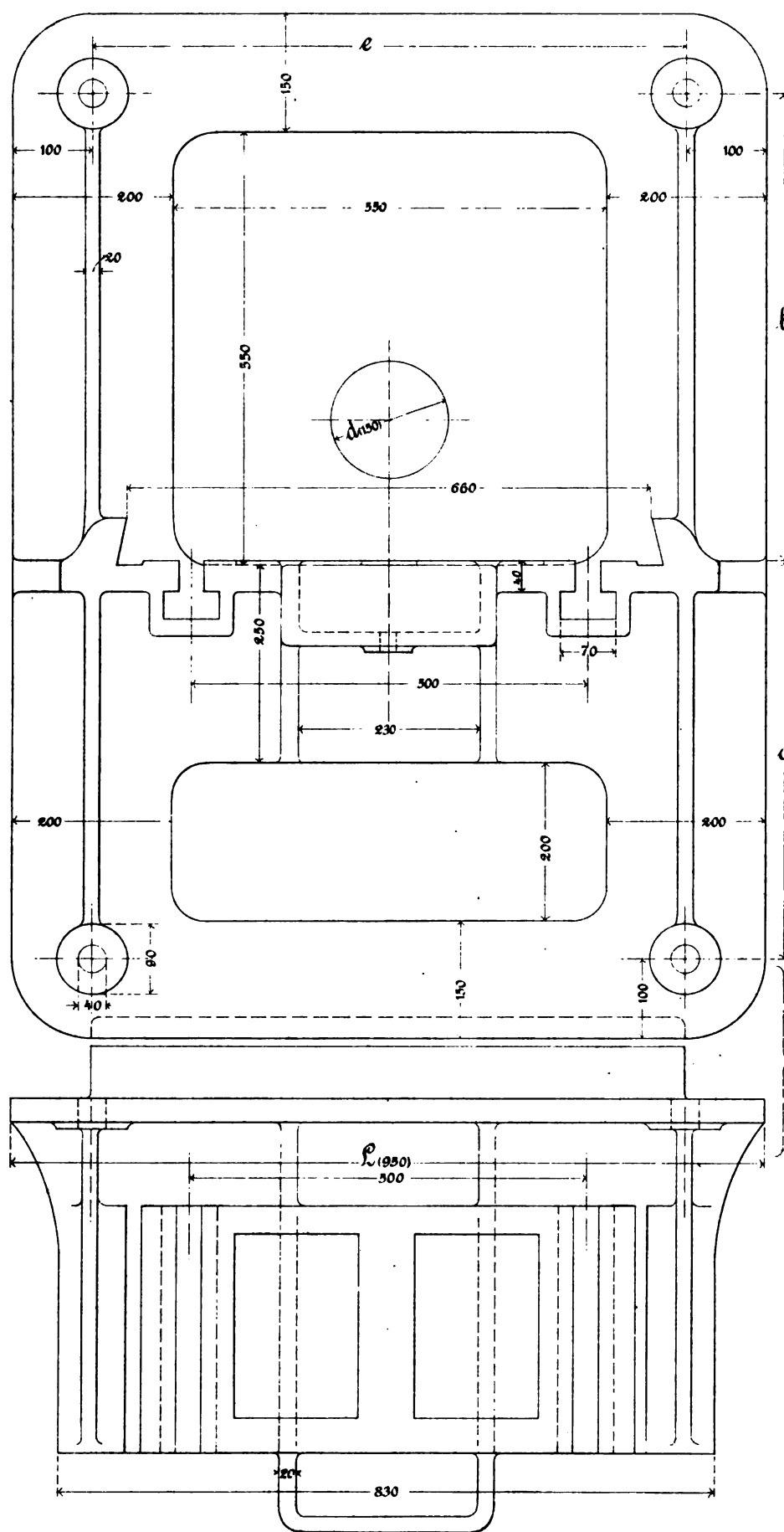


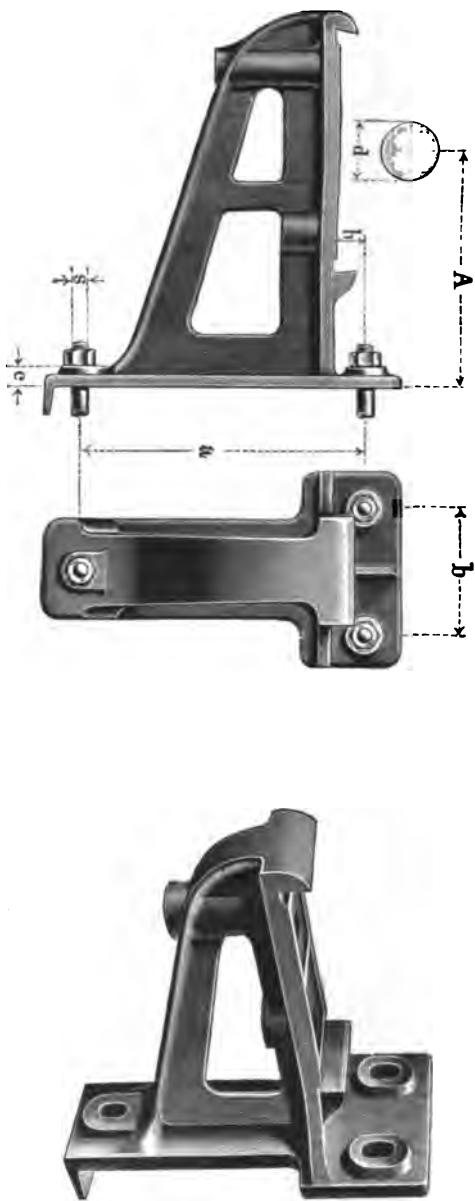
Wandplatte

engler. Maschinenfabrik M. Gladbach

Maßstab 1:8. Fig. 149.

Tabelle sumstehend.



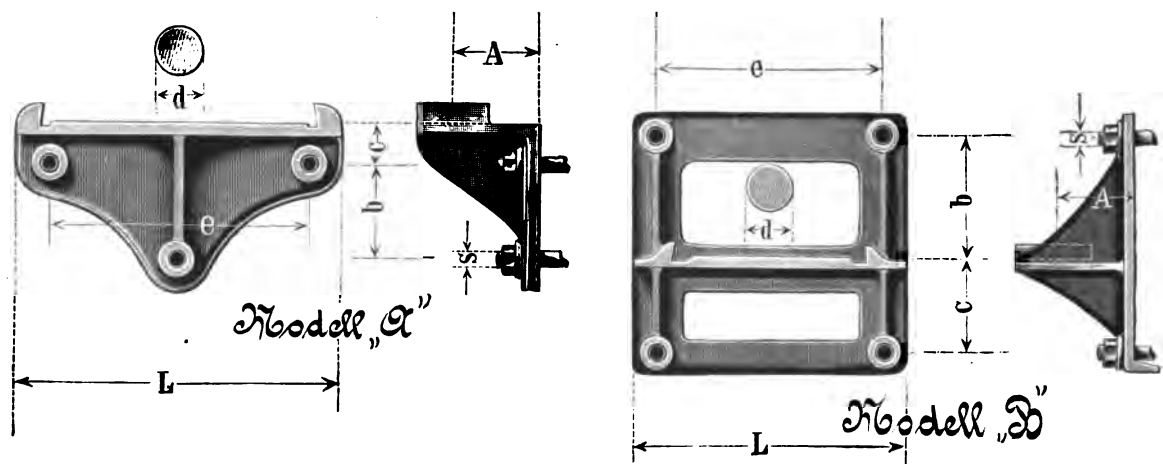


**Wandconsole.**  
Nach A. Spengler, M.-Gladbach.

Zu Tafel 42. 43.

Bohrung des Lagers	Ausladung	Höhe	Stärke an den Schrauben	Befestigungsschrauben			Gewicht	Preis	Bohrung des Lagers	Ausladung	Höhe	Stärke an den Schrauben	Befestigungsschrauben			Gewicht	Preis	Bohrung des Lagers	Ausladung	Höhe	Stärke an den Schrauben	Befestigungsschrauben			Gewicht	Preis
				Längs- Entfernung	Quer- Entfernung	Durch- messer							Längs- Entfernung	Quer- Entfernung	Durch- messer							Längs- Entfernung	Quer- Entfernung	Durch- messer		
40	200	60	30	300	—	3/4	20	9	70	450—500	85	35	500	150	7/8	60	24	95	700	95	35	710	180	1 1/8	115	44
40	250—300	60	30	325	—	3/4	25	10	70	550—600	85	35	500	150	1	70	28	95	800	110	35	810	200	1 1/8	130	49
40	350—400	60	30	450	—	3/4	30	12	70	650—700	85	35	610	150	1	80	32	100	500	100	40	630	200	1 1/8	90	36
40	450—500	60	30	480	—	3/4	35	14	70	800	85	35	700	200	1 1/8	90	38	100	600	100	40	700	250	1 1/8	100	38
45	200	60	30	300	—	3/4	20	9	75	350—400	80	35	500	150	7/8	60	20	90	700	100	40	800	250	1 1/8	140	53
45	250—300	60	30	325	—	3/4	25	10	75	450—500	85	35	500	150	7/8	70	24	100	800	100	40	800	250	1 1/8	160	65
45	350—400	60	30	450	—	3/4	30	12	75	550—600	85	35	500	150	7/8	80	28	105	900	100	40	800	250	1 1/8	90	36
45	450—500	60	30	480	—	3/4	35	14	75	650—700	85	35	500	150	7/8	95	38	105	1000	100	40	800	250	1 1/8	100	38
50	200	60	30	300	—	3/4	20	10	80	800	85	35	700	200	1 1/8	95	38	105	1100	100	40	800	250	1 1/8	140	53
50	250—300	65	30	325	—	3/4	25	12	80	900	85	35	700	200	1 1/8	100	40	110	1200	100	40	800	250	1 1/8	160	61
50	350—400	65	30	450	—	3/4	30	14	80	1000	85	35	700	200	1 1/8	110	42	110	1300	100	40	800	250	1 1/8	170	65
50	450—500	65	30	480	—	3/4	35	16	80	1100	85	35	700	200	1 1/8	120	43	115	1400	100	40	800	250	1 1/8	190	72
55	200	65	30	300	—	3/4	20	10	85	800	85	35	700	200	1 1/8	100	40	115	1500	100	40	800	250	1 1/8	200	79
55	250—300	65	30	325	—	3/4	25	12	85	900	85	35	700	200	1 1/8	110	43	120	1600	100	40	800	250	1 1/8	220	87
55	350—400	65	30	450	—	3/4	30	14	85	1000	85	35	700	200	1 1/8	120	43	125	1700	100	40	800	250	1 1/8	240	87
55	450—500	65	30	480	—	3/4	35	16	85	1100	85	35	700	200	1 1/8	130	43	130	1800	100	40	800	250	1 1/8	260	87
60	200	80	30	300	—	3/4	20	10	90	800	85	35	700	200	1 1/8	100	40	120	1900	100	40	800	250	1 1/8	280	87
60	250—300	80	30	325	—	3/4	25	12	90	900	85	35	700	200	1 1/8	110	43	125	2000	100	40	800	250	1 1/8	300	87
60	350—400	80	30	450	—	3/4	30	14	90	1000	85	35	700	200	1 1/8	120	43	130	2100	100	40	800	250	1 1/8	320	87
60	450—500	80	30	480	—	3/4	35	16	90	1100	85	35	700	200	1 1/8	130	43	135	2200	100	40	800	250	1 1/8	340	87
65	200	85	30	300	—	3/4	20	10	95	800	85	35	700	200	1 1/8	100	40	125	2300	100	40	800	250	1 1/8	360	87
65	250—300	85	30	325	—	3/4	25	12	95	900	85	35	700	200	1 1/8	110	43	130	2400	100	40	800	250	1 1/8	380	87
65	350—400	85	30	450	—	3/4	30	14	95	1000	85	35	700	200	1 1/8	120	43	135	2500	100	40	800	250	1 1/8	400	87
65	450—500	85	30	480	—	3/4	35	16	95	1100	85	35	700	200	1 1/8	130	43	140	2600	100	40	800	250	1 1/8	420	87
70	200	85	30	300	—	3/4	20	10	100	800	85	35	700	200	1 1/8	100	40	130	2700	100	40	800	250	1 1/8	440	87
70	250—300	85	30	325	—	3/4	25	12	100	900	85	35	700	200	1 1/8	110	43	135	2800	100	40	800	250	1 1/8	460	87
70	350—400	85	30	450	—	3/4	30	14	100	1000	85	35	700	200	1 1/8	120	43	140	2900	100	40	800	250	1 1/8	480	87
70	450—500	85	30	480	—	3/4	35	16	100	1100	85	35	700	200	1 1/8	130	43	145	3000	100	40	800	250	1 1/8	500	87

Die Preise verstehen sich ausschliesslich Ankerplatten und Ankerschrauben.



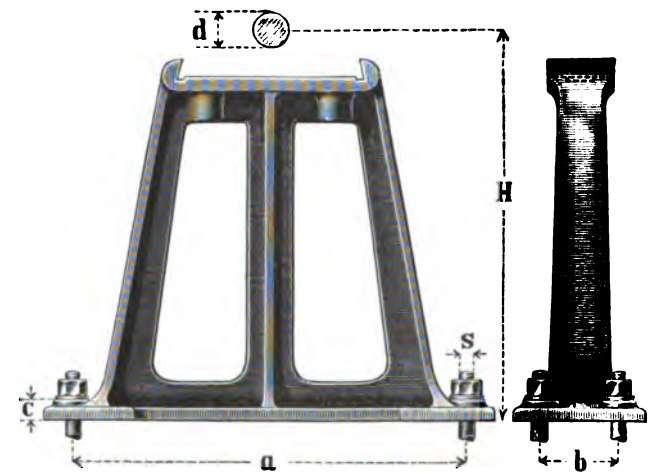
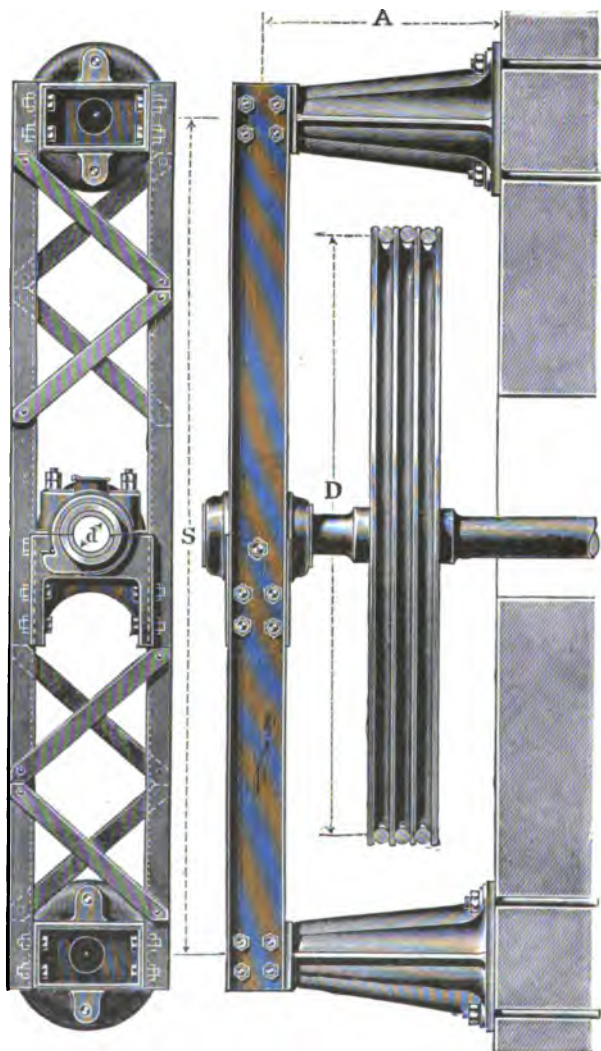
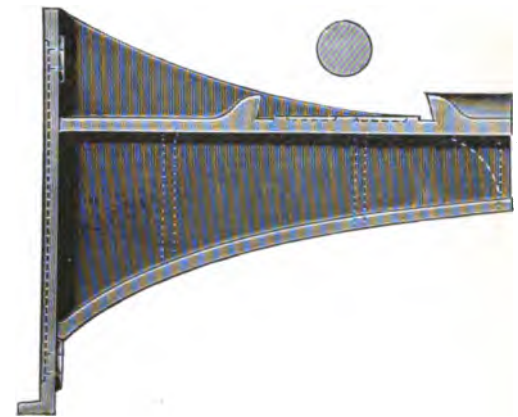
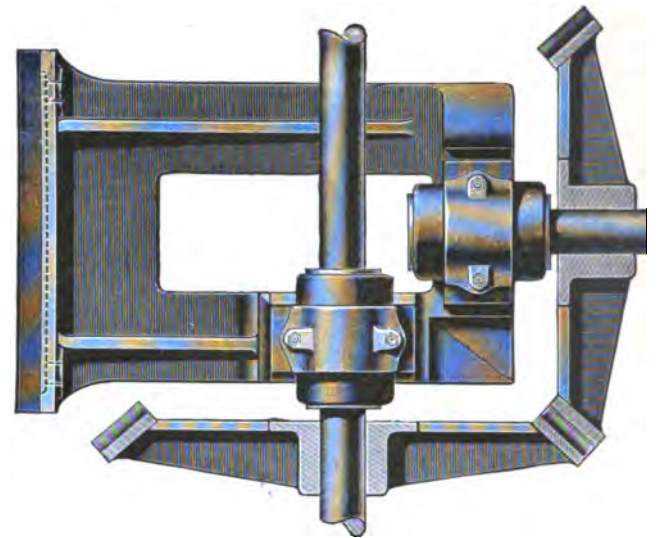
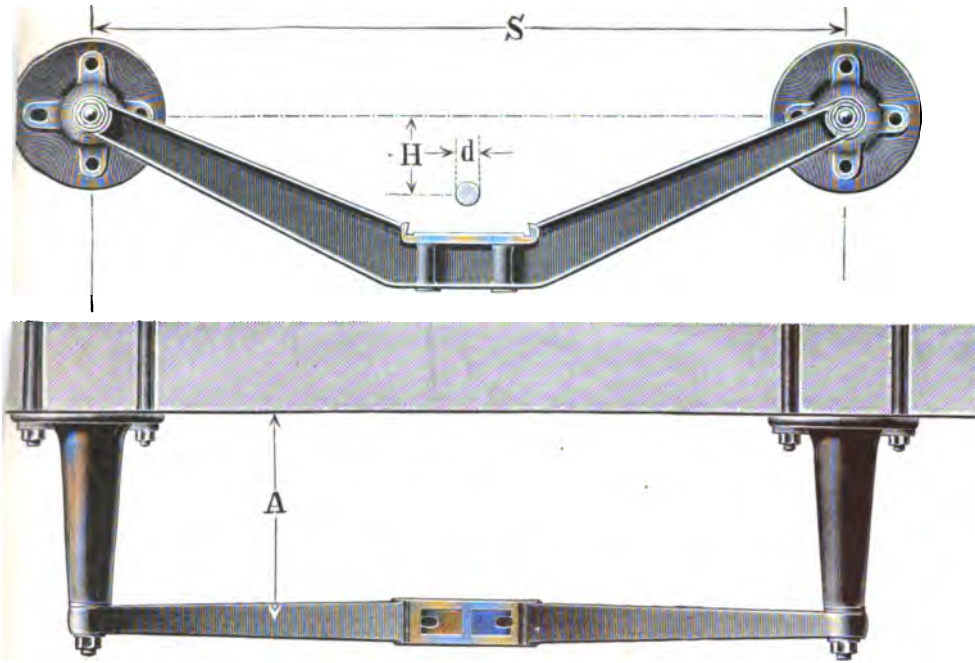
Wandplatte.  
Nach A. Spengler, M.-Gladbach.

d	A	L	b	c	e	s	Gewicht	Preis
mm	mm	mm	mm	mm	mm	Zoll	kg	Mk.
Modell A.								
40	80	340	100	50	230	$\frac{1}{8}$	15	6,50
50	85	380	120	50	285	$\frac{1}{8}$	20	9
60	90	420	130	50	320	$\frac{3}{16}$	30	12
70	130	480	150	50	360	$\frac{1}{4}$	45	18
Modell B.								
60	150	400	190	150	300	$\frac{3}{16}$	45	18
—	200	400	190	150	300	$\frac{1}{4}$	50	20
—	300	400	190	200	300	$\frac{3}{16}$	55	22
70	150	400	190	150	300	$\frac{1}{4}$	55	22
—	200	400	190	150	300	$\frac{3}{16}$	60	24
—	300	400	190	200	300	$\frac{1}{4}$	65	26
80	150	480	250	175	375	$\frac{7}{16}$	74	28
—	200	480	250	175	375	$\frac{1}{2}$	80	32
—	300	480	300	250	375	$\frac{7}{16}$	90	36
90	150	480	250	175	375	$\frac{1}{2}$	90	36
—	200	480	250	175	375	$\frac{7}{16}$	100	38
—	300	480	300	250	375	$\frac{1}{2}$	110	42
100—110	150	750	325	200	625	1	100	42
—	200	750	325	200	625	1	120	45
—	250	750	375	250	625	1	130	49
—	300	750	425	300	625	1	140	53
120	250	780	400	400	650	$1\frac{1}{8}$	130	49
—	300	780	400	400	650	$1\frac{1}{8}$	145	55
—	400	780	525	525	650	$1\frac{1}{8}$	160	61
—	500	780	525	525	650	$1\frac{1}{8}$	185	70
130—140	250	790	550	375	650	$1\frac{1}{4}$	150	54
—	300	790	550	375	650	$1\frac{1}{4}$	170	61
—	400	790	550	375	650	$1\frac{1}{4}$	190	68
—	500	790	550	400	650	$1\frac{1}{4}$	220	79
150	300	890	600	500	750	$1\frac{1}{8}$	190	68
—	450	890	600	500	750	$1\frac{1}{8}$	220	80
—	500	890	650	550	750	$1\frac{1}{2}$	260	91

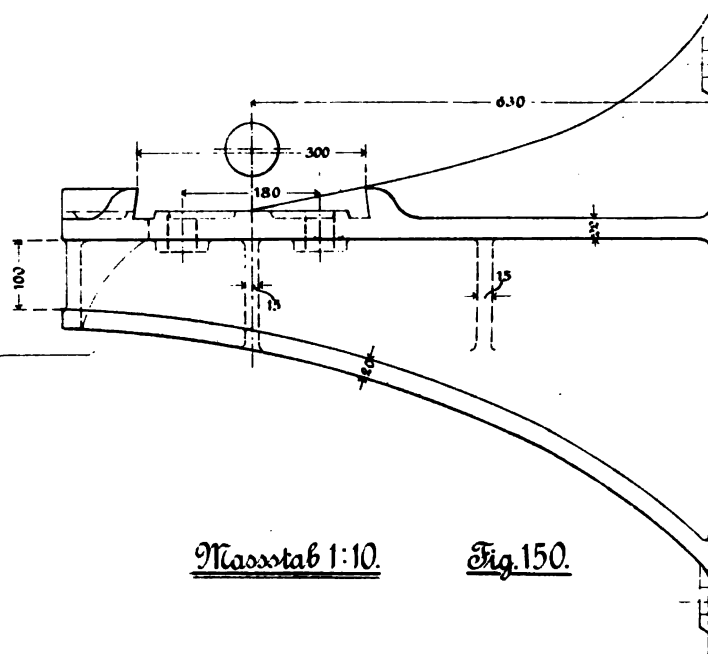
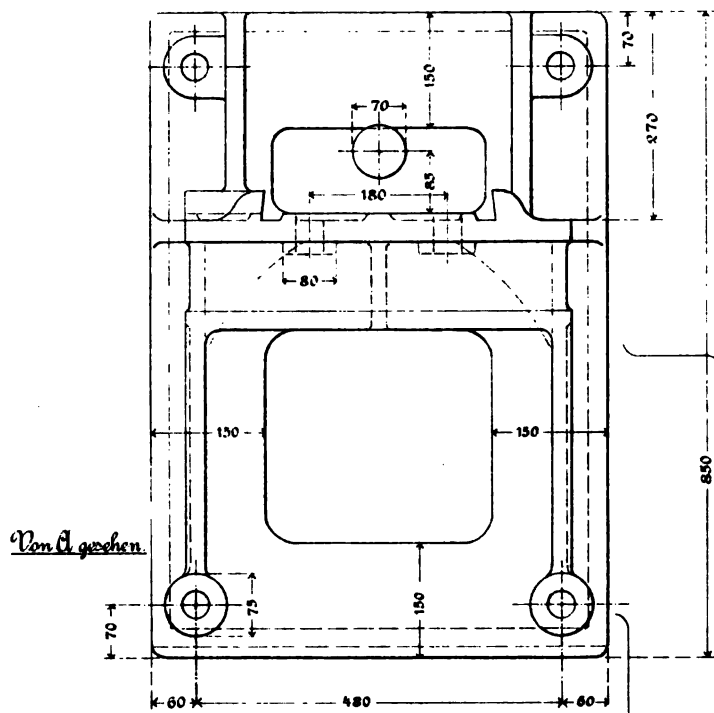
Die Preise verstehen sich ausschliesslich Ankerplatten und Ankerschrauben.

1. The first part of the document is a list of names and addresses of the members of the committee.

Zu Tafel 44/45.



### Wandconsol zur Lagerung eines Winkeltriebes.



Maasstab 1:10.

Fig. 150.

### Böcke für Kettenrollen.

Fig. 152.

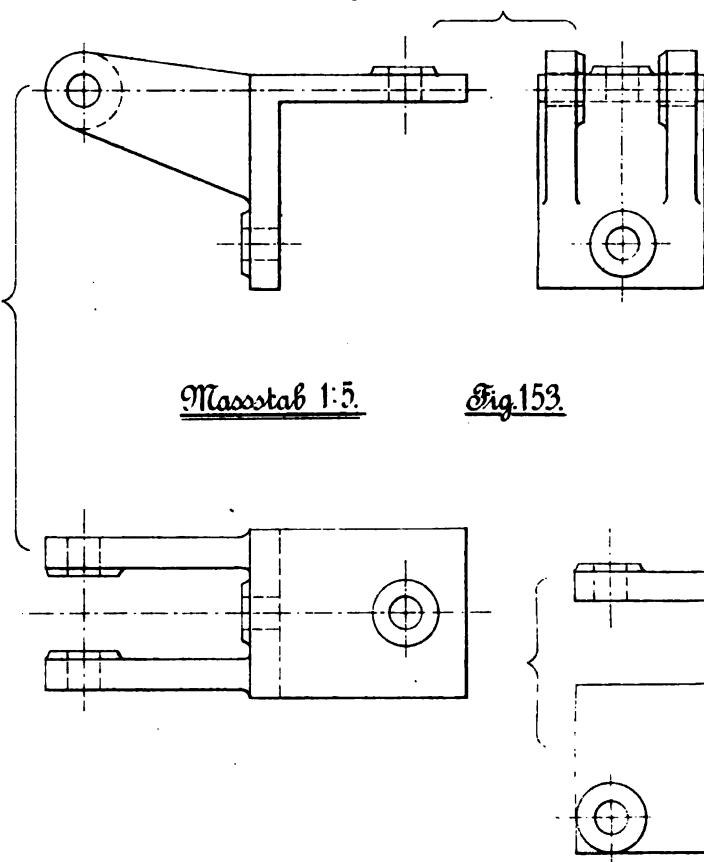
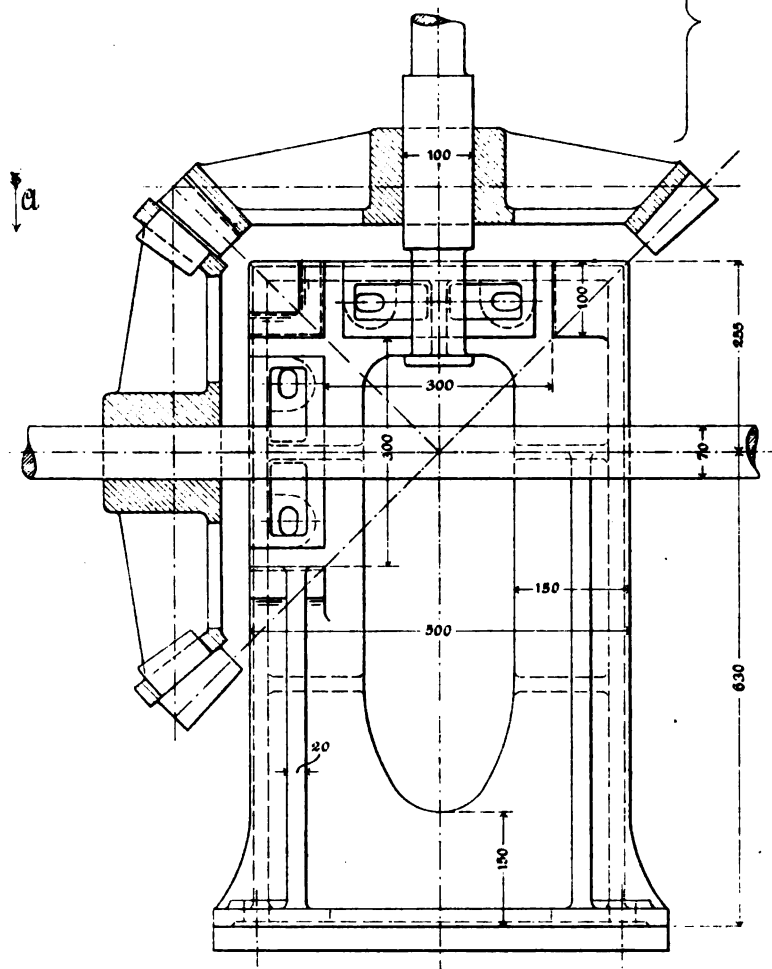
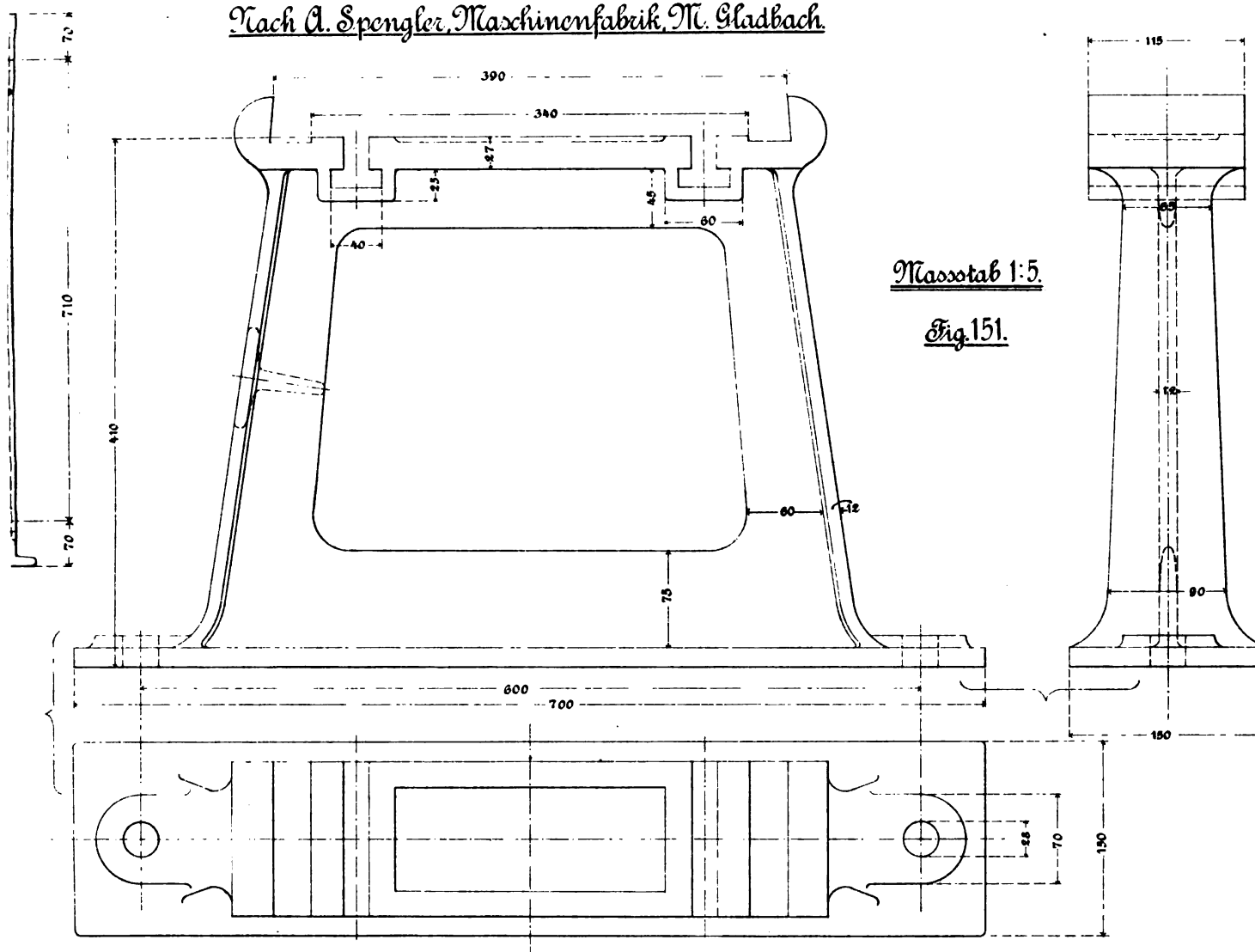
Maßstab 1:5.

Fig. 153.

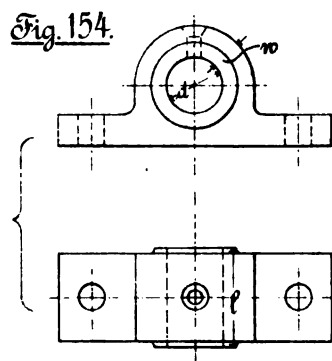
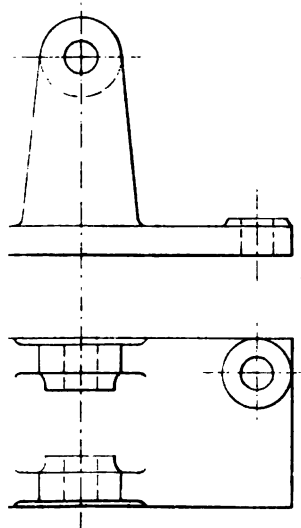
Lagerbock.

Nach A. Spengler, Maschinenfabrik, M. Gladbach.

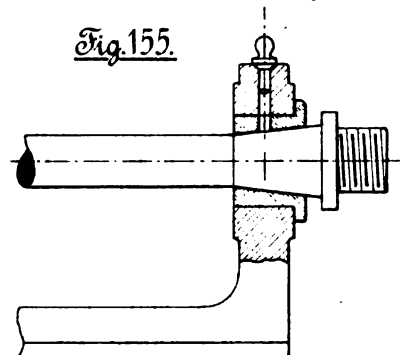


Augenlager.

$m=0,4 d+3$  bis  $0,5 d$ .  $l=1,5 d$ .



Lagerbock  
mit konischen Lagern.





## Lagerbock für Stehlager. Nach A. Spengler, M.-Gladbach.

Bohrung des Lagers d	Höhe bis Mitte Lager H	Stärke an den Schrauben e	Befestigungsschrauben				Gewicht kg	Preis Mk.	Bohrung des Lagers d	Höhe bis Mitte Lager H	Stärke an den Schrauben e	Befestigungsschrauben				Gewicht kg	Preis Mk.
			Länge- Entfernung a	Quer- Entfernung b	Durch- messer s	Anzahl						Länge- Entfernung a	Quer- Entfernung b	Durch- messer s	Anzahl		
40	400	30	675	—	7/8	2	25	10	85	500	50	875	140	1	4	80	32
	500	30	700	—	7/8	2	30	12		600	50	900	140	1	4	100	38
	600	30	725	—	7/8	2	35	14		700	50	925	140	1	4	120	47
	700	30	750	90	7/8	4	40	16		800	50	950	140	1	4	140	53
	400	30	675	—	7/8	2	25	10		600	50	875	140	1	4	90	36
45	500	30	700	—	7/8	2	30	12	90	700	50	900	140	1	4	110	42
	600	30	725	—	7/8	2	35	14		800	50	925	140	1	4	140	58
	700	30	750	90	7/8	4	40	16		900	50	950	140	1	4	160	61
	400	35	675	—	1	2	30	12		600	50	875	140	1	4	90	36
	500	35	700	—	1	2	35	14		700	50	900	140	1	4	110	42
50	600	35	725	—	1	2	40	16	95	800	50	925	140	1	4	140	58
	700	35	750	100	1 1/4	4	50	20		900	50	950	140	1	4	160	61
	400	35	675	—	1	2	30	12		600	55	1050	160	1 1/4	4	110	42
	500	35	700	—	1	2	35	14		700	55	1090	160	1 1/4	4	130	49
	600	35	725	—	1	2	40	16		800	55	1130	160	1 1/4	4	160	61
55	700	35	750	100	1 1/4	4	50	26	100	900	55	1180	160	1 1/4	4	180	68
	400	40	750	—	1	2	45	18		600	55	1050	160	1 1/4	4	110	42
	500	40	775	—	1	2	50	20		700	55	1090	160	1 1/4	4	130	49
	600	40	800	110	7/8	4	65	26		800	55	1130	160	1 1/4	4	160	61
	700	40	825	110	7/8	4	75	30		900	55	1180	160	1 1/4	4	180	68
60	800	40	850	110	7/8	4	85	34	105	600	55	1050	180	1 1/4	4	140	53
	400	40	775	—	7/8	4	50	20		700	55	1090	180	1 1/4	4	163	59
	500	40	800	110	7/8	4	65	26		800	55	1130	180	1 1/4	4	170	65
	600	40	825	110	7/8	4	75	30		900	55	1180	180	1 1/4	4	190	72
	700	40	850	110	7/8	4	85	34		600	65	1050	180	1 1/4	4	140	53
65	800	45	875	125	7/8	4	105	40	110	700	65	1090	180	1 1/4	4	165	59
	400	45	775	—	7/8	4	55	22		800	65	1130	180	1 1/4	4	175	65
	500	45	800	125	7/8	4	70	28		900	65	1180	180	1 1/4	4	190	72
	600	45	825	125	7/8	4	80	32		600	65	1050	180	1 1/4	4	140	53
	700	45	850	125	7/8	4	90	36		700	65	1090	180	1 1/4	4	165	59
70	800	45	875	125	7/8	4	110	42	115	800	65	1130	180	1 1/4	4	175	65
	400	45	775	—	7/8	4	55	22		900	65	1180	180	1 1/4	4	195	74
	500	45	800	125	7/8	4	70	28		600	65	1050	180	1 1/4	4	140	53
	600	45	825	125	7/8	4	80	32		700	65	1090	180	1 1/4	4	165	59
	700	45	850	125	7/8	4	90	36		800	65	1130	180	1 1/4	4	175	65
75	800	45	875	125	7/8	4	110	42	120	900	65	1180	180	1 1/4	4	195	74
	400	45	775	—	7/8	4	55	22		600	65	1050	180	1 1/4	4	140	53
	500	45	800	125	7/8	4	70	28		700	65	1090	180	1 1/4	4	165	59
	600	45	825	125	7/8	4	80	32		800	65	1130	180	1 1/4	4	175	65
	700	45	850	125	7/8	4	90	36		900	65	1180	180	1 1/4	4	195	74
80	800	45	875	125	7/8	4	110	42	125	600	65	1050	180	1 1/4	4	140	53
	400	45	775	—	7/8	4	55	22		700	65	1090	180	1 1/4	4	165	59
	500	45	800	125	7/8	4	70	28		800	65	1130	180	1 1/4	4	175	65
	600	45	825	125	7/8	4	80	32		900	65	1180	180	1 1/4	4	195	74
	700	45	850	125	7/8	4	90	36		600	65	1050	180	1 1/4	4	140	53

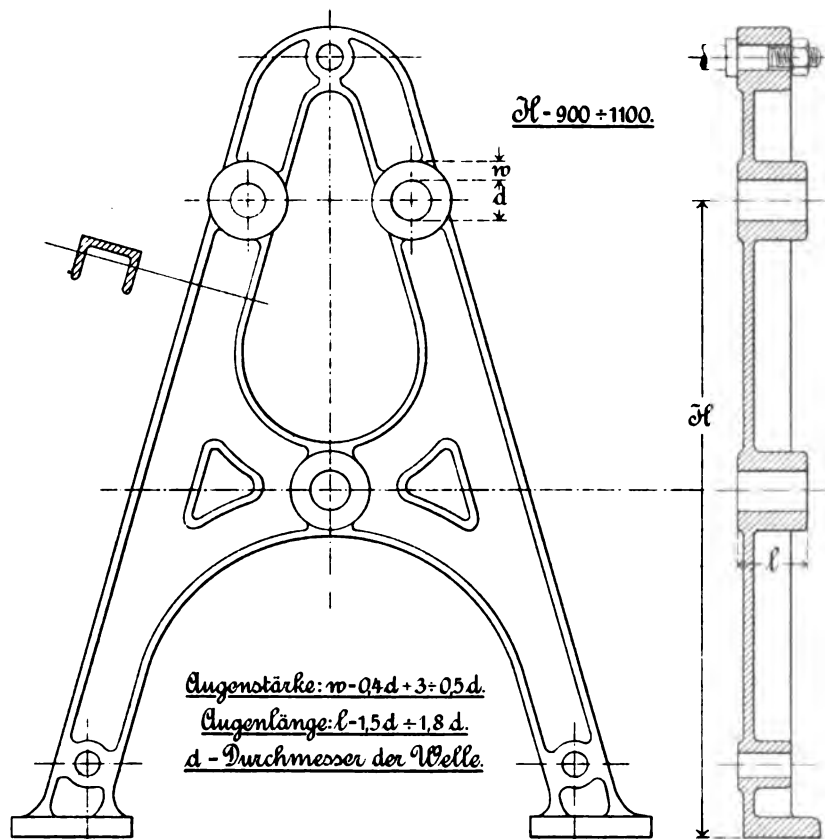
Die Preise verstehen sich ausschliesslich Ankerplatten und Ankerschrauben.



## Windenbock.

Querverbindungen  $20 \div 25 \text{ mm } \phi$  bei einfachem  
und  $25 \div 35 \text{ mm } \phi$  bei doppeltem Vorgelege.

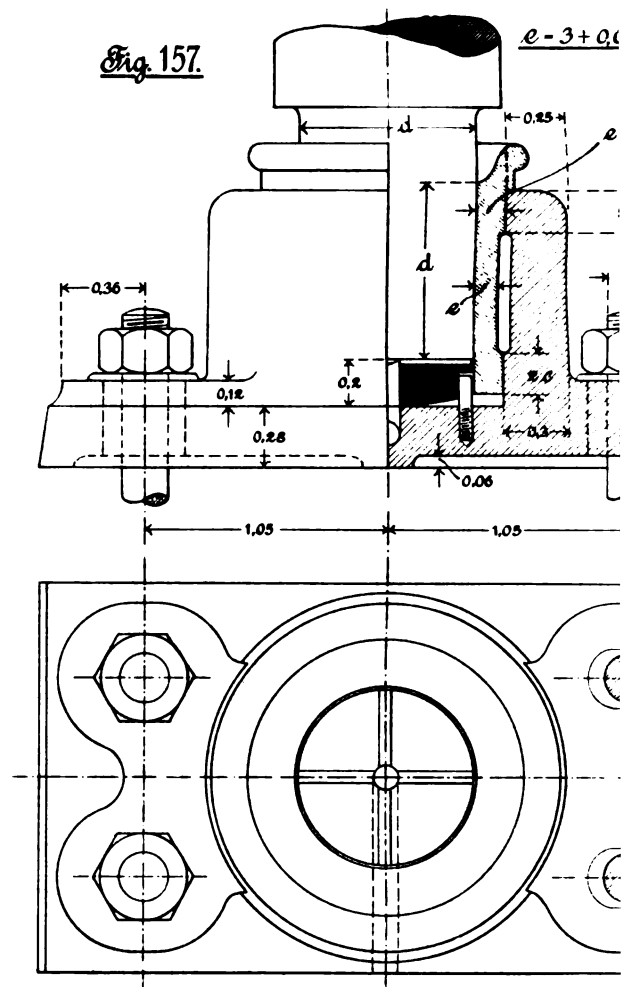
Fig. 156.



## Spurlager.

Berugseinheit  
 $d_1 = 1,14d + 10$

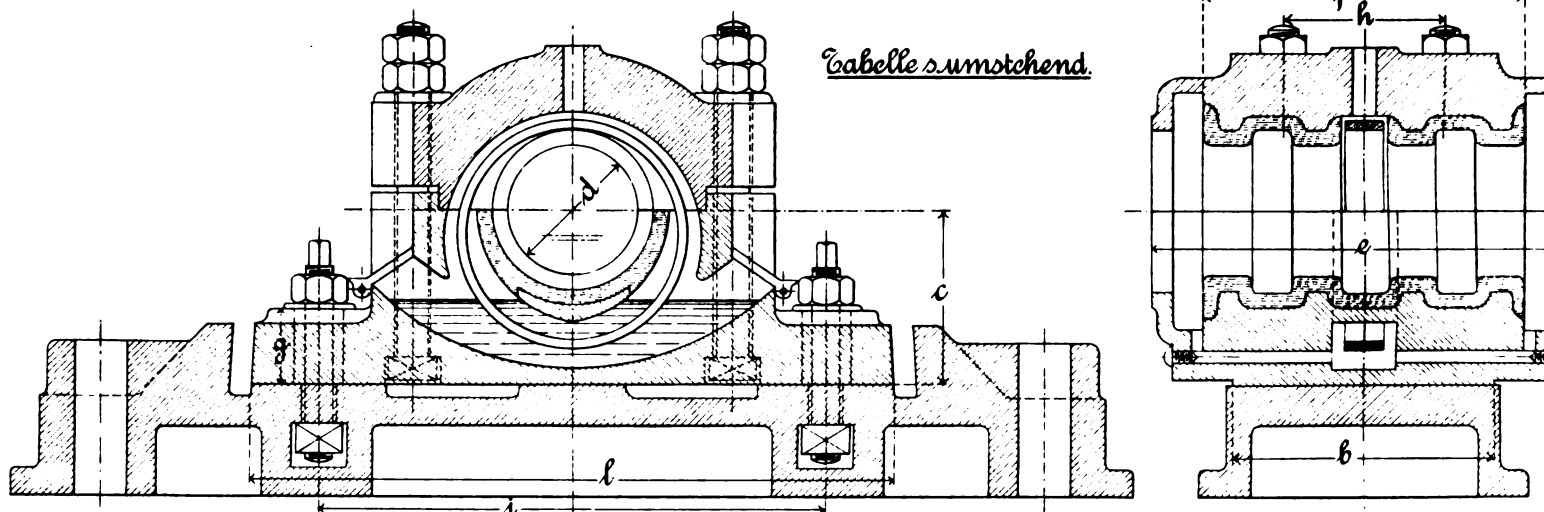
Fig. 157.



## Kammzapfen-Ringschmierlager nach Briegleb, Hansen & C<sup>o</sup>, Gotha.

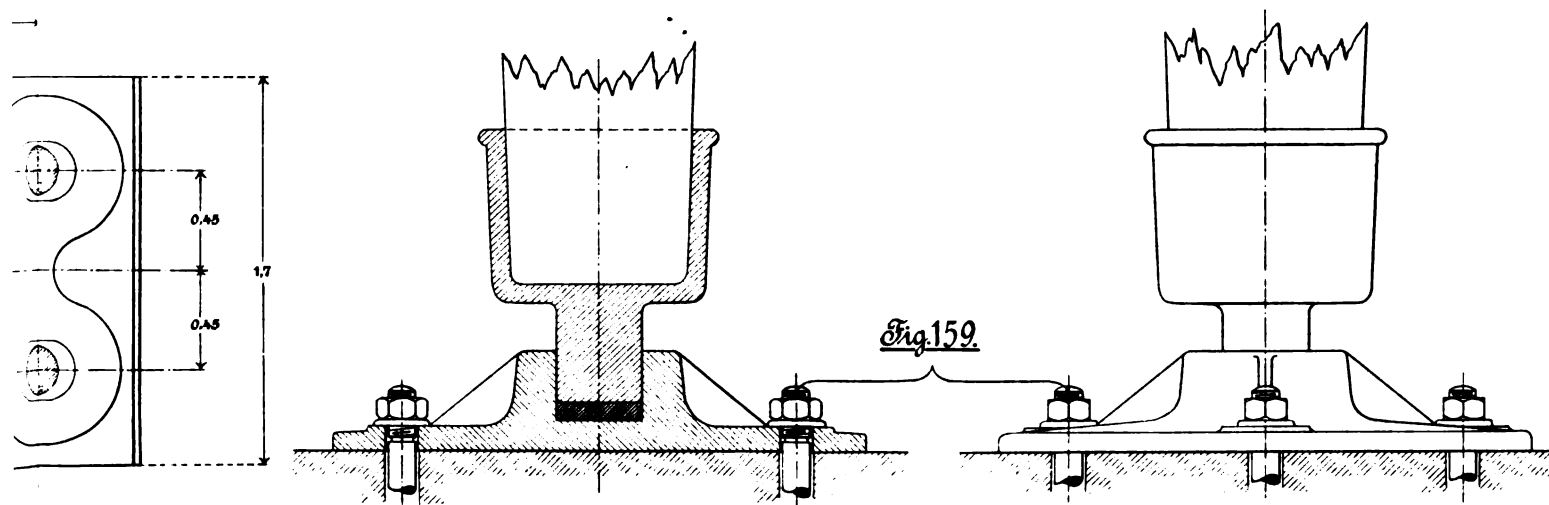
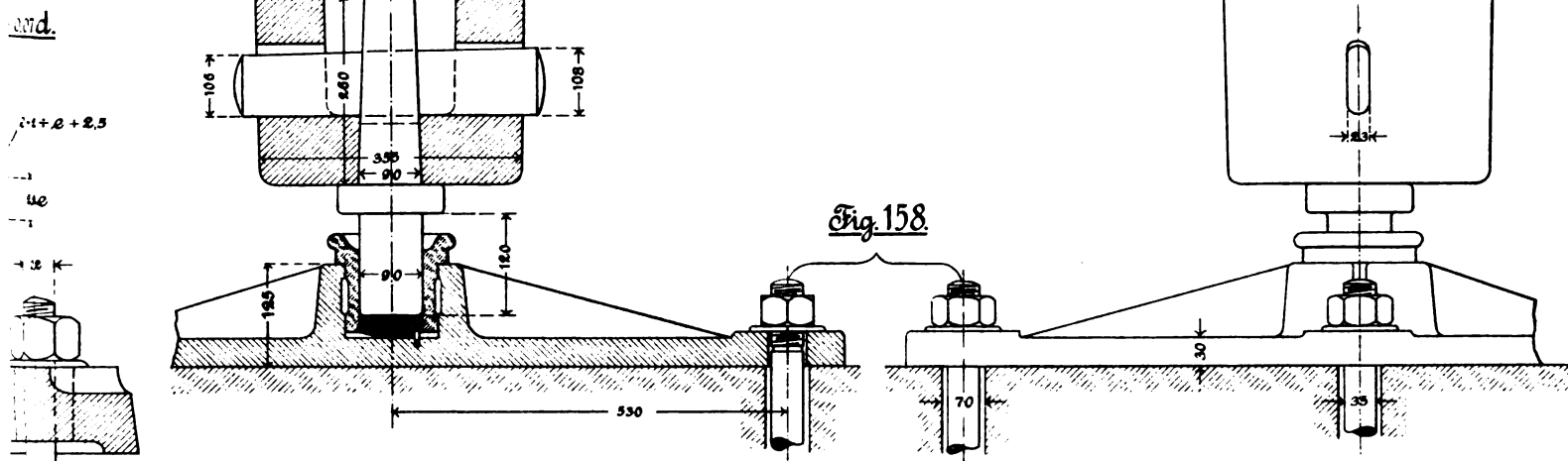
Fig. 160.

Tabelle summtend.



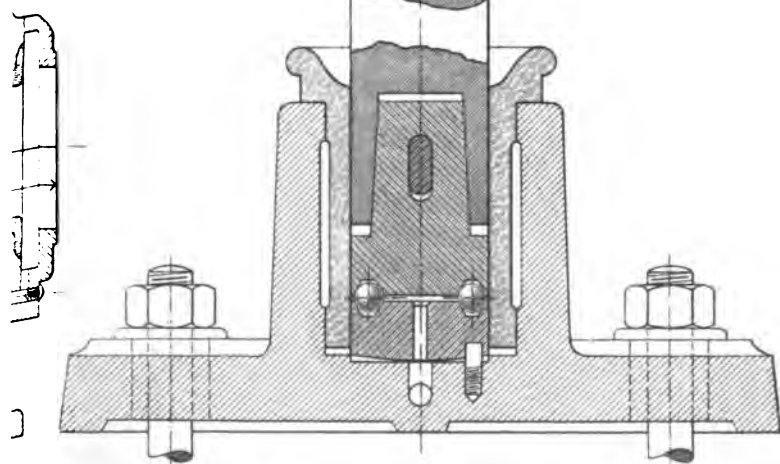
Spurlager für Krahne

Fig. 158 u. 159.



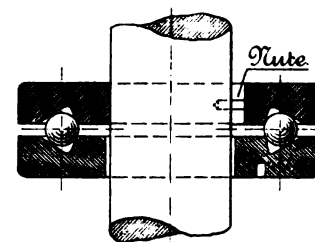
Spurzapfen-Kugellager.

Fig. 161.



Kugellager für Flaschenzüge.

Fig. 162.

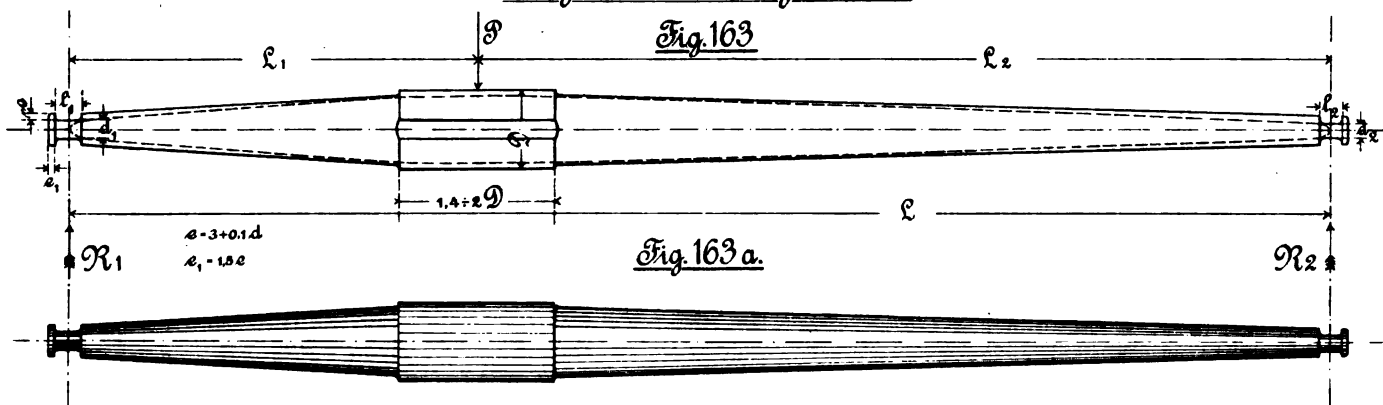


**Kammzapfen-Ringschmierlager mit Weissmetallschalen.**

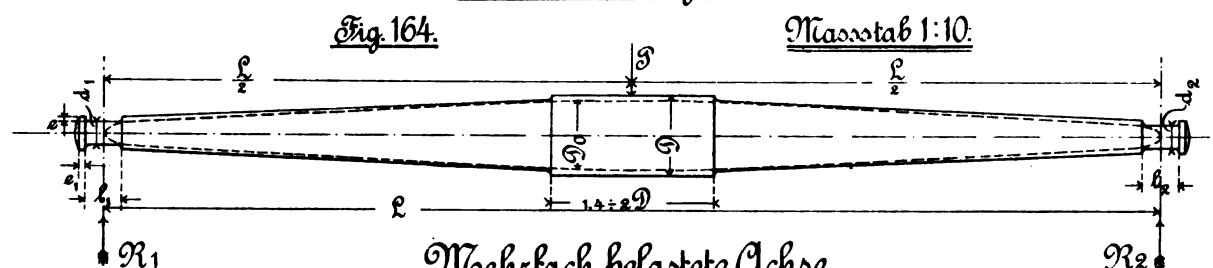
Nach Briegleb, Hansen &amp; Co., Gotha.

Bohrung des Lagers	Abmessungen in mm						Fusschrauben				Lager ohne Fuss- schrauben	
	Länge der Fuss- platte	Breite der Fuss- platte	Lager- höhe	Länge des Lager- körpers	Länge der Lager- schale	Stärke der Fuss- platte	Entfernung in mm		Durch- messer in Zoll	Anzahl	Gewicht	Preis
							h	i				
d	l	b	c	e	f	g	h	i	s			
40	245	86	60	110	80	28	50	177	1/8	4	9	30
45	265	84	65	122	90	30	45	195	1/8	4	12	31
50	285	100	70	140	100	35	50	210	1/8	4	15	33
55	302	106	75	156	110	38	55	230	1/8	4	19	35
60	320	110	80	170	120	40	60	240	1/2	4	22	38
65	340	115	85	180	130	41	65	260	3/8	4	26	42
70	355	120	90	190	140	45	70	265	3/8	4	29	46
75	365	130	95	200	150	40	75	275	3/8	4	33	51
80	380	134	100	220	160	46	80	288	3/8	4	40	56
85	390	150	105	236	170	47	85	300	3/8	4	46	61
90	400	155	110	250	180	48	90	308	3/4	4	53	66
95	414	165	115	260	190	50	95	320	3/4	4	57	72
100	425	170	120	270	200	52	100	330	3/4	4	62	78
105	440	180	125	280	210	52	105	345	3/4	4	68	84
110	455	190	125	300	220	52	110	360	7/8	4	75	91
115	470	195	130	310	230	55	115	375	7/8	4	87	98
120	485	205	135	320	240	55	120	385	7/8	4	100	105
125	500	220	140	330	250	55	125	405	7/8	4	109	112
130	520	225	145	330	260	58	130	420	1	4	120	120
140	556	240	155	360	280	62	140	445	1	4	146	138
150	600	250	165	380	300	65	150	480	1 1/8	4	174	156
160	640	270	175	400	320	65	160	500	1 1/8	4	204	178
170	680	280	185	420	340	70	170	535	1 1/8	4	238	201
180	740	300	200	450	360	75	180	560	1 1/4	4	270	229
190	760	310	210	470	380	75	190	590	1 1/4	4	310	259
200	820	330	220	490	400	80	200	650	1 3/8	4	355	300

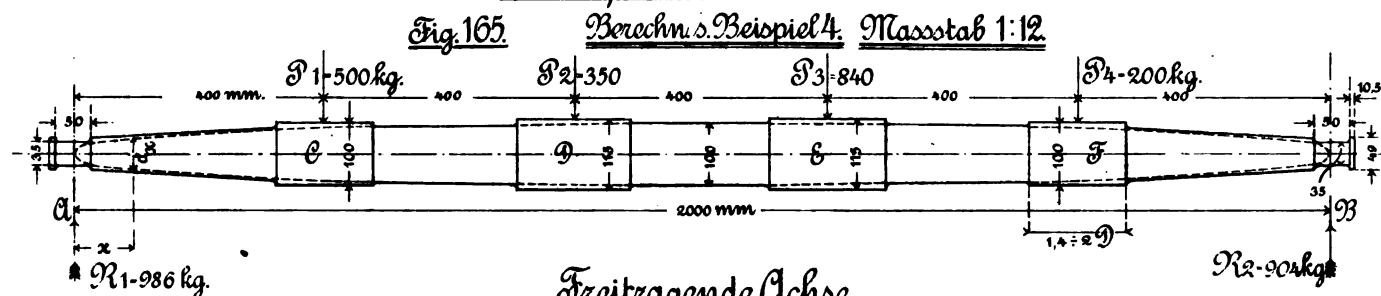
# Achsen. Ungleichschenklige Achse.



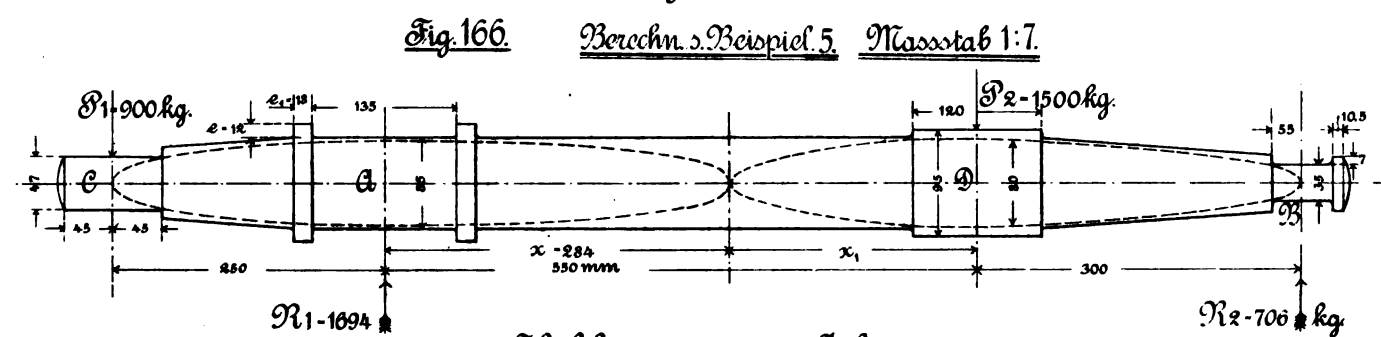
## Gleichschenklige Achse.



## Mehrfach belastete Achse.



## Freitragende Achse.



## Hohle gusseiserne Achse.

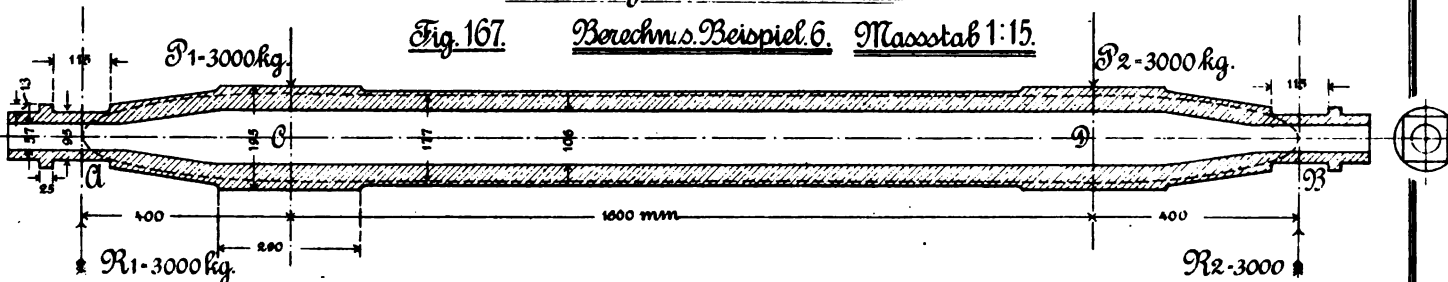
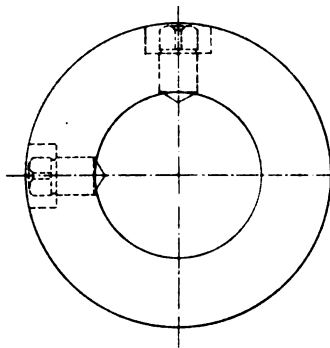




Fig. 168.



Stellringe.

Tabellen s. umstehend.

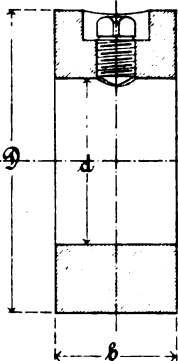
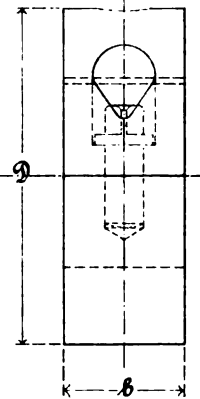
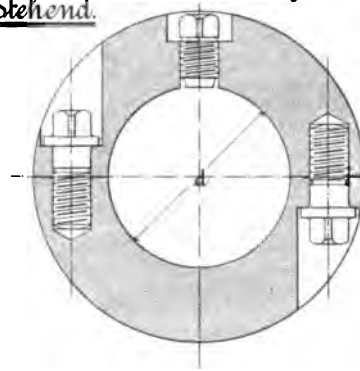


Fig. 169.

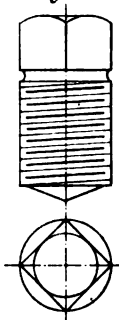


Stellschrauben.

Fig. 170.

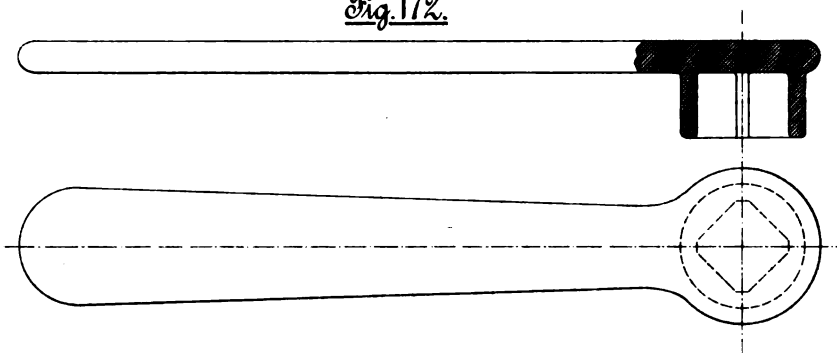


Fig. 171.



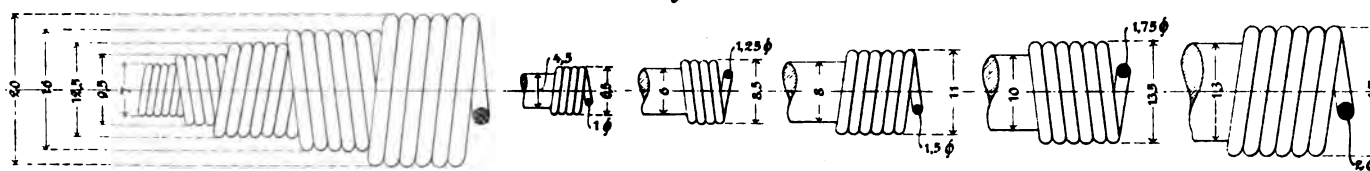
Stellschraubenschlüssel.

Fig. 172.



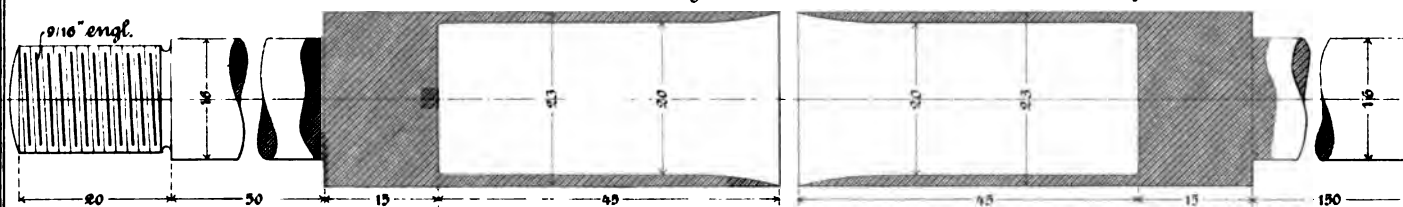
Ende einer Seele.

Fig. 173.



Normale Anschlusszapfen einer Welle von 20 mm Seelendurchmesser mit Buchsen.

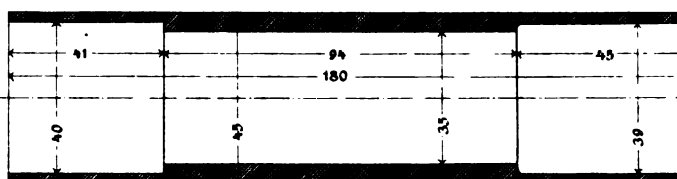
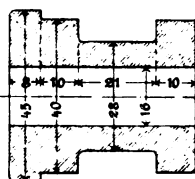
Fig. 174.



Anschlusshülse mit Metallbuchse für eine Welle von 20 mm Seelendurchmesser.

Fig. 175.

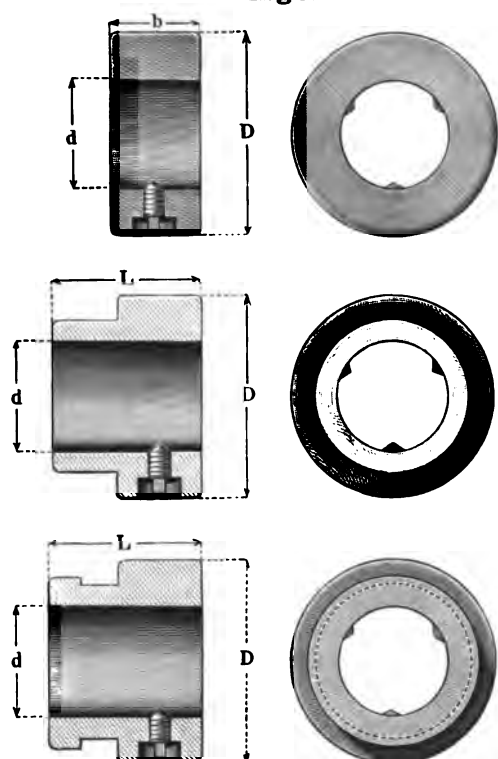
Massstab 1:2.





**Stellringe**

nach den Ausführungen der Maschinenfabrik von A. Spengler, M.-Gladbach.

**Stellringe.****Schmiedeeiserne Stellringe.**

Bohrung	Durchmesser	Breite	Anzahl der Stell-schrauben	Durchmesser der Stell-schrauben	Gewicht	Preis
d mm	D mm	b mm		Zoll	kg	Mk.
30	55	25	3	3/8	0,6	3,—
35	60	25	3	3/8	0,6	3,50
40	70	30	3	3/8	0,7	4,—
45	80	30	3	3/8	0,7	4,50
50	90	40	3	1/2	1,3	5,—
55	100	40	3	1/2	1,3	5,75
60	110	50	3	1/2	1,5	6,50
65	115	50	3	1/2	1,5	7,—
70	120	55	3	3/4	3	7,50
75	125	55	3	3/4	3	8,—
80	130	60	3	3/4	5,5	9,—
85	135	60	3	3/4	5,5	10,—
90	140	60	3	3/4	7	11,—
95	145	65	3	3/4	7	12,—
100	150	65	3	3/4	9	13,50
105	160	65	3	3/4	9	14,—
110	170	70	3	3/4	10	15,—
115	180	70	3	3/4	10	15,50
120	190	75	3	3/4	11,5	17,—
125	200	75	3	3/4	11,5	18,—
130	210	80	3	1	13	19,—
135	220	80	3	1	13	20,—
140	230	85	3	1	14,5	22,—
145	240	85	3	1	15	24,—
150	250	90	3	1 1/8	15	26,—

**Gusseiserne Stellringe**

für Stahlager mit Kugelbewegung und Ringschmierung.

Bohrung	Durchmesser	Länge	Anzahl der Stell-schrauben	Durchmesser der Stell-schrauben	Gewicht	Preis
d mm	D mm	L mm		Zoll	kg	Mk.
40	70	65	3	3/8	2	4,50
45	80	65	3	3/8	2	5,—
50	90	75	3	1/2	2,5	5,50
55	100	75	3	1/2	2,5	6,—
60	110	85	3	1/2	3	7,—
65	115	85	3	1/2	3	7,50
70	120	95	3	3/4	3,7	8,—
75	125	95	3	3/4	3,7	8,50
80	130	95	3	3/4	4	9,50
85	135	100	3	3/4	4	10,50
90	140	105	3	3/4	5	12,—
95	145	105	3	3/4	5	13,—
100	150	105	3	3/4	6	14,—
105	160	105	3	3/4	6	15,—
110	170	110	3	7/8	7	16,—
115	180	115	3	7/8	7,5	17,—
120	190	115	3	7/8	9	18,—
125	200	115	3	7/8	9,5	19,—
130	210	115	3	1	10,5	20,—
135	220	125	3	1	12	21,—
140	230	125	3	1	13	23,—
145	240	125	3	1	14	25,—
150	250	125	3	1 1/8	15	27,—

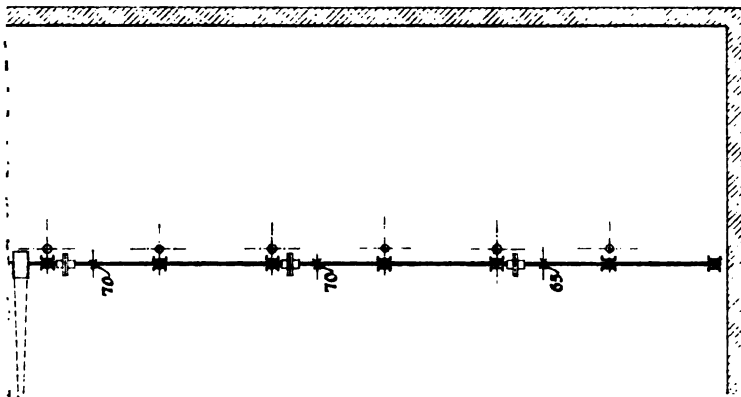
**Gusseiserne Stellringe**

für Weissmetall-Lager mit herausnehmbaren Lagerschalen und Ringschmierung.

Bohrung	Durchmesser	Länge	Anzahl der Stell-schrauben	Durchmesser der Stell-schrauben	Gewicht	Preis
d mm	D mm	L mm		Zoll	kg	Mk.
50	90	70	3	1/2	2	5,50
55	100	70	3	1/2	2	6,—
60	110	75	3	1/2	2,5	7,—
65	115	75	3	1/2	2,5	7,50
70	120	80	3	3/4	3	8,—
75	125	80	3	3/4	3	8,50
80	130	80	3	3/4	3,5	9,50
85	135	85	3	3/4	3,5	10,50
90	140	90	3	3/4	4,5	12,—
95	145	90	3	3/4	4,5	13,—
100	150	95	3	3/4	5	14,—
105	160	95	3	3/4	5	15,—
110	170	100	3	3/4	6	16,—
115	180	105	3	3/4	7,5	17,—
120	190	105	3	3/4	8,5	18,—
125	200	105	3	3/4	9	19,—
130	210	110	3	1	10	20,—
135	220	115	3	1	11	21,—
140	230	115	3	1	12	23,—
145	240	115	3	1	13	25,—
150	250	115	3	1 1/8	14	27,—
160	270	120	3	1 1/8	15	29,—
170	290	125	3	1 1/8	16	31,—
180	310	125	3	1 1/8	17	33,—
190	330	135	3	1 1/4	18	35,—
200	350	140	3	1 1/4	19	37,—
210	370	140	3	1 1/4	20	39,—
220	390	140	3	1 1/4	21	41,—

Stellringe werden ungeteilt und geteilt ausgeführt und zwar erstere in Schmiedeeisen, die übrigen in Gusseisen. Letztere werden zu den Ringschmierlagern benutzt und laufen zum Theil innerhalb der Lager.

Tafel 50/51.





# Kräftezerlegung der Hauptantriebswelle.

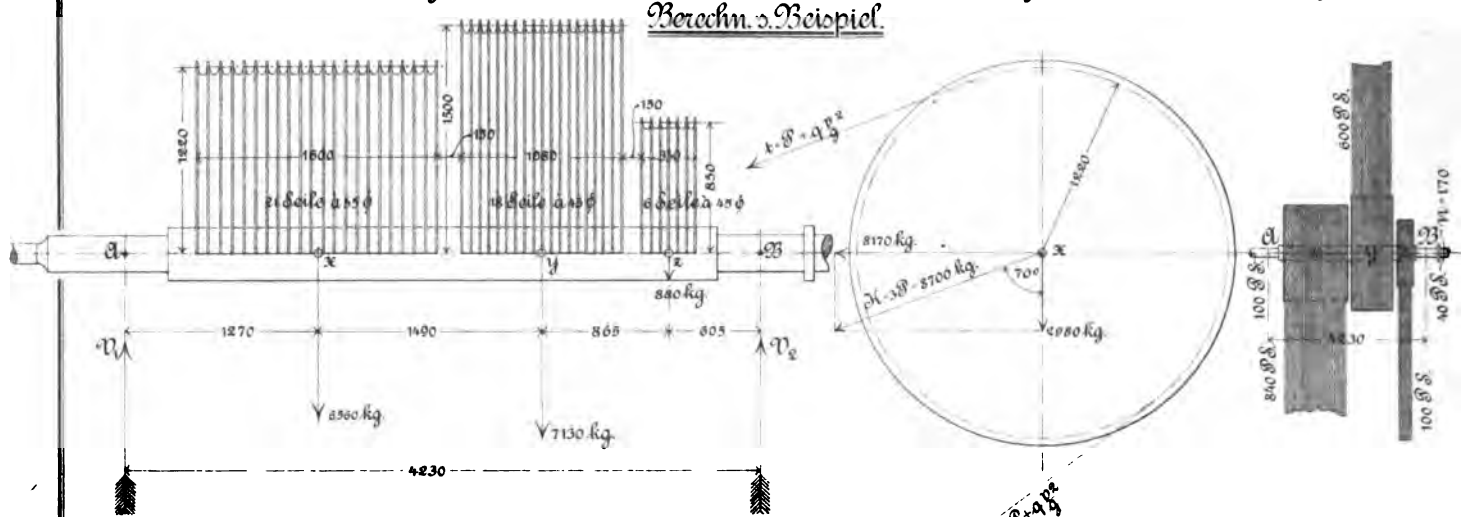
Maßstab 1:50

Fig. 180.

Berechn. d. Beispiel.

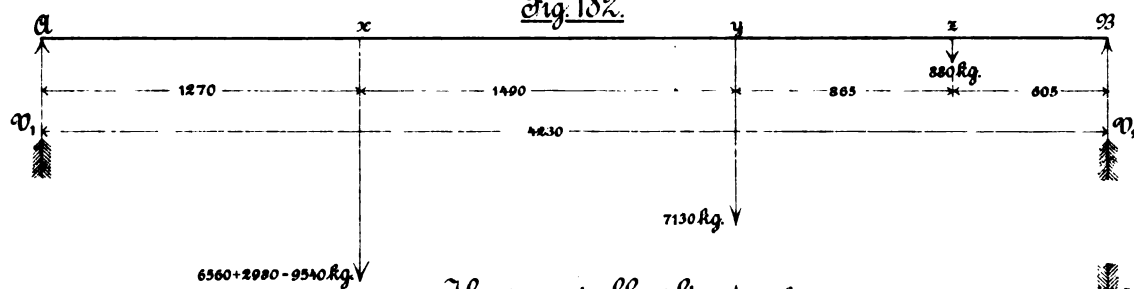
Fig. 181.

Fig. 180a.



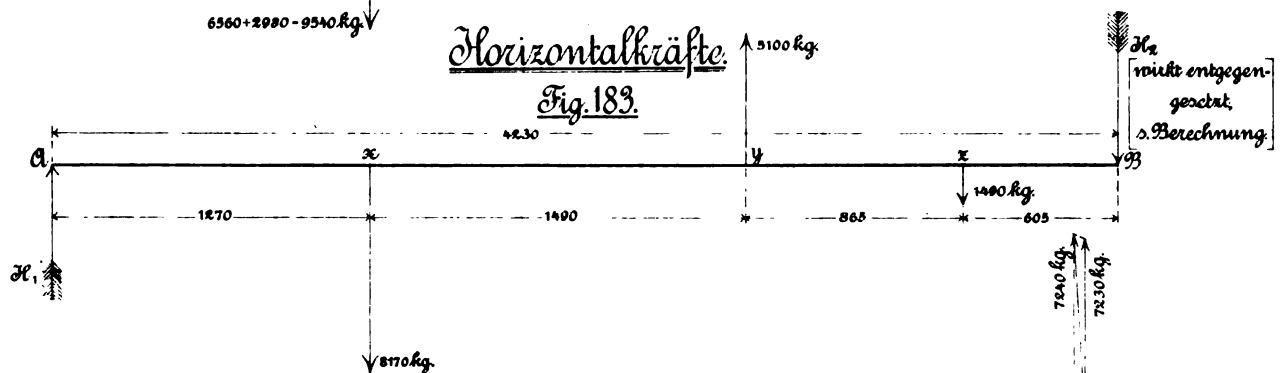
## Vertikalkräfte.

Fig. 182.



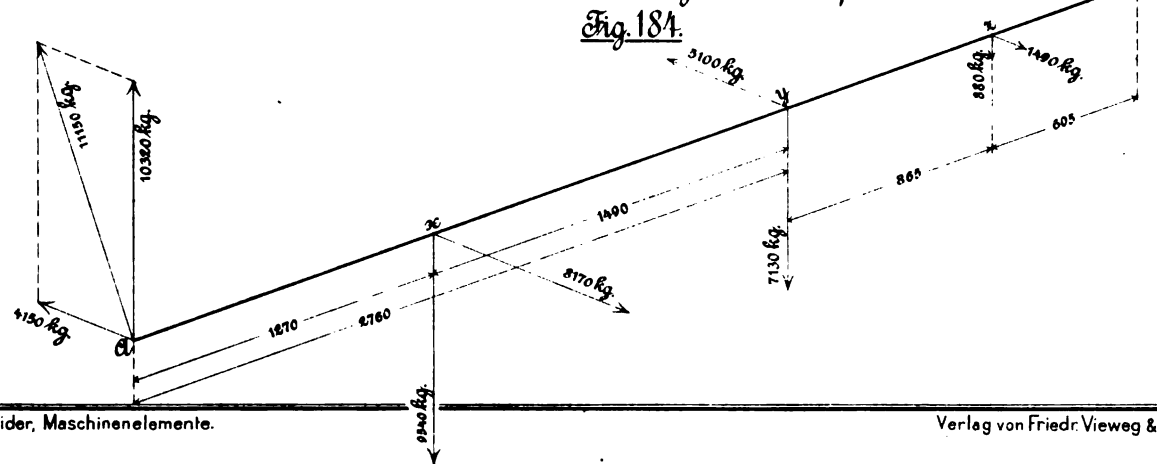
## Horizontalkräfte.

Fig. 183.



## Zusammenstellung der Kräfte

Fig. 184.





Transmiss  
Ausgefü  
u

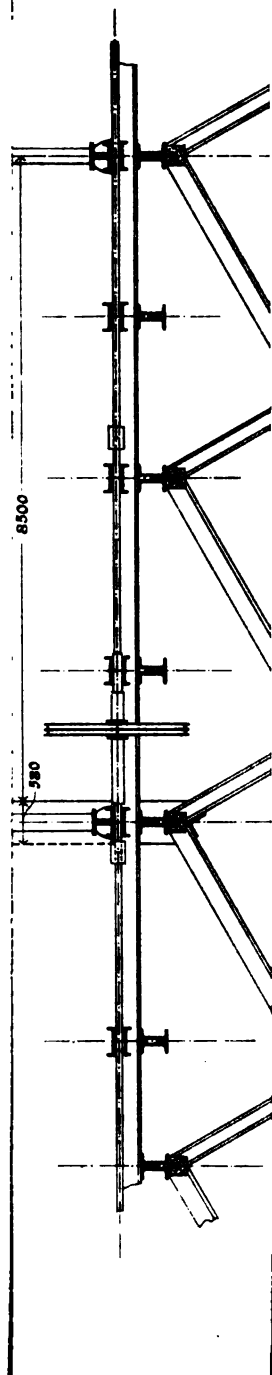
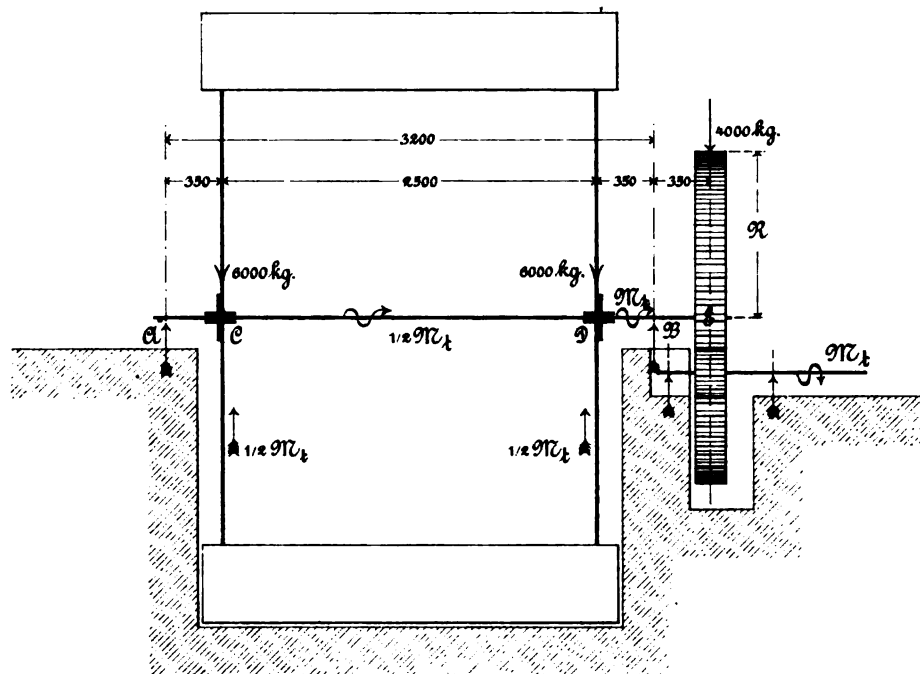




Fig. 187.

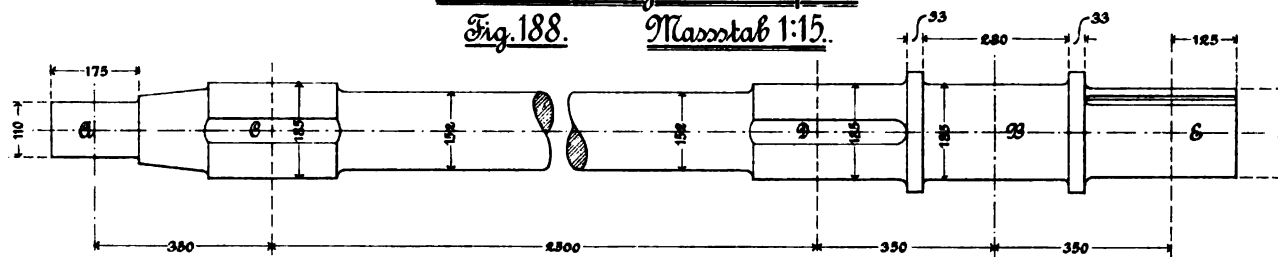
### Berechnungs-Beispiel.



Welle zu obigem Beispiel.

Fig. 188.

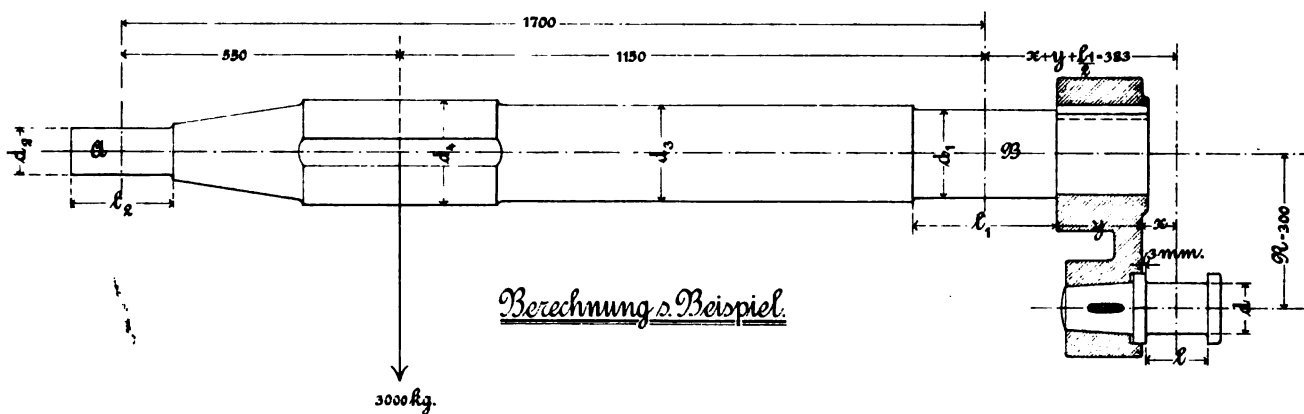
Maßstab 1:15.



Kurbelwelle einer Dampfmaschine.

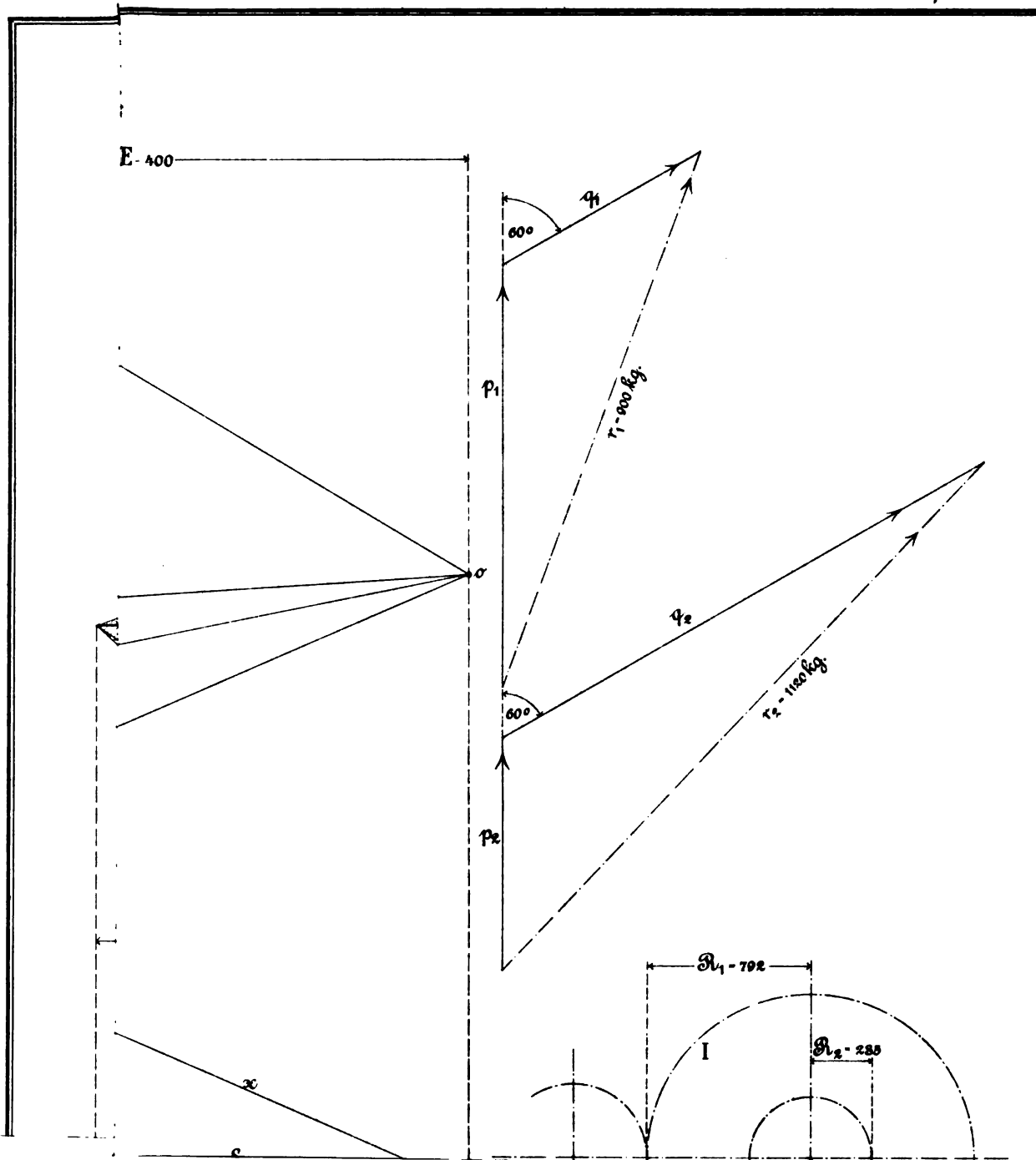
Fig. 189.

Maßstab 1:15.

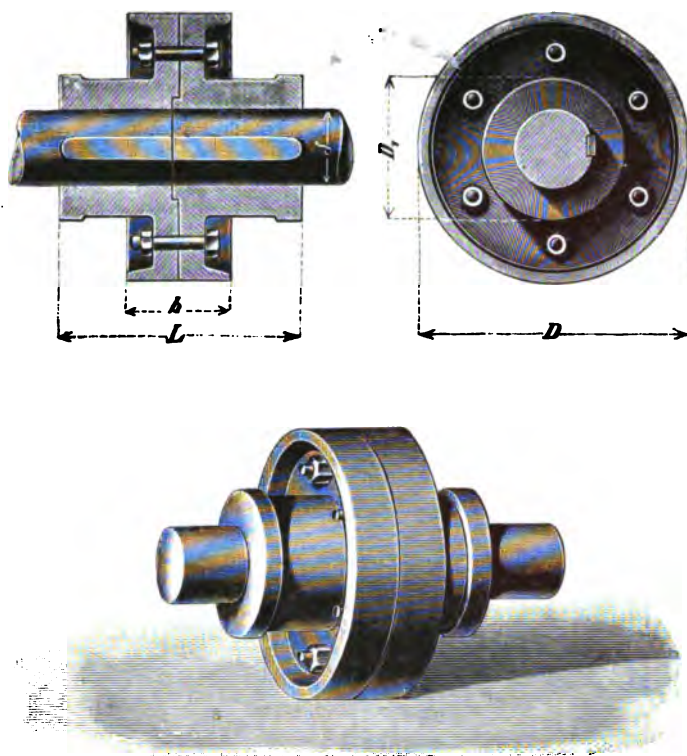








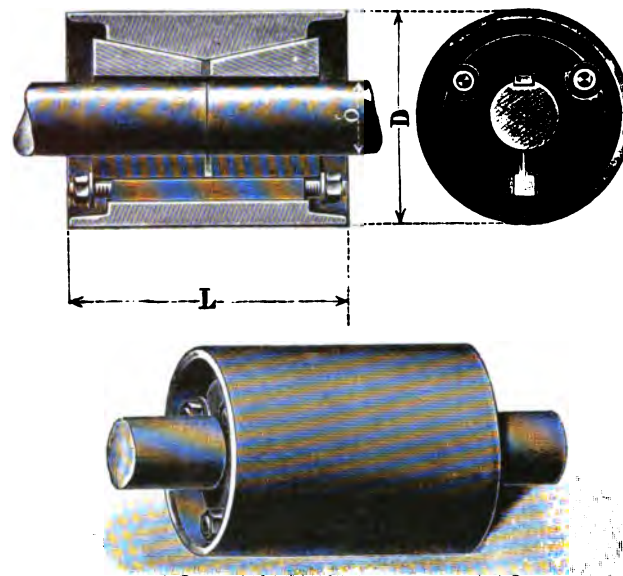




### Scheiben-Kupplung.

Nach A. Spengler, M.-Gladbach.

Bohrung d mm	Durch- messer D mm	Durch- messer D <sub>1</sub> mm	Länge L mm	Breite b mm	Gewicht kg	Prels Mk.
40—45	210	100	180	80	24	24
50—55	240	110	200	90	28	28
60—65	265	120	230	100	32	32
70—75	285	140	250	110	42	38
80—85	310	160	280	115	68	47
90—95	330	175	300	120	85	58
100	360	195	320	135	100	70
110	385	210	340	140	130	88
120	410	230	370	150	155	105
130	435	245	390	160	195	145
140	455	260	415	165	220	160
150	480	275	435	170	250	180
160	510	290	460	175	295	196
170	525	310	480	185	344	210
180	550	320	500	195	390	224
190	575	335	530	200	455	240
200	600	350	550	210	515	250



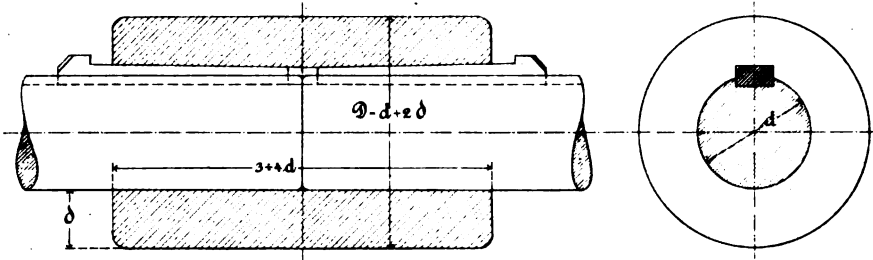
### Sellers-Kupplung.

Nach A. Spengler, M.-Gladbach.

Bohrung d mm	Durch- messer D mm	Länge L mm	Gewicht kg	Prels Mk.
30—35	110	160	15	25
40—45	130	180	20	30
50—55	150	215	25	35
60—65	175	250	30	45
70—75	200	270	45	55
80—85	220	290	55	70
90—95	230	320	70	85
100—105	250	350	85	105
110—115	280	380	115	120
120—125	310	420	140	140
130—135	330	450	180	165
140—145	350	480	220	190
150	360	500	260	220

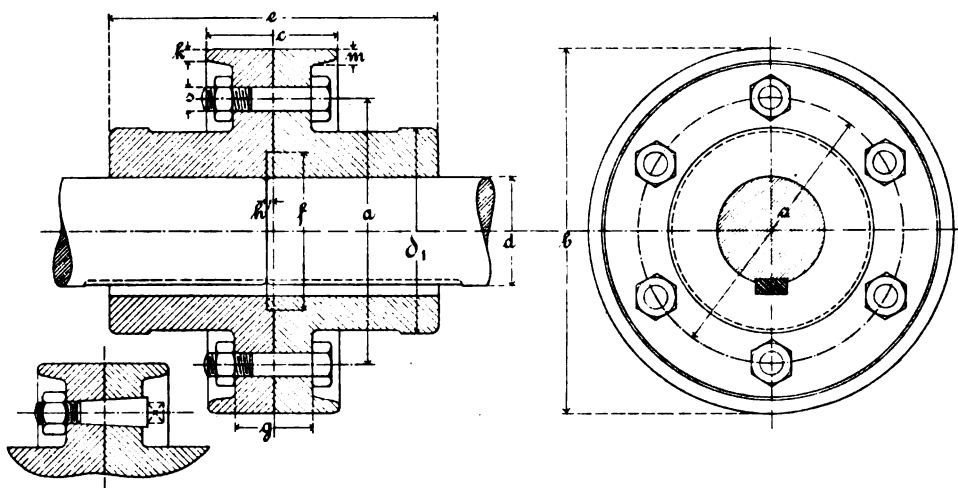
Nuffenkupplung.  
Fig. 192. Bezugseinheit  $\delta - \frac{d}{3} + 10$ .

Fig. 192. Bezugseinheit  $\delta = \frac{d}{3} + 10$ .



Scheibenkupplung.  
Maßstab 1:10. Fig. 195. Tabelle d. umstehend.

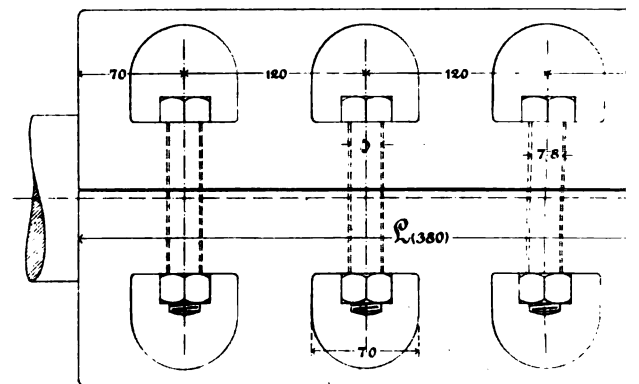
Maßstab 1:10. Fig. 195. Tabelle s. umstehend.



$d - \frac{d}{5} + 5$ . Anzahl der Schrauben bis 50 mm.

$5 - \frac{d}{5} + 5$ . Anzahl der Schrauben bis 50 mm.

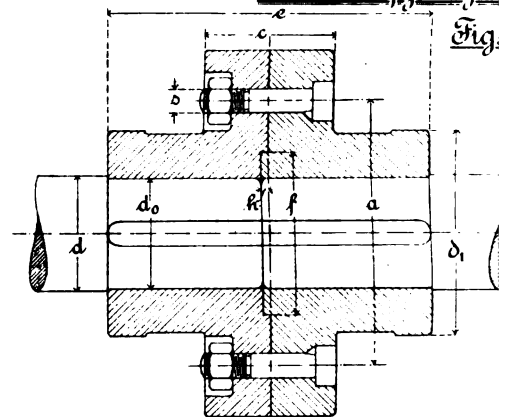
Maßstab 1:5. Fig. 19<sup>e</sup>



Scheiben  
warm aufgezogen  
Fig.

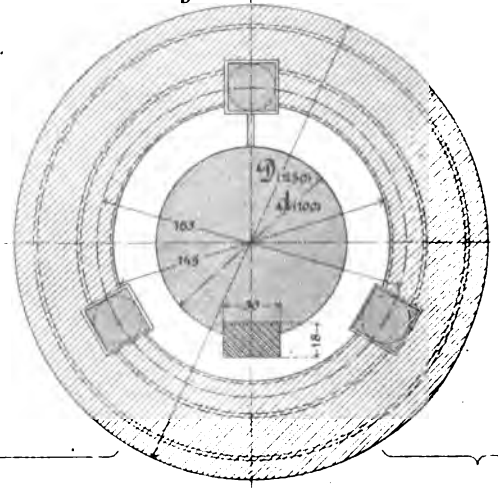
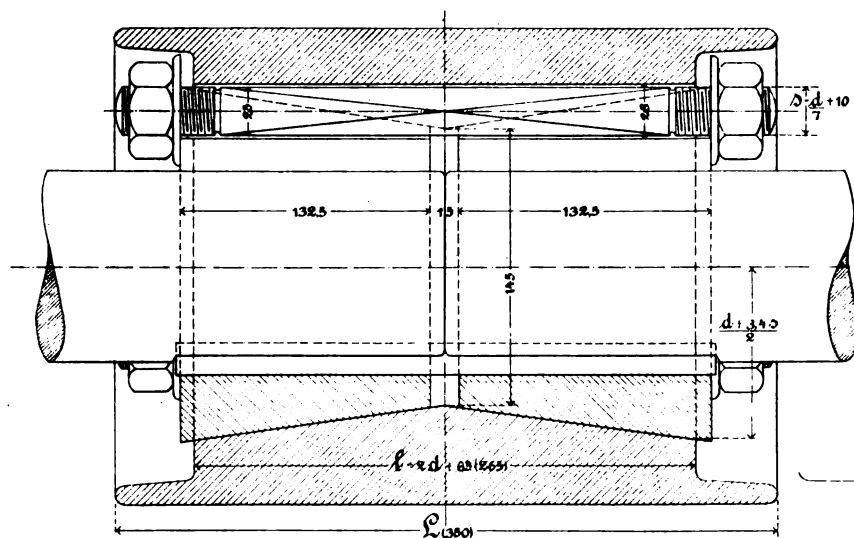
warm aufgezogen

Fig.



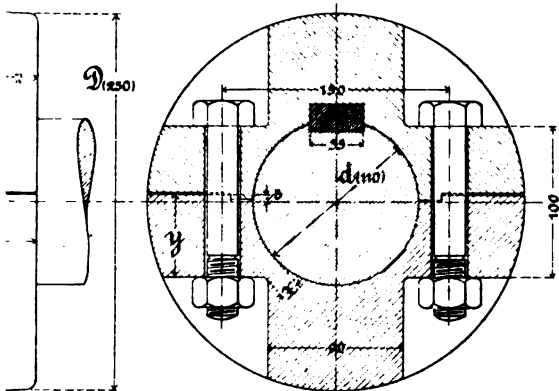
Seller's-Kupplung.  
Massstab 1:4. Fig. 197. Tabelle s. umstehend.

Maßstab 1:4. Fig. 197. Tabelle s. umstehend.



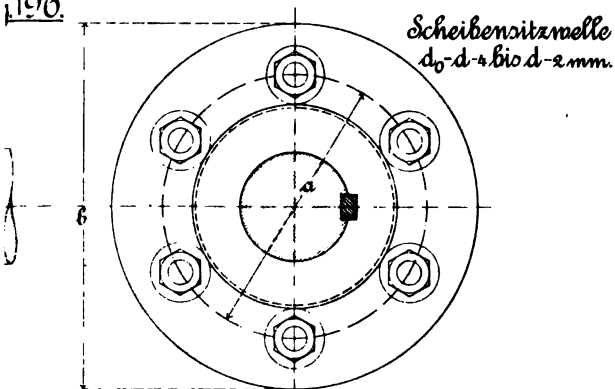
Kupplungen.Kupplung.Bohrung.  $\Sigma$ -A, über 50 + 150 mm Bohrung.  $\Sigma$ -B.

Tabelle s. umstehend.

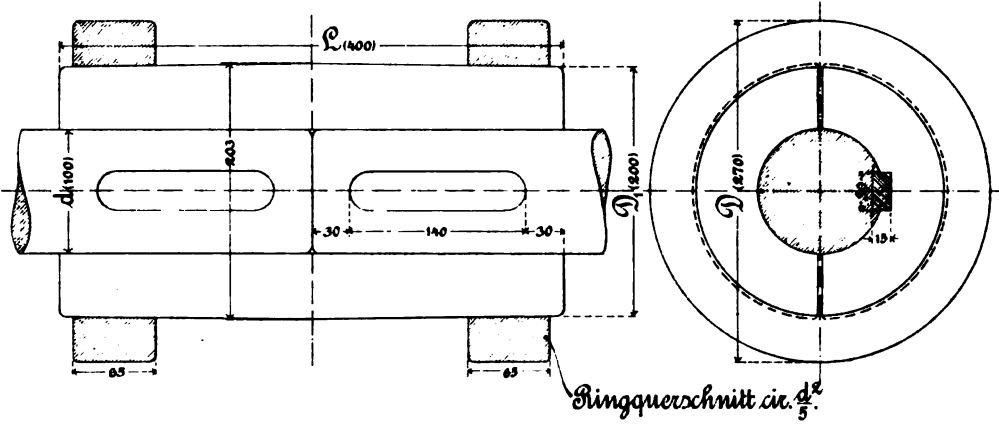
y so gross machen,  
dass  $\Sigma$  circ.  $\frac{1}{2}$  wird.Kupplung.

oder aufgedrückt.

Fig. 196.

Scheibensitzmelle  
 $d_0 - d + \text{bis } d - 2 \text{ mm.}$ Flüßenkupplung.

Maßstab 1:6. Fig. 194. Tabelle s. umstehend.

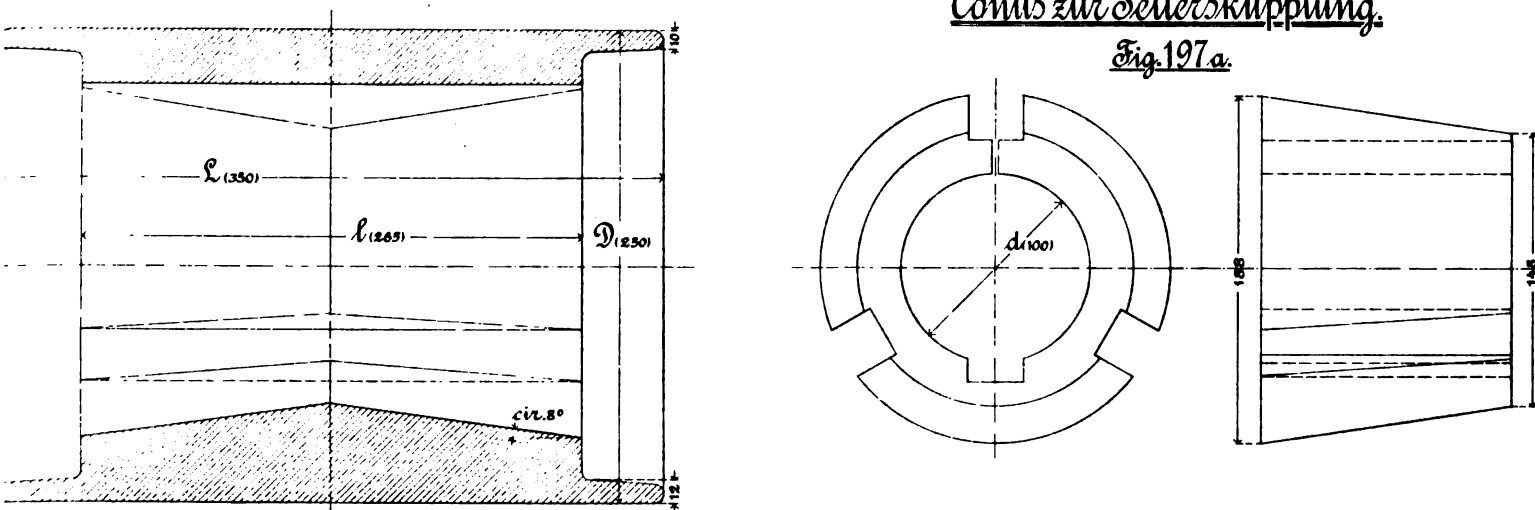
Ringquerschnitt cir.  $\frac{d}{5}$ .Tabelle zur Scheibenkupplung.

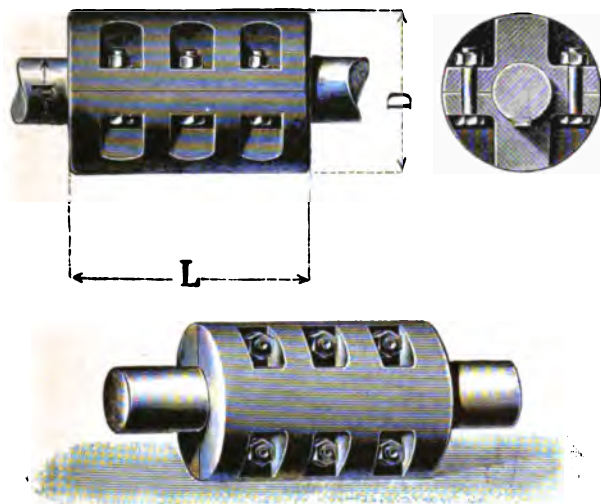
nach Ausführungen der Maschinenfabrik A. Spengler, W. Gladbach.

N <sup>o</sup>	d	d <sub>1</sub>	a	b	c	e	f	g	h	k	m	D	Anzahl der Schub.	Gewicht
1	40	100	140	210	80	180	60	45	5	5	8	5/8"	4	24
2	50	100	160	240	90	200	80	50	5	8	10	5/8"	4	28
3	60	120	175	265	100	230	85	55	5	8	10	3/4"	4	32
4	70	140	200	285	110	250	100	60	6	10	12	3/4"	4	42
5	80	160	220	310	115	280	115	65	6	10	12	3/4"	4	68
6	90	175	230	330	120	300	125	70	7	12	15	3/4"	6	85
7	100	195	255	360	135	320	145	75	7	12	15	7/8"	6	100
8	110	210	270	385	140	340	155	80	8	12	15	7/8"	6	130
9	120	230	295	410	150	370	170	85	8	15	18	7/8"	6	155
10	130	245	310	435	160	390	185	90	8	15	18	1"	6	195
11	140	260	330	455	165	415	195	95	9	15	18	1"	6	220
12	150	275	350	480	170	435	210	100	9	17	20	1 1/8"	6	250
13	160	290	370	510	175	460	225	100	9	17	20	1 1/8"	6	295
14	170	310	385	525	185	480	240	110	10	17	20	1 1/4"	6	344
15	180	320	410	550	195	500	250	110	10	20	22	1 1/4"	6	390
16	190	335	420	575	200	530	265	115	12	20	22	1 1/4"	8	455
17	200	350	445	600	210	550	280	120	12	20	22	1 1/4"	8	515

Conus zur Sellerskupplung.

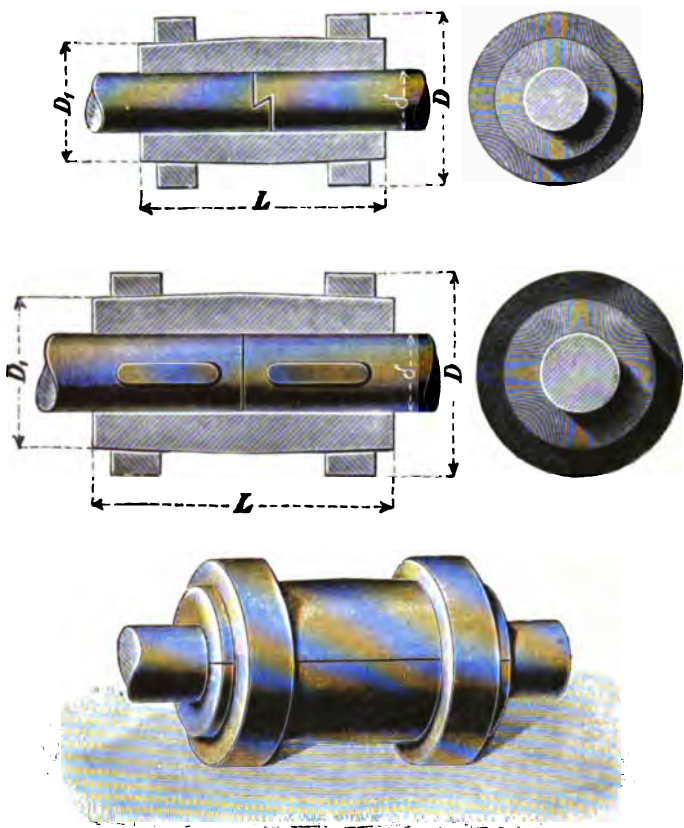
Fig. 197a.





**Schalen-Kupplung.**  
Nach A. Spengler, M.-Gladbach.

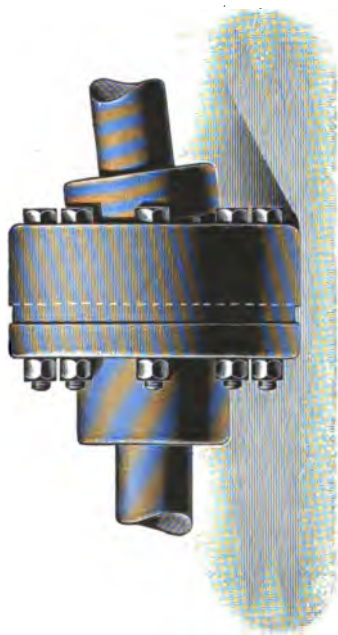
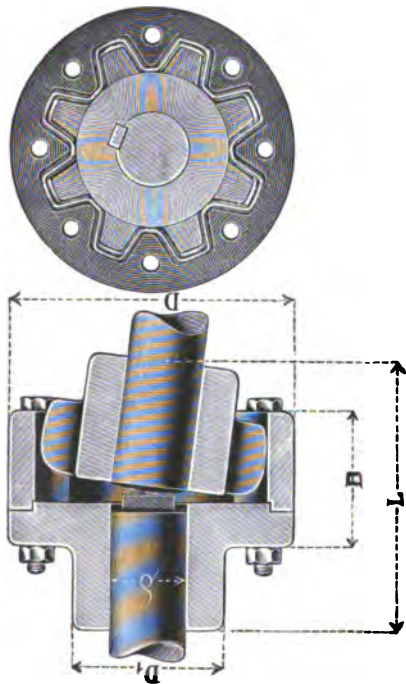
Bohrung d mm	Durch- messer D mm	Länge L mm	Gewicht kg	Preis Mk.
50	140	225	25	28
55	140	225	25	28
60	160	260	35	35
65	160	260	35	35
70	180	305	50	40
75	180	305	50	40
80	200	320	80	50
85	200	320	80	50
90	220	340	105	62
95	220	340	105	62
100	240	360	130	75
105	240	360	130	75
110	260	380	155	90
115	260	380	155	90
120	280	420	180	105
125	280	420	180	105
130	300	460	200	120
135	300	460	200	120
140	320	500	230	140
145	320	500	230	140
150	340	540	270	160



**Hülse-Kupplung.**  
Nach A. Spengler, M.-Gladbach.

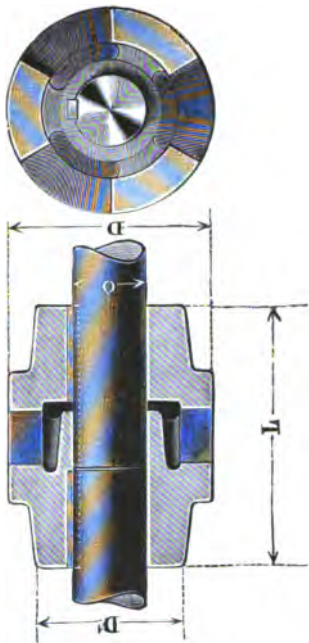
Bohrung d mm	Durch- messer D mm	Durch- messer D <sub>1</sub> mm	Länge L mm	Gewicht kg	Preis Mk.
30—35	100	60	120	8	21
40—45	125	80	160	12	24
50—55	150	100	200	17	28
60—65	175	120	240	23	35
70—75	200	140	280	38	40
80—85	225	160	320	53	50
90—95	245	180	360	72	62
100	270	200	400	98	75
110	295	220	440	127	90
120	320	240	480	158	115
130	340	260	520	196	125
140	365	280	560	248	150
150	390	300	600	286	175
160	415	320	640	335	200
170	440	340	680	380	220
180	465	360	720	430	245
190	490	380	760	480	270
200	520	400	800	550	295





**Gelenk - Kupplung.**  
Nach A. Spengler, M.-Gladbach.

Bohrung d mm	Aeusserer Durchmesser D mm	Durchmesser D <sub>1</sub> mm	Breite B mm	Länge L mm	Gewicht kg	Preis Mk.
100	400	200	220	370	Auf besondere Anfrage.	
105	400	200	220	370		
110	425	220	230	400		
115	425	220	230	400		
120	455	240	240	430		
125	455	240	240	430		
130	490	260	250	460		
135	490	260	250	460		
140	525	280	260	490		
145	525	280	260	490		
150	560	300	270	525		
155	560	300	270	525		
160	595	320	285	560		
165	595	320	285	560		
170	630	340	300	595		
175	630	340	300	595		
180	670	360	320	630		
185	670	360	320	630		
190	710	380	340	665		
195	710	380	340	665		
200	750	400	360	700		



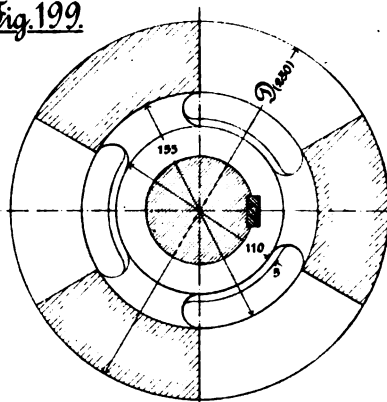
**Ausdehnungs - Kupplung.**  
Nach A. Spengler, M.-Gladbach.

Bohrung d mm	Durchmesser D mm	Durchmesser D <sub>1</sub> mm	Länge L mm	Grösste Ausdehnung mm	Gewicht kg	Preis Mk.
50—55	190	110	285	15	45	30
60—65	210	125	305	15	45	35
70—75	235	140	325	15	50	40
80—85	260	155	345	20	65	52
90—95	285	170	365	20	85	65
100—105	310	185	385	20	115	90
110—115	340	205	410	20	150	105
120—125	370	220	435	25	170	120
130—135	400	235	460	25	220	155
140—145	430	250	485	25	260	180
150	460	270	520	25	330	198
160	490	290	565	30	400	240
170	520	310	610	30	470	285
180	550	330	655	30	540	325
190	580	350	705	30	650	390
200	620	370	760	30	750	450



Tabelle s. umstehend.

Fig. 199.



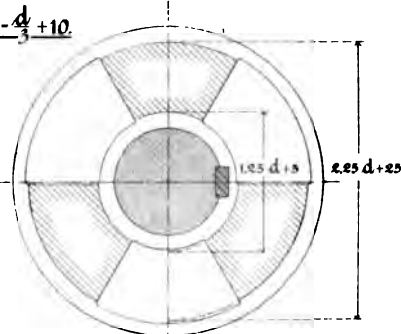
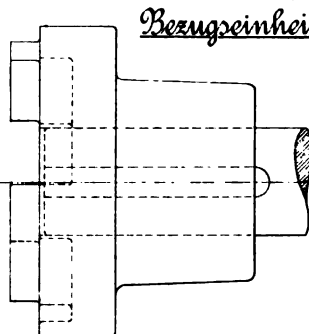
## Bewegliche Ki

### Sharp'sche Kupplung.

ung. Mittweida.

Fig. 198.

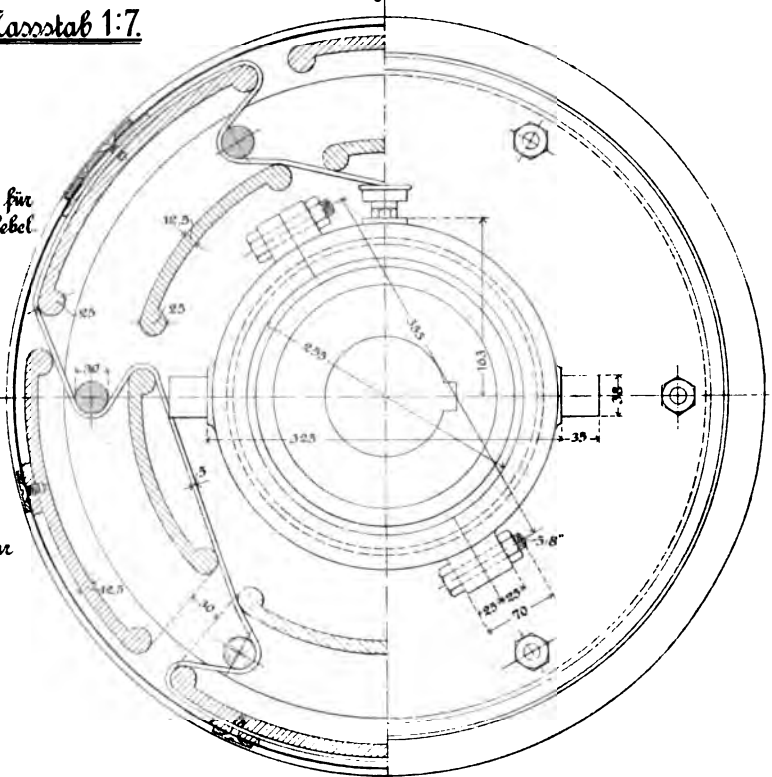
Bezugseinheit  $\delta - \frac{d}{3} + 10$ .



### Ausrückbare Band-Kupplung mit Schleifring.

n.  $\frac{\pi}{n} \cdot 0.4$ , mit 6 Schlingen.

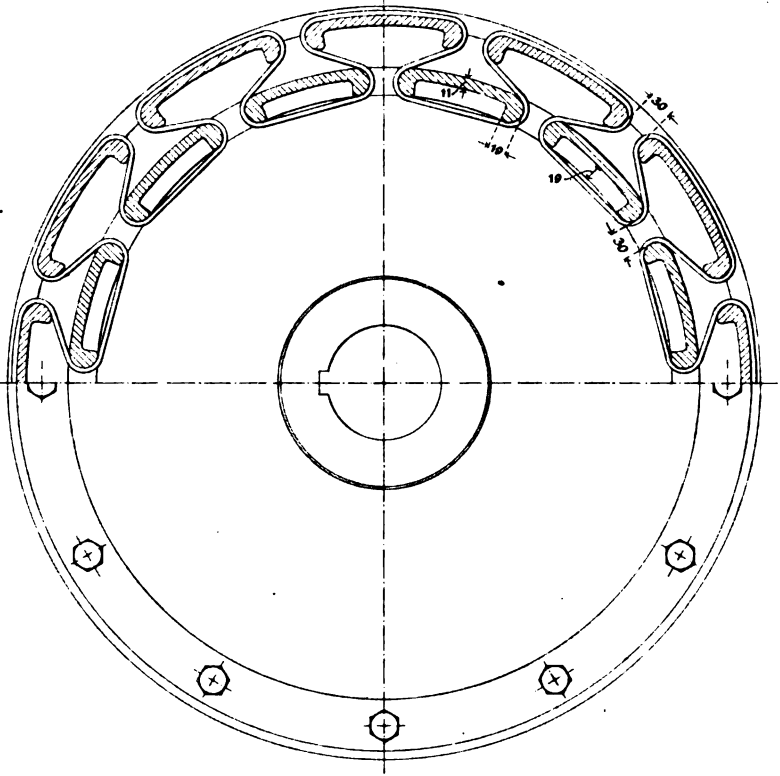
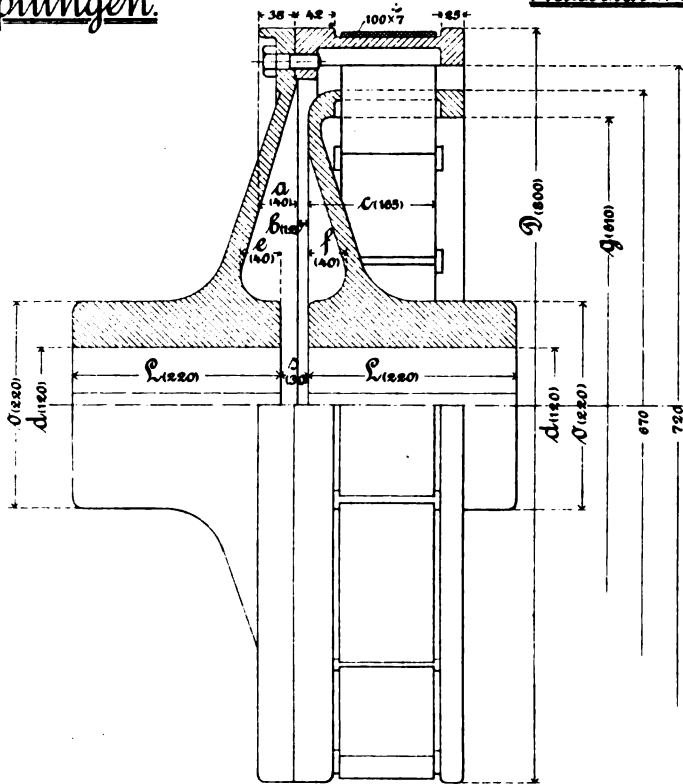
Fig. 201. Massstab 1:7.



Band-Kupplung:

Patent Zedel-Voith. Grösse 8.  $\frac{N}{n}$ -1,12.

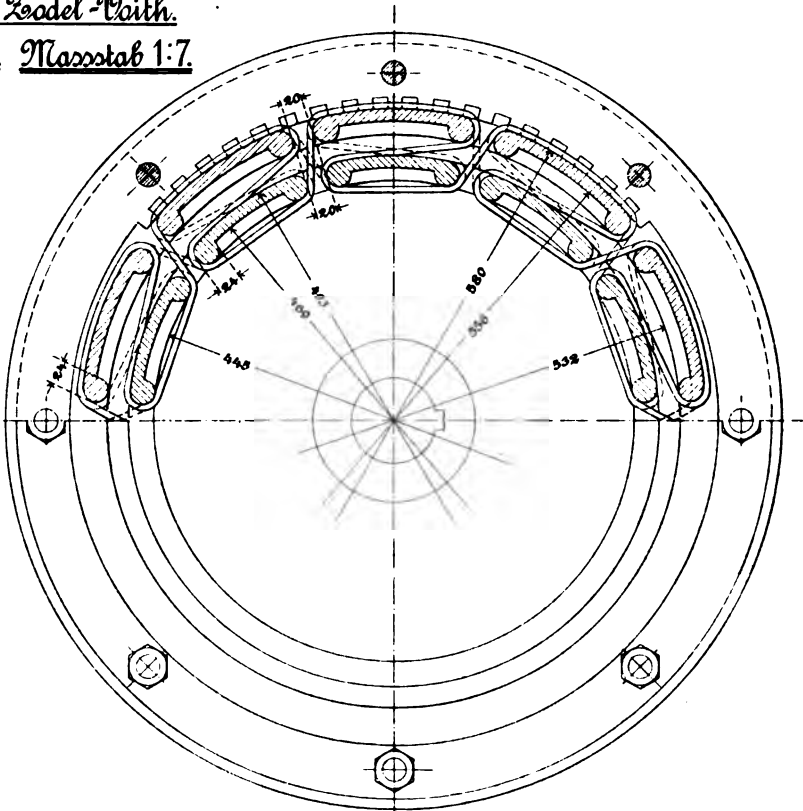
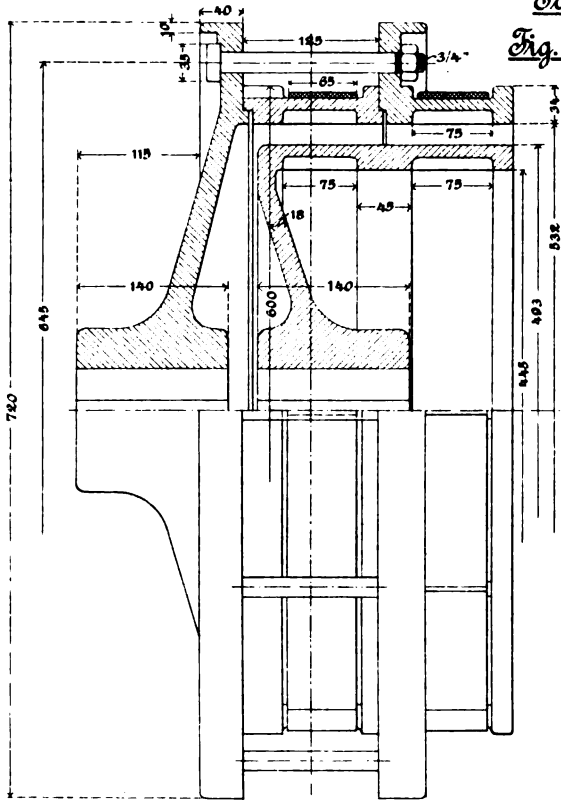
Maßstab 1:8. Fig. 200. Tabelle s. umstehend.

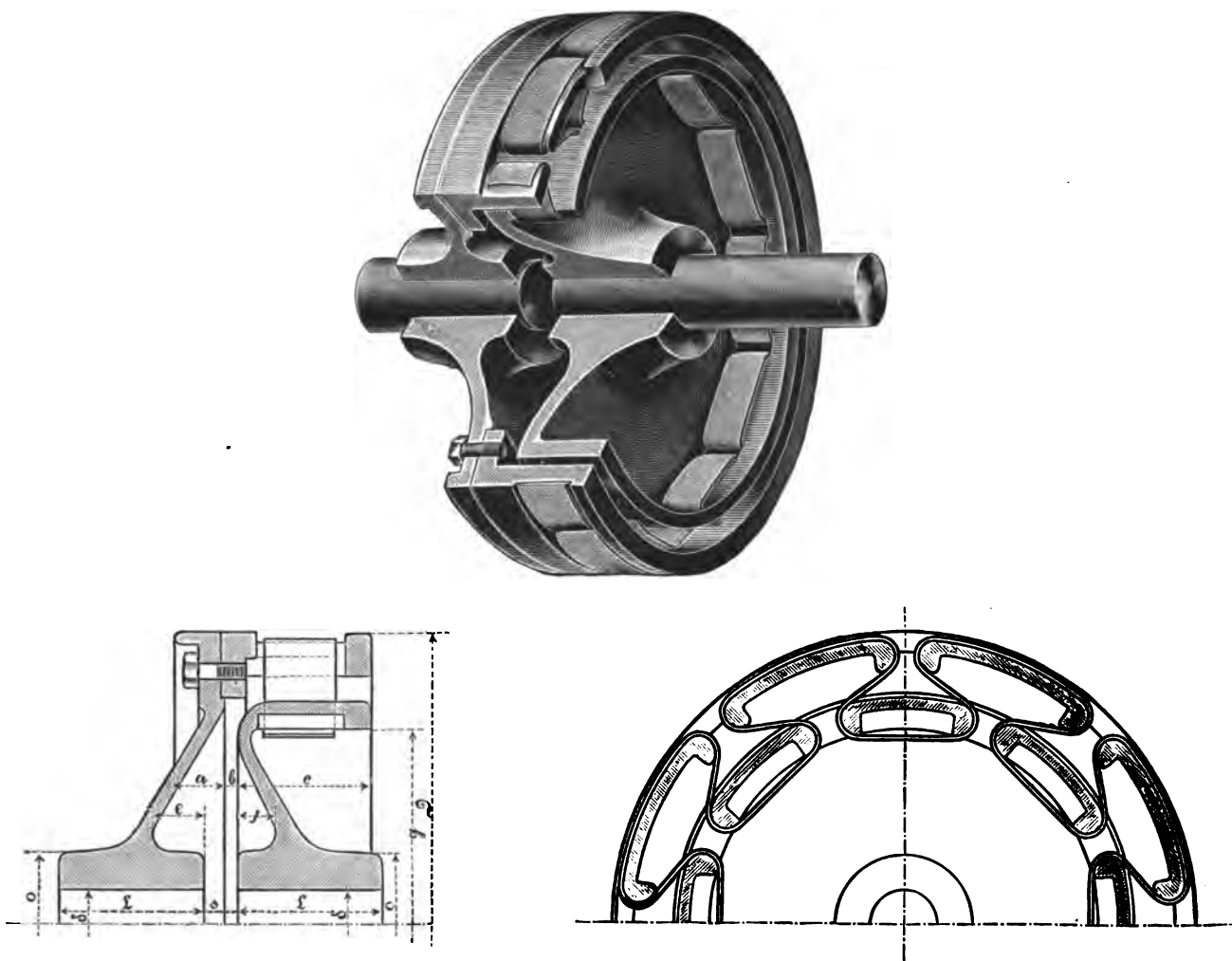
ipplungen.

### Band-Kupplung für wechselnde Drehrichtung:

Patent Zedel-Vaith.

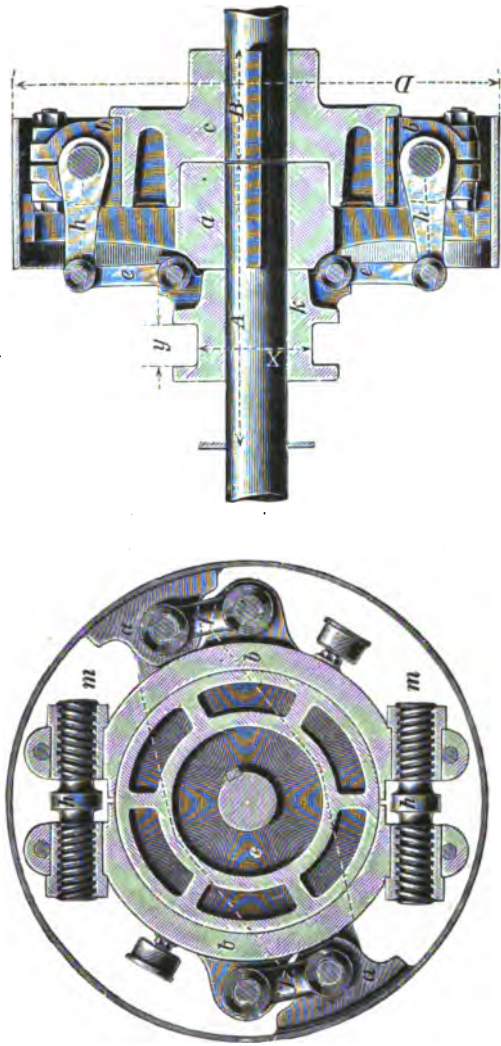
Fig. 202. Massstab 1:7.





**Band - Kupplung.**  
**Patent Zodel-Voith.**

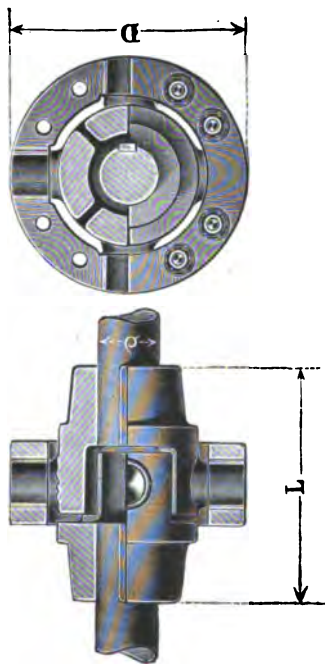
Größen Nr.	$\frac{N}{n}$	Durch- messer <b>D</b>	Norm. Naben				Sonstige Dimensionen						Riemenmaße		
			Länge <b>L</b>	Durch- messer <b>o</b>	Bohrung <b>d</b>	Abstand <b>s</b>	<b>a</b>	<b>b</b>	<b>c</b>	<b>e</b>	<b>f</b>	<b>g</b>	Breite	Stärke	Länge
0,7	0,00087	70	30	40	15	25	$a + b = 33$		16	0	0	35	15	1	320
0,9	0,0017	90	30	40	20	25	$a + b = 33$		16	0	0	48	15	1	400
1,2	0,003	120	40	45	20	20	$a + b = 50$		40	20	0	64	20	2	900
1,5	0,007	150	50	50	25	18	19	18	50	0	0	84	25	2	950
2	0,01	200	50	60	30	20	24	21	55	10	0	106	25	2	1450
3	0,03	300	75	80	40	20	26	8	74	20	10	176	40	3	2450
4	0,075	400	90	100	50	20	31	6	90	30	30	270	50	4	3450
5	0,15	500	115	120	60	20	32	9	91	30	30	370	50	4	4300
6	0,46	600	160	170	90	30	31	9	120	30	30	450	75	6	5350
8	1,12	800	220	220	120	30	43	12	165	40	40	610	100	7	6950
10	2,13	1000	260	260	140	40	42	13	190	50	50	760	120	8	8500
12	3,8	1200	300	310	170	40	53	7	205	90	90	940	120	8	11100
14	5,25	1400	330	360	200	50	50	10	230	90	90	1100	140	8	12800
16	8	1600	360	420	230	50	63	15	255	110	110	1260	160	8	14700
18	10	1800	375	450	250	50	63	15	255	110	110	1440	160	8	17400
20	15,6	2000	450	540	300	70	95	20	320	110	110	1560	200	8	20500



Lösbare Reibungskupplung.  
Nach Lohmann u. Stolterfoht, Witten, Ruhr.

Wellen- Durch- messer mm	Pferde- stärken bei 100 T. per Minute*)	Grösster Durch- messer mm	Grösste Länge		Dimensionen der Ausrückmuffe		Preis der Kupplung Mk.	Preis des Ausrück- hebels Mk.
			A	B	x	y		
50	4	400	235	90	100	35	190	25
60	8	480	290	110	115	40	250	35
70	15	560	330	130	130	50	310	45
80	23	640	380	150	150	55	400	55
90	35	720	430	170	165	60	510	65
100	50	800	470	180	180	65	635	90
110	70	880	530	200	200	70	775	120
120	100	980	585	220	210	75	950	145
130	130	1080	635	240	220	80	1150	170
140	160	1180	685	260	235	85	1350	195
150	200	1280	730	280	250	90	1550	220
160	250	1365	775	300	265	95	1850	250
170	300	1450	820	320	280	100	2100	300
180	370	1535	865	340	295	105	2400	360
190	440	1620	910	360	310	110	2700	430
200	500	1700	960	380	325	110	3000	500

\*) Die Kraftübertragung steht annähernd in directem Verhältniss zur Umdrehungszahl und ist bei 50 Umdrehungen reichlich halb so gross, bei 200 Umdrehungen fast doppelt so gross, als in der Tabelle angegeben.



Kreuzgelenk-Kupplung.  
Nach A. Spengler, M.-Gladbach.

Bohrung d mm	Durch- messer D mm	Länge L mm	Gewicht kg	Preis Mk.
50—55	220	220	30	110
60—65	250	250	35	120
70—75	280	280	40	130
80—85	315	310	55	140
90—95	350	340	80	160
100—105	385	370	125	185
110—115	420	400	180	230
120—125	460	430	245	305
130—135	500	460	280	350
140—145	550	490	340	435
150	600	530	400	490

Ausrückk

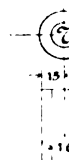
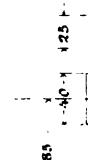
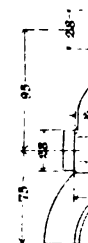


Fig. 204. Massstab 1:4.

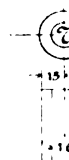
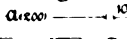


Fig. 205. Масштаб 1:10.

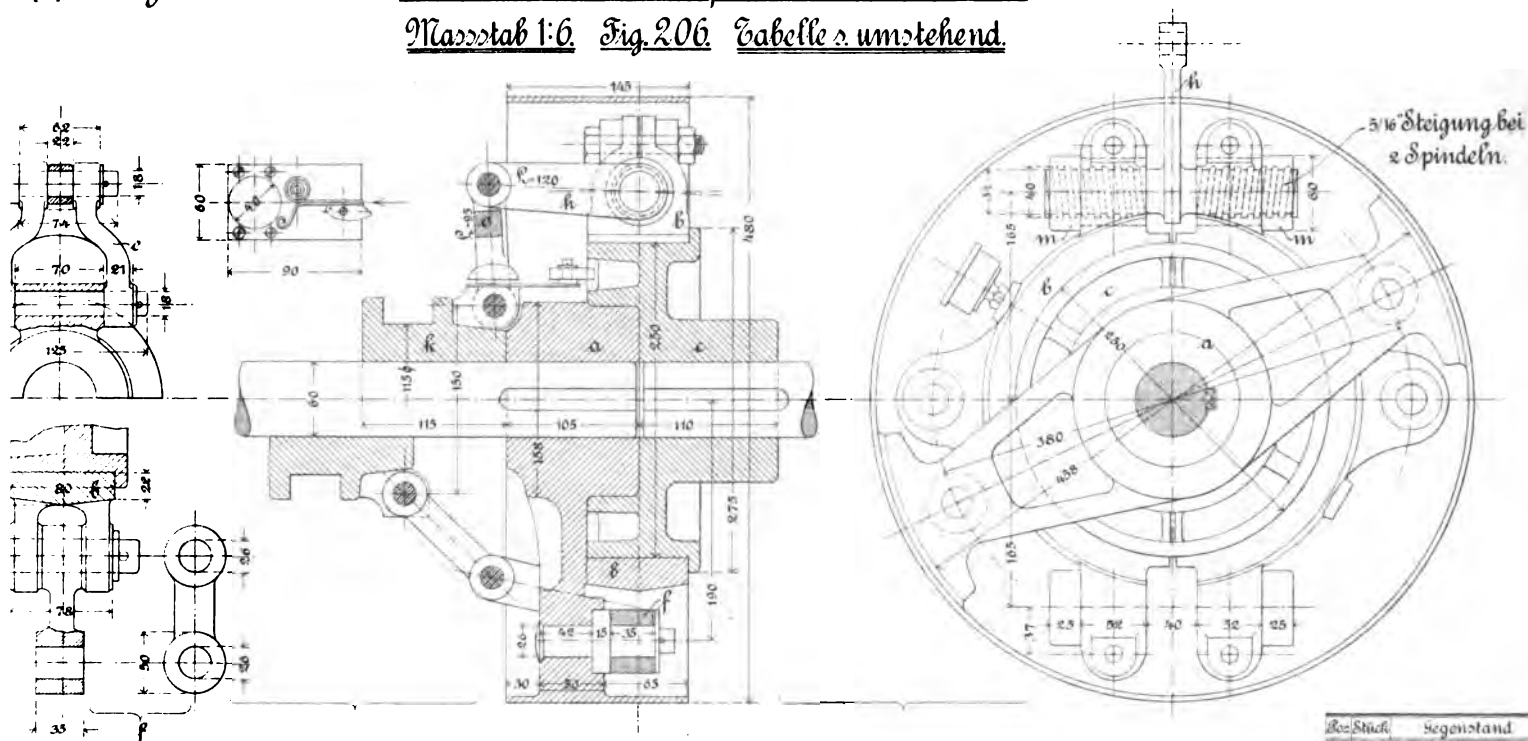
Nusse N.





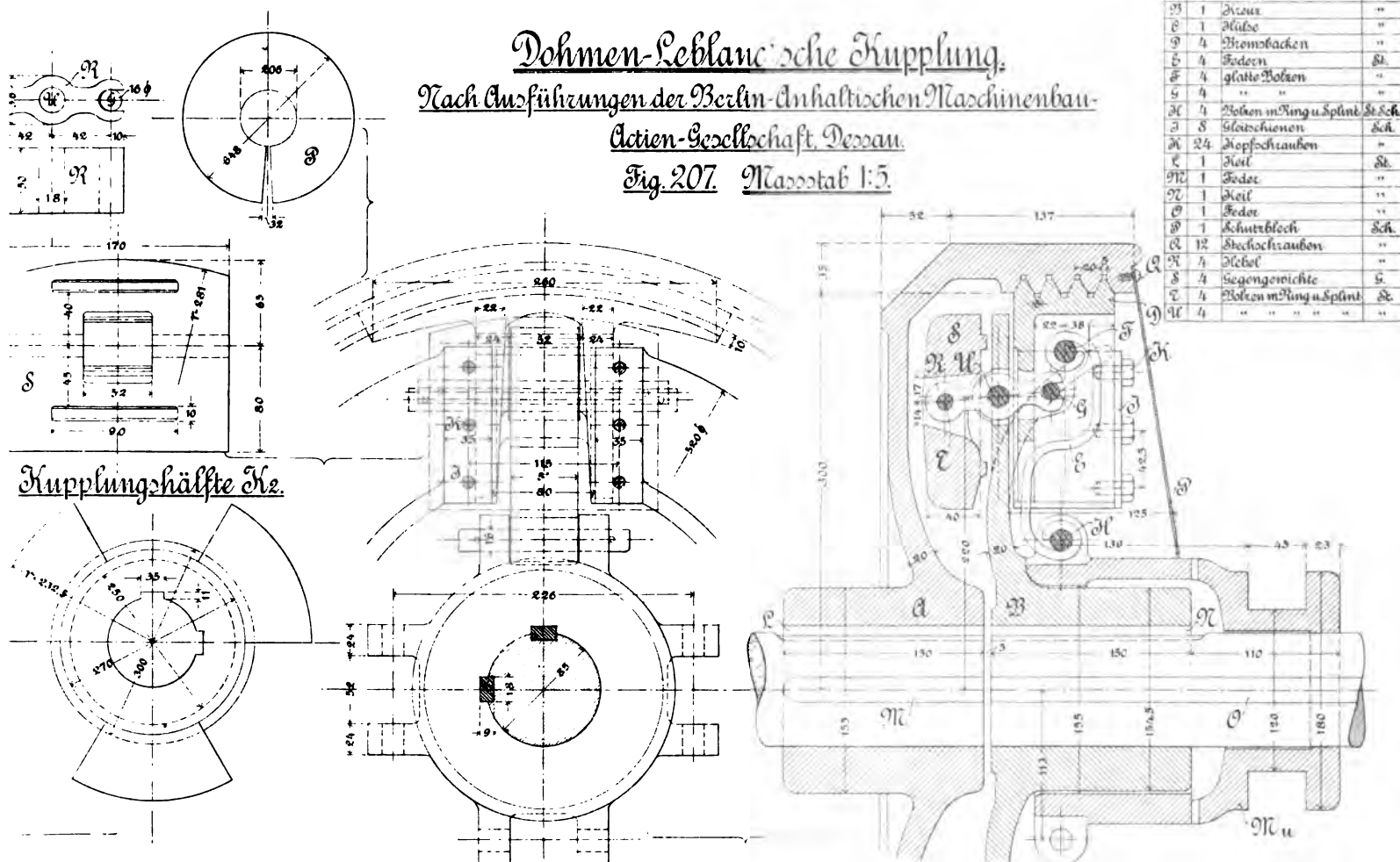
Nach Lohmann u. Stolterfoht, Witten an der Ruhr.

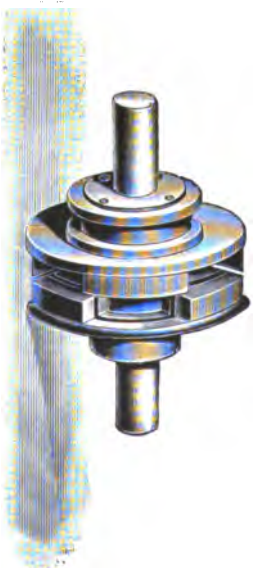
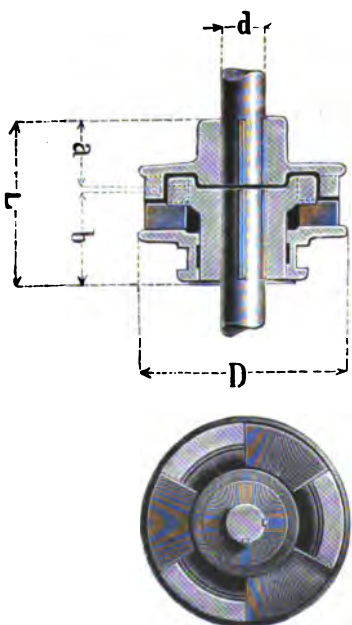
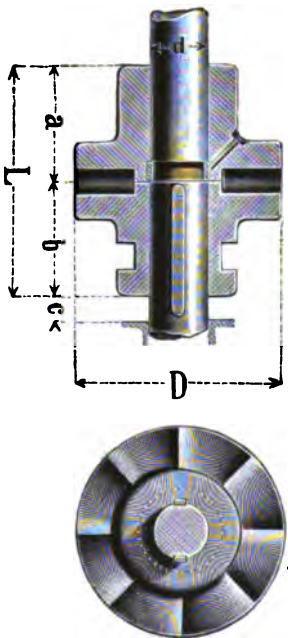
Maßstab 1:6. Fig. 206. Tabelle s. umstehend.



Nach Ausführungen der Berlin-Anhaltischen Maschinenbau-  
Actien-Gesellschaft, Dessau.

Fig. 207. Maastab 1:5.





**Zahn-Kupplung.**  
Nach A. Spengler, M.-Gladbach.

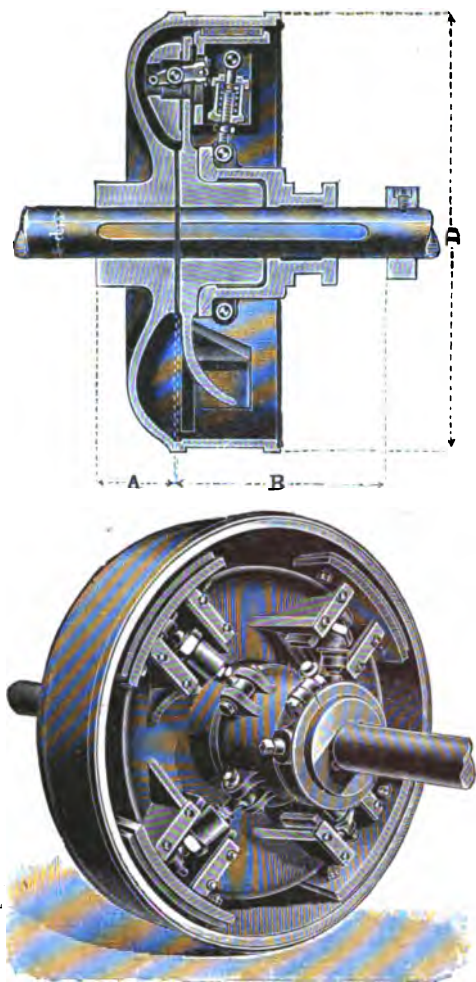
Bohrung d mm	Durch- messer D mm	Länge L mm	Länge des Wellenendes			Gewicht kg	Preis Mk.
			a mm	b mm	c mm		
50	200	210	105	105	30	35	60
60	240	270	135	135	30	45	70
70	275	320	160	160	35	55	85
80	275	320	160	160	35	65	95
90	310	360	180	180	40	100	115
100	350	380	200	180	45	125	130
110	380	410	210	200	45	135	145
120	420	460	245	215	50	180	160
130	450	490	260	230	55	180	180
140	485	510	280	240	55	260	200
150	525	530	280	250	60	320	230
160	560	560	295	265	60	350	260
170	600	600	315	285	65	400	290
180	640	640	335	305	65	450	330
190	680	680	355	325	70	490	370
200	720	720	375	345	70	550	420

**Hildebrandt'sche Zahn-Kupplung.**  
Nach A. Spengler, M.-Gladbach.

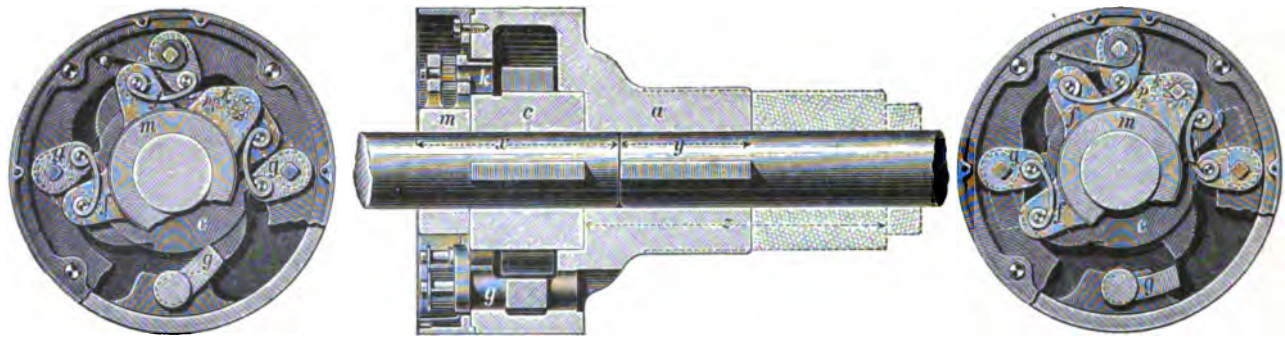
Wellen- durch- messer d mm	Durch- messer der Kupplung D mm	Länge L mm	Länge des Wellen- endes		Gewicht kg	Preis Mk.
			a mm	b mm		
60	330	295	105	185	120	96
65	330	295	105	185	116	98
70	365	315	110	200	140	112
75	365	315	110	200	135	115
80	425	340	125	210	160	128
85	425	340	125	210	155	130
90	460	365	138	220	185	148
95	460	365	138	220	180	150
100	520	390	155	225	205	164
105	520	390	155	225	205	164
110	520	390	155	225	220	195
115	520	390	155	225	220	195
120	660	485	200	275	310	200
125	660	485	200	275	310	200
130	660	485	200	275	350	280
135	750	590	230	350	350	280
145	750	590	230	350	600	420
150	750	590	230	350	650	460

Combinirte Reibungs - Kupplung.

Nach A. Spengler, M.-Gladbach.



Bohrung	Grösster Durchmesser der Kupplung	Nabenlänge		Mit Gegengewicht		Ohne Gegengewicht	
		des Gehäuses	des Kreuzes plus Verschiebung der Ausrückmuffe	Ge-wicht	Prels	Ge-wicht	Prels
d	D	A	B	kg	Mk.	kg	Mk.
50	500	90	200	110	275	95	253
55	500	90	200	110	275	95	253
60	600	105	230	150	360	130	336
65	600	105	230	150	360	130	336
70	700	135	300	275	460	240	440
75	700	135	300	275	460	240	440
80	700	135	300	305	590	270	560
85	700	135	300	305	590	270	560
90	900	180	370	530	760	470	727
95	900	180	370	530	760	470	727
100	900	180	370	560	950	500	900
105	900	180	370	560	950	500	900
110	1100	210	435	805	1130	730	1080
115	1100	210	435	805	1130	730	1080
120	1100	210	435	875	1320	800	1278
125	1100	210	435	875	1320	800	1278
130	1300	260	530	1325	1460	1200	1495
140	1300	260	530	1425	1800	1300	1720
150	1500	300	600	1704	2010	1650	1950
160	1500	300	600	1804	2250	1750	2160
170	1700	320	615	2418	2540	2250	2420
180	1700	320	645	2520	2780	2352	2660
190	1900	350	710	3270	3080	3080	2930
200	1900	350	710	3390	3360	3200	3220



Wellen-Durchmesser	Uebertragbare Pferdestärken bei 100 T.p. (Min.)	Grösster Durchmesser	Länge		Durchmesser der Verlängerung	Länge z	Preis der Kupplung	Zuschlagspreis für Verlängerung
			x	y				
60	5	250	225	90	120	200	190	13
70	8	270	250	105	130	240	225	16
80	15	300	280	125	150	280	270	25
90	22	330	310	140	160	320	325	30
100	35	385	350	155	180	360	390	35
110	50	430	380	170	200	400	460	40
120	70	465	425	185	220	440	530	45
130	100	500	455	200	240	480	615	55
140	130	540	490	205	260	520	715	65
150	160	570	535	230	280	560	855	80
160	200	600	580	245	300	600	1010	95
175	250	650	630	260	320	640	1160	110

\*) Die Kraftübertragung steht annähernd in directem Verhältniss zur Umdrehungszahl und ist bei 50 Umdrehungen reichlich halb so gross, bei 200 Umdrehungen fast doppelt so gross, als in der Tabelle angegeben.



(D.R.G.M.)

Technical drawing of a mechanical assembly, likely a valve or pump head, showing a top view and a side view. The top view is a circular flange with a central hub and four radial ports. The side view shows the profile of the assembly. Dimensions are given in inches and millimeters. The text "(D.R.G.M.)" is in the top left corner.

Key dimensions and features:

- Top View (Circular Flange):**
  - Overall diameter: 240 mm
  - Inner diameter: 100 mm
  - Central hub diameter: 80 mm
  - Port diameter: 30 mm
  - Port spacing: 120 mm
  - Port thickness: 15 mm
  - Port mounting holes: 1/8" (3.18 mm)
- Side View (Profile):**
  - Overall height: 155 mm
  - Base width: 175 mm
  - Base thickness: 10 mm
  - Port height: 105 mm
  - Port width: 60 mm
  - Port spacing: 120 mm
  - Port mounting holes: 1/8" (3.18 mm)

Still-  
anordnung (D.R.G.)  
isenwerk Wülffel  
vor Hannover.  
Fig. 209.

The drawing shows a mechanical assembly with various components and dimensions. Key dimensions include:

- Top horizontal dimensions: 57, 78, 66
- Right vertical dimension: 625
- Bottom horizontal dimensions: 75, 3, 64
- Left vertical dimension: 125
- Bottom left vertical dimension: 670
- Bottom right vertical dimension: 178, 130
- Bottom left horizontal dimension: 50 ± 10

The assembly includes a central vertical shaft, a horizontal shaft on the left labeled "Lager", and various mounting brackets and bolts. The drawing is a technical illustration of a mechanical component, likely a pump or engine part, showing a cross-section and side view with dimensions.

Kombinierte  
Reibungs-  
Kupplung.  
Maßstab 1:5.  
Fig. 208.  
Tabelle s. umstehend.

The drawing shows a cross-section of a mechanical assembly. The top part is a semi-circular housing with a central shaft. A curved friction plate is mounted on the shaft. The bottom part is a base with a hollow shaft (Hohle Welle) passing through it. A spring mechanism is visible, with a coiled spring and a lever arm. Dimensions are given in millimeters. The label 'a' is at the bottom left.

Technical drawing of a combined friction clutch (Fig. 208) showing a cross-section and a side view. The drawing includes dimensions and labels such as "Hohle Welle" (hollow shaft) and "a".

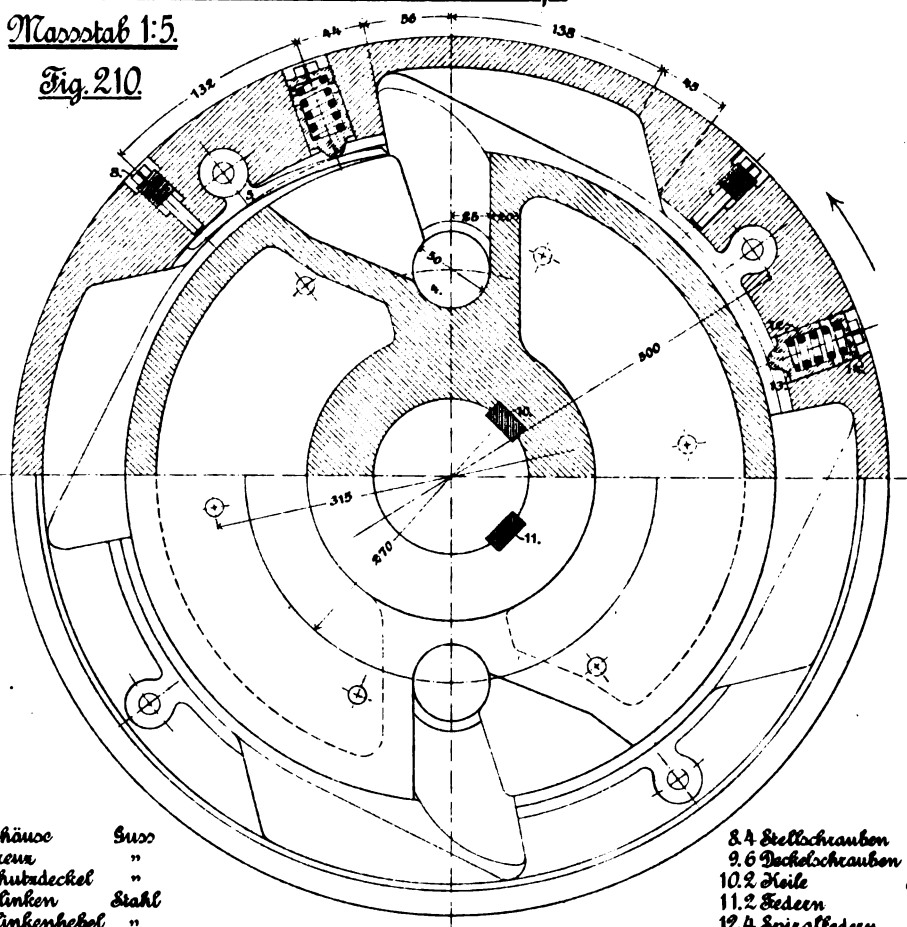
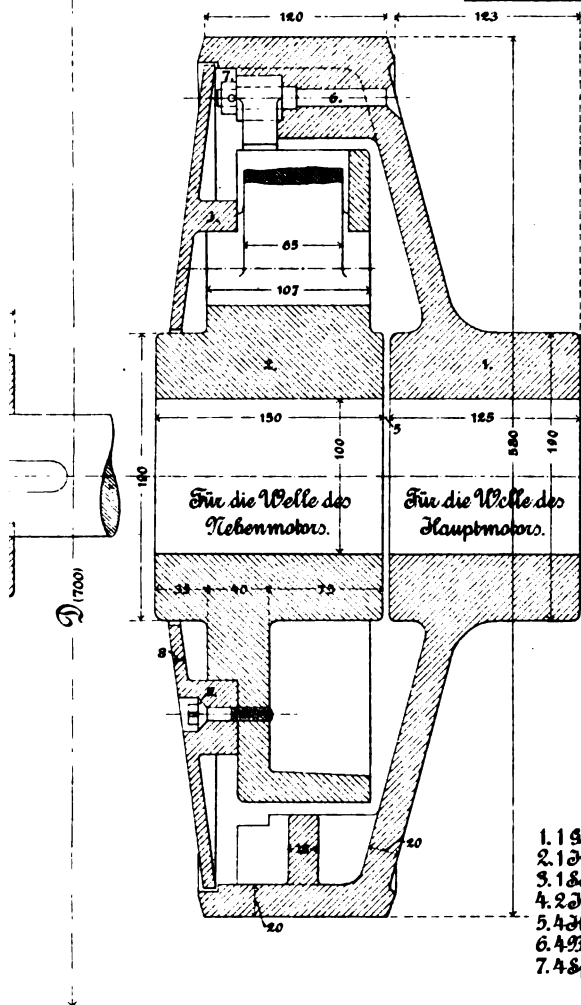
Maßstab 1:6  
Tabelle 2 umstehend.

### Uhlhorn'sche Motorenkupplung.

Berlin-Anhaltische-Maschinenbau-Actien-Gesellschaft.

Maßstab 1:5.

Fig. 210.



- |                     |         |
|---------------------|---------|
| 8.4 Stellschrauben  | Schm.   |
| 9.6 Deckelschrauben | "       |
| 10.2 Keile          | Stahl   |
| 11.2 Federn         | "       |
| 12.4 Spiralfedern   | "       |
| 13.4 Führungen      | Nessing |
| 14.4 Muttern        | "       |

### Motorenkupplung:

System Lohmann u. Stolterfoht, Witten an der Ruhr.

Fig. 211. Масштаб 1:4.

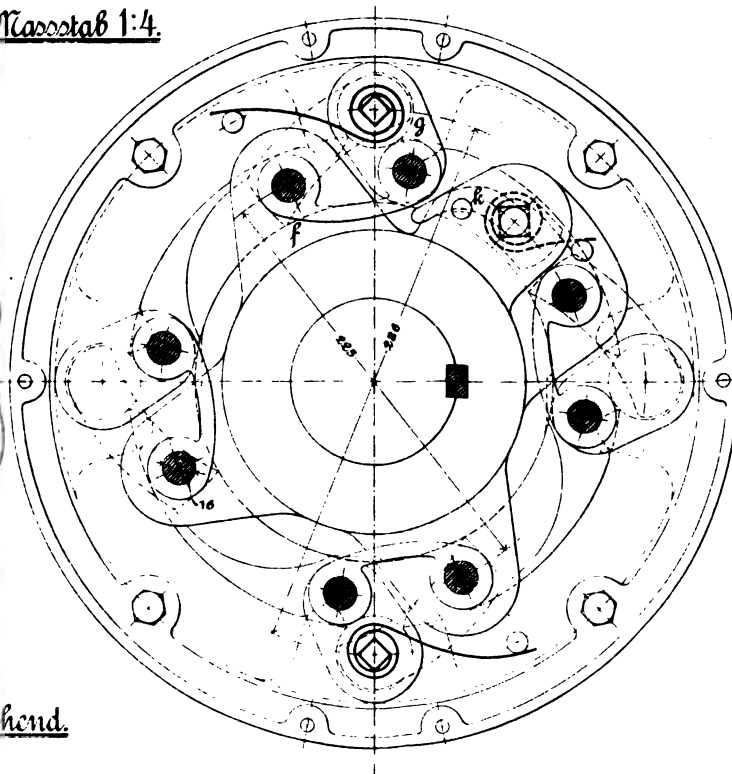
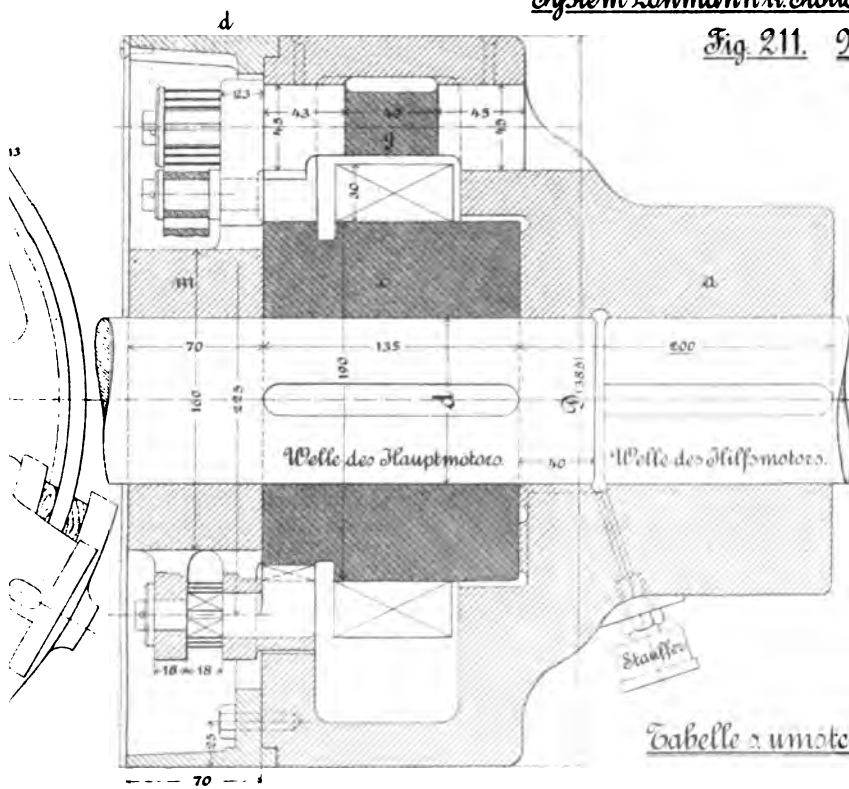
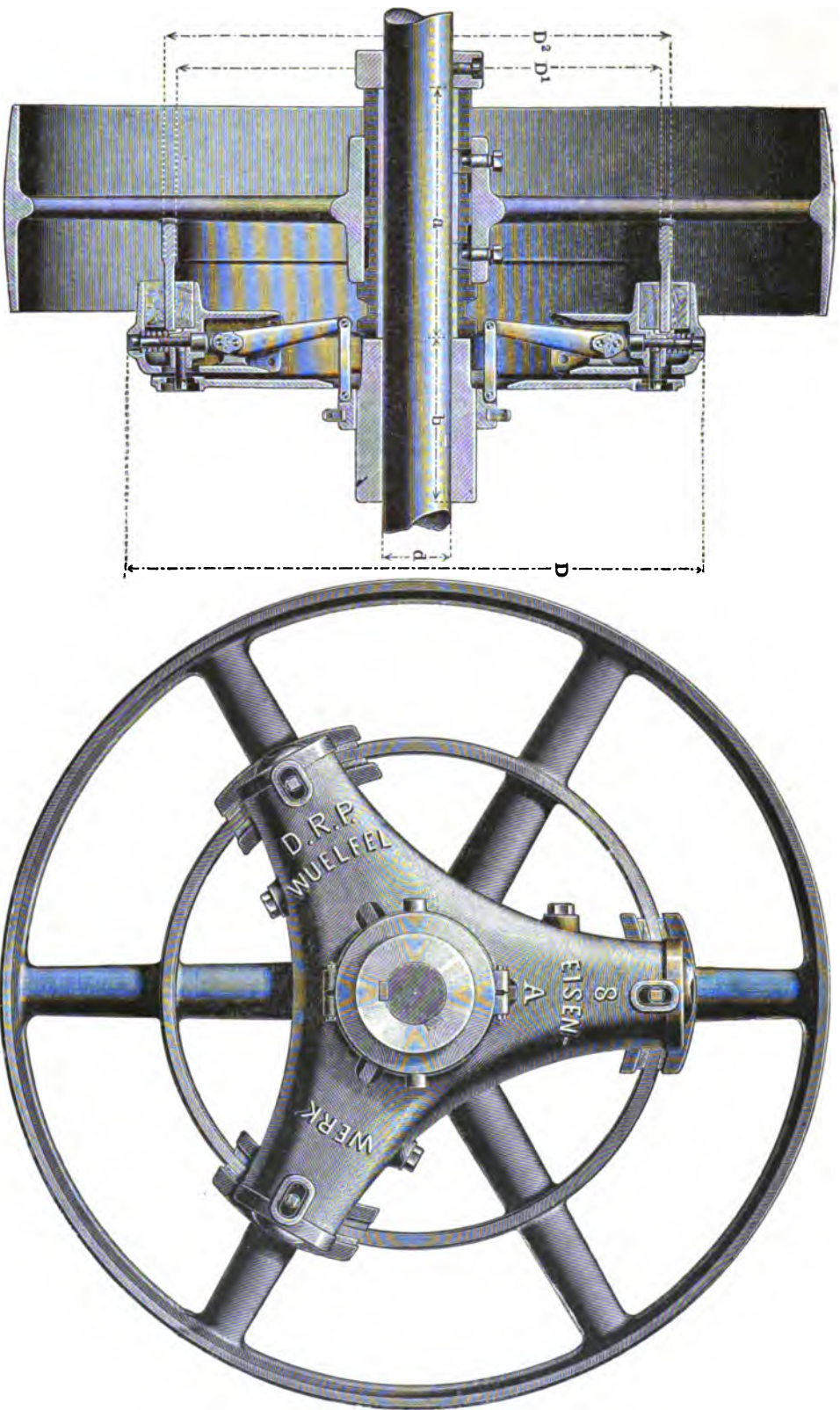


Tabelle 2. unmotwend.



Hill-Kupplung (D. R.-P.)  
Eisenwerk Wülfel vor Hannover.

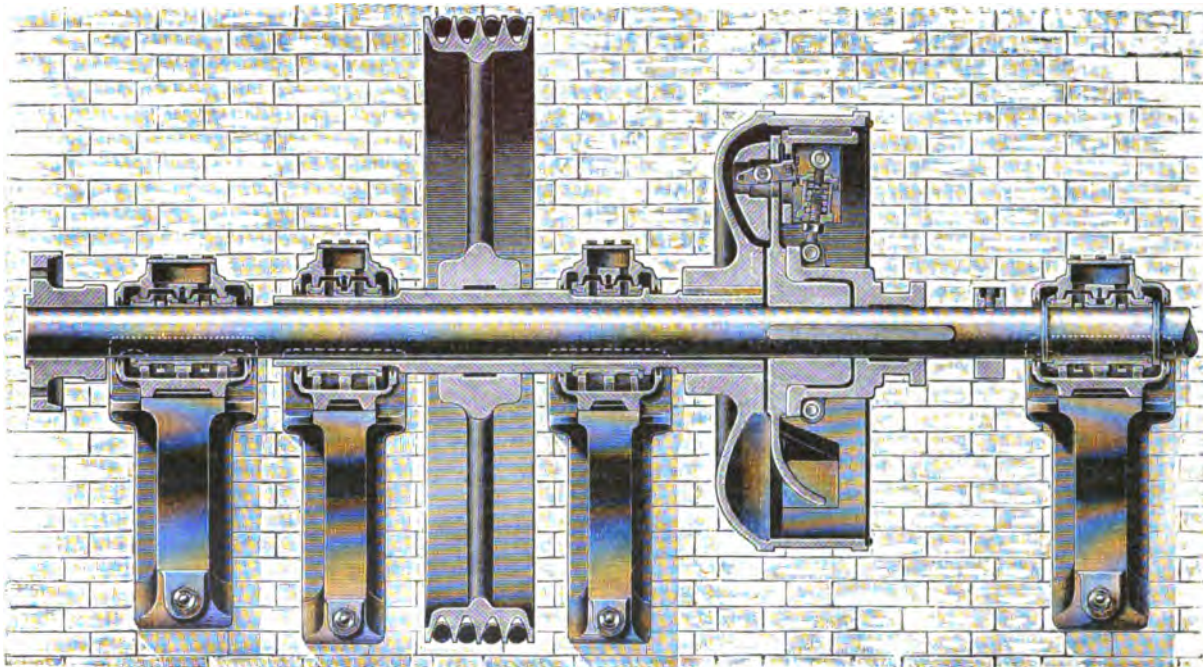
Nummer der Hill-Kupplung	Anzahl der Arme	Gröſter Durchmesser D mm	Durchmesser des Ringes		Nebenlänge				Verschiebung der Ausrückniffe mm
					ungetheilt		getheilt		
			D <sub>1</sub> mm	D <sub>2</sub> mm	Ring a mm	Kreuz b mm	Ring a mm	Kreuz b mm	
6	2	610	490	510	140	170	—	—	55
7	3	610	490	510	140	170	—	—	55
8	3	725	599	625	165	200	—	—	65
9	4	865	713	745	180	245	205	265	83
10	4	980	800	835	200	265	225	295	95
11	4	1090	902	940	235	310	245	345	110
12	4	1255	1036	1080	280	345	280	385	125
13	4	1420	1168	1220	310	380	310	425	145
14	6	1420	1168	1220	310	435	310	435	165
15	6	1620	1344	1400	350	480	375	480	165
16	6	1810	1610	1670	400	500	400	500	170



*Zu Tafel 72/73.*

**Combinirte Reibungs-Kupplung**  
in Verbindung mit hohler Welle.

A. Spengler, M.-Gladbach.



## Ausrückvorrichtungen für Zie

Fig. 213.

### Berechnung d. Beispiel.

Maassstab 1:15.

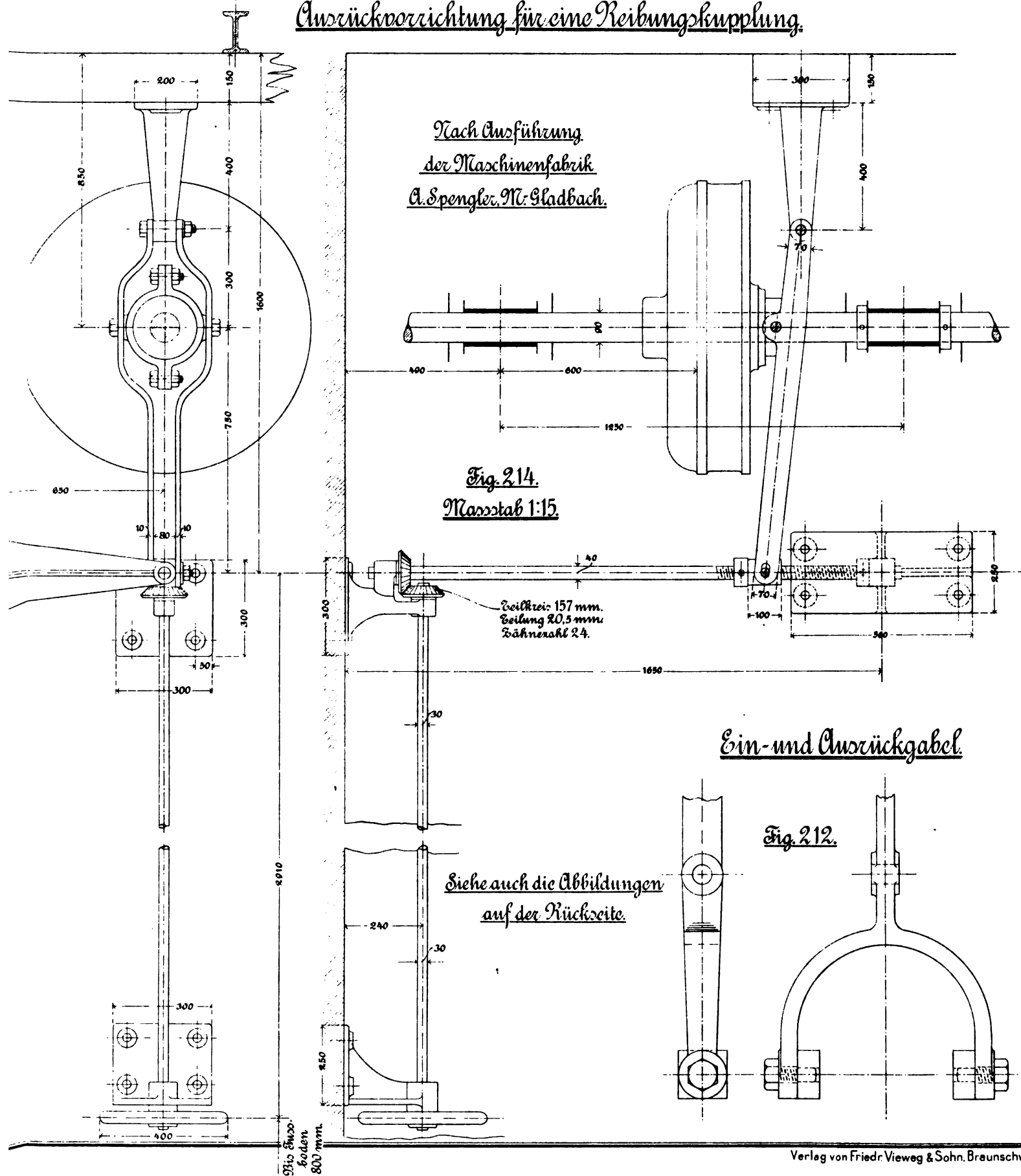
Schleifring.

Stückliste.

- A. 1 Ausrückbock 480 mm  
Ausladung 10 mm Wandst.
- B. 1 Spindelbock
- C. 1 Hebel.
- D. 8 Steinschrauben  $\frac{3}{4}$ " x 280 mm.
- E. 1 Bolzen 1" mit 2 Muttern  $\frac{3}{4}$ ".
- F. 1 Schraube 1" x 219 mm.
- G. 1 "  $\frac{3}{4}$ " x 59 mm.
- H. 3 Schrauben  $\frac{5}{8}$ " mit Bohrrohr  
 $\frac{3}{4}$ " innere Weite.
- J. 2 Zapfen 23 mm stark.
- L. 1 Spindel 155 mm lg.
- M. 1 Handrad mit Seiff 120 mm lg.
- N. 1 Spindelmutter.
- O. 2 Stellscheibe 70 mm  $\phi$ .
- P. 1 Zwischengestück.
- K. 2 Zapfen.

Seil- und Reibungskupplungen.

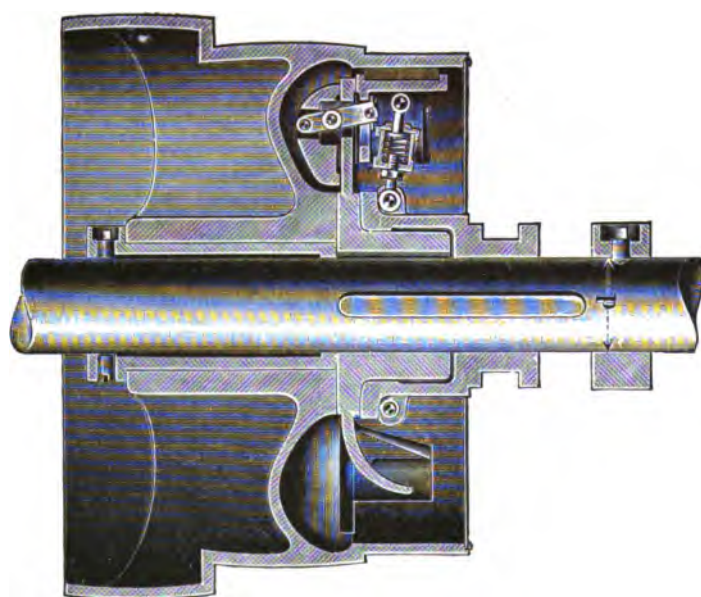
Ausrückvorrichtung für eine Reibungskupplung.



*Zu Tafel 72/73.*

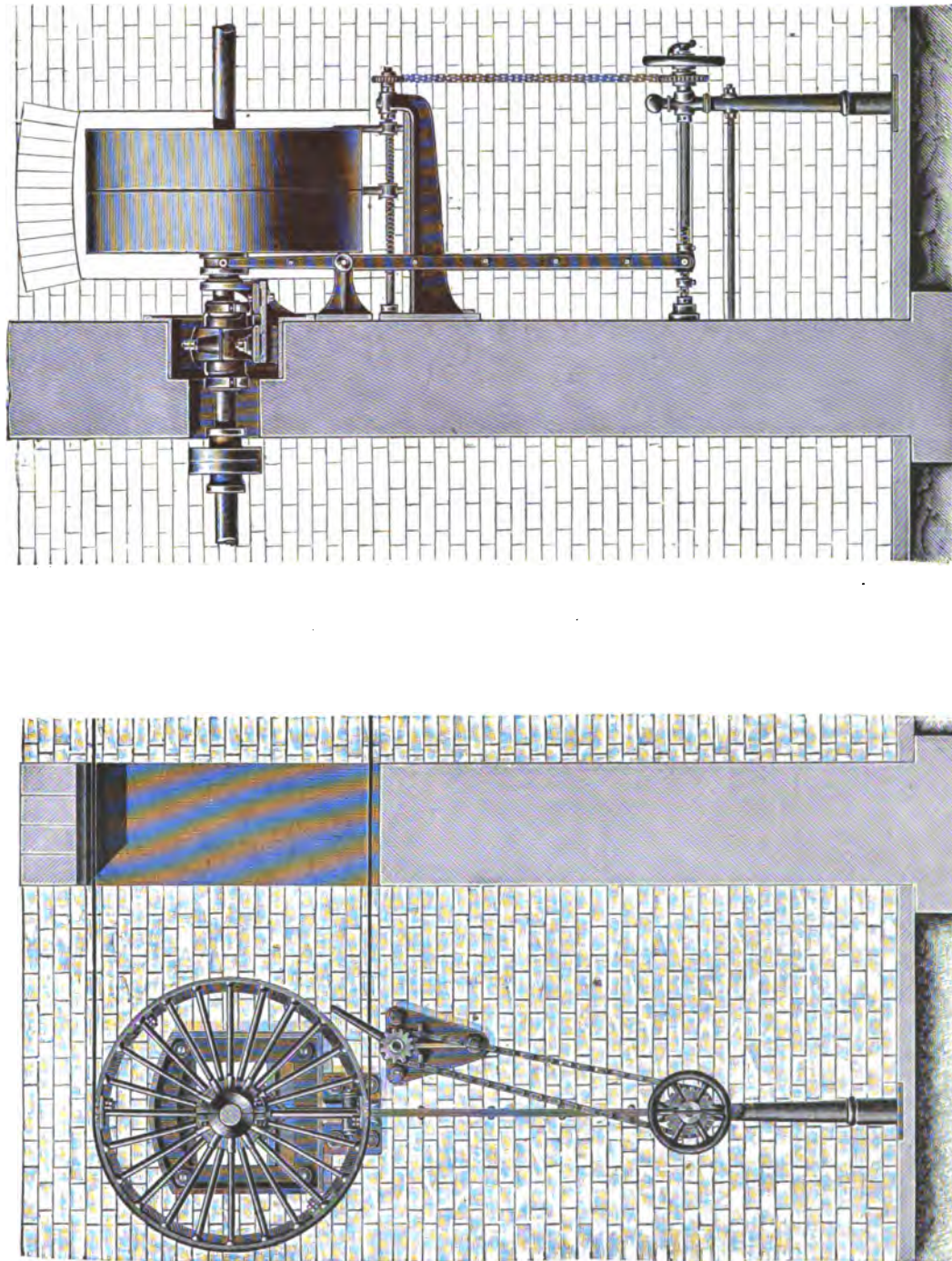
**Combinirte Reibungs-Kupplung  
in Verbindung mit Stufenscheibe.**

**A. Spengler, M.-Gladbach.**  
D. R.-G.-M.





**Vorgelege**  
mit Fest- und Losschelte und Ausrückvorrichtung.  
A. Spengler, M.-Gladbach.



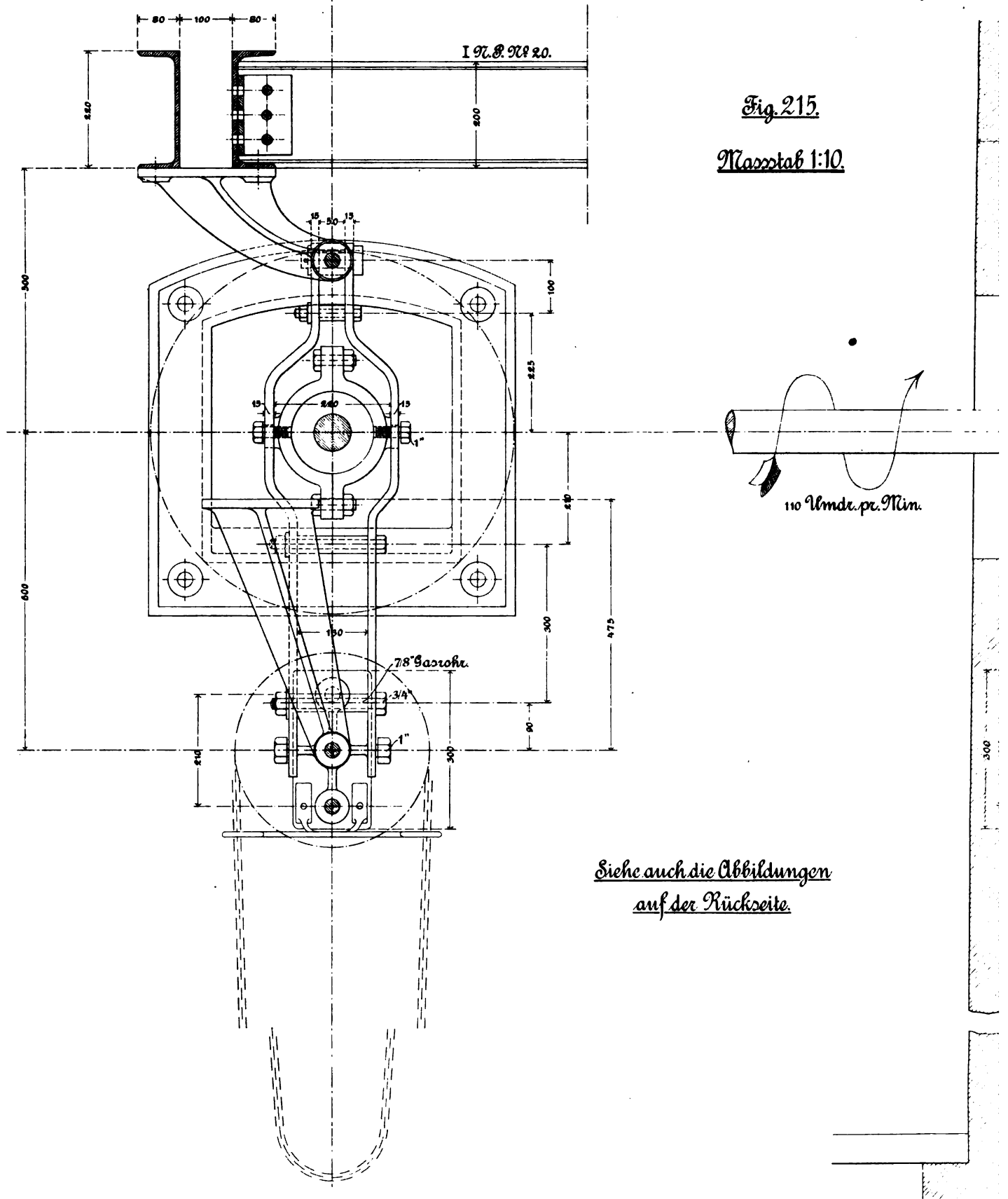
*Zu Tafel 74/75.*



Nach A. Spengler, Na

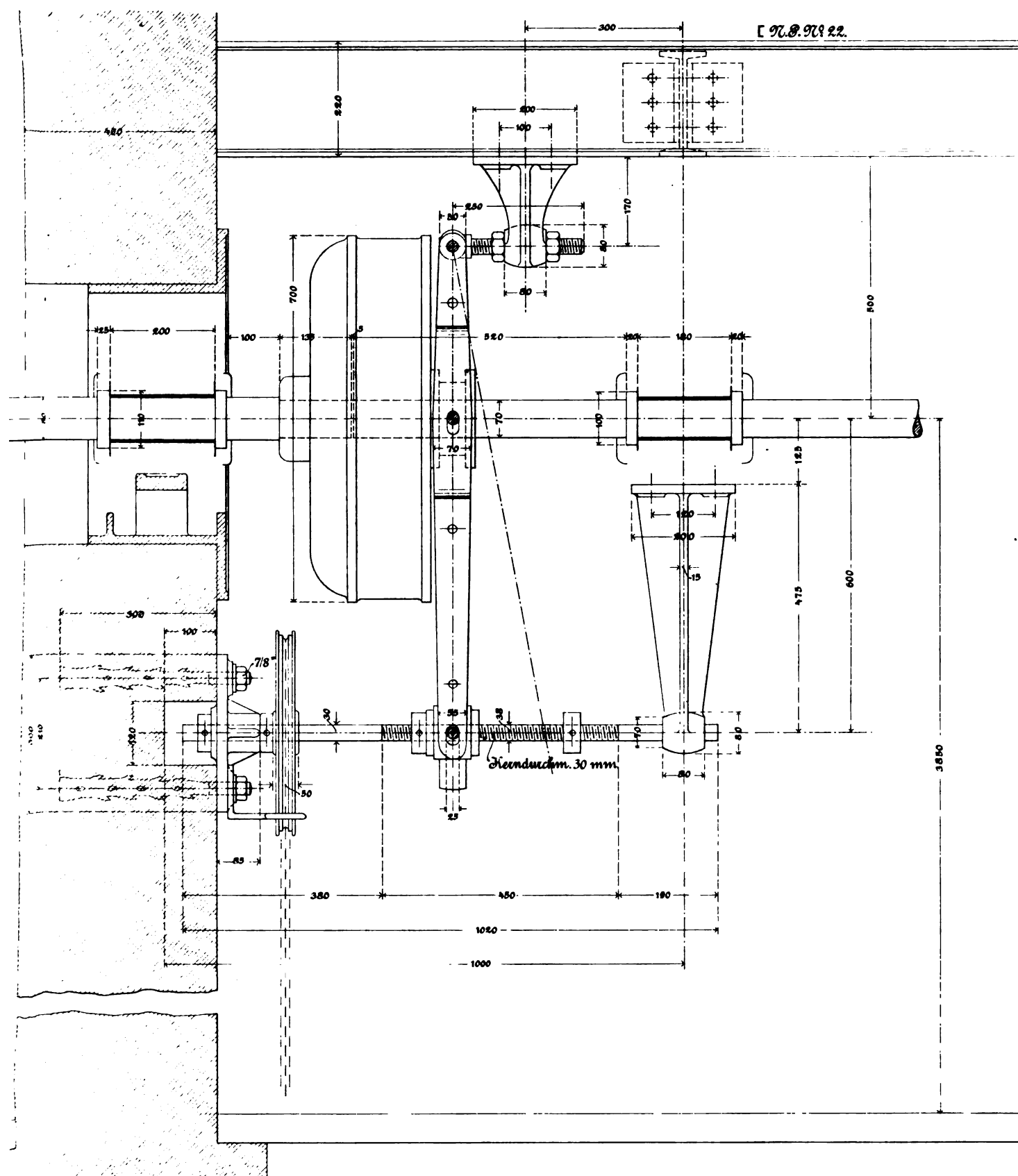
Fig. 215.

Maßstab 1:10.



Siehe auch die Abbildungen  
auf der Rückseite.

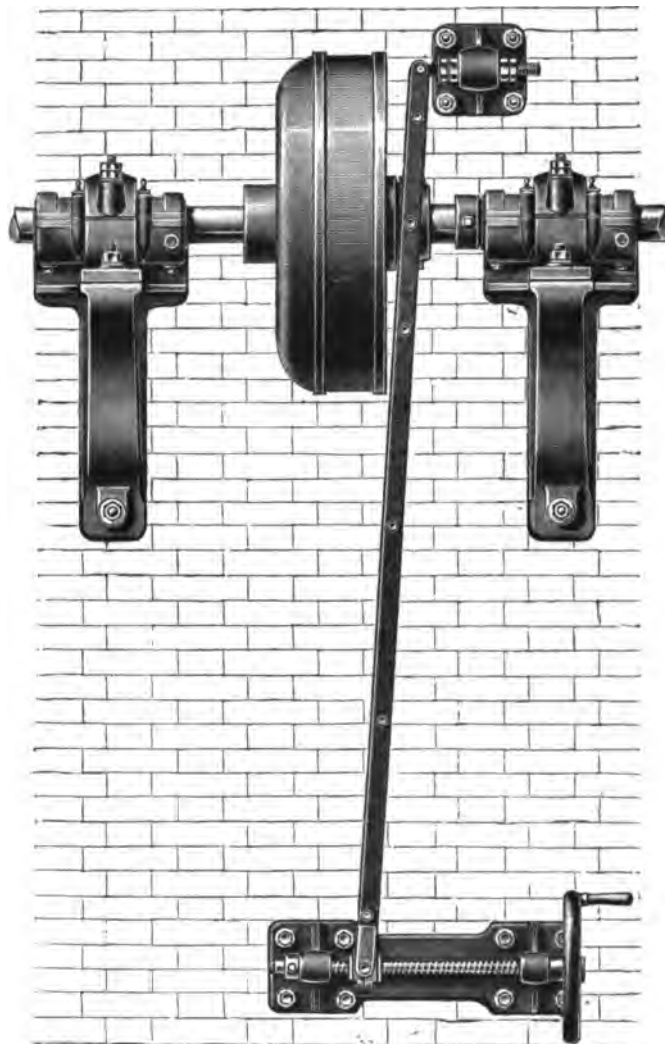
für eine Reibungskupplung.  
 Maschinenfabrik M. Gladbach.



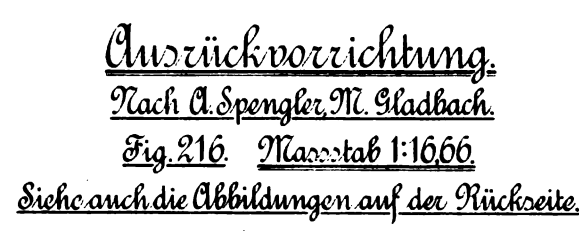


*Zu Tafel 76/77.*

**Ausrückvorrichtung  
für die „Combinirte Reibungs-Kupplung“.  
A. Spengler, M.-Gladbach.**



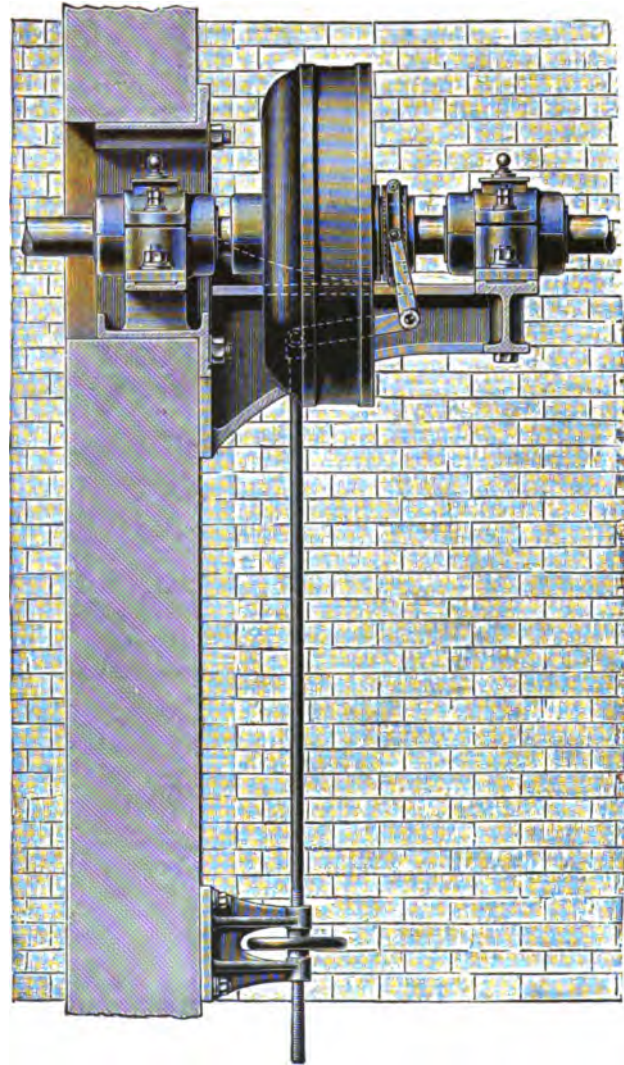
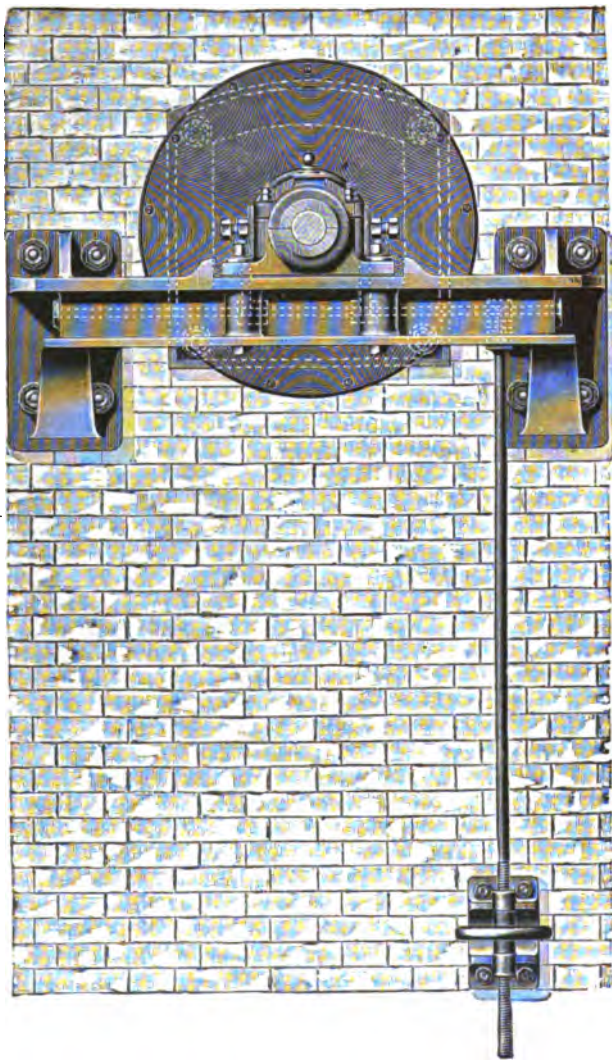




*Zu Tafel 76/77.*

**Ausrückvorrichtung  
für die „Combinirte Reibungs-Kupplung“.**

**A. Spengler, M.-Gladbach.**





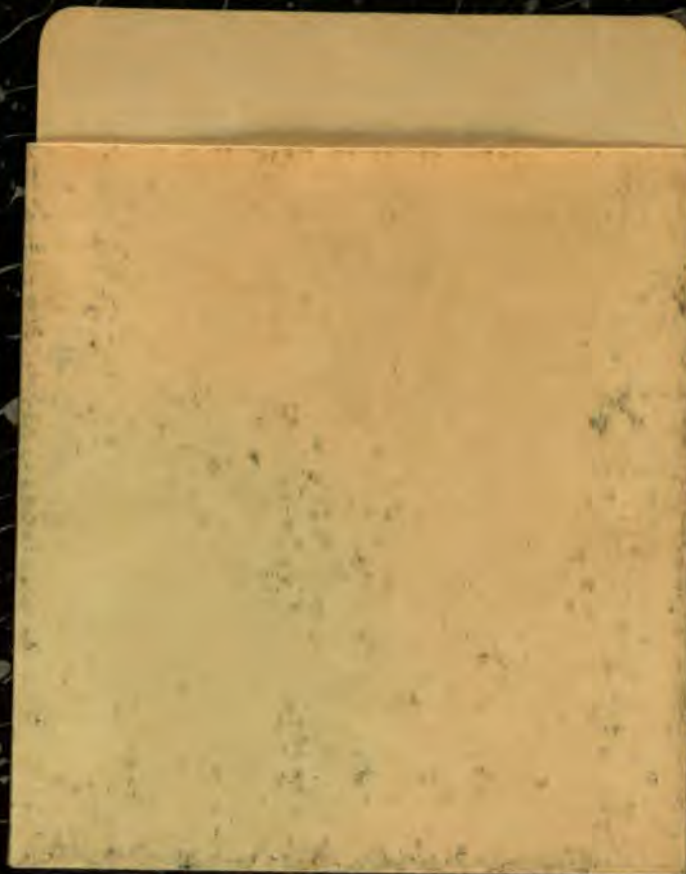


89088909502



B89088909502A





G. E. STECHERT  
& Co.  
NEW YORK



89088909502



b89088909502a